

# International Nonproprietary Names for Pharmaceutical Substances (INN)

Notice is hereby given that, in accordance with article 3 of the Procedure for the Selection of Recommended International Nonproprietary Names for Pharmaceutical Substances, the names given in the list on the following pages are under consideration by the World Health Organization as Proposed International Nonproprietary Names. The inclusion of a name in the lists of Proposed International Nonproprietary Names does not imply any recommendation of the use of the substance in medicine or pharmacy.

Lists of Proposed (1–117) and Recommended (1–78) International Nonproprietary Names can be found in *Cumulative List No. 17, 2017* (available in CD-ROM only). The statements indicating action and use are based largely on information supplied by the manufacturer. **This information is merely meant to provide an indication of the potential use of new substances at the time they are accorded Proposed International Nonproprietary Names.** WHO is not in a position either to uphold these statements or to comment on the efficacy of the action claimed. Because of their provisional nature, these descriptors will neither be revised **nor included in the Cumulative Lists of INNs.**

## Dénominations communes internationales des Substances pharmaceutiques (DCI)

Il est notifié que, conformément aux dispositions de l'article 3 de la Procédure à suivre en vue du choix de Dénominations communes internationales recommandées pour les Substances pharmaceutiques les dénominations ci-dessous sont mises à l'étude par l'Organisation mondiale de la Santé en tant que dénominations communes internationales proposées. L'inclusion d'une dénomination dans les listes de DCI proposées n'implique aucune recommandation en vue de l'utilisation de la substance correspondante en médecine ou en pharmacie.

On trouvera d'autres listes de Dénominations communes internationales proposées (1–117) et recommandées (1–78) dans la *Liste récapitulative No. 17, 2017* (disponible sur CD-ROM seulement). Les mentions indiquant les propriétés et les indications des substances sont fondées sur les renseignements communiqués par le fabricant. **Elles ne visent qu'à donner une idée de l'utilisation potentielle des nouvelles substances au moment où elles sont l'objet de propositions de DCI.** L'OMS n'est pas en mesure de confirmer ces déclarations ni de faire de commentaires sur l'efficacité du mode d'action ainsi décrit. En raison de leur caractère provisoire, ces informations **ne figureront pas dans les listes récapitulatives de DCI.**

## Denominaciones Comunes Internacionales para las Sustancias Farmacéuticas (DCI)

De conformidad con lo que dispone el párrafo 3 del "Procedimiento de Selección de Denominaciones Comunes Internacionales Recomendadas para las Sustancias Farmacéuticas", se comunica por el presente anuncio que las denominaciones detalladas en las páginas siguientes están sometidas a estudio por la Organización Mundial de La Salud como Denominaciones Comunes Internacionales Propuestas. La inclusión de una denominación en las listas de las DCI

Propuestas no supone recomendación alguna en favor del empleo de la sustancia respectiva en medicina o en farmacia.

Las listas de Denominaciones Comunes Internacionales Propuestas (1–117) y Recomendadas (1–78) se encuentran reunidas en *Cumulative List No. 17, 2017* (disponible sólo en CD-ROM). Las indicaciones sobre acción y uso que aparecen se basan principalmente en la información facilitada por los fabricantes. **Esta información tiene por objeto dar una idea únicamente de las posibilidades de aplicación de las nuevas sustancias a las que se asigna una DCI Propuesta.** La OMS no está facultada para respaldar esas indicaciones ni para formular comentarios sobre la eficacia de la acción que se atribuye al producto. Debido a su carácter provisional, esos datos descriptivos **no deben incluirse en las listas recapitativas de DCI.**

## **Proposed International Nonproprietary Names: List 131**

Comments on, or formal objections to, the proposed names may be forwarded by any person to the INN Programme of the World Health Organization within four months of the date of their publication in *WHO Drug Information*, i.e., for **List 131 of Proposed INN not later than 11 December 2024. Publication date:** 12.08.2024

## **Dénominations communes internationales proposées: Liste 131**

Des observations ou des objections formelles à l'égard des dénominations proposées peuvent être adressées par toute personne au Programme des Dénominations communes internationales de l'Organisation mondiale de la Santé dans un délai de quatre mois à compter de la date de leur publication dans *WHO Drug Information*, c'est à dire pour la **Liste 131 de DCI Proposées le 11 décembre 2024 au plus tard. Date de publication :** 12.08.2024

## **Denominaciones Comunes Internacionales Propuestas: Lista 131**

Cualquier persona puede dirigir observaciones u objeciones respecto de las denominaciones propuestas, al Programa de Comunes Internacionales de la Organización Mundial de la Salud, en un plazo de cuatro meses, contados desde la fecha de su publicación en *WHO Drug Information*, es decir, para la **Lista 131 de DCI Propuestas el 11 de Diciembre de 2024 a más tardar.**

**Fecha de publicación:** 12.08.2024

<b>Proposed INN (Latin, English, French, Spanish)</b>	<b>Chemical name or description: Action and use: Molecular formula, Chemical Abstracts Service (CAS) registry number: Graphic formula</b>
<b>DCI Proposée</b>	<b>Nom chimique ou description: Propriétés et indications: Formule brute, Numéro dans le registre du CAS: Formule développée</b>
<b>DCI Propuesta</b>	<b>Nombre químico o descripción: Acción y uso: Fórmula molecular, Número de registro del CAS: Fórmula desarrollada</b>

### **abipapogenum suvaplasmidum #**

abipapogene suvaplasmid

DNA plasmid encoding a mutation-inactivated human papillomavirus type 16 E6 / E7 fusion protein linked to the human cytokine CCL3L1 (chemokine (C-C motif) ligand 3-like 1) via a dimerization module consisting of upper and lower hinge regions and constant heavy chain domain from human immunoglobulin

G3 (IgG3). Expression of the transgene is under control of a cytomegalovirus (CMV) promoter/enhancer and terminated by a rabbit β-globin polyadenylation signal. The plasmid also contains a kanamycin resistance gene, an immunostimulatory (CpG-rich) sequence and a pUC origin of replication  
*gene therapy (antineoplastic)*

abipapogène suvaplasmide

plasmide d'ADN codant une protéine de fusion E6 / E7 du papillomavirus humain de type 16, inactivée par mutation et liée à la cytokine humaine CCL3L1 (chimiokine(motif C-C) ligand 3-like 1) par l'intermédiaire d'un module de dimérisation constitué des régions charnières supérieure et inférieure, et d'un domaine de chaîne lourde invariante de l'immunoglobuline G3 (IgG3) humaine. L'expression du transgène est contrôlée par un promoteur/amplificateur du cytomégavirus (CMV), et se termine par un signal de polyadénylation de la β-globine de lapin. Le plasmide contient également un gène de résistance à la kanamycine, une séquence immunostimulante (riche en CpG) et une origine de réplication pUC  
*thérapie génique (antineoplasique)*

abipapogén suvaplásmodo

plásmido de ADN que codifica para una proteína de fusión E6/E7 del virus del papiloma humano tipo 16 inactivada por mutación y ligada a la citoquina humana CCL3L1 (ligando de quimoquina (motivo C-C) 1 similar a 3) a través de un módulo de dimerización que consiste en regiones bisagra superiores e inferiores y un dominio de la cadena pesada constante de la inmunoglobulina humana G3 (IgG3). La expresión del transgén está bajo el control de un promotor/potenciador del citomegalovirus (CMV) y terminada por una secuencia señal de poliadenilación de la β-globina de conejo. El plásmido también contiene un gen de resistencia a kanamicina, una secuencia inmunoestimuladora (rica en CpG) y un origen de replicación pUC.  
*terapia génica (antineoplásico)*

2939766-18-2

**actinium (<sup>225</sup>Ac) alpitatugum satetraxtetanum #**actinium (<sup>225</sup>Ac) alpitatug satetraxtetan

immunoglobulin G1-kappa, anti-[*Homo sapiens* KLK2 (kallikrein-2, kallikrein peptidase 2, kallikrein 2 prostatic)], humanized monoclonal antibody, conjugated to *satetraxtetan* (DOTA derivative) and radiolabelled with actinium-225; H-gamma1 heavy chain humanized (1-447) [VH (*Homo sapiens*IGHV4-28\*01 (90.7%) -(IGHD) - IGHJ1\*01 (100%), CDR-IMGT [9.7.10] (26-34.52-58.97-106)) (1-117) -*Homo sapiens*IGHG1\*03v (100%) G1m3>G1m17, nG1m1 CH1 K120, CH3 E12, M14 (CH1 R120>K (214) (118-215), hinge 1-15 (216-230), CH2 (231-340), CH3 E12 (356), M14 (358) (341-445), CHS (446-447)) (118-447)], (220-218')-disulfide

with L-kappa light chain humanized (1'-218') [V-KAPPA (*Homo sapiens* IGKV4-1\*01 (81.2%) - IGKJ2\*01 (100%), CDR-IMGT [10.3.9] (27'-36'.54'-56'.93'-101')) (1'-111') -*Homo sapiens* IGKC\*01 (100%) Km3 A45.1, V101 (C-KAPPA A45.1 (157'), V101 (195')) (112'-218')]; dimer (226-226":229-229"-) bisdisulfide, produced in Chinese hamster ovary (CHO) cells, glycoform alfa; conjugated via the side chain nitrogen of an average of 3 lysine residues to actinium ( $^{225}\text{Ac}$ ) radiolabeled *rac*-(4-{{(2R)-1,4,7,10-tetrakis(carboxymethyl)-1,4,7,10-tetraazacyclododecan-2-yl]methyl}phenyl}carbamothioyl (*satetraxetan*) *anti-kalikrein 2, antineoplastic*

actinium ( $^{225}\text{Ac}$ ) alpitatug satétraxétan

immunoglobuline G1-kappa, anti-[*Homo sapiens* KLK2 (kalikréine-2, kallikréine peptidase 2, kalikréine prostatique)], anticorps monoclonal humanisé; conjugué au *satétraxétan* (dérivé DOTA) et radiomarqué à l'actinium-225; chaîne lourde H-gamma1 humanisée (1-447) [VH (*Homo sapiens* IGHV4-28\*01 (90.7%) -(IGHD) - IGHJ1\*01 (100%), CDR-IMGT [9.7.10] (26-34.52-58.97-106)) (1-117) -*Homo sapiens*IGHG1\*03v (100%) G1m3>G1m17, nG1m1 CH1 K120, CH3 E12, M14 (CH1 R120>K (214) (118-215), charnière 1-15 (216-230), CH2 (231-340), CH3 E12 (356), M14 (358) (341-445), CHS (446-447)) (118-447)], (220-218')-disulfure avec la chaîne légère L-kappa humanisée (1'-218') [V-KAPPA (*Homo sapiens* IGKV4-1\*01 (81.2%) - IGKJ2\*01 (100%), CDR-IMGT [10.3.9] (27'-36'.54'-56'.93'-101')) (1'-111') -*Homo sapiens* IGKC\*01 (100%) Km3 A45.1, V101 (C-KAPPA A45.1 (157'), V101 (195')) (112'-218')]; dimère (226-226":229-229"-) bisdisulfure, produit dans des cellules ovariennes de hamster chinois (CHO), glycoforme alfa; conjugué par l'azote de la chaîne latérale de 3 résidus lysine en moyenne au *rac*-(4-{{(2R)-1,4,7,10-tetrakis(carboxyméthyl)-1,4,7,10-tétraazacyclododécane-2-yl]méthyl}phényl}carbamothioyl (*satétraxétan*) et radiomarqué à l'actinium ( $^{225}\text{Ac}$ ) *anti-kalikréine 2, antineoplasique*

actinio ( $^{225}\text{Ac}$ ) alpitatug satetraxetán

inmunoglobulina G1-kappa, anti-[*Homo sapiens* KLK2 (kalikréína-2, kalikréína peptidasa 2, kalikréína prostática)], anticuerpo monoclonal humanizado; conjugado con *satetraxetán* (derivado DOTA) y radiomarcado con el actinio-225; cadena pesada H-gamma1 humanizada (1-447) [VH (*Homo sapiens* IGHV4-28\*01 (90.7%) -(IGHD) - IGHJ1\*01 (100%), CDR-IMGT [9.7.10] (26-34.52-58.97-106)) (1-117) -*Homo sapiens*IGHG1\*03v (100%) G1m3>G1m17, nG1m1 CH1 K120, CH3 E12, M14 (CH1 R120>K (214) (118-215), bisagra 1-15 (216-230), CH2 (231-340), CH3 E12 (356), M14 (358) (341-445), CHS (446-447)) (118-447)], (220-218')-disulfuro con la cadena ligera L-kappa humanizada (1'-218') [V-KAPPA (*Homo sapiens* IGKV4-1\*01 (81.2%) - IGKJ2\*01 (100%), CDR-IMGT [10.3.9] (27'-36'.54'-56'.93'-101')) (1'-111') -*Homo sapiens* IGKC\*01 (100%) Km3 A45.1, V101 (C-KAPPA A45.1 (157'), V101 (195')) (112'-218')]; dímero (226-226":229-229"-)

bisdisulfuro, producido en las células ováricas de hámster chino (CHO), forma glicosilada alfa; conjugado por el nitrógeno de la cadena lateral de 3 residuos de lisina en promedio al *rac*-(4-[(2R)-1,4,7,10-tetrakis(carboximetil)-1,4,7,10-tetraazaciclododecan-2-il]metil)fenil)carbamotioil (*satetraxitán*) y radiomarcado con el actinio (<sup>225</sup>Ac)

**anticalicerina 2, antineoplásico**

2921676-06-2

Heavy chain / Chaîne lourde / Cadena pesada

QVOLQESPGV LVKPSDTLSL TCAVGSNSIT SDYAWNWIRO PPGKGLEWIG 50  
 YISYSGSTTY NPSLKSRTVM SRDTSKNQFS LKLSSVTAVD TAVYYCATGY 100  
 YYGSGFWGQG TLTVTWSASS KGPSVFPFLAP SSKSTSGGTA ALGCLVKDYF 150  
 PEPVTWSWNS GALTSGVHTF PAVLQSSGLY SLSSVVTVPSS SSSLGTQTYIC 200  
 NVNHPKSNTR VDKKVEPKSC DKTHTCPPCP APELLGGPSV FLFPKKPKDT 250  
 LMISRTPEVT CVVVVDVSHED PEVKFNWYVD GVEVHNAAKTK PREEQYNSTY 300  
 RVVSVLTVLH QDWLNREYK CKVSNKALPA PIERTISKAK GQPREPQVYT 350  
 LPPSREEMTK NQVSLTCLVK GFYPSDIAVE WESNGQPENN YKTTTPVQLDS 400  
 DGSSFFLYSKL TVDKSRWQQG NVFSCSVMHE ALHNHYTQKS LSLSPGK 447

Light chain / Chaîne légère / Cadena ligera

DIVLTQSPDS LAVSLGERAT INCKASESVE YFGTSLMHWY QQKPGQPPKL 50  
 LIYAASNRES GVPDRFSGSG SGTDFTLTIS SLQAEDVAVY YCQQQTRKVY 100  
 TFCQGTTKLEI KRTVAAPSVF IFPPSDEQLK SGTAHSVCLL NNFYFREAKV 150  
 QWKVDNALQSGNSQESVTEQD SKDSTYSLS STLTLSKADY EHKHVYACEV 200  
 THQGLSSPVTKSFSRQCG 218

**Post-translational modifications**

Disulfide bridges location / Position des ponts disulfure / Posiciones de los puentes disulfuro  
 Intra-H (C23-C104) 22-96 144-200 261-321 367-425

22"-96" 144"-200" 261"-321" 367"-425"

Intra-L (C23-C104) 23"-92" 138"-198"

23"-92"" 138"-198""

Inter-H-L (h 5-CL 126) 220-218" 220"-218"

Inter-H-H (h 11, h 14) 226-226" 229-229"

N-terminal glutaminyl cyclization / Cyclisation du glutaminyle N-terminal / Ciclación del glutaminilo N-terminal

Q > pyroglutamyl (pE, 5-oxoprolyl) / pyroglutamyle (pE, 5-oxoprolyle) / piroglutamilo (pE, 5-oxoprolilo)  
 H VH Q1: 1, 1"

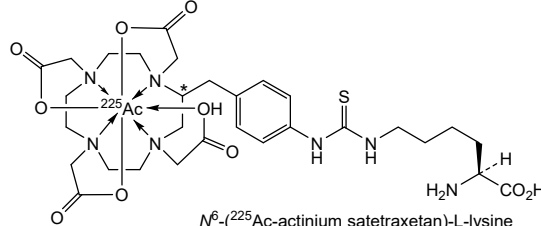
N-glycosylation sites / Sites de N-glycosylation / Posiciones de N-glicosilación  
 H CH2 N84:4. 297, 297"

Fucosylated complex bi-antennary CHO-type glycans / glycanes de type CHO bi-antennaires complexes fucosylés / glicanos de tipo CHO biantenarios complejos fucosilados

C-terminal lysine clipping / Coupe de la lysine C-terminale / Recorte de lisina C-terminal  
 H CHS K2: 447, 447"

Potential modified residues / résidus modifiés potentiels / restos modificados potenciales\*

K (65,246,248,392,49",130",211",65",246",248",392",49",130",211")

\*(*satetraxitán*):mAb ~ 3:1)

**adargiminasum #**

**adargiminase** L-methionyl albumin binding domain fragment (2-47 in the current sequence) derived from protein G of *Streptococcus* sp. G148 fused via peptide linker <sup>48</sup>SGSNNNNNGSGG<sup>60</sup> to *Mycoplasma arginini* arginine deiminase (EC:3.5.3.6, arginine dihydrolase) (61-469 in the current sequence), produced in *Escherichia coli* *antineoplastic*

**adargiminase** L-méthionyl fragment du domaine de liaison à l'albumine (2-47 dans la séquence actuelle) dérivé de la protéine G de *Streptococcus* sp. G148 fusionné, via un peptide liant <sup>48</sup>SGSNNNNNGSGG<sup>60</sup>, à l'arginine désiminase de *Mycoplasma arginini* (EC:3.5.3.6, arginine dihydrolase) (61-469 dans la séquence actuelle), produit chez *Escherichia coli* *antinéoplasique*

**adargiminasa** L-metionil fragmento del dominio de unión a albúmina (2-47 en la secuencia actual) derivado de la proteína G de *Streptococcus* sp. G148 fusionado a través del enlace peptídico <sup>48</sup>SGSNNNNNGSGG<sup>60</sup> al *Mycoplasma arginini* arginina deiminasa (EC:3.5.3.6, arginina dihidrolasa) (61-469 en la secuencia actual), producido en *Escherichia coli* *antineoplásico*

2756760-23-1

## Sequence / Séquence / Secuencia

<b>MLAEAKVLAN REELDKYGVSD YYKLNLIINNAK TVEGVVKALID EILAAALPSGS</b>	50
<b>NNNNNNNGSGG SVFDSKFKG</b> I HVYSEIGELE SVLVHEPGRE IDYITPARLD	100
EELFSAILS HDARKEHKQF VAEKLANDIN VVELIDLVAE TYDLASQEAK	150
DKLIEEFLED SEPVLSEEHH VVVRNFLKAK KTSRELVEIM MAGITKYD LG	200
IEADHELIVD PMPNLYFTRD PFASVGNGVT IHYMRYKV RQ RETLFSRFVF	250
SNHPKLIINTP WYYDPSLKL S IEGGDVFIYN NDTLVVGSE RTDLQTVTLL	300
AKNIVANKEC EFKRIVAINV PKWTNL MHD TWLTMLDK DK FLYSPIAND	350
FKFWDYDLVN GGAEPOPVEN GLPLEGLIQS IINKKPVLIP IAGEGASOME	400
IERETHFDGT NYLAIRPGVV IGYSNEKTN AA LEAAGIKV LPFHGNQLSL	450
GMGNARCM SM PLSRKDV KW	469

Peptide linker / Peptide liant / Péptido de unión  
<sup>48</sup>SGSNNNNNGSGG<sup>60</sup>

## Post-translational modifications

none / aucun / ninguna

**afimkibartum #**

**afimkibart** immunoglobulin G1-kappa, anti-[*Homo sapiens* TNFSF15 (tumor necrosis factor (TNF) superfamily member 15, vascular endothelial cell growth inhibitor, VEGI, VEGI192A, TNF superfamily ligand TL1A)], *Homo sapiens* monoclonal antibody; H-gamma1 heavy chain *Homo sapiens* (1-453) [VH (*Homo sapiens*IGHV1-18\*01 (92.9%) -(IGHD) -IGHJ3\*01 (92.3%) M123>T (119), CDR-IMGT [8.8.17] (26-33.51-58.97-113)) (1-124) -*Homo sapiens*IGHG1\*03v, G1m3>G1m17, nG1m1 CH1 K120, CH3 E12, M14, G1v14-1 CH2 A1.3, A1.2, A1 (CH1 R120>K (221) (125-222), hinge 1-15 (223-237), CH2 L1.3>A (241), L1.2>A (242), G1>A (244)(238-347), CH3 E12 (363), M14 (365) (348-452), CHS K2>del (453)) (125-453)], (227-214')-disulfide with L-kappa light chain *Homo sapiens* (1'-214') [V-KAPPA (*Homo sapiens*IGKV3-11\*01 (100%) -IGKJ1\*01 (100%), CDR-IMGT [6.3.9] (27'-32'.50'.52'.89'.97')) (1'-107') -*Homo sapiens*IGKC\*01 (100%) Km3 A45.1, V101 (C-KAPPA A45.1 (153'), V101 (191')) (108'-214')]; dimer (233-233":236-236")-bisdisulfide, produced in Chinese hamster ovary (CHO) cells, cell line CHO-K1SV lacking the glutamine synthetase (GS-KO) gene, glycoform alfa *tumor necrosis factor-like ligand 1A (TL1A) blocker, anti-inflammatory*

afimkibart	immunoglobuline G1-kappa, anti-[ <i>Homo sapiens</i> TNFSF15 (membre 15 de la superfamille du facteur de nécrose tumorale (TNF), inhibiteur de la croissance des cellules endothéliales vasculaires, VEGI, VEGI192A, ligand TL1A de la superfamille du TNF)], anticorps monoclonal <i>Homo sapiens</i> ; chaîne lourde H-gamma1 <i>Homo sapiens</i> (1-453) [VH ( <i>Homo sapiens</i> IGHV1-18*01 (92.9%)-(IGHD) - IGHJ3*01 (92.3%) M123>T (119), CDR-IMGT [8.8.17] (26-33.51-58.97-113)) (1-124) - <i>Homo sapiens</i> IGHG1*03v, G1m3>G1m17, nG1m1 CH1 K120, CH3 E12, M14, G1v14-1 CH2 A1.3, A1.2, A1 (CH1 R120>K (221) (125-222), charnière 1-15 (223-237), CH2 L1.3>A (241), L1.2>A (242), G1>A (244)(238-347), CH3 E12 (363), M14 (365) (348-452), CHS K2>del (453)) (125-453)], (227-214')-disulfure avec la chaîne légère L-kappa <i>Homo sapiens</i> (1'-214') [V-KAPPA ( <i>Homo sapiens</i> IGKV3-11*01 (100%) -IGKJ1*01 (100%), CDR-IMGT [6.3.9] (27'-32'.50'-52'.89'-97')) (1'-107') - <i>Homo sapiens</i> IGKC*01 (100%) Km3 A45.1, V101 (C-KAPPA A45.1 (153'), V101 (191')) (108'-214')]; dimère (233-233":236-236")-bisdisulfure, produit dans des cellules ovarianes de hamster chinois (CHO), lignée cellulaire CHO-K1SV ne présentant pas le gène de la glutamine synthétase (GS-KO), glycoforme alfa <i>bloqueur du ligand 1A (TL1A) de type facteur de nécrose tumorale, anti-inflammatoire</i>
afimkibart	immunoglobulina G1-kappa, anti-[ <i>Homo sapiens</i> TNFSF15 (miembro 15 de la superfamilia del factor de necrosis tumoral (TNF), inhibidor del crecimiento de las células endoteliales vasculares, VEGI, VEGI192A, ligando TL1A de la superfamilia del TNF)], anticuerpo monoclonal <i>Homo sapiens</i> ; cadena pesada H-gamma1 <i>Homo sapiens</i> (1-453) [VH ( <i>Homo sapiens</i> IGHV1-18*01 (92.9%)-(IGHD) - IGHJ3*01 (92.3%) M123>T (119), CDR-IMGT [8.8.17] (26-33.51-58.97-113)) (1-124) - <i>Homo sapiens</i> IGHG1*03v, G1m3>G1m17, nG1m1 CH1 K120, CH3 E12, M14, G1v14-1 CH2 A1.3, A1.2, A1 (CH1 R120>K (221) (125-222), bisagra 1-15 (223-237), CH2 L1.3>A (241), L1.2>A (242), G1>A (244)(238-347), CH3 E12 (363), M14 (365) (348-452), CHS K2>del (453)) (125-453)], (227-214')-disulfuro con la cadena ligera L-kappa <i>Homo sapiens</i> (1'-214') [V-KAPPA ( <i>Homo sapiens</i> IGKV3-11*01 (100%) -IGKJ1*01 (100%), CDR-IMGT [6.3.9] (27'-32'.50'-52'.89'-97')) (1'-107') - <i>Homo sapiens</i> IGKC*01 (100%) Km3 A45.1, V101 (C-KAPPA A45.1 (153'), V101 (191')) (108'-214')]; dímero (233-233":236-236")-bisdisulfuro, producido en las células ováricas de hámster chino (CHO), línea celular CHO-K1SV en ausencia del gen de la glutamina sintetasa (GS-KO), forma glicosilada alfa <i>bloqueador del ligando 1A (TL1A) del factor de necrosis tumoral, antiinflamatorio</i>

2911580-96-4

## Heavy chain / Chaîne lourde / Cadena pesada

QVQLVQSGAE VVKPGASVKV SCKASGYDFT YYGISWVRQA PGQGLEWMGW 50  
 ISTYNGNTHY ARMLQGRVTM TTDTSRTRAY MELRSLRSDD TAVYYCAREN 100  
 YYGSGAYRGG MDVWGQGTTV TVSSASTKGP SVFPLAPSSK STSGGTAALG 150  
 CLVKDYFPEP VTWSWNNSGAL TSGVHTFPAV LQSSGLYSLS SVTVPSSSL 200  
 GTQTYYICNVN HKPSNTKVKD KVEPKSCDKT HTCPCPAPE AAGAPSFLF 250  
 PPKPKDITLMI SRTPEVTCVV VDVSHEDPEV KFNWYVDGVE VHNAKTKPRE 300  
 EQYNSTYRVV SVLTVLHQDW LNGKEYKCKV SNKALPAPIE KTISKAKGQP 350  
 REPOVYTLPP SREEMTKNQV SLTCLVKGFY PSDIAVEWES NGQPENNYKT 400  
 TPPVLDSDGS FFLYSKLTVD KSRWQQGNVF SCSVMHEALH NYHTQKSLSL 450  
 SPG 453

## Light chain / Chaîne légère / Cadena ligera

EIVLTQSPAT LSLSPGERAT LSCRASQSVS SYLAWYQQKQP GQAPRLLIYD 50  
 ASN RATGIPA RFGSGSGTD FTLTISLEP EDFAVYYCQQ RSNWPWTFGQ 100  
 GTKVEIKRTV AAPSVFIFPP SDEQLKSGTA SVVCCLNNFY PREAKVQWKV 150  
 DNALQSGNSQ ESVTEQDSKD STYSLSSLT LSKADYEKHK VYACEVTHQG 200  
 LSSPVTKFSN RGEc 214

## Post-translational modifications

Disulfide bridges location / Position des ponts disulfure / Posiciones de los puentes disulfuro  
 Intra-H (C23-C104) 22-96 151-207 268-328 374-432  
 22"-96" 151"-207" 268"-328" 374"-432"  
 Intra-L (C23-C104) 23"-88" 134"-194"  
 23"-88" 134"-194"  
 Inter-H-L (h 5-CL 126) 227-214' 227"-214"  
 Inter-H-H (h 11, h 14) 233-233" 236-236"

N-terminal glutaminyl cyclization / Cyclisation du glutaminyle N-terminal / Ciclación del glutamino N-terminal  
 Q > pyroglutamyl (pE, 5-oxoprolyl) / pyroglutamyle (pE, 5-oxoprolyle) / piroglutamilo (pE, 5-oxoprolilo)  
 H VH Q1: 1, 1"

N-glycosylation sites / Sites de N-glycosylation / Posiciones de N-glicosilación  
 H CH2 N84:4: 304, 304"  
 Fucosylated complex bi-antennary CHO-type glycans / glycanes de tipo CHO bi-antennaires complexes fucosylés / glicanos de tipo CHO biantenarios complejos fucosilados

## alcestobartum #

alcestobart

immunoglobulin G4-kappa, anti-[*Homo sapiens* LAG3 (lymphocyte activating 3, lymphocyte-activation 3, CD223)], *Homo sapiens* monoclonal antibody;  
 H-gamma4 heavy chain *Homo sapiens* (1-439) [VH (*Homo sapiens*IGHV3-20\*04 (91.8%) -(IGHD)-IGHJ4\*01 (100%), CDR-IMGT [8.8.5] (26-33.51-58.97-101)) (1-112) -*Homo sapiens*IGHG4\*01, nG4m(a) CH2 L92, G4v5 h P10(CH1 (113-210), hinge 1-12 S10>P (220) (211-222), CH2 L92 (301) (223-332), CH3 (333-437), CHS (438-439)) (113-439)], (126-215')-disulfide with L-kappa light chain *Homo sapiens* (1'-215') [V-KAPPA (*Homo sapiens*IGKV1-39\*01 (95.8%) -IGKJ2\*01 (81.8%) EIK125-127>TVLG (105'-108'), CDR-IMGT [6.3.9] (27'-32'.50'-52'.89'-97')) (1'-108') -*Homo sapiens*IGKC\*01 (100%) Km3 A45.1, V101 (C-KAPPA A45.1 (154'), V101 (192')) (109'-215')]; dimer (218-218":221-221")-bisdisulfide, produced in Chinese hamster ovary (CHO) cells, cell line CHO-K1, glycoform alfa  
*immunostimulant, antineoplastic*

alcestobart

immunoglobuline G4-kappa, anti-[*Homo sapiens* LAG3 (activateur 3 des lymphocytes, lymphocyte-activation 3, CD223)], anticorps monoclonal *Homo sapiens*;  
 chaîne lourde H-gamma4 *Homo sapiens* (1-439) [VH (*Homo sapiens*IGHV3-20\*04 (91.8%) -(IGHD)-IGHJ4\*01 (100%), CDR-IMGT [8.8.5] (26-33.51-58.97-101)) (1-112)-*Homo sapiens*IGHG4\*01, nG4m(a) CH2 L92, G4v5 h P10(CH1 (113-210), charnière 1-12 S10>P (220) (211-222), CH2 L92 (301) (223-332),

CH3 (333-437), CHS (438-439)] (113-439)], (126-215')-disulfure avec la chaîne légère L-kappa *Homo sapiens* (1'-215') [V-KAPPA (*Homo sapiens* IGKV1-39\*01 (95.8%) -IGKJ2\*01 (81.8%) EIK125-127>TVLG (105'-108'), CDR-IMGT [6.3.9] (27'-32'.50'-52'.89'-97')) (1'-108') -*Homo sapiens* IGKC\*01 (100%) Km3 A45.1, V101 (C-KAPPA A45.1 (154'), V101 (192')) (109'-215')]; dimère (218-218":221-221")-bisdisulfure, produit dans des cellules ovarianes de hamster chinois (CHO), lignée cellulaire CHO-K1, glycoforme alfa immunostimulant, antineoplastique

## alcestobart

inmunoglobulina G4-kappa, anti-[*Homo sapiens* LAG3 (activador 3 de los linfocitos, linfocito-activación 3, CD223)], anticuerpo monoclonal *Homo sapiens*; cadena pesada H-gamma4 *Homo sapiens* (1-439) [VH (*Homo sapiens* IGHV3-20\*04 (91.8%) -(IGHD) -IGHJ4\*01 (100%), CDR-IMGT [8.8.5] (26-33.51-58.97-101)) (1-112) -*Homo sapiens* IGHG4\*01, nG4m(a) CH2 L92, G4v5 h P10(CH1 (113-210), bisagra 1-12 S10>P (220) (211-222), CH2 L92 (301) (223-332), CH3 (333-437), CHS (438-439)] (113-439)], (126-215')-disulfuro con la cadena ligera L-kappa *Homo sapiens* (1'-215') [V-KAPPA (*Homo sapiens* IGKV1-39\*01 (95.8%) -IGKJ2\*01 (81.8%) EIK125-127>TVLG (105'-108'), CDR-IMGT [6.3.9] (27'-32'.50'-52'.89'-97')) (1'-108') -*Homo sapiens* IGKC\*01 (100%) Km3 A45.1, V101 (C-KAPPA A45.1 (154'), V101 (192')) (109'-215')]; dímero (218-218":221-221")-bisdisulfuro, producido en las células ováricas de hámster chino (CHO), línea celular CHO-K1, forma glicosilada alfa inmunoestimulante, antineoplásico

2888563-73-1

## Heavy chain / Chaîne lourde / Cadena pesada

QVQLQESGGG	VVRPGSSRLR	SCAASGFTFD	DYGMSWRQQA	PGKGLEWVSG	50
INWGGGSTYY	ADSVKGRTSI	SRDNNSKNTLY	LQMNNSLRAED	TAVYYCATGG	100
YWGQGTVTW	SSASTKGPSPV	FPLAPCSRST	SESTAALGCL	VKDYFPEPV	150
VSNWNSGALT	GVHTTFAVLIQ	SSGLYLSLSSV	VTVPFSSLLGT	KTYTCNVDHK	200
PSNTKVDKRV	ESKYGPCCPP	CAPAEFLGPP	SVFLEPKPKP	DTLMISRTP	250
CTCVVUDVBSQ	EDPEVQFNWY	VGDFGEVHNAAK	TKPREEQFN	TYRVVSVLTV	300
LHQDWLNGKE	YKCKVSNKGL	PSSIEKTISK	AKGQPREFQV	YTLPSSQEEM	350
TKNQVSITCL	VKGFYPSDIA	VEWESENQPE	NNYKTTFPVL	DSDGSFFLYS	400
RLTVDKSRWQ	EGNVFSCSVM	HEALHNHYTQ	KSLSLSLGK		439

## Light chain / Chaîne légère / Cadena ligera

DIRLTQSPSP	LSASVGDRTV	ITCRASQSIS	SYLNWYQQKP	GKAPKLLIYA	50
ASSLQQGGVPS	RFGSGSGSGTD	FTLTISLQP	EDSATYYCQQ	SYSTPYTFQ	100
GTKLTIVLGR	VAAVPSFIIP	PSDEQLKSGT	ASVCLLNNF	YPREAKVQWK	150
VNALAQSGNS	QESTTEQDSK	DSTYLSSSL	TLSKADYEKH	KVYACEVTHQ	200
GLSSPVTKSF	NRGEC				215

## Post-translational modifications

Disulfide bridges location / Position des ponts disulfure / Posiciones de los puentes disulfuro

Intra-H (C23-C104)	22-96	139-195	253-313	359-417	
	22"-96"	139"-195"	253"-313"	359"-417"	
Intra-L (C23-C104)	23-88	135"-195"			
	23"-88"	135"-195"			
Inter-H-L (CH1 10-CL 126)	126-215'	126"-215"			
Inter-H-H (h 8, h 11)	218-218"	221-221"			

## N-terminal glutaminyl cyclization / Cyclisation du glutaminyle N-terminal / Ciclación del glutamínico N-terminal

Q > pyroglutamyl (pE, 5-oxoprolyl) / pyroglutamyl (pE, 5-oxoprolyle) / piroglutamilo (pE, 5-oxoprolilo)  
H VH Q1: 1, 1"

N-glycosylation sites / Sites de N-glycosylation / Posiciones de N-glicosilación  
VH N57: 52, 52"

No glycans / Pas de glycane / Sin glicanos

H CH2 N84.4: 289, 289"

Fucosylated complex bi-antennary CHO-type glycans / glycane de type CHO bi-antennaires complexes fucosyles / glicanos de tipo CHO biantenarios complejos fucosilados

C-terminal lysine clipping / Coupe de la lysine C-terminale / Recorte de lisina C-terminal  
H CHS K2: 439, 439"

**aleniglipronum**

aleniglipron

( $3^4S,6^1S,6^2S$ )-1<sup>4</sup>-(diethylphosphoryl)-3<sup>2</sup>-(4-fluoro-3,5-dimethylphenyl)-3<sup>4</sup>,6<sup>2</sup>-dimethyl-1<sup>3</sup>-(methylamino)-5<sup>5</sup>-(oxan-4-yl)-3<sup>2</sup>,3<sup>4</sup>,3<sup>6</sup>,3<sup>7</sup>-tetrahydro-2<sup>2</sup>H-3(3,5)-pyrazolo[4,3-c]pyridina-5(2,1)-indola-7(3)-[1,2,4]oxadiazola-2(1,3)-imidazola-1(1)-benzena-6(1,1)-cyclopropanaheptaphane-2<sup>2</sup>,4,7<sup>5</sup>(7<sup>2</sup>H)-trione  
glucagon-like peptide 1 (GLP-1) receptor agonist

aléniglipron

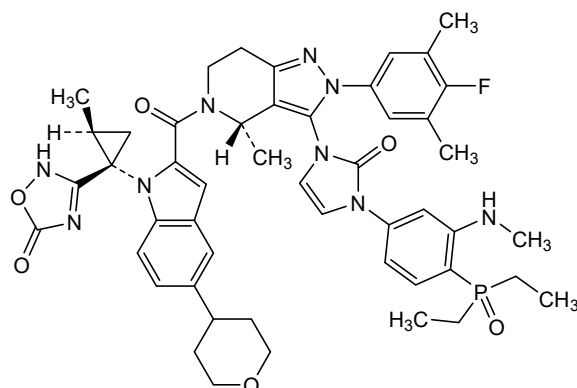
( $3^4S,6^1S,6^2S$ )-1<sup>4</sup>-(diethylphosphoryl)-3<sup>2</sup>-(4-fluoro-3,5-dimethylphenyl)-3<sup>4</sup>,6<sup>2</sup>-dimethyl-1<sup>3</sup>-(methylamino)-5<sup>5</sup>-(oxan-4-yl)-3<sup>2</sup>,3<sup>4</sup>,3<sup>6</sup>,3<sup>7</sup>-tetrahydro-2<sup>2</sup>H-3(3,5)-pyrazolo[4,3-c]pyridina-5(2,1)-indola-7(3)-[1,2,4]oxadiazola-2(1,3)-imidazola-1(1)-benzena-6(1,1)-cyclopropanaheptaphane-2<sup>2</sup>,4,7<sup>5</sup>(7<sup>2</sup>H)-trione  
agoniste du récepteur du peptide 1 du type glucagon (GLP-1)

alenigliprón

( $3^4S,6^1S,6^2S$ )-1<sup>4</sup>-(dietflosforil)-3<sup>2</sup>-(4-fluoro-3,5-dimetilfenil)-3<sup>4</sup>,6<sup>2</sup>-dimetil-1<sup>3</sup>-(metilamino)-5<sup>5</sup>-(oxan-4-il)-3<sup>2</sup>,3<sup>4</sup>,3<sup>6</sup>,3<sup>7</sup>-tetrahidro-3(3,5)-pirazolo[4,3-c]piridina-5(2,1)-indola-7(3)-[1,2,4]oxadiazola-2(1,3)-imidazola-1(1)-bencena-6(1,1)-ciclopropanaheptafano-2<sup>2</sup>,4,7<sup>5</sup>(7<sup>2</sup>H)-triona  
agonista del receptor del péptido 1 similar al glucagón (GLP-1)

C<sub>49</sub>H<sub>55</sub>FN<sub>9</sub>O<sub>6</sub>P

2685823-26-9

**aletekitugum #**

aletekitug

immunoglobulin G1-kappa, anti-[*Homo sapiens* IL18 (interleukin 18, IL-18, interferon gamma-inducing factor, IGF, interleukin-1 gamma, IL1G, IL1F4)], humanized monoclonal antibody; H-gamma1 heavy chain humanized (1-456) [VH (*Homo sapiens*IGHV1-24\*01 (82.7%) -(IGHD) -IGHJ1\*01 (100%), CDR-IMGT [8.8.19] (26-33.51-58.97-115)) (1-126) -*Homo sapiens*IGHG1\*01 (100%) G1m17,1 CH1 K120, CH3 D12, L14 (CH1 K120 (223) (127-224), hinge 1-15 (225-239), CH2 (240-349), CH3 D12 (365), L14 (367) (350-454), CHS (455-456)) (127-456)], (229-214')-disulfide with L-kappa light chain humanized (1'-214') [V-KAPPA (*Homo sapiens* IGKV1-12\*01 (83.2%) -IGKJ2\*01 (100%), CDR-IMGT [6.3.9] (27'-32'.50'-52'.89'-97')) (1'-107') -*Homo sapiens* IGKC\*01 (100%), Km3 A45.1, V101 (C-KAPPA A45.1 (153'), V101 (191')) (108'-214')]; dimer (235-235":238-238")-bisdisulfide, produced in Chinese hamster ovary (CHO) cells, cell line CHO-DG44, glycoform alfa  
anti-inflammatory

alétékitug	immunoglobuline G1-kappa, anti-[ <i>Homo sapiens</i> IL18 (interleukine 18, IL-18, facteur inducteur d'interferon gamma, IGF, interleukine-1 gamma, IL-1G, IL1F4)], anticorps monoclonal humanisé; chaîne lourde H-gamma1 humanisée (1-456) [VH ( <i>Homo sapiens</i> IGHV1-24*01 (82.7%) -(IGHD) -IGHJ1*01 (100%), CDR-IMGT [8.8.19] (26-33.51-58.97-115)) (1-126) - <i>Homo sapiens</i> IGHG1*01 (100%) G1m17,1 CH1 K120, CH3 D12, L14 (CH1 K120 (223) (127-224), charnière 1-15 (225-239), CH2 (240-349), CH3 D12 (365), L14 (367) (350-454), CHS (455-456)) (127-456)], (229-214')- disulfure avec la chaîne légère L-kappa humanisée (1'-214') [V-KAPPA ( <i>Homo sapiens</i> IGKV1-12*01 (83.2%) -IGKJ2*01 (100%), CDR-IMGT [6.3.9] (27'-32'.50'-52'.89'-97')) (1'-107') - <i>Homo sapiens</i> IGKC*01 (100%) Km3 A45.1, V101 (C-KAPPA A45.1 (153'), V101 (191')) (108'-214')]; dimère (235-235":238-238")-bisdisulfure, produit dans des cellules ovarianes de hamster chinois (CHO), lignée cellulaire CHO-DG44, glycoforme alfa <i>anti-inflammatoire</i>
aletekitug	inmunoglobulina G1-kappa, anti-[ <i>Homo sapiens</i> IL18 (interleukina 18, IL-18, factor inductor del interferón gamma, IGF, interleukina-1 gamma, IL-1G, IL1F4)], anticuerpo monoclonal humanizado; cadena pesada H-gamma1 humanizada (1-456) [VH ( <i>Homo sapiens</i> IGHV1-24*01 (82.7%) -(IGHD) -IGHJ1*01 (100%), CDR-IMGT [8.8.19] (26-33.51-58.97-115)) (1-126) - <i>Homo sapiens</i> IGHG1*01 (100%) G1m17,1 CH1 K120, CH3 D12, L14 (CH1 K120 (223) (127-224), bisagra 1-15 (225-239), CH2 (240-349), CH3 D12 (365), L14 (367) (350-454), CHS (455-456)) (127-456)], (229-214')-disulfuro con la cadena ligera L-kappa humanizada (1'-214') [V-KAPPA ( <i>Homo sapiens</i> IGKV1-12*01 (83.2%) -IGKJ2*01 (100%), CDR-IMGT [6.3.9] (27'-32'.50'-52'.89'-97')) (1'-107') - <i>Homo sapiens</i> IGKC*01 (100%) Km3 A45.1, V101 (C-KAPPA A45.1 (153'), V101 (191')) (108'-214')]; dímero (235-235":238-238")-bisdisulfuro, producido en las células ováricas de hámster chino (CHO), línea celular CHO-DG44, forma glicosilada alfa <i>antiinflamatorio</i>
	2923284-67-5
	Heavy chain / Chaîne lourde / Cadena pesada QVQLVQSGAE VKKPGASVKV SCKVSGEIST GYYFHWVRQA PGKGLEWMGR 50 IDPEDDSTKY AERFKDRVTM TEDTSTDATY MELSSLRSED TAVYVCTTWR 100 IYRDSGRPFR YVMDANGQGT LTVVSSASTK GPSVFFLAPS SKSTSGGTAA 150 LGCLVKDYFP EPVTWSWNNG ALTSGWHTFP AVLQSSGLYS LSSVVTVPSS 200 SLGTQTYICN VNHHPSNTKV DKKVEPKSCD KTHTCPPCPA PELLGGPSVF 250 LFPKPKPKDTL MISRTPEVTC VVVVDVSHEDP EVKFNWYVDG VEVHNNAKTP 300 REEQYNSTYR VVSVLTVLHQ DWLNGKEYKC KVSNKALPAP IEKTISAKAG 350 QPREQVYTLL PPSRDELTKN QVSLTCLVKG FYEPSDIAVEW ESNQGPENNY 400 KTPPPVLDSD GSFFLYSKLT VDKSRWQQGN VFSCSVMHEA LHNHYTQKSL 450 SLSPGK 456
	Light chain / Chaîne légère / Cadena ligera DIQMTQSPSS VSASVGRVRPT ITCLASEDIY TYLTWYQQKP GKAPKLLIYG 50 ANKLQDGVPFS RFGSGSGTD YTILTQLP EDFATYYCLQ GSKFPLTFQG 100 GPKLEIRRTV AAPSFVIFPP SDEQLKSGTA SVVCLNNFY PREAKVQWKV 150 DNAQSGNSQ ESEVTEQDSRD STYSLSSLT LSKADYERHKH VYACEVTHQG 200 LSSPVTKFSN RGEQ 214
	<b>Post-translational modifications</b> Disulfide bridges location / Position des ponts disulfure / Posiciones de los puentes disulfuro Intra-H (C23-C104) 22"-96" 153-209" 270-330" 376-434" 22"-96" 153"-209" 270"-330" 376"-434" Intra-L (C23-C104) 23"-88" 134"-194" 23"-88" 134"-194" Inter-H-L (h 5-CL 126) 229-214" 229"-214" Inter-H-H (h 11, h 14) 235-235" 238-238"
	N-terminal glutaminyl cyclization / Cyclisation du glutaminyle N-terminal / Ciclación del glutaminilo N-terminal Q > pyroglutamyl (pE, 5-oxopropyl) / pyroglutamyle (pE, 5-oxopropyle) / piroglutamilo (pE, 5-oxopropilo) H VH Q1: 1, 1"
	N-glycosylation sites / Sites de N-glycosylation / Posiciones de N-glicosilación H CH2 N84.4: 306, 306" Fucosylated complex bi-antennary CHO-type glycans / glycanes de type CHO bi-antennaires complexes fucosylés / glicanos de tipo CHO biantenarios complejos fucosilados
	C-terminal lysine clipping / Coupure de la lysine C-terminale / Recorte de lisina C-terminal H CHS K2: 456, 456"

## **alizulatidum vixocianinum**

## alizulatide vixocianine

*N*-{6-[(2*E*)*–*2-*{*(2*E*,4*S*,6*S*)*–*7-*[*1,1-dimethyl-3-(4-sulfonatobutyl)-1*H*-benzo[*e*]indol-3-i<sup>um</sup>-2*y**l**Y*]*hepta*-2,4,6-trienylidene]}-1,1-dimethyl-1,2-dihydro-3*H*-benzo[*e*]indol-3*y**l**Y*]*hexanoyl**Y**l**–**L**–**α*-glutamyl*L**–**α*-glutamyl*L**–**α*-aspartyl-3-cyclohexyl*L**–**alanyl**L**–**phenylalanyl**D**–**seryl**D**–**arginyl**L**–**tyrosyl**L**–**leucyl**L**–**tryptophyl**L**–**serine*  
*diagnostic imaging agent*

## alizulatide vixocianine

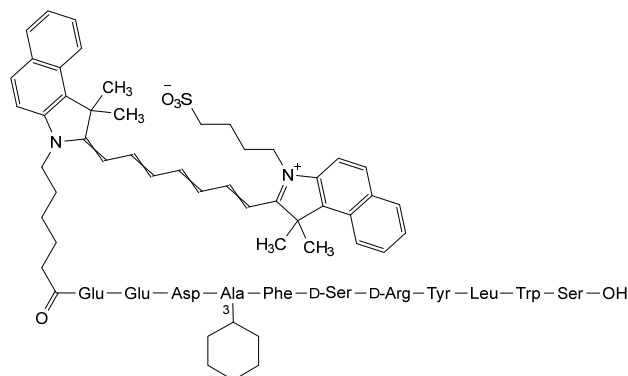
*N*-{6-[(2*E*)*–*2-*{*(2*E*,4*S*,6*S*)*–*7-*[*1,1-diméthyl-3-(4-sulfonatobutyl)-1*H*-benzo[*e*]indol-3-iium-2-yl]hepta-2,4,6-trien-1-ylidène*–*1,1-diméthyl-1,2-dihydro-3*H*-benzo[*e*]indol-3-yl]hexanoyl}-L- $\alpha$ -glutamyl-L- $\alpha$ -glutamyl-L- $\alpha$ -aspartyl-3-cyclohexyl-L-alanyl-L-phénylalanyl-D-séryl-D-arginyl-L-tyrosyl-L-leucyl-L-tryptophyl-L-sérine  
agent d'imagerie diagnostique

alizulatida vixocianina

*N*-{6-[(2*E*)*–*2-*{*(2*E*,4*E*,6*E*)–3*E*–}–7-[1,1-dimetil-3-(4-sulfonatobutil)-1*H*–benzo[*e*]indol-3-*io*-2-*il*]*–*hepta-2,4,6-trien-1-ilideno]}-1,1-dimetil-1,2-dihidro-3*H*–benzo[*e*]indol-3-*il*]hexanoilo}–L- $\alpha$ -glutamil-L- $\alpha$ -glutamil-L- $\alpha$ -aspartil-3-ciclohexil-L-alanil-L-fenilalanil-D-seril-D-arginil-L-tyrosil-L-leucil-L-triptofil-L-serina  
*agente de diagnóstico*

$$\text{C}_{115}\text{H}_{145}\text{N}_{17}\text{O}_{25}\text{S}$$

2924859-51-6



alpitatuqum #

### **alpitatuq**

immunoglobulin G1-kappa, anti-[*Homo sapiens* KLK2 (kallikrein-2, kallikrein peptidase 2, kallikrein 2 prostatic)], humanized monoclonal antibody;  
H-gamma1 heavy chain humanized (1-447) [VH (*Homo sapiens*IGHV4-28\*01 (90.7%) -(IGHD) -IGHJ1\*01 (100%), CDR-IMGT [9.7.10] (26-34.52-58.97-106)) (1-117) -*Homo sapiens*IGHG1\*03v (100%) G1m3>G1m17, nG1m1 CH1 K120, CH3 E12, M14 (CH1 R120>K (214) (118-215), hinge 1-15 (216-230), CH2 (231-340), CH3 E12 (356), M14 (358) (341-445), CHS (446-447)) (118-447)], (220-218')-disulfide with L-kappa light chain humanized (1'-218') [V-KAPPA (*Homo sapiens*IGKV4-1\*01 (81.2%) -IGKJ2\*01 (100%), CDR-IMGT [10.3.9] (27'-36'.54'-56'.93'-101')) (1'-111') -*Homo sapiens*IGKC\*01 (100%) Km3 A45.1, V101 (C-KAPPA A45.1 (157'), V101 (195')) (112'-218')]; dimer (226-226":229-229")-bisdisulfide, produced in Chinese hamster ovary (CHO) cells, glycoform alfa  
*anti-kallikrein 2*

alpitatug immunoglobuline G1-kappa, anti-[*Homo sapiens* KLK2 (kallikréine-2, kallikréine peptidase 2, kallikréine prostatique)], anticorps monoclonal humanisé; chaîne lourde H-gamma1 humanisée (1-447) [VH (*Homo sapiens*IGHV4-28\*01 (90.7%) -(IGHD) -IGHJ1\*01 (100%), CDR-IMGT [9.7.10] (26-34.52-58.97-106)) (1-117) -*Homo sapiens*IGHG1\*03v (100%) G1m3>G1m17, nG1m1 CH1 K120, CH3 E12, M14 (CH1 R120>K (214) (118-215), charnière 1-15 (216-230), CH2 (231-340), CH3 E12 (356), M14 (358) (341-445), CHS (446-447)) (118-447)], (220-218')-disulfure avec la chaîne légère L-kappa humanisée (1'-218') [V-KAPPA (*Homo sapiens*IGKV4-1\*01 (81.2%) -IGKJ2\*01 (100%), CDR-IMGT [10.3.9] (27'-36'.54'-56'.93'-101')) (1'-111') -*Homo sapiens*IGKC\*01 (100%) Km3 A45.1, V101 (C-KAPPA A45.1 (157'), V101 (195')) (112'-218')]; dimère (226-226":229-229")-bisdisulfure, produit dans des cellules ovarianes de hamster chinois (CHO), glycoforme alfa  
anti-kalikréine 2

alpitatug inmunoglobulina G1-kappa, anti-[*Homo sapiens* KLK2 (kalikréina-2, kalikréina peptidasa 2, kalikréina prostática)], anticuerpo monoclonal humanizado; cadena pesada H-gamma1 humanizada (1-447) [VH (*Homo sapiens*IGHV4-28\*01 (90.7%) -(IGHD) -IGHJ1\*01 (100%), CDR-IMGT [9.7.10] (26-34.52-58.97-106)) (1-117) -*Homo sapiens*IGHG1\*03v (100%) G1m3>G1m17, nG1m1 CH1 K120, CH3 E12, M14 (CH1 R120>K (214) (118-215), bisagra 1-15 (216-230), CH2 (231-340), CH3 E12 (356), M14 (358) (341-445), CHS (446-447)) (118-447)], (220-218')-disulfuro con la cadena ligera L-kappa humanizada (1'-218') [V-KAPPA (*Homo sapiens*IGKV4-1\*01 (81.2%) -IGKJ2\*01 (100%), CDR-IMGT [10.3.9] (27'-36'.54'-56'.93'-101')) (1'-111') -*Homo sapiens*IGKC\*01 (100%) Km3 A45.1, V101 (C-KAPPA A45.1 (157'), V101 (195')) (112'-218')]; dímero (226-226":229-229")-bisdisulfuro, producido en las células ováricas de hámster chino (CHO), forma glicosilada alfa  
anticalikréina 2

2921676-05-1

**Heavy chain / Chaîne lourde / Cadena pesada**

```
QVQLQEESPGV LVKPSDTLSL TCAVGNSNIT SDYAWNWRQ PPGKGLEWIG 50
YISYSGGSTTY NPSLKSRTVM SRDTSKNQFS LKLSSTVAVD TAVVYCATGY 100
YYGGSGFWGQG TLTVSSAST KGPSVFPLAP SSKSTSGGTA ALGCLVKDYF 150
PEPVTVWSNS GALTSGVHTF PAVLQSSGLY SLSSVVTVPS SSLGTQTYIC 200
NVNHPSPNTN DDKVEPKSC DKTHTCPCCP APPELLGGPSV FLFPFPKPKDT 250
LMISRTPEVT CVVVDVSHED PEVKFNWYD GVEVHNNAKTK PREEQYNSTY 300
RUVSVLTVLH QDWLNKEYK CKVSNKALPA PIEKTISKAK GQPREPQVYT 350
LPSPREEMTH NQVSILTCLVE GFYGPSDTIAVE WESNGQPFENN YKTTTPVLDs 400
DGSSFFLYSKL TVDKSRWQQC NVFSCSCVMHE ALHNHYTQKS LSLSPGK 447
```

**Light chain / Chaîne légère / Cadena ligera**

```
DIVLTQSPDS LAVSLLGERAT INCKASESVE YFGTSLMHWY QQKPQGPPLK 50
LYIYASNRRES GVPDRFSGSG SGTDFTTLTIS SLQAEDVAVY YCQQTRKPVY 100
TEQQGKTLKEI KRTVAAPSVF IFPPSDEQLK SCTASVVCLL NNFYPREAKV 150
QWKVDNALQSG NSQESVTEQ DSKDSTYTLS STLTLSKADY EKHKVYACEV 200
THQGLSSPVTV KSFNRGEC 218
```

**Post-translational modifications**

Disulfide bridges location / Position des ponts disulfure / Posiciones de los puentes disulfuro

Intra-H (C23-C104)	22"-96"	144"-200"	261"-321"	367"-425"
	22"-96"	144"-200"	261"-321"	367"-425"
Intra-L (C23-C104)	23"-92"	138"-198"		
	23"-92"	138"-198"		
Inter-H-L (h 5-CL 126)	220-218"	220"-218"		
Inter-H-H (h 11, h 14)	226-226"	229-229"		

N-terminal glutaminyl cyclization / Cyclisation du glutaminy N-terminal / Ciclación del glutamino N-terminal

Q &gt; pyroglutamyl (pE, 5-oxoprolyl) / pyroglutamyle (pE, 5-oxoprolyle) / piroglutamilo (pE, 5-oxoprolilo)

H VH Q1: 1, 1"

N-glycosylation sites / Sites de N-glycosylation / Posiciones de N-glicosilación

H CH2 N84: 297, 297"

Fucosylated complex bi-antennary CHO-type glycans / glycanes de type CHO bi-antennaires complexes fucosyles / glicanos de tipo CHO biantenarios complejos fucosilados

C-terminal lysine clipping / Coupe de la lysine C-terminale / Recorte de lisina C-terminal

H CHS K2: 447, 447"

**amezosvateinum #**

amezosvatein

human varicella-zoster virus also known as human herpesvirus 3 (HHV-3, human alphaherpesvirus 3) envelope glycoprotein E (gE) fragment (1-507), produced in Chinese hamster ovary (CHO) DG44(S) cells, glycoform alfa  
*immunological agent for active immunization (anti-varicella zoster)*

amézosvatéine

fragment (1-507) de la glycoprotéine d'enveloppe E (gE) du virus varicelle-zona humain, connu également sous le nom d'herpèsvirus humain de type 3 (HVH-3, alphaherpèsvirus 3 humain), produit dans des cellules ovariennes DG44(S) de hamster chinois (CHO), glycoforme alfa  
*agent immunologique d'immunisation active (anti-varicelle-zona)*

amezosvateína

fragmento (1-507) de la glicoproteína de envoltura E (gE) del virus de la varicela-zóster humano, también conocido como herpesvirus humano de tipo 3 (HVH-3, alfa herpesvirus humano 3), producido en células DG44(S) de ovario de hámster chino (CHO), glicoconforme alfa  
*agente inmunológico para la inmunización activa (antivaricela-zóster)*

2857842-69-2

## Sequence / Séquence / Secuencia

SVLRYDDFHT	DEDKLDTNSV	YEPYYHSDHA	ESSWVNREGES	SRKAYDHNSP	50
YIWPRNDYDG	FLENAGEHHG	VYNQGRGIDS	GERLMQPTQM	SAQEDLGDDT	100
GIHVIPLTLNG	DDRHKIVNVD	QRQYGDVFKG	DLNPKPQQR	LIEVSVEENH	150
PFTLRAPIQR	IYGVRYTETW	SFLPSLTCTG	DAAPAIQHIC	LKHTTCFQDV	200
VUDVDCAENT	KEDQLABIST	RFQGKKEADQ	PWIVVNNTSTL	FDELELDPPE	250
IEPGVLKVLR	TEKQYLGVYI	WNMRGSDGTS	TYATFLVTWK	GDEKTRNPTP	300
AVTPQPRGAR	FHMWNYHSHV	FSVGDFTSLA	MHQYQKIHEA	PFDLLEWLWY	350
VPIDPTCQPM	RLYSTCLYHP	NAPQCLSHMN	SGCTFTSPHL	AQRVASTVYQ	400
NCEHADNYTA	YCLGLISHMEP	SFGLLILHDGG	TTLKFVDTPE	SLSGLYVFVV	450
YFNNGHVEAVA	YTVVSTVDHF	VNAIEERGFP	PTAGQPPATT	KPKEITPVNP	500
GTSPLLR					507

## Post-translational modifications

Disulfide bridges location / Position des ponts disulfure / Posiciones de los puentes disulfuro  
 178-190, 196-206, 357-383, 366-375, 402-412

N-glycosylation sites / Sites de N-glycosylation / Posiciones de N-glicosilación  
 236, 407

O-glycosylation sites / Sites de O-glycosylation / Posiciones de O-glicosilación  
 S49, S91, T107, T195, T299, T303

Deamidation sites / Sites de désamidation / Posiciones de desamidación  
 N73, N407 and N453

Oxidation site / Site de désamidation / Posición de desamidación  
 M379

Phosphorylation site / Site de désamidation / Posición de desamidación  
 S80

**amimestrocetum**

amimestrocetol

allogeneic mesenchymal stromal cells (MSC) derived from umbilical cord tissue and Wharton's jelly. The tissue is enzymatically digested, and the cells cultured in a serum-free medium supplemented with epidermal growth factor (EGF) and basic fibroblast growth factor (bFGF) and then cryopreserved. The cells are positive ( $\geq 95\%$ ) for the mesenchymal stromal cell surface markers CD10, CD73, CD90, and CD105, and are negative ( $\leq 2\%$ ) for CD14, CD19, CD31, CD34, CD45 and HLA class II histocompatibility antigen (HLA-DR) gamma chain markers. The cells

secrete prostaglandin E2 (PGE2), interleukin 6 (IL-6), hepatocyte growth factor (HGF), transforming growth factor alpha (TGF- $\alpha$ ), and can be induced by interferon gamma (IFN- $\gamma$ ) to express indoleamine 2,3-dioxygenase 1 (IDO-1). The cells can be induced to differentiate into adipogenic, osteogenic and chondrogenic lineages *in vitro*. The cells demonstrate inhibitory effects in an *in vitro* T lymphocyte proliferation assay

*cell therapy (acute graft versus host disease)*

## amimestrocel

cellules stromales mésenchymateuses allogéniques (CSM) dérivées du tissu du cordon ombilical et de la gelée de Wharton. Le tissu est digéré enzymatiquement, et les cellules sont cultivées dans un milieu sans sérum, additionné de facteur de croissance épidermique (EGF) et de facteur de croissance des fibroblastes de type 2 (FGF2), qui sont cryoconservées. Les cellules sont positives ( $\geq 95\%$ ) pour les marqueurs de surface des cellules stromales mésenchymateuses CD10, CD73, CD90 et CD105, et négatives ( $\leq 2\%$ ) pour les marqueurs de la chaîne gamma CD14, CD19, CD31, CD34, CD45 et les antigènes du complexe majeur d'histocompatibilité de classe II (HLA-DR). Les cellules secrètent la prostaglandine E2 (PGE2), l'interleukine-6 (IL-6), le facteur de croissance transformant alpha (TGF- $\alpha$ ), et peuvent être induites par l'interféron gamma (IFN- $\gamma$ ) pour exprimer l'indoléamine-2,3-dioxogénase de type 1 (IDO-1). Les cellules peuvent se différencier en lignées adipogènes, ostéogènes et chondrogènes *in vitro*. Les cellules présentent des effets inhibiteurs, lors d'un essai *in vitro* de prolifération des lymphocytes T

*thérapie cellulaire (maladie aiguë du greffon contre l'hôte)*

## amimestrocel

células estromales mesenquimales (CEM) alogénicas derivadas de tejido de cordón umbilical y gelatina de Wharton. El tejido se digiere enzimáticamente y las células se cultivan en medio sin suero suplementado con factor de crecimiento epidérmico (EGF) y factor de crecimiento de fibroblastos básico (bFGF) y después se criopreservan. Las células son positivas ( $\geq 95\%$ ) para los marcadores de superficie de células estromales mesenquimales CD10, CD73, CD90 y CD105 y son negativas ( $\leq 2\%$ ) para los marcadores CD14, CD19, CD31, CD34, CD45 y la cadena gamma del antígeno de histocompatibilidad HLA de clase II (HLA-DR). Las células secretan prostaglandina E2 (PGE2), interleuquina 6 (IL-6), factor de crecimiento de hepatocitos (HGF), factor de crecimiento transformante alfa (TGF- $\alpha$ ) y pueden ser inducidas mediante interferón gamma (IFN- $\gamma$ ) a expresar indoleamina 2,3-dioxigenasa 1 (IDO-1). Las células pueden ser inducidas a diferenciarse *in vitro* a los linajes adipogénico, osteogénico y condrogénico. Las células demuestran efectos inhibidores en un ensayo de proliferación de linfocitos T *in vitro*

*terapia celular (enfermedad del injerto contra huésped)*

**amogammadexum**

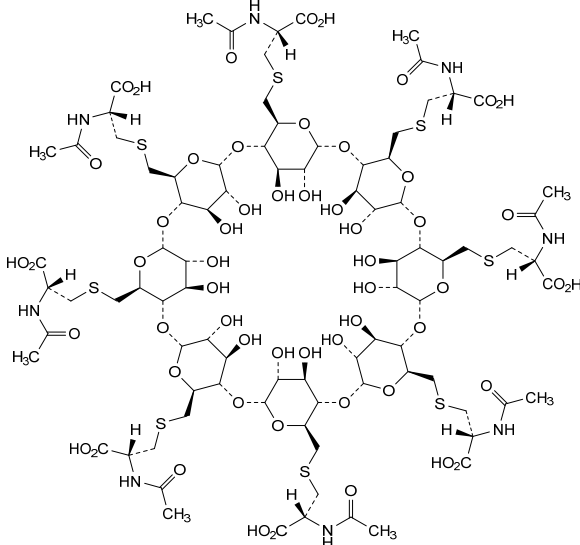
amogammadex cyclooctakis-(1→4)-{6-S-[(2*R*)-2-acetamido-2-carboxyethyl]-6-thio- $\alpha$ -D-glucopyranosyl}  
*rocuronium and vecuronium reversal agent*

amogammadex cyclooctakis-(1→4)-{6-S-[(2*R*)-2-acétamido-2-carboxyéthyl]-6-thio- $\alpha$ -D-glucopyranosyl}  
*agent de réversion du rocuronium et du vécuronium*

amogammadex cyclooctakis-(1→4)-{6-S-[(2*R*)-2-acetamido-2-carboxietil]-6-tio- $\alpha$ -D-glucopiranosoilo}  
*agente de reversión de rocuronio y vecuronio*



1309580-40-2

**amtabafuspum alfa #**

amtabafusp alfa humanized immunoglobulin G1-lambda anti-[*Homo sapiens* CD3E (CD3 epsilon, Leu-4)] monomer disulfide bridged to human T-cell surface glycoprotein CD4 extracellular domain 1, engineered to bind human immunodeficiency virus gp120 envelope glycoprotein, fused to an Fc fragment of human immunoglobulin G1; gamma 1 heavy chain (1-445) [VH (*Homo sapiens* IGHV3-72\*01 -(IGHD) - IGHJ4\*01, CDR-Kabat [5.19.14] (31-35.50-68.101-114)) (1-125) -*Homo sapiens*IGHG1\*03 (CH1 R<sup>222</sup>>K (126-223), hinge (224-238), CH2 L<sup>242</sup>>A, L<sup>243</sup>>A, P<sup>339</sup>>S (239-348), CH3 T<sup>374</sup>>S, L<sup>376</sup>>A, Y<sup>415</sup>>V, H<sup>443</sup>>R (349-453), CHS (454-455)) (126-455)], (228-214')-disulfide with lambda light chain (1'-215') [V-LAMBDA (*Homo sapiens* IGLV7-46\*01 -IGLJ3\*02, CDR-Kabat [14.7.9] (23-36'.52'-58'.91'-99')) (1'-109') -*Homo sapiens* IGLC2\*01 (110'-215')]; human T-cell surface glycoprotein CD4 extracellular domain 1 [mutant L<sup>5</sup>>Y, S<sup>23</sup>>N, A<sup>55</sup>>V, I<sup>76</sup>>P, L<sup>96</sup>>V, F<sup>98</sup>>V] (fragment 1"-99"), fused via a <sup>100</sup>"GS<sup>101</sup>" peptide linker to an Fc fragment of immunoglobulin 1 [*Homo sapiens*IGHG1\*03, hinge (102"-111", N-terminal EPKSC deleted), CH2 L<sup>115</sup>>A, L<sup>116</sup>>A, M<sup>133</sup>>Y, S<sup>135</sup>>T, T<sup>137</sup>>E, P<sup>212</sup>>S (112"-221"), CH3 T<sup>247</sup>>W (222"-326"), CHS (327"-328")) (102"-328")]; heterodimer (234-107', 237-110")-bisdisulfide, produced in Chinese hamster ovary (CHO) cells, glycoform alfa antiviral

amtabafusp alfa

immunoglobuline G1-lambda humanisée anti-[*Homo sapiens* CD3E (CD3 epsilon, Leu-4)], monomère, disulfure ponté au domaine extracellulaire 1 de la glycoprotéine de surface des lymphocytes T humains CD4, modifiée pour se lier à la glycoprotéine d'enveloppe gp120 du virus de l'immunodéficience humaine, fusionnée à un fragment Fc de la chaîne lourde gamma 1 l'immunoglobuline G1 humaine G1; chaîne lourde gamma 1 (1-445) [VH (*Homo sapiens*IGHV3-72\*01 -(IGHD)-IGHJ4\*01, CDR-Kabat [5.19.14] (31-35.50-68.101-114)) (1-125) -*Homo sapiens* IGHG1\*03 (CH1 R<sup>222</sup>>K (126-223), charnière (224-238), CH2 L<sup>242</sup>>A, L<sup>243</sup>>A, P<sup>339</sup>>S (239-348), CH3 T<sup>374</sup>>S, L<sup>376</sup>>A, Y<sup>415</sup>>V, H<sup>443</sup>>R (349-453), CHS (454-455)) (126-455)], (228-214')-disulfure avec la chaîne légère lambda (1'-215') [V-LAMBDA (*Homo sapiens*IGLV7-46\*01 -IGLJ3\*02, CDR-Kabat [14.7.9] (23'-36'.52'-58'.91'-99')) (1'-109') -*Homo sapiens* IGLC2\*01 (110'-215')]; domaine extracellulaire 1 de la glycoprotéine de surface des lymphocytes T CD4 humains [mutant L<sup>5</sup>>Y, S<sup>23</sup>>N, A<sup>55</sup>>V, I<sup>76</sup>>P, L<sup>96</sup>>V, F<sup>98</sup>>V] (fragment 1"-99"), fusionné à l'aide du coupleur peptidique <sup>100</sup>GS<sup>101</sup> à un fragment Fc de l'immunoglobuline G1 [*Homo sapiens* IGHG1\*03, charnière (102"-111", N-terminale EPKSC délestée), CH2 L<sup>115</sup>>A, L<sup>116</sup>>A, M<sup>133</sup>>Y, S<sup>135</sup>>T, T<sup>137</sup>>E, P<sup>212</sup>>S (112"-221"), CH3 T<sup>247</sup>>W (222"-326"), CHS (327"-328") (102"-328")]; hétérodimère (234-107", 237-110")-bisisulfure, produite dans des cellules ovarianes de hamster chinois (CHO), glicoforme alfa

*antiviral*

amtabafusp alfa

inmunoglobulina G1-lambda humanizada anti-[*Homo sapiens* CD3E (CD3 épsilon, Leu-4)] monómero con puente disulfuro al dominio extracelular 1 de la glicoproteína CD4 de superficie de los linfocitos T Humanos, diseñado para unirse a la glicoproteína de envoltura gp120 del virus de la inmunodeficiencia humana, fusionado a un fragmento Fc de inmunoglobulina humana G1; cadena pesada gamma 1 (1-445) [VH (*Homo sapiens*IGHV3-72\*01 -(IGHD)-IGHJ4\*01, CDR-Kabat [5.19.14] (31-35.50-68.101-114)) (1-125) -*Homo sapiens* IGHG1\*03 (CH1 R<sup>222</sup>>K (126-223), bisagra (224-238), CH2 L<sup>242</sup>>A, L<sup>243</sup>>A, P<sup>339</sup>>S (239-348), CH3 T<sup>374</sup>>S, L<sup>376</sup>>A, Y<sup>415</sup>>V, H<sup>443</sup>>R (349-453), CHS (454-455)) (126-455)], (228-214')-disulfuro con cadena ligera lambda (1'-215') [V-LAMBDA (*Homo sapiens*IGLV7-46\*01 -IGLJ3\*02, CDR-Kabat [14.7.9] (23'-36'.52'-58'.91'-99')) (1'-109') -*Homo sapiens* IGLC2\*01 (110'-215')]; dominio extracelular 1 de la glicoproteína de superficie de los linfocitos T CD4 humanos [mutante L<sup>5</sup>>Y, S<sup>23</sup>>N, A<sup>55</sup>>V, I<sup>76</sup>>P, L<sup>96</sup>>V, F<sup>98</sup>>V] (fragmento 1"-99"), fusionado a través de un enlace peptídico <sup>100</sup>GS<sup>101</sup> a un fragmento Fc de la inmunoglobulina 1 [*Homo sapiens* IGHG1\*03, bisagra N-terminal EPKSC eliminada (102"-111"), CH2 L<sup>115</sup>>A, L<sup>116</sup>>A, M<sup>133</sup>>Y, S<sup>135</sup>>T, T<sup>137</sup>>E, P<sup>212</sup>>S (112"-221"), CH3 T<sup>247</sup>>W (222"-326"), CHS (327"-328") (102"-328")]; heterodímero (234-107", 237-110")-bisisulfuro, producido en células ováricas de hámster Chino (CHO), glicoforma alfa

*antiviral*

## Sequence / Séquence / Secuencia

## Heavy chain (H):

EVQLVESGGG LVQPGSILRL SCAASGFTFN TYAMNNWVRQA PCKGLEWGR 50  
 IRSKYNNYAT YYADSVKSRF TISRDDSNS LYLEMNSLRT EDTAVYYCVR 100  
 HGNFGHSYVS WFAWYGGQTL VTVSSASTKQ PSVFFLAPSS KSTSGGTAAAL 150  
 GCLVKDYEPE PVTWSWNSGA LTSGVHTFPV VLQSSGLYSL SSVVTPVSS 200  
 LGTQTYICNV NHKPSNTKVD KKVEPKSCDK THTCPPCPAP ~~EAA~~AGGPSVFL 250  
 FPPKPKDLM ISRTPEVTCV VVDVSHEDPE VKFNWYVGDV EVHNAKTKPR 300  
 EEQYNSTYRV VSVLTVLHQD WLNGKEYKCK VSNKALPASI EKTISKAKGQ 350  
 PREPQVTLPS PSREEMTKNQ VSLSAVKGF YPSDIAVEWE SNGQPENNYK 400  
 TPPVVLSDSG SFLVSKLTV DKSRWQQGNV FSCSVMHEAL HNRYTQKSL 450  
 LSPGK 455

## Light chain (L):

QAVVTQEPLV TVSPGGTVL TCGSSTGAVT TGHYANWVQQ KPGQAPRGLI 50  
 GGTTSRAPGV PARFPGSLLG GKAALTIGA QPDEEAHYC ALWYSNRWF 100  
 GGGTKLTVLG QPKAAPSVTL FPPSSEELQA NKATLVLCLIS DYPGAVTVA 150  
 WKADSSPVKA GVETTPPSKQ SNNKYAASSY LSLSLPEQWKH HRSYSCQVTH 200  
 EGSTVEKTVTA PTECS 215

## CD4 domain I-gG1 Fc (H'):

**KKVVYGKKGD** **TVELTCTASQ** **KKNIQFHWNK** **SNQIKILGNQ** **GSFLTKGPSK** 50  
**LNDRVDSSRS** **LWDQGNPPLI** **IKNLKPEDSD** **TYICEVEDEQK** **EEVQLVVG** 100  
SDKTHTCPPC PAPEAGGPS VFLFPFPKPD TLYITREPEV TCVVVDSHE 150  
 DPEVKFNVYV DGVEVHNAKT KPREEQYNST YRVVSVLTVL HQDWLNKEY 200  
 KCKVSNKALP ~~A~~STEKTISKA KQGPREPOVY TLPPSREEMT KNQVSIMLV 250  
 KGFPYPSDIAV EWESNGQPN NYKTTPPVLD SDGSFFLYSK LTVDKSRWQQ 300  
 GNVFSCSVMH EALHNHYTQK SLSLSPGK 328

## Mutations / Mutations / Mutaciones

IgG1 heavy chain: L<sup>242</sup>>A, L<sup>243</sup>>A, P<sup>339</sup>>S, T<sup>374</sup>>S, L<sup>376</sup>>A, Y<sup>415</sup>>V, H<sup>443</sup>>R,  
 CD4 domain I- IgG1 Fc: L<sup>116</sup>>Y, S<sup>133</sup>>N, A<sup>135</sup>>V, T<sup>166</sup>>P, L<sup>196</sup>>V, F<sup>198</sup>>V, L<sup>115</sup>>A,  
M<sup>133</sup>>Y, S<sup>135</sup>>T, T<sup>137</sup>>E, P<sup>212</sup>>S, T<sup>247</sup>>W

Peptide linker / Peptide liant / Péptido de unión  
<sup>100</sup>G<sup>01</sup>

## Post-translational modifications

Disulfide bridges location / Position des ponts disulfure / Posiciones de los puentes disulfuro

Intra heavy chain: 22-98, 152-208, 226-329, 375-433

Intra light chain: 22'-90', 137'-196'

Intra CD4 domain I-IgG1 Fc: 16"-84", 142"-202", 248"-306"

Inter heavy chain - light chain: 228-214'

Inter heavy chain - CD4 domain I-IgG1 Fc: 234-107", 237-110"

## N-glycosylation sites / Sites de N-glycosylation / Posiciones de N-glicosilación

Heavy chain: N305

CD4 domain I-IgG1 Fc: N178"

## N-terminal glutaminyl cyclization / Cyclisation du glutaminy le N-terminal / Ciclación del glutaminilo N-terminal

Light chain: Q1'&gt; pyroglutamyl (pE, 5-oxo-L-prolyl)

C-terminal lysine clipping / Coupure de la lysine C-terminale / Recorte de lisina C-terminal  
 455 (heavy chain); 328" (CD4 domain I-IgG1 Fc)**armocibartum #**  
armocibart

immunoglobulin G4-kappa, anti-[*Homo sapiens* TFPI (tissue factor pathway inhibitor, extrinsic pathway inhibitor, EPI, lipoprotein-associated coagulation inhibitor, LACI)];  
 H-gamma4 heavy chain (1-448) [VH Musmus/Homsap (*Mus musculus*)  
 IGHV1-81\*01 (85.7%) -(IGHD) -IGHJ3\*01 (83.3%) A128>S  
 (121)/*Homo sapiens* IGHV1-18\*01 (77.6%) -(IGHD) -IGHJ1\*01  
 (100%), CDR-IMGT [8.8.14] (26-33.51-58.97-110)] (1-121) -*Homo sapiens*IGHG4\*01, nG4m(a) CH2 L92, G4v5 h P10 (CH1 (122-219), hinge 1-12 S10>P (229) (220-231), CH2 L92 (310) (232-341), CH3 (342-446), CHS (447-448)] (122-448)], (135-219')-disulfide with  
 L-kappa light chain (1'-219') [V-KAPPA Musmus/Homsap (*Mus*

*musculus* IGKV1-135\*01 (86.0%) -IGKJ2\*03 (81.8%) S120>Q (105') , L124>V (109')/*Homo sapiens* IGKV2-29\*02 (84.0%) -IGKJ1\*01 (100%), CDR-IMGT [11.3.9] (27'-37'.55'-57'.94'-102')) (1'-112') -*Homo sapiens* IGKC\*01 (100%) Km3 A45.1, V101 (C-KAPPA A45.1 (158'), V101 (196')) (113'-219']); dimer (227-227":230-230")-bisdisulfide, produced in Chinese hamster ovary (CHO) cells, cell line CHO-K1, glycoform alfa  
*tissue factor pathway inhibitor (TFPI) inhibitor, procoagulant*

## armocibart

immunoglobuline G4-kappa, anti-[*Homo sapiens* TFPI (inhibiteur de la voie du facteur tissulaire, inhibiteur de la voie extrinsèque, EPI, inhibiteur de la coagulation associé aux lipoprotéines, LACI)]; chaîne lourde H-gamma4 (1-448) [VH Musmus/Homsap (*Mus musculus*IGHV1-81\*01 (85.7%) -(IGHD) -IGHJ3\*01 (83.3%) A128>S (121)/*Homo sapiens* IGHV1-18\*01 (77.6%) -(IGHD) -IGHJ1\*01 (100%), CDR-IMGT [8.8.14] (26-33.51-58.97-110)) (1-121) -*Homo sapiens* IGHG4\*01, nG4m(a) CH2 L92, G4v5 h P10(CH1 (122-219), charnière 1-12 S10>P (229) (220-231), CH2 L92 (310) (232-341), CH3 (342-446), CHS (447-448)) (122-448)], (135-219')-disulfure avec la chaîne légère L-kappa (1'-219') [V-KAPPA Musmus/Homsap (*Mus musculus* IGKV1-135\*01 (86.0%) -IGKJ2\*03 (81.8%) S120>Q (105') , L124>V (109')/*Homo sapiens* IGKV2-29\*02 (84.0%) -IGKJ1\*01 (100%), CDR-IMGT [11.3.9] (27'-37'.55'-57'.94'-102')) (1'-112') -*Homo sapiens* IGKC\*01 (100%) Km3 A45.1, V101 (C-KAPPA A45.1 (158'), V101 (196')) (113'-219')]; dimère (227-227":230-230")-bisdisulfure, produit dans des cellules ovariennes de hamster chinois (CHO), lignée cellulaire CHO-K1, glycoforme alfa  
*inhibiteur de l'inhibiteur de la voie du facteur tissulaire (TFPI), procoagulant*

## armocibart

imunoglobulina G4-kappa, anti-[*Homo sapiens* TFPI (inhibidor de la vía del factor tisular, inhibidor de la vía extrínseca, EPI, inhibidor de la coagulación asociada con las lipoproteínas, LACI)]; cadena pesada H-gamma4 (1-448) [VH Musmus/Homsap (*Mus musculus*IGHV1-81\*01 (85.7%) -(IGHD) -IGHJ3\*01 (83.3%) A128>S (121)/*Homo sapiens* IGHV1-18\*01 (77.6%) -(IGHD) -IGHJ1\*01 (100%), CDR-IMGT [8.8.14] (26-33.51-58.97-110)) (1-121) -*Homo sapiens* IGHG4\*01, nG4m(a) CH2 L92, G4v5 h P10(CH1 (122-219), bisagra 1-12 S10>P (229) (220-231), CH2 L92 (310) (232-341), CH3 (342-446), CHS (447-448)) (122-448)], (135-219')-disulfuro con la cadena ligera L-kappa (1'-219') [V-KAPPA Musmus/Homsap (*Mus musculus* IGKV1-135\*01 (86.0%) -IGKJ2\*03 (81.8%) S120>Q (105') , L124>V (109')/*Homo sapiens* IGKV2-29\*02 (84.0%) -IGKJ1\*01 (100%), CDR-IMGT [11.3.9] (27'-37'.55'-57'.94'-102')) (1'-112') -*Homo sapiens* IGKC\*01 (100%) Km3 A45.1, V101 (C-KAPPA A45.1 (158'), V101 (196')) (113'-219')]; dímero (227-227":230-230")-bisdisulfuro, producido en las células ováricas de hámster chino (CHO), línea celular CHO-K1, forma glicosilada alfa  
*inhibidor del inhibidor de la vía del factor hístico, procoagulante*

Heavy chain / Chaîne lourde / Cadena pesada  
 QVQLVQSGAE VKKPGASVKV SCKASGYSFT SYGISWVKQA PGQGLEWIGE 50  
 IYPRSTNTYY NEKFMKGATL TADKSSSTAY MELSSLRSED TAVYYCARES 100  
 FYGDYGAMDF WQQGTLVTVS SASTKGPSVF PIAPCSRSTS ESTAALGCLV 150  
 KDYFPEPVTV SWNSGALTSG VHTFPALQSV SGLYSLSSVV TVPSSSLGK 200  
 TYTCNVDHKP SNKVDKRVE SKYGPCCPPC PAPEFLGGPS VFLFPKPKD 250  
 TIMISRTPEV TCVVVDVSQE DPEVQFNWYV DGVEVHNART KPREEQFNST 300  
 YRVVSVLTVL HQDWLNGKEY KCKVSNKGLP SSIKTISKA KGQPREPQVY 350  
 TLPPSQEEMT KNQVSLTCLV KGFPSPDIAV EWESNGQOPEN NYKTTPPVLD 400  
 SDGSFFLYSR LTVDKSRWQE GNVFSCSVMH EALHNHYTQK SLSLSLGK 448

Light chain / Chaîne légère / Cadena ligera  
 DIVLTQSPLS LPVTPGEPAS IFCKSSQSLL ESDGKTYLNW LLQKPGQSPQ 50  
 RLIYLVSKLD SGVPDRFSGS GSGTDFTLKI SRVEAEDVGV YYCSQGTHFP 100  
 RTFGQGTKE IKRTVAAPSV FIFPPSDEQL KSGTASVVCIL LNNFYPREAK 150  
 VQWKVDNALQ SGNSQESVTE QDSKDSTYSL SSTTLSKAD YEKHKVYACE 200  
 VTHQGLSSPV TKSFRNRGEC 219

#### Post-translational modifications

Disulfide bridges location / Position des ponts disulfure / Posiciones de los puentes disulfuro  
 Intra-H (C23-C104) 22-96 148-204 262-322 368-426  
 22"-96" 148"-204" 262"-322" 368"-426"  
 Intra-L (C23-C104) 23"-93" 139"-199"  
 23""-93"" 139""-199""  
 Inter-H-L (CH1 10-CL 126) 135-219' 135"-219"  
 Inter-H-H (h 8, h 11) 227-227" 230-230"

N-terminal glutaminyl cyclization / Cyclisation du glutaminyle N-terminal / Ciclación del glutamínico N-terminal  
 Q > pyroglutamyl (pE, 5-oxoprolyl) / pyroglutamyl (pE, 5-oxoprolile) / piroglutamilo (pE, 5-oxoprolilo)  
 H VH Q1: 1, 1"

N-glycosylation sites / Sites de N-glycosylation / Posiciones de N-glicosilación  
 H CH2 N84.4: 298, 298"  
 Fucosylated complex bi-antennary CHO-type glycans / glycanes de tipo CHO bi-antennaires complexes fucosylés / glicanos de tipo CHO biantenarios complejos fucosilados

C-terminal lysine clipping / Coupe de la lysine C-terminale / Recorte de lisina C-terminal  
 H CHS K2: 448, 448"

#### arvenacogenum sanparvovecum #

arvenacogene sanparvovect

recombinant non-replicating adeno-associated virus serotype 5 (AAV5) vector encoding a codon-optimized gain of function variant (Padua variant, R338L) of human coagulation factor IX (FIX), under the control of a murine liver-specific transthyretin (TTR) promoter and human growth hormone polyadenylation signal, flanked by AAV2 inverted terminal repeats. A human beta-globin intron has been inserted between the promoter and the FIX coding region. The virus vector also contains mutations in the viral AAV5 capsid protein VP1 (S2A and T711S) gene therapy (*hemophilia B*)

arvénacogène sanparvovect

vecteur recombinant, non répliquant, du virus adéno-associé de sérotype 5 (AAV5) modifié, codant un variant de gain de fonction optimisé par codon (variant Padoue, R338L) du facteur IX de coagulation humain (FIX), sous contrôle d'un promoteur spécifique de la transthyrétine hépatique murine (TTR) et d'un signal de polyadénylation de l'hormone de croissance humaine, flanqué de répétitions terminales inversées de l'AAV2. Un intron de bêta-globine humaine a été inséré entre le promoteur et la région codante FIX. Le vecteur viral contient également des mutations dans la protéine de capsid VP1 de l'AAV5 (S2A et T711S) thérapie génique (*hémophilie B*)

arvenacogén sanparvovec vector de virus adenoasociado del serotipo 5 (modificado) (AAV5), recombinante, no replicativo, que codifica, con codones optimizados, para una variante con ganancia de función (variante Padua, R338L) del factor de coagulación IX (FIX) humano, bajo el control de un promotor específico de hígado de la transtirretina (TTR) murina y una señal de poliadenilación de la hormona de crecimiento humana, flanqueado por las repeticiones terminales invertidas del AAV2. Se ha insertado un intrón de la beta-globina humana entre el promotor y la región codificante de FIX. El vector viral también contiene mutaciones en la proteína de la cápsida VP1 de AAV5 (S2A y T711S)  
*terapia génica (hemofilia B)*

2891724-48-2

**asaretoclaxum**

asaretoclax

$1^3$ -(difluoromethyl)-*N*-[4-({[(1r,4r)-4-hydroxy-4-methylcyclohexyl]methyl}amino)-3-nitrobenzene-1-sulfonyl]-2<sup>5</sup>,2<sup>5</sup>-dimethyl-6-oxa-7(5)-pyrrolo[2,3-*b*]pyridina-4(1,4)-piperazina-5(1,3)-benzena-2(1,2)-cyclohexana-1(1)-bicyclo[1.1.1]pentanaheptaphane-2<sup>1</sup>-ene-5<sup>4</sup>-carboxamide  
*B-cell lymphoma 2 (Bcl-2) inhibitor, antineoplastic*

asarétoclax

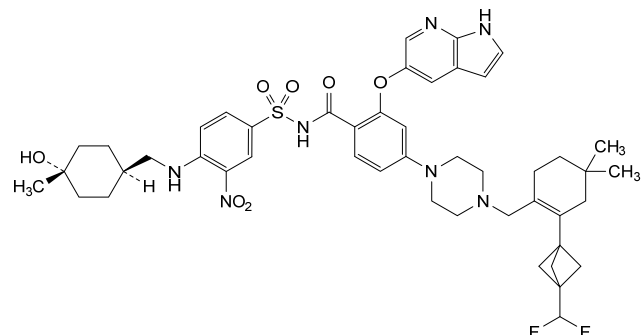
$1^3$ -(difluorométhyl)-*N*-[4-({[(1r,4r)-4-hydroxy-4-méthylcyclohexyl]méthyl}amino)-3-nitrobenzène-1-sulfonil]-2<sup>5</sup>,2<sup>5</sup>-diméthyl-6-oxa-7(5)-pyrrolo[2,3-*b*]pyridina-4(1,4)-pipérazine-5(1,3)-benzéna-2(1,2)-cyclohexana-1(1)-bicyclo[1.1.1]pentanaheptaphane-2<sup>1</sup>-ène-5<sup>4</sup>-carboxamide  
*inhibiteur du lymphome à cellules B 2 (Bcl-2), antinéoplasique*

asaretoclax

$1^3$ -(difluorometil)-*N*-[4-({[(1r,4r)-4-hidroxi-4-metilciclohexil]metil}amino)-3-nitrobenceno-1-sulfonil]-2<sup>5</sup>,2<sup>5</sup>-dimetil-6-oxa-7(5)-pirrolo[2,3-*b*]piridina-4(1,4)-piperazina-5(1,3)-bencena-2(1,2)-ciclohexana-1(1)-biciclo[1.1.1]pentanaheptafano-2<sup>1</sup>-eno-5<sup>4</sup>-carboxamida  
*inhibidor del linfoma de células B 2 (Bcl-2), antineoplásico*

C<sub>47</sub>H<sub>57</sub>F<sub>7</sub>N<sub>7</sub>O<sub>7</sub>S

2363074-01-3

**atenastobartum #**

atenastobart

immunoglobulin G1-lambda2, anti-[*Homo sapiens* TNFRSF9 (TNF receptor superfamily member 9, 4-1BB, T cell antigen ILA, CD137)], *Homo sapiens* monoclonal antibody;

H-gamma1 heavy chain *Homo sapiens* (1-450) [VH (*Homo sapiens* IGHV3-21\*01 (90.8%) -(IGHD) -IGHJ4\*01 (100%), CDR-IMGT [8.8.15] (26-33.51-58.97-111)) (1-122) -*Homo sapiens* IGHG1\*03, G1m3, nG1m1 CH1 R120, CH3 E12, M14, G1v85 CH2 W1.2, N1.1, D30, K115, G1v87 CH2 R94, CH3 R1.2 (CH1 R120 (219) (123-220), hinge 1-15 (221-235), CH2 L1.2>W (240), G1.1>N (241), H30>D (273), Q94>R (316), A115>K (335) (236-345), CH3 E12 (361), M14 (363), P1.2>R (348) (346-450), CHS G1>del, K2>del) (123-450)], (225-215')-disulfide with L-lambda2 light chain *Homo sapiens* (1'-216') [V-LAMBDA (*Homo sapiens* IGLV2-8\*01 (93.5%) -IGLJ3\*02 (100%), CDR-IMGT [9.3.10] (26'-34'.52'-54'.91'-100')) (1'-110') -*Homo sapiens* IGLC2\*01 (100%) (C-LAMBDA2) (111'-216')]; dimer (231-231":234-234")-bisdisulfide, produced in Chinese hamster ovary (CHO) cells, cell line CHO-DXB11, glycoform alfa *immunostimulant, antineoplastic*

aténastobart

immunoglobuline G1-lambda2, anti-[*Homo sapiens* TNFRSF9 (membre 9 de la superfamily des récepteurs du TNF, 4-1BB, antigène ILA des cellules T, CD137)], anticorps monoclonal *Homo sapiens*; chaîne lourde H-gamma1 *Homo sapiens* (1-450) [VH (*Homo sapiens* IGHV3-21\*01 (90.8%) -(IGHD) -IGHJ4\*01 (100%), CDR-IMGT [8.8.15] (26-33.51-58.97-111)) (1-122) -*Homo sapiens* IGHG1\*03, G1m3, nG1m1 CH1 R120, CH3 E12, M14, G1v85 CH2 W1.2, N1.1, D30, K115, G1v87 CH2 R94, CH3 R1.2 (CH1 R120 (219) (CH1 R120 (219) (123-220), charnière 1-15 (221-235), CH2 L1.2>W (240), G1.1>N (241), H30>D (273), Q94>R (316), A115>K (335) (236-345), CH3 E12 (361), M14 (363), P1.2>R (348) (346-450), CHS G1>del, K2>del) (123-450)], (225-215')-disulfure avec la chaîne légère L-lambda2 *Homo sapiens* (1'-216') [V-LAMBDA (*Homo sapiens* IGLV2-8\*01 (93.5%) -IGLJ3\*02 (100%), CDR-IMGT [9.3.10] (26'-34'.52'-54'.91'-100')) (1'-110') -*Homo sapiens* IGLC2\*01 (100%) (C-LAMBDA2) (111'-216')]; dimère (231-231":234-234")-bisdisulfure, produit dans des cellules ovarianes de hamster chinois (CHO), lignée cellulaire CHO-DXB11, glycoforme alfa *immunostimulant, antinéoplastique*

atenastobart

inmunoglobulina G1-lambda2, anti-[*Homo sapiens* TNFRSF9 (miembro 9 de la super familia de los receptores del TNF, 4-1BB, antigeno ILA de las células T, CD137)], anticuerpo monoclonal *Homo sapiens*; cadena pesada H-gamma1 *Homo sapiens* (1-450) [VH (*Homo sapiens* IGHV3-21\*01 (90.8%) -(IGHD) -IGHJ4\*01 (100%), CDR-IMGT [8.8.15] (26-33.51-58.97-111)) (1-122) -*Homo sapiens* IGHG1\*03, G1m3, nG1m1 CH1 R120, CH3 E12, M14, G1v85 CH2 W1.2, N1.1, D30, K115, G1v87 CH2 R94, CH3 R1.2 (CH1 R120 (219) (CH1 R120 (219) (123-220), bisagra 1-15 (221-235), CH2 L1.2>W (240), G1.1>N (241), H30>D (273), Q94>R (316), A115>K (335) (236-345), CH3 E12 (361), M14 (363), P1.2>R (348) (346-450), CHS G1>del, K2>del) (123-450)], (225-215')-disulfuro con la cadena ligera L-lambda2 *Homo sapiens* (1'-216') [V-LAMBDA (*Homo sapiens* IGLV2-8\*01 (93.5%) -IGLJ3\*02 (100%), CDR-IMGT [9.3.10] (26'-34'.52'-54'.91'-100')) (1'-110') -*Homo sapiens* IGLC2\*01 (100%) (C-LAMBDA2) (111'-216')]; dímero (231-231":234-234")-bisdisulfuro, producido en las células ováricas de hamster chino (CHO), línea celular CHO-DXB11, forma glicosilada alfa *inmunoestimulante, antineoplásico*

2817644-49-6

## Heavy chain / Chaîne lourde / Cadena pesada

EVQLVESGGG LVKPGGSLRL SCAASGFTFS TFTMNWVRQA PGKGLEWVSS 50  
 ISSKGSYIEY AESFKVRFTI SRDNAKNSLY LQMNNSLAED TAVYYCARYG 100  
 IKNELNWVFD YWGQGTLTV SSASTKGPSV FPLAPSSKST SGGAALGCL 150  
 VKDYPPEPVT PSNTKVDKRV EPKSCDKTHT CPPCPAPELW NGPSVFLFPP 200  
 QTYICNVNPK PSNTKVDKRV EPKSCDKTHT CPPCPAPELW NGPSVFLFPP 250  
 KPKDTLMISR TPEVTCVVVD VSDEDPEVKF NWYVGDVEVH NAKTPKREEQ 300  
 YNSTYRVVSV LTIVLHRDWLN GREYKCKVSN KALPKPIEKT ISKAKGQRRE 350  
 PQVYTLPPSR EEMTKNQVSL TCLVKGFYPS DIAVEWESNG QPENNYKTTP 400  
 PVLDSDGSFF LYSKLTQVDKS SVMHEALHNH YTQKSLSLSP 450

## Light chain / Chaîne légère / Cadena ligera

QSALTQPPSA SGSPGQTVTI SCTGTSTDVG YYEYVSWYQQ HPGKAPKLMI 50  
 YETSKRLSGV PDRFSGSKSG NTASITVSGL QAEDEADYYC SSYRYEHQVS 100  
 FGGGTKLTVL GQPKAAPSNT LFPPSSEELQ ANKATLVCLI SDFYPGAATV 150  
 AWKADSSPVK AGVETTTPSK QSNNKYAASS YLSLTPEQWK SHRSYSCQVT 200  
 HEGSTVEKTV APTECS 216

## Post-translational modifications

Disulfide bridges location / Position des ponts disulfure / Posiciones de los puentes disulfuro  
 Intra-H (C23-C104) 22-96 149-205 266-326 372-430  
 22"-96" 149"-205" 266"-326" 372"-430"  
 Intra-L (C23-C104) 22"-90" 138"-197"  
 22"-90" 138"-197"  
 Inter-H-L (h 5-CL 126) 225-215' 225"-215"  
 Inter-H-H (h 11, h 14) 231-231" 234-234"

N-terminal glutaminyl cyclization / Cyclisation du glutaminyle N-terminal / Ciclación del glutaminilo N-terminal  
 $Q \geq$  pyroglutamyl (pE, 5-oxoprolyl) / pyroglutamyle (pE, 5-oxoprolyle) / piroglutamilo (pE, 5-oxoprolilo)  
 L VL V-LAMBDA Q1: 1', 1"

N-glycosylation sites / Sites de N-glycosylation / Posiciones de N-glicosilación  
 H CH2 N84.4: 302, 302"  
 Fucosylated complex bi-antennary CHO-type glycans / glycanes de type CHO bi-antennaires complexes fucosylés / glicanos de tipo CHO biantenarios complejos fucosilados

**atirmociclibum**

atirmociclib

(3S,4R)-4-({5-chloro-4-[4-fluoro-2-(2-hydroxypropan-2-yl)-1-(propan-2-yl)-1H-1,3-benzimidazol-6-yl]pyrimidin-2-yl}amino)oxan-3-ol  
*cyclin-dependent kinase (CDK) inhibitor, antineoplastic*

## atirmociclib

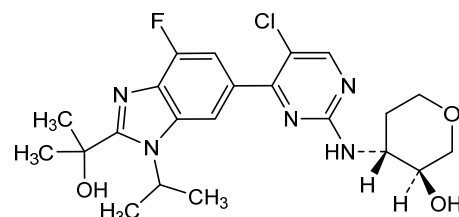
(3S,4R)-4-({5-chloro-4-[4-fluoro-2-(2-hydroxypropan-2-yl)-1-(propan-2-yl)-1H-1,3-benzimidazol-6-yl]pyrimidin-2-yl}amino)oxan-3-ol  
*inhibiteur de la kinase cycline-dépendante (CDK), antinéoplasique*

## atirmociclib

(3S,4R)-4-({5-cloro-4-[4-fluoro-2-(2-hidroxipropan-2-il)-1-(propan-2-il)-1H-1,3-bencimidazol-6-il]pirimidin-2-il}amino)oxan-3-ol  
*inhibidor de la kinasa dependiente de ciclinas (CDK), antineoplásico*

C<sub>22</sub>H<sub>27</sub>ClFN<sub>5</sub>O<sub>3</sub>

2380321-51-5



**azerutamig #**

azerutamig

immunoglobulin (H-gamma1\_L-kappa)\_scFvkh-H-gamma1(h-CH2-CH3), anti-[*Homo sapiens* KLRK1 (killer cell lectin like receptor K1, NKG2D, KLR, NKG2-D, CD314)] and anti-[*Homo sapiens* ERBB2 (epidermal growth factor receptor 2, receptor tyrosine-protein kinase erbB-2, EGFR2, HER2, HER-2, p185c-erbB2, NEU, CD340)], *Homo sapiens* and humanized monoclonal antibody, bispecific; H-gamma1 heavy chain *Homo sapiens*, anti-KLRK1 (1-451) [VH (*Homo sapiens* IGHV3-21\*01 (100%) -(IGHD) -IGHJ5\*02 (100%), CDR-IMGT [8.8.15] (26-33.51-58.97-111)) (1-122) - *Homo sapiens* IGHG1\*01 G1m17,1 CH1 K120, CH3 D12, L14, G1v75 CH3 C5, G1v90 E16, W88 (CH1 K120 (219) (123-220), hinge 1-15 (221-235), CH2 (236-345), CH3 Y5>C (354), D12 (361), L14 (363), K16>E (365), K88>W (414) (346-450), CHS K2>del (451)) (123-451)], (225-214')-disulfide with L-kappa light chain *Homo sapiens*, anti-KLRK1 (1'-214') [V-KAPPA (*Homo sapiens* IGKV1-12\*01 (97.9%) -IGKJ4\*01 (100%), CDR-IMGT [6.3.9] (27'-32'.50'-52'.89'-97')) (1'-107') -*Homo sapiens* IGKC\*01 (100%) Km3 A45.1, V101 (C-KAPPA A45.1 (153'), V101 (191')) (108'-214')]; scFvkh-G1(h-CH2-CH3) heavy chain humanized, anti-ERBB2 (1"-475") [V-KAPPA (*Homo sapiens* IGKV1-39\*01 (86.3%) -IGKJ1\*01 (90.9%) Q120>C (100"), CDR-IMGT [6.3.9] (27"-32".50"-52".89"-97")) (1"-107") -20-mer tetrakis(tetraglycyl-seryl) linker (108"-127") -VH (*Homo sapiens* IGHV3-66\*01 (80.6%) -(IGHD) -IGHJ4\*01 (100%), CDR-IMGT [8.8.13] (153"-160".178"-185".224"-236")) (128"-247") -2-mer alanyl-seryl linker (248"-249") -*Homo sapiens* IGHG1\*01 h-CH2-CH3 G1m1 CH3 D12, L14, G1v74 CH3 C10, G1v91 R3, V84.2, T85.1 (hinge 6-15 (250"-259"), CH2 (260"-369"), CH3 Q3>R (376"), S10>C (383"), D12 (385"), L14 (387"), D84.2>V (428"), F85.1>T (434") (370"-474"), CHS K2>del (475")) (250"-475")]; dimer (231-255": 234-258":354-383")-trisdisulfide, produced in Chinese hamster ovary (CHO) cells, cell line CHO-K1, glycoform alfa **antineoplastic**

azérutamig

immunoglobuline (H-gamma1\_L-kappa)\_scFvkh-H-gamma1(h-CH2-CH3), anti-[*Homo sapiens* KLRK1 (récepteur lectine like K1 de cellule tueuse, NKG2D, KLR, NKG2-D, CD314)] et anti-[*Homo sapiens* ERBB2 (récepteur 2 du facteur de croissance épidermique, récepteur tyrosine-protéine kinase erbB-2, EGFR2, HER2, HER-2, p185c-erbB2, NEU, CD340)], anticorps monoclonal *Homo sapiens* et humanisé, bispécifique; chaîne lourde H-gamma1 *Homo sapiens*, anti-KLRK1 (1-451) [VH (*Homo sapiens* IGHV3-21\*01 (100%) -(IGHD) -IGHJ5\*02 (100%), CDR-IMGT [8.8.15] (26-33.51-58.97-111)) (1-122) - *Homo sapiens* IGHG1\*01 G1m17,1 CH1 K120, CH3 D12, L14, G1v75 CH3 C5, G1v90 E16, W88 (CH1 K120 (219) (123-220), charnière 1-15 (221-235), CH2 (236-345), CH3 D12 (361), L14 (363), Y5>C (354), K16>E (365), K88>W (414) (346-450), CHS K2>del (451)) (123-451)], (225-214')-disulfure avec la chaîne légère L-kappa *Homo sapiens*, anti-KLRK1 (1'-214') [V-KAPPA (*Homo sapiens* IGKV1-12\*01 (97.9%) -IGKJ4\*01 (100%), CDR-IMGT [6.3.9] (27'-32'.50'-52'.89'-97')) (1'-107') -*Homo sapiens* IGKC\*01 (100%) Km3 A45.1, V101 (C-KAPPA A45.1 (153'), V101 (191')) (108'-214')];

chaîne lourde scFvkh-G1(h-CH2-CH3) humanisée, anti-ERBB2 (1"-475") [V-KAPPA (*Homo sapiens* IGKV1-39\*01 (86.3%) -IGKJ1\*01 (90.9%) Q120>C (100%), CDR-IMGT [6.3.9] (27"-32".50"-52".89"-97")) (1"-107") -20-mer tétrakis(tétraglycyl-séryl) linker (108"-127") -VH (*Homo sapiens*IGHV3-66\*01 (80.6%)-(IGHD)-IGHJ4\*01 (100%), CDR-IMGT [8.8.13] (153"-160".178"-185".224"-236")) (128"-247") -2-mer alanyl-séryl linker (248"-249") -*Homo sapiens*IGHG1\*01 h-CH2-CH3, G1m1 CH3 D12, L14, G1v74 CH3 C10, G1v91 R3, V84.2, T85.1 (charnière 6-15 (250"-259"), CH2 (260"-369"), CH3 Q3>R (376"), S10>C (383"), D12 (385"), L14 (387"), D84.2>V (428"), F85.1>T (434") (370"-474"), CHS K2>del (475")) (250"-475")]; dimère (231-255": 234-258":354-383")-trisdisulfure, produit dans des cellules ovariennes de hamster chinois (CHO), lignée cellulaire CHO-K1, glycoforme alfa antinéoplasique

## azerutamig

inmunoglobulina (H-gamma1\_L-kappa)\_scFvkh-H-gamma1(h-CH2-CH3), anti-[*Homo sapiens* KLRK1 (receptor lectina like K1 de células tumorales, NKG2D, KLR, NKG2-D, CD314)] y anti-[*Homo sapiens* ERBB2 (receptor 2 del factor de crecimiento epidérmico, receptor tirosina-proteína kinasa erbB-2, EGFR2, HER2, HER-2, p185c-erbB2, NEU, CD340)], anticuerpo monoclonal *Homo sapiens* y humanizado, biespecífico; cadena pesada H-gamma1 *Homo sapiens*, anti-KLRK1 (1-451) [VH (*Homo sapiens*IGHV3-21\*01 (100%)-(IGHD)-IGHJ5\*02 (100%), CDR-IMGT [8.8.15] (26-33.51-58.97-111)) (1-122) -*Homo sapiens*IGHG1\*01 G1m17.1 CH1 K120, CH3 D12, L14, G1v75 CH3 C5, G1v90 E16, W88 (CH1 K120 (219) (123-220), bisagra 1-15 (221-235), CH2 (236-345), CH3 D12 (361), L14 (363), Y5>C (354), K16>E (365), K88>W (414) (346-450), CHS K2>del (451)) (123-451)], (225-214")-disulfuro con la cadena ligera L-kappa *Homo sapiens*, anti-KLRK1 (1'-214') [V-KAPPA (*Homo sapiens* IGKV1-12\*01 (97.9%)-IGKJ4\*01 (100%), CDR-IMGT [6.3.9] (27"-32".50"-52".89"-97")) (1'-107') -*Homo sapiens*IGKC\*01 (100%) Km3 A45.1, V101 (C-KAPPA A45.1 (153'), V101 (191')) (108'-214')]; cadena pesada scFvkh-G1(h-CH2-CH3) humanizada, anti-ERBB2 (1"-475") [V-KAPPA (*Homo sapiens* IGKV1-39\*01 (86.3%)-IGKJ1\*01 (90.9%) Q120>C (100%), CDR-IMGT [6.3.9] (27"-32".50"-52".89"-97")) (1"-107") -20-mer tétrakis(tétraglycile-séryl) linker (108"-127") -VH (*Homo sapiens*IGHV3-66\*01 (80.6%)-(IGHD)-IGHJ4\*01 (100%), CDR-IMGT [8.8.13] (153"-160".178"-185".224"-236")) (128"-247") -2-mer alanil-séryl linker (248"-249") -*Homo sapiens*IGHG1\*01 h-CH2-CH3, G1m1 CH3 D12, L14, G1v74 CH3 C10, G1v91 R3, V84.2, T85.1 (bisagra 6-15 (250"-259"), CH2 (260"-369"), CH3 Q3>R (376"), S10>C (383"), D12 (385"), L14 (387"), D84.2>V (428"), F85.1>T (434") (370"-474"), CHS K2>del (475")) (250"-475")]; dímero (231-255": 234-258":354-383")-trisdisulfuro, producido en las células ováricas de hámster chino (CHO), línea celular CHO-K1, forma glicosilada alfa antineoplásico

Heavy chain / Chaîne lourde / Cadena pesada: H-gamma1 anti-KLRK1 (H)  
 EVOLVESGGGVVKPGGSLRL SCAASGFTFS SYSMNWVRQA PGKGLEWVSS 50  
 ISSSSYYIYADSVKGRTI SRDNAKNSLY LQMNNSLAED TAVYYCARGA 100  
 PMGAAAGWFD PWGQGTLTVV SSASTKGPSV FPLAPSSKST SGGAALGGL 150  
 VKDYFPEPVTV VSWNSGALTSGVHTFPAVLQ SSGLYSLSVSS VTVFSSILGT 200  
 QTYICNVNHHK PSNTKVDKVK EPKSCDKTHT CPPCPAPELL GGPSVFLFP 250  
 KPKDTLMLISR TPEVTVVVDV VSHEDPEVKF NWYVDGVEVH NAKTKPREEQ 300  
 YNSTYRVVSV ITVLHQDWLN GKEYKCKVSN KALPAPIEKT ISKAKGQPREG 350  
 PQVCTILPPSR DELTNQVSL TCLVKGVFYS DIAVEWESNG QPENNYKTP 400  
 PVLDSDGSFF LYSWLTVDKS RWQQGNVFSC SVMHEALHNH YTQKSLSLSP 450  
 G

Light chain / Chaîne légère / Cadena ligera: L-kappa anti-KLRK1 (L')  
 DIQMTOQPSS VSASVGDRVT ITCRASQDVN TAVAWYQQKP GKAPKLLIYA 50  
 ASSLQSGVPSS RFSGSGSGTD FTLLTISSLQP EDFATYYCQQ GVSFPRTFGG 100  
 GTKVEIKRTV AAPSVFIFPP SDEQLKSGTA SVVCLLNNFY PREAKVQKV 150  
 DNALQSGNSQ ESVTQEQLSKD STYSLSLLT LSKADYEKHK VYACEVTHQG 200  
 LSSPVTKSFN RGE 214

Heavy chain / Chaîne lourde / Cadena pesada: scFvkh anti-ERBB2 -H-gamma1 (h-CH2-CH3) (H')  
 DIQMTOQPSS LSASVGDRVT ITCRASQDVN TAVAWYQQKP GKAPKLLIYA 50  
 ASFLYSGVPSS RFSGSGSGTD FTLLTISSLQP EDFATYYCQQ HYTPPTFGC 100  
 GTKVEIKGGG GSNSGGGGGG GSNSGGGSEVQ LVESGGGGLVQ PGSSLRLSCA 150  
 ASGFNIKDTY IHWRQAPGK CLEWVARIYP TNGYTRYADS VKGRFTISAD 200  
 TSKNTAYLQM NSLRAEDTAV YYCSRWWGGDG FYAMDWGQG TLTVVSSASD 250  
 KTHTCPCCPA PELLGGPSVF LFPPKKPDKTL MISRTPEVTC VVVVDVSHEDP 300  
 EVFKFNWYVDG VEVHNATKRP REEQYNSTYR VVSVLTVLHQ DWLNGKEYKC 350  
 KVSNKALPAP IEKTISKAKG QPREPRTVYL PPCRDELTKN QVSLTCLVKG 400  
 FYPSTDIAVEW ESNQGPENNY KTTPPVVLVSD GSFTLYSKLT VDKSRWQQGN 450  
 VFSCSVMHEA LHNHYTQKSL SLS 475

#### Post-translational modifications

Disulfide bridges location / Position des ponts disulfure / Posiciones de los puentes disulfuro  
 Intra-H (C23-C104) 22-96 149-205 266-326 372-430

23"-88" 149"-223" 290"-350" 396"-454"

Intra-H scFv VL120-VH49\* 100"-171"

Intra-L (C23-C104) 23"-88" 134"-194"

Inter-H-L (CH1 10-CL 126) 225-214"

Inter-H-H (h 8, h 11) 231-255" 234-258"

Inter-H-H (CH3 C5-C10)\*\* 354-383"

\*engineered additional disulfide bond C120 (VL)-C49 ( VH) to stabilize the scFv (variant scFv-v2).

\*\*variants G1v75 (CH3 C5) and G1v74 (CH3 C10) creating an additional inter-H-H disulfide bond.

N-glycosylation sites / Sites de N-glycosylation / Posiciones de N-glicosilación

H CH2 N84.4: 302, 326"

Fucosylated complex bi-antennary CHO-type glycans / glycanes de type CHO bi-antennaires complexes fucosylés / glicanos de tipo CHO biantenarios complejos fucosilados.

#### **balinatunfibum**

balinatunfib

(7*R*,14*R*)-11-[2-(1-amino cyclobutyl)pyrimidin-5-yl]-1-(difluoromethoxy)-6-methyl-6,7-dihydro-7,14-methano[1,3]benzimidazo[1,2-*b*][2,5]benzodiazocin-5(14*H*)-one  
*tumor necrosis factor (TNF) signaling inhibitor*

balinatunfib

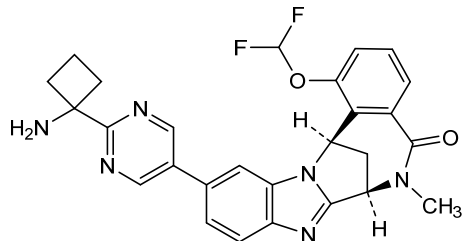
(7*R*,14*R*)-11-[2-(1-amino cyclobutyl)pyrimidin-5-yl]-1-(difluorométhoxy)-6-méthyl-6,7-dihydro-7,14-méthano[1,3]benzimidazo[1,2-*b*][2,5]benzodiazocin-5(14*H*)-one  
*inhibiteur de signalisation du facteur de nécrose tumorale (TNF)*

balinatunfib

(7*R*,14*R*)-11-[2-(1-amino ciclobutil)pirimidin-5-il]-1-(difluorometoxi)-6-metil-6,7-dihidro-7,14-metano[1,3]bencimidazo[1,2-*b*][2,5]benzodiazocin-5(14*H*)-ona  
*inhibidor de la señalización del factor de necrosis tumoral (TNF)*

C<sub>27</sub>H<sub>24</sub>F<sub>2</sub>N<sub>6</sub>O<sub>2</sub>

2248726-53-4

**bavabegenum tovacivecum #**

bavabegene tovacivec recombinant non-replicating vaccinia virus (Modified Vaccinia Ankara strain [MVA]) encoding two codon-optimised fusion proteins adjacent to one another containing hepatitis B virus (HBV) antigens, with the first one comprising the C-terminal region of the HBV Pre-S1 protein, Pre-S2, a non-functional polymerase, the pre-core antigen, and the core antigen, preceded by a shark Invariant (Sli) chain sequence and under control of the endogenous MVA F11 promoter and the vaccinia virus early termination signal. The second fusion protein comprises the signal peptide from tissue plasminogen activator (tpA), the N-terminal fragment of the HBVPre-S1 protein, and the HBV surface antigen (HBsAg) under control of a modified H5 promoter  
*gene therapy (immune response inducer, hepatitis B)*

bavébégène tovacivec virus de la vaccine recombinant non répliquant (modifié de la vaccine souche Ankara [MVA]), qui code deux protéines de fusion optimisées par codon, adjacentes, contenant des antigènes du virus de l'hépatite B (VHB), la première comprenant la région C-terminale de la protéine Pré-S1 du VHB, Pré-S2, une polymérase non fonctionnelle, l'antigène pré-core, et l'antigène core, tous précédés d'une séquence dérivée de la chaîne invariante de requin (Sli) et sous le contrôle du promoteur MVA F11 endogène et du signal d'arrêt précoce du virus de la vaccine. La seconde protéine de fusion comprend le peptide signal de l'activateur tissulaire du plasminogène (Atp), le fragment N-terminal de la protéine Pré-S1 du VHB et l'antigène de surface du VHB (AgHB) sous le contrôle d'un promoteur H5 modifié  
*thérapie génique (inducteur de réponse immunitaire, hépatite B)*

bavebegén tovacivec virus vaccinia no replicativo, recombinante (Vaccinia cepa Ankara Modificado [MVA]) que codifica, con codones optimizados, para dos proteínas de fusión adyacentes que contienen antígenos del virus de la hepatitis B (VHB), la primera de las cuales consta de la región C-terminal de la proteína Pre-S1 del HBV, Pre-S2, una polimerasa no funcional, el antígeno pre núcleo y el antígeno del núcleo, todos precedidos por una secuencia de la cadena Invariable de tiburón (Sli) y bajo el control del promotor endógeno MVA F11 y la señal de terminación temprana del virus vaccinia. La segunda proteína de fusión consta del péptido señal del activador del plasminógeno tisular (tpA), el fragmento N-terminal de la proteína pre-S1 del VHB y el antígeno de superficie del VHB (HbSAg), bajo el control de un promotor H5 modificado  
*terapia génica (inductor de respuesta inmunitaria, hepatitis B)*

2857059-65-3

**becotatugum vedotinum #**  
becotatug vedotin

immunoglobulin G1-kappa, anti-[*Homo sapiens* EGFR (epidermal growth factor receptor, receptor tyrosine-protein kinase erbB-1, ERBB1, HER1, HER-1, ERBB)], humanized monoclonal antibody, conjugated on an average of four cysteinyl residues to *vedotin*, comprising a cleavable linker and monomethylauristatin E (MMAE); H-gamma1 heavy chain humanized (1-449) [VH (*Homo sapiens* IGHV4-4\*08 (79.4%) -(IGHD) - IGHJ4\*01 (92.9%), CDR-IMGT [8.7.13] (26-33.51-57.96-108)) (1-119) -*Homo sapiens* IGHG1\*03 (100%) G1m3, nG1m1 (CH1 R120 (216) (120-217), hinge 1-15 (218-232), CH2 (233-342), CH3 E12 (358), M14 (360) (343-447), CHS (448-449)) (120-449)], (222-214')-disulfide with L-kappa light chain humanized (1'-214') [V-KAPPA (*Homo sapiens* IGKV6-21\*02 (89.5%) -IGKJ2\*03 (100%), CDR-IMGT [6.3.9] (27-32.50-52.89-97)) (1'-107') -*Homo sapiens* IGKC\*01 (100%) Km3 A45.1, V101 (C-KAPPA A45.1 (153'), V101 (191')) (108'-214')]; dimer (228-228": 231-231")-bisdisulfide, produced in Chinese hamster ovary (CHO) cells, cell line CHO-S, glycoform alfa; substituted at the sulfur atoms of four L-cysteinyl residues on an average among 222, 228, 231, 214', 222", 228", 231" and 214" with a group consisting of (3RS)-1-(6-[(2S)-1-[(2S)-5-(carbamoylamino)-1-4-[(2S)-1-[(2S)-1-[(3R,4S,5S)-1-[(2S)-2-[(1R,2R)-3-[(1S,2R)-1-hydroxy-1-phenylpropan-2-yl]amino]-1-methoxy-2-methyl-3-oxopropyl]pyrrolidin-1-yl]-3-methoxy-5-methyl-1-oxoheptan-4-yl](methyl)amino}-3-methyl-1-oxobutan-2-yl]amino)-3-methyl-1-oxobutan-2-yl](methyl)carbamoyl]oxy)methyl]amino)-1-oxopentan-2-yl]amino)-3-methyl-1-oxobutan-2-yl]amino)-6-oxohexyl)-2,5-dioxopyrrolidin-3-yl (*vedotin*) *inhibitor of microtubule polymerisation, antineoplastic*

## bécotatug védotine

immunoglobuline G1-kappa, anti-[*Homo sapiens* EGFR (récepteur du facteur de croissance épidermique, récepteur tyrosine-protéine kinase erbB1, ERBB1, HER1, HER-1, ERBB)], anticorps monoclonal humanisé, conjugué, par quatre résidus cystéinylole en moyenne à la védotine, comprenant un linker clivable et monométhylauristatine E (MMAE); chaîne lourde H-gamma1 humanisée (1-449) [VH (*Homo sapiens* IGHV4-4\*08 (79.4%) -(IGHD) - IGHJ4\*01 (92.9%), CDR-IMGT [8.7.13] (26-33.51-57.96-108)) (1-119) -*Homo sapiens* IGHG1\*03 (100%) G1m3, nG1m1 (CH1 R120 (216) (120-217), charnière 1-15 (218-232), CH2 (233-342), CH3 E12 (358), M14 (360) (343-447), CHS (448-449)) (120-449)], (222-214')-disulfure avec la chaîne légère L-kappa humanisée (1'-214') [V-KAPPA (*Homo sapiens* IGKV6-21\*02 (89.5%) -IGKJ2\*03 (100%), CDR-IMGT [6.3.9] (27-32.50-52.89-97)) (1'-107') -*Homo sapiens* IGKC\*01 (100%) Km3 A45.1, V101 (C-KAPPA A45.1 (153'), V101 (191')) (108'-214')];

dimère (228-228": 231-231")-bisdisulfure, produit dans des cellules ovariennes de hamster chinois (CHO), lignée cellulaire CHO-S, glycoforme alfa; substitué sur l'atome de soufre de quatre résidus L-cystéinyle en moyenne parmi 222, 228, 231, 214', 222", 228", 231" et 214"" avec un groupe (3RS)-1-(6-[(2S)-1-[(2S)-5-(carbamoylamino)-1-4-[(2S)-1-[(2S)-1-[(3R,4S,5S)-1-[(2S)-2-[(1R,2R)-3-[(1S,2R)-1-hydroxy-1-phénylpropan-2-yl]amino]-1-méthoxy-2-méthyl-3-oxopropyl]pirrolidin-1-yl]-3-méthoxy-5-méthyl-1-oxoheptan-4-yl](méthyl)amino]-3-méthyl-1-oxobutan-2-yl]amino)-3-méthyl-1-oxobutan-2-yl](méthyl)carbamoyl]oxy)méthyl]janilino)-1-oxopentan-2-yl]amino)-3-méthyl-1-oxobutan-2-yl]amino}-6-oxohexyl)-2,5-dioxopirrolidin-3-yle (*vedotine*)  
*inhibiteur de la polymérisation des microtubules, antinéoplasique*

## becotatug vedotina

inmunoglobulina G1-kappa, anti-[*Homo sapiens* EGFR (receptor del factor de crecimiento epidérmico, receptor proteína-tirosina kinasa erbB1, ERBB1, HER1, HER-1, ERBB)], anticuerpo monoclonal humanizado, conjugado, en una media de cuatro residuos cisteinilo a la *vedotina*, que comprende un enlace escindible y monometilaristatina E (MMAE); cadena pesada H-gamma1 humanizada (1-449) [VH (*Homo sapiens*IGHV4-4\*08 (79.4%) -IGHD) -IGHJ4\*01 (92.9%), CDR-IMGT [8.7.13] (26-33.51-57.96-108)] (1-119) -*Homo sapiens*IGHG1\*03 (100%) G1m3, nG1m1 (CH1 R120 (216) (120-217), bisagra 1-15 (218-232), CH2 (233-342), CH3 E12 (358), M14 (360) (343-447), CHS (448-449)) (120-449)], (222-214')-disulfuro con la cadena ligera L-kappa humanizada (1'-214') [V-KAPPA (*Homo sapiens* IGKV6-21\*02 (89.5%) -IGKJ2\*03 (100%), CDR-IMGT [6.3.9] (27-32.50-52.89-97)] (1'-107') -*Homo sapiens*IGKC\*01 (100%) Km3 A45.1, V101 (C-KAPPA A45.1 (153'), V101 (191')) (108'-214')]; dímero (228-228": 231-231")-bisdisulfuro, producido en las células ováricas de hámster chino (CHO), línea celular CHO-S, forma glicosilada alfa; sustituido en el átomo de azufre de cuatro residuos L-cisteinilo en una media entre 222, 228, 231, 214', 222", 228", 231" y 214"" con un grupo (3RS)-1-(6-[(2S)-1-[(2S)-5-(carbamoylamino)-1-4-[(2S)-1-[(2S)-1-[(3R,4S,5S)-1-[(2S)-2-[(1R,2R)-3-[(1S,2R)-1-hidroxi-1-fenilpropan-2-yl]amino]-1-metoxi-2-metil-3-oxopropyl]pirrolidin-1-yl]-3-metoxi-5-metil-1-oxoheptan-4-yl](metil)amino]-3-metil-1-oxobutan-2-yl](metil)carbamoyl]oxy)metil]janilino)-1-oxopentan-2-yl]amino)-3-metil-1-oxobutan-2-yl]amino}-6-oxohexil)-2,5-dioxopirrolidin-3-ilo (*vedotina*)  
*inhibidor de la polimerización de los microtúbulos, antineoplásico*

2770851-80-2

## Heavy chain / Chaîne lourde / Cadena pesada

QVQLQESPGV LVKPSETLSL TCTVSGFSLS NYDVHWRQAA PGKGLEWLGV 50  
 IWSGGNTDYN TPFTSRLTIS VDTSKNQFSL KLSSVTAADT AVYYCARALD 100  
 YYDYEFAFWG QGTLVTVSSA STKGPSVFPV APSSKSTSGG TAALGCLVKD 150  
 YFPEPVTVSW NSGALTSGVW TFPAVLQSSG LYLSLSSVVTW PSSSLGTQTY 200  
 ICNVNHHKPSN TKVDKRVEPK SCDKTHTCPV CPAPELLGGP SVELFPKPK 250  
 DTLMSIRTPE VTCVVVDVSH EDPEVKFNWY VDGVEVHNAAK TKPREEQYNS 300  
 TYRIVSVSLTV LHQDWLNGKE YKCKVSNKAL PAPIEKTISK AKGQPREPQV 350  
 YTLPSPREEM TKNQVSLTCL VKGFYPSDIA VEWESENQPE NNYKTPPPVL 400  
 DSDGSFFLYS KLTVDKSRWQ QGNVFSCLCSVME HEALHNHYTQ KSLSLSPGK 449

## Light chain / Chaîne légère / Cadena ligera

EIVLTQSPDF QSVPTEKVT ITCRASQSIG TNIHWYQQKE DQSPKLLIKY 50  
 ASEISIGIPS RFSGSGSGTD FTLTINSLEA EDAATYCCQG NNEWPTSFQG 100  
 GTKLEIKRTV AAPSVFIFPP SDEQLKSGTA SVVCLLNFY PREAKVQWKV 150  
 DNALQSGNSQ EVSVEQDSKD STYSLSSSLT LSKADYEKHK VYACEVTHQG 200  
 LSSPVTKSFN RGEC 214

## Post-translational modifications

Disulfide bridges location / Position des ponts disulfure / Posiciones de los puentes disulfuro

Intra-H (C23-C104) 22-95 146-202 263-323 369-427  
 22"-95" 146"-202" 263"-323" 369"-427"

Intra-L (C23-C104) 23"-88" 134"-194"  
 23"-88"" 134"-194""

Inter-H-L (h 5-CL 126)\* 222-214" 222"-214"

Inter-H-H (h 11, h 14)\* 228-228" 231-231"

\*At least two of the four inter-chain disulfide bridges are not present, an average of four cysteinyl being conjugated each via a thioether bond to a drug linker.

\*Au moins deux des quatre ponts disulfures inter-chaines ne sont pas présents, quatre cystéinyl en moyenne étant chacun conjugué via une liaison thioéther à un linker-principe actif.

\*Al menos dos de los cuatro puentes disulfuro inter-catenarios no estan presentes, una media de cuatro cisteínil está conjugada a conectores de principio activo.

## N-terminal glutaminyl cyclization / Cyclisation du glutaminyle N-terminal / Ciclación del glutamínilo N-terminal

Q> pyroglutamyl (pE, 5-oxopropyl) / pyroglutamyl (pE, 5-oxopropile) / piroglutamilo (pE, 5-oxoprolilo)

H VH Q1: 1, 1"

## N-glycosylation sites / Sites de N-glycosylation / Posiciones de N-glicosilación

H CH2 N84.4: 299, 299"

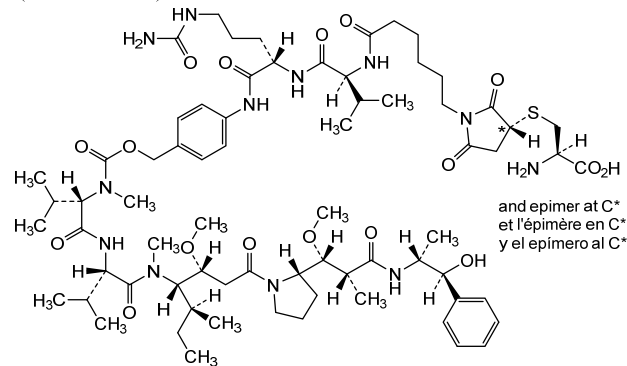
Fucosylated complex bi-antennary CHO-type glycans / glycanes de type CHO bi-antennaires complexes fucosylés / glicanos de tipo CHO biantenarios complejos fucosilados.

C-terminal lysine clipping / Coupe de la lysine C-terminale / Recorte de lisina C-terminal  
 H CHS K2: 449, 449"

## Potential modified residues / résidus modifiés potentiels / restos modificados potenciales\*

C (222, 228, 231, 214", 222", 228", 231", 214")

\*(vedotin:mAb ~ 4:1)



**beroterkibum**

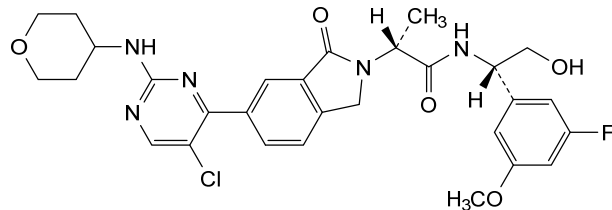
beroterkib (2R)-2-(6-{5-chloro-2-[(oxan-4-yl)amino]pyrimidin-4-yl}-1,3-dihydro-2H-1-oxoisoindol-2-yl)-N-[(1S)-1-(3-fluoro-5-methoxyphenyl)-2-hydroxyethyl]propanamide *extracellular signal-regulated kinases (ERK) inhibitor, antineoplastic*

béroterkib (2R)-2-(6-{5-chloro-2-[(oxan-4-yl)amino]pyrimidin-4-yl}-1,3-dihydro-2H-1-oxoisoindol-2-yl)-N-[(1S)-1-(3-fluoro-5-méthoxyphényl)-2-hydroxyéthyl]propanamide *inhibiteur de kinases extracellulaires régulées par le signal (ERK), antinéoplasique*

beroterkib (2R)-2-(6-{5-cloro-2-[(oxan-4-il)amino]pirimidin-4-il}-1-oxo-1,3-dihidro-2H-isoindol-2-il)-N-[(1S)-1-(3-fluoro-5-metoxifenil)-2-hidroxietil]propanamida *inhibidor de las kinasas extracelulares reguladas por señales (ERK), antineoplásico*



2095719-92-7

**betinukibartum #**

betinukibart immunoglobulin G1-kappa, anti-[*Homo sapiens* IL17A (interleukin 17A, IL-17A)]; H-gamma1 heavy chain (1-447) [VH (*Homo sapiens* IGHV7-4-1\*02 (90.7%) -(IGHD) -IGHJ4\*01 (93.3%) L123>T (112), CDR-IMGT [8.8.10] (26-33.51-58.97-106)) (1-117) -*Homo sapiens* IGHG1\*03, G1m3, nG1m1 CH1 R120, CH3 E12, M14, G1v14 CH2 A1.3, A1.2 (CH1 R120 (214) (118-215), hinge (216-230), CH2 L1.3>A (234), L1.2>A (235) (231-340), CH3 E12 (356), M14 (358) (341-445), CHS (446-447)) (118-447)], (220-219')-disulfide with L-kappa light chain (1'-219') [V-KAPPA Musmus/Homsap (*Mus musculus* IGKV1-110\*01 (89.0%) -IGKJ2\*01 (100%)/*Homo sapiens* IGKV2-28\*01 (82.0%) -IGKJ2\*01 (91.7%) Q120>G (105'), CDR-IMGT [11.3.9] (27-37'.55'-57'.94'-102')) (1'-112') -*Homo sapiens* IGKC\*01 (100%) Km3 A45.1, V101 (C-KAPPA A45.1 (158'), V101 (196')) (113'-219')]; dimer (226-226'':229-229'')-bisdisulfide, produced in Chinese hamster ovary (CHO) cells, cell line CHO-K1, glycoform alfa *interleukin-17A (IL-17A) inhibitor, anti-inflammatory*

## bétinukibart

immunoglobuline G1-kappa, anti-[*Homo sapiens* IL17A (interleukine 17A, IL-17A)]; chaîne lourde H-gamma1 (1-447) [VH (*Homo sapiens* IGHV7-4-1\*02 (90.7%) -(IGHD) -IGHJ4\*01 (93.3%) L123>T (112), CDR-IMGT [8.8.10] (26-33.51-58.97-106)) (1-117) -*Homo sapiens* IGHG1\*03, G1m3, nG1m1 CH1 R120, CH3 E12, M14, G1v14 CH2 A1.3, A1.2 (CH1 R120 (214) (118-215), charnière (216-230), CH2 L1.3>A (234), L1.2>A (235) (231-340), CH3 E12 (356), M14 (358) (341-445), CHS (446-447)) (118-447)], (220-219')-disulfure avec la chaîne légère L-kappa (1'-219') [V-KAPPA Musmus/Homsap (*Mus musculus* IGKV1-110\*01 (89.0%) -IGKJ2\*01 (100%)/*Homo sapiens* IGKV2-28\*01 (82.0%) -IGKJ2\*01 (91.7%) Q120>G (105'), CDR-IMGT [11.3.9] (27-37'.55'-57'.94'-102')) (1'-112') -*Homo*

*sapiens* IGKC\*01 (100%) Km3 A45.1, V101 (C-KAPPA A45.1 (158'), V101 (196')) (113'-219']); dimère (226-226":229-229")-bisdisulfure, produit dans des cellules ovariennes de hamster chinois (CHO), lignée cellulaire CHO-K1, glycoforme alfa  
*inhibiteur de l'interleukine-17A (IL-17A), anti-inflammatoire*

betinukibart

inmunoglobulina G1-kappa, anti-[*Homo sapiens* IL17A (interleukina 17A, IL-17A)];  
 cadena pesada H-gamma1 (1-447) [VH (*Homo sapiens* IGHV7-4-1\*02 (90.7%) -(IGHD)-IGHJ4\*01 (93.3%) L123>T (112), CDR-IMGT [8.8.10] (26-33.51-58.97-106)) (1-117) -*Homo sapiens*IGHG1\*03, G1m3, nG1m1 CH1 R120, CH3 E12, M14, G1v14 CH2 A1.3, A1.2 (CH1 R120 (214) (118-215), bisagra (216-230), CH2 L1.3>A (234), L1.2>A (235) (231-340), CH3 E12 (356), M14 (358) (341-445), CHS (446-447)) (118-447)], (220-219")-disulfuro con la cadena ligera L-kappa (1'-219') [V-KAPPA Musmus/Homsap (*Mus musculus* IGKV1-110\*01 (89.0%)-IGKJ2\*01 (100%)/*Homo sapiens* IGKV2-28\*01 (82.0%)-IGKJ2\*01 (91.7%) Q120>G (105'), CDR-IMGT [11.3.9] (27'-37'.55'-57'.94'-102')) (1'-112') -*Homo sapiens* IGKC\*01 (100%) Km3 A45.1, V101 (C-KAPPA A45.1 (158'), V101 (196')) (113'-219')]; dímero (226-226":229-229")-bisdisulfuro, producido en las células ováricas de hamster chino (CHO), línea celular CHO-K1, forma glicosilada alfa  
*inhibidor de la interleuina-17A (IL-17A), antiinflamatorio*

2744274-11-9

**Heavy chain / Chaîne lourde / Cadena pesada**

QVQLVQSGSE	LKKPGASVKV	SCKASEYIFT	NYGMNWVKQA	PQQGFEWMGW	50
IDLNTGEPTY	AQGFTGRFVF	SLDTSVSTAY	LQISSLKAED	TATYYCANYG	100
WGYFDYWQGQ	TIVTVSSAST	KGPSPVFLAP	SSKSTSGGTA	ALGCLVKDYE	150
PEPVTVSWNS	GALTSGVHTF	PAVLQSSGLY	SLSSVTVTPS	SSLGQTQTYIC	200
NVNHKPSNTS	VDKRVEPKSC	DKTHTCPCCP	APEAAAGPSV	FLFPKKPKDT	250
LMISRTPETV	CVVVDVSHED	PEVKFWNYYV	GVEVHNNAKTK	PREEQYNSTY	300
RRVSVLTVLH	QDWLNGKEYK	CKVSNKALPA	PIEKTISKAK	GQPREPQVYT	350
LPPSRREEMTH	NQVSILCLVK	GFYPSIDAVE	WESENQPEENN	YKTTTPPVLDs	400
DGSFFLYSKL	TVDKSRWQCG	NVFSCVMHE	ALHNHYTQKS	LJLSPGK	447

**Light chain / Chaîne légère / Cadena ligera**

DVVMQTTPS	LPVNPGEPAS	ISCRSSQSLV	HSNGYTYLHW	YLQKPGQSPQ	50
LNIYKVSNHL	SGVPDRFSGS	GSGTDFTLKI	SWVEAEDVG	YFCQSSTHVP	100
YTFFGGTKLE	IKRTVAAPSV	FIFPPSDEQL	KSGTASVVC	LNNFYPREAK	150
VQWKVDNALQ	SGNSQESVTE	QDSKDSTYSL	SSTTLSKAD	YEKHKVYACE	200
VTHQGLSSPV	TKSFNRGEC				219

**Post-translational modifications**

Disulfide bridges location / Position des ponts disulfure / Posiciones de los puentes disulfuro  
 Intra-H (C23-C104) 22-96 144-200 261-321 367-425

22"-96" 144"-200" 261"-321" 367"-425"

Intra-L (C23-C104) 23-93' 139"-199'

23"-93" 139"-199"

Inter-H-L (h 5-CL 126) 220-219' 220"-219"

Inter-H-H (h 11, h 14) 226-226" 229-229"

N-terminal glutaminyl cyclization / Cyclisation du glutaminyle N-terminal / Ciclación del glutaminilo N-terminal

Q> pyroglutamyl (pE, 5-oxoprolyl) / pyroglutamyle (pE, 5-oxoprolyle) / piroglutamilo (pE, 5-oxoprolilo)  
 H VH Q1: 1, 1"

N-glycosylation sites / Sites de N-glycosylation / Posiciones de N-glicosilación

H CH2 N84.4: 297, 297"

Fucosylated complex bi-antennary CHO-type glycans / glycanes de type CHO bi-antennaires complexes fucosylés / glicanos de tipo CHO biantenarios complejos fucosilados

C-terminal lysine clipping / Coupe de la lysine C-terminale / Recorte de lisina C-terminal

H CHS K2: 447, 447"

**bezeotermium alfa #**

bezeoterm alfa

human bone morphogenic protein 6 (BMP-6, VG-1-related protein (VG-1-R; VGR-1)), dimer, produced in Chinese hamster ovary (CHO) cells, cell line CHO-S, glycoform alfa  
*recombinant bone morphogenetic protein 6 (BMP6)*

bézéotermine alfa

protéine osseuse morphogénique 6 humaine (BMP-6, protéine apparentée à VG-1 (VG-1-R; VGR-1)), dimère, produite dans des cellules ovariennes de hamster chinois (CHO), lignée cellulaire CHO-S, glicoforme alfa  
*protéine morphogénétique osseuse recombinante 6 (BMP6)*

bezeotermina alfa

proteína morfogénica ósea 6 humana (BMP-6, VG-1-proteína relacionada (VG-1-R; VGR-1)), dímero, producido en células ováricas de hámster Chino (CHO), línea celular CHO-S, glicoforma alfa  
*proteína 6 morfogenética ósea (BMP6) recombinante*

2935496-94-7

Sequence / Séquence / Secuencia

SASSRRRQQS RNRSTQSQDV ARVSSASDYN SSELKTACRK HELYVSFQDL	50
GWQDWIIAPK GYAANYCDGE CSFPLNAHMN ATNHAIIVQTL VHLMNPEYVP	100
KPCCAPTKLN AISVLYFDDN SNVILKKYRN MVVRACGCH	139

**Post-translational modifications**

Disulfide bridges location / Position des ponts disulfure / Posiciones de los puentes disulfuro  
 Intra chain: 38-104, 67-136, 71-138, 38'-104', 67'-136', 71'-138'  
 Inter chain: 103-103'

N-glycosylation sites / Sites de N-glycosylation / Posiciones de N-glicosilación  
 N120, N120'

**birinkibartum #**

birinkibart

immunoglobulin G4-kappa, anti-[*Homo sapiens* CSF2RB (colony stimulating factor 2 (CSF2) receptor subunit beta, granulocyte-macrophage colony stimulating factor (GM-CSF) receptor subunit beta, beta common cytokine receptor, IL3RB, IL5RB, CD131)], *Homo sapiens* monoclonal antibody;  
 H-gamma4 heavy chain *Homo sapiens* (1-450) [VH (*Homo sapiens* IGHV1-24\*01 (94.9%) -(IGHD) -IGHJ4\*01 (100%), CDR-IMGT [8.8.16] (26-33.51-58.97-112)) (1-123) -*Homo sapiens* IGHG4\*01, nG4m(a) CH2 L92, G4v5 h P10(CH1 (124-221), hinge 1-12 S10>P (231) (222-233), CH2 L92 (312) (234-343), CH3 (344-448), CHS (449-450)) (124-450)], (137-214')-disulfide with L-kappa light chain *Homo sapiens* (1'-214') [V-KAPPA (*Homo sapiens* IgKV3-20\*01 (93.8%) -IGKJ2\*01 (100%), CDR-IMGT [6.3.9] (27'-32'.50'-52'.89'-97')) (1'-107') -*Homo sapiens* IGKC\*01 (100%) Km3 A45.1, V101 (C-KAPPA A45.1 (153'), V101 (191')) (108'-214')]; dimer (229-229":232-232")-bisdisulfide, produced in Chinese hamster ovary (CHO) cells, glicoform alfa  
*immunomodulator, anti-inflammatory*

birinkibart

immunoglobuline G4-kappa, anti-[*Homo sapiens* CSF2RB (sous-unité bêta du récepteur du facteur 2 stimulant les colonies (CSF2), sous-unité bêta du récepteur du facteur stimulant les colonies de granulocytes et macrophages (GM-CSF), bêta commun aux récepteurs de cytokines, IL3RB, IL5RB, CD131)], anticorps monoclonal *Homo sapiens*;  
 chaîne lourde H-gamma4 *Homo sapiens* (1-450) [VH (*Homo sapiens* IGHV1-24\*01 (94.9%) -(IGHD) -IGHJ4\*01 (100%), CDR-IMGT [8.8.16] (26-33.51-58.97-112)) (1-123) -*Homo sapiens* IGHG4\*01,

*nG4m(a) CH2 L92, G4v5 h P10(CH1 (124-221), charnière 1-12 S10>P (231) (222-233), CH2 L92 (312) (234-343), CH3 (344-448), CHS (449-450)) (124-450)], (137-214')-disulfure avec la chaîne légère L-kappa *Homo sapiens* (1'-214') [V-KAPPA (*Homo sapiens* IGKV3-20\*01 (93.8%) -IGKJ2\*01 (100%), CDR-IMGT [6.3.9] (27'-32'.50'-52'.89'-97')) (1'-107') -*Homo sapiens* IGKC\*01 (100%) Km3 A45.1, V101 (C-KAPPA A45.1 (153'), V101 (191')) (108'-214')]; dimère (229-229":232-232")-bisdisulfure, produit dans des cellules ovariennes de hamster chinois (CHO), glycoforme alfa *immunomodulateur, anti-inflammatoire**

birinkibart

inmunoglobulina G4-kappa, anti-[*Homo sapiens* CSF2RB (subunidad beta del receptor del factor 2 estimulante de las colonias (CSF2), subunidad beta del receptor del factor estimulante de las colonias de granulocitos y macrófagos (GM-CSF), beta común con los receptores de citoquinas, IL3RB, IL5RB, CD131)], anticuerpo monoclonal *Homo sapiens*; cadena pesada H-gamma4 *Homo sapiens* (1-450) [VH (*Homo sapiens* IGHV1-24\*01 (94.9%) -(IGHD) -IGHJ4\*01 (100%), CDR-IMGT [8.8.16] (26-33.51-58.97-112)) (1-123) -*Homo sapiens* IGHG4\*01, *nG4m(a)* CH2 L92, G4v5 h P10(CH1 (124-221), bisagra 1-12 S10>P (231) (222-233), CH2 L92 (312) (234-343), CH3 (344-448), CHS (449-450)) (124-450)], (137-214')-disulfuro con la cadena ligera L-kappa *Homo sapiens* (1'-214') [V-KAPPA (*Homo sapiens* IGKV3-20\*01 (93.8%) -IGKJ2\*01 (100%), CDR-IMGT [6.3.9] (27'-32'.50'-52'.89'-97')) (1'-107') -*Homo sapiens* IGKC\*01 (100%) Km3 A45.1, V101 (C-KAPPA A45.1 (153'), V101 (191')) (108'-214')]; dímero (229-229":232-232")-bisdisulfuro, producido en las células ováricas de hámster chino (CHO), forma glicosilada alfa *inmunomodulador, antiinflamatorio*

2894136-82-2

Heavy chain / Chaîne lourde / Cadena pesada

QMQLVQSGAE VKKPGASVKV SCKVSGYTLT ELSIHWRQA PGKGLEWMGG 50  
 FDPEDGETIY AQKFQGRVTM TGDTSTDAT TALESSRLSED TALYYCATGR 100  
 YTSLATTYGF DYWGQGTLVTV SSASTKGPS VFPLAPCSRS TSESTAAALGC 150  
 LVKDYFPEPV TVSWNSGALT SGVHTFPVAL QSSGLYSLLS VVTVPSSSLG 200  
 TKTTCNCVDR KPSNTKVDKR VESKYGPCCP PCPAPEFLGG PSVFLFPKP 250  
 KDTLMISRTPT EVTCVVVDVVS QDEPDEVQFNW YVDGVEVHNA KTKPREEQFN 300  
 STYRVVSVLT VLHQDWLNGK EYKCKVSNKG LPSSIEKTIS KAKGQPREPQ 350  
 VYTLPSPQEE MTKNQVSLTC LVKGFYPSDI AWEWESNGQP ENNYKTTTPV 400  
 LDSDGSFFLY SRLTVDKSRW QEGNVFSCSV MHEALHNHYT QKSLSLSSLGK 450

Light chain / Chaîne légère / Cadena ligera

EIVMTQSPET LSLSPGERAT LSCRASQSVS SYLAWSYQQKP GQAPRLLIYG 50  
 ASSRATGIPD RFSGSGSGTD FTLTISRLEP EDFAVYYCQQ YDNWPYTFGQ 100  
 GTKLEIKRTV AAPSVIFPPP SDEQLKSGTA SVVCLNNNFY PREAKVQWKV 150  
 DNALQSGNSQ ESVTEQDSKD STYSSLSSTLT LSKADYEKHK VYACEVTHQG 200  
 LSSPVTKSFN RGECA 214

**Post-translational modifications**

Disulfide bridges location / Position des ponts disulfure / Posiciones de los puentes disulfuro

Intra-H (C23-C104) 22-96 150-206 264-324 370-428

22"-96" 150"-206" 264"-324" 370"-428"

Intra-L (C23-C104) 23"-88" 134"-194"

23""-88"" 134""-194""

Inter-H-L (CH1 10-CL 126) 137-214' 137"-214"

Inter-H-H (h 8, h 11) 229-229" 232-232"

N-terminal glutaminyl cyclization / Cyclisation du glutaminyle N-terminal / Ciclación del glutaminilo N-terminal

Q> pyroglutamyl (pE, 5-oxoprolyl) / pyroglutamyle (pE, 5-oxoprolyle) / piroglutamilo (pE, 5-oxoprolilo)

H VH Q1: 1, 1"

N-glycosylation sites / Sites de N-glycosylation / Posiciones de N-glicosilación

H CH2 N84: 4, 300, 300"

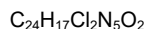
Fucosylated complex bi-antennary CHO-type glycans / glycanes de type CHO bi-antennaires complexes fucosylés / glicanos de tipo CHO biantenarios complejos fucosilados

C-terminal lysine clipping / Coupe de la lysine C-terminale / Recorte de lisina C-terminal

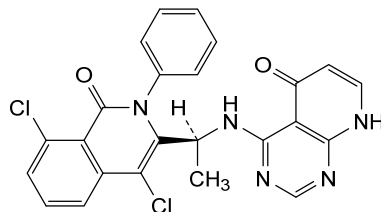
H CHS K2: 450, 450"

**bosmolisibum**

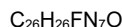
- bosmolisib 4-{{(1 S)-1-(4,8-dichloro-1-oxo-2-phenyl-1,2-dihydroisoquinolin-3-yl)ethyl}amino}pyrido[2,3-d]pyrimidin-5(8H)-one  
*phosphatidylinositol 3-kinase (PI3K) inhibitor, antineoplastic*
- bosmolisib 4-{{(1 S)-1-(4,8-dichloro-1-oxo-2-phényl-1,2-dihydroisoquinolinéin-3-yl)éthyl}amino}pyrido[2,3-d]pyrimidin-5(8H)-one  
*inhibiteur de la phosphatidylinositol 3-kinase (PI3K), antinéoplasique*
- bosmolisib 4-{{(1 S)-1-(4,8-dicloro-2-fenil-1-oxo-1,2-dihidroisoquinolin-3-il)etil}amino}pirido[2,3-d]pirimidin-5(8H)-ona  
*inhibidor de la kinasa-3 del fosfatidilinositol (PI3K), antineoplásico*



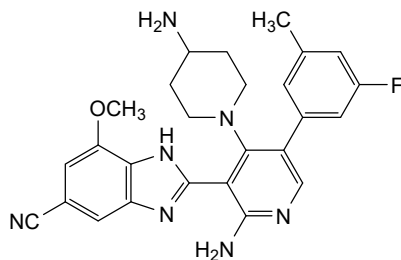
2055765-77-8

**branosotinum**

- branosotine 2-[2-amino-4-(4-aminopiperidin-1-yl)-5-(3-fluoro-5-methylphenyl)pyridin-3-yl]-7-methoxy-1H-1,3-benzimidazole-5-carbonitrile  
*somatostatin receptor agonist (veterinary use)*
- branosotine 2-[2-amino-4-(4-aminopipéridin-1-yl)-5-(3-fluoro-5-méthylphényl)pyridin-3-yl]-7-méthoxy-1H-1,3-benzimidazole-5-carbonitrile  
*agoniste des récepteurs de la somatostatine (usage vétérinaire)*
- branosotina 2-[2-amino-4-(4-aminopiperidin-1-il)-5-(3-fluoro-5-metilfenil)piridin-3-il]-7-metoxi-1H-1,3-bencimidazol-5-carbonitrilo  
*agonista del receptor de somatostatina (uso veterinario)*



2412849-26-2



**brexanolonum caprilcerbas**

brexanolone caprilcerbate

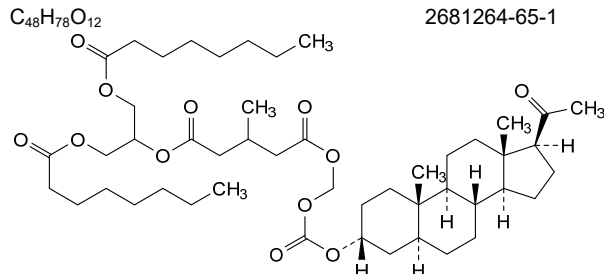
1-[1,3-bis(octanoyloxy)propan-2-yl] 5-[{(20-oxo-5 $\alpha$ -pregnan-3 $\alpha$ -yl)oxy]carbonyl}oxy)methyl] 3-methylpentanedioate  
*GABA<sub>A</sub> receptor positive allosteric modulator*

## caprilcerbate de brexanolone

3-méthylpentanedioate de 1-[1,3-bis(octanoyloxy)propan-2-yle] et de 5-[{(20-oxo-5 $\alpha$ -prégnan-3 $\alpha$ -yl)oxy]carbonyl}oxy)méthyle]  
*modulateur allostérique des récepteurs GABA<sub>A</sub>*

## caprilcerbato de brexanolona

3-metilpentanedioato de 1-[1,3-bis(octanoiloxi)propan-2-il] y de 5-[{(20-oxo-5 $\alpha$ -pregnano-3 $\alpha$ -il)oxi]carbonil}oxi)metilo]  
*modulador alostérico positivo del receptor GABA<sub>A</sub>*

**brivestobartum #**

brivestobart

immunoglobulin G4-kappa, anti-[*Homo sapiens* LAG3 (lymphocyte activating 3, lymphocyte-activation 3, CD223)], *Homo sapiens* monoclonal antibody; H-gamma4 heavy chain *Homo sapiens* (1-448) [VH (*Homo sapiens*IGHV4-34\*01 (91.8%) -(IGHD)-IGHJ5\*01 (92.3%), CDR-IMGT [8.7.15] (26-33.51-57.96-110)) (1-121) -*Homo sapiens*IGHG4\*01, nG4m(a) CH2 L92, G4v5 h P10(CH1 (122-219), hinge 1-12 S10>P (229) (220-231), CH2 L92 (310) (232-341), CH3 (342-446), CHS (447-448)) (122-448)], (135-214')-disulfide with L-kappa light chain *Homo sapiens* (1'-214') [V-KAPPA (*Homo sapiens*IGKV3-11\*01 (95.8%) -IGKJ4\*01 (100%), CDR-IMGT [6.3.9] (27'-32'.50'-52'.89'-97')) (1'-107') -*Homo sapiens*IGKC\*01 (100%) Km3 A45.1, V101 (C-KAPPA A45.1 (153'), V101 (191')) (108'-214')]; dimer (227-227":230-230")-bisdisulfide, produced in Chinese hamster ovary (CHO) cells, cell line CHO-K1, glycoform alfa immunostimulant, antineoplastic

brivestobart

immunoglobuline G4-kappa, anti-[*Homo sapiens* LAG3 (activateur 3 des lymphocytes, lymphocyte-activation 3, CD223)], anticorps monoclonal *Homo sapiens*; chaîne lourde H-gamma4 *Homo sapiens* (1-448) [VH (*Homo sapiens*IGHV4-34\*01 (91.8%) -(IGHD)-IGHJ5\*01 (92.3%), CDR-IMGT [8.7.15] (26-33.51-57.96-110)) (1-121) -*Homo sapiens*IGHG4\*01, nG4m(a) CH2 L92, G4v5 h P10,(CH1 (122-219), charnière 1-12 S10>P (229) (220-231), CH2 L92 (310) (232-341), CH3 (342-446), CHS (447-448)) (122-448)], (135-214')-disulfure avec la chaîne légère L-kappa *Homo sapiens* (1'-214') [V-KAPPA (*Homo sapiens*IGKV3-11\*01 (95.8%) -IGKJ4\*01 (100%), CDR-IMGT [6.3.9] (27'-32'.50'-52'.89'-97')) (1'-107') -*Homo sapiens*IGKC\*01 (100%) Km3 A45.1, V101 (C-KAPPA A45.1 (153'), V101 (191')) (108'-214')]; dimère (227"-230-230")-bisdisulfure,

produit dans des cellules ovariennes de hamster chinois (CHO), lignée cellulaire CHO-K1, glycoforme alfa  
*immunostimulant, antinéoplasique*

**brivestobart** inmunoglobulina G4-kappa, anti-[*Homo sapiens* LAG3 (activador 3 de los linfocitos, linfocito-activación 3, CD223)], anticuerpo monoclonal *Homo sapiens*; cadena pesada H-gamma4 *Homo sapiens* (1-448) [VH (*Homo sapiens*IGHV4-34\*01 (91.8%) -(IGHD)-IGHJ5\*01 (92.3%), CDR-IMGT [8.7.15] (26-33.51-57.96-110)) (1-121) -*Homo sapiens* IGHG4\*01, nG4m(a) CH2 L92, G4v5 h P10,(CH1 (122-219), bisagra 1-12 S10=P (229) (220-231), CH2 L92 (310) (232-341), CH3 (342-446), CHS (447-448)) (122-448)], (135-214')-disulfuro con la cadena ligera L-kappa *Homo sapiens* (1'-214') [V-KAPPA (*Homo sapiens* IGKV3-11\*01 (95.8%) -IGKJ4\*01 (100%), CDR-IMGT [6.3.9] (27'-32'.50'-52'.89'-97')) (1'-107') -*Homo sapiens* IGKC\*01 (100%) Km3 A45.1, V101 (C-KAPPA A45.1 (153'), V101 (191')) (108'-214')]; dímero (227-227":230-230")-bisdisulfuro, producido en las células ováricas de hamster chino (CHO), línea celular CHO-K1, forma glicosilada alfa  
*inmunoestimulante, antineoplásico*

2786639-04-9

**Heavy chain / Chaîne lourde / Cadena pesada**

QVQLQQWGAG LIKPSETLSSL TCGVYGGSFS GYYWSWIRQP PGMLEWIGE 50  
 INHRGNTNYN PSIKSRVTIS EDTSKNQFSL RLSSVTAADT AVYFCTRGED 100  
 YSDYDYYGDF WGQGTLVTVS SASTKGPSVF PLAPCSRSTS ESTAALGCLV 150  
 KDYFPEPVTV SWNSGALTSG VHHTFPAVLQS SGLYSLSVVV TVPSSSLGTK 200  
 TYTCNDVHDKP SNTKVDKRVE SKYGPPCPCC PAPEFLGGPS VFLLFPKPKD 250  
 TLMISRTPEV TCVVVDVSQE DPEVQFNWYV DGVEVHNAKT KPREEQFNST 300  
 YRVSVLTVL HQDWLNGKEY KCKVSNKGLP SSIEKTISKA KGQFREPQVY 350  
 TLPPSQEEMT KNQVSLTCLV KGFYPDSIAV EWESNGQOPEN NYKTPPPVLD 400  
 SDGSFFLYSR LTVDKSRWQE GNVFSCSVMH EALHNHYTQK SLSLSL GK 448

**Light chain / Chaîne légère / Cadena ligera**

EIVLTQSPAT LSLSQGERAT LSCRASQSQIS SYLAWYQQKP GQAPRLLIYA 50  
 ASNRTGIPA RFSGSGSGTD FTLLTSSLEP EDFAIYCCQQ RSNWPLTFGG 100  
 GTKVEIKRTV AAPSVFIFPP SDEQLKSFTA SVVCLLNNFY PREAKVQWKV 150  
 DNALQSGNSQ ESVTEQDSKD STYSLSSLT LSKADYEKHK VYACEVTHQG 200  
 LSSPVTKSFN RGEC 214

**Post-translational modifications**

Disulfide bridges location / Position des ponts disulfure / Posiciones de los puentes disulfuro  
 Intra-H (C23-C104) 22-95 148-204 262-322 368-426  
 22"-95" 148"-204" 262"-322" 368"-426"  
 Intra-L (C23-C104) 23"-88" 134"-194"  
 23"-88" 134"-194"  
 Inter-H-L (CH1 10-CL 126) 135-214' 135"-214"  
 Inter-H-H (h 8, h 11) 227-227" 230-230"

N-terminal glutaminyl cyclization / Cyclisation du glutaminyle N-terminal / Ciclación del glutamini N-terminal  
 Q>pyroglutamyl (pE, 5-oxoprolyl) / pyroglutamyle (pE, 5-oxoprolyle) / piroglutamilo (pE, 5-oxoproliolo)  
 H VH Q1: 1, 1"

N-glycosylation sites / Sites de N-glycosylation / Posiciones de N-glicosilación  
 H CH2 N84.4: 298, 298"  
 Fucosylated complex bi-antennary CHO-type glycans / glycane de type CHO bi-antennaires complexes fucosylés / glicanos de tipo CHO biantenarios complejos fucosilados

C-terminal lysine clipping / Coupe de la lysine C-terminale / Recorte de lisina C-terminal  
 H CHS K2: 448, 448"

**bulumtatumug #**

bulumtatu

immunoglobulin G1-kappa, anti-[*Homo sapiens* NECTIN4 (nectin-4, nectin cell adhesion molecule 4, PVRL4, poliovirus receptor-related 4, PPR4, LNIR)];  
 H-gamma1 heavy chain (1-449) [VH Musmus/Homsap (*Mus musculus* IGHV2-6-5\*01 (78.4%) -(IGHD) -IGHJ3\*01 (91.7%) A128>S (119)/*Homo sapiens* IGHV4-4\*08 (78.4%) -(IGHD) -IGHJ4\*01 (100%), CDR-IMGT [8.7.13] (26-33.51-57.96-108)) (1-119) -*Homo sapiens* IGHG1\*03 (100%) G1m3, nG1m1 CH1 R120, CH3 E12, M14 (CH1 R120 (216) (120-217), hinge 1-15 (218-232), CH2 (233-342), CH3 E12 (358), M14 (360) (343-447), CHS (448-449)) (120-449)], (222-220')-disulfide with L-kappa light chain (1'-220') [V-KAPPA (*Homo sapiens* IGKV4-1\*01 (91.1%) -IGKJ4\*01 (91.7%), CDR-IMGT [12.3.9] (27-38'.56'-58'.95'-103')) (1'-113') -*Homo sapiens* IGKC\*01 (100%) Km3 A45.1, V101 (C-KAPPA A45.1 (159'), V101 (197')) (114'-220')]; dimer (228-228":231-231")-bisdisulfide, produced in a cell line from Chinese hamster ovary (CHO) cells, derived from the cell line CHO-K1, glycoform alfa nectin-4 targeting agent

bulumtatu

immunoglobuline G1-kappa, anti-[*Homo sapiens* NECTIN4 (nectine-4, molécule d'adhésion cellulaire nectine 4, PVRL4, membre 4 apparenté au récepteur du poliovirus, PPR4, LNIR)];  
 chaîne lourde H-gamma1 (1-449) [VH Musmus/Homsap (*Mus musculus* IGHV2-6-5\*01 (78.4%) -(IGHD) -IGHJ3\*01 (91.7%) A128>S (119)/*Homo sapiens* IGHV4-4\*08 (78.4%) -(IGHD) -IGHJ4\*01 (100%), CDR-IMGT [8.7.13] (26-33.51-57.96-108)) (1-119) -*Homo sapiens* IGHG1\*03 (100%) G1m3, nG1m1 CH1 R120, CH3 E12, M14 (CH1 R120 (216) (120-217), charnière 1-15 (218-232), CH2 (233-342), CH3 E12 (358), M14 (360) (343-447), CHS (448-449)) (120-449)], (222-220')-disulfure avec la chaîne légère L-kappa (1'-220') [V-KAPPA (*Homo sapiens* IGKV4-1\*01 (91.1%) -IGKJ4\*01 (91.7%), CDR-IMGT [12.3.9] (27-38'.56'-58'.95'-103')) (1'-113') -*Homo sapiens* IGKC\*01 (100%) Km3 A45.1, V101 (C-KAPPA A45.1 (159'), V101 (197')) (114'-220')]; dimère (228-228":231-231")-bisdisulfure, produit dans une lignée cellulaire des cellules ovarianes de hamster chinois (CHO), dérivant de la lignée cellulaire CHO-K1, glycoforme alfa agent ciblant la nectine-4

bulumtatu

inmunoglobulina G1-kappa, anti-[*Homo sapiens* NECTIN4 (nectina-4, molécula de adhesión celular nectina 4, PVRL4, miembro 4 relacionado con el receptor del poliovirus, PPR4, LNIR)];  
 cadena pesada H-gamma1 (1-449) [VH Musmus/Homsap (*Mus musculus* IGHV2-6-5\*01 (78.4%) -(IGHD) -IGHJ3\*01 (91.7%) A128>S (119)/*Homo sapiens* IGHV4-4\*08 (78.4%) -(IGHD) -IGHJ4\*01 (100%), CDR-IMGT [8.7.13] (26-33.51-57.96-108)) (1-119) -*Homo sapiens* IGHG1\*03 (100%) G1m3, nG1m1 CH1 R120, CH3 E12, M14 (CH1 R120 (216) (120-217), bisagra 1-15 (218-232), CH2 (233-342), CH3 E12 (358), M14 (360) (343-447), CHS (448-449)) (120-449)], (222-220')-disulfuro con la cadena ligera L-kappa (1'-220') [V-KAPPA (*Homo sapiens* IGKV4-1\*01 (91.1%) -IGKJ4\*01 (91.7%), CDR-IMGT [12.3.9] (27-38'.56'-58'.95'-103')) (1'-113') -*Homo sapiens* IGKC\*01 (100%) Km3 A45.1, V101 (C-KAPPA A45.1 (159'), V101 (197')) (114'-220')]; dímero (228-228":231-231")-bisdisulfuro, producido en una línea celular de las células ováricas de hámster chino (CHO), línea celular derivada de CHO-K1, forma glicosilada alfa agente dirigido a la nectina-4

2862919-81-9

## Heavy chain / Chaîne lourde / Cadena pesada

EVQLQESGPG LVKPSSETLSI TCTVSGFSLI DYGVSWIRQP PGKGLEWIGV 50  
 IWGGGKIYYN SVLKSRTVIS KDNNSKSQVSL KLSSVTAADT AVYYCAKQGG 100  
 LLFYAMDYWG QGTLVTVSSA STKGPSVPL APSSKSTSGG TAALGCLVKD 150  
 YFPEPVTVWS NSGALTSGVH TFPAVLQSSG LYSLSSVVTV PSSLGTQTY 200  
 ICNVNHPKSN TKVDKRVEPK SCDKTHTCPP CPAPELLGGP SVFLFPPKPK 250  
 DTLMISRTPE VTCVVVDVSH EDPEVKFNWY VGDEVEHNAK TKPREEQYNS 300  
 TYRPPSREEM TKNQVSLTCL VKGFYPSDIA VEWESENQPE NNYKTPPV 400  
 DSDGSFFFLYS KLTVDKSRWQ QGNVFSCSVM HEALHNHYTQ KSLSLSPGK 449

## Light chain / Chaîne légère / Cadena ligera

DIVMTQSPDS LAVSLGERAT INCKSSQSLL NTYSQKNYLA WYQQKPGQPP 50  
 KLLIYFASTR ESGVPDRFSG SGSGTDFTLT ISSLQAEDVA VYVYQQHYNT 100  
 PFTFGGGTKV EIKRTVAAAPS VFIFPPSDEQ LKSGTASVVC LLNNFYPREA 150  
 KVQWKVDNAL QSGNQESVT EQDSKDDSTYS LSSTLTLKA DYEKHKVYAC 200  
 EVTHQQLSSP VTKSFNRGEC 220

## Post-translational modifications

Disulfide bridges location / Position des ponts disulfure / Posiciones de los puentes disulfuro

Intra-H (C23-C104) 22-95 146-202 263-323 369-427  
 22"-95" 146"-202" 263"-323" 369"-427"

Intra-L (C23-C104) 23"-94" 140"-200"  
 23"-94" 140"-200"

Inter-H-L (h 5-CL 126) 222-220" 222"-220"

Inter-H-H (h 11, h 14) 228-228" 231-231"

## N-glycosylation sites / Sites de N-glycosylation / Posiciones de N-glicosilación

H CH2 N84.4: 299, 299"

Fucosylated complex bi-antennary CHO-type glycans / glycanes de type CHO bi-antennaires complexes fucosylés / glicanos de tipo CHO biantenarios complejos fucosilados

## C-terminal lysine clipping / Coupe de la lysine C-terminale / Recorte de lisina C-terminal

H CHS K2: 449, 449"

**bulumtatumug furvedotinum #**

bulumtatumug furvedotin

immunoglobulin G1-kappa, anti-[*Homo sapiens* NECTIN4 (nectin-4, nectin cell adhesion molecule 4, PVRL4, poliovirus receptor-related 4, PPR4, LNIR)], conjugated on an average of 8 cysteinyl residues to monomethylauristatin E (MMAE), with a ratio of 1 to 4, via a cleavable divalent linker; H-gamma1 heavy chain (1-449) [VH Musmus/Homsap (*Mus musculus* IGHV2-6-5\*01 (78.4%) -(IGHD)-IGHJ3\*01 (91.7%) A128>S (119)/*Homo sapiens* IGHV4-4\*08 (78.4%) -(IGHD)-IGHJ4\*01 (100%), CDR-IMGT [8.7.13] (26-33.51-57.96-108)) (1-119) -*Homo sapiens* IGHG1\*03 (100%) G1m3, nG1m1 CH1 R120, CH3 E12, M14 (CH1 R120 (216) (120-217), hinge 1-15 (218-232), CH2 (233-342), CH3 E12 (358), M14 (360) (343-447), CHS (448-449)) (120-449)], (222-220")-disulfide with L-kappa light chain (1-220') [V-KAPPA (*Homo sapiens* IGKV4-1\*01 (91.1%) -IGKJ4\*01 (91.7%), CDR-IMGT [12.3.9] (27'-38'.56'-58'.95'-103')) (1'-113') -*Homo sapiens* IGKC\*01 (100%) Km3 A45.1, V101 (C-KAPPA A45.1 (159'), V101 (197')) (114'-220')]; dimer (228-228":231-231")-bisdisulfide, produced in a cell line from Chinese hamster ovary (CHO) cells, derived from the cell line CHO-K1, glycoform alfa; substituted at the sulfur atoms of eight L-cysteinyl residues on an average among 222, 228, 231, 220', 222", 228", 231" and 220"" with four divalent groups consisting of

(1Z)-3-{[(2S,3R,6R,7R,8<sup>2</sup>S,11R,12S,15S,18S,26S,29S)-12-[(2S)-butan-2-yl]-26-[3-(carbamoylamino)propyl]-43<sup>2</sup>,43<sup>6</sup>-difluoro-2-hydroxy-7,11-dimethoxy-3,6,13,19-tetramethyl-5,9,14,17,20,25,28,31-octaoxo-15,18,29-tri(propan-2-yl)-21,33,36,39,42-pentaoxa-4,13,16,19,24,27,30-heptaaza-(2,1)-pyrrolidina-1,43(1),23(1,4)-tribenzenatritetracontaphan-43<sup>4</sup>-yl]amino}-1-carboxy-3-oxoprop-1-ene-1,2-diyl (*fuvédotin*) *nectin-4 targeted microtubule polymerization inhibitor, antineoplastic*

**bulumtatug fuvédotine**  
 immunoglobuline G1-kappa, anti-[*Homo sapiens* NECTIN4 (nectine-4, molécule d'adhésion cellulaire nectine 4, PVRL4, apparenté 4 du récepteur du poliovirus, PPR4, LNIR)], conjugué, par 8 résidus cystéinyle en moyenne, au monométhylauristatine E (MMAE), via un linker clivable divalent avec un rapport de 1 pour 4; chaîne lourde H-gamma1 (1-449) [VH Musmus/Homsap (*Mus musculus* IGHV2-6-5\*01 (78.4%)-(IGHD)-IGHJ3\*01 (91.7%) A128>S (119)*Homo sapiens* IGHV4-4\*08 (78.4%)-(IGHD)-IGHJ4\*01 (100%), CDR-IMGT [8.7.13] (26-33.51-57.96-108)] (1-119) *-Homo sapiens* IGHG1\*03 (100%) G1m3, nG1m1 CH1 R120, CH3 E12, M14 (CH1 R120 (216) (120-217), charnière 1-15 (218-232), CH2 (233-342), CH3 E12 (358), M14 (360) (343-447), CHS (448-449)) (120-449)], (222-220')-disulfure avec la chaîne légère L-kappa (1'-220') [V-KAPPA (*Homo sapiens* IGKV4-1\*01 (91.1%)-IGKJ4\*01 (91.7%), CDR-IMGT [12.3.9] (27'-38'.56'-58'.95'-103')) (1'-113') *-Homo sapiens* IGKC\*01 (100%) Km3 A45.1, V101 (C-KAPPA A45.1 (159'), V101 (197')) (114'-220')]; dimère (228-228":231-231")-bisdisulfure, produit dans une lignée cellulaire des cellules ovarienne de hamster chinois (CHO), dérivant de la lignée cellulaire CHO-K1, glycoforme alfa; substitué sur l'atome de soufre de huit résidus L-cystéinyle en moyenne parmi 222, 228, 231, 220', 222", 228", 231" et 220" avec quatre groupements divalents (1Z)-3-{[(2S,3R,6R,7R,8<sup>2</sup>S,11R,12S,15S,18S,26S,29S)-12-[(2S)-butan-2-yl]-26-[3-(carbamoylamino)propyl]-43<sup>2</sup>,43<sup>6</sup>-difluoro-2-hydroxy-7,11-dimethoxy-3,6,13,19-tétraméthyl-5,9,14,17,20,25,28,31-octaoxo-15,18,29-tri(propan-2-yl)-21,33,36,39,42-pentaoxa-4,13,16,19,24,27,30-heptaaza-(2,1)-pyrrolidina-1,43(1),23(1,4)-tribenzénatritétracontaphan-43<sup>4</sup>-yl]amino}-1-carboxy-3-oxoprop-1-ène-1,2-diyl (*fuvédotine*) *inhibiteur de la polymérisation des microtubules ciblés par la nectine-4, antinéoplasique*

**bulumtatug furvedotina**  
 inmunoglobulina G1-kappa, anti-[*Homo sapiens* NECTIN4 (nectina-4, molécula de adhesión celular nectina 4, PVRL4, relacionada con el receptor 4 del poliovirus, PPR4, LNIR)], conjugado, sobre 8 residuos cisteinilo por término medio, con la monometilauristatina E (MMAE), a través de un enlace escindible divalente con un ratio de 1 por cada 4;  
 cadena pesada H-gamma1 (1-449) [VH Musmus/Homsap (*Mus musculus* IGHV2-6-5\*01 (78.4%)-(IGHD)-IGHJ3\*01 (91.7%) A128>S (119)*Homo sapiens* IGHV4-4\*08 (78.4%)-(IGHD)-IGHJ4\*01 (100%), CDR-IMGT [8.7.13] (26-33.51-57.96-108)] (1-119) *-Homo sapiens* IGHG1\*03 (100%) G1m3, nG1m1 CH1 R120, CH3 E12, M14 (CH1 R120 (216) (120-217), bisagra 1-15 (218-232), CH2 (233-342), CH3 E12 (358), M14 (360) (343-447), CHS (448-449)) (120-449)], (222-220')-disulfuro con la cadena ligera L-kappa (1'-220') [V-KAPPA (*Homo sapiens* IGKV4-1\*01 (91.1%)-IGKJ4\*01 (91.7%), CDR-IMGT [12.3.9] (27'-38'.56'-58'.95'-103')) (1'-113') *-Homo sapiens* IGKC\*01 (100%) Km3 A45.1, V101 (C-KAPPA A45.1 (159'), V101 (197')) (114'-220')]; dímero (228-228":231-231")-bisdisulfuro, producido en una línea celular de las

células ováricas de hámster chino (CHO), línea celular derivada de CHO-K1, forma glicosilada alfa; sustituido en el átomo de azufre de ocho residuos L-cisteinilo en una media entre 222, 228, 231, 220', 222", 228", 231" y 220" con cuatro grupos divalentes (1Z)-3-{[(2S,3R,6R,7R,8<sup>2</sup>S,11R,12S,15S,18S,26S,29S)-12-[(2S)-butan-2-il]-26-[3-(carbamoolamino)propil]-43<sup>4</sup>,43<sup>6</sup>-difluoro-2-hidroxi-3,6,13,19-tetrametil-7,11-dimetoxi-5,9,14,17,20,25,28,31-octaoxo-15,18,29-tri(propan-2-il)-21,33,36,39,42-pentaoxa-4,13,16,19,24,27,30-heptaaza-8(2,1)-pirrolidina-1,43(1),23(1,4)-tribencenatritetracontafan-43<sup>4</sup>-il]amino}-1-carboxi-3-oxoprop-1-ene-1,2-dílo (*fuvedotina*)  
*inhibidor de la polimerización de microtúbulos dirigida a la nectina-4, antineoplásico*

2862919-82-0

**Heavy chain / Chaîne lourde / Cadena pesada**

```

EVQLOQESPGG LVKPSETLTL TCTVSGFSLI DYGVSWIRQP PGKGLEWIGV 50
IWGGKGIYNN SVLKSRTVIS KDNSSKSQVSL KLSSVTAADT AVYYCAKQGG 100
LLFYAMDYWG QGTILTVSSA STKGPSVFPL APSSKSTSGG TAALGCLVKD 150
YFFPEPVSW NSGALTSGVH TFFAVLQSSG LYSLSSVVTV PSSSLGTQTY 200
ICNVNHPKPSI TKVDKRVPEPK SCDKTHTCPP CCAPELLGPP SVFLFPKPK 250
DTLMISRPTPE VTCVDDVDSH EDEPEVKFNWY VDGVEVHNAAK TKPREEQYNS 300
TYRVSLSLTV LHQDWLNGKE YKCKVSNAKL PAPIEKTISK AKGQPREPQV 350
YTLPPSREEM TKNQVSLLTCL VRGFYPSDIA VEWESENQPE NNYKTPPVL 400
DSDGSFFLYS KLTVDKSRWQ QGNVFSCCSV HEALHNHYTQ KSLSLSPGK 449

```

**Light chain / Chaîne légère / Cadena ligera**

```

DIVMTQSPDS LAWSLGERAT INCKSQSSL NTYSQKNYLA WYQQKPGQPP 50
KLLIYFASTR ESGVPDRFGS SGSGTDFLT ISSLQAEDVA VYYCQHYN 100
PFTFGGTKV EIKRTVAAVS VFIFPPSDEQ LKSGTASAVC LLNNQYPREA 150
KVQWVNDAL QSGNSQESVT EQDSKDSTYS LSSTLTLKA DYEKHKVYAC 200
EVTHQGLSSP VTAKSFNRGEC 220

```

**Post-translational modifications**

Disulfide bridges location / Position des ponts disulfure / Posiciones de los puentes disulfuro

Intra-H (C23-C104) 22"-95' 146"-202' 263"-323' 369"-427'  
 22"-95" 146"-202" 263"-323" 369"-427"

Intra-L (C23-C104) 23"-94' 140"-200'

23"-94" 140"-200"

Inter-H-L (h 5-CL 126) \* 222"-220" 222"-220"

Inter-H-H (h 11, h 14) \* 228"-228" 231"-231"

\*The four inter-chain disulfide bridges are not present, an average of four pairs of cysteinyl being conjugated, each via two thioether bonds, to a drug linker.

\*Les quatre ponts disulfure inter-châînes ne sont pas présents, quatre paires de cystéinyl en moyenne étant chacune conjuguée, via deux liaisons thioéther, à un linker-principe actif.

\*Los cuatro puentes disulfuro inter-catenarios no están presentes, una media de cuatro pares de cisteinil está conjugada, a través de dos enlaces tioeter, con un principio activo.

**N-glycosylation sites / Sites de N-glycosylation / Posiciones de N-glicosilación**

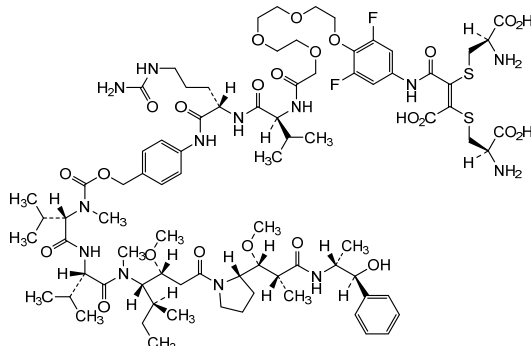
H CH2 N84.4; 299, 299"

Fucosylated complex bi-antennary CHO-type glycans / glycanes de type CHO bi-antennaires complexes fucosylés / glicanos de tipo CHO biantenarios complejos fucosilados

C-terminal lysine clipping / Coupe de la lysine C-terminale / Recorte de lisina C-terminal  
 H CHS K2; 449, 449"

Potential modified residues / résidus modifiés potentiels / restos modificados potenciales\*

C (222, 228, 231, 220', 222", 228", 231", 220")

\*(*fuvedotinumAb*-4:1)

cadapersonum

cadaperson

*all-P-Ambo-2'-deoxycytidyl-(3'→5')-2'-deoxyadenylyl-(3'→5')-5-methyl-2'-O,4'-C-methylene-P-thiocytidyl-(3'→5')-5-methyl-2'-O,4'-C-methylene-P-thiocytidyl-(3'→5')-P-thiothymidylyl-(3'→5')-2'-deoxy-P-thioadenylyl-(3'→5')-P-thiothymidylyl-(3'→5')-P-thiothymidylyl-(3'→5')-P-thiothymidylyl-(3'→5')-2'-deoxy-P-thioadenylyl-(3'→5')-2'-deoxy-P-thiocytidyl-(3'→5')-2'-deoxy-P-thioadenylyl-(3'→5')-2'-deoxy-P-thiocytidyl-(3'→5')-2'-deoxy-P-thioadenylyl-(3'→5')-P-thiothymidylyl-(3'→5')-2'-deoxy-P-thiocytidyl-(3'→5')-2'-deoxy-P-thioadenylyl-(3'→5')-2'-deoxy-P-thiocytidyl-(3'→5')-2'-acetamido-2-deoxy-β-D-galactopyranosyl)oxy]-17-[2-[2-(2-acetamido-2-deoxy-β-D-galactopyranosyl)oxy]ethoxy]acetamido)-20-[1-[(2-acetamido-2-deoxy-β-D-galactopyranosyl)oxy]-11-oxo-3,6,9-trioxa-12-azahexadecan-16-yl]-11,18,21-trioxa-3,6,9-trioxa-12,19,22-triazaoctacosan-28-yl hydrogen phosphate]  
*programmed death-ligand 1 (PD-L1) synthesis reducer**

cadaperson

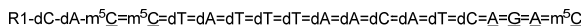
5'-[hydrogénophosphate de (17S,20S)-1-[(2-acétamido-2-désoxy- $\beta$ -D-galactopyranosyl)oxy]-17-{2-[2-(2-[2-acétamido-2-désoxy- $\beta$ -D-galactopyranosyl)oxy]éthoxy}éthoxy]acétamido}-20-{1-[(2-acétamido-2-désoxy- $\beta$ -D-galactopyranosyl)oxy]-11-oxo-3,6,9-trioxa-12,18-azahexadécan-16-yl}-11,18,21-trioxa-3,6,9-trioxa-12,19,22-triazaoctacosan-28-yle] de tout-P-ambo-2'-désoxycytidyl-(3'→5')-2'-désoxyadényl-(3'→5')-5-méthyl-2'-O,4'-C-méthylène-P-thiocytidyl-(3'→5')-5-méthyl-2'-O,4'-C-méthylène-P-thiocytidyl-(3'→5')-P-thiothymidyl-(3'→5')-2'-désoxy-P-thioadényl-(3'→5')-P-thiothymidyl-(3'→5')-2'-désoxy-P-thioadényl-(3'→5')-2'-désoxy-P-thioadényl-(3'→5')-2'-désoxy-P-thiocytidyl-(3'→5')-2'-désoxy-P-thioadényl-(3'→5')-P-thiothymidyl-(3'→5')-2'-désoxy-P-thioadényl-(3'→5')-2'-O,4'-C-méthylène-P-thiocytidyl-(3'→5')-2'-O,4'-C-méthylène-P-thiouanyl-(3'→5')-2'-O,4'-C-méthylène-P-thioadényl-(3'→5')-5-méthyl-2'-O,4'-C-méthylèneacytidine réducteur de la synthèse de la protéine 1 de mort cellulaire programmée (PD-L1)

cadapersén

5'-[hidrogenofosfato de (17S,20S)-1-[(2-acetamido-2-desoxi- $\beta$ -D-galactopiranosil)oxi]-17-{2-[2-(2-{2-[(2-acetamido-2-desoxi- $\beta$ -D-galactopiranosil)oxi]etoxi}etoxi)acetamido}-20-{1-[(2-acetamido-2-desoxi- $\beta$ -D-galactopiranosil)oxi]-11-oxo-3,6,9-trioxa-12-azahexadecan-16-il}-11,18,21-trioxa-3,6,9-trioxa-12,19,22-triazaoctacosan-28-il] de *todo-P-ambo-2'-desoxicitidilil-(3'→5')-2'-desoxiadенинил-(3'→5')*-5'-metil-2'-O,4'-C-metilen-P-tiocitidilil-(3'→5')-5'-metil-2'-O,4'-C-metilen-P-tiocitidilil-(3'→5')-P-tiotimidilil-(3'→5')-2'-desoxi-P-tioadenilil-(3'→5')-P-tiotimidilil-(3'→5')-P-tiotimidilil-(3'→5')-P-tiotimidilil-(3'→5')-2'-desoxi-P-tioadenilil-(3'→5')-2'-desoxi-P-tiocitidilil-(3'→5')-2'-desoxi-P-tioadenilil-(3'→5')-P-tiotimidilil-(3'→5')-2'-desoxi-P-tiocitidilil-(3'→5')-2'-O,4'-C-metilen-P-tioadenilil-(3'→5')-2'-O,4'-C-metilen-P-tioguanilil-(3'→5')-2'-O,4'-C-metilen-P-tioadenilil-(3'→5')-5'-metil-2'-O,4'-C-metilenecitidina reductor de la síntesis del ligando 1 de muerte programada (PD-L1)



2924115-64-8

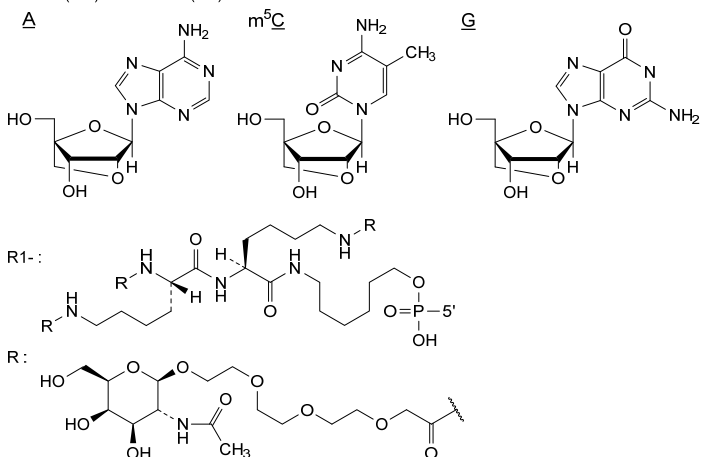


N : A,C,G,T

m<sup>5</sup>N : 5-methyl-N / 5-méthyl-N

dN : 2'-deoxy-N / 2'-désoxy-N / 2'-desoxi-N

- : -PO(OH)- = : -PO(SH)-

**cambritaxestatum**

cambritaxestat

*N-[(1S)-1-(4-chlorophenyl)ethyl]-3-(3-[(4-(trifluoromethoxy)phenyl)methyl]-3H-imidazo[4,5-*b*]pyridin-2-yl)propanamide*  
*autotaxin inhibitor, antineoplastic*

cambritaxestat

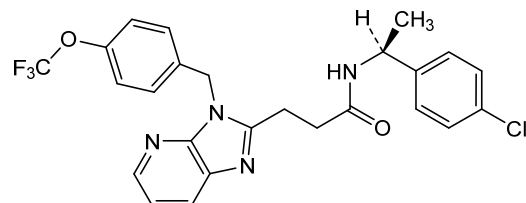
*N-[(1S)-1-(4-chlorophényl)éthyl]-3-(3-[(4-(trifluorométhoxy)phényl)méthyl]-3H-imidazo[4,5-*b*]pyridin-2-yl)propanamide*  
*inhibiteur de l'autotaxine, antinéoplasique*

cambritaxestat

*N-[(1S)-1-(4-clorofenil)etil]-3-(3-[(4-(trifluorometoxi)fenil)metyl]-3H-imidazo[4,5-*b*]piridin-2-il)propanamida*  
*inhibidor de la autotaxina, antineoplásico*



1979939-16-6



**canvuparatidum**

canvuparate

human parathyroid hormone (PTH) peptide fragment (1-32),  $N^{32}$ -amide substituted at  $N^{2.1}$  with  $N^6$ -[ $N$ -(17-[[ $N$ -(17-carboxyheptadecanoyl)-L- $\gamma$ -glutamyl]amino)-10-oxo-3,6,12,15-tetraoxa-9-azaheptadecan-1-oyl]-L- $\gamma$ -glutamyl]-D-lysyl-N-methylglycyl and at  $N^{1.32}$  with [(1S)-5-[[ $N$ -(17-[[ $N$ -(17-carboxyheptadecanoyl)-L- $\gamma$ -glutamyl]amino)-10-oxo-3,6,12,15-tetraoxa-9-azaheptadecan-1-oyl]-L- $\gamma$ -glutamyl]amino]-1-carboxypentyl groups;  $N^6$ -[ $N$ -(17-[[ $N$ -(17-carboxyheptadecanoyl)-L- $\gamma$ -glutamyl]amino)-10-oxo-3,6,12,15-tetraoxa-9-azaheptadecan-1-oyl]-L- $\gamma$ -glutamyl]-D-lysyl-N-methylglycyl-L-seryl-L-valyl-L-seryl-L- $\alpha$ -glutamyl-L-isoleucyl-L-glutaminyl-L-leucyl-L-methionyl-L-histidyl-L-asparaginyl-L-leucylglycyl-L-lysyl-L-histidyl-L-leucyl-L-asparaginyl-L-seryl-L-methionyl-L- $\alpha$ -glutamyl-L-arginyl-L-valyl-L- $\alpha$ -glutamyl-L-tryptophyl-L-leucyl-L-arginyl-L-lysyl-L-lysyl-L-leucyl-L-glutaminyl-L- $\alpha$ -aspartyl-L-valyl-L-histidyl-N $^6$ -[ $N$ -(17-[[ $N$ -(17-carboxyheptadecanoyl)-L- $\gamma$ -glutamyl]amino)-10-oxo-3,6,12,15-tetraoxa-9-azaheptadecan-1-oyl]-L- $\gamma$ -glutamyl]-L-lysine *parathyroid hormone analogue*

## canvuparatide

fragment (1-32) de l'hormone parathyroïdienne humaine synthétique, substitué en  $N^{32}$  par un amide sur  $N^{2.1}$  avec un groupe  $N^6$ -[ $N$ -(17-[[ $N$ -(17-carboxyheptadécanoyl)-L- $\gamma$ -glutamyl]amino)-10-oxo-3,6,12,15-tétraoxa-9-azaheptadécan-1-oyl]-L- $\gamma$ -glutamyl]-D-lysyl-N-méthylglycyl et en  $N^{1.32}$  avec un groupe [(1S)-5-[[ $N$ -(17-[[ $N$ -(17-carboxyheptadécanoyl)-L- $\gamma$ -glutamyl]amino)-10-oxo-3,6,12,15-tétraoxa-9-azaheptadécan-1-oyl]-L- $\gamma$ -glutamyl]amino]-1-carboxypentyle;  $N^6$ -[ $N$ -(17-[[ $N$ -(17-carboxyheptadécanoyl)-L- $\gamma$ -glutamyl]amino)-10-oxo-3,6,12,15-tétraoxa-9-azaheptadécan-1-oyl]-L- $\gamma$ -glutamyl]-D-lysyl-N-méthylglycyl-L-séryl-L-valyl-L-séryl-L- $\alpha$ -glutamyl-L-isoleucyl-L-glutaminyl-L-leucyl-L-méthionyl-L-histidyl-L-asparaginyl-L-leucylglycyl-L-lysyl-L-histidyl-L-leucyl-L-asparaginyl-L-séryl-L-méthionyl-L- $\alpha$ -glutamyl-L-arginyl-L-valyl-L- $\alpha$ -glutamyl-L-tryptophyl-L-leucyl-L-arginyl-L-lysyl-L-lysyl-L-leucyl-L-glutaminyl-L- $\alpha$ -aspartyl-L-valyl-L-histidyl-N $^6$ -[ $N$ -(17-[[ $N$ -(17-carboxyheptadécanoyl)-L- $\gamma$ -glutamyl]amino)-10-oxo-3,6,12,15-tétraoxa-9-azaheptadécan-1-oyl]-L- $\gamma$ -glutamyl]-L-lysine *analogue de l'hormone parathyroïdienne*

## canvuparatida

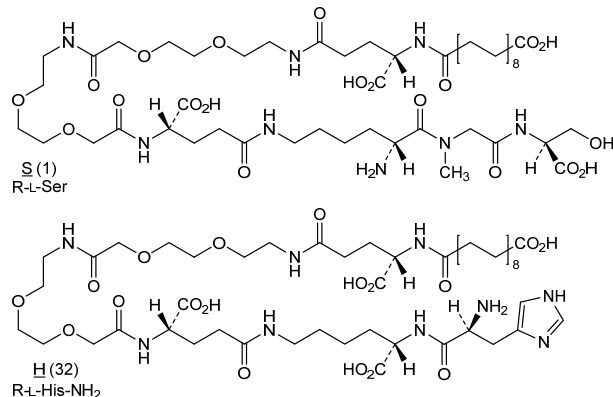
fragmento (1-32) de la hormona paratiroidea humana sintética, sustituido en  $N^{32}$  por una amida en  $N^{2.1}$  con un grupo  $N^6$ -[ $N$ -(17-[[ $N$ -(17-carboxiheptadecanoyl)-L- $\gamma$ -glutamyl]amino)-10-oxo-3,6,12,15-tétraoxa-9-azaheptadécan-1-oyl]-L- $\gamma$ -glutamyl]-D-lisil-N-metilglicil y en  $N^{1.32}$  con un grupo [(1S)-5-[[ $N$ -(17-[[ $N$ -(17-carboxiheptadecanoil)-L- $\gamma$ -glutamyl]amino)-10-oxo-3,6,12,15-tetraoxa-9-azaheptadecan-1-oyl]-L- $\gamma$ -glutamyl]amino]-1-carboxipentilo;  $N^6$ -[ $N$ -(17-[[ $N$ -(17-carboxiheptadecanoil)-L- $\gamma$ -glutamyl]amino)-10-oxo-3,6,12,15-tétraoxa-9-azaheptadecan-1-oyl]-L- $\gamma$ -glutamyl]-D-lisil-N-metilglicil-L-seril-L-valil-L-seril-L- $\alpha$ -glutamyl-L-isoleucil-L-glutaminil-L-leucil-L-metionil-L-histidil-L-asparaginil-L-leucilglicil-L-lisil-L-histidil-L-leucil-L-asparaginil-L-seril-L-metionil-L- $\alpha$ -glutamyl-L-arginil-L-valil-L- $\alpha$ -glutamyl-L-triptofil-L-leucil-L-arginil-L-lisil-L-leucil-L-glutaminil-L- $\alpha$ -aspartil-L-valil-L-histidil-N $^6$ -[ $N$ -(17-[[ $N$ -(17-carboxiheptadecanoil)-L- $\gamma$ -glutamyl]amino)-10-oxo-3,6,12,15-tétraoxa-9-azaheptadecan-1-oyl]-L- $\gamma$ -glutamyl]-L-lisina *análogo de la hormona paratiroidea*



2925554-87-4

SVSEIQLMHN LGKHLNSMER VEWLRKKLQD VH 32

Modified residues / Résidus modifiés / Restos modificados

**casdatifanum**

casdatifan

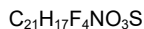
(5*R*,6*S*,8*R*)-3,5,6-trifluoro-8-[(1*S*,2*R*)-2-fluoro-1-hydroxy-7-(methanesulfonyl)-2,3-dihydro-1*H*-inden-4-yl]-5,6,7,8-tetrahydronaphthalene-1-carbonitrile  
*hypoxia-inducible factor (HIF) inhibitor, antineoplastic*

casdatifan

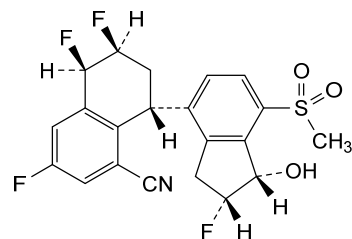
(5*R*,6*S*,8*R*)-3,5,6-trifluoro-8-[(1*S*,2*R*)-2-fluoro-1-hydroxy-7-(méthanesulfonyl)-2,3-dihydro-1*H*-indén-4-yl]-5,6,7,8-tetrahydronaphtalène-1-carbonitrile  
*inhibiteur du facteur inducible par l'hypoxie (HIF), antinéoplasique*

casdatifán

(5*R*,6*S*,8*R*)-3,5,6-trifluoro-8-[(1*S*,2*R*)-2-fluoro-1-hidroxi-7-(metanosulfonil)-2,3-dihidro-1*H*-inden-4-yl]-5,6,7,8-tetrahidronaftaleno-1-carbonitrido  
*inhibidor del factor inducible por hipoxia (HIF), antineoplásico*



2709069-30-5



**caxmotabartum #**

- caxmotabart immunoglobulin G1-kappa, anti-[*Homo sapiens* ERBB2 (receptor tyrosine-protein kinase erbB-2, epidermal growth factor receptor 2, EGFR2, HER2, HER-2, p185c-erbB2, NEU, CD340)], humanized monoclonal antibody, with the L-kappa light chains being fused at their C-terminal end to a 11-mer sequence containing a CaaX motif (isoprenylation recognition sequence) with a site specific cysteine; H-gamma1 heavy chain humanized (1-450) [VH (*Homo sapiens*IGHV3-66\*01 (81.6%) -(IGHD) -IGHJ4\*01 (100%), CDR-IMGT [8.8.13] (26-33.51-58.97-109)) (1-120) -*Homo sapiens*IGHG1\*03v, G1m3>G1m17, nG1m1 CH1 K120, CH3 E12, M14 (CH1 R120>K (217) (121-218), hinge 1-15 (219-233), CH2 (234-343), CH3 E12 (359), M14 (361) (344-448), CHS (449-450)) (121-450)], (223-214')-disulfide with L-kappa light chain humanized (1'-225') [V-KAPPA (*Homo sapiens*IGKV1-39\*01 (86.3%) -IGKJ1\*01 (100%), CDR-IMGT [6.3.9] (27'-32'.50'-52'.89'-97')) (1'-107') -*Homo sapiens*IGKC\*01 (100%) Km3 A45.1, V101 (C-KAPPA A45.1 (153'), V101 (191')) (108'-214') -11-mer containing 7 G and a CaaX motif (222'-225') with a site specific cysteine (222') (215'-225')]; dimer (229-229":232-232")-bisdisulfide, produced in Chinese hamster ovary (CHO) cells, cell line CHO-K1, glycoform alfa  
*anti-HER2, antineoplastic*
- caxmotabart immunoglobuline G1-kappa, anti-[*Homo sapiens* ERBB2 (récepteur tyrosine-protéine kinase erbB-2, récepteur 2 du facteur de croissance épidermique, EGFR2, HER2, HER-2, p185c-erbB2, NEU, CD340)], anticorps monoclonal humanisé, avec les chaînes légères L-kappa fusionnées à leur extrémité C-terminale à une séquence 11-mer contenant un motif CaaX (séquence de reconnaissance d'isoprénylation avec une cystéine spécifique de site); chaîne lourde H-gamma1 humanisée (1-450) [VH (*Homo sapiens*IGHV3-66\*01 (81.6%) -(IGHD) -IGHJ4\*01 (100%), CDR-IMGT [8.8.13] (26-33.51-58.97-109)) (1-120) -*Homo sapiens*IGHG1\*03v, G1m3>G1m17, nG1m1 CH1 K120, CH3 E12, M14 (CH1 R120>K (217) (121-218), charnière 1-15 (219-233), CH2 (234-343), CH3 E12 (359), M14 (361) (344-448), CHS (449-450)) (121-450)], (223-214')-disulfure avec la chaîne légère L-kappa humanisée (1'-225') [V-KAPPA (*Homo sapiens*IGKV1-39\*01 (86.3%) -IGKJ1\*01 (100%), CDR-IMGT [6.3.9] (27'-32'.50'-52'.89'-97')) (1'-107') -*Homo sapiens*IGKC\*01 (100%) Km3 A45.1, V101 (C-KAPPA A45.1 (153'), V101 (191')) (108'-214') -11-mer contenant 7 G et un motif CaaX (222'-225') avec la cystéine spécifique de site (222') (215'-225')]; dimère (229-229":232-232")-bisdisulfure, produit dans des cellules ovarianes de hamster chinois (CHO), lignée cellulaire CHO-K1, glycoforme alfa  
*anti-HER2, antinéoplasique*
- caxmotabart inmunoglobulina G1-kappa, anti-[*Homo sapiens* ERBB2 (receptor tirosina-protéína kinasa erbB-2, receptor 2 del factor de crecimiento epidémico, EGFR2, HER2, HER-2, p185c-erbB2, NEU, CD340)], anticuerpo monoclonal humanizado, con las cadenas ligeras L-kappa fusionadas a su extremidad C-terminal con una secuencia 11-mer que contiene un motivo CaaX (secuencia de reconocimiento de isoprenilación con una cisteína específica de lugar); cadena pesada H-gamma1 humanizada (1-450) [VH (*Homo sapiens*IGHV3-66\*01 (81.6%) -(IGHD) -IGHJ4\*01 (100%), CDR-IMGT [8.8.13] (26-33.51-58.97-109)) (1-120) -*Homo sapiens*IGHG1\*03v, G1m3>G1m17, nG1m1 CH1 K120, CH3 E12, M14 (CH1 R120>K (217) (121-218), bisagra 1-15 (219-233), CH2 (234-343), CH3 E12 (359), M14 (361) (344-448), CHS (449-450)) (121-450)], (223-214')-disulfuro con la cadena ligera L-kappa humanizada (1'-225') [V-KAPPA (*Homo sapiens*IGKV1-39\*01 (86.3%) -IGKJ1\*01 (100%), CDR-IMGT [6.3.9] (27'-32'.50'-52'.89'-97')) (1'-107') -*Homo sapiens*IGKC\*01 (100%) Km3 A45.1, V101 (C-KAPPA A45.1 (153'), V101 (191')) (108'-214') -11-mer que contiene 7 G y un motivo CaaX (222'-225') con la cisteína específica de lugar (222') (215'-225')]; dímero (229-229":232-232")-bisdisulfuro, producido en las células ováricas de hámster chino (CHO), línea celular CHO-K1, forma glicosilada alfa  
*anti-HER2, antineoplásico*

2930815-95-3

## Heavy chain / Chaîne lourde / Cadena pesada

EVQLVESGGG LVQPGGSLRL SCAASGFIK DTYIHWVRQA PGKGLEWVAR 50  
 IYPTNGYTRY ADSVKGRFTI SADTSKNTAY LQMNSLRAED TAVYYCSRWG 100  
 GDGFYAMDYW GGQTLTVSSS ASTKGPSVFP LAPSSKSTSG GTAALGCLVK 150  
 DYFPEPVTVS WNSGALTSGV HFTPAVLQSS GLYSLSSVVT VPSSSLGTQ 200  
 YICVNHNHKS NTKVDKVKEP KSCDKTHTCP PCPAPELLGG PSVFLFPKPK 250  
 KDTLMISRTP EVCVVDVDS HEDPEVKFNW YVDGVEVHNA KTKPREEQYN 300  
 STYRVVSVLT VLHQDWLNK EYCKKVSNSKA LPAPIEKTIS KAKGOPREQP 350  
 VYTLPSPSREE MTKNQVSLTC LVKGFYPSDI AVEWESNGQP ENNYKTTTPV 400  
 LDSDGSFFLY SKLTVDKSRW QQGNVFSCSV MHEALHNHYT QKSLSLSPGK 450

## Light chain / Chaîne légère / Cadena ligera

DIQMTQSPSS LSASVGDRVT ITCRASQDVN TAVAWYQQKP GKAPKLILY 50  
 ASFLYSGVP S RFSGRSRGTD FTLTISSLQP EDFATYYCQQ HYTTPPTFGQ 100  
 GTKVEIKRTV AAPSVFIFPP SDEQLKSGTA SVVCLNNFY PREAKVQWKV 150  
 DNALQSGNSQ ESVTEQDSKD STYSLSSLT LSKADYEKHK VYACEVTHQG 200  
 LSSPVTKSFN RGECGGGGGG GCVIM 225

## Post-translational modifications

Disulfide bridges location / Position des ponts disulfure / Posiciones de los puentes disulfuro  
 Intra-H (C23-C104) 22-96 147-203 264-324 370-428

22"-96" 147"-203" 264"-324" 370"-428"

Intra-L (C23-C104) 23"-88" 134"-194"  
 23"-88"" 134"-194""

Inter-H-L (h 5-CL 126) 223-214" 223"-214"

Inter-H-H (h 11, h 14) 229-229" 232-232"

N-glycosylation sites / Sites de N-glycosylation / Posiciones de N-glicosilación  
 H CH2 N84.4: 300, 300"

Fucosylated complex bi-antennary CHO-type glycans / glycanes de type CHO bi-antennaires complexes fucosyles / glicanos de tipo CHO biantenarios complejos fucosilados

C-terminal lysine clipping / Coupure de la lysine C-terminale / Recorte de lisina C-terminal  
 H CHS K2: 450, 450"

Site specific cysteine / Cystéine spécifique de site / Cisteína específica de sitio  
 L 11-mer CaaX motif: 222", 222"

**caxmotabartum entudotinum #**

caxmotabart entudotin immunoglobulin G1-kappa, anti-[*Homo sapiens* ERBB2 (receptor tyrosine-protein kinase erbB-2, epidermal growth factor receptor 2, EGFR2, HER2, HER-2, p185c-erbB2, NEU, CD340)], humanized monoclonal antibody, conjugated on an average of two cysteinyl residues to *entudotin*; H-gamma1 heavy chain humanized (1-450) [VH (*Homo sapiens* IGHV3-66\*01 (81.6%) -(IGHD) -IGHJ4\*01 (100%), CDR-IMGT [8.8.13] (26-33.51-58.97-109)) (1-120) -*Homo sapiens* IGHG1\*03v, G1m3>G1m17, nG1m1 CH1 K120, CH3 E12, M14 (CH1 R120>K (217) (121-218), hinge 1-15 (219-233), CH2 (234-343), CH3 E12 (359), M14 (361) (344-448), CHS (449-450)) (121-450)], (223-214')-disulfide with L-kappa light chain humanized (1'-225') [V-KAPPA (*Homo sapiens* IGKV1-39\*01 (86.3%) -IGKJ1\*01 (100%), CDR-IMGT [6.3.9] (27'-32'.50'-52'.89'-97')] (1'-107') -*Homo sapiens* IGKC\*01 (100%) Km3 A45.1, V101 (C-KAPPA A45.1 (153'), V101 (191')) (108'-214')-8-mer GGGGGGGC (215'-222')]; dimer (229-229":232-232")-bisdisulfide, produced in Chinese hamster ovary (CHO) cells, cell line CHO-K1, glycoform alfa; substituted at the sulfur atoms of two L-cysteinyl residues 222 and 222" with (12*E*,16*E*,20*E*)-1-[5-[(5*S*,8*S*,11*S*,12*R*)-11-[(2*S*)-butan-2-yl]-12-(2-[(2*S*)-2-[(1*R*,2*R*)-1-methoxy-2-methyl-3-oxo-3-[(2*R*)-1-phenylpropan-2-yl]amino}propyl]pyrrolidin-1-yl]-2-oxoethyl)-4,10-dimethyl-3,6,9-trioxo-5,8-di(propan-2-yl)-2,13-dioxa-4,7,10-triazatetradecan-1-yl]-2-(β-D-glucopyranuronosyloxy)phenyl]-13,16,20-trimethyl-1-oxo-5,8,11-trioxa-2,12-diazadocosa-12,16,20-trien-22-yl (*entudotin*) groups *anti-HER2, antineoplastic*

caxmotabart entudotine	immunoglobuline G1-kappa, anti-[ <i>Homo sapiens</i> ERBB2 (récepteur tyrosine-protéine kinase erbB-2, récepteur 2 du facteur de croissance épidermique, EGFR2, HER2, HER-2, p185c-erbB2, NEU, CD340)], anticorps monoclonal humanisé, conjuguée par deux résidus cystéinyles en moyenne à l' <i>entudotine</i> ; chaîne lourde H-gamma1 humanisée (1-450) [VH ( <i>Homo sapiens</i> IGHV3-66*01 (81.6%) -(IGHD) -IGHJ4*01 (100%), CDR-IMGT [8.8.13] (26-33.51-58.97-109)) (1-120) - <i>Homo sapiens</i> IGHG1*03v, G1m3>G1m17, nG1m1 CH1 K120, CH3 E12, M14 (CH1 R120>K (217) (121-218), charnière 1-15 (219-233), CH2 (234-343), CH3 E12 (359), M14 (361) (344-448), CHS (449-450)) (121-450)], (223-214')-disulfure avec la chaîne légère L-kappa humanisée (1'-225') [V-KAPPA ( <i>Homo sapiens</i> IGKV1-39*01 (86.3%) -IGKJ1*01 (100%), CDR-IMGT [6.3.9] (27'-32'.50'-52'.89'-97')) (1'-107') - <i>Homo sapiens</i> IGKC*01 (100%) Km3 A45.1, V101 (C-KAPPA A45.1 (153'), V101 (191')) (108'-214') -8-mer GGGGGGGC (215-222')]; dimère (229-229":232-232")-bisdisulfure, produit dans des cellules ovariennes de hamster chinois (CHO), lignée cellulaire CHO-K1, glycoforme alfa; substituée, sur l'atome de soufre de deux résidus L-cystéinyle 222 et 222", par deux groupes (12E,16E,20E)-1-{5-[(5S,8S,11S,12R)-11-[(2S)-butan-2-yl]-12-(2-[(2S)-2-[(1R,2R)-1-méthoxy-2-méthyl-3-oxo-3-[(2R)-1-phénylpropan-2-yl]amino}propyl]pirrolidin-1-yl]-2-oxoéthyl)-4,10-diméthyl-3,6,9-trioxo-5,8-di(propan-2-yl)-2,13-dioxa-4,7,10-triazatétradécan-1-yl]-2-(β-D-glucopyranuronosyloxy)phényle]-13,16,20-triméthyl-1-oxo-5,8,11-trioxa-2,12-diazadocosa-12,16,20-trien-22-yles ( <i>entudotine</i> ) anti-HER2, antineoplastique
caxmotabart entudotina	inmunoglobulina G1-kappa, anti-[ <i>Homo sapiens</i> ERBB2 (receptor tirosina-proteína kinasa erbB-2, receptor 2 del factor de crecimiento epidémico, EGFR2, HER2, HER-2, p185c-erbB2, NEU, CD340)], anticuerpo monoclonal humanizado, conjugado, por dos residuos de cisteinilo por término medio, a <i>entudotina</i> ; cadena pesada H-gamma1 humanizada (1-450) [VH ( <i>Homo sapiens</i> IGHV3-66*01 (81.6%) -(IGHD) -IGHJ4*01 (100%), CDR-IMGT [8.8.13] (26-33.51-58.97-109)) (1-120) - <i>Homo sapiens</i> IGHG1*03v, G1m3>G1m17, nG1m1 CH1 K120, CH3 E12, M14 (CH1 R120>K (217) (121-218), bisagra 1-15 (219-233), CH2 (234-343), CH3 E12 (359), M14 (361) (344-448), CHS (449-450)) (121-450)], (223-214')-disulfuro con la cadena ligera L-kappa humanizada (1'-225') [V-KAPPA ( <i>Homo sapiens</i> IGKV1-39*01 (86.3%) -IGKJ1*01 (100%), CDR-IMGT [6.3.9] (27'-32'.50'-52'.89'-97')) (1'-107') - <i>Homo sapiens</i> IGKC*01 (100%) Km3 A45.1, V101 (C-KAPPA A45.1 (153'), V101 (191')) (108'-214') -8-mer GGGGGGGC (215-222')]; dímero (229-229":232-232")-bisdisulfuro, producido en las células ováricas de hámster chino (CHO), línea celular CHO-K1, forma glicosilada alfa; sustituido, en el átomo de azufre de dos residuos L-cisteinilo 222 y 222", por dos grupos (12E,16E,20E)-1-{5-[(5S,8S,11S,12R)-11-[(2S)-butan-2-yl]-12-(2-[(2S)-2-[(1R,2R)-1-metoxi-2-metil-3-oxo-3-[(2R)-1-fenilpropano-2-yl]amino}propil]pirrolidin-1-yl]-2-oxoétil)-4,10-dimetil-3,6,9-trioxo-5,8-di(propan-2-yl)-2,13-dioxa-4,7,10-triazatetradecan-1-yl]-2-(β-D-glucopiranuronosiloxy)fenil]-13,16,20-trimétíl-1-oxo-5,8,11-trioxa-2,12-diazadocosa-12,16,20-trien-22-ilos ( <i>entudotina</i> ) anti-HER2, antineoplásico

2930814-97-2

## Heavy chain / Chaîne lourde / Cadena pesada

EVQLVESGGG LVQPQGSLLRI SCASAGFNIK DTYIHWVRQA PGKGLEWVAR 50  
 IYPTNGYTRY ADSVKGRFTI SADTSKNTAY LQMNSLRAED TAVYYCSRWG 100  
 GDGFYAMDYW GQGTLVTVSS ASTKGPSVFP LAPSSKSTSG GTAALGCLVK 150  
 DYFPEPVTVS WNSGALTSGV HTPPAVLQSS GLYSLSVVTT VESSSLGQT 200  
 YICNVNKHPS NTKVDKKVEP KSCDKTHTCP PCPAPELLGG PSVFLFPPKP 250  
 KDTLMISRTP EVTCVVVDVS EHDPEVKFNW YVDGVEVHNA KTKPREEQYN 300  
 STYR VVSVLT VLHQDWLNKG EYKCKVSNKA LPAPIEKTIK KAKGQPREPQ 350  
 VYTLLPPSREE MTRNQVSLTC LVKGFYPSDI AVEWESENQGP ENNYKTTPPV 400  
 LDSDGSFFLY SKLTVDKSRW QQGNVFCSV MHEALHNHYT QKSLSLSPKG 450

## Light chain / Chaîne légère / Cadena ligera

DIQMTQSPSS LSASVGRVT ITCRASQDVN TAVA WYQQKP GKAPKLLIYS 50  
 ASFLYSGVPS RFGSGRSQTD FTFLTISQDQ EDFATY YCQQ HYTT PPTFGQ 100  
 GTKVEIKRTV AAPSVFIFPPP SDEQLKSGTA SVVCLNNFY PREAKVQWKV 150  
 DNALQSGNSQ ESVTEQDSKD STYSLSSLT LSKADYEKHK VYACEVTHHQ 200  
 LSSPVTKSFN RGE CGGGGGGC 222

## Post-translational modifications

Disulfide bridges location / Position des ponts disulfure / Posiciones de los puentes disulfuro  
 Intra-H (C23-C104) 22-96 147-203 264-324 370-428  
 22"-96" 147"-203" 264"-324" 370"-428"  
 Intra-L (C23-C104) 23"-88" 134"-194"  
 23"-88" 134"-194"  
 Inter-H-L (h 5-CL 126) 223-214" 223"-214"  
 Inter-H-H (h 11, h 14) 229-229" 232-232"

## N-glycosylation sites / Sites de N-glycosylation / Posiciones de N-glicosilación

H CH2 N84:4: 300, 300"

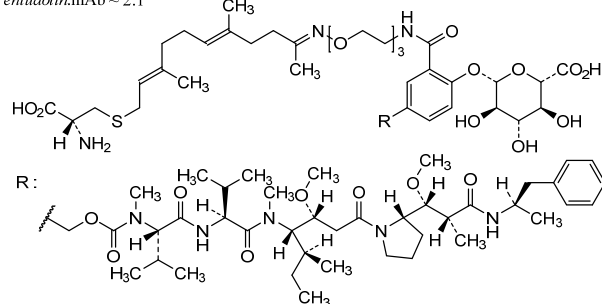
Fucosylated complex bi-antennary CHO-type glycans / glycanes de tipo CHO bi-antennarios complejos fucosilados

C-terminal lysine clipping / Coupure de la lysine C-terminale / Recorte de lisina C-terminal  
 H CHS K2: 450, 450"

Site specific cysteine / Cystéine spécifique de site / Cisteína específica de sitio  
 L 8-mer: 222', 222"

Modified residues / Résidus modifiés / Restos modificados  
 C (222', 222")

entudotizmAb ~ 2:1

**cenacitinibum**

cenacitinib

*N*-(5-[(7-fluoro-2,3-dihydro-1,4-benzodioxin-5-yl)amino]-7-(methylamino)pyrazolo[1,5-a]pyrimidin-3-yl)-*N'*-[(1*R*,2*S*)-2-fluorocyclopropyl]urea  
*Janus kinase inhibitor, anti-inflammatory*

cénacitinib

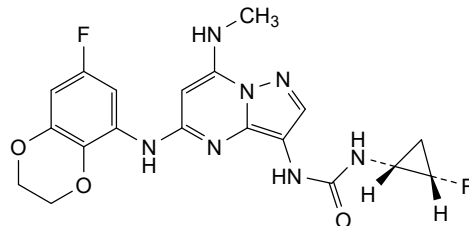
*N*-(5-[(7-fluoro-2,3-dihydro-1,4-benzodioxin-5-yl)amino]-7-(methylamino)pyrazolo[1,5-a]pyrimidin-3-yl)-*N'*-[(1*R*,2*S*)-2-fluorocyclopropyl]urea  
*inhibiteur de la kinase Janus, anti-inflammatoire*

cenacitinib

N-[(1*R*,2*S*)-2-fluorociclopropil]-*N*-{5-[(7-fluoro-2,3-dihidro-1,4-benzodioxin-5-il)amino]-7-(metilamino)pirazolo[1,5-*a*]pirimidin-3-il}urea  
*inhibidor de la kinasa Janus, antiinflamatorio*

C19H19F2N7O3

2641636-52-2

**cetuximab beta #**

cetuximab beta

immunoglobulin G1-kappa, anti-[*Homo sapiens* EGFR (epidermal growth factor receptor, receptor tyrosine-protein kinase erbB-1, ERBB1, HER1, HER-1, ERBB)], chimeric monoclonal antibody; H-gamma1 heavy chain chimeric (1-449) [VH (*Mus musculus* IGHV2-2\*03 (93.8%) -(IGHD) -IGHJ3\*01 (100%)), CDR-IMGT [8.7.13] (26-33.51-57.96-108)) (1-119) -*Homo sapiens* IGHG1\*03, G1m3, nG1m1 CH1 R120, CH3 E12, M14 (CH1 R120 (216) (120-217), hinge (218-232), CH2 (233-342), CH3 E12 (358), M14 (360) (343-447), CHS (448-449)) (120-449)], (222-214')-disulfide with L-kappa light chain chimeric (1'-214') [V-KAPPA (*Mus musculus* IGKV5-48\*01 (95.8%) -IGKJ5\*01 (100%)), CDR-IMGT [6.3.9] (27'-32'.50'-52'.89'-97')) (1'-107') -*Homo sapiens* IGKC\*01 (100%) Km3 A45.1, V101 (C-KAPPA A45.1 (153'), V101 (191')) (108'-214')]; dimer (228-228":231-231")-bisdisulfide, produced in Chinese hamster ovary (CHO) cells, cell line CHO-K1, glycoform beta  
*epidermal growth factor receptor (EGFR) antagonist , antineoplastic*

céutiximab bêta

immunoglobuline G1-kappa, anti-[*Homo sapiens* EGFR (récepteur du facteur de croissance épidermique, récepteur tyrosine-protéine kinase erbB-1, ERBB1, HER1, HER-1, ERBB)], anticorps monoclonal chimérique; chaîne lourde H-gamma1 chimérique (1-449) [VH (*Mus musculus* IGHV2-2\*03 (93.8%) -(IGHD) -IGHJ3\*01 (100%)), CDR-IMGT [8.7.13] (26-33.51-57.96-108)) (1-119) -*Homo sapiens* IGHG1\*03, G1m3, nG1m1 CH1 R120, CH3 E12, M14 (CH1 R120 (216) (120-217), charnière (218-232), CH2 (233-342), CH3 E12 (358), M14 (360) (343-447), CHS (448-449)) (120-449)], (222-214')-disulfure avec la chaîne légère L-kappa chimérique (1'-214') [V-KAPPA (*Mus musculus* IGKV5-48\*01 (95.8%) -IGKJ5\*01 (100%)), CDR-IMGT [6.3.9] (27'-32'.50'-52'.89'-97')) (1'-107') -*Homo sapiens* IGKC\*01 (100%) Km3 A45.1, V101 (C-KAPPA A45.1 (153'), V101 (191')) (108'-214')]; dimère (228-228":231-231")-bisdisulfure, produit dans des cellules ovariennes de hamster chinois (CHO), lignée cellulaire CHO-K1, glycoforme bêta  
*antagoniste du récepteur du facteur de croissance épidermique (EGFR), antinéoplasique*

cetuximab beta	inmunoglobulina G1-kappa, anti-[ <i>Homo sapiens</i> EGFR (receptor del factor de crecimiento epidérmico, receptor tirosina-proteína kinasa erbB-1, ERBB1, HER1, HER-1, ERBB)], anticuerpo monoclonal químérico; cadena pesada H-gamma1 químérica (1-449) [VH ( <i>Mus musculus</i> IGHV2-2*03 (93.8%) -(IGHD)-IGHJ3*01 (100%)), CDR-IMGT [8.7.13] (26-33.51-57.96-108)] (1-119) - <i>Homo sapiens</i> IGHG1*03, G1m3, nG1m1 CH1 R120, CH3 E12, M14 (CH1 R120 (216) (120-217), bisagra (218-232), CH2 (233-342), CH3 E12 (358), M14 (360) (343-447), CHS (448-449)) (120-449)], (222-214')-disulfuro con la cadena ligera L-kappa químérica (1'-214') [V-KAPPA ( <i>Mus musculus</i> IGKV5-48*01 (95.8%) -IGKJ5*01 (100%)), CDR-IMGT [6.3.9] (27'-32'.50'-52'.89'-97')] (1'-107') - <i>Homo sapiens</i> IGKC*01 (100%) Km3 A45.1, V101 (C-KAPPA A45.1 (153'), V101 (191')) (108'-214')]; dímero (228-228":231-231")-bisdisulfuro, producido en las células ováricas de hámster chino (CHO), línea celular CHO-K1, forma glicosilada beta <i>antagonista del receptor del factor de crecimiento epidérmico (EGFR), antineoplásico</i>
----------------	---

205923-56-4

Heavy chain / Chaîne lourde / Cadena pesada					
QVQLKQSGPV LVQPSQSLSI	TCTVSGFSLT	NYGVHWRVRSQ	PGKGLEWLGV	50	
IWSGGNTDYN	TPFTRSRLSIN	KMNSLQSNDT	AIIYCARALT		
YYDYFEAYWG	QGTLVTVSAA	STAKPSVFPL	TAACGLCLVKD	150	
YFPPEVTWVSN	NGSALTSGVH	TFPAVLQSSG	LYSLSSVVTV	200	
ICNVNWKPSN	TKVDKRVEPI	SCDKTHHTCP	CAPAEPLLGP	SVLFVPPFKP	
DITLMSRTPTE	TCVUVWDVSH	DEPEVKPNWY	DVGVEVHNAK	TKPREQQEYNS	300
TYRVSWSLTV	LHQDWLNGKE	YKCKVSNKAL	PAPIEKTISK	AKQGPREPOV	
YTLPFSREEM	TKNQVSLLC	VKGFGYPDSIA	VEWESNGQE	NNYKTTPPVL	400
DSGDSFFLYS	KLTDVKRSWQ	QGNFVCSVM	HEALHNHYTO	KSLSLSPGK	449

Light chain / Chaîne légère / Cadena ligera					
DILLITQSPVLI	LSVSPVGERSV	FSCRASQSIG	TNIHWYQORT	NGSPRLLIKY	50
ASESISGIPS	FRFGSGCSSTD	FTFLSINVES	EDIADYCCQO	NNNNWPITFGA	100
GTKLELKRTVW	AAPSVFIFPP	SDEQLKSGTA	SVVCLLNNFY	PREAKVQWKV	150
DNALAQSGNSQ	ESVTEQDSKD	STYSLSSLT	LSKADYEKHK	YVAECEVTTHQG	200
LSSPVTKFSN	RGEC				214

### **Post-translational modifications**

Disulfide bridges location / Position des ponts disulfure / Posiciones de los puentes disulfuro	Intra-H (C23-C104)	22°-95°	146°-202°	263°-323°	369°-427°
Intra-L (C23-C104)	23°-88°	134°-194°	23°-88°	134°-194°	23°-88°
Inter-H-L (h 5-CL 126)		222°-214°	222°-214°		
Inter-H-H (h 11, h 14)		228°-228°	231°-231°		

N-terminal glutaminyl cyclization / Cyclisation du glutaminy N-terminal / Ciclación del glutamino N-terminal  
Q > pyroglutamyl (pE, 5-oxoprolyl) / pyroglutamyle (pE, 5-oxoprolyle) / piroglutamilo (pE, 5-oxoprolilo)  
H VH QI: 1, I"

N-glycosylation sites / Sites de N-glycosylation / Posiciones de N-glicosilación  
 H VH N97: 88, 88"  
 G2F-N-acetylneuraminc acid (NANA), G2F-2NANA and G2F glycans / glycanes  
 G2F-N-acide acétylneuraminique (NANA), G2F-2NANA et G2F / glicanos ácido  
 G2F-N-acetilneuramínico (NANA), G2F-2NANA y G2F  
 H CH2 N84: 299 , 299"  
 Fucosylated complex bi-antennary CHO-type glycans / glycanes de type CHO bi-antennaires  
 complexes fucosylés / glicanos de tipo CHO biantenarios complejos fucosilados

C-terminal lysine clipping / Coupure de la lysine C-terminale / Recorte de lisina C-terminal  
H CHS K2: 449, 449"

**cilestatugum #**

cilestatug

immunoglobulin G1-kappa, anti-[*Homo sapiens* CLDN18 (claudin 18, claudin-18, surfactant associated protein J, SFTPJ) isoform 2], humanized monoclonal antibody; H-gamma1 heavy chain humanized (1-449) [VH (*Homo sapiens* IGHV1-46\*01 (86.7%) -(IGHD) -IGHJ4\*01 (92.9%), CDR-IMGT [8.8.12] (26-33.51-58.97-108)) (1-119) -*Homo sapiens* IGHG1\*03v (100%) G1m3>G1m17, nG1m1, CH1 K120, CH3 E12, M14 (CH1 R120>K (216) (120-217), hinge 1-15 (218-232), CH2 (233-342), CH3 E12 (358), M14 (360) (343-447), CHS (448-449)) (120-449)], (222-220')-disulfide with L-kappa light chain humanized (1'-220') [V-KAPPA (*Homo sapiens* IGKV2-28\*01 (85.1%) -IGKJ4\*01 (100%), CDR-IMGT [12.3.9] (27'-38'.56'-58'.95'-103')) (1'-113') -*Homo sapiens* IGKC\*01 (100%) Km3 A45.1, V101 (C-KAPPA A45.1 (159'), V101 (197')) (114'-220')]; dimer (228-228"-231-231")-bisdisulfide, produced in Chinese hamster ovary (CHO) cells, cell line CHO-K1, glycoform alfa *anti-claudin, antineoplastic*

ciléstatug

immunoglobuline G1-kappa, anti-[*Homo sapiens* CLDN18 (claudine 18, claudine-18, protéine J associée au surfactant, SFTPJ) isoforme 2]; anticorps monoclonal humanisé; chaîne lourde H-gamma1 humanisée (1-449) [VH (*Homo sapiens* IGHV1-46\*01 (86.7%) -(IGHD) -IGHJ4\*01 (92.9%), CDR-IMGT [8.8.12] (26-33.51-58.97-108)) (1-119) -*Homo sapiens* IGHG1\*03v (100%) G1m3>G1m17, nG1m1, CH1 K120, CH3 E12, M14 (CH1 R120>K (216) (120-217), charnière 1-15 (218-232), CH2 (233-342), CH3 E12 (358), M14 (360) (343-447), CHS (448-449)) (120-449)], (222-220')-disulfure avec la chaîne légère L-kappa humanisée (1'-220') [V-KAPPA (*Homo sapiens* IGKV2-28\*01 (85.1%) -IGKJ4\*01 (100%), CDR-IMGT [12.3.9] (27'-38'.56'-58'.95'-103')) (1'-113') -*Homo sapiens* IGKC\*01 (100%) Km3 A45.1, V101 (C-KAPPA A45.1 (159'), V101 (197')) (114'-220')]; dimère (228-228"-231-231")-bisdisulfure, produit dans des cellules ovarianes de hamster chinois (CHO), lignée cellulaire CHO-K1, glycoforme alfa *anti-claudine, antinéoplasique*

cilestatug

inmunoglobulina G1-kappa, anti-[*Homo sapiens* CLDN18 (claudina 18, claudina-18, proteína J asociada con el surfactante, SFTPJ) isoforma 2]; anticuerpo monoclonal humanizado; cadena pesada H-gamma1 humanizada (1-449) [VH (*Homo sapiens* IGHV1-46\*01 (86.7%) -(IGHD) -IGHJ4\*01 (92.9%), CDR-IMGT [8.8.12] (26-33.51-58.97-108)) (1-119) -*Homo sapiens* IGHG1\*03v (100%) G1m3>G1m17, nG1m1, CH1 K120, CH3 E12, M14 (CH1 R120>K (216) (120-217), bisagra 1-15 (218-232), CH2 (233-342), CH3 E12 (358), M14 (360) (343-447), CHS (448-449)) (120-449)], (222-220')-disulfuro con la cadena ligera L-kappa humanizada (1'-220') [V-KAPPA (*Homo sapiens* IGKV2-28\*01 (85.1%) -IGKJ4\*01 (100%), CDR-IMGT [12.3.9] (27'-38'.56'-58'.95'-103')) (1'-113') -*Homo sapiens* IGKC\*01 (100%) Km3 A45.1, V101 (C-KAPPA A45.1 (159'), V101 (197')) (114'-220')]; dímero (228-228"-231-231")-bisdisulfuro, producido en las células ováricas de hámster chino (CHO), línea celular CHO-K1, forma glicosilada alfa *anticlaudina, antineoplásico*

## Heavy chain / Chaîne lourde / Cadena pesada

QVQLVQSGAE VKKPGASVKV SCKASGYAFT NYLIEWVRQA PGQGLEWMGL 50  
 INPGSGGNTNY NEFKFRVTM TRDTSTSTVY MELSSLRSED TAVYYCARGG 100  
 YYGNSFAYWG QGTLVTVSSA STKGPVFPL APSSKSTSGG TAALGCLVKD 150  
 YFPEPVTVSW NSGALTSGVH TFPAPVLQSGG LYSLSSVVTVV PSSSLGTQTY 200  
 ICNVNWKPSN TKVDKKVEPK SCDKTHTCPP CPAPELLGGP SVFLFPPKPK 250  
 DTLMSRTPE VTCVVVVDSH EDPEVKFNWY VGVEVHNAK TKPREEQYNS 300  
 TYRVSVLTV LHQDWLNLGE YKCKVSNKAL PAPIEKTISK AKGQPREPQV 350  
 YTLPFSREEM TKNQVSLTCL VKGFYPSDIA VEWESNGQFE NNYKTTPPVL 400  
 DSDGSFFLYS KLTVDKSRQO QGNVFSCSVN HEALHNHYTQ KSLSLSPKG 449

## Light chain / Chaîne légère / Cadena ligera

DIVMTQSPPLS LPVTPGEPLS ISCKSSQSSL NSGNQKNYLT WYLQKPGQSP 50  
 QLLIYWASTR ESGVPDRFSG SGSGTDFTLK ISRVEAEVDG VYYCQNAYYY 100  
 PYTFGGGTKV EIKRTVAAPS VFIFPPSDEQ LKSGTASVVC LLNNFYPREA 150  
 KVQWVNDNAL QSGNSQEVT EQDSKDSTYS LSSTTLSKA DYEKHKVYAC 200  
 EVTHQGLSSP VTKSFnRGEc 220

## Post-translational modifications

Disulfide bridges location / Position des ponts disulfure / Posiciones de los puentes disulfuro

Intra-H (C23-C104) 22°-96° 146°-202° 263°-323° 369°-427°

22°-96° 146°-202° 263°-323° 369°-427°

Intra-L (C23-C104) 23°-94° 140°-200°

23°-94° 140°-200°

Inter-H-L (h 5-CL 126) 222°-220° 222°-220°

Inter-H-H (h 11, h 14) 228°-228° 231°-231°

N-terminal glutaminyl cyclization / Cyclisation du glutaminyle N-terminal / Ciclación del glutamino N-terminal

Q> pyroglutamyl (pE, 5-oxoprolyl) / pyroglutamyle (pE, 5-oxoprolyle) / piroglutamilo (pE, 5-oxoprolilo)

H VH Q1: 1, I"

N-glycosylation sites / Sites de N-glycosylation / Posiciones de N-glicosilación

H CH2 N84.4: 299, 299°

Fucosylated complex bi-antennary CHO-type glycans / glycanes de tipo CHO bi-antennaires complexes fucosylés / glicanos de tipo CHO biantenarios complejos fucosilados

C-terminal lysine clipping / Coupure de la lysine C-terminale / Recorte de lisina C-terminal  
 H CHS K2: 449, 449°

**ciletatugum vedotinum #**

ciletatug vedotin

immunoglobulin G1-kappa, anti-[*Homo sapiens* CLDN18 (claudin 18, claudin-18, surfactant associated protein J, SFTPJ) isoform 2], humanized monoclonal antibody, conjugated on an average of four cysteinyl residues to *vedotin*, comprising a cleavable linker and monomethylauristatin E (MMAE); H-gamma1 heavy chain humanized (1-449) [VH (*Homo sapiens* IGHV1-40\*01 (86.7%) -(IGHD)-IGHJ4\*01 (92.9%), CDR-IMGT [8.8.12] (26-33.51-58.97-108)) (1-119)-*Homo sapiens* IGHG1\*03v (100%) G1m3>G1m17, nG1m1, CH1 K120, CH3 E12, M14 (CH1 R120>K (216) (120-217), hinge 1-15 (218-232), CH2 (233-342), CH3 E12 (358), M14 (360) (343-447), CHS (448-449)) (120-449)], (222-220')-disulfide with L-kappa light chain humanized (1'-220') [V-KAPPA (*Homo sapiens* IGKV2-28\*01 (85.1%)-IGKJ4\*01 (100%), CDR-IMGT [12.3.9] (27'-38'.56'-58'.95'-103')) (1'-113')-*Homo sapiens* IGKC\*01 (100%) Km3 A45.1, V101 (C-KAPPA A45.1 (159'), V101 (197')) (114'-220')]; dimer (228-228':231-231")-bisdisulfide, produced in Chinese hamster ovary (CHO) cells, cell line CHO-K1, glycoform alfa; substituted at the sulfur atoms of four L-cysteinyl residues on an average among 222, 228, 231, 220', 222', 228', 231" and 220" with a group consisting of (3RS)-1-(6-{{(2S)-1-{{(2S)-5-(carbamoylamino)-1-{4-[(3S)-1-[(2S)-1-{{{(3R,4S,5S)-1-(2S)-2-[(1R,2R)-3-[(1S,2R)-1-hydroxy-1-phenylpropan-2-yl]amino)-1-methoxy-2-methyl-3-oxopropyl]pyrrolidin-1-yl}-3-methoxy-5-methyl-1-oxoheptan-4-yl](methyl)amino}-3-methyl-1-oxobutan-2-yl]amino}-3-methyl-1-oxobutan-2-yl](methyl)carbamoyl]oxy)methyl]anilino)-1-oxopentan-2-yl]amino}-3-methyl-1-oxobutan-2-yl]amino)-6-oxohexyl)-2,5-dioxopyrrolidin-3-yl (*vedotin*) *tubulin disruptor, antineoplastic*

ciletatug védotine

immunoglobuline G1-kappa, anti-[*Homo sapiens* CLDN18 (claudine 18, claudine-18, protéine J associée au surfactant, SFTPJ) isoforme 2], anticorps monoclonal humanisé, conjugué, par quatre résidus cystéinyle en moyenne à la védotine, comprenant un linker clivable et monométhylauristatine E (MMAE); chaîne lourde H-gamma1 humanisée (1-449) [VH (*Homo sapiens* IGHV1-46\*01 (86.7%) -(IGHD) -IGHJ4\*01 (92.9%), CDR-IMGT [8.8.12] (26-33.51-58.97-108)) (1-119) -*Homo sapiens* IGHG1\*03v (100%) G1m3>G1m17, nG1m1, CH1 K120, CH3 E12, M14 (CH1 R120>K (216) (120-217), charnière 1-15 (218-232), CH2 (233-342), CH3 E12 (358), M14 (360) (343-447), CHS (448-449)) (120-449)], (222-220')-disulfure avec la chaîne légère L-kappa humanisée (1-220') [V-KAPPA (*Homo sapiens* IGKV2-28\*01 (85.1%) -IGKJ4\*01 (100%), CDR-IMGT [12.3.9] (27'-38'.56'-58'.95'-103')) (1'-113') -*Homo sapiens* IGKC\*01 (100%) Km3 A45.1, V101 (C-KAPPA A45.1 (159'), V101 (197')) (114'-220')]; dimère (228-228":231-231")-bisdisulfure, produit dans des cellules ovarianes de hamster chinois (CHO), lignée cellulaire CHO-K1, glycoforme alfa; substitué sur l'atome de soufre de quatre résidus L-cystéinyle en moyenne parmi 222, 228, 231, 220', 222", 228", 231" et 220" avec un groupe (3RS)-1-(6-[(2S)-1-[(2S)-5-(carbamoylamino)-1-4-[(2S)-1-[(3R,4S,5S)-1-[(2S)-2-[(1R,2R)-3-[(1S,2R)-1-hydroxy-1-phénylpropan-2-yl]amino]-1-méthoxy-2-méthyl-3-oxopropyl]pyrrolidin-1-yl]-3-méthoxy-5-méthyl-1-oxoheptan-4-yl](méthyl)amino]-3-méthyl-1-oxobutan-2-yl]amino)-3-méthyl-1-oxobutan-2-yl](méthyl)carbamoyl]oxy)méthyl]anilino)-1-oxopentan-2-yl]amino)-3-méthyl-1-oxobutan-2-yl]amino)-6-oxohexyl)-2,5-dioxopyrrolidin-3-yle (védotine)  
perturbateur de tubuline, antinéoplasique

ciletatug vedotina

inmunoglobulina G1-kappa, anti-[*Homo sapiens* CLDN18 (claudina 18, claudina-18, proteína J asociada con el surfactante, SFTPJ) isoforma 2], anticuerpo monoclonal humanizado, conjugado, en una media de cuatro residuos cisteinilo a la vedotina, que comprende un enlace escindible y monometilauristatina E (MMAE); cadena pesada H-gamma1 humanizada (1-449) [VH (*Homo sapiens* IGHV1-46\*01 (86.7%) -(IGHD) -IGHJ4\*01 (92.9%), CDR-IMGT [8.8.12] (26-33.51-58.97-108)) (1-119) -*Homo sapiens* IGHG1\*03v (100%) G1m3>G1m17, nG1m1, CH1 K120, CH3 E12, M14 (CH1 R120>K (216) (120-217), bisagra 1-15 (218-232), CH2 (233-342), CH3 E12 (358), M14 (360) (343-447), CHS (448-449)) (120-449)], (222-220')-disulfuro con la cadena ligera L-kappa humanizada (1-220') [V-KAPPA (*Homo sapiens* IGKV2-28\*01 (85.1%) -IGKJ4\*01 (100%), CDR-IMGT [12.3.9] (27'-38'.56'-58'.95'-103')) (1'-113') -*Homo sapiens* IGKC\*01 (100%) Km3 A45.1, V101 (C-KAPPA A45.1 (159'), V101 (197')) (114'-220')]; dímero (228-228":231-231")-bisdisulfuro, producido en las células ováricas de hámster chino (CHO), línea celular CHO-K1, forma glicosilada alfa; sustituido en el átomo de azufre de cuatro residuos L-cisteinilo en una media entre 222, 228, 231, 220', 222", 228", 231" y 220" con un grupo (3RS)-1-(6-[(2S)-1-[(2S)-5-(carbamoylamino)-1-4-[(2S)-1-[(3R,4S,5S)-1-[(2S)-2-[(1R,2R)-3-[(1S,2R)-1-hidroxi-1-fenilpropan-2-yl]amino]-1-metoxi-2-metil-3-oxopropil]pirrolidin-1-yl]-3-metoxi-5-metil-1-oxoheptan-4-il](metil)amino]-3-metil-1-oxobutan-2-yl]amino)-3-metil-1-oxobutan-2-yl](metil)carbamoyl]oxy)méthyl]anilino)-1-oxopentan-2-yl]amino)-3-metil-1-oxobutan-2-yl]amino)-6-oxohexil)-2,5-dioxopyrrolidin-3-ilo (vedotina)  
disruptor de la tubulina, antineoplásico

2897624-59-6

## Heavy chain / Chaîne lourde / Cadena pesada

QVQLVQSGAE VKKPGASVKV SCKASGYAFT NYLIEWVRQA PGQGLEWMGL 50  
 INPGSGGTNY NEKFKGRTVM TRDTSTSTVY MELSSLRSED TAVYYCARGG 100  
 YYGNSFAYWG QGTLTVSSA STKGPSVFPL APPSKSTSGG TAALGCLVKD 150  
 YFPEPTVTWSW NSGALTSGVH TFPAVLQSSG LYSSSVVTV PSSSLGTQTY 200  
 ICNVNHPKSN TKVDDKKVEPK SCDKTHTCPF CPAPELLGGP SVFLFPKPK 250  
 DTLMSIRTPE VTCVVVDVSH EDPEVKFNWY VDGVEVHNAAK TKPREEQYNS 300  
 TYRVSLSVLT LHQDWLNKE YKCKVSNKAL PAPIEKTIK AKGQPREPVQ 350  
 YTLPSSREEM TKNQVSLTCL VKGFYPSDIA VEWEESNGQPE NNYKTPPPVL 400  
 DSDGSFFLYS KLTVDKSRWQ QGNVFSCSVM HEALHNHYTQ KSLSLSPGK 449

## Light chain / Chaîne légère / Cadena ligera

DIVMTQSPLS LPVTPGEPAS ISCKSSQSLL NSGNQKNYLW WYLQKPGQSP 50  
 QLLIYWAISTR ESGVPDRFSG SGSGTDFTLK ISRVEAEDVG VYYCQNAYYY 100  
 PYTFGGGTWK EIKRTVAAPS VFIFPPSDEQ LKSGTASVVC LLNNFYPREA 150  
 KVQWKVDNAL QSGNSQESVT EQDSKDSTYS LSSTLTLASKA DYEKHKVYAC 200  
 EVTHQGLSSP VTKSFNRGEC 220

## Post-translational modification

Disulfide bridges location / Position des ponts disulfure / Posiciones de los puentes disulfuro  
 Intra-H (C23-C104) 22-96 146-202 263-323 369-427

22"-96" 146"-202" 263"-323" 369"-427"

Intra-L (C23-C104) 23"-94" 140"-200"  
 23"-94" 140"-200"

Inter-H-L (h 5-CL 126) \* 222-220' 222"-220"

Inter-H-H (h 11, h 14) \* 228-228" 231-231"

\*At least two of the four inter-chain disulfide bridges are not present, an average of four cysteinylin being conjugated each via a thioether bond to a drug linker.

\*Au moins deux des quatre ponts disulfures inter-chaines ne sont pas présents, quatre cystéinylin en moyenne étant chacun conjugué via une liaison thioéther à un linker-principe actif.

\*Al menos dos de los cuatro puentes disulfuro inter-catenarios no estan presentes, una media de cuatro cisteinil está conjugada a conectores de principio activo.

N-terminal glutaminyl cyclization / Cyclisation du glutaminyle N-terminal / Ciclación del glutaminilo N-terminal

Q > pyroglutamyl (pE, 5-oxoprolyl) / pyroglutamyle (pE, 5-oxoprolyle) / piroglutamilo (pE, 5-oxoprolilo)

H VH Q1: 1, 1"

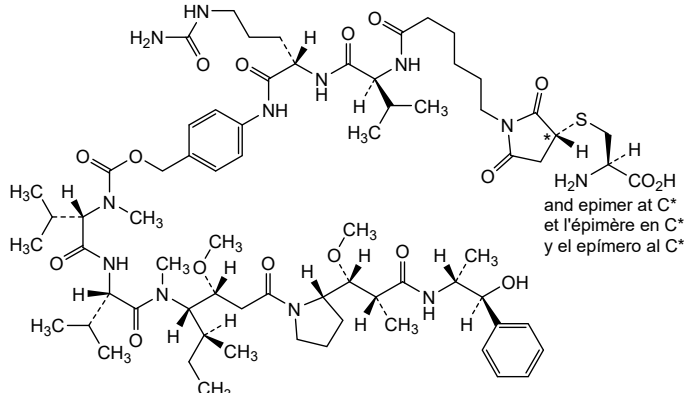
N-glycosylation sites / Sites de N-glycosylation / Posiciones de N-glicosilación  
 H CH2 N84.4: 299, 299"

Fucosylated complex bi-antennary CHO-type glycans / glycanes de type CHO bi-antennaires complexes fucosylés / glicanos de tipo CHO biantenarios complejos fucosilados

C-terminal lysine clipping / Coupure de la lysine C-terminale / Recorte de lisina C-terminal  
 H CHS K2: 449, 449"

Potential modified residues / résidus modifiés potentiels / restos modificados potenciales\*  
 C (222, 228, 231, 220', 222", 228", 231', 220")

\*(vedotin:mAb ~ 4:1)



**cizutamigum #**

cizutamig

immunoglobulin [L-kappa-H-gamma1\_[VH-G1(CH1-h)]\_L-kappa] dimer, anti-[*Homo sapiens* TNFRSF17 (tumor necrosis factor (TNF) receptor superfamily member 17, B cell maturation antigen, BCMA, TNFRSF13A, CD269)] and anti-[*Homo sapiens* CD3E (CD3 epsilon, Leu-4)], humanized monoclonal antibody, bispecific; fused L-kappa-H-gamma1 heavy chain anti-TNFRSF17 and anti-CD3E humanized (1-663) [[L-kappa anti-TNFRSF17 humanized (1-214) [V-KAPPA (*Homo sapiens* IGKV1-39\*01 (82.1%) -IGKJ2\*02 (100%), CDR-IMGT [6.3.9] (27-32.50-52.89-97)) (1-107) -*Homo sapiens* IGKC\*01 (100%) Km3 A45.1, V101 (C-KAPPA A45.1 (153), V101 (191)) (108-214)] - H-gamma1 heavy chain anti-CD3E humanized (215-663) [VH (*Homo sapiens* IGHV1-2\*02 (82.7%) -(IGHD) -IGHJ4\*01 (93.3%) L123>T (328), CDR-IMGT [8.8.12] (240-247.265-272.311-322)) (215-333) -*Homo sapiens* IGHG1\*03v, G1m3>G1m17, nG1m1, CH1 K120, CH3 E12, M14, IGHG1v14 CH2 A1.3, A1.2 (CH1 R120>K (430) (334-431), hinge 1-15 (432-446), CH2 L1.3>A (450), L1.2>A (451) (447-556), CH3 E12 (572), M14 (574) (557-661), CHS (662-663)) (334-663)]; (214-224')-disulfide with VH-G1(CH1-h) light chain anti-TNFRSF17 humanized (1'-224') [VH (*Homo sapiens* IGHV1-3\*03 (84.7%) -IGHD -IGHJ4\*01 (92.3%) L123>T (116'), CDR-IMGT [8.8.14] (26'-33'.51'-58'.97'-110')) (1'-121') -*Homo sapiens* IGHG1\*03v, G1m3>G1m17, nG1m1, CH1 K120 (CH1 R120>K (218') (122'-219'), hinge 1-5 (220'-224')) (122'-224')]]; (436-219'')-disulfide with L-kappa light chain anti-CD3E humanized (1''-219'') [V-KAPPA (*Homo sapiens* IGKV4-1\*01 (91.8%) -IGKJ4\*01 (100%), CDR-IMGT [12.3.8] (27''-38''.56''-58''.95''-102'')) (1''-112'') -*Homo sapiens* IGKC\*01 (100%) Km3 A45.1, V101 (C-KAPPA A45.1 (158''), V101 (196'')) (113''-219'']); dimer (442-442':445-445'')-bisdisulfide, produced in Chinese hamster ovary (CHO) cells, cell line CHO-K1, glycoform alfa  
*immunostimulant, antineoplastic*

cizutamig

immunoglobuline dimère [L-kappa-H-gamma1 VH-G1(CH1-h)]\_L-kappa], anti-[*Homo sapiens* TNFRSF17 (membre 17 de la superfamille des récepteurs du facteur de nécrose tumorale (TNF), antigène de maturation de cellule B, BCMA, TNFRSF13A, CD269)] et anti-[*Homo sapiens* CD3E (CD3 epsilon, Leu-4)], anticorps monoclonal humanisé, bispécifique; chaîne lourde fusionnée [L-kappa-H-gamma1 anti-TNFRSF17 et anti-CD3E humanisée (1-663) [[L-kappa anti-TNFRSF17 humanisée (1-214) [V-KAPPA (*Homo sapiens* IGKV1-39\*01 (82.1%) -IGKJ2\*02 (100%), CDR-IMGT [6.3.9] (27-32.50-52.89-97)) (1-107) -*Homo sapiens* IGKC\*01 (100%) Km3 A45.1, V101 (C-KAPPA A45.1 (153), V101 (191)) (108-214)] - chaîne lourde H-gamma1 anti-CD3E humanisée (215-663) [VH (*Homo sapiens* IGHV1-2\*02 (82.7%) -(IGHD) -IGHJ4\*01 (93.3%) L123>T (328), CDR-IMGT [8.8.12] (240-247.265-272.311-322)) (215-333) -*Homo sapiens* IGHG1\*03v, G1m3>G1m17, nG1m1, CH1 K120, CH3 E12, M14, IGHG1v14 CH2 A1.3, A1.2 (CH1 R120>K (430) (334-431), charnière 1-15 (432-446), CH2 L1.3>A (450), L1.2>A (451) (447-556), CH3 E12 (572), M14 (574) (557-661), CHS (662-663)) (334-663)]; (214-224')-disulfure avec la chaîne légère

	VH-G1(CH1-h) anti-TNFRSF17 humanisée (1'-224') [VH ( <i>Homo sapiens</i> )IGHV1-3*03 (84.7%) -IGHD -IGHJ4*01 (92.3%) L123>T (116'), CDR-IMGT [8.8.14] (26'-33'.51'-58'.97'-110')) (1'-121') - <i>Homo sapiens</i> IGHG1*03v, G1m3>G1m17, nG1m1, CH1 K120 (CH1 R120>K (218') (122'-219'), charnière 1-5 (220'-224')) (122'-224'))]; (436-219")-disulfure avec la chaîne légère L-kappa anti-CD3E humanisée (1"-219") [V-KAPPA ( <i>Homo sapiens</i> )IGKV4-1*01 (91.8%) -IGKJ4*01 (100%), CDR-IMGT [12.3.8] (27"-38".56"-58".95"-102")) (1"-112") - <i>Homo sapiens</i> IGKC*01 (100%) Km3 A45.1, V101 (C-KAPPA A45.1 (158"), V101 (196")) (113"-219")]; dimère (442-442":445-445")-bisisulfuro, produit dans des cellules ovariennes de hamster chinois (CHO), lignée cellulaire CHO-K1, glycoforme alfa <i>immunostimulant, antinéoplasique</i>
cizutamig	inmunoglobulina dímero [L-kappa-H-gamma1_VH-G1(CH1-h)]_L-kappa], anti-[ <i>Homo sapiens</i> TNFRSF17 (miembro 17 de la superfamilia de los receptores del factor de necrosis tumoral (TNF), antígeno de maduración de células B, BCMA, TNFRSF13A, CD269)] y anti-[ <i>Homo sapiens</i> CD3E (CD3 épsilon, Leu-4)], anticuerpo monoclonal humanizado, biespecífico; cadena pesada fusionada [L-kappa-H-gamma1 anti-TNFRSF17 y anti-CD3E humanizada (1-663) [[L-kappa anti-TNFRSF17 humanizada (1-214) [V-KAPPA ( <i>Homo sapiens</i> )IGKV1-39*01 (82.1%) -IGKJ2*02 (100%), CDR-IMGT [6.3.9] (27-32.50-52.89-97)) (1-107) - <i>Homo sapiens</i> IGKC*01 (100%) Km3 A45.1, V101 (C-KAPPA A45.1 (153), V101 (191)) (108-214)] -cadena pesada H-gamma1 anti-CD3E humanizada (215-663) [VH ( <i>Homo sapiens</i> )IGHV1-2*02 (82.7%) - (IGHD) -IGHJ4*01 (93.3%) L123>T (328), CDR-IMGT [8.8.12] (240-247.265-272.311-322)) (215-333) - <i>Homo sapiens</i> IGHG1*03v, G1m3>G1m17, nG1m1, CH1 K120, CH3 E12, M14, IGHG1v14 CH2 A1.3, A1.2 (CH1 R120>K (430) (334-431), bisagra 1-15 (432-446), CH2 L1.3>A (450), L1.2>A (451) (447-556), CH3 E12 (572), M14 (574) (557-661), CHS (662-663)) (334-663)]; (214-224")-disulfuro con la cadena ligera VH-G1(CH1-h) anti-TNFRSF17 humanizada (1'-224') [VH ( <i>Homo sapiens</i> )IGHV1-3*03 (84.7%) -IGHD -IGHJ4*01 (92.3%) L123>T (116'), CDR-IMGT [8.8.14] (26'-33'.51'-58'.97'-110')) (1'-121') - <i>Homo sapiens</i> IGHG1*03v, G1m3>G1m17, nG1m1, CH1 K120 (CH1 R120>K (218') (122'-219'), bisagra 1-5 (220'-224')) (122'-224')]; (436-219")-disulfuro con la cadena ligera L-kappa anti-CD3E humanizada (1"-219") [V-KAPPA ( <i>Homo sapiens</i> )IGKV4-1*01 (91.8%) -IGKJ4*01 (100%), CDR-IMGT [12.3.8] (27"-38".56"-58".95"-102")) (1"-112") - <i>Homo sapiens</i> IGKC*01 (100%) Km3 A45.1, V101 (C-KAPPA A45.1 (158"), V101 (196")) (113"-219")]; dímero (442-442":445-445")-bisisulfuro, producido en las células ováricas de hamster chino (CHO), línea celular CHO-K1, forma glicosilada alfa <i>inmunoestimulante, antineoplásico</i>

2919209-65-5

Heavy chain / Chaîne lourde / Cadena pesada: fused L-kappa (anti-TNFRSF17)-H-gamma1  
(anti-CD3E) (H, H<sup>+</sup>)

DIQMTQSPSS LSASVGDRVT ITCGASENIY GALNWYQQKP GKAPKLLIYG 50  
ATNLATGIPS RFSGSGSGRD FTLTISLQP EDFATVYCQS VLTTFWTFQO 100  
GTKLEIKRTV AAPSVFIFPP SDEQLKSGTA SVVCLLNNFY PREAKVQWKV 150  
DNALQSGNSQ EVSTEQDSKD STYSLSSLT LSKADYEKKH VYACEVTHQG 200  
LSSPVTKS FN RGECEVQLVQ SGAEVKPGE SVKVSKCAGS FSFTNYVHW 250  
MRQAPGQGLE WIGWISPGSD NTKYNEKFKG RVTLTADTSI STAYMELSR 300  
RSDDTAVYYC ARDDYGNYYF DYWGQGTTVV VSSASTKGPS VEPFLAPSSKS 350  
TSGGTAALGC LVKDYFPEPV TVSWNSGALT SGVHTFPAVL QSSGLYSILSS 400  
VVTVPSSSLG TQTYICVNHH PKSNTKVDKVE VEPKSCDKTH TCPCPAAPEA 450  
AGGPSVFLFP EPKPKDTLMIS RTEPEVTCVV DVSHEDEPVK FNWYVGDGVEV 500  
HNAKTKPREE QYNSTYRVVS VLTVLHQDWL NGKEYKCKVS NKALPAPIEK 550  
TISKAKGQPR EPQVYLTPLS REEMTKNQVS LTCLVKGFYP SDIAVEWESN 600  
GQPENNYKTTP PVVLSDGDF FLYSKLTVDR SRWQQGNVFS CSVMHALHN 650  
HYTQKSLSLSG PKG 663

Light chain / Chaîne légère / Cadena ligera: VH-G1(CH1-h) anti-TNFRSF17 (L', L'')  
EVQLVQSAE VVKPGASVKV SKCASGYTFT NFMWHRVRQA PQQRLEWMGA 50  
FYFGNDDTYY NQKFKGRVTI TADTSASTAY MELSSLRSED MAVYYCARSG 100  
YYGSSDAMDY WGQCTTVTVS SASTKGSVF PLAPSSKSTS GGTAALGCLV 150  
KDYFPEPVTVW SWNSGALTSG VHTFPAVLQS SGGLYSLSVTV TVPSSSLGTO 200  
TYICVNHNPK SNTKVDKKVE PKSC 224

Light chain / Chaîne légère / Cadena ligera: L-kappa anti-CD3E (L'', L''')  
DIVMTQSPDS LAVSLGERAT INCKQSSQLL NARTRKNYLA WYQQKPGQPP 50  
KLLIYWASTR ESGVPEDRFSG SGSGTDFDTLT ISSLQAEDVA VYYCKQSYIL 100  
RTFGGGTKVE IKRTVAAPSV FIFPPSDEQL KSGTASVCL LNNFYPREAK 150  
VQWQVDNALQ SGNSQESVTE QDSKDSTYSL SSTLTLASKAD YEKHKVYACE 200  
VTHQGLLSSPV TKSFRNRGEC 219

#### Post-translational modifications

Disulfide bridges location / Position des ponts disulfure / Posiciones de los puentes disulfuro  
Intra-H (C23-C104) 23-88 134-194 236-310 360-416 477-537 583-641  
23"-88" 134"-194" 236"-310" 360"-416" 477"-537" 583"-641"  
Intra-L (C23-C104) 22'-96' 148'-204'  
22"-96"" 148""-204""  
23"-94" 139"-199"  
23""-94"" 139""-199""  
Inter-H-L (CL 126-h 5)\* 214-224' 214"-224""  
Inter-H-L (h 5-CL 126) 436-219" 436"-219""  
Inter-H-H (h 11, h 14) 442-442" 445-445"

\*CL 126 from the H and H<sup>+</sup> fused L-kappa chain, h 5 from the L' and L''' VH-G1(CH-h) hinge

N-glycosylation sites / Sites de N-glycosylation / Posiciones de N-glicosilación

H CH2 N84.4: 513, 513"

Fucosylated complex bi-antennary CHO-type glycans / glycanes de type CHO bi-antennaires complexes fucosylés / glicanos de tipo CHO biantenarios complejos fucosilados

C-terminal lysine clipping / Coupure de la lysine C-terminale / Recorte de lisina C-terminal  
H CHS K2: 663, 663"

#### clesitimigum #

clesitimig

immunoglobulin [(V-kappa-G4CH1-G1h-H-gamma1\_L-kappa)\_L-kappa]\_(H-gamma1\_L-kappa), anti-[*Homo sapiens* DLL3 (delta-like ligand 3, delta like canonical Notch ligand 3)], anti-[*Homo sapiens* CD3/TNFRSF9 (TNF receptor superfamily member 9, 4-1BB, T cell antigen ILA, CD137) dual non simultaneous], humanized monoclonal antibody, trispecific, trivalent; fused heavy chain V-kappa-G4CH1-G1h anti-DLL3-H-gamma1 anti-CD3/TNFRSF9 (1-676) [V-kappa-G4CH1-G1h anti-DLL3 humanized (1-215) [V-KAPPA (*Homo sapiens* IGKV1-33\*01 (76.3%) -IGKJ4\*01 (100%), CDR-IMGT [8.3.10] (27-34-52-54-91-100)) (1-110) -2-mer diseryl (111-112)- *Homo sapiens* IGHG4\*01 G4v97 S10 (CH1 C10>S (126) (113-210) -IGHG1\*01 hinge 1-5 (211-215)) (113-215)] -5-mer (tetraglycyl-seryl) linker (216-220) -H-gamma1 heavy chain humanized, anti-CD3/TNFRSF9 (221-676) [VH (*Homo sapiens*

IGHV3-72\*01 (78.6%) -(IGHD) -IGHJ6\*01 (86.7%), CDR-IMGT [8.10.19] (246-253.271-280.319-337)) (221-348) -*Homo sapiens* IGHG1\*01 G1m17,1 CH1 K120, CH3 D12, L14, G1v57 CH1 E26, E119, G1v94 CH1 C94, G1v14 CH2 A1.3, A1.2, G1v29 CH2 A84.4, G1v74 CH3 C10, G1v32 CH3 W22 (knob), G1v78 CH3 L107, A114, G1v89 CH3 R118, E120 (CH1 K26>E (378), S94>C (422), K119>E (444), K120 (445) (349-446), hinge 1-15 (447-461), CH2 L1.3>A (465), L1.2>A (466), N84.4>A (528) (462-571), CH3 S10>C (585), D12 (587), L14 (589), T22>W (597), M107>L (659), N114>A (665), Q118>R (669), S120>E (671) (572-676)) (349-676)]; (215-226')-disulfide with the VH-C-kappa light chain anti-DLL3 humanized (1'-226') [VH (*Homo sapiens* IGHV4-61\*02 (72.0%) -IGHD -IGHJ4\*01 (86.7%), CDR-IMGT [9.8.11] (26'-34'.52'-59'.98'-108')) (1'-119') -*Homo sapiens* IGKC\*01 (99.1%) Km3 A45.1, V101, KCv96 A1.4, S1.3 (C-KAPPA R1.4>A (120'), T1.3>S (121'), A45.1 (165'), V101 (203')) (120'-226')]; (451-219'')-disulfide with common L-kappa light chain humanized, anti-CD3/TNFRSF9 (1''-219'') [V-KAPPA (*Homo sapiens* IGKV2-30\*02 (80.0%) -IGKJ2\*01 (100%), CDR-IMGT [11.3.9] (27''-37''.55''-57''.94''-102'')) (1''-112'') -*Homo sapiens* IGKC\*01 (98.1%) Km3 A45.1, V101, KCv57 R12, K13 (C-KAPPA E12>R (128''), Q13>K (129''), A45.1 (158''), V101 (196'')) (113''-219'')]; H-gamma1 heavy chain anti-CD3/TNFRSF9 humanized (1"-456") [VH (*Homo sapiens* IGHV3-72\*01 (78.6%) -(IGHD) -IGHJ6\*01 (86.7%), CDR-IMGT [8.10.19] (26"-33".51"-60".99"-117")) (1"-128") -*Homo sapiens* IGHG1\*01 G1m17,1 CH1 K120, CH3 D12, L14, G1v57 CH1 E26, E119, G1v94 CH1 C94, G1v14 CH2 A1.3, A1.2, G1v29 CH2 A84.4, G1v75 CH3 C5, G1v33 CH3 S22, A24, V86 (hole), G1v78 CH3 L107, A114, G1v89 R118, E120 (CH1 K26>E (158"), S94>C (202"), K119>E (224"), K120 (225") (129"-226"), hinge 1-15 (227"-241"), CH2 L1.3>A (245"), L1.2>A (246"), N84.4>A (308") (242"-351"), CH3 Y5>C (360"), D12 (367"), L14 (369"), T22>S (377"), L24>A (379"), Y86>V (418"), M107>L (439"), N114>A (445"), Q118>R (449"), S120>E (451") (352"-456") (129"-456")]. (231"-219'')-disulfide with common L-kappa light chain humanized, anti-CD3/TNFRSF9 (1''-219'') [V-KAPPA (*Homo sapiens* IGKV2-30\*02 (80.0%) -IGKJ2\*01 (100%), CDR-IMGT [11.3.9] (27''-37''.55''-57''.94''-102'')) (1''-112'') -*Homo sapiens* IGKC\*01 (98.1%) Km3 A45.1, V101, KCv57 R12, K13 (C-KAPPA E12>R (128''), Q13>K (129''), A45.1 (158''), V101 (196'')) (113''-219'')]; heterodimer (422-202":457-237":460-240":585-360")-tetrakisdisulfide, produced in Chinese hamster ovary (CHO) cells, cell line CHO-DXB11, non-glycosylated antineoplastic

clésitamig

immunoglobuline [(V-kappa-G4CH1-G1h-H-gamma1\_L-kappa)\_L-kappa]\_(H-gamma1\_L-kappa), anti-[*Homo sapiens* DLL3 (delta-like ligand 3, delta like canonical Notch ligand 3)], anti-[*Homo sapiens* CD3/TNFRSF9 (membre 9 de la superfamille des récepteurs du TNF, 4-1BB, antigène ILA des cellules T, CD137) double non simultané], anticorps monoclonal humanisé, trispécifique, trivalent;

chaîne lourde fusionnée V-kappa-G4CH1-G1h anti-DLL3-H-gamma1 anti-CD3/TNFRSF9 (1-676) [V-kappa-G4CH1-G1h anti-DLL3 humanisé (1-215) [V-KAPPA (*Homo sapiens* IGKV1-33\*01 (76.3%) -IGKJ4\*01 (100%), CDR-IMGT [8.3.10] (27-34.52-54.91-100)) (1-110) -dimer diséryl (111-112) -*Homo sapiens* IGHG4\*01 G4v97 S10 (C10>S (126) (113-210) -IGHG1\*01 charnière 1-5 (211-215)) (113-215)] -5-mer (tétraglycyl-séryl) linker (216-220) -chaîne lourde H-gamma1 humanisée, anti-CD3/TNFRSF9 (221-676) [VH (*Homo sapiens* IGHV3-72\*01 (78.6%) -(IGHD) -IGHJ6\*01 (86.7%), CDR-IMGT [8.10.19] (246-253.271-280.319-337)) (221-348) -*Homo sapiens* IGHG1\*01 G1m17,1 CH1 K120, CH3 D12, L14, G1v57 CH1 E26, E119, G1v94 CH1 C94, G1v14 CH2 A1.3, A1.2, G1v29 CH2 A84.4, G1v74 CH3 C10, G1v32 CH3 W22 (knob), G1v78 CH3 L107, A114, G1v89 CH3 R118, E120 (CH1 K26>E (378), S94>C (422), K119>E (444), K120 (445) (349-446), charnière 1-15 (447-461), CH2 L1.3>A (465), L1.2>A (466), N84.4>A (528) (462-571), CH3 S10>C (585), D12 (587), L14 (589), T22>W (597), M107>L (659), N114>A (665), Q118>R (669), S120>E (671) (572-676)) (349-676)]]; (215-226')-disulfure avec la chaîne légère VH-C-kappa anti-DLL3 humanisée (1'-226') [VH (*Homo sapiens* IGHV4-61\*02 (72.0%) -IGHD -IGHJ4\*01 (86.7%), CDR-IMGT [9.8.11] (26'-34'.52'-59'.98'-108')) (1'-119') -*Homo sapiens* IGKC\*01 (99.1%) Km3 A45.1, V101, KCv96 A1.4, S1.3 (C-KAPPA R1.4>A (120'), T1.3>S (121'), A45.1 (165'), V101 (203')) (120'-226')]; (451-219")-disulfure avec la chaîne légère commune L-kappa humanisée, anti-CD3/TNFRSF9 (1"-219") [V-KAPPA (*Homo sapiens* IGKV2-30\*02 (80.0%) -IGKJ2\*01 (100%), CDR-IMGT [11.3.9] (27"-37".55"-57".94"-102")) (1"-112") -*Homo sapiens* IGKC\*01 (98.1%) Km3 A45.1, V101, KCv57 R12, K13 (C-KAPPA E12>R (128"), Q13>K (129"), A45.1 (158"), V101 (196")) (113"-219")]; chaîne lourde H-gamma1 anti-CD3/TNFRSF9 humanisée (1"-456") [VH (*Homo sapiens* IGHV3-72\*01 (78.6%) -(IGHD) -IGHJ6\*01 (86.7%), CDR-IMGT [8.10.19] (26"-33".51"-60".99"-117")) (1"-128") -*Homo sapiens* IGHG1\*01 G1m17,1 CH1 K120, CH3 D12, L14, G1v57 CH1 E26, E119, G1v94 CH1 C94, G1v14 CH2 A1.3, A1.2, G1v29 CH2 A84.4, G1v75 CH3 C5, G1v33 CH3 S22, A24, V86 (hole), G1v78 CH3 L107, A114G1v89 R118, E120 (CH1 K26>E (158"), S94>C (202"), K119>E (224"), K120 (225") (129"-226"), charnière 1-15 (227"-241"), CH2 L1.3>A (245"), L1.2>A (246"), N84.4>A (308") (242"-351"), CH3 Y5>C (360"), D12 (367"), L14 (369"), T22>S (377"), L24>A (379"), Y86>V (418"), M107>L (439"), N114>A (445"), Q118>R (449"), S120>E (451") (352"-456") (129"-456")], (231"-219")-disulfure avec la chaîne légère commune L-kappa humanisée, anti-CD3/TNFRSF9 (1""-219""") [V-KAPPA (*Homo sapiens* IGKV2-30\*02 (80.0%) -IGKJ2\*01 (100%), CDR-IMGT [11.3.9] (27""-37"".55""-57"".94""-102"")) (1""-112""") -*Homo sapiens* IGKC\*01 (98.1%) Km3 A45.1, V101, KCv57 R12, K13 (C-KAPPA E12>R (128"""), Q13>K (129"""), Km3 A45.1 (158"""), V101 (196""")) (113""-219""")]; heterodimère (422-202":457-237":460-240":585-360")-tetrakisdisulfure, produit dans des cellules ovariennes de hamster chinois (CHO), lignée cellulaire CHO-DXB11, non-glycosylé antinéoplasique

clesitimig

inmunoglobulina [(V-kappa-G4CH1-G1h-H-gamma1\_L-kappa)\_L-kappa](H-gamma1\_L-kappa), anti-[*Homo sapiens* DLL3 (delta-like ligando 3, delta like canonical Notch ligando 3)], anti-[*Homo sapiens* CD3/TNFRSF9 (miembro 9 de la superfamilia de los receptores del TNF, 4-1BB, antígeno ILA de las células T, CD137) doble no simultánea], anticuerpo monoclonal humanizado, triespecífico, trivalente; cadena pesada fusionada V-kappa-G4CH1-G1h anti-DLL3-H-gamma1 anti-CD3/TNFRSF9 (1-676) [V-kappa-G4CH1-G1h anti-DLL3 humanizada (1-215) [V-KAPPA (*Homo sapiens* IGKV1-33\*01 (76.3%) -IGKJ4\*01 (100%), CDR-IMGT [8.3.10] (27-34.52-54.91-100) (1-110) -dímero diseril (111-112) -*Homo sapiens* IGHG4\*01 G4v97 S10 (C10>S (126) (113-210) -IGHG1\*01 bisagra 1-5 (211-215)) (113-215)] -5-mer (tetraglicil-seril) linker (216-220) –cadena pesada H-gamma1 humanizada, anti-CD3/TNFRSF9 (221-676) [VH (*Homo sapiens* IGHV3-72\*01 (78.6%) -(IGHD) -IGHJ6\*01 (86.7%), CDR-IMGT [8.10.19] (246-253.271-280.319-337)) (221-348) -*Homo sapiens* IGHG1\*01 G1m17,1 CH1 K120, CH3 D12, L14, G1v57 CH1 E26, E119, G1v94 CH1 C94, G1v14 CH2 A1.3, A1.2, G1v29 CH2 A84.4, G1v74 CH3 C10, G1v32 CH3 W22 (knob), G1v78 CH3 L107, A114, G1v89 CH3 R118, E120 (CH1 K26>E (378), S94>C (422), K119>E (444), K120 (445) (349-446), bisagra 1-15 (447-461), CH2 L1.3>A (465), L1.2>A (466), N84.4>A (528) (462-571), CH3 S10>C (585), D12 (587), L14 (589), T22>W (597), M107>L (659), N114>A (665), Q118>R (669), S120>E (671) (572-676)) (349-676))]; (215-226')-disulfuro com la cadena ligera VH-C-kappa anti-DLL3 humanizada (1'-226') [VH (*Homo sapiens* IGHV4-61\*02 (72.0%) -IGHD -IGHJ4\*01 (86.7%), CDR-IMGT [9.8.11] (26'-34'.52'-59'.98'-108')) (1'-119') -*Homo sapiens* IGKC\*01 (99.1%) Km3 A45.1, V101, KCv96 A1.4, S1.3 (C-KAPPA R1.4>A (120'), T1.3>S (121'), A45.1 (165'), V101 (203')) (120'-226')]; (451-219'')-disulfuro con la cadena ligera común L-kappa humanizada, anti-CD3/TNFRSF9 (1''-219'') [V-KAPPA (*Homo sapiens* IGKV2-30\*02 (80.0%) -IGKJ2\*01 (100%), CDR-IMGT [11.3.9] (27''.37''.55''.57''.94''.-102'')) (1''-112'') -*Homo sapiens* IGKC\*01 (98.1%) Km3 A45.1, V101, KCv57 R12, K13 (C-KAPPA E12>R (128''), Q13>K (129''), A45.1 (158''), V101 (196'')) (113''-219'')]; cadena pesada H-gamma1 anti-CD3/TNFRSF9 humanizada (1''-456'') [VH (*Homo sapiens* IGHV3-72\*01 (78.6%) -(IGHD) -IGHJ6\*01 (86.7%), CDR-IMGT [8.10.19] (26''-33''.51''-60''.99''-117'')) (1''-128'') -*Homo sapiens* IGHG1\*01 G1m17,1 CH1 K120, CH3 D12, L14, G1v57 CH1 E26, E119, G1v94 CH1 C94, G1v14 CH2 A1.3, A1.2, G1v29 CH2 A84.4, G1v75 CH3 C5, G1v33 CH3 S22, A24, V86 (hole), G1v78 CH3 L107, A114G1v89 R118, E120(CH1 K26>E (158''), S94>C (202''), K119>E (224''), K120 (225'') (129''-226''), bisagra 1-15 (227''-241''), CH2 L1.3>A (245''), L1.2>A (246''), N84.4>A (308'') (242''-351''), CH3 Y5>C (360''), D12 (367''), L14 (369''), T22>S (377''), L24>A (379''), Y86>V (418''), M107>L (439''), N114>A (445''), Q118>R (449''), S120>E (451'') (352''-456'')) (129''-456'')], (231''-219'')- disulfuro com la cadena ligera común L-kappa humanizada, anti-CD3/TNFRSF9 (1'''-219'') [V-KAPPA (*Homo sapiens* IGKV2-30\*02 (80.0%) -IGKJ2\*01 (100%), CDR-IMGT [11.3.9] (27'''-37'''-55'''-57'''-94'''-102'''')) (1'''-112'''') -*Homo sapiens* IGKC\*01 (98.1%) Km3 A45.1, V101, KCv57 R12, K13 (C-KAPPA E12>R (128''''), Q13>K (129'''), Km3 A45.1 (158'''), V101 (196''')) (113'''-219'''')]; heterodímero (422-202':457-237':460-240':585-360')-tetrakisdisulfuro, producido en las células ováricas de hámster chino (CHO), línea celular CHO-DXB11, no glicosilado *antineoplásico*

2930861-48-4

**Heavy chain / Chaîne lourde / Cadena pesada: fused V-kappa-G4CH1-G1h anti-DLL3-H-gamma1 anti-CD3/TNFRSF9 (H)**

DIQLTQSPSF LSASVGDRTV ITCQSTESVY GSDWLSWYQQ KPGQPPKLI 50  
 YQASNLIEGV PGRFSGSGC TDFDTLINSL EAEDATYYC QGYYSSGYIYA 100  
 FGGGTKEIK SSASTKGPSV FPLAPPSRST SESTAALGCL VKDYFPEPVT 150  
 VSWNSGALT S VGHFTPAVILQ SSGLYSLSS VTVPSSLGT KTYTCNVDHK 200  
 PSNTKVDKRV EPKSCGGGGS QVQLVESGGG LVQPGRSRLR SCASGFKFS 250  
 NVWFHWVRQA PGKGLEWVAQ IKDYYNAYAA YYAPSVKGRF TISRDTSKNS 300  
 IYLQMNSLKT EDTAVYYCHY VHYSASASTLL PAEGVDAWGQ GTTPTVSSA 350  
 TKGPSVFLA PSSKSTSGGT AALGCLVEDY FPEPVTSWN SGALTSGVHT 400  
 FPAVLQSSGL YSLSSVVTB SCSLGQTYY CNVNHKPSNT KVDEKVEPKS 450  
 CDKTHTCPPC PAPEAAGGPS VFLLFPKPKD TLMISRTEPV TCVVVDVSHE 500  
 DPEVKFNWYV DGVEVHNNAKT KPREEQYAST YRVVSVLTBL HQDWLNGKEY 550  
 KCKVSNKALP APIEKTISKA KGQPREPVY TLPPCRDELT KNQVSLWCLV 600  
 KGFPYPSDIAV EWESNGOPEN NYKTPPPVLD SDGSFLFLYSK LTVDKSRWQQ 650  
 GNVFSCSVLH EALHAYHTRK ELSLSP 676

**Light chain / Chaîne légère / Cadena ligera: VH-C-kappa anti-DLL3 (L)**

QVTLRESGPA LVKPTQTLTLC TCTFSGFSLS SSYDMGWVRQ APGQGLEWMG 50  
 TIYTGDYSTD YASWAKGRVT ISVDRSKNQF SLKLSSVTAIA DTAVYYCARH 100  
 TGYGYFGLWG QGTLVTVSSA SVAAPSVFIF PPSDEQLKSG TASVVCLLNN 150  
 FYPREAKVQW KVDNALQSGN SQESVTEQDS KDSTYSLSST LTLSKADYEK 200  
 HKVYACEVTH QQLSSPVTKS FNRGEC 226

**Light chain / Chaîne légère / Cadena ligera: anti-CD3/TNFRSF9 common (L"')**

DIVMTQSPLS LPVTPGEPEAS ISCQPSQEVEV HMMRNRTYLHW YQQKPGQAPR 50  
 LLIYKVSNRF PGVPDRFGS GSCTDFTLKI SRVEAEDVGV YYCAQGTSHP 100  
 FTFGQGTKLE IKRTVAAPSV FIFPPSDRKL KSGTAGSVCL LNNFYPREAK 150  
 VQWKVDNALQ SGNSQESVTE QDSKDSTYSL SSTTLTSKAD YEKHKVYACE 200  
 VTHQGLSSPV TKSFNRGEC 219

**Heavy chain / Chaîne lourde / Cadena pesada: H-gamma1 anti-CD3/TNFRSF9 (H")**

QVQLVESGGG LVQPGRSRLR SCASGFKFS NVWFHWVRQA PGKGLEWVAQ 50  
 IKDYYNAYAA YYAPSVKGRF TISRDTSKNS IYLQMNSLKT EDTAVYYCHY 100  
 VHYSASASTLL PAEGVDAWGQ GTTPTVSSA TKGPSVFLA PSSKSTSGGT 150  
 AALGCLVEDY FPEPVTSWN SGALTSGVHT FPAVLQSSGL YSLSSVVTB 200  
 SCSLGTQTYI CNVNHKPSNT KVDEKVEPKS CDKTHTCPPC PAPEAAGGPS 250  
 VFLLFPKPKD TLMISRTEPV TCVVVDVSHE DPEVKFNWYV DGVEVHNNAKT 300  
 KPREEQYAST YRVVSVLTBL HQDWLNGKEY KCKVSNKALP APIEKTISKA 350  
 KGQPREPVY TLPPCRDELT KNQVSLCAV KGFPYPSDIAV EWESNGOPEN 400  
 NYKTPPPVLD SDGSFLFLYSK LTVDKSRWQQ GNVFSCSVLH EALHAYHTRK 450  
 ELSLSP 456

#### Post-translational modifications

Disulfide bridges location / Position des ponts disulfure / Posiciones de los puentes disulfuro  
 Intra-H (C23-C104) 23-90 139-195 242-318 375-431 492-552 598-656  
 22"-98" 155"-211" 272"-332" 378"-436"

Intra-L (C23-C104) 22"-97" 146"-206"  
 23""-93"" 139""-199""  
 23""-93"" 139""-199""

Inter-H-L (h 5-CL 126) 215-226" 451-219" 231"-219"

Inter-H-H (h 11, h 14) 457-237" 460-240"

Inter-H-H CH1 (C94-C94)\* 422-202"

Inter-H-H CH3 (C10-C5)\* 585-360"

\*variant G1v94 (CH1 C94) of H and H" creating an additional inter-H-H disulfide bond

\*\*variants G1v74 (CH3 C10) and G1v75 (CH3 C5) creating an additional inter-H-H disulfide bond

N-terminal glutaminyl cyclization / Cyclisation du glutaminyle N-terminal / Ciclación del glutamínico N-terminal

Q> pyroglutamyl (pE, 5-oxoprolyl) / pyroglutamyle (pE, 5-oxoprolyle) / piroglutamilo (pE, 5-oxoprolilo)

H VH Q1: 1"

L VH V-KAPPA Q1: 1'

No N-glycosylation sites / pas de sites de N-glycosylation / ningùm posición de N-glicosilación  
 H CH2 N84.4->A (G1v29): 528, 308"

**comsaleucelum**

comsaleucel

human culture expanded activated autologous tumour-infiltrating lymphocytes (TIL) isolated from cervical cancer tissue. The cells are mechanically and enzymatically isolated from resected tumour biopsy of patients and cultured in serum-free media containing recombinant interleukin 2 (IL-2). The cells are activated in serum-free media using anti-CD3 antibody, IL-2 and then further expanded in the presence of irradiated allogeneic peripheral-blood mononuclear cells (PBMCs) derived from healthy donors. The T lymphocytes (>90% CD45+CD3+) are a heterogeneous mixture of CD4+ and CD8+ TILs predominantly with effector memory, central memory and effector cell subsets, and a low level of CD45+CD3-CD56+ natural killer (NK) cells (0-10%). The T-lymphocytes demonstrate cytolytic activity and secrete cytokines in a co-culture-based assay  
*cell therapy (antineoplastic)*

comsaleucel

lymphocytes humains autologues infiltrant les tumeurs (TIL), isolés de tissus d'un cancer du col de l'utérus. Les cellules ont été mises en expansion et activées. Les cellules sont isolées mécaniquement et enzymatiquement à partir d'une biopsie tumorale de patientes et cultivées dans un milieu sans sérum, contenant de l'interleukine-2 (IL-2) recombinante. Les cellules sont activées dans un milieu exempt de sérum à l'aide d'un anticorps anti-CD3 et d'IL-2, puis mises en expansion en présence de cellules mononucléées allogéniques du sang périphérique (CMSP) irradiées, provenant de donneurs sains. Les lymphocytes T (>90% de CD45+CD3+) sont un mélange hétérogène de TIL CD4+ et CD8+ avec, principalement, des sous-ensembles des cellules avec effecteurs à mémoire, à mémoire centrale, et effectrices, et un faible taux de cellules tueuses naturelles (NK) CD45+CD3-CD56+ (0-10%). Les lymphocytes T démontrent une activité cytolytique et sécrètent des cytokines, dans un essai basé sur une co-culture  
*thérapie cellulaire (antinéoplasique)*

comsaleucel

linfocitos T infiltrantes de tumor (TIL) humanos autólogos, activados, expandidos en cultivo, aislados de tejido de cáncer cervical. Las células se aíslan mecánica y enzimáticamente a partir de biopsia de tumor reseccionado de pacientes y cultivados en medio sin suero que contiene interleuquina 2 (IL-2) recombinante. Las células se activan en medio sin suero usando anticuerpo anti-CD3, IL-2 y después se expanden en presencia de células mononucleares de sangre periférica (PBMCs) alógicas irradiadas derivadas de donantes sanos. Los linfocitos T (>90% CD45+CD3+) son una mezcla heterogénea de TILs CD4+ y CD8+ predominantemente con subtipos de memoria efectora, memoria central y células efectoras y un nivel bajo (0-10%) de células natural killer (NK) CD45+CD3-CD56+. Los linfocitos T demuestran actividad citolítica y secretan citoquinas en un ensayo basado en co-cultivo  
*terapia celular (antineoplásico)*

**dalnacogenum ponparvovec #**  
dalnacogene ponparvovec

recombinant, self-complementary, non-replicating adeno-associated virus, synthetic liver-tropic serotype 843 (rAAV843) vector, encoding a codon-optimised (CpG reduced) gain of function variant (Padua variant; R338L) of human coagulation factor IX (FIX), under control of a synthetic liver-specific Lxp2.1 promoter and a synthetic polyadenylation (polyA) sequence derived from the rabbit beta-globin gene polyA signal. The expression cassette also contains a human DNA-dependent RNA polymerase II gene intron, a Kozak sequence, a human immunoglobulin heavy chain variable region gene intron inserted into the middle of the FIX coding region, and an enhancer derived from the promoter region of human alpha-1-antitrypsin. The transgene is flanked by adeno-associated virus 2 (AAV2) inverted terminal repeats (ITRs)  
*gene therapy (hemophilia B)*

## dalnacogene ponparvovec

vecteur recombinant, auto-complémentaire, non réplicatif, du virus adéno-associé de sérotype hépatotropique synthétique 843 (rAAV843) codant pour un variant du facteur IX (FIX) de coagulation humain avec gain de fonction (variant de Padoue; R338L), optimisé par codon (CpG réduit), sous contrôle d'un promoteur synthétique hépatosépécifique Lxp2.1 et d'une séquence de polyadénylation (polyA) dérivée du signal polyA du gène de la bêta-globine de lapin. La cassette d'expression comprend également un intron du gène de l'ARN polymérase II dépendant de l'ADN humain, une séquence de Kozak, un intron du gène de la région variable de la chaîne lourde de l'immunoglobuline humaine qui est inséré au milieu de la région codante de FIX, et un activateur dérivé de la région promotrice de l'alpha-1-antitrypsine humaine. Le transgène est flanqué de répétitions terminales inversées (ITR) du virus adéno-associé de sérotype 2 (AAV2)  
*thérapie génique (hémophilie B)*

## dalnacogén ponparvovec

vector de virus adenoasociado del serotipo sintético 843, recombinante (rAAV843), con tropismo hepático, no replicativo, auto complementario que codifica para una variante con ganancia de función (variante Padua; R338L) con codones optimizados (CpG reducidos) del factor de coagulación IX (FIX) humano, bajo el control de un promotor sintético Lxp2.1 específico de hígado y una secuencia de poliadenilación (poliA) sintética derivada de la señal poliA del gen de la beta-globina de conejo. El casete de expresión también contiene un intrón del gen de la ARN polimerasa II dependiente de ADN humana, una secuencia Kozak, un intrón del gen de la región variable de la cadena pesada de inmunoglobulina humana insertado en el medio de la región codificadora de FIX, y un potenciador derivado de la región promotora de la alfa-1-antitripsina humana. El transgén está flanqueado por las repeticiones terminales invertidas (ITRs) del virus adenoasociado 2 (AAV2)  
*terapia génica (hemofilia B)*

2770683-67-3

**delpacibartum braxlosiranum #**

delpacibart braxlosiran

immunoglobulin G1-kappa, anti-[*Homo sapiens* TFRC (transferrin receptor, TfR1, TFR1, CD71)], humanized monoclonal antibody, conjugated on an average of one cysteinyl residue via a 4-(maleimidomethyl)cyclohexanecarboxamide linker with a double-stranded small interfering RNA (siRNA) (*braxlosiran*); H-gamma1 heavy chain humanized (1-445) [VH (*Homo sapiens* IGHV1-2\*06 (87.8%) -(IGHD)-IGHJ4\*01 (100%), CDR-IMGT [8.8.9] (26-33.51-58.97-105)) (1-116) -*Homo sapiens* IGHG1\*03, G1m3, nG1m1 CH1 R120, CH3 E12, M14, G1v14 CH2 A1.3, A1.2, G1v48 CH2 R113 (CH1 R120 (213) (117-214), hinge 1-15 (215-229), CH2 L1.3>A (233), L1.2>A (234), L113>R (327) (230-339), CH3 E12 (355), M14 (357) (340-444), CHS K2>del (445)) (117-445)], (219-214)-disulfide with L-kappa light chain humanized (1'-214') [-KAPPA (*Homo sapiens* IGKV1-NL1\*01 (84.2%) -IGKJ4\*01 (100%), CDR-IMGT [6.3.9] (27'-32'.50'-52'.89'-97')) (1'-107') -*Homo sapiens* IGKC\*01 (100%) Km3 A45.1, V101 (C-KAPPA A45.1 (153'), V101 (191')) (108-214')]; dimer (225-225': 228-228'') bisdisulfide, produced in Chinese hamster ovary (CHO) cells, glycoform alfa; substituted on average at one sulfur atom of cysteine residue 219, 214', 219'' or 214''' with a group consisting of *all-P-ambo*-2'-O-methyl-P-thiouridyl-(3'→5')-2'-deoxy-2'-fluoro-P-thiocytidyl-(3'→5')-2'-O-methylcytidyl-(3'→5')-2'-O-methylationdenyl-(3'→5')-2'-O-methylationdenyl-(3'→5')-2'-deoxy-2'-fluoroadenyl-(3'→5')-2'-O-methylcytidyl-(3'→5')-2'-O-methylguanylyl-(3'→5')-2'-O-methylationdenyl-(3'→5')-2'-O-methylguanylyl-(3'→5')-2'-O-methyluridyl-(3'→5')-2'-O-methylcytidyl-(3'→5')-2'-O-methyluridyl-(3'→5')-2'-deoxy-2'-fluorocytidyl-(3'→5')-2'-O-methylcytidyl-(3'→5')-2'-deoxy-2'-fluoroguanylyl-(3'→5')-2'-O-methyluridyl-(3'→5')-2'-O-methylcytidyl-(3'→5')-2'-O-methyluridyl-(3'→5')-2'-O-methylguanylyl-(3'→5')-2'-O-methyluridyl-(3'→5')-2'-O-methylcytidyl-(3'→5')-2'-O-methyluridyl-(3'→5')-2'-O-methylguanylyl-(3'→5')-2'-O-methyluridyl-(3'→5')-2'-O-methylcytidyl-(3'→5')-2'-O-methyluridyl-(3'→5')-2'-O-deoxy-2'-fluoroadenyl-(5'→3')-2'-deoxy-2'-fluoroguanylyl-(5'→3')-2'-deoxy-2'-fluoroadenyl-(5'→3')-2'-O-methylguanylyl-(5'→3')-2'-O-methylguanylyl-(5'→3')-2'-O-methylcytidyl-(5'→3')-2'-O-methyl-P-thioguananyl-(5'→3')-2'-O-methylcytidyl-(5'→3')-2'-O-cytidylyloxyhexyl carbamoylcyclohexylmethyl-2,5-dioxopyrrolidin-3-yl (*braxlosiran*) *double homeobox protein 4 (DUX4) protein expression inhibitor*

delpacibart braxlosiran

immunoglobuline G1-kappa, anti-[*Homo sapiens* TFRC (récepteur de la transferrine, TfR1, TFR1, CD71)], anticorps monoclonal humanisé, conjugué par un résidu cystéinylique en moyenne via un linker 4-(maléimidométhyl)cyclohexanecarboxamide avec un petit ARN interférent (siARN) double brin (*braxlosiran*);

immunoglobuline G1-kappa, anti-[*Homo sapiens* TFRC (récepteur de la transferrine, Tfr1, TFR1, CD71)], anticorps monoclonal humanisé, conjugué par un résidu cystéinylique en moyenne via un linker 4-(maléimidométhyl)cyclohexanecarboxamide avec un petit ARN interférent (siARN) double brin (*braxlosiran*); chaîne lourde H-gamma1 humanisée (1-445 [VH (*Homo sapiens*IGHV1-2\*06 (87.8%) -IGHD) -IGHJ4\*01 (100%), CDR-IMGT [8.8.9] (26-33.51-58.97-105)] (1-116) -*Homo sapiens*IGHG1\*03, G1m3, nG1m1 CH1 R120, CH3 E12, M14, G1v14 CH2 A1.3, A1.2, G1v48 CH2R113 (CH1 R120 (213) (117-214), charnière 1-15 (215-229), CH2 L1.3>A (233), L1.2>A (234), L113>R (230-339), CH3 E12 (355), M14 (357) (340-444), CHS K2>del (445)) (117-445)], (219-214')-disulfure avec la chaîne légère L-kappa humanisée (1'-214') [V-KAPPA (*Homo sapiens*IGKV1-NL1\*01 (84.2%) -IGKJ4\*01 (100%), CDR-IMGT [6.3.9] (27'-32'.50'-52'.89'-97')) (1'-107') -*Homo sapiens*IGKC\*01 (100%) Km3 A45.1, V101 (C-KAPPA A45.1 (153'), V101 (191')) (108'-214')]; dimère (225-225": 228-228")-bisdisulfure, produit dans des cellules ovariennes de hamster chinois (CHO), glycoforme alfa; substitué en moyenne sur un atome de soufre d'un résidu de cystéine 219, 214', 219" ou 214" par un groupe *tout-P-ambo*-2'-O-méthyl-P-thiouridylyl-(3'→5')-2'-désoxy-2'-fluoro-P-thiocytidylyl-(3'→5')-2'-O-méthylcytidylyl-(3'→5')-2'-O-méthyladénylyl-(3'→5')-2'-O-méthyladénlyl-(3'→5')-2'-désoxy-2'-fluoroadénlyl-(3'→5')-2'-O-méthylcytidylyl-(3'→5')-2'-O-méthylguanylyl-(3'→5')-2'-O-méthyladénlyl-(3'→5')-2'-O-méthylguanylyl-(3'→5')-2'-O-méthyluridylyl-(3'→5')-2'-O-méthylcytidylyl-(3'→5')-2'-O-désoxy-2'-fluorocytidylyl-(3'→5')-2'-O-méthylcytidylyl-(3'→5')-2'-désoxy-2'-fluoroguananyl-(3'→5')-2'-O-méthyluridylyl-(3'→5')-2'-O-méthylcytidylyl-(3'→5')-2'-O-méthyl-P-thioguananyl-(3'→5')-2'-O-méthyl-P-thiouridylyl-(3'→5')-2'-O-méthyluridine duplex avec *tout-P-ambo*-(3RS)-1-({*cis*- et/ou *trans*-4-[(6-([2'-O-méthyl-P-thioadénlyl-(5'→3')-2'-O-méthyl-P-thioguananyl-(5'→3')-2'-O-méthyluridylyl-(5'→3')-2'-O-méthylcytidylyl-(5'→3')-2'-O-méthylguanylyl-(5'→3')-2'-O-méthyluridylyl-(5'→3')-2'-O-méthylcytidylyl-(5'→3')-2'-O-méthyluridylyl-(5'→3')-2'-O-méthylguanylyl-(5'→3')-2'-O-méthylcytidylyl-(5'→3')-2'-désoxy-2'-fluoroadénlyl-(5'→3')-2'-désoxy-2'-fluoroguananyl-(5'→3')-2'-désoxy-2'-fluoroadénlyl-(5'→3')-2'-O-méthylguanylyl-(5'→3')-2'-O-méthylcytidylyl-(5'→3')-2'-O-méthylguanylyl-(5'→3')-2'-O-méthyluridylyl-(5'→3')-2'-O-méthylcytidylyl-(5'→3')-2'-désoxy-2'-fluoroguananyl-(5'→3')-2'-désoxy-2'-fluoroadénlyl-(5'→3')-2'-O-méthylguanylyl-(5'→3')-2'-O-méthylcytidylyl-(5'→3')-2'-O-méthyl-P-thioadénlyl-(5'→3')-2'-O-méthyl-P-thioguananyl-(5'→3')-2'-O-méthyluridylyl-(5'→3')-2'-O-méthylcytidylyl-(5'→3')-2'-O-méthyl-P-thiouridylyl-(5'→3')-2'-O-méthyluridine} méthyl-cytidylyl]oxy]hexyl)carbamoyl]cyclohexyl)méthyl)-2,5-dioxopyrrolidin-3-yile (*braxlosiran*) inhibiteur de l'expression de la protéine double homéobox protéine 4 (*DUX4*)

## delpacibart braxlosirán

2929261-85-6

## Heavy chain / Chaîne lourde / Cadena pesada

QVQLVQSGAE VKKPGASVKV SCKASGYTFT NYWMHWVRQA PGQGLEWIGE 50  
 INPINGRSNY AEKFQGRVTL TVDTSSSTAY MELSRLRSDD TAVYYCARGT 100  
 RAMHYWGQGT LVTIVSSASTK GPSVFLPLAPS SKSTSGGTAA LGCLVKDYFP 150  
 EPFTVWSNSG ALTSGVHTPP AVLQSSGLYS LSSVUTVPSS SLGTQTYICN 200  
 VNHKPSNTKV DKRVEPKSCD KTHTCPPCPA PEAAGGPSVF LFPPKPKDTL 250  
 MISRTPEVTC VVVDVSHEDP EVKPNWYVVDG VEVHNNAKTKP REEQYNSTYR 300  
 VVSVLTVLHQ DWLNKEYKC KVSNKARPAP IEKTISAKAG QPREPQVYT 350  
 PPSREEMTKN QVSLTCLVKG FYPSPDIAEW ESGNQPENNY KTPPPVLDSD 400  
 GSFFLYSKLT VDKSRWQQGN VFSCSVMHEA LHNHYTQKSL SLSPG 445

## Light chain / Chaîne légère / Cadena ligera

DIQMTQSPSS LSASVGDRVT ITCRTSENIY NNLAWYQQKP GKSPKLLIYA 50  
 ATNLADGVPS RFSGSGSGTD YTLTISSLQP EDFATYYCQH FWGTPLTFGG 100  
 GTKVEIKRTV AAPSVFIFPP SDEQLKSGTA SVVCLNNFY PREAKVQWKV 150  
 DNALQSGNSQ ESVTEQDSKD STYSLSSLT LSKADYEKKH VYACEVTHHQ 200  
 LSSPVTKSFN RGEC 214

## Post-translation modifications

Disulfide bridges location / Position des ponts disulfure / Posiciones de los puentes disulfuro  
 Intra-H (C23-C104) 22-96 143-199 260-320 366-424

22"-96" 143"-199" 260"-320" 366"-424"  
 Intra-L (C23-C104) 23"-88" 134"-194"  
 23"-88" 134"-194"

Inter-H-L (h 5-CL 126)\* 219-214" 219"-214"

Inter-H-H (h 11, h 14)\* 225-225" 228-228"

\*One of the three more accessible inter-chain disulfide bridges (2 H-L, h11) is not present, an average of one cysteinyl being conjugated via a thioether bond to a linker-oligonucleotide.

\*Un des trois ponts disulfure inter-chains les plus accessibles (2 H-L, h11) n'est pas présent, un cystéinyl en moyenne étant conjugué via une liaison thioéther à un linker-oligonucléotide.

\*Uno de los tres puentes disulfuro entre cadenas más accesible (2 H-L, h11) no está presente, uno cisteinilo en promedio se conjuga a través de un enlace tiófeto a un linker-oligonucléotido.

N-terminal glutaminyl cyclization / Cyclisation du glutaminyle N-terminal / Ciclación del glutaminilo N-terminal

Q > pyroglutamyl (pE, 5-oxoprolyl) / pyroglutamyl (pE, 5-oxopropyl) / piroglutamilo (pE, 5-oxoprolilo)  
 H VH Q1: 1, 1"

N-glycosylation sites / Sites de N-glycosylation / Posiciones de N-glicosilación

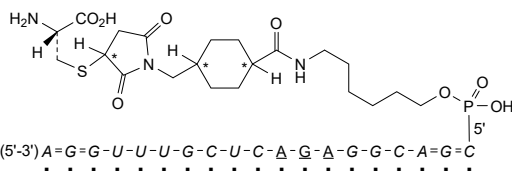
H CH2 N84.4: 296, 296"

Fucosylated complex bi-antennary CHO-type glycans / glycanes de type CHO bi-antennaires complexes fucosylés / glicanos de tipo CHO biantenarios complejos fucosilados.

Potential modified residues / résidus modifiés potentiels / restos modificados potenciales\*

C (219, 214", 219", 214")

\*(braxolosiran:mAb ~ 1:1)



N : A,C,G,U

N : 2'-O-methyl-N / 2'-O-méthyl-N / 2'-O-metil-N

N : 2'-deoxy-2'-fluoro-N / 2'-désoxy-2'-fluoro-N / 2'-desoxi-2'-fluoro-N

- : -PO(OH)- = : -PO(SH)-

## delpacibartum zotadirsenum #

delpacibart zotadirsen

immunoglobulin G1-kappa, anti-[*Homo sapiens* TFRC (transferrin receptor, TfR1, TFR1, CD71)], humanized monoclonal antibody, conjugated on an average of four cysteinyl residues via a 4-(maleimidomethyl)cyclohexanecarboxamide linker to a single-stranded oligonucleotide (**zotadirsen**);

H-gamma1 heavy chain humanized (1-445) [VH (*Homo sapiens* IGHV1-2\*06 (87.8%) -(IGHD) - IGHJ4\*01 (100%), CDR-IMGT [8.8.9] (26-33.51-58.97-105)) (1-116) -*Homo sapiens* IGHG1\*03, G1m3, nG1m1 CH1 R120, CH3 E12, M14, G1v14 CH2 A1.3, A1.2, G1v48 CH2R113 (CH1 R120 (213) (117-214), hinge 1-15 (215-229), CH2 L1.3>A (233), L1.2>A (234), L113>R (327) (230-339), CH3 E12 (355), M14 (357) (340-444), CHS K2>del (445)) (117-445)], (219-214)-disulfide with L-kappa light chain humanized (1'-214') [V-KAPPA (*Homo sapiens* IGKV1-NL1\*01 (84.2%) -IGKJ4\*01 (100%), CDR-IMGT [6.3.9] (27'-32'.50'-52'.89'-97')) (1'-107') -*Homo sapiens* IGKC\*01 (100%) Km3 A45.1, V101 (C-KAPPA A45.1 (153'), V101 (191')) (108'-214')]; dimer (225-225": 228-228")-bisdisulfide, produced in Chinese hamster ovary (CHO) cells, glycoform alfa; substituted at the sulfur atom of an average of four cysteine residues among 219, 225, 288, 214', 219", 225", 228" and 214"" with a group consisting of *all-P-ambo*-(3RS)-1-{(*cis*- and/or *trans*-4-[(3-[{2',3'-azanediyl-P,2',3'-trideoxy-P-(dimethylamino)-2',3'-seco](2'-N→5')(C-G-C-C-G-C-C-A-m<sup>5</sup>U-m<sup>5</sup>U-m<sup>5</sup>U-C-m<sup>5</sup>U-C-A-A-C-A-G-A-m<sup>5</sup>U-C-m<sup>5</sup>U-G-m<sup>5</sup>U-C)-N<sup>2',26</sup>-yl]-3-oxopropyl)carbamoyl]cyclohexyl)methyl}-2,5-dioxopyrrolidin-3-yl (*zotadirsen*)  
*promotion of functional dystrophin synthesis*

delpacibart zotadirsen

immunoglobuline G1-kappa, anti-[*Homo sapiens* TFRC (récepteur de la transferrine, TfR1, TFR1, CD71)], anticorps monoclonal humanisé, conjugué par quatre résidus cystéinylique en moyenne via un linker 4-(maléimidométhyl)cyclohexanecarboxamide avec un oligonucléotide simple brin (*zotadirsen*); chaîne lourde H-gamma1 humanisée (1-445 [VH (*Homo sapiens* IGHV1-2\*06 (87.8%) -(IGHD) - IGHJ4\*01 (100%), CDR-IMGT [8.8.9] (26-33.51-58.97-105)) (1-116) -*Homo sapiens* IGHG1\*03, G1m3, nG1m1 CH1 R120, CH3 E12, M14, G1v14 CH2 A1.3, A1.2, G1v48 CH2R113 (CH1 R120 (213) (117-214), charnière 1-15 (215-229), CH2 L1.3>A (233), L1.2>A (234), L113>R (230-339), CH3 E12 (355), M14 (357) (340-444), CHS K2>del (445)) (117-445)], (219-214')-disulfure avec la chaîne légère L-kappa humanisée (1'-214') [V-KAPPA (*Homo sapiens* IGKV1-NL1\*01 (84.2%) -IGKJ4\*01 (100%), CDR-IMGT[6.3.9] (27'-32'.50'-52'.89'-97')) (1'-107') -*Homo sapiens* IGKC\*01 (100%) Km3 A45.1, V101 (C-KAPPA A45.1 (153'), V101 (191')) (108'-214')]; dimère (225-225": 228-228")-bisdisulfure, produit dans des cellules ovariennes de hamster chinois (CHO),

glycoforme alfa; substitué sur l'atome de soufre de quatre résidus de cystéine en moyenne parmi 219, 225, 228, 214', 219'', 225', 228'' et 214''' avec un groupe *tout-P-ambo-(3RS)-1-({cis- et/ou trans-4-[{3-[{2',3'-azanediyyl-P,2',3'-tridésoxy-P-(diméthylamino)-2',3'-secyl}(2'-N→5')(C-G-C-C-G-C-C-A-m<sup>5</sup>U-m<sup>5</sup>U-m<sup>5</sup>U-C-m<sup>5</sup>U-C-A-C-A-G-A-m<sup>5</sup>U-C-m<sup>5</sup>U-G-m<sup>5</sup>U-C)-N<sup>2,26</sup>-yl]-3-*  
*oxopropyl)carbamoyl]cyclohexyl)méthyl)-2,5-dioxopirrolidin-3-yle (zotadirsén)*  
*promotion de la synthèse de la dystrophine fonctionnelle*

delpacibart zotadirsén

inmunoglobulina G1-kappa, anti-[*Homo sapiens* TFRC (receptor de la transferrina, TfR1, TFR1, CD71)], anticuerpo monoclonal humanizado, conjugado en cuatro residuos cisteinilo por término medio a través de un enlace  
 4-(maleimidometil)ciclohexanocarboxamida con un oligonucleótido simple brin (*zotadirsén*); cadena pesada H-gamma1 humanizada (1-445 [VH (*Homo sapiens* IGHV1-2\*06 (87.8%) - (IGHD) - IGHJ4\*01 (100%), CDR-IMGT [8.8.9] (26-33.51-58.97-105)) (1-116) -*Homo sapiens*IGHG1\*03, G1m3, nG1m1 CH1 R120, CH3 E12, M14, G1v14 CH2 A1.3, A1.2, G1v48 CH2R113 (CH1 R120 (213) (117-214), bisagra 1-15 (215-229), CH2 L1.3>A (233), L1.2>A (234), L113>R (230-339), CH3 E12 (355), M14 (357) (340-444), CHS K2>del (445)) (117-445)], (219-214')-disulfuro con la cadena ligera L-kappa humanizada (1'-214') [V-KAPPA (*Homo sapiens* IGKV1-NL1\*01 (84.1%) - IGKJ4\*01 (100%), CDR-IMGT [6.3.9] (27-32'.50'-52'.89'-97')) (1'-107') -*Homo sapiens*IGKC\*01 (100%) Km3 A45.1, V101 (C-KAPPA A45.1 (153'), V101 (191')) (108'-214')]; dímero (225-225": 228-228")-bisdisulfuro, producido en las células ováricas de hámster chino (CHO), forma glicosilada alfa; sustituido en el átomo de azufre de una media de cuatro residuos de cisteína de 219, 225, 228, 214', 219'', 225', 228'' y 214''' con un grupo *todo-P-ambo-(3RS)-1-({cis- y/o trans-4-[{3-[{2',3'-azanediyyl-P,2',3'-tridesoxi-P-(dimetilamino)-2',3'-secyl}(2'-N→5')(C-G-C-C-G-C-C-A-m<sup>5</sup>U-m<sup>5</sup>U-n<sup>5</sup>U-C-m<sup>5</sup>U-C-A-C-A-G-A-m<sup>5</sup>U-C-m<sup>5</sup>U-G-m<sup>5</sup>U-C)-N<sup>2,26</sup>-yl]-3-*  
*oxopropil)carbamoyl]ciclohexil)méthyl)-2,5-dioxopirrolidin-3-ilo (zotadirsén)*  
*promotor de la síntesis de distrofina funcional*

## Heavy chain / Chaîne lourde / Cadena pesada

QVQLVQSGAE VKKPGASVKV SCKASGYTFT NYWMHWVRQA PGQGLEWIGE 50  
 INPINGRSNY AEKFQGRVTI TVDTSSSTAY MELSRLRSDD TAVYYCARGT 100  
 RAMHYWGQQGT LVTVSSASTK GPSVFLAPS SKSTSGGTAA LGCLVKDYFP 150  
 EPVTWSNNG ALTSGVHTFP AVLQSSGLYS LSSVVTVPSS SLGTQTYICN 200  
 VNHKPSNTKV DKRVEPKSCD KTHTCPPCPA PEAAGGSPVF LFPPKPKDTL 250  
 MISRTPEVTC VVVDVSHEDP EVKFNWYVG D VEVHNAKTPK REEQYNSTYR 300  
 VVSVLTVLHQ DWLNGKEYKC KVSNKARPAP IERTISAKG QPREFPVYTL 350  
 PPSREEMTKN QVSLTCLVKG FYFSDIAVEW ESNQGPENNY KTTPPVLDSD 400  
 GSFFLYSKLT VDKSRWQGN VFCSTMHEA LHNNHYTQKSL SLSPG 445

## Light chain / Chaîne légère / Cadena ligera

DIQMTQSPSS LSASVGRVT ITCRTSENII NNLAWSQKQPK GKSPKLLIYA 50  
 ATNLADGVPS RFSGSGSGTD YTTLTISSLQP EDFATYYCQH FWGTPLTFGG 100  
 GTKVEIKRTV AAPSVFIFPP SDEQLKSGTA SVVCLNNFY PREAKVQWKV 150  
 DNALQSGNSQ ESVTEQDSKD STYSLSSTLT LSKADYEKHK VYACEVTHQG 200  
 LSSPVTKSFN RGEC 214

## Post-translational modifications

Disulfide bridges location / Position des ponts disulfure / Posiciones de los puentes disulfuro

Intra-H (C23-C104) 22-96 143-199 260-320 366-424

22"-96" 143"-199" 260"-320" 366"-424"

Intra-L (C23-C104) 23"-88" 134"-194"

23""-88" 134""-194""

Inter-H-L (h 5-CL 126) \* 219-214' 219"-214"

Inter-H-H (h 11, h 14) \* 225-225" 228-228"

\*At least two of the four inter-chain disulfide bridges are not present, an average of four cysteinyl being conjugated each via a thioether bond to a drug linker.

\*Au moins deux des quatre ponts disulfures inter-châines ne sont pas présents, quatre cystéinyl en moyenne étant chacun conjugué via une liaison thioéther à un linker-principe actif.

\*Al menos dos de los cuatro puentes disulfuro inter-catenarios no estan presentes, una media de cuatro cisteinil está conjugada a conectores de principio activo.

## N-terminal glutaminyl cyclization / Cyclisation du glutaminyle N-terminal / Ciclación del glutaminilo N-terminal

Q > pyroglutamyl (pE, 5-oxoprolyl) / pyroglutamyle (pE, 5-oxoprolyle) / piroglutamilo

(pE, 5-oxoprolilo)

H VH Q1: 1, 1"

## N-glycosylation sites / Sites de N-glycosylation / Posiciones de N-glicosilación

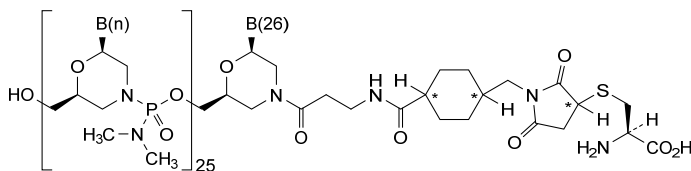
H CH2 N84.4: 296, 296"

Fucosylated complex bi-antennary CHO-type glycans / glycane de type CHO bi-antennaires complexes fucosylés / glicanos de tipo CHO biantenarios complejos fucosilados.

## Potential modified residues / résidus modifiés potentiels / restos modificados potenciales\*

C (219, 225, 288, 214, 219", 225", 228", 214")

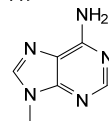
(\*zotadirese: mAb ~ 3.8:1)



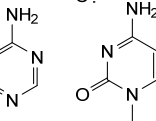
## Nucleobase sequence / Séquence nucléobases / Secuencia nucleobases

B(1-26): C-G-C-C-G-C-C-A-m<sup>5</sup>U-m<sup>5</sup>U-m<sup>5</sup>U-C-m<sup>5</sup>U-C-A-A-C-A-G-A-m<sup>5</sup>U-C-m<sup>5</sup>U-G-m<sup>5</sup>U-C

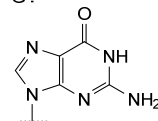
A:



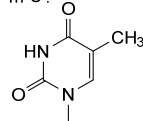
C:



G:



m<sup>5</sup>U:



**denrakibartum #**

denrakibart	immunoglobulin G2-kappa, anti-[ <i>Homo sapiens</i> CCL17 (C-C motif chemokine ligand 17, ligand 17 de chimiokine à motif C-C, membre 17 de la sous-famille A (Cys-Cys) des petites cytokines inductrices, SCYA17, chimiokine du thymus à activation régulée, TARC)], anticorps monoclonal <i>Homo sapiens</i> ; chaîne lourde H-gamma2 <i>Homo sapiens</i> (1-447) [VH ( <i>Homo sapiens</i> IGHV5-51*01 (98.0%) -(IGHD)-IGHJ4*01 (100%), CDR-IMGT [8.8.14] (26-33.51-58.97-110)) (1-121) - <i>Homo sapiens</i> IGHG2*01 G2m.. CH2 V45.1, G2v3 CH2 A1.2, A1, S2, A30, L92, S115, S116 (CH1 P92>T (193) (122-219), charnière 1-12 (220-231), CH2 V1.2>A (235), G1>A (237), P2>S (238), H30>A (268), V45.1 (282), V92>L (309), A115>S (330), P116>S(331) (232-340), CH3 (341-445), CHS (446-447)) (341-447)], (135-220')-disulfure avec la chaîne légère kappa <i>Homo sapiens</i> (1'-220') [V-KAPPA ( <i>Homo sapiens</i> IGKV4-1*01 (92.1%) -IGKJ1*01 (100%), CDR-IMGT [12.3.9] (27'-38'.56'-58'.95'-103')) (1'-113') - <i>Homo sapiens</i> IGKC*01 (100%) Km3 A45.1, V101 (C-KAPPA A45.1 (159'), V101 (197')) (114'-220')]; dimère (223-223":224-224":227-227":230-230")-tétrakisdisulfure, produit dans des cellules ovarianas de hamster chino (CHO), lignée cellulaire CHO-K1SV, glycoforme alfa <i>anti-inflamatoire</i>
denrakibart	inmunoglobulina G2-kappa, anti-[ <i>Homo sapiens</i> CCL17 (quimiocina (C-C motivo) ligando 17, ligando 17 de quimiocina con motivo C-C, miembro 17 de la subfamilia A (Cys-Cys) de las citocinas pequeñas inducida, SCYA17, quimiocina del timo con activación regulada, TARC)], anticuerpo monoclonal <i>Homo sapiens</i> ; cadena pesada H-gamma2 <i>Homo sapiens</i> (1-447) [VH ( <i>Homo sapiens</i> IGHV5-51*01 (98.0%) -(IGHD)-IGHJ4*01 (100%), CDR-IMGT [8.8.14] (26-33.51-58.97-110)) (1-121) - <i>Homo sapiens</i> IGHG2*01 G2m.. CH2 V45.1, G2v3 CH2 A1.2, A1, S2, A30, L92, S115, S116 (CH1 P92>T (193) (122-219), bisagra 1-12 (220-231), CH2 V1.2>A (235), G1>A (237), P2>S (238), H30>A (268), V45.1 (282), V92>L (309), A115>S (330), P116>S(331) (232-340), CH3 (341-445), CHS (446-447)) (341-447)], (135-220')-disulfuro con la cadena ligera kappa <i>Homo sapiens</i> (1'-220') [V-KAPPA ( <i>Homo sapiens</i> IGKV4-1*01 (92.1%) -IGKJ1*01 (100%), CDR-IMGT [12.3.9] (27'-38'.56'-58'.95'-103')) (1'-113') - <i>Homo sapiens</i> IGKC*01 (100%) Km3 A45.1, V101 (C-KAPPA A45.1 (159'), V101 (197')) (114'-220')]; dímero (223-223":224-224":227-227":230-230")-tetrakisdisulfuro, producido en las células ováricas de hámster chino (CHO), línea celular CHO-K1SV, forma glicosilada alfa <i>antiinflamatorio</i>
denrakibart	immunoglobulin G2-kappa, anti-[ <i>Homo sapiens</i> CCL17 (C-C motif chemokine ligand 17, chemokine (C-C motif) ligand 17, small inducible cytokine subfamily A (Cys-Cys) member 17, SCYA17, thymus and activation-regulated chemokine, TARC)], <i>Homo sapiens</i> monoclonal antibody; H-gamma2 heavy chain <i>Homo sapiens</i> (1-447) [VH ( <i>Homo sapiens</i> IGHV5-51*01 (98.0%) -(IGHD)-IGHJ4*01 (100%), CDR-IMGT [8.8.14] (26-33.51-58.97-110)) (1-121) - <i>Homo sapiens</i> IGHG2*01 G2m.. CH2 V45.1, G2v3 CH2 A1.2, A1, S2, A30, L92, S115, S116 (CH1 P92>T (193) (122-219), hinge 1-12 (220-231), CH2 V1.2>A (235), G1>A (237), P2>S (238), H30>A (268), V45.1 (282), V92>L (309), A115>S (330), P116>S(331) (232-340), CH3 (341-445), CHS (446-447)) (341-447)], (135-220')-disulfide with L-kappa light chain <i>Homo sapiens</i> (1'-220') [V-KAPPA ( <i>Homo sapiens</i> IGKV4-1*01 (92.1%) -IGKJ1*01 (100%), CDR-IMGT [12.3.9] (27'-38'.56'-58'.95'-103')) (1'-113') - <i>Homo sapiens</i> IGKC*01 (100%) Km3 A45.1, V101 (C-KAPPA A45.1 (159'), V101 (197')) (114'-220')]; dimer (223-223":224-224":227-227":230-230")-tetrakisdisulfide, produced in Chinese hamster ovary (CHO) cells, cell line CHO-K1SV, glycoform alfa <i>anti-inflammatory</i>

2922866-66-6

## Heavy chain / Chaîne lourde / Cadena pesada

EVQLVQSGAE VKKPGESLKI SCKGSGYSFT SYWIGWVRQM PGKGLEWMGI 50  
 IDPSDSCTR SPSPFQGQVTI SADKSISTAY LQWSSLKASD TAMYYCARVG 100  
 PADWWDADFV WGGQTLVTVS SASTKGPSVF PLAPCSRSTS ESTAALGCLV 150  
 KDYFPEPVTV SWNSGALTSG VHTFFAVLQS SGLYSLSSVV TVTSSNFGTQ 200  
 TYTCNVDHKP SNTKVDKTV E RKKCCECPCC PAPPFAAASSV FLFPFPKPKDT 250  
 LMISRTPEV CVVVDVSAED PEVQFNWVVD GVEVHNAKTR PREEQFNSTF 300  
 RVVSVLTVLH QDWLNGKEYK CKVSNKGLPS SIEKTISKTK GQFREPVYT 350  
 LPSPREEMTH NQVSLTCLVK GFYPPSDIAVE WESNGQFENN YKTPPMILDS 400  
 DGSSFLY SKL TVDKSRWQQG NVFSCSVMHE ALHNHYTQKS LSLSPGK 447

## Light chain / Chaîne légère / Cadena ligera

DIVMTQSPDS LAVSLGERAT INCKSSQSVL LSF DNINKLA WYQQKPGQPP 50  
 KLLIYDASTR ESGVPDRFSG SGSSGTDFSLT ISSLQAEDVA VYCCQQFYVS 100  
 PSTFGQGTKV EIKRTVAAPS VFIFPPSDEQ LKSGTASVVC LINNFYPREA 150  
 KVQWKVDNAL QSGNSQESVT EQDSKDSTYS LSSTTLSKA DYEKHKVYAC 200  
 EVTHQGLSSP VTKSFRNRGEC 220

## Post-translational modifications

Disulfide bridges location / Position des ponts disulfure / Posiciones de los puentes disulfuro

Intra-H (C23-C104) 22-96 148-204 261-321 367-425

22"-96" 148"-204" 261"-321" 367"-425"

Intra-L (C23-C104) 23"-94' 140"-200'

23"-94" 140"-200"

Inter-H-L (CH1 10-CL 126) 135"-220' 135"-220"

Inter-H-H (h 4, h 5, h 8, h11) 223-223" 224-224" 227-227" 230-230"

\*A/B: h4-CH10 / h4- CL 126 223-135" 223"-220" 227-227" 230-230"

\*\*B: h5-CH10 / h5- CL126 224-135 224"-220" 227-227" 230-230"

\*In addition to the isoform A, isoform A/B which the inter-H-H (h 4 - h 4) 223-223" and one of the inter-H-L (CH1 10-CL 126) 135"-220" are replaced by an inter-H-H (h 4 - CH1 10) 223-135" and an inter-H-L (h 4 - CL 126) 223"-220" / en plus de l'isoforme A, isoforme A/B dans laquelle l'inter-H-H (h 4 - h 4) 223-223" et l'un des inter-H-L (CH1 10-CL 126) 135"-220" sont remplacés par un inter-H-H (h 4 - CH1 10) 223-135" et un inter-H-L (h 4 - CL 126) 223"-220" / además de la isoforma A, isoforma A/B en la que el inter-H-H (h 4 - h 4) 223-223" y uno de los inter-H-L (CH1 10-CL 126) 135"-220" se reemplazan por un inter-H-H (h4 - CH1 10) 223-135" y un inter-H-L (h 4 - CL 126) 223"-220"

\*\*Isoform B in which the inter-H-H (h 5 - h 5) 224-224" and the second inter-H-L (CH1 10-CL 126) 135-220' are also replaced by an inter-H-H (h 5 - CH1 10) 224-135 and an inter-H-L (h 5 - CL 126) 224"-220' / isoforme B dans laquelle l'inter-H-H (h 5 - h 5) 224-224" et le second inter-H-L (CH1 10-CL 126) 135-220' sont aussi remplacés par un inter-H-H (h 5 - CH1 10) 224-135 et un inter-H-L (h 5 - CL 126) 224"-220' / isoforma B en la que el inter-H-H (h 5 - h 5) 224-224" y el segundo inter-H-L (CH1 10-CL 126) 135-220' también se reemplazan por un inter-H-H (h 5 - CH1 10) 224-135 y un inter-H-L (h 5 - CL 126) 224"-220'.

N-glycosylation sites / Sites de N-glycosylation / Posiciones de N-glicosilación  
 HCH2N84:4: 297, 297"

Fucosylated complex bi-antennary CHO-type glycans / glycanes de type CHO bi-antennaires complexes fucosylés / glicanos de tipo CHO biantenarios complejos fucosilados

C-terminal lysine clipping / Coupure de la lysine C-terminale / Recorte de lisina C-terminal  
 H CHS K2: 447, 447"

**deramiocelum**  
 deramiocel

allogeneic cardiosphere-derived cells obtained from cultured human donor myocardial tissue. The tissue is grown in culture until explant derived cells emerge. These cells are then frozen into a Master cell bank until seeded in ultra-low attachment flasks in the presence of bovine serum where they spontaneously form spherical three-dimensional cell clusters termed cardiospheres. The cardiospheres are then disrupted to form adherent single cells, which are further expanded onto fibronectin-coated flasks in the presence of bovine serum with the cells undergoing a range of 5-10 population doubling (PDLs) to be cryopreserved until use.

The cardiosphere-derived cells (CDC) are CD105 high (>90%) and CD45 low (<10%). They retain antifibrotic activity as measured by assessing collagen 1A and 3A messenger RNA (mRNA) levels in fibroblasts cultured with conditioned media collected from CDCs and are evaluated by bioinformatics analyses where the desired mRNA expression profile is correlated with known clinically potent samples lots *cell therapy (Duchenne muscular dystrophy)*

déramiocel

cellules allogéniques dérivées de cardiosphères obtenues, par culture, à partir de tissus myocardiques de donneurs humains. Le tissu est cultivé jusqu'à ce que les cellules dérivées de l'explant émergent. Ces cellules sont ensuite congelées dans une banque de cellules primaires, jusqu'à ce qu'elles soient ensemencées dans des flacons à très faible attachement, en présence de sérum bovin où elles forment spontanément des amas de cellules tridimensionnelles sphériques, appelés cardiosphères. Les cardiosphères sont ensuite désorganisées pour former des cellules individuelles adhérentes, qui sont ensuite mises en expansion dans des flacons recouverts de fibronectine en présence de sérum bovin. Les cellules subissent environ 5 à 10 doubllements de population avant d'être cryopréserveres jusqu'à leur utilisation. Les cellules dérivées des cardiosphères (CDC) présentent un taux élevé de CD105 ( $\geq 90\%$ ) et un faible taux de CD45 ( $\leq 10\%$ ). Elles conservent leur activité antifibrotique mesurée en estimant les niveaux d'ARN messager (ARNm) des collagènes 1A et 3A dans les fibroblastes cultivés en milieux conditionnés, collectés à partir des CDC, et sont évaluées par des analyses bioinformatiques où le profil d'expression de l'ARNm souhaité est corrélé avec des lots d'échantillons dont l'efficacité clinique est connue *thérapie cellulaire (dystrophie musculaire de Duchenne)*

deramiocel

células alogénicas derivadas de cardiosferas obtenidas a partir de tejido cultivado de miocardio humano de donante. El tejido se crece en cultivo hasta que emergen células derivadas del explante. Las células se congelan después en un banco de células maestro hasta que se siembran en frascos de adhesión ultra baja en presencia de suero bovino, donde espontáneamente forman agrupaciones tridimensionales esféricas de células llamadas cardioesferas. Las cardioesferas se rompen a continuación para formar células aisladas adherentes, que se expanden en frascos forrados de fibronectina en presencia de suero bovino con las células experimentando un rango de 5-10 duplicaciones poblacionales (PDLs) para ser criopreservadas hasta su uso. Las células derivadas de cardioesferas (CDC) son CD105 alto ( $>90\%$ ) y CD45 bajo ( $<10\%$ ). Las células retienen la actividad antifibrótica medida mediante análisis de los niveles de ARN mensajero (ARNm) de colágeno 1A y 3A en fibroblastos cultivados con medio condicionado recogido de CDCs y se evalúan mediante análisis bioinformáticos donde el perfil de expresión del ARNm deseado se correlaciona con muestras de lotes con potencia clínica conocida *terapia celular (distrofia muscular de Duchenne)*

**deulorlatinibum**

deulorlatinib

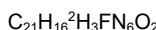
(10*R*)-7-amino-12-fluoro-2-(<sup>2</sup>H<sub>3</sub>)methyl-10,16-dimethyl-15-oxo-10,15,16,17-tetrahydro-2*H*-8,4-(metheno)pyrazolo[4,3-*h*][2,5,11]benzoxadiazacyclotetradecine-3-carbonitrile  
*tyrosine kinase inhibitor, antineoplastic*

deulorlatinib

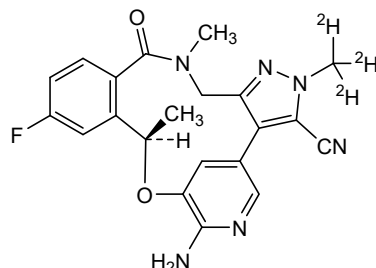
(10*R*)-7-amino-12-fluoro-2-(<sup>2</sup>H<sub>3</sub>)méthyl-10,16-diméthyl-15-oxo-10,15,16,17-tétrahydro-2*H*-8,4-(méthéno)pyrazolo[4,3-*h*][2,5,11]benzoxadiazacyclotéradécine-3-carbonitrile  
*inhibiteur de tyrosine kinases, antinéoplasique*

deulorlatinib

(10*R*)-7-amino-12-fluoro-2-(<sup>2</sup>H<sub>3</sub>)metil-10,16-dimetil-15-oxo-10,15,16,17-tetrahdro-2*H*-8,4-(meteno)pirazolo[4,3-*h*][2,5,11]benzoxadiazacilotetradecina-3-carbonitrido  
*inhibidor de la tirosina kinasa, antineoplásico*



2131126-33-3

**dezecapavirum**

dezecapavir

*N*[(1*S*)-1-[(3*P*)-3-[4-chloro-3-(methanesulfonamido)-1-methyl-1*H*-indazol-7-yl]-4-oxo-7-(3,3,3-trifluoropropoxy)-3,4-dihydropyrido[2,3-*d*]pyrimidin-2-yl]-2-(3,5-difluorophenyl)ethyl]-2-[(3*bS,4aR*)-3-(difluoromethyl)-5,5-difluoro-3*b*,4,4*a*,5-tetrahydro-1*H*-cyclopropa[3,4]cyclopenta[1,2-*c*]pyrazol-1-yl]acetamide  
*inhibitor of viral replication, antiviral*

dézécapavir

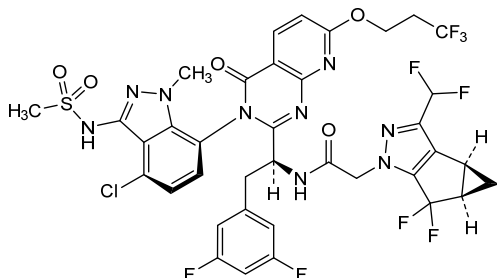
*N*[(1*S*)-1-[(3*P*)-3-[4-chloro-3-(méthanesulfonamido)-1-méthyl-1*H*-indazol-7-yl]-4-oxo-7-(3,3,3-trifluoropropoxy)-3,4-dihydropyrido[2,3-*d*]pyrimidin-2-yl]-2-(3,5-difluorophényl)éthyl]-2-[(3*bS,4aR*)-3-(difluorométhyl)-5,5-difluoro-3*b*,4,4*a*,5-tétrahydro-1*H*-cyclopropa[3,4]cyclopenta[1,2-*c*]pyrazol-1-yl]acétamide  
*inhibiteur de la réplication virale, antiviral*

dezecapavir

*N*[(1*S*)-1-[(3*P*)-3-[4-cloro-3-(metanosulfonamido)-1-metil-1*H*-indazol-7-yl]-4-oxo-7-(3,3,3-trifluoropropoxi)-3,4-dihidropirido[2,3-*d*]pirimidin-2-yl]-2-(3,5-difluorofenil)ethyl]-2-[(3*bS,4aR*)-3-(difluorometil)-5,5-difluoro-3*b*,4,4*a*,5-tetrahydro-1*H*-ciclopropa[3,4]ciclopenta[1,2-*c*]pirazol-1-yl]acetamida  
*inhibidor de la replicación vírica, antiviral*

C<sub>37</sub>H<sub>29</sub>ClF<sub>9</sub>N<sub>9</sub>O<sub>5</sub>S

2570323-59-8

**direclidinum**

direclidine

ethyl (2r,4s)-2-[4-(1-methyl-1*H*-pyrazol-5-yl)piperidin-1-yl]-6-azaspiro[3.4]octane-6-carboxylate  
*muscarinic M4 receptor positive allosteric modulator*

diréclidine

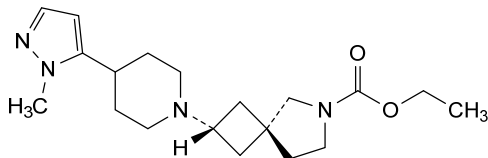
(2r,4s)-2-[4-(1-méthyl-1*H*-pyrazol-5-yl)pipéridin-1-yl]-6-azaspiro[3.4]octane-6-carboxylate d'éthyle  
*modulateur allostérique positif du récepteur muscarinique M4*

direclidina

(2r,4s)-2-[4-(1-metil-1*H*-pirazol-5-yl)piperidin-1-yl]-6-azaespiro[3.4]octano-6-carboxilato de etilo  
*modulador alostérico positivo del receptor muscarínico M4*

C<sub>19</sub>H<sub>30</sub>N<sub>4</sub>O<sub>2</sub>

1803346-98-6

**drotokibartum #**

drotokibart

immunoglobulin G4-kappa, anti-[*Homo sapiens* IL4R (interleukin 4 receptor, IL4RA, IL-4RA, interleukin 13 receptor, CD124)], humanized monoclonal antibody; H-gamma4 heavy chain humanized (1-445) [VH (*Homo sapiens* IGHV3-48\*01 (88.8%) -(IGHD) -IGHJ4\*01 (93.3%), CDR-IMGT [8.8.11] (26-33.51-58.97-107)) (1-118) -*Homo sapiens* IGHG4\*01, nG4m(a) CH2 L92, G4v5 h P10 (CH1 (119-216), hinge 1-12 S10>P (226) (217-228), CH2 L92 (307) (229-338), CH3 (339-443), CHS (444-445)) (119-445)], (132-215')-disulfide with L-kappa light chain humanized (1'-215') [V-KAPPA (*Homo sapiens* IGKV3D-11\*02 (88.9%) -IGKJ4\*01 (100%), CDR-IMGT [5.3.11] (27'-31.49'-51.88'-98')) (1'-108') -*Homo sapiens* IGKC\*01 (100%) Km3 A45.1, V101 (C-KAPPA A45.1 (154'), V101 (192')) (109'-215')]; dimer (224-224"-227-227")-bisdisulfide, produced in Chinese hamster ovary (CHO) cells, cell line CHO-K1SV lacking the glutamine synthetase (GS-KO) gene, glycoform alfa  
*interleukin-4 receptor alpha (IL-4Ra) blocker, anti-inflammatory*

drotokibart	immunoglobuline G4-kappa, anti-[ <i>Homo sapiens</i> IL-4R (récepteur de l'interleukine 4, IL4RA, IL-4RA, récepteur de l'interleukine 13, CD124)], anticorps monoclonal humanisé; chaîne lourde H-gamma4 humanisée (1-445) [VH ( <i>Homo sapiens</i> IGHV3-48*01 (88.8%) -(IGHD)-IGHJ4*01 (93.3%), CDR-IMGT [8.8.11] (26-33.51-58.97-107)) (1-118) - <i>Homo sapiens</i> IGHG4*01, nG4m(a) CH2 L92, G4v5 h P10 (CH1 (119-216), charnière 1-12 S10>P (226) (217-228), CH2 L92 (307) (229-338), CH3 (339-443), CHS (444-445)) (119-445)], (132-215')-disulfure avec la chaîne légère L-kappa humanisée (1'-215') [V-KAPPA ( <i>Homo sapiens</i> IGKV3D-11*02 (88.9%)-IGKJ4*01 (100%), CDR-IMGT [5.3.11] (27'-31'.49'-51'.88'-98')) (1'-108') - <i>Homo sapiens</i> IGK*01 (100%) Km3 A45.1, V101 (C-KAPPA A45.1 (154'), V101 (192')) (109'-215')]; dimère (224-224":227-227")-bisdisulfure, produit dans des cellules ovarianes de hamster chinois (CHO), lignée cellulaire CHO-K1SV ne présentant pas le gène de la glutamine synthétase (GS-KO), glycoforme alfa bloqueur du récepteur alpha de l'interleukine-4 (IL-4Ra), anti-inflammatoire
drotokibart	inmunoglobulina G4-kappa, anti-[ <i>Homo sapiens</i> IL-4R (receptor de la interleukina 4, IL4RA, IL-4RA, receptor de la interleukina 13, CD124)], anticuerpo monoclonal humanizado; cadena pesada H-gamma4 humanizada (1-445) [VH ( <i>Homo sapiens</i> IGHV3-48*01 (88.8%) -(IGHD)-IGHJ4*01 (93.3%), CDR-IMGT [8.8.11] (26-33.51-58.97-107)) (1-118) - <i>Homo sapiens</i> IGHG4*01, nG4m(a) CH2 L92, G4v5 h P10 (CH1 (119-216), bisagra 1-12 S10>P (226) (217-228), CH2 L92 (307) (229-338), CH3 (339-443), CHS (444-445)) (119-445)], (132-215')-disulfuro con la cadena ligera L-kappa humanizada (1'-215') [V-KAPPA ( <i>Homo sapiens</i> IGKV3D-11*02 (88.9%)-IGKJ4*01 (100%), CDR-IMGT [5.3.11] (27'-31'.49'-51'.88'-98')) (1'-108') - <i>Homo sapiens</i> IGK*01 (100%) Km3 A45.1, V101 (C-KAPPA A45.1 (154'), V101 (192')) (109'-215')]; dímero (224-224":227-227")-bisdisulfuro, producido en las células ováricas de hámster chino (CHO), línea celular CHO-K1SV en ausencia del gen de la glutamina sintetasa (GS-KO), forma glicosilada alfa bloqueador del receptor alfa de la interleuquina-4 (IL-4Ra), antiinflamatorio

2925270-26-2

## Heavy chain / Chaîne lourde / Cadena pesada

EVQLIVESGGGV LVQPGGSLRL SCAASGFTFS DYGGMHWVRQA PGKGLEWVAF 50  
 ISSGSSIIYV ADIVKGRTSTI SRDNAKNTYI LQMNLSRAED TAVYYCTRGN 100  
 KRGFHDYWQG GTLTVTSSAAS TKGKSPVEPLA PCSRSRSEST AALGCLVKDY 150  
 FPEPVTVSWN SGALTSGVHT FPAAVLQSSGL YSLSSVVTVPS SSSLGKTYYT 200  
 CNVDHKPSNT KVDKRVESRY GPCPPCPAP EFLGGPSVFL FPPPKPKDTLM 250  
 ISNTRPEVTCV VVDDVSQEDPE VFQNWWYDVGV EVHNAAKTPR EEQFNNSTYRV 300  
 VSVLTVLHQD WLNGKEYKCK VSNKGLPSSI EKTISAKGQ PREPVQVTLP 350  
 PSQEEMTKNQ VSLTCLVKGF YPSDIAWEVE SNGQPENNYK TTPFVLDSDG 400  
 SFFLYSRLTV DKSRWQEGNV FSCSVMHEAL HHNYTQKSLS LSLGK 445

## Light chain / Chaîne légère / Cadena ligera

EIVLTQSPAT LSLSPGERAT LSCRASSSSVP YMYWYQQKPG QAPRLLIYLT 50  
 SNLASLGIPAR FSGSGSGTDF TLTISSLEPE DFAVYYCQOW RAYPPMLITF 100  
 GGTKVELKRT VAAPSVFIIIF PSDEQLKSGT ASVVCLLNNF YPREAKVQWK 150  
 VDNALQSGNS QESVTEQDSK DSTYSLSSLT TLSKADYEKH KVYACEVTHQ 200  
 GLSSPVTKSF NRGECC 215

## Post-translational modifications

Disulfide bridges location / Position des ponts disulfure / Posiciones de los puentes disulfuro

Intra-H (C23-C104) 22-96 145-201 259-319 365-423  
 22"-96" 145"-201" 259"-319" 365"-423"  
 Intra-L (C23-C104) 23"-87" 135"-195"  
 23"-87" 135"-195"  
 Inter-H-L (CH1 10-CL 126) 132-215' 132"-215"  
 Inter-H-H (h 8, h 11) 224-224" 227-227"

## N-glycosylation sites / Sites de N-glycosylation / Posiciones de N-glicosilación

H CH2 N84.4: 295, 295"

Fucosylated complex bi-antennary CHO-type glycans / glycanes de type CHO bi-antennaires complexes fucosylés / glicanos de tipo CHO biantenarios complejos fucosilados

## C-terminal lysine clipping / Coupe de la lysine C-terminale / Recorte de lisina C-terminal

H CHS K2: 445, 445"

**eclutatugum #**

eclutatug

immunoglobulin G1-kappa, anti-[*Homo sapiens sapiens* CLDN1 (claudin-1) conformational epitope of the first extracellular loop (EL1)], humanized monoclonal antibody; H-gamma1 heavy chain humanized (1-448) [VH (*Homo sapiens* IGHV3-21\*01 (94.9%) -(IGHD) -IGHJ1\*01 (92.9%), CDR-IMGT [8.8.12] (26-33.51-58.97-108)) (1-119) -*Homo sapiens* IGHG1\*03 (100%) G1m3, nG1m1 CH1 R120, CH3 E12, M14 (CH1 R120 (216) (120-217), hinge 1-15 (218-232), CH2 (233-342), CH3 E12 (358), M14 (360) (343-447), CHS K2>del (448)) (120-448)], (222-214')-disulfide with L-kappa light chain humanized (1'-214') [V-KAPPA (*Homo sapiens* IGKV3-15\*01 (84.2%) -IGKJ1\*01 (100%), CDR-IMGT [6.3.9] (27'-32'.50'-52'.89'-97')) (1'-107') -*Homo sapiens* IGKC\*01 (100%) Km3 A45.1, V101 (C-KAPPA A45.1 (153'), V101 (191')) (108'-214')]; dimer (228-228":231-231")-bisdisulfide, produced in a cell line from Chinese hamster ovary (CHO) cells, derived from the cell line CHO-K1, glycoform alfa *anti-claudin, antineoplastic*

éclutatug

immunoglobuline G1-kappa, anti-[*Homo sapiens* CLDN1 (claudine 1) épitope conformationnel de la première boucle extracellulaire (EL1)], anticorps monoclonal humanisé; chaîne lourde H-gamma1 humanisée (1-448) [VH (*Homo sapiens* IGHV3-21\*01 (94.9%) -(IGHD) -IGHJ1\*01 (92.9%), CDR-IMGT [8.8.12] (26-33.51-58.97-108)) (1-119) -*Homo sapiens* IGHG1\*03 (100%) G1m3, nG1m1 CH1 R120, CH3 E12, M14 (CH1 R120 (216) (120-217), charnière 1-15 (218-232), CH2 (233-342), CH3 E12 (358), M14 (360) (343-447), CHS K2>del (448)) (120-448)], (222-214')-disulfure avec la chaîne légère L-kappa humanisée (1'-214') [V-KAPPA (*Homo sapiens* IGKV3-15\*01 (84.2%) -IGKJ1\*01 (100%), CDR-IMGT [6.3.9] (27'-32'.50'-52'.89'-97')) (1'-107') -*Homo sapiens* IGKC\*01 (100%) Km3 A45.1, V101 (C-KAPPA A45.1 (153'), V101 (191')) (108'-214')]; dimère (228-228":231-231")-bisdisulfure, produit dans une lignée cellulaire des cellules ovarianes de hamster chinois (CHO), dérivant de la lignée cellulaire CHO-K1, glycoforme alfa *anti-claudine, antinéoplasique*

eclutatug

inmunoglobulina G1-kappa, anti-[*Homo sapiens* CLDN1 (claudina 1) epítopo conformacional del primer bucle extracelular (EL1)], anticuerpo monoclonal humanizado; cadena pesada H-gamma1 humanizada (1-448) [VH (*Homo sapiens* IGHV3-21\*01 (94.9%) -(IGHD) -IGHJ1\*01 (92.9%), CDR-IMGT [8.8.12] (26-33.51-58.97-108)) (1-119) -*Homo sapiens* IGHG1\*03 (100%) G1m3, nG1m1 CH1 R120, CH3 E12, M14 (CH1 R120 (216) (120-217), bisagra 1-15 (218-232), CH2 (233-342), CH3 E12 (358), M14 (360) (343-447), CHS K2>del (448)) (120-448)], (222-214')-disulfuro con la cadena ligera L-kappa humanizada (1'-214') [V-KAPPA (*Homo sapiens* IGKV3-15\*01 (84.2%) -IGKJ1\*01 (100%), CDR-IMGT [6.3.9] (27'-32'.50'-52'.89'-97')) (1'-107') -*Homo sapiens* IGKC\*01 (100%) Km3 A45.1, V101 (C-KAPPA A45.1 (153'), V101 (191')) (108'-214')]; dímero (228-228":231-231")-bisdisulfuro, producido en una línea celular de las células ováricas de hámster chino (CHO), línea celular derivada de CHO-K1, forma glicosilada alfa *anticlaudina, antineoplásico*

2922054-25-7

## Heavy chain / Chaîne lourde / Cadena pesada

EVQLVESGGG LVKPGGSLRL SCAASGFSEFS SYGMNNWVRQA PGKGLEWVSS 50  
 ISPSGSYFYY ADSVKGRFTI SRDNAKNSLY LQMNSLRAED TAVYYCARLP 100  
 GFNPPFDHWG QGTLVTVSSA STKGPSVFFL APSSKSTSGG TAALGCLVKD 150  
 YFPEPVTVSW NSGALTSGVH TFPAVLQSSG LYSLSSVTVV PSSSLGTQTY 200  
 ICNVNHKPSN TKVDKRVEPK SCDKTHTCP CPPAPELLGGP SVFLFPKPK 250  
 DTLMSRTP E VTCVVVDVSH EDPEVKFNWY VDGVEVHNNAK TKPREEQYNS 300  
 TYRVSVLTV LHQDWLNKGK YKCKVSNKAL PAPIEKTISK AKGQPREFQV 350  
 YTLLPSREEM TNQVSLTCL VKGFYPSDIA VEWESENQPE NNYKTTPPV 400  
 DSDGSFFFLYS KLTVDKSRQ QGNVFSCSVN HEALHNHYTQ KSLSLSPG 448

## Light chain / Chaîne légère / Cadena ligera

DIGMTQSPAT LSVSPGERAT LSCKASQNVG GNVDWYQWKP GQAPRLLIYG 50  
 ASNRYTGIPA RFRGSGSGTE FTFLTISSLSQ EDFAVYYCLQ YKNNPWTFGQ 100  
 GTKVEIKRTV AAPSVFIFPP SDEQLKSGTA SVVCLLNNFY PREAKVQWVK 150  
 DNALQSGNSQ E SVNTEQDSKD STYSLSSTLT LSKADYEKHK VYACEVTHQG 200  
 LSSPVTKSFN RGECA 214

## Post-translational modifications

Disulfide bridges location / Position des ponts disulfure / Posiciones de los puentes disulfuro

Intra-H (C23-C104) 22-96 146-202 263-323 369-427

22"-96" 146"-202" 263"-323" 369"-427"

Intra-L (C23-C104) 23"-88" 134"-194"

23"-88" 134"-194"

Inter-H-L (h 5-CL 126) 222-214" 222"-214"

Inter-H-H (h 11, h 14) 228-228" 231-231"

## N-glycosylation sites / Sites de N-glycosylation / Posiciones de N-glicosilación

H CH2 N84.4: 299, 299"

Fucosylated complex bi-antennary CHO-type glycans / glycanes de tipo CHO bi-antennaires complexes fucosylés / glicanos de tipo CHO biantenarios complejos fucosilados

**efarindodekinum alfa #**

efarindodekin alfa

Fc fragment of human immunoglobulin G1 (1-227)  
*[Homo sapiens* IGHG1\*01, hinge (1-10), CH2 N<sup>77</sup>>A (11-120), CH3 S<sup>134</sup>>C, T<sup>146</sup>>W (121-225), CHS K<sup>227</sup>>G (226-227)] fused via peptide linker  
 228GSGGSGGGSISSGLLSSGRSSGP<sup>248</sup> to human interleukin-12 subunit beta [IL-12B, cytotoxic lymphocyte maturation factor p40 (CLMF p40), IL-12 subunit p40, NK cell stimulatory factor 2 (NKSF2)] (1-306, 249-552 in the current sequence), variant (C<sup>252</sup>>S<sup>500</sup>, 259SKR<sup>261</sup>><sup>507</sup>DNT<sup>509</sup> 263KK<sup>264</sup>>del, D<sup>265</sup>>G<sup>511</sup>) fused via peptide linker  
 553GGGGSGGGGGSGGGGS<sup>567</sup> to human interleukin-12 subunit alpha [IL-12A, cytotoxic lymphocyte maturation factor p35 (CLMF p35), IL-12 subunit p35, NK cell stimulatory factor 1 (NKSF1)] (1-197, 568-764 in the current sequence); (6-6', 9-9', 134-129')-trisdisulfide bridged to Fc fragment of human immunoglobulin G1 (1'-227') [*Homo sapiens* IGHG1\*01, hinge (1'-10'), CH2 N<sup>77</sup>>A (11'-120'), CH3 Y<sup>129</sup>>C, T<sup>146</sup>>S, L<sup>148</sup>>A, Y<sup>187</sup>>V (121'-225'), CHS K<sup>227</sup>>G (226'-227')] fused via peptide linker 228GSGGGS<sup>234</sup> to human interleukin 12 receptor subunit beta 2 (IL12RB2) fragment (1-296, 235'-530' in the current sequence), variant (C<sup>219</sup>>S<sup>453</sup>), heterodimer, produced in Chinese hamster ovary (CHO) cells, cell line CHO-K1, glycoform alfa interleukin-12 (IL-12) analogue, antineoplastic

éfarindodékine alfa

fragment Fc de l'immunoglobuline humaine G1 (1-227) [*Homo sapiens* IGHG1\*01, charnière (1-10), CH2 N<sup>77</sup>>A (11-120), CH3 S<sup>134</sup>>C, T<sup>146</sup>>W (121-225), CHS K<sup>227</sup>>G (226-227)], fusionné à l'aide d'un coupleur peptidique  
<sup>228</sup>GSGGSGGSISSSGLLSGRSSGP<sup>248</sup> à la sous-unité bêta de l'interleukine-12 humaine [IL-12B, facteur de maturation des lymphocytes cytotoxiques lymphocyte p40 (CLMF p40), IL-12 sous-unité p40, facteur 2 de stimulation des cellules NK (NKSF2)] (1-306, 249-552 dans la séquence en cours), variant (C<sup>252</sup>>S<sup>500</sup>, <sup>259</sup>SKR<sup>261</sup>><sup>507</sup>DNT<sup>509</sup>, <sup>263</sup>KK<sup>264</sup>>del, D<sup>265</sup>>G<sup>511</sup>), fusionné à l'aide du coupleur peptidique  
<sup>553</sup>GGGGSGGGGGGGGGGS<sup>567</sup> à la sous-unité alpha de l'interleukine-12 humaine [IL-12A, facteur de maturation des lymphocytes cytotoxiques p35 (CLMF p35), IL-12 sous-unité p35, facteur 1 de stimulation des cellules NK (NKSF1)] (1-197, 568-764 dans la séquence en cours); (6'-6', 9'-, 134-129')-trisdisulfure ponté avec un fragment Fc de l'immunoglobuline G1 humaine (1'-227') [*Homo sapiens* IGHG1\*01, charnière (1'-10'), CH2 N<sup>77</sup>>A (11'-120'), CH3 Y<sup>129</sup>>C, T<sup>146</sup>>S, L<sup>148</sup>>A, Y<sup>187</sup>>V (121'-225'), CHS K<sup>227</sup>>G (226'-227')], fusionné à l'aide du coupleur peptidique  
<sup>228</sup>GSGGGSG<sup>234</sup> au fragment de la sous-unité bêta-2 du récepteur de l'interleukine-12 humaine (IL12RB2) (1-296, 235'-530' dans la séquence en cours), variante (C<sup>219</sup>>S<sup>453</sup>), hétérodimère, produit dans des cellules ovarianes de hamster chinois (CHO), ligne cellulaire CHO-K1, glicoforme alfa  
*analogue de l'interleukine-12 (IL-12), antinéoplasique*

efarindodekina alfa

fragmento Fc de inmunoglobulina humana G1 (1-227) [*Homo sapiens* IGHG1\*01, bisagra (1-10), CH2 N<sup>77</sup>>A (11-120), CH3 S<sup>134</sup>>C, T<sup>146</sup>>W (121-225), CHS K<sup>227</sup>>G (226-227)] fusionado a través de enlace peptídico  
<sup>228</sup>GSGGSGGSISSSGLLSGRSSGP<sup>248</sup> a la subunidad beta de la interleukina-12 humana [IL-12B, factor de maduración de linfocitos citotóxicos subunidad 40 kDa (CLMF p40), IL-12 subunidad p40, factor estimulador de células NK cadena 2 (NKSF2)] (1-306, 249-552 en la secuencia actual), variante (C<sup>252</sup>>S<sup>500</sup>, <sup>259</sup>SKR<sup>261</sup>><sup>507</sup>DNT<sup>509</sup>, <sup>263</sup>KK<sup>264</sup>>del, D<sup>265</sup>>G<sup>511</sup>) fusionado a través de enlace peptídico  
<sup>553</sup>GGGGSGGGGGGGGS<sup>567</sup> a la subunidad alfa de la interleukina-12 humana [IL-12A, factor de maduración de linfocitos citotóxicos subunidad 35 kDa (CLMF p35), IL-12 subunidad p35, factor estimulador de células NK cadena 1 (NKSF1)] (1-197, 568-764 en la secuencia actual); (6', 9', 134-129')-trisdisulfuro unido al fragmento Fc de la inmunoglobulina humana G1 (1'-227') [*Homo sapiens* IGHG1\*01, bisagra (1'-10'), CH2 N<sup>77</sup>>A (11'-120'), CH3 Y<sup>129</sup>>C, T<sup>146</sup>>S, L<sup>148</sup>>A, Y<sup>187</sup>>V (121'-225'), CHS K<sup>227</sup>>G (226'-227')], fusionado a través de un enlace peptídico  
<sup>228</sup>GSGGGSG<sup>234</sup> a la subunidad beta 2 del receptor humano de la interleukina 12 (IL12RB2) fragmento (1-296, 235'-530' en la secuencia actual), variante (C<sup>219</sup>>S<sup>453</sup>), heterodímero, producido en células ováricas de hámster Chino (CHO), línea celular CHO-K1, glicoforma alfa  
*análogo de la interleuquina-12 (IL-12), antineoplásico*

2922072-00-0

## Sequence / Séquence / Secuencia

## Fc-IL12B-IL12A

DKTHTCPCCP APELLGGPSV	FLFPPKPKDT	LMSRTPEVT	CVVVDVSHED	50	
PEVKFNWYVD	GVEVHNAKTK	PREEQY <del>A</del> STY	RVSVLTVLH	QDWLNGKEYK	100
CKVSNKALPA	PIEKTISKAK	GQPREPQVYT	LPPRDELTK	NQVSL <del>S</del> LVK	150
GFYPSDIAVE	WESNGQPENN	YKTPPVVLDS	DGSFFLYSKL	TVDKSRWQQG	200
NVFSCVMHHE	ALHNHYTQKS	LSSLSPCGGSG	GSGGSISSSGL	LGRSSGP <del>I</del> W	250
ELKKKDGVYVVE	LDWYPDAPGE	MVVLTCDTPE	EDGITWTLDQ	SSVELGSGKT	300
LTTQVKDFGD	AGQYTCCHKGG	EVLSSHSLLL	HKKEDGTWSTD	DILKDKQKEPK	350
NKTFRLCEAK	NYSGRFTCW	LTTISTDILF	SVKSSRGSSD	PQGVTCGAAT	400
LSAERVRGDN	KYEYESVECQ	EDSACPAEEE	SLPIEVMDA	VHHLKYENYT	450
SSFFIRDIK	PDPKPNLQLK	PLKNSRQVEV	SWEYPTWTST	PHSFSLTFS	500
VQVQGKDNT	GRVFTDJKTSA	TVICRKNAVI	SVRAQDRYYSS	SSWEWASVSS	550
CSGGGGSGGG	GSGGGGSRNLI	PVATDPGMF	PC1LHHSQNLL	RAVSNNLQKA	600
RQTLEFYPCT	SEEDIDHEDIT	KDKTSTVEAC	LPLELTKNES	CLNSRETSFI	650
TNGSCLASRK	TSFMMALCLS	SIYEDLKMYQ	VEFKTMNAKL	LMPDKRQIFL	700
DQNMLAVIDE	LHQALNFNSE	TVPQKSSLEE	PDFYKTKIKL	CILLHAFRIR	750
AVTIDRVMSY	LNAS				764

## Fc-IL12RB2 (\*)

DKTHTCPCCP APELLGGPSV	FLFPPKPKDT	LMSRTPEVT	CVVVDVSHED	50	
PEVKFNWYVD	GVEVHNAKTK	PREEQY <del>A</del> STY	RVSVLTVLH	QDWLNGKEYK	100
CKVSNKALPA	PIEKTISKAK	GQPREPQV <del>C</del> T	LPPRDELTK	NQVSL <del>S</del> AVK	150
GFYPSDIAVE	WESNGQPENN	YKTPPVVLDS	DGSFFLYSKL	TVDKSRWQQG	200
NVFSCVMHHE	ALHNHYTQKS	LSSLSPCGGSG	GSG <del>S</del> KIDACK	RGDVTVKPSH	250
VILLGSTVNI	TCSLSKPRQGC	FHYRSRNLKI	LYKFDRRINF	HHGHSLSNSQV	300
TGLPLGTTLF	VCKLACINSD	EIQICGAEIF	VGVVAPEQFQN	LSCIQKGEQG	350
TVACTTWERG	DTHLYTEYTL	QLSGFPKLWT	QKQCKDIYCD	YLDFGINLTP	400
ESPESNFTAK	VTAVNSLGSS	SSLPSTFTFL	DIVRPLPPWD	IRIKFQKAVS	450
SRSTFLWRDE	GLVLLNRLRY	RPSNSRLWNM	VNVITAKGRH	DLLDLKPFTE	500
YEQFISSKLH	LYKGWSWSDWS	ESLRAQTPEE			530

## Mutations / Mutaciones / Mutaciones

Fc-IL12B-IL12A: N<sup>77</sup>>~~A~~ S<sup>134</sup>>~~C~~ T<sup>146</sup>>~~W~~, K<sup>227</sup>>~~G~~, C<sup>252</sup>>~~S~~<sup>500</sup>, <sup>259</sup>SKR<sup>261</sup>><sup>507</sup>DNT<sup>509</sup>,  
263>KK<sup>264</sup>>del, D<sup>265</sup>>~~G~~<sup>211</sup>  
Fc-IL12RB2: N<sup>77</sup>>~~A~~, Y<sup>129</sup>>~~C~~, T<sup>146</sup>>~~S~~, L<sup>148</sup>>~~A~~, Y<sup>187</sup>>~~V~~, K<sup>227</sup>>~~G~~, C<sup>219</sup>>~~S~~<sup>453</sup>

## Peptide linker / Peptide liant / Péptido de unión

Fc-IL12B-IL12A: <sup>228</sup>GSGGGSGGSISSG~~L~~LSGRSSGP<sup>248</sup>, <sup>553</sup>GGGGGGGGGGGGGGGG<sup>567</sup>  
Fc-IL12RB2: <sup>228</sup>GSGGGSG<sup>234</sup>F

## Post-translational modifications

Disulfide bridges location / Position des ponts disulfure / Posiciones de los puentes disulfuro  
Intra Fc-IL12B-IL12A: 41-101, 147-205, 276-316, 357-368, 369-419, 425-641, 524-551,  
582-655, 609-741, 630-668

Intra Fc-IL12RB2: 41'-101', 147-205'

Inter Fc-IL12B-IL12A- Fc-IL12RB2: 6-6', 9-9', 134-129'

## N-glycosylation sites / Sites de N-glycosylation / Posiciones de N-glicosilación

IgG1 Fc-IL12B-IL12A: N351, N361, N448, N527, N638, N652, N762 (predicted)

IgG1 Fc-IL12RB2: N259', N340', N377', N406', N482' (predicted)

**efdelikofuspum alfa #**  
efdelikofusp alfa

human T-lymphocyte activation antigen CD80 (activation B7-1 antigen, CTLA-4 counter-receptor B7.1, CD80) extracellular domain containing fragment (1-208 in the current sequence) fused via peptide linker <sup>209</sup>GSGGGGGGGGGGGGG<sup>225</sup> to an Fc fragment of human immunoglobulin G4 (226-454) [*Homo sapiens*IGHG4\*01, hinge ins<sup>226</sup>>A, S<sup>236</sup>>P (226-238), CH2 F<sup>242</sup>>A, L<sup>243</sup>>A, T<sup>258</sup>>Q (239-348), CH3 M<sup>436</sup>>L (349-453), CHS K<sup>455</sup>>del (454)] fused via peptide linker <sup>455</sup>GGGG<sup>459</sup> to human interleukin-2 (IL-2, T-cell growth factor (TCGF)) (1-133, 460-592 in the current sequence), variant (R<sup>38</sup>>A<sup>497</sup>, F<sup>42</sup>>A<sup>501</sup>), dimer (234-234', 237-237')-bisdisulfide, produced in Chinese hamster ovary (CHO) cells, glycoform alfa *immunostimulant, antineoplastic*

## efdélikofusp alfa

fragment de l'antigène CD80 d'activation des lymphocytes T humains (antigène d'activation B7-1, contre récepteur B7.1 de CTLA-4, CD80) contenant le domaine extracellulaire (1-208 dans la séquence en cours), fusionné à l'aide d'un coupleur peptidique  
<sup>209</sup>GSGGGGSGGGGSGGGGS<sup>225</sup> à un fragment Fc de l'immunoglobuline G4 humaine (226-454) [*Homo sapiens*IGHG4\*01, charnière ins<sup>226</sup>>A, S<sup>236</sup>>P (226-238), CH2 F<sup>242</sup>>A, L<sup>243</sup>>A, T<sup>258</sup>>Q (239-348), CH3 M<sup>436</sup>>L (349-453), CHS K<sup>455</sup>>dél (454)], fusionné à l'aide d'un coupleur peptidique <sup>455</sup>GGGGS<sup>459</sup> à l'interleukine-2 humaine (IL-2, facteur de croissance des lymphocytes T (TCGF)) (1-133, 460-592 de la séquence en cours), variant (R<sup>38</sup>>A<sup>497</sup>, F<sup>42</sup>>A<sup>501</sup>), dimère (234-234', 237-237')-bisdisulfure, produit dans des cellules ovaries de hamster chinois, glycoforme alfa  
*immunostimulant, antinéoplasique*

## efdelikofusp alfa

fragmento del antígeno de activación de linfocitos T humanos CD80 (activación B7-1 antígeno, CTLA-4 contrarreceptor B7.1, CD80) que contiene el dominio extracelular (1-208 en la secuencia actual) fusionado a través de enlace peptídico  
<sup>209</sup>GSGGGGSGGGGSGGGGS<sup>225</sup> a un fragmento Fc de inmunoglobulina humana G4 (226-454) [*Homo sapiens*IGHG4\*01, bisagra ins<sup>226</sup>>A, S<sup>236</sup>>P (226-238), CH2 F<sup>242</sup>>A, L<sup>243</sup>>A, T<sup>258</sup>>Q (239-348), CH3 M<sup>436</sup>>L (349-453), CHS K<sup>455</sup>>dél (454)] fusionado a través de enlace peptídico <sup>455</sup>GGGGS<sup>459</sup> a una interleukina-2 humana (IL-2, factor de crecimiento de linfocitos T (TCGF)) (1-133, 460-592 en la secuencia actual), variante (R<sup>38</sup>>A<sup>497</sup>, F<sup>42</sup>>A<sup>501</sup>), dímero (234-234', 237-237')-bisdisulfuro, producido en células ováricas de hamster Chino (CHO), glicoforma alfa  
*inmunoestimulante, antineoplásico*

2922216-49-5

## Sequence / Séquence / Secuencia

VIHVTKEVKE	VATLSCGHNV	SVEELAQTRI	YWQKEKKMVL	TMMSGDMNIW	50
PEYKNRTIFD	ITNNLSIVIL	ALRPSDEGTY	ECVLVKYEKD	AFKREHLAEV	100
TLSVKADFPT	PSISDFEIPT	SNIRRIICST	SGGFPEPHLS	WLENGEELNA	150
INTTVSQDPT	TELYAVSSKL	DFNMTTNHSF	MCLIKYGHLR	VNQTFNWNTT	200
KQEHHFPDNGS	<u>GGGGSGGGGS</u>	<u>GGGGS</u> <b>AESKY</b>	<b>GPPCP</b> <u>PCPAP</u>	<b>EAAGGPSVFL</b>	250
FPPPKPD <b>QLM</b>	<b>ISRTPEVTCV</b>	<b>VVDVSQEDPE</b>	<b>VQFNWYVDGV</b>	<b>EVHNAKTKPR</b>	300
EEQFNSTYRV	VSVLTVLHQD	WLNGKEYKCK	VSNKGLPSSI	EKTISKAKGQ	350
PREPVQVTLP	<b>PSQEEMTKNQ</b>	<b>VSLTCLVKG</b>	<b>YPSDIAVEWE</b>	<b>SNGQPENNYK</b>	400
TTPPVLDSDG	<b>SFFLYSRLTV</b>	<b>DKSRSWQEGNV</b>	<b>FSCSVL</b> <u>HEAL</u>	<b>HNHYTQKSL</b>	450
<b>L</b> <u>SLGGGGSA</u>	<b>PTSSSTKKTQ</b>	<b>LQLEHLLLQL</b>	<b>QMILNGINNY</b>	<b>KNPKLT</b> <u>AMLT</u>	500
<b>A</b> <u>KFYMPKKAT</u>	<b>ELKHIIQCLEQ</b>	<b>ELKPLETEEVLN</b>	<b>LAQSKNFHLR</b>	<b>PRDLISINV</b>	550
IVLELGKSET	TFMCYEADET	ATIVEFLNRW	ITFCQSIIST	LT	592

## Mutations / Mutations / Mutaciones

ins<sup>226</sup>>**A**, S<sup>236</sup>>**P**, F<sup>242</sup>>**A**, L<sup>243</sup>>**A**, T<sup>258</sup>>**Q**, M<sup>436</sup>>**L**, K<sup>455</sup>>del, R<sup>38</sup>>**A**<sup>497</sup>, F<sup>42</sup>>**A**<sup>501</sup>

## Peptide linker / Peptide liant / Peptido de unión

<sup>209</sup>GSGGGSGGGSGGGGS<sup>225</sup>, <sup>455</sup>GGGGS<sup>459</sup>

## Post-translational modifications

Disulfide bridges location / Position des ponts disulfure / Posiciones de los puentes disulfuro

Intra chain: 16-82, 128-182, 269-329, 375-433, 517-564,

16'-82', 128'-182', 269'-329', 375'-433', 517'-564'

Inter chain: 234-234', 237-237'

## N-glycosylation sites / Sites de N-glycosylation / Posiciones de N-glicosilación

N19, N55, N64, N152, N173, N177, N192, N198, N305,

N19', N55', N64', N152', N173', N177', N192', N198', N305'

## O-glycosylation sites / Sites de O-glycosylation / Posiciones de O-glicosilación

S220, T462, S220', T462'

**efdoralprinum alfa #**

efdoralprin alfa

human alpha-1-antitrypsin (alpha-1 protease inhibitor, serpin A1, AAT) (1-394), variant (M<sup>351</sup>>E, M<sup>358</sup>>L) fused via peptide linker <sup>395</sup>GS<sup>396</sup> to an Fc fragment of human immunoglobulin G4 (397-625) [*Homo sapiens* IGHG4\*01, hinge S<sup>406</sup>>P (397-408), CH2 L<sup>413</sup>>E, M<sup>430</sup>>Y (409-518), CH3 M<sup>606</sup>>L (519-623), CHS (624-625)]; dimer (404-407', 407-404')-bisdisulfide, produced in Chinese hamster ovary (CHO) cells, cell line CHO DG44, glycoform alfa  
*alpha-1 antitrypsin homologue*

efdoralprine alfa

alpha-1-antitrypsine humaine (inhibiteur de la protéase alpha-1, serpine A1, AAT), (1-394), variant (M<sup>351</sup>>E, M<sup>358</sup>>L), fusionnée par le coupleur dipeptidique <sup>395</sup>GS<sup>396</sup> à un fragment Fc de l'immunoglobuline G4 humaine (397-625) [*Homo sapiens* IGHG4\*01, charnière S<sup>406</sup>>P (397-408), CH2 L<sup>413</sup>>E, M<sup>430</sup>>Y (409-518), CH3 M<sup>606</sup>>L (519-623), CHS (624-625)]; dimère (404-407', 407-404')-bisdisulfure, produite dans des cellules ovariennes de hamster chinois (CHO), lignée cellulaire CHO DG44, glycoforme alfa  
*homologue de l'alpha-1 antitrypsine*

efdoralprina alfa

alfa-1 antitripsina humana (inhibidor de la protease alfa-1, serpina A1) (1-394), variante (M<sup>351</sup>>E, M<sup>358</sup>>L) fusionada a través de un enlace peptídico <sup>395</sup>GS<sup>396</sup> a un fragmento Fc de inmunoglobulina humana G4 (397-625) [*Homo sapiens* IGHG4\*01, bisagra S<sup>406</sup>>P (397-408), CH2 L<sup>413</sup>>E, M<sup>430</sup>>Y (409-518), CH3 M<sup>606</sup>>L (519-623), CHS (624-625)]; dímero (404-407', 407-404')-bisdisulfuro, producido en células ováricas de hamster Chino (CHO), línea celular CHO DG44, glicoforma alfa  
*homólogo de la antitripsina alfa-1*

2539844-42-1

Sequence / Séquence / Secuencia

alpha-1-antitrypsin-IgG4 Fc  
**EDPQGDAAQK TDTSHHDQDH PTFNKITPNL AEFAFSLYRQ LAHQSNSTNI 50**  
**FFSPVSIATA FAMLSLGTKA DTHDEILEGL NFNLTIEPEA QIHEGFQELL 100**  
**RTLNQPDSQL QLTTGNGLFL SEGLKLVDKF LEDVKKKLYHS EAFTVNFGDT 150**  
**EEAKKQINDY VEKGQTQKIV DLVKELDRD PTVALVNYYIFF KGKWERPFEV 200**  
**KDTEEEFDHV DQVTTVKVPM MKRLGMFNIQ HCKKLSSWVL LMKYLGNATA 250**  
**IFFFLPDEGKL QHLENELTHD IIITKFLENED RRSASLHLPLK LSITGTYDLK 300**  
**SVLGQIGITK VFNSNGADLSG VTEEAPlKLS KAVHKAVLTI DEKGTEAAGA 350**  
**EFLLEAIPLSI PPEVKFKNPF VFLMIBQNTK SPLFMGKVNN PTQR<sub>GSESKY</sub> 400**  
**GPPCP<sub>C</sub>PAP EFE<sub>G</sub>GPSVFL FP<sub>P</sub>PKPDKTLY ISRTPEVTCV VVDVSQEDPE 450**  
**VQFNWYVDGV EVHNAKTKPR EEQFNSTYRV VSVLTVLHQD WLNGKEYKCK 500**  
**VSNKGLPSSI EKTISKAKGQ PREPVQVYTL<sub>P</sub> PSQEEMTKNQ VSLTCLVKGF 550**  
**YPSDIAVEWE SNGQPNENYK TTTPVLDSDG SFFLYSRLTV DKSRWQEGNV 600**  
**FSCSV<sub>L</sub>HEAL HNHYTQKSLS LSLGK 625**

Mutations / Mutations / Mutaciones

M<sup>351</sup>>E, M<sup>358</sup>>L, S<sup>406</sup>>P, L<sup>413</sup>>E, M<sup>430</sup>>Y, M<sup>606</sup>>LPeptide linker / Peptide liant / Péptido de unión  
<sup>395</sup>GS<sup>396</sup>**Post-translational modifications**

Disulfide bridges location / Position des ponts disulfure / Posiciones de los puentes disulfuro

Intra chain: 439-499, 545-603, 439'-499', 545'-603'

Inter chain: 404-407; 407-404'

N-glycosylation sites / Sites de N-glycosylation / Posiciones de N-glicosilación  
 alpha-1-antitrypsin: N46, N83, N247, N46', N83', N247'  
 IgG4 Fc: N475, N475'

C-terminal lysine clipping / Coupe de la lysine C-terminale / Recorte de lisina C-terminal  
 625, 625'

**efgitasialasum alfa #**  
efgitasialase alfa

human sialidase-2 (*N*-acetyl-alpha-neuraminidase 2, exo-alpha-sialidase, cytosolic sialidase, EC:3.2.1.18) (1-380), variant (M<sup>1>D</sup>, V<sup>6>Y</sup>, P<sup>62>G</sup>, A<sup>93>E</sup>, I<sup>187>K</sup>, C<sup>332>A</sup>) fused to an Fc fragment of human immunoglobulin G1 (381-612 in the current sequence) [*Homo sapiens* IGHG1\*03, hinge (381-395), CH2 (396-505), CH3 (506-610), CHS (611-612)], dimer (391-391', 394-394')-bisdisulfide, produced in Chinese hamster ovary (CHO) cells, derived from the cell line CHO-K1, glycoform alfa  
*antineoplastic*

## efgitasialase alfa

sialidase-2 humaine (*N*-acétyle-alpha-neuraminidase de type 2, exo-alpha-sialidase, sialidase cytosolique, EC:3.2.1.18) (1-380), variante (M<sup>1>D</sup>, V<sup>6>Y</sup>, P<sup>62>G</sup>, A<sup>93>E</sup>, I<sup>187>K</sup>, C<sup>332>A</sup>), fusionnée à un fragment Fc de l'immunoglobuline G1 humaine (381-612 dans la séquence en cours) [*Homo sapiens* JGHG1\*03, charnière (381-395), CH2 (396-505), CH3 (506-610), CHS (611-612), dimère (391-391', 394-394')-bisdisulfure, produite dans des cellules ovaries de hamster chinois (CHO), dérivant de la lignée cellulaire CHO-K1, glycoforme alfa  
*antineoplastique*

## efgitasialasa alfa

sialidasa-2 humana (*N*-acetil-alfa-neuraminidasa 2, exo-alfa-sialidasa, sialidasa citosólica, EC:3.2.1.18) (1-380), variante (M<sup>1>D</sup>, V<sup>6>Y</sup>, P<sup>62>G</sup>, A<sup>93>E</sup>, I<sup>187>K</sup>, C<sup>332>A</sup>) fusionada a un fragmento Fc de la inmunoglobulina G1 (381-612 en la secuencia actual) [*Homo sapiens* IGHG1\*03, bisagra (381-395), CH2 (396-505), CH3 (506-610), CHS (611-612)], dímero (391-391', 394-394')-bisdisulfuro, producido en células ováricas de hámster Chino (CHO) K1-A4, glicoforma alfa  
*antineoplásico*

2891502-37-5

## Sequence / Séquence / Secuencia

DASLY <b>Y</b> LQE SVFQSGAHAY RIPALLYLPG QQSLLAFABEQ RASKKDEHAE	50
LIVLRRGDYD <b>A</b> THQVQWQA QEVVAQARLD GHRSMNP CPL Y <b>E</b> QTGTFL	100
FFIAIPGQVT EQQLQLQTRAN VTRLCQVIST DHGRTWSSPR DLTDAAIGPA	150
YREWSTFAVG PGHCLQLHDR ARSLVVPPAYA YRKLHP <b>K</b> QRP IPSAFCFLSH	200
DHGRTWARGH FVAQDTLECQ VAEVETGEQR VVTLNARSHL RARVQAQSTN	250
DGLDFQESQL VRKKLVEEPPQ GCQGSVISFP SPRSGFGSPA QWLLYTHPTH	300
SWQRADLGAY INRPRPAPAEA WSEPVLLAKG <b>S</b> AYSDSLQSM GTGPDGSPLF	350
GCLYEANDYE EIVFLMFTLQ QAFFAEYLQP <b>E</b> PKSSDKTHTT <b>C</b> PPCPAPELL	400
GGPSVFLFPP KPKDTLMISR TPEVTCVVVD VSHEDPEVKF NWYVVDGVEVH	450
NAKTKPREEQ YNSTYRVSV LTVLHQDWLN GKEYKCKVSN KALPAPIEK	500
ISKAKGQPRE PQVYTLPPSK EEMTKNQVSL TCLVKGFYPS DIAVEWESNG	550
QPENNYKTTP PVLDSDGSFF LYSKLTVDKS RWQQGNVFSC SVMHEALHNH	600
YTQKSLSLSP <b>G</b> K	612

## Mutations / Mutaciones / Mutaciones

M<sup>1>D</sup>, V<sup>6>Y</sup>, P<sup>62>G</sup>, A<sup>93>E</sup>, I<sup>187>K</sup>, C<sup>332>A</sup>

## Post-translational modifications

Disulfide bridges location / Position des ponts disulfure / Posiciones de los puentes disulfuro

Intra chain: 88-164, 196-219, 426-486, 532-590,

88'-164', 196'-219', 426'-486', 532'-590'

Inter chain: 391-391', 394-394'

## N-glycosylation sites / Sites de N-glycosylation / Posiciones de N-glicosilación

N120, N462, N120', N462'

C-terminal lysine clipping / Coupure de la lysine C-terminale / Recorte de lisina C-terminal  
612, 612'

**efmedaglutidum alfa #**

efmedaglutide alfa

human glucagon-like peptide-1 (GLP-1) (7-37, 1-31 in the current sequence), variant ( $A^8>G^2$ ), fused to a hybrid Fc fragment of human immunoglobulin delta/gamma 4 (32-286) [*Homo sapiens* IGHD\*01 (hinge (32-68), CH2 (69-78)), *Homo sapiens* IGHG4\*01 (CH2 (79-179), CH3 (180-284), CHS (285-286))], dimer (70-70')-disulfide, produced in Chinese hamster ovary (CHO) cells, cell line CHO DG44, glycoform alfa  
*glucagon-like peptide 1 (GLP-1) receptor agonist*

efmédaglutide alfa

peptide-1 de type glucagon (GLP-1) humain (7-37, 1-31 dans la séquence en cours), variant ( $A^8>G^2$ ), fusionné à un fragment Fc hybride de l'immunoglobuline delta/gamma 4 humaine (32-286) [*Homo sapiens* IGHD\*01 (charnière (32-68), CH2 (69-78), *Homo sapiens* IGHG4\*01, CH2 (79-179), CH3 (180-284), CHS (285-286))], dimère (70-70')-disulfure, produit dans des cellules ovariennes de hamster chinois (CHO), lignée cellulaire CHO DG44, glycoforme alfa  
*agoniste du récepteur du peptide 1 de type glucagon (GLP-1)*

efmedaglutida alfa

péptido-1 similar al glucagón (GLP-1) humano (7-37, 1-31 en la secuencia actual), variante ( $A^8>G^2$ ), fusionado al fragmento Fc híbrido de la inmunoglobulina humana delta/gamma 4 (32-286) [*Homo sapiens* IGHD\*01 (bisagra (32-68), CH2 (69-78)), *Homo sapiens* IGHG4\*01 (CH2 (79-179), CH3 (180-284), CHS (285-286))], dímero (70-70')-disulfuro, producido en células ováricas de hámster Chino (CHO), lignée celularia CHO DG44, glicoforma alfa  
*agonista del receptor del péptido 1 similar al glucagón (GLP-1)*

2919801-97-9

Sequence / Séquence / Secuencia

<b>H</b> <del>E</del> <b>G</b> <del>T</del> <b>F</b> <del>T</del> <b>S</b> <b>D</b> <b>V</b>	<b>S</b> <b>S</b> <b>Y</b> <b>L</b> <b>E</b> <b>G</b> <b>Q</b> <b>A</b> <b>A</b> <b>K</b>	<b>E</b> <b>F</b> <b>I</b> <b>A</b> <b>W</b> <b>L</b> <b>V</b> <b>K</b> <b>G</b> <b>R</b>	<b>G</b> <b>A</b> <b>K</b> <b>A</b> <b>T</b> <b>T</b> <b>A</b> <b>P</b> <b>A</b> <b>T</b>	TRNTGRGGE	50
KKKEKEKEEQ	EERETKTPEC	PSHTQPLGVF	LFPFPKPKDTL	MISRTPEVTC	100
VVVVDVSQEDP	EVQFNWYVDG	VEVHNAKTRP	REEQFNSTYR	VVSVLTVLHQ	150
DWLNGKEYKC	KVSNKGLPSS	IEKTISKAKG	QPREPVQVYTL	PPSQEEMTKN	200
QVSLTCLVKG	FYP PSDIAVEW	ESNGQFENNY	KTPPPVLDSD	GSFFFLYSRIT	250
VDKSRWQEGN	VFSCSVMHEA	LHNHYTQKSL	SLSLGK		286

Mutation / Mutation / Mutación

 $A^8>\underline{G}^2$ **Post-translational modifications**

Disulfide bridges location / Position des ponts disulfure / Posiciones de los puentes disulfuro

Intra chain: 100-160, 206-264, 100'-160', 206'-264'

Inter chain: 70-70'

N-glycosylation sites / Sites de N-glycosylation / Posiciones de N-glicosilación  
N136, N136'O-glycosylation sites / Sites de O-glycosylation / Posiciones de O-glicosilación  
T5, T35, T36, T40, T41, T5', T35', T36', T40', T41'C-terminal lysine clipping / Coupure de la lysine C-terminale / Recorte de lisina C-terminal  
286, 286'

**efsubaglutidum alfa #**

**efsubaglutide alfa** glucagon-like peptide-1-immunoglobulin G2 fusion protein:  
 {[2-glycine,16-L-glutamic acid,30-glycine][human glucagon-like peptide 1-(7-37)-peptide] {(8-A>G,22-G>E,36-R>G)-GLP-1(7-37)} (1-31)}-[SSGAPPPSGGGGS linker (32-44)]-[human immunoglobulin G2 Fc fragment (h-CH2-CH3-CHS domains [*Homo sapiens*]IGHG2\*01 (hinge C<sup>48</sup>>S (45-56), CH2 A<sup>155</sup>>S, P<sup>156</sup>>S (57-165),CH3 (166-270), CHS K<sup>272</sup>>del (271)) (45-271)] fusion protein, dimer (49-49':52-52':55-55':86-146'-146':192-250:192'-250')-heptakisdisulfide, produced in Chinese hamster ovary cells (CHO), glycoform alfa  
*glucagon-like peptide 1 (GLP-1) receptor agonist*

**efsubaglutide alfa** protéine de fusion entre le peptide 1 semblable au glucagon et l'immunoglobuline G2;  
 {[2-glycine,16-L-acid glutamique,30-glycine][peptide 1 semblable au glucagon humain-(7-37)] {(8-A>G,22-G>E,36-R>G)-GLP-1(7-37)} (1-31)}-[SSGAPPPSGGGGS coupleur (32-44)]-[fragment Fc de l'immunoglobuline G2 humaine (domaines h-CH2-CH3-CHS [*Homo sapiens*]IGHG2\*01 (charnière C<sup>48</sup>>S (45-56), CH2 A<sup>155</sup>>S, P<sup>156</sup>>S (57-165),CH3 (166-270), CHS K<sup>272</sup>>del (271)) (45-271)] protéine de fusion, dimère (49-49':52-52':55-55':86-146'-146':192-250:192'-250')-heptakisdisulfure, produit dans des cellules ovarianes de hamster chinois (CHO), glicoforme alfa  
*agoniste du récepteur du peptide 1 de type glucagon (GLP-1)*

**efsubaglutida alfa** proteína de fusión entre el peptido 1 semblable al glucagon y la inmunoglobulina G2;  
 {[2-glicina,16-L-ácido glutámico,30-glicina][péptido 1 similar al glucagón humano-(7-37)] {(8-A>G,22-G>E,36-R>G)-GLP-1(7-37)} (1-31)}-[SSGAPPPSGGGGS enlace (32-44)]-[fragmento Fc de la inmunoglobulina G2 humana (dominios h-CH2-CH3-CHS [*Homo sapiens*]IGHG2\*01 (bisagra C<sup>48</sup>>S (45-56), CH2 A<sup>155</sup>>S, P<sup>156</sup>>S (57-165),CH3 (166-270), CHS K<sup>272</sup>>del (271)) (45-271)] proteína de fusión, dímero (49-49':52-52':55-55':86-146'-146':192-250:192'-250')-heptakisdisulfuro, producido en las células ováricas de hamster chino (CHO), glicoforma alfa  
*agonista del receptor del péptido 1 similar al glucagón (GLP-1)*

2803875-75-2

## Monomer / Monomère / Monomero

```

HEGEGTFTSDV SSYLEEQAAK EFIAWLVKG GSSGAPPPSG GGGSERKSCV 50
ECPPCPAPPV AGPSVFLFP P KPKDTLMISR TPEVTCVVVD VSHEDPEVQF 100
NWYVDGVEVH NAKTKPREEQ FNSTFRVSV LTVVHQDWLN GKEYKCKVSN 150
KGLPSIEKT ISKTKGQPR PQVYTLPPSR EEMTKNQVSL TCLVKGFYPS 200
DIAVEWESNG QPENNYKTTP PMLDSDGSFF LYSKLTVDKS RWQQGNVFSC 250
SVMHEALHNH YTQKSLSLSP G 271

```

## Mutation / Mutation / Mutación

A<sup>2</sup>>**G**, G<sup>16</sup>>**E**, R<sup>30</sup>>**G**, C<sup>48</sup>>**S**, A<sup>155</sup>>**S**, P<sup>156</sup>>**S**, K<sup>272</sup>>del  
 A<sup>2</sup>>**G**, G<sup>16</sup>>**E**, R<sup>30</sup>>**G**, C<sup>48</sup>>**S**, A<sup>155</sup>>**S**, P<sup>156</sup>>**S**, K<sup>272</sup>>del

## Peptide linker / Peptide liant / Péptido de unión

<sup>32</sup>SSGAPPPSGGGGS<sup>44</sup>

## Post-translation modifications

Disulfide bridges location / Position des ponts disulfure / Posiciones de los puentes disulfuro

Intra-chain: 86-146, 86'-146', 192-250, 192'-250'

Inter-chain: 49-49', 52-52', 55-55'

## N-glycosylation sites / Sites de N-glycosylation / Posiciones de N-glicosilación

N<sup>122</sup>, N<sup>122'</sup>

**efsudenerminum alfa #**

- efsudenermin alfa Fc fragment of human immunoglobulin G1 (1-226) [*Homo sapiens* IGHG1\*01, (1-9), CH2 (10-119), CH3 (120-224), CHS (225-226)] fused to human ectodysplasin-A (ectodermal dysplasia protein, EDA protein, ED1) fragment (238-391, 227-380 in the current sequence), hexamer (5'-5', 8-8', 5"-5'', 8"-8'', 5""-5''', 8""-8"")-bisdisulfide, produced in Chinese hamster ovary (CHO) cells, cell line CHO-S, glycoform alfa *protein replacement therapy (ectodermal dysplasia)*
- efsudénermine alfa fragment Fc de l'immunoglobine G1 humaine (1-226) [*Homo sapiens* IGHG1\*01, (1-9), CH2 (10-119), CH3 (120-224), CHS (225-226)] fusionné avec l'ectodysplasine-A humaine (protéine de la dysplasie ectodermique, protéine EDA, ED1) fragment (238-391, 227-380 dans la séquence en cours), hexamère (5'-5', 8-8', 5"-5'', 8"-8'', 5""-5''', 8""-8"")-bisdisulfure, produit dans les cellules ovarianes de hamster chinois (CHO), lignée cellulaire CHO-S, glicoforme alfa *thérapie de substitution protéique (dysplasie ectodermique)*
- efsudenermina alfa fragmento Fc de inmunoglobulina humana G1 (1-226) [*Homo sapiens* IGHG1\*01, (1-9), CH2 (10-119), CH3 (120-224), CHS (225-226)] fusionada a la ectodisplasina-A humana (proteína de displasia ectodérmica, proteína EDA, ED1) fragmento (238-391, 227-380 en la secuencia actual), hexámero (5'-5', 8-8', 5"-5'', 8"-8'', 5""-5''', 8""-8"")-bisdisulfuro, producido en células ováricas de hámster Chino (CHO), línea celular CHO-S, glicoforma alfa *terapia de reemplazo protéico (displasia ectodérmica)*

2769701-94-0

Sequence / Séquence / Secuencia

IgG1 Fc - EDA

KTHTCPCPA	PELLGGPSVE	LFPPKPKDTL	MISRTPEVTC	VVVDVSHEDP	50
EVKFNWYVDG	VEVHNAKTPF	REEQYNSTYR	VVSVLTVLHQ	DWLNGKEYKC	100
KVSNKALPAP	IETKTISKAKG	QPREPOVYTL	PPSRDELTKN	QVSLTCLVKRG	150
FYPSDIAVEW	ESNGQPENNY	KTPPPVLDSL	GSFFLYSKLT	VDKSRWQQGN	200
VFSCSVMVHEA	LHNHYTQKSLS	SLSPGKADKA	GTRENQPAVV	HLQGQGSIAQ	250
VKNDSLGGVIL	NDSWSRITMMN	KVFKLHPSRG	ELEVLDGTY	FIYSQVEVYY	300
INFTDFASYE	VVVDKEPKFLQ	CTRSIETGKT	NYNTCYTAGV	CLLKARQKIA	350
VKMVHADISI	NMSKHTTFFG	AIRLGEEAPAS			380

**Post-translational modifications**

Disulfide bridges location / Position des ponts disulfure / Posiciones de los puentes disulfuro  
 Intra chain: 40-100, 146-204, 321-335, 40"-100", 146"-204", 321"-335"  
 40"-100", 146"-204", 321"-335". 40"-100", 146"-204", 321"-335"  
 40""-100""", 146""-204""", 321""-335""", 40"""-100""", 146"""-204""", 321""-335"""  
 Inter chain: 5-5', 8-8', 5"-5'', 8"-8'', 5""-5''', 8""-8""'

N-glycosylation sites / Sites de N-glycosylation / Posiciones de N-glicosilación  
 76, 302; 76', 302'; 76", 302"; 76", 302"'; 76", 302""", 76"""", 302"""

**efzilonkofuspum alfa #**

- efzilonkofusp alfa human T-lymphocyte activation antigen CD80 (activation B7-1 antigen, CTLA-4 counter-receptor B7.1, CD80) extracellular domain containing fragment (1-208 in the current sequence) fused via peptide linker <sup>209</sup>GSGGGGSGGGGSGGGGS<sup>225</sup> to an Fc fragment of human immunoglobulin G4 (226-454) [*Homo sapiens* IGHG4\*01, hinge ins<sup>226</sup>>A, S<sup>236</sup>>P (226-238), CH2 F<sup>242</sup>>A, L<sup>243</sup>>A, T<sup>258</sup>>Q (239-348), CH3 M<sup>436</sup>>L (349-453), CHS K<sup>455</sup>>del (454)] fused via peptide linker <sup>455</sup>GGGGS<sup>459</sup> to human interleukin-2 (IL-2, T-cell growth factor (TCGF)) (1-133, 460-592 in the current sequence), variant (R<sup>38</sup>>A<sup>497</sup>, F<sup>42</sup>>A<sup>501</sup>, E<sup>61</sup>>R<sup>520</sup>) dimer (234-234', 237-237')-bisdisulfide, produced in Chinese hamster ovary (CHO) cells, glycoform alfa *immunostimulant, antineoplastic*

efzilonkofusp alfa	fragment de l'antigène CD80 d'activation des lymphocytes T humains (antigène d'activation B7-1, contre récepteur B7.1 de CTLA-4, CD80) contenant le domaine extracellulaire (1-208 dans la séquence en cours), fusionné à l'aide d'un coupleur peptidique <sup>209</sup> GSGGGGSGGGGSGGGGS <sup>225</sup> à un fragment Fc de l'immunoglobuline G4 humaine (226-454) [ <i>Homo sapiens</i> IGHG4*01, charnière ins <sup>226</sup> >A, S <sup>236</sup> >P (226-238), CH2 F <sup>242</sup> >A, L <sup>243</sup> >A, T <sup>258</sup> >Q (239-348), CH3 M <sup>436</sup> >L (349-453), CHS K <sup>455</sup> >dél (454)], fusionné à l'aide d'un coupleur peptidique <sup>455</sup> GGGGS <sup>459</sup> à l'interleukine-2 humaine (IL-2, facteur de croissance des lymphocytes T (TCGF)) (1-133, 460-592 de la séquence en cours), variant (R <sup>38</sup> >A <sup>497</sup> , F <sup>42</sup> >A <sup>501</sup> , E <sup>61</sup> >R <sup>520</sup> ), dimère (234-234', 237-237')-bisisulfure, produit dans des cellules ovarianes de hamster chinois, glicoforme alfa <i>immunostimulant, antinéoplasique</i>
efzilonkofusp alfa	fragment del antígeno de activación de linfocitos T humanos CD80 (antígeno deactivación B7-1, CTLA-4 contrarreceptor B7.1, CD80) que contiene el dominio extracelular (1-208 en la secuencia actual) fusionado a través del enlace peptídico <sup>209</sup> GSGGGGSGGGGSGGGGS <sup>225</sup> a un fragmento Fc de la inmunoglobulina G4 humana (226-454) [ <i>Homo sapiens</i> IGHG4*01, bisagra ins <sup>226</sup> >A, S <sup>236</sup> >P (226-238), CH2 F <sup>242</sup> >A, L <sup>243</sup> >A, T <sup>258</sup> >Q (239-348), CH3 M <sup>436</sup> >L (349-453), CHS K <sup>455</sup> >del (454)] fusionada a través de enlace peptídico <sup>455</sup> GGGGS <sup>459</sup> a la interleukina-2 humana (IL-2, factor de crecimiento de linfocitos T (TCGF)) (1-133, 460-592 en la secuencia actual), variante (R <sup>38</sup> >A <sup>497</sup> , F <sup>42</sup> >A <sup>501</sup> , E <sup>61</sup> >R <sup>520</sup> ) dímero (234-234', 237-237')-bisisulfuro, producido en células ováricas de hámster Chino (CHO), glicoforma alfa <i>inmunoestimulante, antineoplásico</i>

2922216-50-8

## Sequence / Séquence / Secuencia

VIHVTKEVKE VATLSCGHNV SVEELAQTRI YWQKEKKMVL TMMMSGDMNIW	50
PEYKNRTIFD ITNNLSIVIL ALRPSDEGTY ECVVLUKYEKD AFKREHLAEV	100
TLSVKADPFT PSISDFEIPN SNIRRIICST SGGFPPEPHLS WLNGEELNA	150
INTVSDQPE TELYAVSSKL DFNMNTTNHSF MCLIKYGHLR VNQTFNWNTT	200
KQEHPFDNGS <u>GGGGSGGGGS</u> <u>GGGGS</u> AESKY GPPCP <u>PCPAP</u> EAAGGFSVFL	250
FPPFKPKDQLM ISRTPEVTCV VVDVSQEDPE VQFNWVYDGV EVHNAKTKPR	300
EEQFNSTYRV VSVLTVLHQD WLNGKEYKCK VSFNKGLPSSI EKTISKAKGQ	350
PREPQVYTLPS PQSQEMTKNQ VSLTCLVKGF YPSDIAVEWE SNGQPENNYK	400
TPPPVLDSDG SFFLYSRLTV DKSRSWQEGNV FSCSV <u>LHEAL</u> HNHYTQKSL	450
<u>L</u> SLIG <u>GGGGSA</u> PTSSTKKTQ LQLEHLLLDL QMILNGINNY KNPKLT <u>A</u> MLT	500
<u>A</u> KFYMPKKAT ELKHLQCLER ELKPLEEVLN LAQSKNFHLR PRDLISINV	550
IVLELGKSET TFMCEYADET ATIVEFLNRW ITFCQSIIST LT	592

## Mutations / Mutations / Mutaciones

ins<sup>226</sup>>A, S<sup>236</sup>>P, F<sup>242</sup>>A, L<sup>243</sup>>A, T<sup>258</sup>>Q, M<sup>436</sup>>L, K<sup>455</sup>>del, R<sup>38</sup>>A<sup>497</sup>, F<sup>42</sup>>A<sup>501</sup>, E<sup>61</sup>>R<sup>520</sup>

## Peptide linker / Peptido liant / Péptido de unión

<sup>209</sup>GSGGGGSGGGGSGGGGS<sup>225</sup>, <sup>455</sup>GGGGS<sup>459</sup>

## Post-translational modifications

Disulfide bridges location / Position des ponts disulfure / Posiciones de los puentes disulfuro

Intra chain: 16-82, 128-182, 269-329, 375-433, 517-564,

16'-82', 128'-182', 269'-329', 375'-433', 517'-564'

Inter chain: 234-234', 237-237'

## N-glycosylation sites / Sites de N-glycosylation / Posiciones de N-glicosilación

N19, N55, N64, N152, N173, N177, N192, N198, N305,

N19', N55', N64', N152', N173', N177, N192', N198', N305'

## O-glycosylation sites / Sites de O-glycosylation / Posiciones de O-glicosilación

S220, T462, S220', T462'

**eloralintidum**

eloralintide

$S^2, S^7$ -methylene[ $L$ - $\gamma$ -glutamyl- $L$ -cysteinyl- $L$ -asparaginyl- $L$ -threonyl- $L$ -alanyl- $L$ -threonyl- $L$ -cysteinyl- $L$ -alanyl- $L$ -threonylglycyl- $L$ -ornithyl- $L$ -leucyl- $L$ -alanyl- $L$ - $\alpha$ -glutamyl- $\alpha$ -methyl- $L$ -phenylalanyl- $L$ -leucyl- $L$ -valyl- $L$ -arginyl- $L$ -seryl- $L$ -seryl- $L$ -asparaginyl- $N^2$ -methyl- $L$ -asparaginyl- $L$ -phenylalanylglycyl- $L$ -prolyl- $N^6$ -[ $N$ -(19-carboxynonadecanoyl)- $L$ - $\gamma$ -glutamyl- $L$ - $\gamma$ -glutamyl]- $L$ -lysyl- $L$ -leucyl- $L$ -prolyl- $L$ -prolyl- $L$ -threonyl- $L$ - $\alpha$ -glutamyl- $L$ -valylglycyl- $L$ -seryl- $L$ -asparaginyl- $L$ -threonyl- $L$ -tyrosinamide]  
*amylin analogue*

éloralintide

$S^2, S^7$ -méthylène[ $L$ - $\gamma$ -glutamyl- $L$ -cystéinyl- $L$ -asparaginyl- $L$ -thréonyl- $L$ -alanyl- $L$ -thréonyl- $L$ -cystéinyl- $L$ -alanyl- $L$ -thréonylglycyl- $L$ -ornithyl- $L$ -leucyl- $L$ -alanyl- $L$ - $\alpha$ -glutamyl- $\alpha$ -méthyl- $L$ -phénynalanyl- $L$ -leucyl- $L$ -valyl- $L$ -arginyl- $L$ -séryl- $L$ -séryl- $L$ -asparaginyl- $N^2$ -méthyl- $L$ -asparaginyl- $L$ -phénynalanylglycyl- $L$ -prolyl- $N^6$ -[ $N$ -(19-carboxynonadécacnoyl)- $L$ - $\gamma$ -glutamyl- $L$ - $\gamma$ -glutamyl]- $L$ -lysyl- $L$ -leucyl- $L$ -prolyl- $L$ -prolyl- $L$ -thréonyl- $L$ - $\alpha$ -glutamyl- $L$ -valylglycyl- $L$ -séryl- $L$ -asparaginyl- $L$ -thréonyl- $L$ -tyrosinamide]  
*analogue de l'amyline*

eloralintida

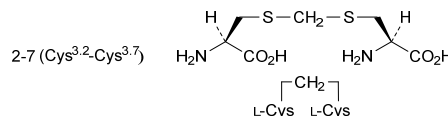
$S^2, S^7$ -metíleno[ $L$ - $\gamma$ -glutamil- $L$ -cisteinil- $L$ -asparaginil- $L$ -treonil- $L$ -alanil- $L$ -treonil- $L$ -cisteinil- $L$ -alanil- $L$ -treonilglicil- $L$ -ornitil- $L$ -leucil- $L$ -alanil- $\alpha$ -glutamil- $\alpha$ -metil- $L$ -fenilalanil- $L$ -leucil- $L$ -valil- $L$ -arginil- $L$ -seril- $L$ -seril- $L$ -asparaginil- $N^2$ -metil- $L$ -asparaginil- $L$ -fenilalanilglicil- $L$ -prolii- $N^6$ -[ $N$ -(19-carboxiononadecanoil)- $L$ - $\gamma$ -glutamil- $L$ - $\gamma$ -glutamil]- $L$ -lisil- $L$ -leucil- $L$ -prolii- $L$ -prolii- $L$ -treonil- $L$ - $\alpha$ -glutamil- $L$ -valiglicil- $L$ -seril- $L$ -asparaginil- $L$ -treonil- $L$ -tirosinamida]  
*análogo de amilina*



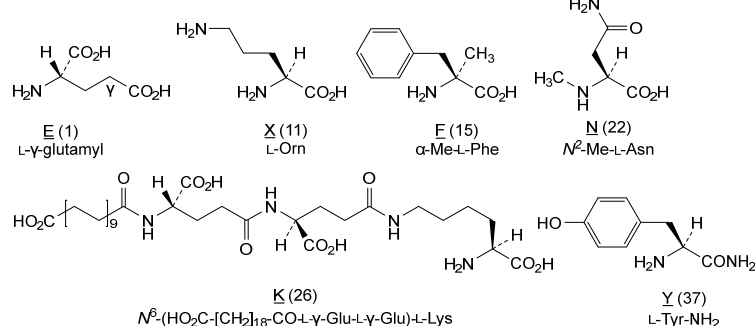
2883634-40-8

ECNTATCATG XLAEEELVRSS NNFGPKLPPT EVGSNTY 37

Methylene bridge location / Position du pont méthylène / Posición del puente metíleno



Modified residues / Résidus modifiés / Restos modificados



**eltivutabartum #**

eltivutabart

immunoglobulin G4-kappa, anti-[*Homo sapiens* ENTPD1 (ectonucleoside triphosphate diphosphohydrolase 1, CD39)], *Homo sapiens* monoclonal antibody; H-gamma4 heavy chain *Homo sapiens* (1-448) [VH (*Homo sapiens*IGHV1-46\*02 (94.9%) -(IGHD) -IGHJ5\*02 (100%), CDR-IMGT [8.8.14] (26-33.51-58.97-110)) (1-121) -*Homo sapiens*IGHG4\*01, nG4m(a) CH2 L92, G4v5 h P10(CH1 (122-219), hinge 1-12 S10>P (229) (220-231), CH2 L92 (310) (232-341), CH3 (342-446), CHS (447-448)) (122-448)], (135-214')-disulfide with L-kappa light chain *Homo sapiens* (1'-214') [V-KAPPA (*Homo sapiens*IGKV3-20\*01 (96.7%) -IGKJ4\*01 (91.7%), CDR-IMGT [7.3.8] (27'-33'.51'-53'.90'-97')) (1'-107') -*Homo sapiens*IGKC\*01 (100%) Km3 A45.1, V101 (C-KAPPA A45.1 (153'), V101 (191')) (108'-214')]; dimer (227-227":230-230")-bisdisulfide, produced in Chinese hamster ovary (CHO) cells, cell line CHO-DG44 lacking the enzyme dihydrofolate reductase (DHFR), glycoform alfa *immunostimulant, antineoplastic*

eltivutabart

immunoglobuline G4-kappa, anti-[*Homo sapiens* ENTPD1 (ectonucléoside triphosphate diphosphohydrolase 1, CD39)], anticorps monoclonal *Homo sapiens*; chaîne lourde H-gamma4 *Homo sapiens* (1-448) [VH (*Homo sapiens*IGHV1-46\*02 (94.9%) -(IGHD) -IGHJ5\*02 (100%), CDR-IMGT [8.8.14] (26-33.51-58.97-110)) (1-121) -*Homo sapiens*IGHG4\*01, nG4m(a) CH2 L92, G4v5 h P10(CH1 (122-219), charnière 1-12 S10>P (229) (220-231), CH2 L92 (310) (232-341), CH3 (342-446), CHS (447-448)) (122-448)], (135-214')-disulfure avec la chaîne légère L-kappa *Homo sapiens* (1'-214') [V-KAPPA (*Homo sapiens*IGKV3-20\*01 (96.7%) -IGKJ4\*01 (91.7%), CDR-IMGT [7.3.8] (27'-33'.51'-53'.90'-97')) (1'-107') -*Homo sapiens*IGKC\*01 (100%) Km3 A45.1, V101 (C-KAPPA A45.1 (153'), V101 (191')) (108'-214')]; dimère (227-227":230-230")-bisdisulfure, produit dans des cellules ovariennes de hamster chinois (CHO), lignée cellulaire CHO-DG44 ne présentant pas l'enzyme dihydrofolate réductase (DHFR), glycoforme alfa *immunostimulant, antinéoplastique*

eltivutabart

inmunoglobulina G4-kappa, anti-[*Homo sapiens* ENTPD1 (ectonucleósido trifosfato difosfohidrolasa 1, CD39)], anticuerpo monoclonal *Homo sapiens*; cadena pesada H-gamma4 *Homo sapiens* (1-448) [VH (*Homo sapiens*IGHV1-46\*02 (94.9%) -(IGHD) -IGHJ5\*02 (100%), CDR-IMGT [8.8.14] (26-33.51-58.97-110)) (1-121) -*Homo sapiens*IGHG4\*01, nG4m(a) CH2 L92, G4v5 h P10(CH1 (122-219), bisagra 1-12 S10>P (229) (220-231), CH2 L92 (310) (232-341), CH3 (342-446), CHS (447-448)) (122-448)], (135-214')-disulfuro con la cadena ligera L-kappa *Homo sapiens* (1'-214') [V-KAPPA (*Homo sapiens*IGKV3-20\*01 (96.7%) -IGKJ4\*01 (91.7%), CDR-IMGT [7.3.8] (27'-33'.51'-53'.90'-97')) (1'-107') -*Homo sapiens*IGKC\*01 (100%) Km3 A45.1, V101 (C-KAPPA A45.1 (153'), V101 (191')) (108'-214')]; dímero (227-227":230-230")-bisdisulfuro, producido en las células ováricas de hámster chino (CHO), línea celular CHO-DG44 en ausencia de la enzima dihidrofolato reductasa (DHFR), forma glicosilada alfa *inmunoestimulante, antineoplásico*

2935496-38-9

## Heavy chain / Chaîne lourde / Cadena pesada

QVQLVQSGAE VKKPGASVKV SCKASGYTFK SYEMHWVRQA PGQGLEWMGR 50  
 INPSVGSTWY AQQFQGRVTM TRDTSTSTVY MELSSLRSED TAVYYCARGK 100  
 REGGTTEYLRK WGQGTLVTVS SASTKGPSVF PLAPCSRSTS ESTAALGCLV 150  
 KDYFPEPVTV SWNSGALTSG VHTFPAVLQS SGLYSLSSVV TVPSSSLGTK 200  
 TYTCNVDHKP SNTKVDKRV SKYGP CPCPC PAPEFLGGPS VFLEPPPKPKD 250  
 TLMISRTPVE TCVVVDSVSQE DPEVQFNWYV DGVEVHNNAKT KPREEQFNST 300  
 YRVSVLTVL HQDWLNQKEY KCKVSNKGLP SSIKTISKA KGQPREQPVY 350  
 TLPSQEEMT KNQVSLTCLV KGFYPSDIAV EWESNGQFEN NYKTTPFVLD 400  
 SDGSFFLYSR LTVDKSRWQE GNVFSCSVHM EALHNHYTQK SLSLSLGK 448

## Light chain / Chaîne légère / Cadena ligera

EIVLTQSPGT LSSLPSGERAT LSCRASQSVA SSYLAWSQQK PGQAPRLLIY 50  
 GASNRHTGIP DRFSGSGSGT DFTLTISRLR PEDFAVYYCQ QYHNAITFGG 100  
 GTKVIEIKRTV AAPSVFIFPP SDEQLKSGTA SVVCLNNFY PREAKVQWKV 150  
 DNALQSGNSQ ESVTEQDSKD STYSLSSLT LSKADYEKHK VYACEVTHQG 200  
 LSSPVTKSFN RGECA 214

## Post-translational modifications

Disulfide bridges location / Position des ponts disulfure / Posiciones de los puentes disulfuro  
 Intra-H (C23-C104) 22-96 148-204 262-322 368-426  
 22"-96" 148"-204" 262"-322" 368"-426"  
 Intra-L (C23-C104) 23"-89" 134"-194"  
 23"-89" 134"-194"  
 Inter-H-L (CH1 10-CL 126) 135-214" 135"-214"  
 Inter-H-H (h 8, h 11) 227-227" 230-230"

N-terminal glutaminyl cyclization / Cyclisation du glutaminyle N-terminal / Ciclación del glutaminilo N-terminal  
 Q > pyroglutamyl (pE, 5-oxoprolyl) / pyroglutamyle (pE, 5-oxoprolyle) / piroglutamilo (pE, 5-oxoprolilo)  
 H VH Q1: 1, 1"

N-glycosylation sites / Sites de N-glycosylation / Posiciones de N-glicosilación  
 H CH2 N84.4: 298, 298"  
 Fucosylated complex bi-antennary CHO-type glycans / glycanes de tipo CHO bi-antennaires complexes fucosylés / glicanos de tipo CHO biantenarios complejos fucosilados

C-terminal lysine clipping / Coupe de la lysine C-terminale / Recorte de lisina C-terminal  
 H CHS K2: 448, 448"

**emestedastatum**

emestedastat

$[(1R,3r,5S)\text{-}3\text{-hydroxy}\text{-}3\text{-}(pyrimidin}\text{-}2\text{-yl)\text{-}8\text{-azabicyclo[3.2.1]octan}\text{-}8\text{-yl)][5\text{-}(1H\text{-}pyrazol}\text{-}4\text{-yl)\text{-}thiophen}\text{-}3\text{-yl}]methanone$   
*11β-hydroxysteroid dehydrogenase type 1 (11β-HSD1) inhibitor*

**émestédstat**

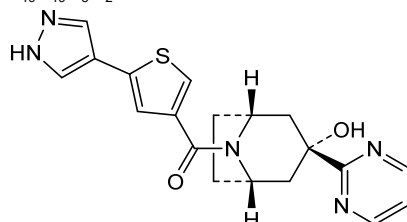
$[(1R,3r,5S)\text{-}3\text{-hydroxy}\text{-}3\text{-}(pyrimidin}\text{-}2\text{-yl)\text{-}8\text{-azabicyclo[3.2.1]octan}\text{-}8\text{-yl)][5\text{-}(1H\text{-}pyrazol}\text{-}4\text{-yl)\text{-}thiophén}\text{-}3\text{-yl}]méthanone$   
*Inhibiteur de la 11β-hydroxystéroïde déshydrogénase de type 1 (11β-HSD1)*

**emestedastat**

$[(1R,3r,5S)\text{-}3\text{-hidroxi}\text{-}3\text{-}(pirimidin}\text{-}2\text{-il)\text{-}8\text{-azabiciclo[3.2.1]octan}\text{-}8\text{-il)][5\text{-}(1H\text{-}pirazol}\text{-}4\text{-il)\text{-}tiofen}\text{-}3\text{-il}]metanona$   
*inhibidor de la 11β-hidroxisteroide deshidrogenasa de tipo 1 (11β-HSD1)*

C<sub>19</sub>H<sub>19</sub>N<sub>5</sub>O<sub>2</sub>S

1346013-80-6



**emugrobartum #**

- emugrobart** immunoglobulin G1-kappa, anti-[*Homo sapiens* MSTN (myostatin, growth differentiation factor 8, GDF8, GDF-8) latent myostatin complex], humanized monoclonal antibody;  
 H-gamma1 heavy chain humanized (1-447) [VH (*Homo sapiens*IGHV3-66\*01 (69.1%) -(IGHD) -IGHJ1\*01 (100%), CDR-IMGT [8.7.13] (26-33.51-57.96-108)) (1-119) -*Homo sapiens*IGHG1\*03v, G1m3>G1m17, nG1m1 CH1 K120, CH2 E12, M14, G1v86 CH2 Y1.3, D2, I26, K115, G1v87 V14, P90, G1v88 CH2 R94, CH3 R1.2, G1v89 CH3 T116, R118, G1v78-1 CH3 L107, A114, T116 (CH1 R120>K (216) (120-217), hinge 1-15 (218-232), CH2 L1.3>Y (236), P2>D (240), T14>V (252), V26>I (266), T90>P (309), Q94>R (313), A115>K (332) (233-342), CH3 E12 (358), M14 (360), P1.2>R (345), M107>L (430), N114>A (436), Y116>T (438), Q118>R (440), S120>E (442) (343-447), CHS G1>del, K2>del) (120-447)], (222-217')-disulfide with L-kappa light chain humanized (1'-217') [V-KAPPA (*Homo sapiens*IGKV3D-7\*01 (77.7%) -IGKJ2\*02 (90.0%) L124>V (107'), CDR-IMGT [8.3.10] (27'-34'.52'-54'.91'-100')) (1'-110') -*Homo sapiens*IGKC\*01 (100%) Km3 A45.1, V101 (C-KAPPA A45.1 (156'), V101 (194')) (111-217')]; dimer (228-228":231-231")-bisdisulfide, produced in Chinese hamster ovary (CHO) cells, cell line CHO-DXB11, glycoform alfa  
*myostatin inhibitor*
- émugrobart** immunoglobuline G1-kappa, anti-[*Homo sapiens* MSTN (myostatine, facteur de croissance et de différenciation 8, GDF8, GDF-8) complexe de la myostatine latente]; anticorps monoclonal humanisé;  
 chaîne lourde H-gamma1 humanisée (1-447) [VH (*Homo sapiens*IGHV3-66\*01 (69.1%) -(IGHD) -IGHJ1\*01 (100%), CDR-IMGT [8.7.13] (26-33.51-57.96-108)) (1-119) -*Homo sapiens*IGHG1\*03v, G1m3>G1m17, nG1m1 CH1 K120, CH3 E12, M14, G1v86 CH2 Y1.3, D2, I26, K115, G1v87 V14, P90, G1v88 CH2 R94, CH3 R1.2, G1v89 CH3 T116, R118, G1v78-1 CH3 L107, A114, T116 (CH1 R120>K (216) (120-217), charnière 1-15 (218-232), CH2 L1.3>Y (236), P2>D (240), T14>V (252), V26>I (266), T90>P (309), Q94>R (313), A115>K (332) (233-342), CH3 E12 (358), M14 (360), P1.2>R (345), M107>L (430), N114>A (436), Y116>T (438), Q118>R (440), S120>E (442) (343-447), CHS G1>del, K2>del) (120-447)], (222-217')-disulfure avec la chaîne légère L-kappa humanisée (1'-217') [V-KAPPA (*Homo sapiens*IGKV3D-7\*01 (77.7%) -IGKJ2\*02 (90.0%) L124>V (107'), CDR-IMGT [8.3.10] (27'-34'.52'-54'.91'-100')) (1'-110') -*Homo sapiens*IGKC\*01 (100%) Km3 A45.1, V101 (C-KAPPA A45.1 (156'), V101 (194')) (111-217')]; dimère (228-228":231-231")-bisdisulfure, produit dans des cellules ovariennes de hamster chinois (CHO), lignée cellulaire CHO-DXB11, glycoforme alfa  
*inhibiteur de la myostatine*
- emugrobart** inmunoglobulina G1-kappa, anti-[*Homo sapiens* MSTN (miostatina, factor de crecimiento y de diferenciación 8, GDF8, GDF-8) complejo de la miostatina latente]; anticuerpo monoclonal humanizado;  
 cadena pesada H-gamma1 humanizada (1-447) [VH (*Homo sapiens*IGHV3-66\*01 (69.1%) -(IGHD) -IGHJ1\*01 (100%), CDR-IMGT [8.7.13] (26-33.51-57.96-108)) (1-119) -*Homo sapiens*IGHG1\*03v, G1m3>G1m17, nG1m1 CH1 K120, CH3 E12, M14, G1v86 CH2 Y1.3, D2, I26, K115, G1v87 V14, P90, G1v88 CH2 R94, CH3 R1.2, G1v89 CH3 T116, R118, G1v78-1 CH3 L107, A114, T116 (CH1 R120>K (216) (120-217), bisagra 1-15 (218-232), CH2 L1.3>Y (236), P2>D (240), T14>V (252), V26>I (266), T90>P (309), Q94>R (313), A115>K (332) (233-342), CH3 E12 (358), M14 (360), P1.2>R (345), M107>L (430), N114>A (436), Y116>T (438), Q118>R (440), S120>E (442) (343-447), CHS G1>del, K2>del) (120-447)], (222-217')-disulfuro con la cadena ligera L-kappa humanizada (1'-217') [V-KAPPA (*Homo sapiens*IGKV3D-7\*01 (77.7%) -IGKJ2\*02 (90.0%) L124>V (107'), CDR-IMGT [8.3.10] (27'-34'.52'-54'.91'-100')) (1'-110') -*Homo sapiens*IGKC\*01 (100%) Km3 A45.1, V101 (C-KAPPA A45.1 (156'), V101 (194')) (111-217')]; dímero (228-228":231-231")-bisdisulfuro,

producido en las células ováricas de hámster chino (CHO), línea celular CHO-DXB11, forma glicosilada alfa  
*inhibidor de la miostatina*

2922218-19-5

Heavy chain / Chaîne lourde / Cadena pesada

QVQLVESGGG LVQPGGSLRL SCAVSGIDLS HDDISWVRQA PGKGLEWVSI 50  
 ISYAGSTYYA SWAKGRLLT KDTSKNQVWL TMTNMDPVT ATYYCARGVP 100  
 AYSHGGLDWG QGTIVTVSSA STKGPSVFL APSSKSTSGG TAALGCLVKD 150  
 YFPEPVTVSW NSGRALTSVH TFPAVLQSSG LYSLSSVTVV PSSSLGTQTY 200  
 ICNVNHKPSN TKVDKVKEPK SCDKTHTCPP CPAPEYLGGD SVFLFPKPK 250  
 DVLMSRTPE VTCVVIDVSH EDPEVKFNWY VDGVEVHNAK TKPREEQYNS 300  
 TYRVSVSPLV LHRDWLNGKE YKCKVSNKAL PKPIEKTIKE AKGQRREPOV 350  
 YTLPSSREEM TKNQVSLTCL VKGFYPSDIA VEWESENQPE NNYKTTPPV 400  
 DSDGSFFLYS KLTVDKSRWQ QGNVFSCSVL HEALHAHTTR KELSLSP 447

Light chain / Chaîne légère / Cadena ligera

DIVMTQSPAT LSLSLPGERAT LSCTTSQSVY HENWLWRFQQ KPGQPPKLLI 50  
 YWASTLAYGV PSRFSGSGSG TDFTLTISLQ QPEDAAATYYC AGGYGGGRYA 100  
 FGQGTTKVEIK RTVAAPSVFI FFPSSDEQIKS GTASVUCLLN NFYPREAKVQ 150  
 WKVDNALQSG NSQESVTEQD SKDSTYSLSS TLTLSKADYE KHKVYACEVT 200  
 HQGLSSPVTK SFNRGEC 217

#### Post-translational modifications

Disulfide bridges location / Position des ponts disulfure / Posiciones de los puentes disulfuro

Intra-H (C23-C104) 22-95 146-202 263-323 369-427  
 22"-95" 146"-202" 263"-323" 369"-427"

Intra-L (C23-C104) 23"-90" 137"-197"  
 23"-90" 137"-197"

Inter-H-L (h 5-CL 126) 222-217' 222"-217"

Inter-H-H (h 11, h 14) 228-228" 231-231"

N-terminal glutamyl cyclization / Cyclisation du glutaminyle N-terminal / Ciclación del glutaminilo N-terminal

Q > pyroglutamyl (pE, 5-oxoprolyl) / pyroglutamyle (pE, 5-oxoprolyle) / piroglutamilo (pE, 5-oxoprolilico)  
 H VH Q1: 1, 1"

N-glycosylation sites / Sites de N-glycosylation / Posiciones de N-glicosilación  
 H CH2 N84.4: 299, 299"

Fucosylated complex bi-antennary CHO-type glycans / glycanes de type CHO bi-antennaires complexes fucosylés / glicanos de tipo CHO biantenarios complejos fucosilados

#### emunkitugum #

emunkitug

immunoglobulin G1-kappa, anti-[*Homo sapiens* TNFRSF1B (tumor necrosis factor receptor (TNFR) superfamily member 1B, TNFR2, TNFR type II, p75, CD120b)], humanized monoclonal antibody, agonist;  
 H-gamma1 heavy chain humanized (1-448) [VH (*Homo sapiens* IGHV1-46\*04 (83.5%) -(IGHD) -IGHJ6\*01 (92.3%) Q120>T (110), CDR-IMGT [8.8.11] (26-33.51-58.97-107)) (1-118) -*Homo sapiens*IGHG1\*03 (100%) G1m3, nG1m1 CH1 R120, CH3 E12, M14 (CH1 R120 (215) (119-216), hinge 1-15 (217-231), CH2 (232-341), CH3 E12 (357), M14 (359) (342-446), CHS (447-448)) (119-448)], (221-213')-disulfide with L-kappa light chain humanized (1'-213') [V-KAPPA (*Homo sapiens* IGKV1-9\*01 (81.1%) -IGKJ2\*01 (90.9%) Q120>S (99), CDR-IMGT [5.3.9] (27'-31'.49'-51'.88'-96') (1'-106') -*Homo sapiens* IGKC\*01 (100%) Km3 A45.1, V101 (C-KAPPA A45.1 (152'), V101 (190') (107'-213')]; dimer (227-227":230-230")-bisdisulfide, produced in Chinese hamster ovary (CHO) cells, cell line CHO-DG44, glycoform alfa  
*antineoplastic*

émunkitug

immunoglobuline G1-kappa, anti-[*Homo sapiens* TNFRSF1B (membre 1B de la superfamille des récepteurs des facteurs de nécrose tumorale (TNFR), TNFR2, TNFR type II, p75, CD120b)], anticorps monoclonal humanisé, agoniste;

chaîne lourde H-gamma1 humanisée (1-448) [VH (*Homo sapiens* IGHV1-46\*04 (83.5%) -(IGHD) -IGHJ6\*01 (92.3%) Q120>T (110), CDR-IMGT [8.8.11] (26-33.51-58.97-107)) (1-118) -*Homo sapiens* IGHG1\*03 (100%) G1m3, nG1m1 CH1 R120, CH3 E12, M14 (CH1 R120 (215) (119-216), charnière 1-15 (217-231), CH2 (232-341), CH3 E12 (357), M14 (359) (342-446), CHS (447-448)) (119-448)], (221-213')-disulfure avec la chaîne légère L-kappa humanisée (1'-213') [V-KAPPA (*Homo sapiens* IGKV1-9\*01 (81.1%) -IGKJ2\*01 (90.9%) Q120>S (99), CDR-IMGT [5.3.9] (27-31'.49'-51'.88'-96')) (1'-106') -*Homo sapiens* IGKC\*01 (100%) Km3 A45.1, V101 (C-KAPPA A45.1 (152'), V101 (190')) (107'-213')]; dimère (227-227":230-230")-bisdisulfure, produit dans des cellules ovarianas de hamster chino (CHO), lignée celular CHO-DG44, glicofórmico alfa antineoplásico

emunkitug inmunoglobulina G1-kappa, anti-[*Homo sapiens* TNFRSF1B (miembro 1B de la superfamilia de los receptores de los factores de necrosis tumoral (TNFR), TNFR2, TNFR tipo II, p75, CD120b)], anticuerpo monoclonal humanizado, agonista; cadena pesada H-gamma1 humanizada (1-448) [VH (*Homo sapiens* IGHV1-46\*04 (83.5%) -(IGHD) -IGHJ6\*01 (92.3%) Q120>T (110), CDR-IMGT [8.8.11] (26-33.51-58.97-107)) (1-118) -*Homo sapiens* IGHG1\*03 (100%) G1m3, nG1m1 CH1 R120, CH3 E12, M14 (CH1 R120 (215) (119-216), bisagra1-15 (217-231), CH2 (232-341), CH3 E12 (357), M14 (359) (342-446), CHS (447-448)) (119-448)], (221-213')-disulfuro con la cadena ligera L-kappa humanizada (1'-213') [V-KAPPA (*Homo sapiens* IGKV1-9\*01 (81.1%) -IGKJ2\*01 (90.9%) Q120>S (99), CDR-IMGT [5.3.9] (27-31'.49'-51'.88'-96')) (1'-106') -*Homo sapiens* IGKC\*01 (100%) Km3 A45.1, V101 (C-KAPPA A45.1 (152'), V101 (190')) (107'-213')]; dímero (227-227":230-230")-bisdisulfuro, producido en las células ováricas de hamster chino (CHO), línea celular CHO-DG44, forma glicosilada alfa antineoplásico

2916519-48-5

## Heavy chain / Chaîne lourde / Cadena pesada

QVQLVQSGAE LKKPGASVKV SCKASSYSFT DYNMNNWVRQA PGQSLEWMGI 50  
 IFFKYGTTSY AQKLQGRVTL TTDTSSTSTAY MELRSLRSDD TAVYYCATDG 100  
 GTWYDFWNGT GTTVTVSSAS TKGPSVPLA PSSKSTSGGT AALGCLVKDY 150  
 FPEPVTVWSN SCALTSGVHT FPAVLQSSGL YSLSSVVTVT SSSLGQTQTYI 200  
 CNVNHKPSNT KVDKRKEPKS CDKTHTCPPC PAPELIGGPs VFLPPKPKD 250  
 TLMISRTPEV TCVVVDSHE DFEVKFNWYV DGVEVHNAKT KPREEQYNST 300  
 YRVSVLTIV HQDWLNGKEY KCKVSNKALP APIEKTISKA KGQPREFQVY 350  
 TLPSPREEMT KNQVSLLTCLV KGFYPSDIAV EWESNGOPEN NYKTTPFVLD 400  
 SDGSFELYSE LTVDKSRWRQQ GNVFSCSVMH EALHNHYTQR SLSLSPGK 448

## Light chain / Chaîne légère / Cadena ligera

DILQTQSPSF LSASVGRVT ITCRASSSVT YMYWYQQKPG KAPKPWYIYT 50  
 SNLASGVPSF FGSGSSGTEY TITISLQPE DAATYYCQOW SSNPPTFGSG 100  
 TKLEIKRTVA APSVIFPPPS DEQLKSGTAS VVCLLNNFTYV REAKVQWKVD 150  
 NALQSGNSQE SVTEQDSDKDS TYSSLSTLTD SKADYEKHKV YACEVTHQGL 200  
 SSPVTKSFNR GEC 213

## Post-translational modifications

Disulfide bridges location / Position des ponts disulfure / Posiciones de los puentes disulfuro

Intra-H-(C23-C104) 22-96 145-201 262-322 368-426

22"-96" 145"-201" 262"-322" 368"-426"

Intra-L-(C23-C104) 23"-87" 133"-193"

23"-87" 133"-193"

Inter-H-L (h 5-CL 126) 221-213" 221"-213"

Inter-H-H (h 11, h 14) 227-227" 230-230"

N-terminal glutaminyl cyclization / Cyclisation du glutaminyde N-terminal / Ciclación del glutamínido N-terminal

Q > pyroglutamyl (pE, 5-oxoprolyl) / pyroglutamyle (pE, 5-oxoprolyle) / piroglutamilo (pE, 5-oxoprolilo)

H VH Q1: 1, I"

N-glycosylation sites / Sites de N-glycosylation / Posiciones de N-glicosilación

H CH2 N84.4: 298, 298"

Fucosylated complex bi-antennary CHO-type glycans / glycanes de type CHO bi-antennaires complejos fucosylés / glicanos de tipo CHO biantenarios complejos fucosilados

C-terminal lysine clipping / Coupe de la lysine C-terminale / Recorte de lisina C-terminal  
 H CHS K2: 448, 448"

**enrupatinibum**

enrupatinib

*4<sup>3</sup>-methoxy-7<sup>6</sup>-methyl-5-oxa-3-aza-2(2,7)-quinoxalina-1(4)-morpholina-7(3)-pyridina-4(1,4)-benzenaheptaphane-2<sup>8</sup>-carbonitrile  
colony-stimulating factor 1 receptor (CSF1R) inhibitor,  
antineoplastic*

enrupatinib

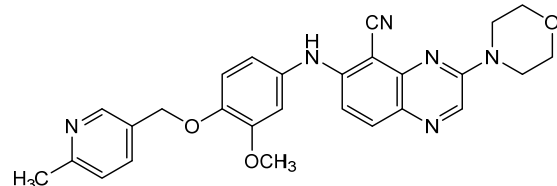
*4<sup>3</sup>-méthoxy-7<sup>6</sup>-méthyl-5-oxa-3-aza-2(2,7)-quinoxalina-1(4)-morpholina-7(3)-piridina-4(1,4)-benzénahéptafano-2<sup>8</sup>-carbonitrile  
inhibiteur du récepteur du facteur 1 stimulant les colonies (CSF1R), antineoplastique*

enrupatinib

*7<sup>6</sup>-metil-4<sup>3</sup>-metoxi-5-oxa-3-aza-2(2,7)-quinoxalina-1(4)-morpholina-7(3)-piridina-4(1,4)-benzenaheptafano-2<sup>8</sup>-carbonitrilo  
inhibidor del receptor del factor 1 estimulador de colonias (CSF1R), antineoplásico*

C<sub>27</sub>H<sub>26</sub>N<sub>6</sub>O<sub>3</sub>

2222689-47-4

**etalanetugum #**

etalanetug

immunoglobulin G1-kappa, anti-[*Homo sapiens* MAPT (microtubule-associated protein tau, tau)], humanized monoclonal antibody;  
H-gamma1 heavy chain humanized (1-448) [VH (*Homo sapiens* IGHV3-23\*03 (80.6%) -IGHD) -IGHJ6\*01 (90.9%) T123>L (114), CDR-IMGT [8.8.12] (26-33.51-58.97-108)] (1-119) -*Homo sapiens*IGHG1\*01 (100%) G1m17,1 CH1 K120, CH3 D12, L14 (CH1 K120 (216) (120-217), hinge 1-15 (218-232), CH2 (233-342), CH3 D12 (358), L14 (360) (343-447), CHS K2>del (448) (120-448)], (222-219') disulfide with L-kappa light chain humanized (1'-219') [V-KAPPA (*Homo sapiens* IGKV1-39\*01 (80.0%) -IGKJ2\*02 (100%), CDR-IMGT [11.3.9] (27'-37'.55'-57'.94'-102')) (1'-112') -*Homo sapiens* IGKC\*01 (100%) Km3 A45.1, V101 (C-KAPPA A45.1 (158'), V101 (196')) (113'-219')]; dimer (228-228".231-231")-bisdisulfide, produced in Chinese hamster ovary (CHO) cells, glycoform alfa tau protein aggregation inhibitor, *Alzheimer's disease*

étalanetug

immunoglobuline G1-kappa, anti-[*Homo sapiens* MAPT (protéine tau associée aux microtubules, tau)]; anticorps monoclonal humanisé;

chaîne lourde H-gamma1 humanisée (1-448) [VH (*Homo sapiens* IGHV3-23\*03 (80.6%) -(IGHD) -IGHJ6\*01 (90.9%) T123>L (114), CDR-IMGT [8.8.12] (26-33.51-58.97-108)) (1-119) -*Homo sapiens* IGHG1\*01 (100%) G1m17,1 CH1 K120, CH3 D12, L14 (CH1 K120 (216) (120-217), charnière 1-15 (218-232), CH2 (233-342), CH3 D12 (358), L14 (360) (343-447), CHS K2>del (448)) (120-448)], (222-219')-disulfure avec la chaîne légère L-kappa humanisée (1'-219') [V-KAPPA (*Homo sapiens* IGKV1-39\*01 (80.0%) -IGKJ2\*02 (100%), CDR-IMGT [11.3.9] (27'-37'.55'-57'.94'-102')) (1'-112') -*Homo sapiens* IGKC\*01 (100%) Km3 A45.1, V101 (C-KAPPA A45.1 (158'), V101 (196')) (113'-219')]; dimère (228-228":231-231")-bisdisulfure, produit dans des cellules ovariennes de hamster chinois (CHO), glycoforme alfa  
*inhibiteur de l'agrégation des protéines tau, maladie d'Alzheimer*

etalanetug

inmunoglobulina G1-kappa, anti-[*Homo sapiens* MAPT (proteína tau asociada con los microtúbulos, tau)]; anticuerpo monoclonal humanizado; cadena pesada H-gamma1 humanizada (1-448) [VH (*Homo sapiens* IGHV3-23\*03 (80.6%) -(IGHD) -IGHJ6\*01 (90.9%) T123>L (114), CDR-IMGT [8.8.12] (26-33.51-58.97-108)) (1-119) -*Homo sapiens* IGHG1\*01 (100%) G1m17,1 CH1 K120, CH3 D12, L14 (CH1 K120 (216) (120-217), bisagra 1-15 (218-232), CH2 (233-342), CH3 D12 (358), L14 (360) (343-447), CHS K2>del (448)) (120-448)], (222-219')-disulfuro con la cadena ligera L-kappa humanizada (1'-219') [V-KAPPA (*Homo sapiens* IGKV1-39\*01 (80.0%) -IGKJ2\*02 (100%), CDR-IMGT [11.3.9] (27'-37'.55'-57'.94'-102')) (1'-112') -*Homo sapiens* IGKC\*01 (100%) Km3 A45.1, V101 (C-KAPPA A45.1 (158'), V101 (196')) (113'-219')]; dímero (228-228":231-231")-bisdisulfuro, producido en las células ováricas de hámster chino (CHO), forma glicosilada alfa  
*inhibidor de la agregación de la proteína tau, enfermedad de Alzheimer*

2690265-18-8

**Heavy chain / Chaîne lourde / Cadena pesada**

EVQLLESGGG LVQPGGSLRL SCAASGYFT TYWITWVRQA PGKGLEWSD 50  
 IYPGSSISNSY NEKFKSRTI SVDNSKNTLY LQMNNSLRAED TAVYYCARED 100  
 GYDAWFAYWG QGTLTVVSSA STKGPSVFPL APSSKSTSGG TAALGCLVKD 150  
 YFPEPVTVSW NSGALTSGVH TPPAVLQQSG LYSSLSSVVTV PSSSLGTOTY 200  
 ICNVNHPKSN TKVDKKVKEPK SCDKTHTCPP CPAPELLGGP SVFLFFPKPK 250  
 DTLMISRTPE VTCVVDVSH EDPEVKFNWY VDGVEVHNAK TKPREEQYNS 300  
 TYRVSVLTV LHQDWLNGKE YKCKVSNKAL PAPIKETISK AKGQPREEPVQ 350  
 YTLPSSRDEL TKNQVSLTCL VKGFYPSDIA VEWEESNGQPE NNYKTTTPV 400  
 DSDGSFFLYS KLTVDKSRWQ QGNVFSCSVM HEALHNHYTQ KSLSLSPG 448

**Light chain / Chaîne légère / Cadena ligera**

DIQMTQSPSS LSASVGDRVT ITCRSSQSL HSNGNNTYLEW YQQKPGKAKP 50  
 LLISIKVSNRG SGVPSRSFGS GSGTDFTLTI SSQPEDFAT YYCFQGSHVP 100  
 FTFGQGTKLE IKRTVAAPSV FIFPPSDEQL KSGTASVVCL LNNFYPREAK 150  
 VQWKVDNALQ SGNSQESVTE QDSKDSTYSL SSTTLSKAD YEKKHVYACE 200  
 VTHQGLSSPV TKSFRNRGEC 219

**Post-translational modifications**

Disulfide bridges location / Position des ponts disulfure / Posiciones de los puentes disulfuro

Intra-H (C23-C104) 22-96 146-202 263-323 369-427

22"-96" 146"-202" 263"-323" 369"-427"

Intra-L (C23-C104) 23'-93'

139'-199'

23""-93"" 139""-199""

Inter-H-L (h 5-CL 126) 222-219' 222"-219"

Inter-H-H (h 11, h 14) 228-228" 231-231"

**N-glycosylation sites / Sites de N-glycosylation / Posiciones de N-glicosilación**

H CH2 N84.4: 299, 299"

Fucosylated complex bi-antennary CHO-type glycans / glycanes de type CHO bi-antennaires complexes fucosylés / glicanos de tipo CHO biantenarios complejos fucosilados

**etivelcabtagenum erigedleucel #**

etivelcabtagene erigedleucel

allogeneic T lymphocytes obtained from peripheral blood mononuclear cells by leukapheresis of healthy donors, transduced with a self-inactivating, non-replicating lentiviral vector encoding two chimeric antigen receptors (CAR) in tandem, targeting CD20 and CD22, separated by a P2A peptide. The cells are also genetically modified using transcription activator-like (TAL) effector nucleases, which are transiently delivered into the cells as mRNAs to disrupt the T cell receptor alpha constant (*TRAC*) and CD52 genes. Each of the expressed CAR transgenes comprises a CD8 $\alpha$  signal peptide, a single chain variable fragment (scFv) derived from a human monoclonal antibody, a CD8 $\alpha$  hinge and transmembrane domain, and 4-1BB (CD137) and CD3 $\zeta$  (CD247) intracellular costimulatory domains. The two transgenes are separated by a P2A ribosomal skip motif and are under control of the human elongation factor-1 alpha (EF-1 $\alpha$ ) promoter. The construct is flanked by 5' and 3' long terminal repeats (LTRs) and also contains a  $\psi$  packaging signal, a truncated *gag*, a Rev response element (RRE), a central polypyrimidine tract (cPPT) sequence and a mutated Woodchuck hepatitis virus post-transcriptional regulatory element (WPRE). The vector is pseudotyped with vesicular stomatitis virus (VSV) glycoprotein G. The leukapheresis material is activated by CD3 and CD28 agonists and cultured in media containing serum and interleukin 2 (IL-2) prior to being transduced with the vector and expanded. Residual TCR $\alpha\beta$ + lymphocytes are removed by magnetic depletion. The suspension consists primarily of T lymphocytes with  $\geq 30\%$  CAR+,  $\geq 39\%$  CD52- and  $\leq 3.0\%$  TCR $\alpha\beta$ + T lymphocytes. The cells are cytotoxic, proliferate and secrete pro-inflammatory cytokines in response to CD20 and/or CD22-expressing cells.

*cell-based gene therapy (antineoplastic)*

**étivelcabtagène érigedleucel**

lymphocytes T allogéniques obtenus par leucaphérèse, à partir de cellules mononucléées du sang périphérique (CMSP) de donneurs sains, transduits à l'aide d'un vecteur lentiviral auto-inactivant et non réplicatif, codant deux récepteurs antigéniques chimériques (CAR), en tandem, ciblant CD20 et CD22, séparés par un peptide P2A. Les cellules sont également génétiquement modifiées à l'aide de nucléases effectrices de type activateur de transcription (TAL), qui sont transitoirement délivrées dans les cellules sous forme d'ARNm, afin d'effectuer une disruption génique du gène codant la chaîne constante alpha du récepteur des cellules T (*TRAC*) et des gènes CD52. Chacun des transgènes CAR exprimés comprend un peptide signal CD8 $\alpha$ , et un fragment variable à chaîne unique (scFv) dérivé d'un anticorps monoclonal humain, une région charnière et transmembranaire CD8 $\alpha$ , un domaine co-stimulant 4-1BB (CD137) et un domaine co-stimulant CD3 $\zeta$  (CD247). Les deux transgènes sont séparés par un motif P2A de saut ribosomique et sous contrôle du promoteur du facteur d'élongation -1 alpha (EF-1 $\alpha$ ). La construction est flanquée, en 5' et 3', de répétitions terminales longues (LTR) et contient également un signal d'encapsidation  $\psi$ , une partie du gène *gag* du VIH, un élément de réponse Rev (RRE), une séquence centrale du tractus polypyrimidine (cPPT), et un élément régulateur posttranscriptionnel du virus de l'hépatite de la marmotte (WPRE). Le vecteur est pseudotypé avec la glycoprotéine G du virus de la stomatite vésiculaire (VSV).

Le matériel de la leucaphorèse est activé par les agonistes CD3 et CD28, et cultivé dans un milieu contenant du sérum et de l'interleukine-2 (IL-2), avant d'être transduit par le vecteur et mis en expansion. Les lymphocytes TCR $\alpha\beta$ + résiduels sont éliminés par déplétion magnétique. La suspension est constituée principalement de lymphocytes T avec  $\geq 30\%$  de CAR+,  $\geq 39\%$  de CD52 et  $\leq 3.0\%$  de TCR $\alpha\beta$ +. Les cellules sont cytotoxiques, prolifèrent et sécrètent des cytokines proinflammatoires en réponse aux cellules exprimant le CD20 et/ou le CD22  
*terapia génica basada en células (antineoplásico)*

etivelcabtagén erigedleucel

linfocitos T alogénicos obtenidos de células mononucleares de sangre periférica mediante leucoaféresis de donantes sanos, transducidos con un vector lentiviral no replicativo, auto inactivante, que codifica para dos receptores de antígenos químéricos (CAR) en tandem, dirigidos a CD20 y CD22, separados por un péptido P2A. Las células también se modifican genéticamente usando nucleasas efectoras similares al activador de la transcripción (TAL) que se administran transitoriamente a la célula en forma de ARNm para la ruptura de los genes de la cadena constante alfa del receptor de linfocitos T (*TRAC*) y de CD52.

Cada uno de los transgenes CAR expresado contiene un péptido señal CD8α, un fragmento variable de cadena sencilla (scFv) derivado de un anticuerpo monoclonal humano, un dominio bisagra y transmembrana de CD8α y dominios coestimuladores intracelulares de 4-1BB (CD137) y de CD3ζ (CD247). Los dos transgenes están separados por un motivo de salto ribosómico P2A y están bajo el control del promotor del factor de elongación-1 alfa (EF-1α) humano. El constructo está flanqueado por repeticiones terminales largas (LTRs) en 5' y 3' y también contiene una señal de empaquetamiento ψ, un *gag* truncado, un elemento de respuesta Rev (RRE), una secuencia de tracto de polipurina central (CPPT) y un elemento regulador post-transcripcional del virus de la hepatitis de la marmota (WPRE) mutado. El vector está seudotipado con la glicoproteína G del virus de la estomatitis vesicular (VSV).

El material de leucoaféresis se activa con agonistas de CD3 y CD28 y se cultiva en medio que contiene suero e interleuquina 2 (IL-2) antes de ser transducido con el vector y expandido. Los linfocitos TCR $\alpha\beta$ + residuales se eliminan mediante depleción magnética. La suspensión consiste principalmente en linfocitos T con  $\geq 30\%$  CAR+,  $\geq 39\%$  CD52- y  $\leq 3.0\%$  de linfocitos T TCR $\alpha\beta$ +. Las células son citotóxicas, proliferan y secretan citoquinas pro-inflamatorias en respuesta a células que expresan CD20 y/o CD22  
*terapia génica basada en células (antineoplásico)*

**evategrelum**

evategrel

(*Z*)-[(4*R*)-1-[(1*S*)-1-(2-chlorophenyl)-2-methoxy-2-oxoethyl]-4-[[{[(propan-2-yl)oxy]carbonyl}oxy]methyl}sulfanyl]piperidin-3-ylidene]acetic acid  
*platelet aggregation inhibitor*

évatégrél

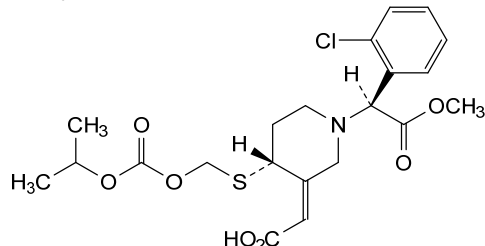
acide (*Z*)-[(4*R*)-1-[(1*S*)-1-(2-chlorophényle)-2-méthoxy-2-oxoéthyl]-4-[[{[(propan-2-yl)oxy]carbonyl}oxy)méthyl}sulfanyl]pipéridin-3-ylidène]acétique  
*inhibiteur de l'agrégation plaquettaire*

evategrel

ácido (*Z*)-[(4*R*)-1-[(1*S*)-1-(2-clorofenil)-2-metoxi-2-oxoetil]-4-[[{[(propan-2-il)oxi]carbonil}oxi)metyl}sulfanil]piperidin-3-ilideno]acético  
*inhibidor de la agregación plaquetaria*

 $C_{21}H_{26}ClNO_7S$ 

2760609-74-1

**evetifatorum**

evetifator

2-(4-chlorophenoxy)-*N*-(3-{5-[(1*s*,3*s*)-3-(trifluoromethoxy)cyclobutyl]-1,3,4-oxadiazol-2-yl}bicyclo[1.1.1]pentan-1-yl)acetamide  
*eukaryotic translation initiation factor 2B (eIF2B) activator*

évitifator

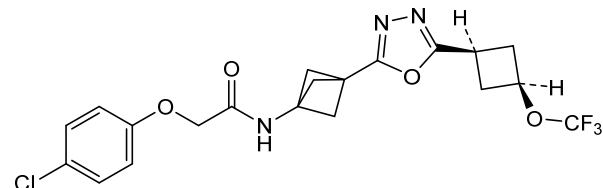
2-(4-chlorophenoxy)-*N*-(3-{5-[(1*s*,3*s*)-3-(trifluorométhoxy)cyclobutyl]-1,3,4-oxadiazol-2-yl}bicyclo[1.1.1]pentan-1-yl)acétamide  
*activateur du facteur d'initiation de la traduction eucaryote 2B (eIF2B)*

evetifator

2-(4-clorofenoxi)-*N*-(3-{5-[(1*s*,3*s*)-3-(trifluorometoxi)ciclobutil]-1,3,4-oxadiazol-2-il}biciclo[1.1.1]pentan-1-il)acetamida  
*activador del factor 2B de iniciación de la translación eucariota (eIF2B)*

 $C_{20}H_{19}ClF_3N_3O_4$ 

2278265-85-1



**fanregratinibum**

fanregratinib

( $^{13}R,1^5S$ )-7<sup>6</sup>-chloro-7<sup>5</sup>-methoxy-N,1<sup>3</sup>,1<sup>5</sup>-trimethyl-3-aza-4(2,5)-pyrimidina-1(1)-piperazina-2(1,4),7(1)-dibenzenaheptaphane-7<sup>3</sup>-carboxamide  
*fibroblast growth factor receptor tyrosine kinase inhibitor, antineoplastic*

fanrégratinib

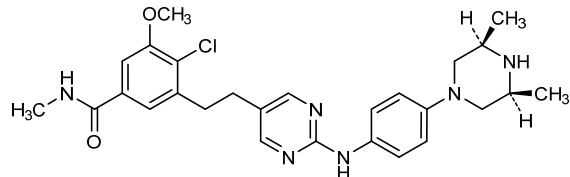
( $^{13}R,1^5S$ )-7<sup>6</sup>-chloro-7<sup>5</sup>-méthoxy-N,1<sup>3</sup>,1<sup>5</sup>-triméthyl-3-aza-4(2,5)-pyrimidina-1(1)-pipérazina-2(1,4),7(1)-dibenzénaheptaphane-7<sup>3</sup>-carboxamide  
*inhibiteur de la tyrosine kinase du récepteur du facteur de croissance des fibroblastes, antinéoplasique*

fanregratinib

( $^{13}R,1^5S$ )-7<sup>6</sup>-cloro-N,1<sup>3</sup>,1<sup>5</sup>-trimetil-7<sup>5</sup>-metoxi-3-aza-4(2,5)-pirimidina-1(1)-piperazina-2(1,4),7(1)-dibencenaheptafano-7<sup>3</sup>-carboxamida  
*inhibidor tirosina kinasa del receptor del factor de crecimiento de fibroblastos, antineoplásico*



1628537-44-9

**felmetatugum #**

felmetatug

immunoglobulin G1-kappa, anti-[*Homo sapiens* VTCN1(V-set domain containing T cell activation inhibitor 1, B7 family member H4, B7H4, B7-H4)], *Homo sapiens* monoclonal antibody;

H-gamma1 heavy chain *Homo sapiens* (1-450) [VH (*Homo sapiens*IGHV4-39\*01 (96.0%) -(IGHD)-IGHJ5\*02 (93.8%), CDR-IMGT [10.7.12] (26-35.53-59.98-109)) (1-120) -*Homo sapiens*IGHG1\*01 (100%) G1m17,1 CH1 K120, CH3 D12, L14 (CH1 K120 (217) (121-218), hinge 1-15 (219-233), CH2 (234-343), CH3 D12 (359), L14 (361) (344-448), CHS (449-450)) (121-450)], (223-214')-disulfide with L-kappa light chain *Homo sapiens* (1'-214') [V-KAPPA (*Homo sapiens*IGKV3-15\*01 (96.8%) -IGKJ4\*01 (91.7%), CDR-IMGT [6.3.9] (27'-32'.50'-52'.89'-97')) (1'-107') -*Homo sapiens*IGKC\*01 (100%) Km3 A45.1, V101 (C-KAPPA A45.1 (153'), V101 (191')) (108'-214')]; dimer (229-229":232-232")-bisdisulfide, produced in Chinese hamster ovary (CHO) cells, cell line CHO-DG44, glycoform alfa  
*antineoplastic*

felmétatug

immunoglobuline G1-kappa, anti-[*Homo sapiens* VTCN1 (inhibiteur 1 de l'activation des cellules T contenant un domaine V-like, membre H4 de la famille B7, B7H4, B7-H4)], anticorps monoclonal *Homo sapiens*;

chaîne lourde H-gamma1 *Homo sapiens* (1-450) [VH (*Homo sapiens* IGHV4-39\*01 (96.0%) -(IGHD) -IGHJ5\*02 (93.8%), CDR-IMGT [10.7.12] (26-35.53-59.98-109)) (1-120) -*Homo sapiens* IGHG1\*01 (100%) G1m17,1 CH1 K120, CH3 D12, L14 (CH1 K120 (217) (121-218), charnière 1-15 (219-233), CH2 (234-343), CH3 D12 (359), L14 (361) (344-448), CHS (449-450)) (121-450)], (223-214')-disulfure avec la chaîne légère L-kappa *Homo sapiens* (1'-214') [V-KAPPA (*Homo sapiens* IGKV3-15\*01 (96.8%) -IGKJ4\*01 (91.7%), CDR-IMGT [6.3.9] (27'-32'.50'-52'.89'-97')) (1'-107') -*Homo sapiens* IGKC\*01 (100%), Km3 A45.1, V101 (C-KAPPA A45.1 (153'), V101 (191')) (108'-214')]; dimère (229-229":232-232")-bisdisulfure, produit dans des cellules ovarianes de hamster chinois (CHO), lignée cellulaire CHO-DG44, glycoforme alfa  
**antineoplasique**

**felmetatug** inmunoglobulina G1-kappa, anti-[*Homo sapiens* VTCN1 (inhibidor 1 de la activación de las células T que contienen un dominio V-like, miembro H4 de la familia B7, B7H4, B7-H4)], anticuerpo monoclonal *Homo sapiens*; cadena pesada H-gamma1 *Homo sapiens* (1-450) [VH (*Homo sapiens* IGHV4-39\*01 (96.0%) -(IGHD) -IGHJ5\*02 (93.8%), CDR-IMGT [10.7.12] (26-35.53-59.98-109)) (1-120) -*Homo sapiens* IGHG1\*01 (100%) G1m17,1 CH1 K120, CH3 D12, L14 (CH1 K120 (217) (121-218), bisagra 1-15 (219-233), CH2 (234-343), CH3 D12 (359), L14 (361) (344-448), CHS (449-450)) (121-450)], (223-214')-disulfuro con la cadena ligera L-kappa *Homo sapiens* (1'-214') [V-KAPPA (*Homo sapiens* IGKV3-15\*01 (96.8%) -IGKJ4\*01 (91.7%), CDR-IMGT [6.3.9] (27'-32'.50'-52'.89'-97')) (1'-107') -*Homo sapiens* IGKC\*01 (100%), Km3 A45.1, V101 (C-KAPPA A45.1 (153'), V101 (191')) (108'-214')]; dímero (229-229":232-232")-bisdisulfuro, producido en las células ováricas de hámster chino (CHO), línea celular CHO-DG44, forma glicosilada alfa  
**antineoplásico**

2924808-29-5

Heavy chain / Chaîne lourde / Cadena pesada  
 QLQLQESGPV LVKPSETLSL TCTVSGGSIK SGSYWWGWR QPPKGLEWI 50  
 GNIYYSGSTY YNPSLRSRVT ISVDTSKNQF SLKLSSVTAA DTAVYYCARE 100  
 GSYPNQFDWPW GQGTLTVTSS ASTKGPSVFP LAPSSKSTAA GTAALCCLVK 150  
 DYFPPEPVTVS WNSGALTSGV HTFPAVLQSS GLYSLSSVTT VPSSSLGTQT 200  
 YICNVNHHKPS NTKVDKKKVEP KSCDKTHTCP PCPAPELLGG PSVFLFPKRP 250  
 KDTLMISRTP EVTCCVVVDVS HEDPEVKFNW YVDGVEVHNA KTKPREEQYN 300  
 STYRRVSVLT VLHQDWLNKG EYKCKVSNKA LPAPIEKTTIS KAKGQPREEPQ 350  
 VTYLPPSRDE LTKNQVSLTC LVKGFPYPSDI AVEWESNQD ENNYKTPPPV 400  
 LDSDGSFFLY SKLTVDDKSRW QQGNVFCSCV MHEALHNHYT QKSLSLSPKG 450

Light chain / Chaîne légère / Cadena ligera  
 EIVMTQSPAT LSVPGERAT LSCRASQSVS SNLAWYQQQP GQAPRLLIYG 50  
 ASTRATGIPA RFSGSGSGTE FTTLTISSLQS EDFAVYYCQQ YHSFPFTFGG 100  
 GTKVKEKRV AAPSVFTIFPP SDEQLKSGTA SVVCLLNNFY PREAKVQWKV 150  
 DNALQSGNSQ ESVTEQDSKD STYSLSSSTLT LSKADYEKHK VYACEVTHQG 200  
 LSSPVTKFSN RGECA 214

**Post-translational modifications**

Disulfide bridges location / Position des ponts disulfure / Posiciones de los puentes disulfuro  
 Intra-H (C23-C104) 22-97 147-203 264-324 370-428  
 22"-97" 147"-203" 264"-324" 370"-428"  
 Intra-L (C23-C104) 23"-88" 134"-194"  
 23"-88" 134"-194"  
 Inter-H-L (h 5-CL 126) 223-214' 223"-214"  
 Inter-H-H (h 11, h 14) 229-229" 232-232"

N-terminal glutaminyl cyclization / Cyclisation du glutaminyle N-terminal / Ciclación del glutamínilo N-terminal  
 Q> pyroglutamyl (pE, 5-oxoprolyl) / pyroglutamyl (pE, 5-oxoprolyl) / piroglutamilo (pE, 5-oxoprolico)  
 H VH Q1: 1, 1"

N-glycosylation sites / Sites de N-glycosylation / Posiciones de N-glicosilación  
 H CH2 N84.4: 300, 300"  
 Fucosylated complex bi-antennary CHO-type glycans / glycanes de tipo CHO bi-antennaires complexes fucosyles / glicanos de tipo CHO biantenarios complejos fucosilados

C-terminal lysine clipping / Coupure de la lysine C-terminale / Recorte de lisina C-terminal  
 H CHS K2: 450, 450"

**felmetatug vedotinum #**

felmetatug vedotin

immunoglobulin G1-kappa, anti-[*Homo sapiens* VTCN1 (V-set domain containing T cell activation inhibitor 1, B7 family member H4, B7H4, B7-H4)], *Homo sapiens* monoclonal antibody, conjugated on an average of four cysteinyl residues to *vedotin*, comprising a cleavable linker and monomethylauristatin E (MMAE); H-gamma1 heavy chain *Homo sapiens* (1-450) [VH (*Homo sapiens*IGHV4-39\*01 (96.0%) - (IGHD) - IGHJ5\*02 (93.8%), CDR-IMGT [10.7.12] (26-35.53-59.98-109)) (1-120) - *Homo sapiens*IGHG1\*01 (100%) G1m17,1 CH1 K120, CH3 D12, L14 (CH1 K120 (217) (121-218), hinge 1-15 (219-233), CH2 (234-343), CH3 D12 (359), L14 (361) (344-448), CHS (449-450)) (121-450)], (223-214')-disulfide with L-kappa light chain *Homo sapiens* (1'-214') [V-KAPPA (*Homo sapiens* IGKV3-15\*01 (96.8%) -IGKJ4\*01 (91.7%), CDR-IMGT [6.3.9] (27'-32'.50'-52'.89'-97')) (1'-107') -*Homo sapiens* IGKC\*01 (100%) Km3 A45.1, V101 (C-KAPPA A45.1 (153'), V101 (191')) (108'-214')]; dimer (229-229":232-232")-bisdisulfide, produced in Chinese hamster ovary (CHO) cells, cell line CHO-DG44, glycoform alfa; substituted at the sulfur atoms of four L-cysteinyl residues on an average among 223, 229, 232, 214', 223", 229", 232" and 214" with a group consisting of (3RS)-1-(6-[(2S)-1-[(2S)-5-(carbamoylamino)-1-(4-[(3S)-1-[(2S)-1-[(3R,4S,5S)-1-[(2S)-2-[(1R,2R)-3-[(1S,2R)-1-hydroxy-1-phenylpropan-2-yl]amino)-1-methoxy-2-methyl-3-oxopropyl]pyrrolidin-1-yl]-3-methoxy-5-methyl-1-oxoheptan-4-yl](methyl)amino)-3-methyl-1-oxobutan-2-yl]amino}-3-methyl-1-oxobutan-2-yl](methyl)carbamoyl}oxy)methyl]anilino)-1-oxopentan-2-yl]amino)-3-methyl-1-oxobutan-2-yl]amino}-6-oxohexyl)-2,5-dioxopyrrolidin-3-yl (*vedotin*) *antineoplastic*

felmétatug védotine

immunoglobuline G1-kappa, anti-[*Homo sapiens* VTCN1 (inhibiteur 1 de l'activation des lymphocytes T contenant un domaine V-like, membre H4 de la famille B7, B7H4, B7-H4)], anticorps monoclonal *Homo sapiens*, conjugué, par quatre résidus cysteinyle en moyenne à la *védotine*, comprenant un linker clivable et monométhylauristatine E (MMAE); chaîne lourde H-gamma1 *Homo sapiens* (1-450) [VH (*Homo sapiens*IGHV4-39\*01 (96.0%) - (IGHD) - IGHJ5\*02 (93.8%), CDR-IMGT [10.7.12] (26-35.53-59.98-109)) (1-120) - *Homo sapiens*IGHG1\*01 (100%) G1m17,1 CH1 K120, CH3 D12, L14 (CH1 K120 (217) (121-218), charnière 1-15 (219-233), CH2 (234-343), CH3 D12 (359), L14 (361) (344-448), CHS (449-450)) (121-450)], (223-214')-disulfure avec la chaîne légère L-kappa *Homo sapiens* (1'-214') [V-KAPPA (*Homo sapiens* IGKV3-15\*01 (96.8%) -IGKJ4\*01 (91.7%), CDR-IMGT [6.3.9] (27'-32'.50'-52'.89'-97')) (1'-107') -*Homo sapiens* IGKC\*01 (100%) Km3 A45.1, V101 (C-KAPPA A45.1 (153'), V101 (191')) (108'-214')]; dimère (229-229":232-232")-bisdisulfure, produit dans des

cellules ovariennes de hamster chinois (CHO), lignée cellulaire CHO-DG44, glycoforme alfa; substitué sur l'atome de soufre de quatre résidus L-cystéinyle en moyenne parmi 223, 229, 232, 214', 223", 229", 232" et 214"" avec un groupe (3RS)-1-(6-[(2S)-1-[(2S)-5-(carbamoylamino)-1-4-[(2S)-1-[(2S)-1-[(3R,4S,5S)-1-{(2S)-2-[(1R,2R)-3-[(1S,2R)-1-hydroxy-1-phénylpropan-2-yl]amino}-1-méthoxy-2-méthyl-3-oxopropyl]pirrolidin-1-yl]-3-méthoxy-5-méthyl-1-oxoheptan-4-yl](métilyl)amino}-3-méthyl-1-oxobutan-2-yl]amino}-3-méthyl-1-oxobutan-2-yl][(métilyl)carbamoyl]oxy)méthyl]anilino}-1-oxopentan-2-yl]amino}-3-méthyl-1-oxobutan-2-yl]amino}-6-oxohexyl)-2,5-dioxopirrolidin-3-yle (*vedotina*) *antinéoplasique*

felmetatug vedotina

inmunoglobulina G1-kappa, anti-[*Homo sapiens* VTCN1 (inhibidor 1 de la activación de las células T que contiene un comino V-like, miembro H4 de la familia B7, B7H4, B7-H4)], anticuerpo monoclonal *Homo sapiens*, conjugado, sobre cuatro residuos cisteinilo por término medio a la *vedotina*, que comprende un enlace escindible y monometilauristatina E (MMAE); cadena pesada H-gamma1 *Homo sapiens* (1-450) [VH (*Homo sapiens* IGHV4-39\*01 (96.0%) -(IGHD) - IGHJ5\*02 (93.8%), CDR-IMGT [10.7.12] (26-35.53-59.98-109)) (1-120) -*Homo sapiens* IGHG1\*01 (100%) G1m17,1 CH1 K120, CH3 D12, L14 (CH1 K120 (217) (121-218), bisagra 1-15 (219-233), CH2 (234-343), CH3 D12 (359), L14 (361) (344-448), CHS (449-450)) (121-450)], (223-214')-disulfuro con la cadena ligera L-kappa *Homo sapiens* (1'-214') [V-KAPPA (*Homo sapiens* IGKV3-15\*01 (96.8%) -IGKJ4\*01 (91.7%), CDR-IMGT [6.3.9] (27'-32'.50'-52'.89'-97')) (1'-107') -*Homo sapiens* IGKC\*01 (100%) Km3 A45.1, V101 (C-KAPPA A45.1 (153'), V101 (191')) (108'-214')]; dímero (229-229":232-232")-bisdisulfuro, producido en las células ováricas de hámster chino (CHO), línea celular CHO-DG44, forma glicosilada alfa; sustituido en el átomo de azufre de cuatro residuos L-cisteinilo en una media entre 223,229,232,214',223",229",232" y 214"" con un grupo (3RS)-1-(6-[(2S)-1-[(2S)-5-(carbamoylamino)-1-4-[(2S)-1-[(2S)-1-[(3R,4S,5S)-1-{(2S)-2-[(1R,2R)-3-[(1S,2R)-1-hidroxi-1-fenilpropan-2-yl]amino}-1-metoxi-2-metil-3-oxopropyl]pirrolidin-1-yl]-3-metoxi-5-metil-1-oxoheptan-4-yl](métilyl)amino}-3-metil-1-oxobutan-2-yl]amino}-3-metil-1-oxobutan-2-yl][(métilyl)carbamoyl]oxy)méthyl]anilino}-1-oxopentan-2-yl]amino}-3-metil-1-oxobutan-2-yl]amino}-6-oxohexyl)-2,5-dioxopirrolidin-3-ilo (*vedotina*) *antineoplásico*

## Heavy chain / Chaîne lourde / Cadena pesada

QLQLQESPGV LVKPESETLRL TCTVSGGSIK SGSYYWGIR QPPGKGLEWI 50  
 GNIYYSGSTY YNPSPRSRVT ISVDTSKNQF SLKLSSVTAA DTAVYYCARE 100  
 GSYPNQFDPW GGTLVTVSS ASTKGPSVFP LAPSSKSTSG GTAALGCLVK 150  
 DYFPEPVTVS WNSGALTSGV HTTPAVLQSS GLYSLLSVVT VPSSSLGTQT 200  
 YICNVNHNKPS NTKVDKKVEP KSCDKTHTCP PCPAPELLGG PSVFLFPKP 250  
 KDTLMISRTP EVTCVVVDVS HEDEPVKFNW YVGVEVHNA KTKPREEQYN 300  
 STYRVVSVLT VLHQDWLNKG EYCKVSNKA LPAPIEKTIS KAKGQPRPEQ 350  
 VYTLPPSRDE LTKNQVSLTC LVKGFYPSDI AWEWESNGQP ENNYKTPPV 400  
 LDSDGSFFLY SKLTVDKSRW QQGNVFSCSV MHEALHNHYT QKSLSLSPGK 450

## Light chain / Chaîne légère / Cadena ligera

EIVMTQSPAT LSVPSPGERAT LSCRASQSVS SNIAWYQQKP GQAPRLLIYG 50  
 ASTRATGIPA RFSGSGSGTE FTIITISSLQS EDFAVYYCQQ YHSFPFTFGG 100  
 GTKVEIKRTV AAPSVFIFPP SDEQLKSGTA SVVCLNNFY PREAKVQWKV 150  
 DNALQSGNSQ ESVTEQDSKD STYSLSSLT LSKADYEKHK VYACEVTHQG 200  
 LSSPVTKSFN RGEC 214

## Post-translational modifications

Disulfide bridges location / Position des ponts disulfure / Posiciones de los puentes disulfuro  
 Intra-H (C23-C104) 22'-97" 147'-203" 264-324" 370-428"

Intra-L (C23-C104) 23'-88" 134"-194"  
 23"-88" 134"-194"

Inter-H-L (h 5-CL 126)\* 223-214" 223"-214"

Inter-H-H (h 11, h 14)\* 229-229" 232-232"

\*At least two of the four inter-chain disulfide bridges are not present, an average of four cysteinyl being conjugated each via a thioether bond to a drug linker.

\*Au moins deux des quatre ponts disulfures inter-chaines ne sont pas présents, quatre cystéinyl en moyenne étant chacun conjugué via une liaison thioéther à un linker-principe actif.

\*Al menos dos de los cuatro puentes disulfuro inter-catenarios no estan presentes, una media de cuatro cisteinil está conjugada a conectores de principio activo.

## N-terminal glutaminyl cyclization / Cyclisation du glutaminyle N-terminal / Ciclación del glutamino N-terminal

Q > pyroglutamyl (pE, 5-oxopropyl) / pyroglutamyle (pE, 5-oxopropyle) / piroglutamilo (pE, 5-oxopropilo)  
 H VH Q1: 1, 1"

## N-glycosylation sites / Sites de N-glycosylation / Posiciones de N-glicosilación

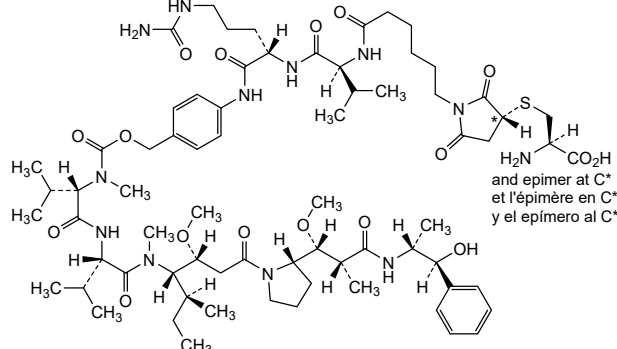
H CH2 N84.4: 300, 300"  
 Fucosylated complex bi-antennary CHO-type glycans / glycanes de type CHO bi-antennaires complexes fucosylés / glicanos de tipo CHO biantenarios complejos fucosilados

C-terminal lysine clipping / Coupe de la lysine C-terminale / Recorte de lisina C-terminal  
 H CHS K2: 450, 450"

Potential modified residues / résidus modifiés potentiels / restos modificados potenciales\*

C (223, 229, 232, 214", 223", 229", 232", 214")

\*(vedoitin:mAb ~ 4:1)

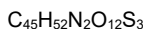


**filricianum**

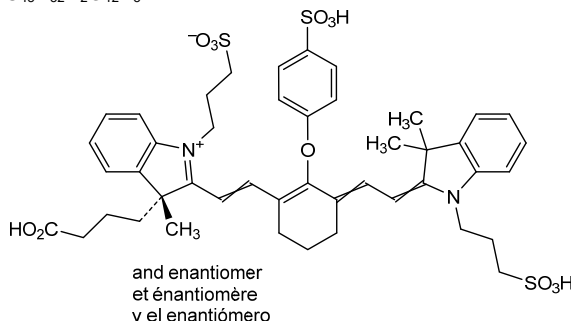
**filricianine** 3-[(3RS)-3-(3-carboxypropyl)-2-((1 $\Xi$ )-2-[(3 $\Xi$ )-3-{(2 $\Xi$ )-2-[3,3-dimethyl-1-(3-sulfopropyl)-1,3-dihydro-2H-indol-2-ylidene]ethylidene}-2-(4-sulfophenoxy)cyclohex-1-en-1-yl]ethen-1-yl]-3-methyl-3H-indol-1-iium-1-yl]propane-1-sulfonate  
*diagnostic imaging agent*

**filricianine** 3-[(3RS)-3-(3-carboxypropyl)-2-((1 $\Xi$ )-2-[(3 $\Xi$ )-3-{(2 $\Xi$ )-2-[3,3-diméthyl-1-(3-sulfopropyl)-1,3-dihydro-2H-indol-2-ylidène]éthylidène}-2-(4-sulfophénoxy)cyclohex-1-én-1-yl]éthén-1-yl]-3-méthyl-3H-indol-1-iuum-1-yl]propane-1-sulfonate  
*agent d'imagerie diagnostique*

**filricianina** 3-[(3RS)-3-(3-carboxipropil)-2-((1 $\Xi$ )-2-[(3 $\Xi$ )-3-{(2 $\Xi$ )-2-[3,3-dimetil-1-(3-sulfopropil)-1,3-dihidro-2H-indol-2-ilideno]etilideno}-2-(4-sulfofenoxi)ciclohex-1-en-1-il]eten-1-il]-3-metil-3H-indol-1-jo-1-il]propano-1-sulfonato  
*agente de diagnóstico*



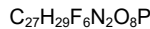
2140857-94-7

**fosrolapitantum**

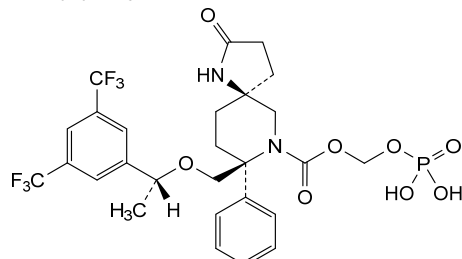
**fosrolapitant** (phosphonooxy)methyl (5S,8S)-8-((1R)-1-[3,5-bis(trifluoromethyl)phenyl]ethoxy)methyl)-2-oxo-8-phenyl-1,7-diazaspiro[4.5]decane-7-carboxylate  
*neurokinin 1 (NK1) receptor antagonist*

**fosrolapitant** (5S,8S)-8-((1R)-1-[3,5-bis(trifluorométhyl)phényl]éthoxy)méthyl)-2-oxo-8-phényl-1,7-diazaspiro[4.5]décane-7-carboxylate de (phosphonooxy)méthyle  
*antagoniste des récepteurs de la neurokinine 1 (NK1)*

**fosrolapitant** (5S,8S)-8-((1R)-1-[3,5-bis(trifluorometil)fenil]etoxi)metyl)-8-fenil-2-oxo-1,7-diazaespiro[4.5]decano-7-carboxilato de (fosfonooxi)metilo  
*antagonista del receptor neurocinina 1 (NK1)*



2573694-38-7



**frespaciguatum**

frespaciguat

3-{4-[(5S)-4-amino-2-[6-chloro-1-(3,3,4,4,4-pentafluorobutyl)-1*H*-indazol-3-yl]-5-methyl-6-oxo-6,7-dihydro-5*H*-pyrrolo[2,3-*d*]pyrimidin-5-yl]phenyl}propanoic acid  
*guanylate cyclase activator*

frespaciguat

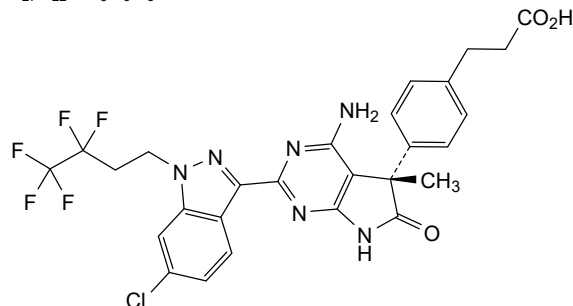
acide 3-{4-[(5S)-4-amino-2-[6-chloro-1-(3,3,4,4,4-pentafluorobutyl)-1*H*-indazol-3-yl]-5-méthyl-6-oxo-6,7-dihydro-5*H*-pyrrolo[2,3-*d*]pyrimidin-5-yl]phényl}propanoïque  
*activateur de la guanylate cyclase*

frespaciguat

ácido 3-{4-[(5S)-4-amino-2-[6-cloro-1-(3,3,4,4,4-pentafluorobutil)-1*H*-indazol-3-il]-5-metil-6-oxo-5,6-dihidro-1*H*-pirrolo[2,3-*d*]pirimidin-5-il]fenil}propanoico  
*activador de la guanilato ciclase*

C27H22ClF5N6O3

2101645-33-2

**gacovetugum #**

gacovetug

immunoglobulin A (VH-h-CH2-CH3-CHS) dimer, anti-[F4<sup>+</sup> enterotoxigenic *Escherichia coli* (ETEC) FaeG (subunit of the major constituent of F4<sup>+</sup> fimbriae), chimeric camelid-*Sus scrofa* monoclonal antibody, monospecific, bivalent; H-alpha heavy chain chimeric (1-359) [VH (*Vicugna pacos* IGHV3S53\*01 (84.5%) -(IGHD) -IGHJ6\*01 (90.9%) Q120>K (113), CDR-IMGT [8.7.15] (26-33.51-57.96-110)) (1-121) -*Sus scrofa* IGHA\*01 h-CH2-CH3-CHS (100%) (hinge 5-9 (122-126), CH2 (127-228), CH3 (229-339), CHS (340-359)) (122-359)]; dimer (127-127":187-187":197-197")-trisdisulfide, produced in the yeast *Pichia pastoris* (*Komagataella phaffii*), glycoform alfa  
*antibacterial (veterinary use)*

gacovétug

immunoglobuline A (VH-h-CH2-CH3-CHS) dimère, anti-[F4<sup>+</sup> *Escherichia coli* entérotoxinogène (ECET) FaeG (sous-unité du constituant majeur des fimbriae F4<sup>+</sup>), anticorps monoclonal chimérique camélidé-*Sus scrofa*, monospécifique, bivalent; chaîne lourde H-alpha chimérique (1-359) [VH (*Vicugna pacos* IGHV3S53\*01 (84.5%) -(IGHD) -IGHJ6\*01 (90.9%) Q120>K (113), CDR-IMGT [8.7.15] (26-33.51-57.96-110)) (1-121) -*Sus scrofa* IGHA\*01 h-CH2-CH3-CHS (100%) (charnière 5-9 (122-126), CH2 (127-228), CH3 (229-339), CHS (340-359)) (122-359)]; dimère (127-127":187-187":197-197")-trisdisulfure, produit dans la levure *Pichia pastoris* (*Komagataella phaffii*), glycoforme alfa  
*antibactérien (usage vétérinaire)*

gacovetug                    inmunoglobulina A (VH-h-CH2-CH3-CHS) dímero, anti-[F4<sup>+</sup> *Escherichia coli* enterotoxinogen (ECET) FaeG (subunidad del constituyente mayor de las fimbrias F4<sup>+</sup>), anticuerpo monoclonal quimérico camélida-*Sus scrofa*, monoespecífico, bivalente; cadena pesada H-alfa químérica (1-359) [VH (*Vicugna pacos* IGHV3S53\*01 (84.5%) -(IGHD)-IGHJ6\*01 (90.9%) Q120>K (113), CDR-IMGT [8.7.15] (26-33.51-57.96-110)) (1-121) -*Sus scrofa* IGHA\*01 h-CH2-CH3-CHS (100%) (bisagra 5-9 (122-126), CH2 (127-228), CH3 (229-339), CHS (340-359)) (122-359)]; dímero (127-127":187-187":197-197")-trisdisulfuro, producido en la levadura *Pichia pastoris* (*Komagataella phaffii*), forma glicosilada alfa *antibacteriano (uso veterinario)*

2935485-57-5

Heavy chain / Chaîne lourde / Cadena pesada

QVQLQESGGG LVQPGGSLRL SCTASGSISS INAMGWYRQA PGSKREFVAH 50  
 ITNTGVTTEFA DSVKGRTFIS RDNAKTTVDL QMNSLKPEDT AVYYCAATDW 100  
 GTLLIKGIDH WGKGTQVTVS SDPCPQCCKP SLSLQPPALA DLLGSNASL 150  
 TCTILSGLKKK EGVSFTWQPS GGKDAVQASP TRDSCGCVSV SSILPGCADP 200  
 WNKGETFSCT AAHSELKSAL TATITPKVNV TFRPQVHLLP PPSEELALNE 250  
 LVLTLCLVRG FSPKDVLVRW LQGGQELPRD KYLVWESLPE PGQAIPTYAV 300  
 TSVLRVDAED WKQGDTFSCM VGHEALPLAF TQKTIDSLAG KPTHVNVSVV 350  
 MAEAEVICY 359

**Post-translational modifications**

Disulfide bridges location / Position des ponts disulfure / Posiciones de los puentes disulfuro  
 Intra-H (C23-C104) 22-95 152-209 256-319  
                       22'-95' 152'-209' 256'-319'  
 Intra-H (CH2 1.1-84.3) 128-185  
                       128'-185'  
 Inter-H-H (CH2 1.2, 85.3, 92) 127-127' 187-187' 197-197'

N-terminal glutaminyl cyclization / Cyclisation du glutaminyle N-terminal / Ciclación del glutamínilo N-terminal  
 Q > pyroglutamyl (pE, 5-oxoprolyl) / pyroglutamyle (pE, 5-oxoprolyle) / piroglutamilo (pE, 5-oxoprolilo)  
 H VH Q1: 1, 1'

N-glycosylation sites / Sites de N-glycosylation / Posiciones de N-glicosilación  
 H CH2 N18: 147, 147'  
 H CHS N7: 346, 346'

**givilmeranum #**  
givilmeran

messenger RNA (mRNA), 5' capped, encoding codon-optimised human methylmalonyl-coenzyme A mutase (MMUT, MUT, MCM) flanked by 5' and 3' untranslated regions (UTRs) followed by a 3' polyadenylation (polyA) tail and concluded by a 5-nucleotide *Xba*I scar. The 3' UTR contains three microRNA-142 (miR-142) binding sites. Contains *N*<sup>1</sup>-methylpseudouridine instead of uridine (*all-U>m*<sup>1</sup>*Ψ*) *methylmalonyl-coenzyme A mutase enzyme replacement therapy*

givilméran

ARN messager (ARNm), protégé d'une coiffe en 5', codant la méthylmalonyl-CoA mutase humaine (MMUT, MUT, MCM), aux codons optimisés, flanqué de régions non traduites en 5' et 3' (UTR), suivies d'une queue de polyadénylation (polyA) en 3' et terminées par une cicatrice *Xba*I de 5 nucléotides. La région 3' UTR contient trois sites de liaison du microARN-142 (miARN-142). Contient des *N*<sup>1</sup>-methylpseudouridine au lieu de l'uridine (*tout U>m*<sup>1</sup>*Ψ*) *thérapie de remplacement enzymatique méthylmalonyl-coenzyme A mutase*

givilmerán

ARN mensajero (ARNm), protegido en 5', que codifica, con codones optimizados, para la metilmalonil-coenzima A mutasa (MMUT, MUT, MCM) humana, flanqueado por regiones sin traducir 5' y 3' (UTRs) seguido de una cola de poliadenilación (polyA) en 3' y concluido con una cicatriz *Xba*I de 5 nucleótidos. La región 3' UTR contiene tres sitios de unión del microARN-142 (miR-142). Contiene *N*<sup>1</sup>-metilpseudouridina en lugar de uridina (*todo-U>m<sup>1</sup>Ψ*)

*terapia de sustitución del enzima metilmalonil-coenzima A mutasa*

2924731-69-9

glasmacinalum

glasmacinal

(2*R*,3*S*,4*R*,5*R*,8*R*,10*R*,11*R*,12*S*,13*S*,14*R*)-11-{[2-O-benzoyl-3,4,6-trideoxy-3-(dimethylamino)-β-D-xylo-hexopyranosyl]oxy}-2-ethyl-3,4,10,13-tetrahydroxy-3,5,6,8,10,12,14-heptamethyl-1-oxa-6-azacyclopentadecan-15-one

*non-antibacterial macrolide, anti-inflammatory*

glasmacinal

(2*R*,3*S*,4*R*,5*R*,8*R*,10*R*,11*R*,12*S*,13*S*,14*R*)-11-{[2-O-benzoyl-3,4,6-tridésoxy-3-(diméthylamino)-β-D-xylo-hexopyranosyl]oxy}-2-éthyl-3,4,10,13-tétrahydroxy-3,5,6,8,10,12,14-heptaméthyl-1-oxa-6-azacyclopentadécane-15-one

*macrolide non antibactérien, anti-inflammatoire*

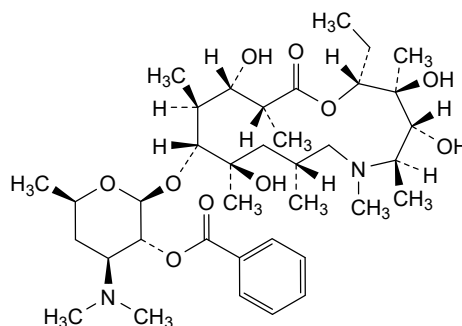
glasmacinal

(2*R*,3*S*,4*R*,5*R*,8*R*,10*R*,11*R*,12*S*,13*S*,14*R*)-11-{[2-O-benzoil-3,4,6-tridesoxi-3-(dimetilamino)-β-D-xilo-hexopiranosil]oxi}-2-etyl-3,4,10,13-tetrahidroxi-3,5,6,8,10,12,14-heptametil-1-oxa-6-azaciclopentadecan-15-ona

*macrólido no antibacteriano, antiinflamatorio*

C<sub>37</sub>H<sub>62</sub>N<sub>2</sub>O<sub>10</sub>

2097822-02-9



gletimbetasinum #

gletimbetasin

human L-glycyl thymosin beta-4 (TMSB4X, TB4X), produced in *Escherichia coli*; L-glycyl-L-seryl-L-aspartyl-L-lysyl-L-prolyl-L-aspartyl-L-methionyl-L-alanyl-L-glutamyl-L-isoleucyl-L-glutamyl-L-lysyl-L-phenylalanyl-L-aspartyl-L-lysyl-L-seryl-L-lysyl-L-leucyl-L-lysyl-L-lysyl-L-threonyl-L-glutamyl-L-threonyl-L-glutaminyl-L-glutamyl-L-lysyl-L-asparagyl-L-prolyl-L-leucyl-L-prolyl-L-seryl-L-lysyl-L-glutamyl-L-threonyl-L-isoleucyl-L-glutamyl-L-glutaminyl-L-glutamyl-L-lysyl-L-glutaminyl-L-alanyl-L-glycyl-L-glutamyl-L-seryl, produced in *Escherichia coli*

*thymosin β4 analogue, anti-inflammatory*

glétimbétasine	L-glycyl thymosine bêta-4 humaine (TMSB4X, TB4X), produite dans <i>Escherichia coli</i> ; L-glycyl-L-séryl-L-aspartyl-L-lysyl-L-proyl-L-aspartyl-L-méthionyl-L-alanyl-L-glutamyl-L-isoleucyl-L-glutamyl-L-lysyl-L-phénylalanyl-L-aspartyl-L-lysyl-L-séryl-L-lysyl-L-leucyl-L-lysyl-L-lysyl-L-thréonyl-L-glutamyl-L-thréonyl-L-glutaminyl-L-glutamyl-L-lysyl-L-asparagyl-L-proyl-L-leucyl-L-proyl-L-séryl-L-lysyl-L-glutamyl-L-thréonyl-L-isoleucyl-L-glutamyl-L-glutaminyl-L-glutamyl-L-lysyl-L-glutaminyl-L-alanyl-L-glycyl-L-glutamyl-L-séryl produit dans des <i>Escherichia coli</i> analogue de la thymosine $\beta$ 4, anti-inflammatoire
gletimbetasina	L-glicil timosina beta-4 humana (TMSB4X, TB4X), producido en <i>Escherichia coli</i> ; L-glicil-L-seril-L-aspartil-L-lisil-L-prolil-L-aspartil-L-metionil-L-alanil-L-glutamil-L-isoleucil-L-glutamil-L-lisil-L-fenilalanil-L-aspartil-L-lisil-L-seril-L-lisil-L-leucil-L-lisil-L-lisil-L-treonil-L-glutamil-L-treonil-L-glutaminil-L-glutamil-L-lisil-L-asparagil-L-proyl-L-leucil-L-proyl-L-seril-L-lisil-L-glutamil-L-treonil-L-isoleucil-L-glutamil-L-glutaminil-L-glutamil-L-lisil-L-glutaminil-L-alanil-L-glicil-L-glutamil-L-seril, producido en <i>Escherichia coli</i> análogo de la timosina $\beta$ 4, antiinflamatorio

C212H352N57O79S

921944-96-9

Sequence / Séquence / Secuencia

GSDKPDMAE I EKFDKSKLKK TETQEKNPLP SKETIEQEKO AGES 4 4**greziprubartum #**

greziprubart

immunoglobulin G1-kappa, anti-[*Homo sapiens* C5 (complement 5) anaphylatoxin (C5a, C5 Pr678-751)], *Homo sapiens* monoclonal antibody;H-gamma1 heavy chain *Homo sapiens* (1-449) [VH (*Homo sapiens* IGHV3-72\*01 (88.8%) -(IGHD) -IGHJ5\*01 (91.7%) T122>V (113), CDR-IMGT [8.10.10] (26-33.51-60.99-108)) (1-119) -*Homo sapiens* IGHG1\*03v, G1m3>G1m17, nG1m1 CH1 K120, CH3 E12, M14, G1v14 CH2 A1.3, A1.2 (CH1 R120>K (216) (120-217), hinge 1-15 (218-232), CH2 L1.3>A (236), L1.2>A (237) (233-342), CH3 E12 (358), M14 (360) (343-447), CHS (448-449)) (120-449)], (222-219')-disulfide with L-kappa light chain *Homo sapiens* (1'-219') [V-KAPPA (*Homo sapiens* IGKV2-28\*01 (89.0%) -IGKJ2\*01 (100%), CDR-IMGT [11.3.9] (27'-37'.55'-57'.94'-102')) (1'-112') -*Homo sapiens* IGKC\*01 (100%) Km3 A45.1, V101 (C-KAPPA A45.1 (158'), V101 (196')) (113'-219')]; dimer (228-228":231-231")-bisdisulfide, produced in Chinese hamster ovary (CHO) cells, glycoform alfa complement factor 5a (C5a) blocker, immunosuppressant

gréziprubart

immunoglobuline G1-kappa, anti-[*Homo sapiens* C5 (complément 5) anaphylatoxine (C5a, C5 Pr678-751)]; anticorps monoclonal *Homo sapiens*;

chaîne lourde H-gamma1 *Homo sapiens* (1-449) [VH (*Homo sapiens* IGHV3-72\*01 (88.8%) -(IGHD) -IGHJ5\*01 (91.7%) T122>V (113), CDR-IMGT [8.10.10] (26-33.51-60.99-108)) (1-119) -*Homo sapiens*IGHG1\*03v, G1m3>G1m17, nG1m1 CH1 K120, CH3 E12, M14, G1v14 CH2 A1.3, A1.2 (CH1 R120>K (216) (120-217), charnière 1-15 (218-232), CH2 L1.3>A (236), L1.2>A (237) (233-342), CH3 E12 (358), M14 (360) (343-447), CHS (448-449)) (120-449)], (222-219')-disulfure avec la chaîne légère L-kappa *Homo sapiens* (1'-219') [V-KAPPA (*Homo sapiens* IGKV2-28\*01 (89.0%) -IGKJ2\*01 (100%), CDR-IMGT [11.3.9] (27'-37'.55'-57'.94'-102')) (1'-112') -*Homo sapiens* IGKC\*01 (100%) Km3 A45.1, V101 (C-KAPPA A45.1 (158'), V101 (196')) (113'-219')]; dimère (228-228":231-231")-bisdisulfure, produit dans des cellules ovarianes de hamster chinois (CHO), glycoforme alfa bloqueur du facteur complémentaire 5a (C5a), immunsupresseur

greziprubartr  
inmunoglobulina G1-kappa, anti-[*Homo sapiens* C5 (complemento 5) anafilotoxina (C5a, C5 Pr678-751)]; anticuerpo monoclonal *Homo sapiens*; cadena pesada H-gamma1 *Homo sapiens* (1-449) [VH (*Homo sapiens* IGHV3-72\*01 (88.8%) -(IGHD) -IGHJ5\*01 (91.7%) T122>V (113), CDR-IMGT [8.10.10] (26-33.51-60.99-108)) (1-119) -*Homo sapiens*IGHG1\*03v, G1m3>G1m17, nG1m1 CH1 K120, CH3 E12, M14, G1v14 CH2 A1.3, A1.2 (CH1 R120>K (216) (120-217), bisagra 1-15 (218-232), CH2 L1.3>A (236), L1.2>A (237) (233-342), CH3 E12 (358), M14 (360) (343-447), CHS (448-449)) (120-449)], (222-219')-disulfuro con la cadena ligera L-kappa *Homo sapiens* (1'-219') [V-KAPPA (*Homo sapiens* IGKV2-28\*01 (89.0%) -IGKJ2\*01 (100%), CDR-IMGT [11.3.9] (27'-37'.55'-57'.94'-102')) (1'-112') -*Homo sapiens* IGKC\*01 (100%) Km3 A45.1, V101 (C-KAPPA A45.1 (158'), V101 (196')) (113'-219')]; dímero (228-228":231-231")-bisdisulfuro, producido en las células ováricas de hámster chino (CHO), forma glicosilada alfa bloqueador del factor 5a del complemento (C5a), inmunosupresor

2894136-80-0

## Heavy chain / Chaîne lourde / Cadena pesada

```

EMQLVESGGGVQQLVPPGSGLR SCAASGFTFS DYYMQWVRQA PGKGPEWVGL 50
IRNKAVGETT QYAASVKGFRF TISRDDSKNS VYLMQMSLKT EDTAVYYCVS 100
RAGFPGLSWG QGVILTVSSA STKGPSVFL APSSKSTSGG TAALGCLVKD 150
YFPEPVTVSW NSGALTSGVH TPPAVLQSSG LYSLSSVVTVF PSSSLGTQTY 200
ICNVNHKPSN TKVDKKVEPK SCDKHTCPP CPAAPEAAGGP SVFLFPKP 250
DTLMSRTFE VTCVVVDVSH EDPEVKFWYV DGVEVHNAK TPKPREEQYN 300
TYRVVSVLTV LHQDWLNGKE YKCKVSNKAL PAPIEKTISK AKGQPREPQV 350
YTLPFSREEM TKNQVSLTCL VKGFYPSDIA VEWEESNGQPE NNYKTPPPVL 400
DSDGSFFLYS KLTVDKSRWQ QGNVFSCSVM HEALHNHYTQ KSLSLSPGK 449

```

## Light chain / Chaîne légère / Cadena ligera

```

DIVMTQSPLS LPVPTGEPAS ISCRSSQSSL ASDAYNYIDW YLQKPGQSQPQ 50
LLIYGGSNRA SGVPDRFSGS GSGTDFTLKI SRVEAEVGV VFCLQHRLAP 100
PTFGQQGKLE IKRTVAAPSV FIFPPSDEQL KSGTASVCL LNNFYPREAK 150
VQWKVDNALQ SGNSQESVTE QDSKDSTYSL SSTLTLKAD YEKKHVYACE 200
VTHQGLSSSPV TKSFRNRGEC 219

```

## Post-translational modifications

Disulfide bridges location / Position des ponts disulfure / Posiciones de los puentes disulfuro

Intra-H (C23-C104) 22-98 146-202 263-323 369-427

22"-98" 146"-202" 263"-323" 369"-427"

Intra-L (C23-C104) 23"-93" 139"-199"

23"-93"" 139"-199""

Inter-H-L (h 5-CL 126) 222-219' 222"-219"

Inter-H-H (h 11, h 14) 228-228" 231-231"

## N-glycosylation sites / Sites de N-glycosylation / Posiciones de N-glicosilación

H CH2 N84.4: 299, 299"

Fucosylated complex bi-antennary CHO-type glycans / glycanes de type CHO bi-antennaires complexes fucosylés / glicanos de tipo CHO biantenarios complejos fucosilados

C-terminal lysine clipping / Coupe de la lysine C-terminale / Recorte de lisina C-terminal

H CHS K2: 449, 449"

**gridegalutamidum**

gridegalutamide

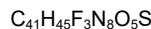
2-[(*7<sup>3</sup>R*)-1<sup>4</sup>-cyano-3<sup>3</sup>-ethyl-2<sup>4</sup>,2<sup>4</sup>,7<sup>3</sup>-trimethyl-2<sup>5</sup>-oxo-2<sup>2</sup>-thioxo-1<sup>3</sup>-trifluoromethyl)-4-oxa-7(1)-piperazina-2(1,3)-imidazolidina-1(1),3(1,4)-dibenzeneheptaphan-7<sup>4</sup>-yl]-N-(3-{{(3*R*)-2,6-dioxopiperidin-3-yl}amino}phenyl)acetamide  
*antiandrogen, antineoplastic*

gridégalutamide

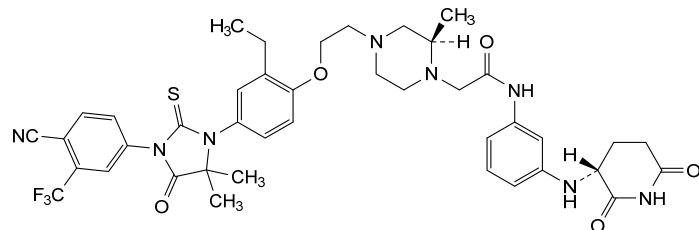
2-[(*7<sup>3</sup>R*)-1<sup>4</sup>-cyano-3<sup>3</sup>-éthyl-2<sup>4</sup>,2<sup>4</sup>,7<sup>3</sup>-triméthyl-2<sup>5</sup>-oxo-2<sup>2</sup>-thioxo-1<sup>3</sup>-trifluorométhyl)-4-oxa-7(1)-pipérazina-2(1,3)-imidazolidina-1(1),3(1,4)-dibenzénahéptaphan-7<sup>4</sup>-yl]-N-(3-{{(3*R*)-2,6-dioxopipérnidin-3-yl}amino}phényl)acétamide  
*antiandrogène, antinéoplasique*

gridegalutamida

2-[(*7<sup>3</sup>R*)-1<sup>4</sup>-ciano-3<sup>3</sup>-etil-2<sup>4</sup>,2<sup>4</sup>,7<sup>3</sup>-trimetil-2<sup>5</sup>-oxo-2<sup>2</sup>-tioxo-1<sup>3</sup>-trifluorometil)-4-oxa-7(1)-piperazina-2(1,3)-imidazolidina-1(1),3(1,4)-dibenzeneheptafan-7<sup>4</sup>-il]-N-(3-{{(3*R*)-2,6-dioxopiperidin-3-il}amino}fenil)acetamida  
*antiandrógeno, antineoplásico*



2446929-86-6

**idrebormilastum**

idrebormilast

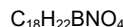
(*4R*)-4-[5-(4-methoxy-3-propoxyphenyl)pyridin-3-yl]-1,2-oxaborolan-2-ol  
*phosphodiesterase 4 (PDE4) inhibitor, non-steroidal anti-inflammatory*

idrébormilast

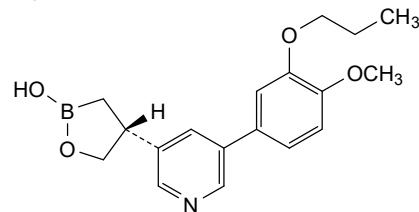
(*4R*)-4-[5-(4-méthoxy-3-propoxyphényl)pyridin-3-yl]-1,2-oxaborolan-2-ol  
*inhibiteur de la phosphodiestérase 4 (PDE4), anti-inflammatoire non stéroïdien*

idrebormilast

(*4R*)-4-[5-(4-metoxi-3-propoxifenil)piridin-3-il]-1,2-oxaborolan-2-ol  
*inhibidor de la fosfodiesterasa 4 (PDE4), antiinflamatorio no esteroide*



2415085-44-6



**imeroprubartum #**

imeroprubart

immunoglobulin G1-lambda2, anti-[*Homo sapiens* FCGRT (Fc fragment of IgG receptor and transporter, neonatal Fc receptor, FcRn, transmembrane alpha chain of the neonatal receptor)], *Homo sapiens* monoclonal antibody; H-gamma1 heavy chain *Homo sapiens* (1-451) [VH (*Homo sapiens*IGHV3-23\*01 (93.9%) -(IGHD)-IGHJ4\*01 (93.3%), CDR-IMGT [8.8.14] (26-33.51-58.97-110)) (1-121) -*Homo sapiens* IGHG1\*03, G1m3, nG1m1 CH1 R120, CH3 E12, M14, G1v14 CH2 A1.3, A1.2 (CH1 R120 (218) (122-219), hinge 1-15 (220-234), CH2 L1.3>A (238), L1.2>A (239) (235-344), CH3 E12 (360), M14 (362) (345-449), CHS (450-451)) (122-451)], (224-213')-disulfide with L-lambda2 light chain *Homo sapiens* (1'-214') [V-LAMBDA (*Homo sapiens* IGLV3-21\*02 (95.8%) -IGLJ2\*01 (91.7%), CDR-IMGT [6.3.11] (26'-31'.49'-51'.88'-98')) (1'-108') -*Homo sapiens* IGLC2\*01 (100%) (C-LAMBDA2) (109'-214')]; dimer (230-230":233-233")-bisdisulfide, produced in Chinese hamster ovary (CHO) cells, glycoform alfa *neonatal Fc receptor antagonist, immunosuppressant*

iméroprubart

immunoglobuline G1-lambda2, anti-[*Homo sapiens* FCGRT (transporteur et récepteur du fragment Fc des IgG, récepteur Fc néonatal, FcRn, chaîne alpha transmembranaire du récepteur néonatal)], anticorps monoclonal *Homo sapiens*; chaîne lourde H-gamma1 *Homo sapiens* (1-451) [VH (*Homo sapiens*IGHV3-23\*01 (93.9%) -(IGHD)-IGHJ4\*01 (93.3%), CDR-IMGT [8.8.14] (26-33.51-58.97-110)) (1-121) -*Homo sapiens* IGHG1\*03, G1m3, nG1m1 CH1 R120, CH3 E12, M14, G1v14 CH2 A1.3, A1.2 (CH1 R120 (218) (122-219), charnière 1-15 (220-234), CH2 L1.3>A (238), L1.2>A (239) (235-344), CH3 E12 (360), M14 (362) (345-449), CHS (450-451)) (122-451)], (224-213')-disulfure avec la chaîne légère L-lambda2 *Homo sapiens* (1'-214') [V-LAMBDA (*Homo sapiens* IGLV3-21\*02 (95.8%) -IGLJ2\*01 (91.7%), CDR-IMGT [6.3.11] (26'-31'.49'-51'.88'-98')) (1'-108') -*Homo sapiens* IGLC2\*01 (100%) (C-LAMBDA2) (109'-214')]; dimère (230-230":233-233")-bisdisulfure, produit dans des cellules ovaries de hamster chinois (CHO), glycoforme alfa *antagoniste du récepteur Fc néonatal, immunosuppresseur*

imeroprubart

inmunoglobulina G1-lambda2, anti-[*Homo sapiens* FCGRT (transportador y receptor del fragmento Fc de las IgG, receptor Fc neonatal, FcRn, cadena alfa transmembranaria del receptor neonatal)], anticuerpo monoclonal *Homo sapiens*; cadena pesada H-gamma1 *Homo sapiens* (1-451) [VH (*Homo sapiens*IGHV3-23\*01 (93.9%) -(IGHD)-IGHJ4\*01 (93.3%), CDR-IMGT [8.8.14] (26-33.51-58.97-110)) (1-121) -*Homo sapiens* IGHG1\*03, G1m3, nG1m1 CH1 R120, CH3 E12, M14, G1v14 CH2 A1.3, A1.2 (CH1 R120 (218) (122-219), bisagra 1-15 (220-234), CH2 L1.3>A (238), L1.2>A (239)(235-344), CH3 E12 (360), M14 (362) (345-449), CHS (450-451)) (122-451)], (224-213')-disulfuro con la cadena ligera L-lambda2 *Homo sapiens* (1'-214') [V-LAMBDA (*Homo sapiens* IGLV3-21\*02 (95.8%) -IGLJ2\*01 (91.7%), CDR-IMGT [6.3.11] (26'-31'.49'-51'.88'-98')) (1'-108') -*Homo sapiens* IGLC2\*01 (100%) (C-LAMBDA2) (109'-214')]; dímero (230-230":233-233")-bisdisulfuro, producido en las células ováricas de hámster chino (CHO), forma glicosilada alfa *antagonista del receptor Fc neonatal, inmunosupresor*

2919582-96-8

## Heavy chain / Chaîne lourde / Cadena pesada

EVQLLESGGG LVQPQGSLRL SCAASEFFGG SSVMTWVRQA PGKGLEWVSV 50  
 IGSGGGSTYY ADSVKGFRFTI SRDN SKNTLY LQMSLRAED TAVYYCAKTP 100  
 WWLRSPPFDY WQQGTLVTWS SASTKGPSVF PLAPSSKSTS GGTAA LGCLV 150  
 KDYFPEPVTV SWNSGALTSG VHTTFAVLQS SGILYSLSSVV TVFVSSLGTQ 200  
 TYICVNHNKP SNTKVVDKRVE PKSCDKTHTC PPCPAPEAAG GPSVFLFPKK 250  
 PKDTLMISRT PEVTCVVVDV SHEDPEVKFN WYVDGVEVHN AKTKPREEQY 300  
 NSTYRVVSVL TVLHQDWLNG KEYKCKVSNK ALPAPIEKTI SKAKGQPREP 350  
 QVYTLPPSRE EMTKNQVSLT CLVKGFYPSD IAVEWESNGQ PENNYKTPPP 400  
 VLDSDGSSFL YSKLTVDKSR WQQGNVFSCS VMHEALHNHY TQKSLSLSPG 450  
 K 451

## Light chain / Chaîne légère / Cadena ligera

SYVLTQPPSV SVAPGQTARI TCGGSNIGST SVHWYQQKPG QAPV L VVHDD 50  
 SDRFSG1PER FSGSNNSGNTA TL TISR VEAG DEAD YYCQVR DSSSDHVI FG 100  
 GGTKLTVLGQ PKAAPSVTLF PPSSBE LQAN KATL VCLL ISD FYFGAVTVAW 150  
 KADSSPVKAG VETTTFSKQS NNKYAASSYL SLTPEQWKSH RSYSCQVTHE 200  
 GSTVEKT VAP TECS 214

## Post-translational modifications

Disulfide bridges location / Position des ponts disulfure / Posiciones de los puentes disulfuro

Intra-H (C23-C104) 22-96 148-204 265-325 371-429  
 22"-96" 148"-204" 265"-325" 371"-429"

Intra-L (C23-C104) 22"-87" 136"-195"  
 22"-87" 136"-195"

Inter-H-L (h 5-CL 126) 224-213' 224"-213""

Inter-H-H (h 11, h 14) 230-230" 233-233"

N-glycosylation sites / Sites de N-glycosylation / Posiciones de N-glicosilación

H CH2 N84:4; 301, 301"

Fucosylated complex bi-antennary CHO-type glycans / glycanes de type CHO bi-antennaires complexes fucosylés / glicanos de tipo CHO biantenarios complejos fucosilados

C-terminal lysine clipping / Coupure de la lysine C-terminale / Recorte de lisina C-terminal  
H CHS K2: 451, 451"**imneskibartum #**

imneskibart

immunoglobulin G1-kappa, anti-[*Homo sapiens* IL2RA (interleukin 2 receptor subunit alpha; IL-2RA, TAC, p55, CD25)], humanized monoclonal antibody;  
 H-gamma1 heavy chain humanized (1-451) [VH (*Homo sapiens* IGHV1-24\*01 (84.5%) -(IGHD) -IGHJ4\*01 (92.9%), CDR-IMGT [8.8.14] (26-35.51-58.97-110)) (1-121) -*Homo sapiens* IGHG1\*01, G1m17, 1 CH1 K120, CH3 D12, L14, G1v14 CH2 A1.3, A1.2 (CH1 K120 (218) (122-219), hinge 1-15 (220-234), CH2 L1.3>A (238), L1.2>A (239) (235-344), CH3 D12 (360), L14 (362) (345-449), CHS (450-451)) (122-451)], (224-220')-disulfide with L-kappa light chain humanized (1'-220') [V-KAPPA (*Homo sapiens* IGKV4-1\*01 (88.1%) -IGKJ4\*01 (90.9%) G120>A (106'), CDR-IMGT [12.3.9] (27"-38"-56"-58"-95"-103')) (1'-113') -*Homo sapiens* IGKC\*01 (100%) Km3 A45.1, V101 (C-KAPPA A45.1 (159'), V101 (197')) (114"-220')], dimer (230-230":233-233")-bisdisulfide, produced in Chinese hamster ovary (CHO) cells, cell line CHO-K1, glycoform alfa  
*anti-interleukin 2 (IL-2), antineoplastic*

imneskibart

immunoglobuline G1-kappa, anti-[*Homo sapiens* IL2RA (sous-unité alpha du récepteur de l'interleukine 2; IL-2RA, TAC, p55, CD25)], anticorps monoclonal humanisé;  
 chaîne lourde H-gamma1 humanisée (1-451) [VH (*Homo sapiens*

IGHV1-24\*01 (84.5%) -(IGHD) -IGHJ4\*01 (92.9%), CDR-IMGT [8.8.14] (26-35.51-58.97-110)) (1-121) *-Homo sapiens* IGHG1\*01, G1m17,1 CH1 K120, CH3 D12, L14, G1v14 CH2 A1.3, A1.2 (CH1 K120 (218) (122-219), charnière 1-15 (220-234), CH2 L1.3>A (238), L1.2>A (239) (235-344), CH3 D12 (360), L14 (362) (345-449), CHS (450-451)) (122-451)], (224-220')-disulfure avec la chaîne légère L-kappa humanisée (1'-220') [V-KAPPA (*Homo sapiens* IGKV4-1\*01 (88.1%) -IGKJ4\*01 (90.9%) G120>A (106'), CDR-IMGT [12.3.9] (27'-38'.56'-58'.95'-103')) (1'-113') *-Homo sapiens* IGKC\*01 (100%) Km3 A45.1, V101 (C-KAPPA A45.1 (159'), V101 (197')) (114'-220')]; dimère (230-230":233-233")-bisdisulfure, produit dans des cellules ovarianes de hamster chinois (CHO), lignée cellulaire CHO-K1, glycoforme alfa anti-interleukine 2 (IL-2), antineoplasique

imneskibart immunoglobulina G1-kappa, anti-[*Homo sapiens* IL2RA (subunidad alfa del receptor de la interleukina 2; IL-2RA, TAC, p55, CD25)], anticuerpo monoclonal humanizado; cadena pesada H-gamma1 humanizada (1-451) [VH (*Homo sapiens* IGHV1-24\*01 (84.5%) -(IGHD) -IGHJ4\*01 (92.9%), CDR-IMGT [8.8.14] (26-35.51-58.97-110)) (1-121) *-Homo sapiens* IGHG1\*01, G1m17,1 CH1 K120, CH3 D12, L14, G1v14 CH2 A1.3, A1.2(CH1 K120 (218) (122-219), bisagra 1-15 (220-234), CH2 L1.3>A (238), L1.2>A (239) (235-344), CH3 D12 (360), L14 (362) (345-449), CHS (450-451)) (122-451)], (224-220')-disulfuro con la cadena ligera L-kappa humanizada (1'-220') [V-KAPPA (*Homo sapiens* IGKV4-1\*01 (88.1%) -IGKJ4\*01 (90.9%) G120>A (106'), CDR-IMGT [12.3.9] (27'-38'.56'-58'.95'-103')) (1'-113') *-Homo sapiens* IGKC\*01 (100%) Km3 A45.1, V101 (C-KAPPA A45.1 (159'), V101 (197')) (114'-220')]; dímero (230-230":233-233")-bisdisulfuro, producido en las células ováricas de hámster chino (CHO), línea celular CHO-K1, forma glicosilada alfa antiinterleuquina 2 (IL-2), antineoplásico

2919583-43-8

Heavy chain / Chaîne lourde / Cadena pesada

QVQLVQSGAE VKKPGSSVKV SCKASGYSIT DDLIHWVRQA PGGGLEWMGW 50  
 IDPDEGETNY AQKFQGRVTI TADTSTAY MELSSLRSED TAVYYCARSL 100  
 DSTWIYPFAY WGCGTLVTVS SASTKGPSVF PLAPSSKSTS GGTAALGCLV 150  
 KDDYFPEPVTV SWNSGALTSG VHHTPAVLQVS SGLYSSLSSV TVPSSSLGTQ 200  
 TYICNVNHKPN SNTKVDKKSG PKSCDKTHTC PPCPAAPEAG GPSVFLFPKK 250  
 PKDTLMISRT PEVTCVVVDV SHEDPEVKFN WYVDCVEVHAKTKPREEQY 300  
 NSTYRVVSVL TVLHQDWLNG KEYKCKVSNK ALPPAPIEKT SKAKGQPREP 350  
 QVYTLPPSRD ELTKNQVSLT CLVKGFYPSDQ IAVEWESNGQ PENNYKTPPP 400  
 VLDSDGSSFL YSKLTVDKSR WQQGNVFSCS VMHEALHNHY TQKSLSLSPG 450  
 K

Light chain / Chaîne légère / Cadena ligera

DIVMTQSPDS LASLGERAT INCKSSQSLL RRGNQKHNLA WYQQKEGQPP 50  
 KLLIYDASTG QSGVPDRFSG SGSGTDFTLT ISSLQAEQVA VYYCLQSYIT 100  
 PPTFGAGTKV EIKRTVAAFS VFIFPPPSDEQ LKSGTAVSVC LLNNFYPREA 150  
 KVQWKVDNAL QSGNSQESVT EQDSKDSTYS LSSTLTLASKA DYEKHKVYAC 200  
 EVTHQGLSSP VTKSFRNRC 220

**Post-translational modifications**

Disulfide bridges location / Position des ponts disulfure / Posiciones de los puentes disulfuro

Intra-H (C23-C104) 22-96 148-204 265-325 371-429  
 22"-96" 148"-204" 265"-325" 371"-429"  
 Intra-L (C23-C104) 23"-94" 140"-200"  
 23"-94" 140"-200"  
 Inter-H-L (h 5-CL 126) 224-220" 224"-220"  
 Inter-H-H (h 11, h 14) 230-230" 233-233"

N-terminal glutaminyl cyclization / Cyclisation du glutaminyle N-terminal / Ciclación del glutaminilo N-terminal

Q > pyroglutamyl (pE, 5-oxoprolyl) / pyroglutamyle (pE, 5-oxoprolyle) / piroglutamilo (pE, 5-oxoprolilo)  
 H VH Q1: 1, 1"

N-glycosylation sites / Sites de N-glycosylation / Posiciones de N-glicosilación

H CH2 N84.4: 301, 301"

Fucosylated complex bi-antennary CHO-type glycans / glycanes de type CHO bi-antennaires complexes fucosylés / glicanos de tipo CHO biantenarios complejos fucosilados

C-terminal lysine clipping / Coupe de la lysine C-terminale / Recorte de lisina C-terminal  
 H CHS K2: 451, 451"

**imzokitugum #**

imzokitug

immunoglobulin G1-kappa, anti-[*Homo sapiens* CCR8 (C-C motif chemokine receptor 8, CKR-L1, CDw198)], humanized monoclonal antibody;  
 H-gamma1 heavy chain humanized (1-445) [VH (*Homo sapiens*IGHV1-2\*06 (85.7%) -(IGHD) -IGHJ4\*01 (100%), CDR-IMGT [8.8.9] (26-33.51-58.97-105)) (1-116) -*Homo sapiens*IGHG1\*03 (100%) G1m3, nG1m1 CH1 R120, CH3 E12, M14 (CH1 R120 (213) (117-214), hinge 1-15 (215-229), CH2 (230-339), CH3 E12 (355), M14 (357) (340-444), CHS K2>del (445)) (117-445)], (219-219')-disulfide with L-kappa light chain humanized (1'-219') [V-KAPPA (*Homo sapiens*IGKV2D-29\*01 (90.0%) -IGKJ2\*01 (100%), CDR-IMGT [11.3.9] (27-37'.55'-57'.94'-102')) (1'-112') -*Homo sapiens* IGKC\*01 (100%) Km3 A45.1, V101 (C-KAPPA A45.1 (158'), V101 (196')) (113'-219')]; dimer (225-225":228-228")-bisdisulfide, produced in Chinese hamster ovary (CHO) cells, derived from the cell line CHO-K1, lacking the glutamine synthetase (GS-KO) gene and alpha-(1,6)-fucosyltransferase (FUT8-KO) gene, glycoform alfa antineoplastic

imzokitug

immunoglobuline G1-kappa, anti-[*Homo sapiens* CCR8 (récepteur 8 de chimiokine C-C motif, CKR-L1, CDw198)]; anticorps monoclonal humanisé;  
 chaîne lourde H-gamma1 humanisée (1-445) [VH (*Homo sapiens*IGHV1-2\*06 (85.7%) -(IGHD) -IGHJ4\*01 (100%), CDR-IMGT [8.8.9] (26-33.51-58.97-105)) (1-116) -*Homo sapiens*IGHG1\*03 (100%), G1m3, nG1m1 CH1 R120, CH3 E12, M14 (CH1 R120 (213) (117-214), charnière 1-15 (215-229), CH2 (230-339), CH3 E12 (355), M14 (357) (340-444), CHS K2>del (445)) (117-445)], (219-219')-disulfure avec la chaîne légère L-kappa humanisée (1'-219') [V-KAPPA (*Homo sapiens*IGKV2D-29\*01 (90.0%) -IGKJ2\*01 (100%), CDR-IMGT [11.3.9] (27-37'.55'-57'.94'-102')) (1'-112') -*Homo sapiens* IGKC\*01 (100%) Km3 A45.1, V101 (C-KAPPA A45.1 (158'), V101 (196')) (113'-219')]; dimère (225-225":228-228")-bisdisulfure, produit dans des cellules ovaries de hamster chinois (CHO), dérivant de la lignée cellulaire CHO-K1, ne présentant pas les gènes de la glutamine synthétase (GS-KO) et de l'alpha-(1,6)-fucosyltransférase (FUT8-KO), glycoforme alfa antinéoplasique

imzokitug

inmunoglobulina G1-kappa, anti-[*Homo sapiens* CCR8 (receptor 8 de quimicina motivo C-C, CKR-L1, CDw198)]; anticuerpo monoclonal humanizado;  
 cadena pesada H-gamma1 humanizada (1-445) [VH (*Homo sapiens*IGHV1-2\*06 (85.7%) -(IGHD) -IGHJ4\*01 (100%), CDR-IMGT [8.8.9] (26-33.51-58.97-105)) (1-116) -*Homo sapiens*IGHG1\*03 (100%), G1m3, nG1m1 CH1 R120, CH3 E12, M14 (CH1 R120 (213) (117-214), bisagra 1-15 (215-229), CH2 (230-339), CH3 E12 (355), M14 (357) (340-444), CHS K2>del (445)) (117-445)], (219-219')-disulfuro con la cadena ligera L-kappa humanizada (1'-219') [V-KAPPA (*Homo sapiens*IGKV2D-29\*01 (90.0%) -IGKJ2\*01 (100%), CDR-IMGT [11.3.9] (27-37'.55'-57'.94'-102')) (1'-112') -*Homo sapiens* IGKC\*01 (100%) Km3 A45.1, V101 (C-KAPPA A45.1 (158'), V101 (196')) (113'-219')]; dímero (225-225":228-228")-bisdisulfuro, producido en las células ováricas de hámster chino (CHO), línea celular derivada de CHO-K1, en ausencia de los genes de la glutamina sintetasa (GS-KO) y de la alfa-(1,6)-fucosiltransferasa (FUT8-KO), forma glicosilada alfa antineoplásico

Heavy chain / Chaîne lourde / Cadena pesada  
 QVQLVQSGAE VKKPGASVKV SCKASGYTFQ DSEMHWVRQA TGQGLEWMGA 50  
 IQPETGGTAY NQKFKARVTM TRDTSISTAY MELSSLRSED TAVYYCARRR 100  
 RNFDYWGQGQT LVTVSSASTK GPSVFLAPS SKSTSGGTTAA LGCLVKDYFP 150  
 EPVTIVSNSSG ALTSGVHTFP AVLQSSGLYS LSSVTVTPSS SLGTQTYICN 200  
 VNHKPSNTKV DKRVEPKSCD KTHTCPPCPA PELLGGPSVF LFPPKPKDTL 250  
 MISRTPEVTC VVVVDVSHEDP EVKFNWYVVG VEVHNAKTKP REEQYNSTYR 300  
 VVSVLTVLHQ DWLNGKEYKC KVSNKALPAP IEKTISKAKG QPREPVQVTL 350  
 PPSREEMTKN QVSLTCLVKG FYFSDIAVEW ESNQFENNY KTPPPVLDSD 400  
 GSFFLYSKLT VDKSRWQQGN VFSCSVMHEA LHNNHYTQKSL SLSLG 445

Light chain / Chaîne légère / Cadena ligera  
 DIVMTQTPLS LSVTPGQPAS ISCRSSQSLF HSSGNTYLHW YLQKPGQQPQ 50  
 LLIYKVSNRF SGVPDRFSGS GSGTDETLKI SRVEAEDVGV YYCSQSPTHVP 100  
 FTFGQGTTKLE IKRTVAAHSV FIFPPSDEQL KSGTASVVCL LNNFYPREAK 150  
 VQWKVDNALQ SGNSQESVTE QDSKDSTYSL SSTLTLSKAD YEKHKVYACE 200  
 VTHQGLSSPV TKSFRNRGEC 219

#### Post-translational modifications

Disulfide bridges location / Position des ponts disulfure / Posiciones de los puentes disulfuro  
 Intra-H (C23-C104) 22'-96' 143'-199' 260'-320' 366'-424'  
 22"-96" 143"-199" 260"-320" 366"-424"

Intra-L (C23-C104) 23'-93' 139'-199'  
 23"-93" 139"-199"

Inter-H-L (h 5-CL 126) 219-219' 219"-219"

Inter-H-H (h 11, h 14) 225-225" 228-228"

N-terminal glutaminyl cyclization / Cyclisation du glutaminyle N-terminal / Ciclación del glutamínico N-terminal

Q > pyroglutamyl (pE, 5-oxoprolyl) / pyroglutamyle (pE, 5-oxoprolile) / piroglutamilo (pE, 5-oxoprolilo)  
 H VH Q1: 1, 1"

N-glycosylation sites / Sites de N-glycosylation / Posiciones de N-glicosilación

H CH2 N84.4: 296, 296"

Afucosylated complex bi-antennary CHO-type glycans / glycanes de type CHO bi-antennaires complexes afucosylés / glicanos de tipo CHO biantenarios complejos afucosilados

#### inemakitugum #

inemakitug

immunoglobulin G1-lambda1, anti-[*Homo sapiens* IFNG (interferon gamma, IFN gamma)], *Homo sapiens* monoclonal antibody;  
 H-gamma1 heavy chain *Homo sapiens* (1-453) [VH (*Homo sapiens* IGHV3-21\*01 (72.4%) -(IGHD) -IGHJ2\*01 (100%), CDR-IMGT [8.8.17] (26-33.51-58.97-113)) (1-124) -*Homo sapiens* IGHG1\*03v (100%) G1m3>G1m17, nG1m1 CH1 K120, CH3 E12, M14 (CH1 R120>K (221) (125-222), hinge 1-15 (223-237), CH2 (238-347), CH3 E12 (363), M14 (365) (348-452), CHS K2>del (453)) (125-453)], (227-216')-disulfide with L-lambda1 light chain *Homo sapiens* (1'-217') [V-LAMBDA (*Homo sapiens* IGLV6-57\*03 (79.6%) -IGLJ2\*01 (91.7%), CDR-IMGT [8.3.10] (26'-33'.51'-53'.92'-101')) (1'-111') -*Homo sapiens* IGLC1\*02 (100%) (C-LAMBDA1) (112'-217')]; dimer (233-233".236-236")-bisdisulfide, produced in Chinese hamster ovary (CHO) cells, cell line CHO-K1 lacking the glutamine synthetase (GS-KO) gene, glycoform alfa  
*anti-interferon gamma (IFNg), anti-inflammatory*

indémakitug

immunoglobuline G1-lambda1, anti-[*Homo sapiens* IFNG (interféron gamma, IFN gamma)], anticorps monoclonal *Homo sapiens*;  
 chaîne lourde H-gamma1 *Homo sapiens* (1-453) [VH (*Homo sapiens* IGHV3-21\*01 (72.4%) -(IGHD) -IGHJ2\*01 (100%), CDR-IMGT [8.8.17] (26-33.51-58.97-113)) (1-124) -*Homo sapiens* IGHG1\*03v (100%) G1m3>G1m17, nG1m1 CH1 K120, CH3 E12, M14 (CH1 R120>K (221) (125-222), charnière 1-15 (223-237), CH2 (238-347), CH3 E12 (363), M14 (365) (348-452), CHS K2>del (453)) (125-453)], (227-216')-disulfure avec

la chaîne légère L-lambda1 *Homo sapiens* (1'-1'-217') [V-LAMBDA (*Homo sapiens* IGLV6-57\*03 (79.6%) -IGLJ2\*01 (91.7%), CDR-IMGT [8.3.10] (26'-33'.51'-53'.92'-101')) (1'-111') -*Homo sapiens* IGLC1\*02 (100%) (C-LAMBDA1) (112'-217')]; dimère (233-233":236-236")-bisdisulfure, produit dans des cellules ovariennes de hamster chinois (CHO), lignée cellulaire CHO-K1 ne présentant pas le gène de la glutamine synthétase (GS-KO), glycoforme alfa  
*anti-interféron gamma (IFNy), anti-inflammatoire*

indemakitug

inmunoglobulina G1-lambda1, anti-[*Homo sapiens* IFNG (interferón gamma, IFN gamma)], anticuerpo monoclonal *Homo sapiens*; cadena pesada H-gamma1 *Homo sapiens* (1-453) [VH (*Homo sapiens*IGHV3-21\*01 (72.4%) -(IGHD) -IGHJ2\*01 (100%), CDR-IMGT [8.8.17] (26-33.51-58.97-113)) (1-124) -*Homo sapiens*IGHG1\*03v (100%) G1m3>G1m17, nG1m1 CH1 K120, CH3 E12, M14 (CH1 R120>K (221) (125-222), bisagra 1-15 (223-237), CH2 (238-347), CH3 E12 (363), M14 (365) (348-452), CHS K2>del (453)) (125-453)] (227-216')-disulfuro con la cadena ligera L-lambda1 *Homo sapiens* (1'-1'-217') [V-LAMBDA (*Homo sapiens* IGLV6-57\*03 (79.6%) -IGLJ2\*01 (91.7%), CDR-IMGT [8.3.10] (26'-33'.51'-53'.92'-101')) (1'-111') -*Homo sapiens* IGLC1\*02 (100%) (C-LAMBDA1) (112'-217')]; dímero (233-233":236-236")-bisulfuro, producido en las células ováricas de hámster chino (CHO), línea celular CHO-K1 en ausencia del gen de la glutamina sintetasa (GS-KO), forma glicosilada alfa  
*antiinterferón gamma (IFNy), antiinflamatorio*

2856372-57-9

## Heavy chain / Chaîne lourde / Cadena pesada

```

EVQLVESGGG LVKPGDLSITV SCVASGFTFS NYFIHWVRQA PGKGLEWVAT 50
ISGRTKYMFY SDSLRLGRFTV SRDNAQNSVY LHMSSLRGED TALYYCVRGY 100
DHSDSNAAAD LLHWGRGTLV TVSSASTKGP SVFPLAPSSK STSGTAALG 150
CLVKDYFPEP VTVWSNNSGAL TSGVHTFPVA IQSSGLYSLS SVVTVPSSSL 200
GTQTYICNVN KHRPSNTKVDK KVEPKSCDKT HTCPPCPAPE LLGGPSVFLF 250
PPPKDIDLMI SRTPEVTCVV VDVSHEDPEV KFNWYVVDGVE VHNAKTKPRE 300
EQYNSTYRVV SVLTVLHQDW LNGKEYKCKV SNKALPAPIE KTISKAKGQP 350
REPQVYTLPP SREEMTKNQV SLTCLVKGFY PSDIAVEWES NGQPENNYKT 400
TPPVLDSDGS FFLYSKLTVD KSRWQQGNVF SCSVMHEALH NHYTQKSLSL 450
SPG                                         453

```

## Light chain / Chaîne légère / Cadena ligera

```

NFMILTQLSV SGYPGKTTIVI SCVRSSGSVA SHYVQWFQQR PGSAPAMVIY 50
EDSHRPSPGIP DRFGSGVDas SNSASLTISG LKTEDEADYF CQSYYGNQNQV 100
LFGGGTKLTV LGQPKANPTV TLFPSSSEEL QANKATLVCL ISDFYPAVGT 150
VAWKADGSPV KAGVETTKPES QSNNKKYAS SYLSLTPEQW KSHRSYSCQV 200
THEGSTVEKT VAPTECS                                         217

```

## Post-translational modifications

Disulfide bridges location / Position des ponts disulfure / Posiciones de los puentes disulfuro

Intra-H (C23-C104)	22-96	151-207	268-328	374-432
	22"-96"	151"-207"	268"-328"	374"-432"
Intra-L (C23-C104)	22"-91"	139"-198"		
	22"-91""	139""-198""		
Inter-H-L (h 5-CL 126)	227-216'	227"-216"		
Inter-H-H (h 11, h 14)	233-233"	236-236"		

N-glycosylation sites / Sites de N-glycosylation / Posiciones de N-glicosilación

H CH2 N84.4: 304, 304"

Fucosylated complex bi-antennary CHO-type glycans / glycanes de type CHO bi-antennaires complexes fucosylés / glicanos de tipo CHO biantenarios complejos fucosilados

**ingitamig #**

ingitamig

immunoglobulin (G1\_L-kappa)\_(G1-scFvkh\_L-kappa), anti-[*Homo sapiens* TNFRSF17 (tumor necrosis factor (TNF) receptor superfamily member 17, B cell maturation antigen, BCMA, TNFRSF13A, CD269)], anti-[*Homo sapiens* KLRK1 (killer cell lectin like receptor K1, NKG2D, KLR, NKG2-D, CD314)], *Homo sapiens* monoclonal antibody, bispecific;  
 H-gamma1 heavy chain *Homo sapiens*, anti-TNFRSF17 (1-445) [VH (*Homo sapiens* IGHV3-23\*01 (94.9%) -(IGHD) -IGHJ5\*01 (93.3%), CDR-IMGT [8.8.9] (26-33.51-58.97-105)) (1-116) -*Homo sapiens* IGHG1\*01 G1m17,1 CH1 K120, CH3 D12, L14, G1v75 CH3 C5, G1v90 CH3 E16, W88 (CH1 K120 (213) (117-214), hinge 1-15 (215-229), CH2 (230-339), CH3 Y5>C (348), D12 (355), L14 (357), K16>E (359), K88>W (408) (340-444), CHS K2>del (445)) (117-445)], (219-216')-disulfide with common L-kappa light chain anti-TNFRSF17 *Homo sapiens* (1'-216') [V-KAPPA (*Homo sapiens* IGKV3-20\*01 (90.6%) -IGKJ1\*01 (91.7%), CDR-IMGT [7.3.10] (27'-33'.51'-53'.90'-99')) (1'-109') -*Homo sapiens* IGKC\*01 (100%) Km3 A45.1, V101 (C-KAPPA A45.1 (155'), V101 (193')) (110'-216')];  
 H-gamma1 heavy chain anti-TNFRSF17 fused to a scFv anti-KLRK1 (1"-702") [ H-gamma1 heavy chain anti-TNFRSF17 *Homo sapiens* (1"-445") [VH (*Homo sapiens* IGHV3-23\*01 (94.9%) -(IGHD) -IGHJ5\*01 (93.3%), CDR-IMGT [8.8.9] (26"-33".51"-58".97"-105")) (1"-116")-*Homo sapiens* IGHG1\*01, G1m17,1 CH1 K120, CH3 D12, L14, G1v74 CH3 C10, G1v91 CH3 R3, V84.2, T85.1 (CH1 K120 (213") (117"-214"), hinge 1-15 (215"-229"), CH2 (230"-339"), CH3 Q3>R (346"), S10>C (353"), D12 (355"), L14 (357"), D84.2>V (398"), F85.1>T (404") (340"-444"), CHS K2>del (445")) (117"-445")]-8-mer (seryl-glycyl-seryl-tetraglycyl-seryl) linker (446"-453") -scFvkh anti-KLRK1 *Homo sapiens* (454"-702") [V-KAPPA (*Homo sapiens* IGKV1-12\*01 (97.9%) -IGKJ1\*01 (90.9%) Q120>C (553"), CDR-IMGT [6.3.9] (480"-485".503"-505".542"-550")) (454"-560") -20-mer tetrakis(tetraglycyl-seryl) linker (561"-580") -VH (*Homo sapiens* IGHV3-21\*01 (99.0%) -IGHD -IGHJ5\*02 (100%), CDR-IMGT [8.8.15] (606"-613".631"-638".677"-691")) (581"-702")]]; (219"-216")-disulfide with common L-kappa light chain anti-TNFRSF17 *Homo sapiens* (1"-216") [V-KAPPA (*Homo sapiens* IGKV3-20\*01 (90.6%) -IGKJ1\*01 (91.7%), CDR-IMGT [7.3.10] (27"-33".51"-53".90"-99")) (1"-109") -*Homo sapiens* IGKC\*01 (100%) Km3 A45.1, V101 (C-KAPPA A45.1 (155"), V101 (193")) (110"-216")]; dimer (225-225":228-228":348-353")-trisdisulfide, produced in a cell line from Chinese hamster ovary (CHO) cells, derived from the cell line CHO-K1, glycoform alfa  
*immunostimulant, antineoplastic*

ingitamig

immunoglobuline (G1\_L-kappa)\_(G1\_scFvkh\_L-kappa), anti-[*Homo sapiens* TNFRSF17 (membre 17 de la superfamille des récepteurs du facteur de nécrose tumorale (TNF), antigène de maturation de cellule B, BCMA, TNFRSF13A, CD269)] et anti-[*Homo sapiens* KLRK1 (récepteur lectine like K1 de cellule tueuse, NKG2D, KLR, NKG2-D, CD314)], anticorps monoclonal *Homo sapiens*, bispécifique;  
 chaîne lourde H-gamma1 *Homo sapiens*, anti-TNFRSF17 (1-445) [VH (*Homo sapiens* IGHV3-23\*01 (94.9%) -(IGHD) -IGHJ5\*01 (93.3%), CDR-IMGT [8.8.9] (26-33.51-58.97-105)) (1-116) -*Homo sapiens* IGHG1\*01 G1m17,1 CH1 K120, CH3 D12, L14, G1v75 CH3 C5, G1v90 CH3 E16, W88 (CH1 K120 (213) (117-214), charnière 1-15 (215-229), CH2 (230-339), CH3 Y5>C (348), D12 (355), L14 (357), K16>E (359), K88>W (408) (340-444), CHS K2>del (445)) (117-445)], (219-216')-disulfure avec la chaîne légère commune L-kappa anti-TNFRSF17 *Homo sapiens* (1'-216') [V-KAPPA (*Homo sapiens* IGKV3-20\*01 (90.6%) -IGKJ1\*01 (91.7%), CDR-IMGT [7.3.10] (27'-33'.51'-53'.90'-99')) (1'-109') -*Homo sapiens* IGKC\*01 (100%) Km3 A45.1, V101 (C-KAPPA A45.1 (155'), V101 (193')) (110'-216')];

chaîne lourde H-gamma1 anti-TNFRSF17 fusionnée à un scFv anti-KLRK1 (1"-702") [chaîne lourde H-gamma1 anti-TNFRSF17 *Homo sapiens* (1"-445") [VH (*Homo sapiens* IGHV3-23\*01 (94.9%) -(IGHD) -IGHJ5\*01 (93.3%), CDR-IMGT [8.8.9] (26"-33".51"-58".97"-105")) (1"-116")-*Homo sapiens* IGHG1\*01 G1m17,1 CH1 K120, CH3 D12, L14, G1v74 CH3 C10, G1v91 CH3 R3, V84.2, T85.1 (CH1 K120 (213")) (117"-214"), charnière 1-15 (215"-229"), CH2 (230"-339"), CH3 Q3>R (346"), S10>C (353"), D12 (355"), L14 (357"), D84.2>V (398"), F85.1>T (404") (340"-444"), CHS K2>del (445") (117"-445")]-8-mer (séryl-glycyl-séryl-tétraglycyl-séryl) linker (446"-453") -scFvkh anti-KLRK1 *Homo sapiens* (454"-702") [V-KAPPA (*Homo sapiens* IGKV1-12\*01 (97.9%) -IGKJ1\*01 (90.9%) Q120>C (553"), CDR-IMGT [6.3.9] (480"-485".503"-505".542"-550")) (454"-560") -20-mer tétrakis(tétraglycyl-séryl) linker (561"-580") -VH (*Homo sapiens* IGHV3-21\*01 (99.0%) -IGHD -IGHJ5\*02 (100%), CDR-IMGT [8.8.15] (606"-613".631"-638".677"-691")) (581"-702")]]; (219"-216")-disulfure avec la chaîne légère commune L-kappa anti-TNFRSF17 *Homo sapiens* (1"-216") [V-KAPPA (*Homo sapiens* IGKV3-20\*01 (90.6%) -IGKJ1\*01 (91.7%), CDR-IMGT [7.3.10] (27"-33".51"-53".90"-99")) (1"-109") -*Homo sapiens* IGKC\*01 (100%) Km3 A45.1, V101 (C-KAPPA A45.1 (155"), V101 (193")) (110"-216")]; dimère (225-225":228-228":348-353")-trisdisulfure, produit dans une lignée cellulaire des cellules ovarianes de hamster chinois (CHO), dérivant de la lignée cellulaire CHO-K1, glycoforme alfa  
*immunostimulant, antineoplastique*

- ingitamig inmunoglobulina (G1\_L-kappa)\_(\_G1\_scFvkh\_L-kappa), anti-[*Homo sapiens* TNFRSF17 (miembro 17 de la superfamilia de los receptores del factor de necrosis tumoral (TNF), antígeno de maduración de las células B, BCMA, TNFRSF13A, CD269)] y anti-[*Homo sapiens* KLRK1 (receptor lectina like K1 de células asesinas, NKG2D, KLR, NKG2-D, CD314)], anticuerpo monoclonal *Homo sapiens*, biespecífico;  
cadena pesada H-gamma1 *Homo sapiens*, anti-TNFRSF17 (1-445) [VH (*Homo sapiens* IGHV3-23\*01 (94.9%) -(IGHD) -IGHJ5\*01 (93.3%), CDR-IMGT [8.8.9] (26-33.51-58.97-105)) (1-116")-*Homo sapiens* IGHG1\*01 G1m17,1 CH1 K120, CH3 D12, L14, G1v75 CH3 C5, G1v90 CH3 E16, W88 (CH1 K120 (213)) (117-214), bisagra 1-15 (215-229), CH2 (230-339), CH3 Y5>C (348), D12 (355), L14 (357), K16>E (359), K88>W (408) (340-444), CHS K2>del (445) (117-445")], (219-216")-disulfuro con la cadena ligera común L-kappa anti-TNFRSF17 *Homo sapiens* (1"-216') [V-KAPPA (*Homo sapiens* IGKV3-20\*01 (90.6%) -IGKJ1\*01 (91.7%), CDR-IMGT [7.3.10] (27"-33".51"-53".90"-99")) (1"-109") -*Homo sapiens* IGKC\*01 (100%) Km3 A45.1, V101 (C-KAPPA A45.1 (155'), V101 (193')) (110"-216")];  
cadena pesada H-gamma1 anti-TNFRSF17 fusionada con un scFv anti-KLRK1 (1"-702") [cadena pesada H-gamma1 anti-TNFRSF17 *Homo sapiens* (1"-445") [VH (*Homo sapiens* IGHV3-23\*01 (94.9%) -(IGHD) -IGHJ5\*01 (93.3%), CDR-IMGT [8.8.9] (26"-33".51"-58".97"-105")) (1"-116")-*Homo sapiens* IGHG1\*01 G1m17,1 CH1 K120, CH3 D12, L14, G1v74 CH3 C10, G1v91 CH3 R3, V84.2, T85.1 (CH1 K120 (213")) (117"-214"), bisagra 1-15 (215"-229"), CH2 (230"-339"), CH3 Q3>R (346"), S10>C (353"), D12 (355"), L14 (357"), D84.2>V (398"), F85.1>T (404") (340"-444"), CHS K2>del (445") (117"-445")]-8-mer (seril-glicil-seril-tétraglicil-seril) enlace (446"-453") -scFvkh anti-KLRK1 *Homo sapiens* (454"-702") [V-KAPPA (*Homo sapiens* IGKV1-12\*01 (97.9%) -IGKJ1\*01 (90.9%) Q120>C (553"), CDR-IMGT [6.3.9] (480"-485".503"-505".542"-550")) (454"-560") -20-mer tétrakis(tétraglicil-seril) enlace (561"-580") -VH (*Homo sapiens* IGHV3-21\*01 (99.0%) -IGHD -IGHJ5\*02 (100%), CDR-IMGT [8.8.15] (606"-613".631"-638".677"-691")) (581"-702")]]; (219"-216")-disulfuro con la cadena ligera común L-kappa anti-TNFRSF17 *Homo sapiens* (1"-216") [V-KAPPA (*Homo sapiens* IGKV3-20\*01 (90.6%) -IGKJ1\*01 (91.7%), CDR-IMGT [7.3.10] (27"-33".51"-53".90"-99")) (1"-109") -*Homo sapiens* IGKC\*01 (100%) Km3 A45.1, V101 (C-KAPPA A45.1 (155"), V101 (193")) (110"-216")]; dímero (225-225":228-228":348-353")-trisdisulfuro, producido en una línea celular de las células ováricas de hámster chino (CHO), línea celular derivada de CHO-K1, forma glicosilada alfa  
*inmunoestimulante, antineoplásico*

2839572-09-5

Heavy chain / Chaîne lourde / Cadena pesada: H-gamma1 anti-TNFRSF17 (H)  
 EVQILLESGGG LVQPGGSRLR SCAASGFTFS DNAMGWRQA PGKGLEWVA 50  
 ISGPGSSTYY ADSVKGRFTI SRDNSKNTLY LQMNSLRAED TAVYYCAKVL 100  
 GWFODYWGQGT LVTVSSASTK GPSVFPLAPS SKSTSGGTAA LGCLVKDYFP 150  
 EPVTVSWNSG ALTSGVHTFP AVLQSSGLYS LSSVVTVPSS SLGTQTYICN 200  
 VNHKPSNTKV DKKVEPKSCD KTHTCPPCPA PELLGGPSVF LFPPKPKDTL 250  
 MISRTPEVTC VVVDVSHEDP EVKFNNWYVDG VEVHNAKTKP REEQYNSTYR 300  
 VVSVLTVLHQ DWLNKEYKC KVSNKALPAP IEKTISKAKG QPREPVQVCLT 350  
 PPSRDELLEN QVSLTCLVKG FYPSDIAVEW ESNGQPENNY KTTPPVLDSD 400  
 GSFFFLYSWLT VDKSRWQQGN VFSCSVMHEA LHNNHYTQKSL SLSPG 445

Heavy chain / Chaîne lourde / Cadena pesada: fused H-gamma1 anti-TNFRSF17- scfvkh anti-KLRK1 (H')  
 EVQILLESGGG LVQPGGSRLR SCAASGFTFS DNAMGWRQA PGKGLEWVA 50  
 ISGPGSSTYY ADSVKGRFTI SRDNSKNTLY LQMNSLRAED TAVYYCAKVL 100  
 GWFODYWGQGT LVTVSSASTK GPSVFPLAPS SKSTSGGTAA LGCLVKDYFP 150  
 EPVTVSWNSG ALTSGVHTFP AVLQSSGLYS LSSVVTVPSS SLGTQTYICN 200  
 VNHKPSNTKV DKKVEPKSCD KTHTCPPCPA PELLGGPSVF LFPPKPKDTL 250  
 MISRTPEVTC VVVDVSHEDP EVKFNNWYVDG VEVHNAKTKP REEQYNSTYR 300  
 VVSVLTVLHQ DWLNKEYKC KVSNKALPAP IEKTISKAKG QPREPVYVTL 350  
 PPCRDELTKE QVSLTCLVKG FYPSDIAVEW ESNQCOPENNY KTTPPVLVSD 400  
 GSFTLYSKLT VDKSRWQQGN VFSCSVMHEA LHNNHYTQKSL SLSPGSGSGG 450  
 GGSDIQMTQS PSSVSASVGD RVTITCRASQ GISSLWAWYQ QKPGKAPKLL 500  
 IYAAASSLQSG VPSSRFSGSGS GTDFITLTISS LQPEDFATYY CQQGVSPRT 550  
 FGCGTKVEIK GGGGGGGGG GGGGGGGGG EVQLVESGGG LVKPGGLSLR 600  
 SCAASGFTFS SYSMNWRQA PGKCLEWVSS ISSSSSYIYYY ADSVKGRFTI 650  
 SRDNAKNSLY LQMNSLRAED TAVYYCARGA PMGAAAGWFD PWGQGTLLTVT 700  
 SS 702

Light chain / Chaîne légère / Cadena ligera: L-kappa common (L', L'")  
 EIVLTQSPGT LSLSPGERAT LSCRASQSVS DEYLWSWYQK PGQAPRLLLH 50  
 SASTRATGIP DRFGSGSGGT DFTLAIISRE PEDFAVYCCQ QYGYPDPFTF 100  
 GQGTKVEIKR TVAAPSVFIF PPSDEQLKSG TASVVCCLNN FYPREAKVQW 150  
 KVDNALQSGN SQESVTEQDS KDSTYSLSS LTLSKADYEK HKVYACEVTH 200  
 QGLSSPVTKS FNRGEC 216

#### Post-translational modifications

Disulfide bridges location / Position des ponts disulfure / Posiciones de los puentes disulfuro  
 Intra-H (C23-C104) 22-96 143-199 260-320 366-424  
 22"-96" 143"-199" 260"-320" 366"-424"  
 476"-541" 602"-676"

Intra-H scFv C120 (VL)-C49 (VH)\* 553"-624"

Intra-L (C23-C104) 23"-89" 136"-196"  
 23"-89" 136"-196"

Inter-H-L (CH1 10-CL 126) 219-216" 219"-216"

Inter-H-H (h 8, h 11) 225-225" 228-228"

Inter-H-H (CH3 C5-C10)\*\* 348-353"

\*engineered additional disulfide bond C120 (VL)-C49 (VH) to stabilize the scFv (variant scFv-v2).

\*\*variants G1v75 (CH3 C5) and G1v74 (CH3 C10) creating an additional inter-H-H disulfide bond.

N-glycosylation sites / Sites de N-glycosylation / Posiciones de N-glicosilación  
 H CH2 N84.4: 296, 296"

Fucosylated complex bi-antennary CHO-type glycans / glycanes de type CHO bi-antennaires complexes fucosylés / glicanos de tipo CHO biantenarios complejos fucosilados.

#### intismeranum autogenum #

intismeran autogene

messenger RNA (mRNA), 5'-capped, encoding a codon-optimized patient specific concatemer of up to 34 neoantigens designed specifically to each individual patient's tumor mutanome and human leukocyte antigen (HLA) type, further optimized by two additional stop codons, flanked by an artificial 5' untranslated region (UTR) and a 3' UTR derived from the human hemoglobin subunit alpha (HBA1) gene and terminated by a 3' polyadenylation (polyA) tail; contains N<sup>1</sup>-methylpseudoouridine instead of uridine (*all*-U>m1Ψ) immunological agent for active immunization (antineoplastic)

intisméran autogène

ARN messager (ARNm), protégé d'une coiffe en 5', codant, aux codons optimisés, un concatémère comprenant jusqu'à 34 néoantigènes spécifique pour le patient, conçus spécifiquement pour le mutanome tumoral de chaque patient individuel et le type d'antigène leucocytaire humain (HLA), et encore optimisé par deux codons stop supplémentaires, flanqué d'une région artificielle non traduite (UTR) en 5', et en 3' une UTR dérivée du gène de la sous-unité alpha de l'hémoglobine humaine (HBA1), et terminée par une queue de polyadénylation (polyA) en 3'; contient de la N<sup>1</sup>-méthylpseudouridine au lieu de l'uridine (*tout U>m<sup>1</sup>Ψ*)  
*agent immunologique d'immunisation active (antineoplasique)*

intismerán autogén

ARN mensajero (ARNm), protegido en 5', que codifica, con codones optimizados, para un concatámero de hasta 34 neoantígenos específicos de paciente diseñado específicamente para el mutanoma del tumor y el tipo de antígeno leucocitario humano (HLA) de cada paciente individual. El constructo se optimiza añadiendo dos codones de terminación adicionales y está flanqueado por una región no traducida (UTR) 5' artificial y una UTR 3' derivada de la subunidad alfa del gen de la hemoglobina humana (HBA1) y terminado por una cola poliadenilación (poliA) en 3'; contiene N<sup>1</sup>-metilpseudouridina en lugar de uridina (*todo-U>m<sup>1</sup>Ψ*)  
*agente inmunológico para inmunización activa (antineoplásico)*

2931460-85-2

**ismidenonum**

ismidenon

1',3'-dihydro-2H-spiro[imidazo[1,2-a]pyridine-3,2'-inden]-2-one  
*voltage-dependent T-type calcium channel modulator*

ismidénon

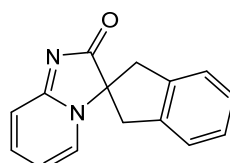
1',3'-dihydro-2H-spiro[imidazo[1,2-a]pyridine-3,2'-inden]-2-one  
*modulateur du canal calcique de type T dépendant du voltage*

ismidenón

1',3'-dihidro-2H-espiro[imidazo[1,2-a]piridina-3,2'-inden]-2-ona  
*modulador del canal de calcio de tipo T dependiente de voltaje*

C<sub>15</sub>H<sub>12</sub>N<sub>2</sub>O

887603-94-3



**isomiosaminum**

isomiosamine

*rac*-(3*R*)-3-(3,4-dihydro-2*H*-pyrrol-2-yl)pyridine  
*tumor necrosis factor alpha (TNF $\alpha$ ) inhibitor*

isomiosamine

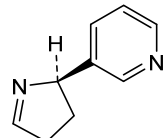
*rac*-(3*R*)-3-(3,4-dihydro-2*H*-pyrrol-2-yl)pyridine  
*inhibiteur du facteur de nécrose tumorale alpha (TNF $\alpha$ )*

isomiosamina

*rac*-(3*R*)-3-(3,4-dihidro-2*H*-pirrol-2-il)piridina  
*inhibidor del factor de necrosis tumoral alfa (TNF $\alpha$ )*

C<sub>9</sub>H<sub>10</sub>N<sub>2</sub>

53844-46-5



and enantiomer  
*et énantiomère*  
*y enantiómero*

**istisociclibum**

istisociclib

(1*S,3S*)-*N*<sup>1</sup>-[5-(pentan-3-yl)pyrazolo[1,5-*a*]pyrimidin-7-yl]cyclopentane-1,3-diamine  
*cyclin-dependent kinase (CDK) inhibitor, antineoplastic*

istisociclib

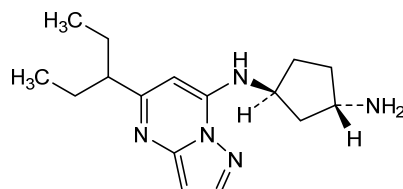
(1*S,3S*)-*N*<sup>1</sup>-[5-(pentan-3-yl)pyrazolo[1,5-*a*]pyrimidin-7-yl]cyclopentane-1,3-diamine  
*inhibiteur de la kinase cycline-dépendante (CDK), antinéoplasique*

istisociclib

(1*S,3S*)-*N*<sup>1</sup>-[5-(pentan-3-il)pirazolo[1,5-*a*]pirimidin-7-il]ciclopentano-1,3-diamina  
*inhibidor de la kinasa dependiente de ciclinas (CDK), antineoplásico*

C<sub>16</sub>H<sub>25</sub>N<sub>5</sub>

2416873-83-9

**itanistomigum #**

itanistomig

immunoglobulin (VH-G1CH1-h)-H-gamma1\_L-kappa-L-kappa, anti-[*Homo sapiens* CD274 (programmed cell death 1 ligand 1, PDL1, PD-L1, B7 homolog 1, B7H1, B7-H1, PDCD1LG1)] and anti-[*Homo sapiens* CD47 (CD47 molecule, integrin associated protein, IAP, MER6, OA3)], *Homo sapiens* and humanized monoclonal antibody, bispecific, tetravalent; fused heavy chain (VH anti-CD274 -G1CH1-h)-H-gamma1 anti-CD47 (1-683) [(VH-G1CH1-h) chain anti-CD274, *Homo sapiens* (1-226) [(VH (*Homo sapiens*IGHV1-69\*01 (93.9%) -(IGHD) -IGHJ6\*01 (93.8%), CDR-IMGT [8.8.16] (26-33.51-58.97-112)) (1-123) -*Homo sapiens*IGHG1\*01 CH1-h, G1m17,1CH1 K120 (CH1 K120 (220) (124-221), hinge 1-5 (222-226) (124-226))] -11-mer (GPAPELL-trisglycyl-seryl) linker (227-237) -H-gamma1 anti-CD47, humanized

	(238-683) [VH ( <i>Homo sapiens</i> IGHV5-51*01 (89.8%) -IGHD -IGHJ1*01 (100%), CDR-IMGT [8.8.9] (263-270.288-295.334-342)) (238-353)- <i>Homo sapiens</i> IGHG1*01 (100%), G1m17,1 CH1 K120, CH3 D12, L14 (CH1 K120 (450) (354-451), hinge 1-15 (452-466), CH2 (467-576), CH3 D12 (592), L14 (594) (577-681), CHS (682-683)) (354-683)]], dimer (226-213':456-443')-bisdisulfide with fused light chain L-kappa anti-CD274-L-kappa anti-CD47 (1'-443') [L-kappa anti-CD274, <i>Homo sapiens</i> (1'-213') [V-KAPPA ( <i>Homo sapiens</i> IGKV3-11*01 (100%) -IGKJ1*01 (100%), CDR-IMGT [6.3.8] (27-32'.50'-52'.89'-96')) (1'-106') - <i>Homo sapiens</i> IGKC*01 (100%) Km3 A45.1, V101 (C-KAPPA A45.1 (152'), V101 (190')) (107'-213')] -11-mer (GPAPLGL-trisglycyl-séryl) linker (214'-224') -L-kappa anti-CD47, humanized (225'-443') [V-KAPPA ( <i>Homo sapiens</i> IGKV2-28*01 (92.0%) -IGKJ4*01 (100%), CDR-IMGT [11.3.9] (251'-261'.279'-281'.318'-326')) (225'-336') - <i>Homo sapiens</i> IGKC*01 (100%) Km3 A45.1, V101 (C-KAPPA A45.1 (382'), V101 (420')) (337'-443')]]; dimer (462-462":465-465")-bisdisulfide, produced in Chinese hamster ovary (CHO) cells, cell line CHO-K1, glycoform alfa <i>immunostimulant, antineoplastic</i>
itanistomig	immunoglobuline (VH-G1CH1-h)-H-gamma1_L-kappa-L-kappa, anti-[ <i>Homo sapiens</i> CD274 (ligand 1 de mort cellulaire programmée 1, PDL1, PD-L1, B7 homologue 1, B7H1, B7-H1, PDCD1LG1)] et anti-[ <i>Homo sapiens</i> CD47 (CD47 molécule, protéine associée à l'intégrine, IAP, MER6, OA3)], anticorps monoclonal <i>Homo sapiens</i> et humanisé, bispécifique, tétravalent; chaîne lourde fusionnée (VH anti-CD274 -G1CH1-h)-H-gamma1 anti-CD47 (1-683) [chaîne (VH-G1CH1-h) anti-CD274, <i>Homo sapiens</i> (1-226) [VH ( <i>Homo sapiens</i> IGHV1-69*01 (93.9%) -(IGHD) -IGHJ6*01 (93.8%), CDR-IMGT [8.8.16] (26-33.51-58.97-112)) (1-123)- <i>Homo sapiens</i> IGHG1*01 CH1-h, G1m17,1CH1 K120 (CH1 K120 (220) (124-221), charnière 1-5 (222-226)) (124-226)]] -11-mer (GPAPELL-trisglycyl-séryl) linker (227-237)-H-gamma1 anti-CD47, humanisée (238-683) [VH ( <i>Homo sapiens</i> IGHV5-51*01 (89.8%) -IGHD -IGHJ1*01 (100%), CDR-IMGT [8.8.9] (263-270.288-295.334-342)) (238-353)- <i>Homo sapiens</i> IGHG1*01 (100%), G1m17,1 CH1 K120, CH3 D12, L14 (CH1 K120 (450) (354-451), charnière 1-15 (452-466), CH2 (467-576), CH3 D12 (592), L14 (594) (577-681), CHS (682-683)) (354-683)]], dimère (226-213':456-443')-bisdisulfure avec la chaîne légère fusionnée L-kappa anti-CD274-L-kappa anti-CD47(1'-443') [chaîne L-kappa anti-CD274, <i>Homo sapiens</i> (1'-213') [V-KAPPA ( <i>Homo sapiens</i> IGKV3-11*01 (100%) -IGKJ1*01 (100%), CDR-IMGT [6.3.8] (27-32'.50'-52'.89'-96')) (1'-106') - <i>Homo sapiens</i> IGKC*01 (100%) Km3 A45.1, V101 (C-KAPPA A45.1 (152'), V101 (190')) (107'-213')] -11-mer (GPAPLGL-trisglycyl-séryl) linker (214'-224') -L-kappa anti-CD47, humanisée (225'-443') [V-KAPPA ( <i>Homo sapiens</i> IGKV2-28*01 (92.0%) -IGKJ4*01 (100%), CDR-IMGT [11.3.9] (251'-261'.279'-281'.318'-326')) (225'-336') - <i>Homo sapiens</i> IGKC*01 (100%) Km3 A45.1, V101 (C-KAPPA A45.1 (382'), V101 (420')) (337'-443')]]; dimère (462-462":465-465")-bisdisulfure, produit dans des cellules ovarianas de hamster chino (CHO), lignée cellulaire CHO-K1, glycoforme alfa <i>immunostimulant, antinéoplastique</i>
itanistomig	inmunoglobulina (VH-G1CH1-h)-H-gamma1_L-kappa-L-kappa, anti-[ <i>Homo sapiens</i> CD274 (ligando 1 de muerte celular programada 1, PDL1, PD-L1, B7 homólogo 1, B7H1, B7-H1, PDCD1LG1)] y anti-[ <i>Homo sapiens</i> CD47 (CD47 molécula, proteína asociada a la integrina, IAP, MER6, OA3)], anticuerpo monoclonal <i>Homo sapiens</i> y humanizada, biespecífica, tetravalente; cadena pesada fusionada (VH anti-CD274 -G1CH1-h)-H-gamma1 anti-CD47 (1-683) [cadena (VH-G1CH1-h) anti-CD274, <i>Homo sapiens</i> (1-226) [VH ( <i>Homo sapiens</i> IGHV1-69*01 (93.9%) -(IGHD) -IGHJ6*01 (93.8%), CDR-IMGT [8.8.16] (26-33.51-58.97-112)) (1-123)- <i>Homo sapiens</i> IGHG1*01 CH1-h, G1m17,1CH1 K120 (CH1 K120 (220) (124-221), bisagra 1-5 (222-226)) (124-226)]] -11-mer (GPAPELL-trisglcicil-seril) linker

(227-237) -H-gamma1 anti-CD47, humanizada (238-683) [VH (*Homo sapiens* IGHV5-51\*01 (89.8%) -IGHD -IGHJ1\*01 (100%), CDR-IMGT [8.8.9] (263-270.288-295.334-342)) (238-353)-*Homo sapiens*IGHG1\*01 (100%), G1m17,1 CH1 K120, CH3 D12, L14 (CH1 K120 (450) (354-451), bisagra 1-15 (452-466), CH2 (467-576), CH3 D12 (592), L14 (594) (577-681), CHS (682-683)) (354-683)]], dímero (226-213'-456-443')-bisdisulfuro con la cadena ligera fusionada L-kappa anti-CD274-L-kappa anti-CD47(1'-443') [cadena L-kappa anti-CD274, *Homo sapiens* (1'-213') [V-KAPPA (*Homo sapiens* IGKV3-11\*01 (100%) -IGKJ1\*01 (100%), CDR-IMGT [6.3.8] (27'-32'.50'-52'.89'-96')) (1'-106') -*Homo sapiens* IGKC\*01 (100%) Km3 A45.1, V101 (C-KAPPA A45.1 (152'), V101 (190')) (107'-213')] -11-mer (GPAPLGL-trisglicil-seril) linker (214'-224') -L-kappa anti-CD47, humanizada (225'-443') [V-KAPPA (*Homo sapiens* IGKV2-28\*01 (92.0%) -IGKJ4\*01 (100%), CDR-IMGT [11.3.9] (251'-261'.279'-281'.318'-326')) (225'-336') -*Homo sapiens* IGKC\*01 (100%) Km3 A45.1, V101 (C-KAPPA A45.1 (382'), V101 (420')) (337'-443')]]; dímero (462-462':465-465")-bisdisulfuro, producido en las células ováricas de hámster chino (CHO), línea celular CHO-K1, forma glicosilada alfa *inmunoestimulante, antineoplásico*

2923687-56-1

Heavy chain / Chaîne lourde / Cadena pesada: VH anti-CD274-G1(CH1-h)-H-gamma1 anti-CD47 (H, H")  
 QVQLVQSGAE VKKPQSSVKV SCKTSGDFTS TYAISWVRQA PGQGLEWMGG 50  
 IIPIFGKAHY AQQFQGRVTI TADESTSTAY MELSSLRSED TAVYFCARFK 100  
 HFVSGSPFGM DWVGQGTTVII VSSASTKGPS VEPLAPSSKS TSGGTAALGC 150  
 LVKDYFFPEPV TVSWNSGALT SGVHTFPAVL QSSGLYSLSS VVTVPSSLLG 200  
 QTQTYICNVNH KPNSTKVDDK VEPKSCGPAP ELLGGGSQVQ LVQSGAEEVKK 250  
 PGESLKKCK SGSYTFNTYY IFWVQRMPKG GLEMGIIINP VDGDTNYNPS 300  
 FQGQVTISAD KSISTAYLQW SSLKASDTAM YYCARGGYTM DRWGQGTIVLT 350  
 VSSASTKGPS VFPLAPSSKS TSGGTAALGC LVKDYFPEPV TVSWNSGALT 400  
 SGVHTFPPEV VSSGLYSLSS VVTVPSSLLS QTQTYICNVNH KPNSNTKVDDK 450  
 VEPKSCDKTH TCPCCPAPEL LGGPSPVLFV PKPKDTLMIS RTPEVTCVV 500  
 DVSHEDPEVK FNWYVDGVEV HNAKTPKPREE QYNSTYRVVS VLTVLHQDWL 550  
 NGKEYKCKVS NKALPAPIEK TISAKAGQPRA EPQVYTLPPS RDELTKNQVS 600  
 ITCLVKGFYF SDIAVEWESEN QOPENNYKTT PPVLDLSGSF FLYSKLTVDK 650  
 SRWQGNVFS CSVHMHEALHN HYTQKSLSLs PKG 683

Light chain / Chaîne légère / Cadena ligera: L-kappa anti-CD274-L-kappa anti-CD47 (L; L")  
 EIVLTQSPAT LSLSPGERAT LSCRAQSQQPS SYLAWYQQKP QGAPRLLIYD 50  
 ASN RATGIPA RFSGSGSGTD FTLTISSELP EDFAVYYCQO RSNWPTFGQG 100  
 TKVEIKRTVA APVFVIFPPS DEQLKSGTAS VVCLLNNFYP REAKVQNKVD 150  
 NALQSGNSQE SVTEQDSKDS TYSLSSTTL SKADYEKHKV YACEVTHQGL 200  
 SSPVTKSFNR GECGPAPLGL GGGSDIVMTQ SPLSLPVTPO EPASISCRSS 250  
 QSLLHSNGYN YLHWYLQKPG QSPQLLKYV SNRFGVPDR FGSGSGGTDF 300  
 TLKISRVEAE DVGVYYCFQN THTPRTFLGG TKVEIKRTVA APVFVIFPPS 350  
 DEQLKSGTAS VVCLLNNFYP REAKVQNKVD NALQSGNSQE SVTEQDSKDS 400  
 TYSLSSTTL SKADYEKHKV YACEVTHQGL SSPVTKSFNR GEC 443

**Post-translational modifications**

Disulfide bridges location / Position des ponts disulfure / Posiciones de los puentes disulfuro

Intra-H (C23-C104) 22-96 150-206 259-333 380-436

22"-96" 150"-206" 259"-333" 380"-436"

497-557 603-661

497"-557" 603"-661"

Intra-L (C23-C104) 23"-88" 133"-193" 247"-317" 363"-423"

23"-88" 133"-193" 247"-317" 363"-423"

Inter-H-L (CH1 10-CL 126) 226-213' 456-443'

226"-213" 456"-443"

Inter-H-H (h 8, h 11) 462-462" 465-465"

N-terminal glutaminyl cyclization / Cyclisation du glutaminyle N-terminal / Ciclación del glutamínico N-terminal

Q &gt; pyroglutamyl (pE, 5-oxoprolyl) / pyroglutamyle (pE, 5-oxoprolyle) / piroglutamilo (pE, 5-oxoprolilo)

H VH Q1: 1, 1"

N-glycosylation sites / Sites de N-glycosylation / Posiciones de N-glicosilación

H CH2 N84.4: 533, 533"

Fucosylated complex bi-antennary CHO-type glycans / glycanes de type CHO bi-antennaires complexes fucosylés / glicanos de tipo CHO biantenarios complejos fucosilados.

C-terminal lysine clipping / Coupure de la lysine C-terminale / Recorte de lisina C-terminal

H CHS K2: 683, 683"

**larnefpendekinum alfa #**

larnefpendekin alfa

human interleukin-15 (IL-15) fused via a peptide linker to human immunoglobulin G1 constant heavy chain, disulfide-bridged to human immunoglobulin kappa constant light chain fused via a peptide linker to human interleukin-15 receptor subunit alpha (IL-15R-alpha, IL-15RA, CD215);  
 human interleukin-15 (IL-15) (1-114, 2-115 in the current sequence, D<sup>1</sup>>added, variant (N<sup>72</sup>>D<sup>73</sup>) fused via peptide linker <sup>116</sup>AGGKPGGSAGG<sup>126</sup> to gamma 1 heavy chain (127-454) [*Homo sapiens* IGHG1\*08 (CH1 (127-224), hinge (225-239), CH2 L<sup>243</sup>>A, L<sup>244</sup>>A (240-349), CH3 (350-454), CHS G<sup>455</sup>>del, K<sup>456</sup>>del)], (229-216')-disulfide with kappa light chain (110'-216') [*Homo sapiens* IGKC\*01] fused via peptide linker <sup>104</sup>GAEGGG<sup>109</sup> to human interleukin-15 receptor subunit alpha (IL-15R-alpha, IL-15RA, CD215) (1'-103', variant I<sup>1</sup>'>D), dimer (235-235":238-238")-bisdisulfide, produced in Chinese hamster ovary (CHO) cells, cell line CHO-S, glycoform alfa  
*immunostimulant, antineoplastic*

## larnefpendékine alfa

interleukine-15 (IL-15) humaine, fusionnée à l'aide d'un coupleur peptidique, à la chaîne lourde constante de l'immunoglobuline G1 humaine, et par un pont disulfure à la chaîne légère constante de l'immunoglobuline kappa humaine, fusionnée par un coupleur peptidique à la sous-unité alpha du récepteur de l'interleukine-15 humaine (IL-15R-alpha, IL-15RA, CD215);  
 interleukine-15 (IL-15) humaine (1-114, 2-115 dans la séquence en cours, addition D1>, variant (N<sup>72</sup>>D<sup>73</sup>), fusionnée avec le coupleur peptidique <sup>116</sup>AGGKPGGSAGG<sup>126</sup> à la chaîne lourde de l'immunoglobuline G1 (127-454) [*Homo sapiens* IGHG1\*08 (CH1 (127-224), charnière (225-239), CH2 L<sup>243</sup>>A, L<sup>244</sup>>A (240-349), CH3 (350-454), CHS G<sup>455</sup>>del, K<sup>456</sup>>del)], (229-213')-disulfure avec la chaîne légère kappa (110'-216') [*Homo sapiens* IGKC\*01] fusionnée à l'aide du coupleur peptidique <sup>104</sup>GAEGGG<sup>109</sup> à la sous-unité alpha du récepteur de l'interleukine-15 humaine (IL-15R-alpha, IL-15RA, CD215) (1'-103', variant I<sup>1</sup>'>D), dimère (235-235":238-238")-bisdisulfure, produit dans des cellules ovariennes de hamster chinois (CHO), lignée cellulaire CHO-S, glycoforme alfa  
*immunostimulant, antinéoplastique*

## larnefpendekina alfa

interleukina-15 humana (IL-15) fusionada a través de un enlace peptídico a la cadena pesada constante de la inmunoglobulina G1 humana y a través de un puente disulfuro a la cadena ligera constante de la inmunoglobulina kappa humana, fusionada a través de un enlace peptídico a la subunidad alfa del receptor de la interleukina-15 humana (IL-15R-alpha IL-15RA, CD215);  
 interleukina-15 humana (IL-15) (1-114, 2-115 en la secuencia actual, D<sup>1</sup>>añadida, variante (N<sup>72</sup>>D<sup>73</sup>) fusionada a través de enlace peptídico <sup>116</sup>AGGKPGGSAGG<sup>126</sup> a la cadena pesada gamma 1 (127-454) [*Homo sapiens* IGHG1\*08 (CH1 (127-224), bisagra (225-239), CH2 L<sup>243</sup>>A, L<sup>244</sup>>A (240-349), CH3 (350-454), CHS G<sup>455</sup>>del, K<sup>456</sup>>del)], (229-216')-disulfuro con cadena ligera kappa (110'-216') [*Homo sapiens* IGKC\*01] fusionada a través de enlace peptídico <sup>104</sup>GAEGGG<sup>109</sup> a la subunidad alfa del receptor de la interleukina-15 humana (IL-15R-alfa IL-15RA, CD215) (1'-103', variante I<sup>1</sup>'>D), dímero (235-235":238-238")-bisdisulfuro, producido en células ováricas de hámster Chino (CHO)-S, glicoforma alfa  
*inmunoestimulante, antineoplásico*

2877653-03-5

## Sequence / Séquence / Secuencia

IL-15-IgG1 heavy chain

**DNWWNVISDL KKIEDIQIQLM HIDATLYTES DVHPSCKVTA MKCFLLELQV** 50  
**ISLESGDASI HDTVENLIL ANDSLSSNGN VTESGCKECE ELEEKNIKEE** 100  
**LQSFVHVQVN FINTSAGGK PGSAGGASTK GPSVFLAPS SKSTSGGAA** 150  
**LGCLVKDYFP EPFTVWSWNSG ALTSGVHTFP AVLQSSGLYS LSSVVTVPSS** 200  
**SLGTQTYICN VNHKPSNTKV DKRVEPKSCD KTHTCPPCPA PE~~A~~GGPSVF** 250  
**LFPPKPKDTL MISRTPEVTC VVVDVSHEDP EVKFNWVWDG VEVHNNAKTP** 300  
**REEQYNSTYR VVSVLTVLHQ DWLNGKEYKC KVSNKALPAP IEKTISKAKG** 350  
**QPREPQVYTL PPSRDELTKN QVSLTCLVKG FYPSPDIAVEW ESNGOPENNY** 400  
**KTPPPVLDSD GSFFLYSKLT VDKSRWQQGN VFSCSVMHEA LHNHYTQKSL** 450  
**SLSPL** 454

## IL-15 receptor- IgG1 light chain

**DTCPCCPMSE HADIWVKSYS LYSRERYICN SGFKRKAGTS SLTECVLNKA** 50  
**TNVAHWTTPS LKCIRDPALV HQRPAPGSTV TTAGVTQPE SLSPSGKEPA** 100  
**ASSGAEGGGR TVAAPSVFIF PPSDEQLKSG TASVVCLNN FYPREAKVQW** 150  
**KVDNALQSGN SQESVTEQDS KDSTYLSLST LTLSKADYEK HKVYACEVTH** 200  
**QGLSSPVTKS FNRGEC** 216

## Mutations / Mutations / Mutaciones

IL-15-IgG1 heavy chain: **D**>added, N<sup>72</sup>->**D**<sup>73</sup>, 24<sup>3</sup>LL<sup>244</sup>->**AA**<sup>455</sup>GK<sup>456</sup>-del  
 IL-15 receptor- IgG1 light chain: I<sup>1</sup>->**D**

## Peptide linker / Peptide liant / Péptido de unión

IL-15-IgG1 heavy chain: <sup>116</sup>*AGGKPGGSAGG*<sup>126</sup>  
 IL-15 receptor- IgG1 light chain: <sup>104</sup>*GAEGGG*<sup>109</sup>

## Post-translational modifications

Disulfide bridges location / Position des ponts disulfure / Posiciones de los puentes disulfuro  
 Intra IL-15- IgG1 heavy chain: 36-86, 43-89, 153-209, 270-330, 376-434,

36"-86", 43"-89", 153"-209", 270"-330", 376"-434"

Intra IL-15 receptor- IgG1 light chain: 3'-45', 29'-63', 136'-196',  
 3"-45", 29"-63", 136"-196""

Inter IgG1 heavy chain-heavy chain: 235-235", 238-238"

Inter IgG1 heavy chain-light chain: 229-216', 229"-216""

N-glycosylation sites / Sites de N-glycosylation / Posiciones de N-glicosilación  
 IL-15- IgG1 heavy chain: N72, N80, N113, N306, N72', N80", N113", N306"

O-glycosylation sites / Sites de O-glycosylation / Posiciones de O-glicosilación  
 IL-15 receptor- IgG1 light chain: S78', T79', T86', S78", T79", T86"

**laroprovstatum**

laroprovstat

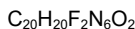
6'-{[(1S,3S)-3-{[5-(difluoromethoxy)pyrimidin-2-yl]amino}cyclopentyl]amino}-2H-[1,3'-bipyridin]-2-one  
*proprotein convertase subtilisin/kexin type 9 (PCSK9) inhibitor, antihyperlipidaemic*

## laroprovstat

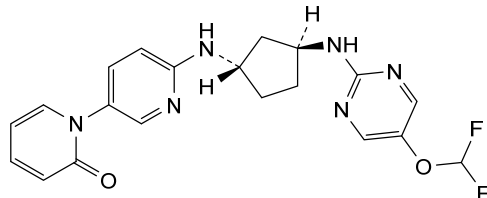
6'-{[(1S,3S)-3-{[5-(difluorométhoxy)pyrimidin-2-yl]amino}cyclopentyl]amino}-2H-[1,3'-bipyridin]-2-one  
*inhibiteur de la proprotéine convertase subtilisine/kexine de type 9 (PCSK9), antihyperlipidémique*

## laroprovstat

6'-{[(1S,3S)-3-{[5-(difluorometoxi)pirimidin-2-yl]amino}ciclopentil]amino}-2H-[1,3'-bipiridin]-2-ona  
*inhibidor de la subtilisina/queixina proprotein convertasa (PCSK9), antihiperlipidémico*



2455427-91-3

**laselipagum**

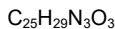
laselipag

{4-[(5,6-diphenylpyrazin-2-yl)(propan-2-yl)amino]butoxy}acetic acid  
*prostanoid receptor agonist*

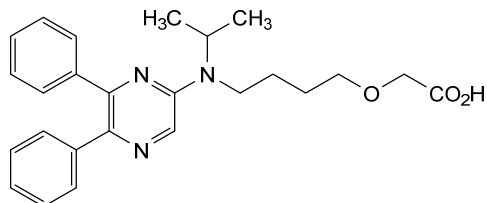
lasélipag

acide {4-[(5,6-diphénylpyrazin-2-yl)(propan-2-yl)amino]butoxy}acétique  
*agoniste des récepteurs prostanoïdes*

laselipag

ácido {4-[(5,6-difenilpirazin-2-il)(propan-2-il)amino]butoxi}acético  
*agonista del receptor prostanoide*

475085-57-5

**lasmecabtagenum timgedleucelum #**

lasmecabtagene timgedleuel

allogeneic T lymphocytes obtained from peripheral blood mononuclear cells by leukapheresis of healthy donors, transduced with a self-inactivating, non-replicating lentiviral vector encoding a depletion ligand and a chimeric antigen receptor (CAR) targeting CD22. The cells are also genetically modified using transcription activator-like (TAL) effector nucleases, which are transiently delivered into the cell as mRNAs to disrupt the T cell receptor alpha constant (*TRAC*) and *CD52* genes.

The expressed transgene comprises the RQR8 depletion ligand, a T2A ribosomal skip motif and an anti-CD22 CAR, under control of the human elongation factor-1 alpha (EF-1 $\alpha$ ) promoter. The RQR8 ligand is a 136 amino acid artificial cell surface protein that combines the antibody-binding epitopes from human CD20 (R) and human CD34 (Q) in the order of R, Q and R, followed by a CD8 $\alpha$  hinge and transmembrane domain. The CAR comprises an anti-CD22 single chain variable fragment (scFv), a CD8 $\alpha$  hinge and transmembrane domain, and 4-1BB (CD137) and CD3 $\zeta$  (CD247) intracellular costimulatory domains. The construct is flanked by 5' and 3' long terminal repeats (LTRs) and also contains a  $\psi$  packaging signal, a truncated *gag*, a Rev response element (RRE), a central polypurine tract (cPPT) sequence and a mutated Woodchuck hepatitis virus post-transcriptional regulatory element (WPRE). The vector is pseudotyped with vesicular stomatitis virus (VSV) glycoprotein G.

The leukapheresis material is activated by CD3 and CD28 agonists and transduced with the vector. Residual TCR $\alpha\beta$ + lymphocytes are removed by magnetic depletion, then cultured in media containing interleukin 2 (IL-2). The suspension consists primarily of T lymphocytes with >30% CAR+ and ≤3.0% TCR $\alpha\beta$ + T lymphocytes. The cells are cytotoxic and secrete pro-inflammatory cytokines in response to CD22-expressing cells.

*cell-based gene therapy (antineoplastic)*

lasmécabtagène timgedleucel

lymphocytes T allogéniques obtenus chez des donneurs sains par leucaphérèse, à partir de cellules mononucléées du sang périphérique (CMSP), qui sont transduits avec un vecteur lentiviral auto-inactivant et non réplicatif codant un ligand de déplétion et un récepteur antigénique chimérique (CAR) ciblant le CD22. Les cellules sont modifiées génétiquement à l'aide de nucléases effectrices de type activateur de transcription (TAL), qui sont temporairement transfectées dans les cellules sous forme d'ARNm, afin d'effectuer une disruption génique du gène codant la chaîne constante alpha du récepteur des cellules T (*TRAC*) et des gènes CD52. Le transgène exprimé comprend le ligand de déplétion RQR8, un motif de saut ribosomique T2A et un CAR anti-CD22, sous contrôle du promoteur du facteur d'elongation humain de type 1 alpha (EF1 $\alpha$ ). Le ligand RQR8 est une protéine de surface cellulaire artificielle de 136 acides aminés, qui combine les épitopes de liaison aux anticorps du CD20 (R) et CD34 (Q) humains, dans l'ordre R, Q et R, suivis d'un domaine charnière transmembranaire CD8a. Le CAR comprend un fragment variable à chaîne unique (scFv) anti-CD22, un domaine charnière et transmembranaire CD8a, et les domaines de costimulations intracellulaires 4-1BB (CD137) et CD3 $\zeta$  (CD247). Cette construction est flanquée de répétitions terminales longues (LTR), en 5' et 3', et contient également un signal d'encapsulation ψ, un gène gag tronqué et un élément de réponse Rev (RRE), une séquence centrale du tractus polypurine (cPPT), et un élément régulateur posttranscriptionnel du virus de l'hépatite de la marmotte (WPRE). Le vecteur est pseudotypé avec la glycoprotéine G du virus de la stomatite vésiculaire (VSV). Le matériel de la leucaphérèse est activé par les agonistes CD3 et CD28 et transduit avec le vecteur. Les lymphocytes TCR $\alpha\beta$ + résiduels sont éliminés par déplétion magnétique, puis cultivés dans des milieux contenant de l'interleukine-2 (IL-2). La suspension comprend principalement des lymphocytes T avec >30% de lymphocytes CAR+ et ≤3.0 % de lymphocytes TCR $\alpha\beta$ . Les cellules sont cytotoxiques et sécrètent des cytokines pro-inflammatoires en réponse aux cellules exprimant le CD22.

*thérapie génique à base de cellules (antinéoplasique)*

lasmecabtagén timgedleucel

linfocitos T alogénicos obtenidos de células mononucleares de sangre periférica mediante leucoaférésis de donantes sanos, transducidos con un vector lentiviral no replicativo, auto inactivante, que codifica para un ligando para deplección y un receptor de antígenos químérico (CAR) dirigido a CD22. Las células también se modifican genéticamente usando nucleasas efectoras similares al activador de la transcripción (TAL) que se administran transitoriamente a la célula en forma de ARNm para la ruptura de los genes de la cadena constante alfa del receptor de linfocitos T (*TRAC*) y de CD52.

El transgén expresado contiene el ligando para depleción RQR8, un motivo de salto ribosómico T2A y un CAR anti-CD22, bajo el control del promotor del factor de elongación-1 alfa (EF-1 $\alpha$ ) humano. El ligando RQR8 es una proteína de superficie celular artificial de 136 amino ácidos que combina epitopos de unión a anticuerpo del CD20 (R) humano y CD34 humano (Q) en el orden R, Q y R seguido de un dominio bisagra y transmembrana de CD8 $\alpha$ . El CAR consta de un fragmento variable de cadena sencilla (scFv) anti-CD22, un dominio bisagra y transmembrana de CD8 $\alpha$  y dominios coestimuladores intracelulares de 4-1BB (CD137) y de CD3 $\zeta$  (CD247). El constructo está flanqueado por repeticiones terminales largas (LTRs) en 5' y 3' y también contiene una señal de empaquetamiento ψ, un gag truncado, un elemento de respuesta Rev (RRE), una secuencia de tracto de polipurina central (cPPT) y un elemento regulador post-transcripcional del virus de la hepatitis de la marmota (WPRE) mutado. El vector está seudotipado con la glicoproteína G del virus de la estomatitis vesicular (VSV).

El material de leucoaféresis se activa con agonistas de CD3 y CD28 y se transduce con el vector. Los linfocitos T TCR $\alpha\beta^+$  residuales se eliminan mediante deplección magnética y después se cultivan en medio que contiene interleuquina 2 (IL-2). La suspensión consiste principalmente en linfocitos T con >30% CAR+ y ≤3.0% de linfocitos T TCR $\alpha\beta^+$ . Las células son citotóxicas y secretan citoquinas pro-inflamatorias en respuesta a células que expresan CD22 terapia génica basada en células (antineoplásico)

**lecufoxor**

lecufoxor

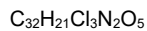
5<sup>2</sup>,9<sup>2</sup>,9<sup>6</sup>-trichloro-8<sup>5</sup>-cyclopropyl-6-oxa-2(2,5)-[1,3]benzoxazola-8(4,3)-[1,2]oxazola-5(1,4),9(1)-dibenzena-1(1)-cyclopropanonaphan-3-yne-2<sup>7</sup>-carboxylic acid farnesoid X receptor (FXR) agonist

## lécufexor

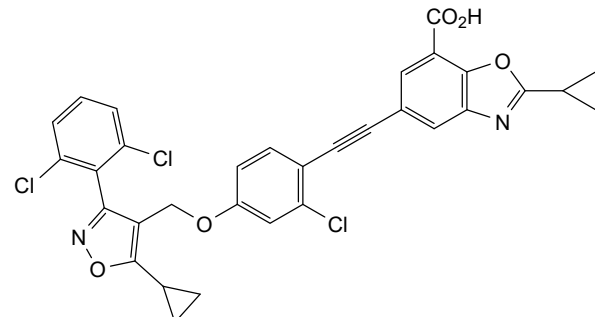
acide 5<sup>2</sup>,9<sup>2</sup>,9<sup>6</sup>-trichloro-8<sup>5</sup>-cyclopropyl-6-oxa-2(2,5)-[1,3]benzoxazola-8(4,3)-[1,2]oxazola-5(1,4),9(1)-dibenzéna-1(1)-cyclopropanonaphan-3-yne-2<sup>7</sup>-carboxylique agoniste du récepteur farnésoxide X (FXR)

## lecufoxor

ácido 5<sup>2</sup>,9<sup>2</sup>,9<sup>6</sup>-tricloro-8<sup>5</sup>-ciclopropil-6-oxa-2(2,5)-[1,3]benzoxazola-8(4,3)-[1,2]oxazola-5(1,4),9(1)-dibencena-1(1)-ciclopropanonafan-3-ino-2<sup>7</sup>-carboxílico agonista del receptor farnesoide X (FXR)



2247972-61-6

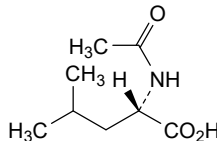


**levacetylleucinum**

levacetylleucine

*N*-acetyl-L-leucine*leucine derivative, treatment of lysosomal storage disorders***l'évacétyleucine***N*-acétyl-L-leucine*dérivé de leucine, traitement des troubles du stockage lysosomal***levacetileucina***N*-acetil-L-leucina*derivado de la leucina, tratamiento de alteraciones del almacenamiento lisosomal*C<sub>8</sub>H<sub>15</sub>NO<sub>3</sub>

1188-21-2

**linoserpaturevum #**

linoserpaturev

recombinant oncolytic herpes simplex virus type 1 (HSV-1) F strain in which both copies of the viral gamma 1 34.5 gene ( $\gamma$ 134.5, infected cell protein 34.5 [ICP34.5]) plus the ribonucleoside-diphosphate reductase large subunit UL39 (ICP6 gene) locus have been partially deleted/inactivated and in which a truncated copy of the  $\gamma$ 134.5 gene has been re-inserted into the genome in the region of the UL39 (ICP6) deletion in reverse complementary orientation, under transcription control of a glioma-selective murine (*Rattus norvegicus*) nestin enhancer and a murine (*Mus musculus*) heat-shock protein 68 (HSP68) minimum gene promoter  
*virus-based therapy (antineoplastic)*

## linoserpaturev

virus herpès simplex de type 1 (HSV-1) de souche F, recombinant, oncolytique, dans lequel deux copies du gène viral gamma 1 34.5 ( $\gamma$ 134.5, protéine cellulaire infectée 34.5 [ICP34.5]), et du locus de la grande sous-unité de la ribonucléoside-diphosphate réductase UL39 (gène ICP6) ont été partiellement supprimées/inactivées et dans laquelle une copie tronquée du gène  $\gamma$ 134.5 a été réinsérée dans le génome dans la région de la délétion UL39 (ICP6), en orientation complémentaire inverse, sous le contrôle transcriptionnel d'un activateur de nestine murine (*Rattus norvegicus*) sélectif de gliome, et d'un promoteur minimal de gène de la protéine de choc thermique 68 (HSP68) murin (*Mus musculus*)  
*thérapie à base de virus (antineoplastique)*

## linoserpaturev

vírus herpes simplex tipo 1 (HSV-1) de la cepa F, recombinante, oncolítico, en el que ambas copias del gen viral gamma 1 34.5 ( $\gamma$ 134.5, proteína de célula infectada 34.5 [ICP34.5]) más el locus de la subunidad grande de la ribonucleosido-difosfato reductasa UL39 (gen ICP6) han sido parcialmente deletcionados /inactivados y en el que una copia truncada del gen  $\gamma$ 134.5 se ha re-insertado en el genoma, en la región de la delección de UL39 (ICP6) en orientación complementaria inversa, bajo el control transcripcional de un potenciador selectivo de glioma de la nestina murina (*Rattus norvegicus*) y un promotor mínimo del gen de la proteína de shock térmico 68 (HSP68) murino (*Mus musculus*)  
*terapia basada en virus (antineoplásico)*

2933092-77-2

**lofacimig #**

lofacimig

only-heavy-chain immunoglobulin VH-VH-G1(h-CH2-CH3) dimer, anti-[*Homo sapiens* F11 (coagulation factor XI, FXI, plasma thromboplastin antecedent, PTA) apple 2 domain] and anti-[*Homo sapiens* F11 (coagulation factor XI, FXI, plasma thromboplastin antecedent, PTA) apple 3 domain] humanized monoclonal antibody, bispecific, tetravalent; H-gamma1 heavy chain VH-VH-G1(h-CH2-CH3) (1-493) [VH anti-F11 apple 2 domain (*Camelus dromedarius* IGHV3S45\*01 (86.6%)/*Homo sapiens* IGHV3-66\*01 (83.5%) -(IGHD) -IGHJ5\*02 (100%), CDR-IMGT [9.7.23] (26-34.52-58.97-119)) (1-130) -3-mer (glycyl-alanyl-prolyl) linker (131-133) -[VH anti-F11 apple 3 domain (*Camelus dromedarius* IGHV3S72\*01 (81.2%)/*Homo sapiens* IGHV3-64\*04 (79.4%) -(IGHD) -IGHJ4\*01 (100%), CDR-IMGT [8.7.20] (159-166.184-190.229-248)) (134-259) -2-mer (glycyl-seryl) linker (260-261) -*Homo sapiens* IGHG1\*01 h-CH2-CH3-CHS G1m17,1 CH3 D12, L14, G1v37 h S5 (hinge 1-15 C5>S(266) (262-276), CH2 (277-386), CH3 D12 (402), L14 (404) (387-491), CHS (492-493)) (262-493)]; dimer (272-272':275-275')-bisdisulfide, produced in Chinese hamster ovary (CHO) cells, cell line CHO-K1, glycoform alfa *coagulation factor XI inhibitor, antithrombotic*

lofacimig

immunoglobuline dimère VH-VH-G1(h-CH2-CH3) à chaînes lourdes seulement, anti-[*Homo sapiens* F11 (facteur de coagulation XI, FXI, antécédent de la thromboplastine plasmatique, PTA) domaine apple 2] et anti-[*Homo sapiens* F11 (facteur de coagulation XI, FXI, antécédent de la thromboplastine plasmatique, PTA) domaine apple 3], anticorps monoclonal humanisé, bispécifique, tétravalent; chaîne lourde H-gamma1 VH-VH-G1(h-CH2-CH3) (1-493) [VH anti-F11 domaine apple 2 (*Camelus dromedarius* IGHV3S45\*01 (86.6%)/*Homo sapiens* IGHV3-66\*01 (83.5%) -(IGHD) -IGHJ5\*02 (100%), CDR-IMGT [9.7.23] (26-34.52-58.97-119)) (1-130) -3-mer (glycyl-alanyl-prolyl) linker (131-133) -[VH anti-F11 domaine apple 3 (*Camelus dromedarius* IGHV3S72\*01 (81.2%)/*Homo sapiens* IGHV3-64\*04 (79.4%) -(IGHD) -IGHJ4\*01 (100%), CDR-IMGT [8.7.20] (159-166.184-190.229-248)) (134-259) -2-mer (glycyl-séryl) linker (260-261) -*Homo sapiens* IGHG1\*01 h-CH2-CH3-CHS G1m17,1 CH3 D12, L14, G1v37 h S5 (charnière 1-15 C5>S(266) (262-276), CH2 (277-386), CH3 D12 (402), L14 (404) (387-491), CHS (492-493)) (262-493)]; dimère (272-272':275-275')-bisdisulfure, produit dans des cellules ovariennes de hamster chinois (CHO), lignée cellulaire CHO-K1, glycoforme alfa *inhibiteur du facteur XI de coagulation sanguine, antithrombotique*

lofacimig

imunoglobulina dímero VH-VH-G1(h-CH2-CH3) con cadenas pesadas únicamente, anti-[*Homo sapiens* F11 (factor de coagulación XI, FXI, antecedente de la tromboplastina plasmática, PTA) dominio apple 2] y anti-[*Homo sapiens* F11 (factor de coagulación XI, FXI, antecedente de la tromboplastina plasmática, PTA) dominio apple 3], anticuerpo monoclonal humanizado, biespecífico, tetravalente;

cadena pesada H-gamma1 VH-VH-G1(h-CH2-CH3) (1-493) [VH anti-F11 dominio apple 2 (*Camelus dromedarius* IGHV3S45\*01 (86.6%)/*Homo sapiens* IGHV3-66\*01 (83.5%) -(IGHD) -IGHJ5\*02 (100%), CDR-IMGT [9.7.23] (26-34.52-58.97-119)) (1-130) -3-mer (glicil-alanil-prolil) enlace (131-133) -[VH anti-F11 dominio apple 3 (*Camelus dromedarius* IGHV3S72\*01 (81.2%)/*Homo sapiens* IGHV3-64\*04 (79.4%) -(IGHD) -IGHJ4\*01 (100%), CDR-IMGT [8.7.20] (159-166.184-190.229-248)) (134-259) -2-mer (glicil-seril) enlace (260-261) -*Homo sapiens* IGHG1\*01 h-CH2-CH3-CHS G1m17,1 CH3 D12, L14, G1v37 h S5 (bisagra 1-15 C5>S(266) (262-276), CH2 (277-386), CH3 D12 (402), L14 (404) (387-491), CHS (492-493)) (262-493)]; dímero (272-272':275-275')-bisdisulfuro, producido en las células ováricas de hámster chino (CHO), línea celular CHO-K1, forma glicosilada alfa  
*inhibidor del factor de coagulación XI, antitrombótico*

2857858-76-3

Heavy chain / Chaîne lourde / Cadena pesada: VH-VH-G1 anti-F11 (H, H')  
 QVQLVESGGG SVQAGGSRL SCAASGHTYS SNYCMAWFRQ APGKEREGRVA 50  
 AIYSDGSTSY ADSVKGRFTI SKDNSKNTLY LQMNNSLAED TAVYYCAATA 100  
 YEGSWTGQP LCLLYEETYW GQGTLTVSS GAPQVQLVES GGGSVQAGGS 150  
 LRLSCTASEF TFDDSDMawy RQAPGNECEL VSTITSDGGT YYADSVKGRF 200  
 TISQDNNSKNT MYLQMNSLRA EDTAVYYCAA DQWGSAEGDC TSSYPGGYWG 250  
 QGTLVTVSSG SEPKSSDKTH TCPPCPAPEL LGGPSPVFLFP PKPKDTLMIS 300  
 RTPEVTCVVV DVSHEDPEVK FNWYVVDGVEV HNAKTKPREE QYNSTYRVVS 350  
 VLTVLHQDWL NGKEYKCKVS NKLAPAPIEK TISKAKGQPR EPQVYTLPPS 400  
 RDELTKNQVS LTCLVKGFYp SDITAVEWESN GOOPENNYKTt PPVLDSDGSF 450  
 FLYSKLTVDK SRWQQGNVFS CSVMEALHN HYTQKSLSLS PGK 493

#### Post-translational modifications

Disulfide bridges location / Position des ponts disulfure / Posiciones de los puentes disulfuro  
 Intra-H (C23-C104) 22-96 155-228 178-240 307-367 413-471

22'-96' 155'-228' 178'-240' 307'-367' 413'-471'

Intra-H (C38-C112.2)\* 34-112  
34'-112'

Inter-H-H (h 11, h 14) 272-272' 275-275'

\*additional bridge from the original VH camelid sequence stabilizing the 23 amino acid long CDR3-IMGT.

N-terminal glutamyl cyclization / Cyclisation du glutaminyle N-terminal / Ciclación del glutaminilo N-terminal  
 Q> pyroglutamyl (pE, 5-oxoprolyl) / pyroglutamyle (pE, 5-oxoprolyle) / piroglutamilo (pE, 5-oxoprolilo)  
 H VH Q1: 1, 1'

N-glycosylation sites / Sites de N-glycosylation / Posiciones de N-glicosilación

H CH2 N84.4: 343, 343'

Fucosylated complex bi-antennary CHO-type glycans / glycanes de type CHO bi-antennaires complexes fucosylés / glicanos de tipo CHO biantenarios complejos fucosilados

C-terminal lysine clipping / Coupure de la lysine C-terminale / Recorte de lisina C-terminal  
 H CHS K2: 493, 493'

#### lotivibartum #

lotivibart

immunoglobulin G1-kappa, anti-[HIV-1 (human immunodeficiency virus type 1) gp120 envelope glycoprotein, CD4-binding site], *Homo sapiens* monoclonal antibody;

	H-gamma1 heavy chain <i>Homo sapiens</i> (1-452) [VH ( <i>Homo sapiens</i> IGHV1-2*02 (59.2%) -(IGHD) -IGHJ1*01 (72.7%) L123>T (117), T125>V (119), S128>A (122), CDR-IMGT [8.8.15] (26-33.51-58.97-111)) (1-122) - <i>Homo sapiens</i> IGHG1*01, G1m17.1 CH1 K120, CH3 D12, L14, G1v24 CH3 L107, S114 (CH1 K120 (219) (123-220), hinge 1-15 (221-235), CH2 (236-345), CH3 D12 (361), L14 (363), M107>L (433), N114>S (439) (346-450), CHS (451-452)) (123-452)], (225-210')-disulfide with L-kappa light chain <i>Homo sapiens</i> (1'-210') [V-KAPPA ( <i>Homo sapiens</i> IGKV1-13*02 (69.6%) -IGKJ5*01 (70.0%) Q120>R (96'), T122>S (98'), E1125>H (101'), CDR-IMGT [6.3.5] (27'-32'.50'-52'.89'-93')] (1'-103') - <i>Homo sapiens</i> IGKC*01 (100%) Km3 A45.1, V101 (C-KAPPA A45.1 (149'), V101 (187')) (104'-210')]; dimer (231-231".234-234")-bisdisulfide, produced in Chinese hamster ovary (CHO) cells, cell line CHO-DG44, glycoform alfa antiviral
lotivibart	immunoglobuline G1-kappa, anti-[site de liaison au CD4 de la protéine d'enveloppe gp120 du virus de l'immunodéficience humaine de type 1 (VIH-1)], anticorps monoclonal <i>Homo sapiens</i> ; chaîne lourde H-gamma1 <i>Homo sapiens</i> (1-452) [VH ( <i>Homo sapiens</i> IGHV1-2*02 (59.2%) -(IGHD) -IGHJ1*01 (72.7%) L123>T (117), T125>V (119), S128>A (122), CDR-IMGT [8.8.15] (26-33.51-58.97-111)) (1-122) - <i>Homo sapiens</i> IGHG1*01, G1m17.1 CH1 K120, CH3 D12, L14, G1v24 CH3 L107, S114 (CH1 K120 (219) (123-220), charnière 1-15 (221-235), CH2 (236-345), CH3 D12 (361), L14 (363), M107>L (433), N114>S (439) (346-450), CHS (451-452)) (123-452)], (225-210')-disulfure avec la chaîne légère L-kappa <i>Homo sapiens</i> (1'-210') [V-KAPPA ( <i>Homo sapiens</i> IGKV1-13*02 (69.6%) -IGKJ5*01 (70.0%) Q120>R (96'), T122>S (98'), E1125>H (101'), CDR-IMGT [6.3.5] (27'-32'.50'-52'.89'-93')] (1'-103') - <i>Homo sapiens</i> IGKC*01 (100%) Km3 A45.1, V101 (C-KAPPA A45.1 (149'), V101 (187')) (104'-210')]; dimère (231-231".234-234")-bisdisulfure, produit dans des cellules ovariennes de hamster chinois (CHO), lignée cellulaire CHO-DG44, glycoforme alfa antiviral
lotivibart	inmunoglobulina G1-kappa, anti-[lugar de unión al CD4 de la proteína de cobertura gp120 del virus de la inmunodeficiencia humana de tipo 1 (HIV-1)], anticuerpo monoclonal <i>Homo sapiens</i> ; cadena pesada H-gamma1 <i>Homo sapiens</i> (1-452) [VH ( <i>Homo sapiens</i> IGHV1-2*02 (59.2%) -(IGHD) -IGHJ1*01 (72.7%) L123>T (117), T125>V (119), S128>A (122), CDR-IMGT [8.8.15] (26-33.51-58.97-111)) (1-122) - <i>Homo sapiens</i> IGHG1*01, G1m17.1 CH1 K120, CH3 D12, L14, G1v24 CH3 L107, S114 (CH1 K120 (219) (123-220), bisagra 1-15 (221-235), CH2 (236-345), CH3 D12 (361), L14 (363), M107>L (433), N114>S (439) (346-450), CHS (451-452)) (123-452)], (225-210')-disulfuro con la cadena ligera L-kappa <i>Homo sapiens</i> (1'-210') [V-KAPPA ( <i>Homo sapiens</i> IGKV1-13*02 (69.6%) -IGKJ5*01 (70.0%) Q120>R (96'), T122>S (98'), E1125>H (101'), CDR-IMGT [6.3.5] (27'-32'.50'-52'.89'-93')] (1'-103') - <i>Homo sapiens</i> IGKC*01 (100%) Km3 A45.1, V101 (C-KAPPA A45.1 (149'), V101 (187')) (104'-210')]; dímero (231-231".234-234")-bisdisulfuro, producido en las células ováricas de hámster chino (CHO), línea celular CHO-DG44, forma glicosilada alfa antiviral

2851892-98-1

## Heavy chain / Chaîne lourde / Cadena pesada

RAHILVQSGTA MKKPGASRVR SCQTSGYTFT AHILFWFRQA PGRGLEWVGW 50  
 IKPQYGVNF GGGFDRVRTL TRDVYREIAY MDIRGLKPDD TAVYYCARDR 100  
 SYGDSSWALD AWGQTTVVV SAASTKGPSV FFLAPSSKST SGGTAAALGCL 150  
 VKDYFPEPVTL VSWNSGALTQ GVHTFPALQ SSGLYSLSSV TVVPSSLG 200  
 QTYICVNHR PSNTKVDKV EPKSCDKTH CTPCOPAPELL GGPSPVLFPP 250  
 KPKDTLMISR TPEVTCVVVD VSHEDEPEVKF NWYVVGVEVH NAKTKPREEQ 300  
 YNSTYRVVSV LTVLHQDWLN GKEYKCVSN KALPAPIEKT ISRAKGPRE 350  
 PQVYTLPPSR DELTKNQVSL TCLVKGFYPS DIAVEWESNG QPENNYKTPP 400  
 PVLDSDGSFF LYSKLTVDKS RWQQGNVFSC SVLHEALHSH YTQKSLSLSP 450  
 GK 452

## Light chain / Chaîne légère / Cadena ligera

YIHVTQSPSS LSVSIGDRVT INCQTSQVGV SDLHWYQHQP GRAPKLLIH 50  
 TSSVEDGVPS RFSGSGFHTS FNLTISDLQA DDIATYYCQV LQFFGRGSRL 100  
 HIKRTVAAPS VFIFPPSDEQ LKSGTASVVC LLNNFYPREA KVQWKVDNAL 150  
 QSGNSQESVT EQDSKDSTYS LSSTLTLASKA DYEHKKVYAC EVTHQGLSSP 200  
 VTOKSFNRGEC 210

## Post-translational modifications

Disulfide bridges location / Position des ponts disulfure / Posiciones de los puentes disulfuro  
 Intra-H (C23-C104) 22-96 149-205 266-326 372-430

22"-96" 149"-205" 266"-326" 372"-430"

Intra-L (C23-C104) 23"-88' 130"-190'

23"-88" 130"-190"

Inter-H-L (h 5-CL 126) 225-210' 225"-210"

Inter-H-H (h 11, h 14) 231-231" 234-234"

N-glycosylation sites / Sites de N-glycosylation / Posiciones de N-glicosilación  
 H CH2 N84.4: 302, 302"

Fucosylated complex bi-antennary CHO-type glycans / glycanes de type CHO bi-antennaires complexes fucosylés / glicanos de tipo CHO biantenarios complejos fucosilados

L V-KAPPA N88: 72, 72"

Afucosylated and sialylated complex bi-antennary CHO-type glycans / glycanes de type CHO bi-antennaires complexes afucosylés et sialylés / glicanos de tipo CHO biantenarios complejos afucosilados y sialilados

C-terminal lysine clipping / Coupe de la lysine C-terminale / Recorte de lisina C-terminal  
 H CHS K2: 452, 452"

**lunlekitugum #**

lunlekitug

immunoglobulin G1-kappa, anti-[*Homo sapiens* IL1A (interleukin 1 alpha)], *Homo sapiens* monoclonal antibody;

H-gamma1 heavy chain *Homo sapiens* (1-448) [VH (*Homo sapiens* IGHV1-69\*01 (80.4%) -(IGHD) -IGHJ4\*01 (100%), CDR-IMGT [8.8.11] (26-33.51-58.97-107)) (1-118) -*Homo sapiens* IGHG1\*03 (100%) G1m3, nG1m1 CH1 R120, CH3 E12, M14 (CH1 R120 (215) (119-216), hinge 1-15 (217-231), CH2 (232-341), CH3 E12 (357), M14 (359) (342-446), CHS (447-448) (119-448)], (221-220')-disulfide with L-kappa light chain *Homo sapiens* (1'-220') [V-KAPPA (*Homo sapiens* IGKV4-1\*01 (100%) -IGKJ4\*01 (100%), CDR-IMGT [12.3.9] (27'-38'.56'-58'.95'-103')) (1'-113') -*Homo sapiens* IGKC\*01 (100%) Km3 A45.1, V101 (C-KAPPA A45.1 (159'), V101 (197')) (114'-220')]; dimer (227-227":230-230")-bisdisulfide, produced in Chinese hamster ovary (CHO) cells, cell line CHO-K1SV, glycoform alfa

*anti-inflammatory*

**lunlékitug**

immunoglobuline G1-kappa, anti-[*Homo sapiens* IL1A (interleukine 1 alpha)]; anticorps monoclonal *Homo sapiens*;

chaîne lourde H-gamma1 *Homo sapiens* (1-448) [VH (*Homo sapiens* IGHV1-69\*01 (80.4%) -(IGHD) -IGHJ4\*01 (100%), CDR-IMGT [8.8.11] (26-33.51-58.97-107)) (1-118) -*Homo sapiens*IGHG1\*03 (100%) G1m3, nG1m1 CH1 R120, CH3 E12, M14 (CH1 R120 (215) (119-216), charnière 1-15 (217-231), CH2 (232-341), CH3 E12 (357), M14 (359) (342-446), CHS (447-448)) (119-448)], (221-220')-disulfure avec la chaîne légère L-kappa *Homo sapiens* (1'-220') [V-KAPPA (*Homo sapiens* IGKV4-1\*01 (100%) -IGKJ4\*01 (100%), CDR-IMGT [12.3.9] (27'-38'.56'-58'.95'-103')) (1'-113') -*Homo sapiens* IGKC\*01 (100%) Km3 A45.1, V101 (C-KAPPA A45.1 (159'), V101 (197')) (114'-220')]; dimère (227-227":230-230")-bisdisulfure, produit dans des cellules ovarianes de hamster chinois (CHO), lignée cellulaire CHO-K1SV, glycoforme alfa anti-inflammatoire

lunlekitug

immunoglobulina G1-kappa, anti-[*Homo sapiens* IL1A (interleukina 1 alfa)]; anticuerpo monoclonal *Homo sapiens*; cadena pesada H-gamma1 *Homo sapiens* (1-448) [VH (*Homo sapiens* IGHV1-69\*01 (80.4%) -(IGHD) -IGHJ4\*01 (100%), CDR-IMGT [8.8.11] (26-33.51-58.97-107)) (1-118) -*Homo sapiens*IGHG1\*03 (100%) G1m3, nG1m1 CH1 R120, CH3 E12, M14 (CH1 R120 (215) (119-216), bisagra 1-15 (217-231), CH2 (232-341), CH3 E12 (357), M14 (359) (342-446), CHS (447-448)) (119-448)], (221-220')-disulfuro con la cadena ligera L-kappa *Homo sapiens* (1'-220') [V-KAPPA (*Homo sapiens* IGKV4-1\*01 (100%) -IGKJ4\*01 (100%), CDR-IMGT [12.3.9] (27'-38'.56'-58'.95'-103')) (1'-113') -*Homo sapiens* IGKC\*01 (100%) Km3 A45.1, V101 (C-KAPPA A45.1 (159'), V101 (197')) (114'-220')]; dímero (227-227":230-230")-bisdisulfuro, producido en las células ováricas de hámster chino (CHO), línea celular CHO-K1SV, forma glicosilada alfa antiinflamatorio

2640257-30-1

## Heavy chain / Chaîne lourde / Cadena pesada

QVQLVQSGAE	VKKPGSSVKV	SCKASGGR	NYAILWVRQA	PQQGLQWLGG	50
IIPIFDET	DH AQDFQDR	LTI	T	TAIYCCATGS	100
NSYYGLYWGQ	GTLVTVSSAS	TKGFSVFPLA	PSSKSTSGGT	AALGCLVKDY	150
FPEPVTVSN	SGALTSGVHT	FPAVLQSSGL	YSLSSVVTVP	SSSLGTQTYI	200
CNVNHPKNT	KVDKRVEPKS	CDKTHTCP	PAPELLGGPS	VFLFPKPKD	250
TLMISRTPEV	TCVVVDVSH	DPEVKFNWYV	DGVEVHN	AKT KPREEQYNST	300
YRVSVLT	HQDWLNGKEY	KCKVSNKALE	APIEKTISKA	KQOPREPQVY	350
TLPSPREEMT	KNQVSLTICLV	KGFYPSDIAV	EWESNGQEN	NYKTTPPVLD	400
SDGSFFLYSK	LTVDKSRWQQ	GNVFSCSVMH	EALHNHYTQK	SLSLSPGK	448

## Light chain / Chaîne légère / Cadena ligera

DIVMTQSPDS	LA	V	SLGERAT	INCKSSQSVL	YSSNNKNYLA	WYQQKPGQPP	50
KLLIYWA	STR	E	SGVPDRFSG	SGSGTDTFL	TISSLQAE	DA VYCYCQQYSS	100
PPTFGGGTKV	EIKRTVAAP	V	TFPSDEQ	LKGTA	SVC	LLNNFYPRE	150
KVQWKVDNAL	QSGNSQESVT	EQDSKDSTYS	LSSTTLSKA	DYEKHKVYAC	200		
EVTHQGLSSP	VTKSFRNGEC				220		

## Post-translational modifications

Disulfide bridges location / Position des ponts disulfure / Posiciones de los puentes disulfuro

Intra-H (C23-C104)	22-96	145-201	262-322	368-426	
	22"-96"	145"-201"	262"-322"	368"-426"	
Intra-L (C23-C104)	23"-94"	140"-200"			
	23"-94"	140"-200"			
Inter-H-L (h 5-CL 126)	221-220	221"-220"			
Inter-H-H (h 11, h 14)	227-227"	230-230"			

N-terminal glutaminyl cyclization / Cyclisation du glutaminyile N-terminal / Ciclación del glutamínilo N-terminal

Q>pyroglutamyl (pE, 5-oxoprolyl) / pyroglutamyle (pE, 5-oxoprolyle) / piroglutamilo (pE, 5-oxoprolilo)  
H VH Q1: 1,"N-glycosylation sites / Sites de N-glycosylation / Posiciones de N-glicosilación  
H CH2 N84.4: 298, 298"

Fucosylated complex bi-antennary CHO-type glycans / glycanes de type CHO bi-antennaires complexes fucosylés / glicanos de tipo CHO biantenarios complejos fucosilados

C-terminal lysine clipping / Coupe de la lysine C-terminale / Recorte de lisina C-terminal  
H CHS K2: 448, 448"

**lutadenovecum autogenous #**

lutadenovec autogene	replication-defective chimpanzee adenovirus 68 (ChAd68), subgroup E adenovirus, (C68, 68/SAdV-25, originally designated as Pan 9) vector, with E1, E3 and E4 (partially) deleted, encoding a patient-specific expression cassette comprising 20 tumour-specific neoantigens (TSNA). The expression cassette, introduced into the deleted viral E1 region, includes coding sequences for methionine, alanine and glycine (MAG), the 20 tumour-specific neoantigens, a class II helper domain consisting of two universal CD4+ T helper lymphocyte epitopes, the pan human leukocyte antigen (HLA) DR-binding epitope (PADRE) and the tetanus toxoid P2 epitope (amino acid 830-844 of tetanus toxin Tc), each linked by glycine and proline linkers (GPGPG). The expression cassette is under the control of a tetracycline repressor (tetR)-regulated cytomegalovirus (CMV) promoter and a simian virus 40 (SV40) polyadenylation signal gene therapy ( <i>immune response inducer, antineoplastic</i> )
lutadénovec autogène	vecteur de l'adénovirus 68 du chimpanzé (ChAd68), déficient dans la réPLICATION, adénovirus du sous-groupe E (C68, 68/SAdV-25, désigné à l'origine comme Pan 9), avec E1, E3 et E4 (partiellement) supprimés, codant une cassette d'expression spécifique pour le patient, comprenant 20 néoantigènes spécifiques des tumeurs (NAST). La cassette d'expression, introduite dans la région virale E1 supprimée, comprend des séquences codantes pour la méthionine, l'alanine et la glycine (MAG), les 20 néoantigènes spécifiques des tumeurs, un domaine auxiliaire de classe II constitué de deux épitopes universels de lymphocytes T CD4+ helper, l'épitope universel (pan) de liaison aux isotopes DR de l'antigène leucocytaire humain (HLA) (PADRE) et l'épitope P2 de l'anatoxine tétanique (acides aminés 830-844 de la toxine tétanique Tc), chacun lié par des couples glycine-proline (GPGPG). La cassette d'expression est sous le contrôle d'un promoteur du cytomégalovirus (CMV), régulé par le répresseur de la tétracycline (tetR) et d'un signal de polyadénylation du virus simien 40 (SV40) <i>thérapie génique (inducteur de réponse immunitaire, antinéoplasique)</i>
lutadenovec autogén	vector del adenovirus 68 de chimpancé (ChAd68) deficiente en replicación, del subgrupo E de adenovirus (C68, 68/SAdV-25, denominado originalmente Pan 9), con E1, E3 y E4 (parcialmente) delecionados, que codifica para un casete de expresión específico de paciente que consta de 20 neoantígenos específicos de tumor (TSNA). El casete de expresión, introducido en la región viral delecionada E1, incluye secuencias que codifican para metionina, alanina y glicina (MAG), los 20 neoantígenos específicos de tumor, un dominio ayudante de clase II que consiste en dos epítitos universales de linfocitos T CD4+ helper, el epítoto universal (pan) de unión a isótopos DR del antígeno leucocitario humano (HLA) (PADRE) y el epítoto P2 del toxido tetánico (aminoácidos 830-844 de la toxina tetánica Tc), cada uno ligado mediante enlazadores de glicina y prolina (GPGPG). El casete de expresión está bajo el control de un promotor de citomegalovirus (CMV) regulado por un represor de tetraciclina (tetR) y una señal de poliadenilación del virus de simio 40 (SV40) <i>terapia génica (inductor de la respuesta inmunitaria, antineoplásico)</i>

2805319-15-5

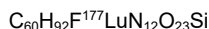
**lutetium (<sup>177</sup>Lu) tezuvotidum tetraxetanum**

lutetium (<sup>177</sup>Lu) tezuvotide tetraxetan (3-{4-[di-*tert*-butyl(fluoro)silyl]benzamido}-*N*-(4,7,10-tris[(carboxylato- $\kappa$ O)methyl]-1,4,7,10-tetraazacyclododecan-1-yl- $\kappa^4$ *N<sup>1</sup>,N<sup>4</sup>,N<sup>7</sup>,N<sup>10</sup>)acetyl- $\kappa$ O)-D-alanyl-*N*<sup>6</sup>-[4-((4*R*)-4-carboxy-4-[(*N*-[(1*S*)-1,3-dicarboxypropyl]carbamoyl)-L- $\gamma$ -glutamyl]amino]butyl]amino)-4-oxobutanoyl]-D-lysine)(<sup>177</sup>Lu)lutetium  
*antineoplastic**

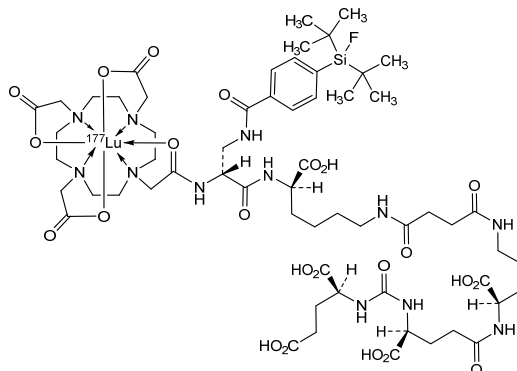
lutécium (<sup>177</sup>Lu) tézuvotide tétraxétan (3-{4-[di-*tert*-butyl(fluoro)silyl]benzamido}-*N*-(4,7,10-tris[(carboxylato- $\kappa$ O)méthyl]-1,4,7,10-tétraazacyclododécan-1-yl- $\kappa^4$ *N<sup>1</sup>,N<sup>4</sup>,N<sup>7</sup>,N<sup>10</sup>)acétyle- $\kappa$ O)-D-alanyl-*N*<sup>6</sup>-[4-((4*R*)-4-carboxy-4-[(*N*-[(1*S*)-1,3-dicarboxypropyl]carbamoyl)-L- $\gamma$ -glutamyl]amino]butyl]amino)-4-oxobutanoyl]-D-lysine)(<sup>177</sup>Lu)lutécium  
*antineoplastique**

**lutecio (<sup>177</sup>Lu) tezuvotida tetraxetán**

(3-{4-[di-*tert*-butil(fluoro)silil]benzamido}-*N*-(4,7,10-tris[(carboxilato- $\kappa$ O)metyl]-1,4,7,10-tetraazaciclododecan-1-il- $\kappa^4$ *N<sup>1</sup>,N<sup>4</sup>,N<sup>7</sup>,N<sup>10</sup>)acetil- $\kappa$ O)-D-alanil-*N*<sup>6</sup>-[4-((4*R*)-4-carboxi-4-[(*N*-[(1*S*)-1,3-dicarboxipropil]carbamoi)-L- $\gamma$ -glutamili]amino]butil]amino)-4-oxobutanoil]-D-lisina)(<sup>177</sup>Lu)lutecio  
*antineoplásico**



2613239-73-7

**luvometinibum**

luvometinib

*N*-(3-[6-cyclopropyl-3-fluoro-4-(2-fluoro-4-iodoanilino)-1-methyl-2,5-dioxo-1,2,5,6-tetrahydropyrido[2,3-d]pyridazin-8-yl]phenyl)cyclopropanesulfonamide  
*mitogen-activated protein kinase (MEK) inhibitor, antineoplastic*

luvométiñib

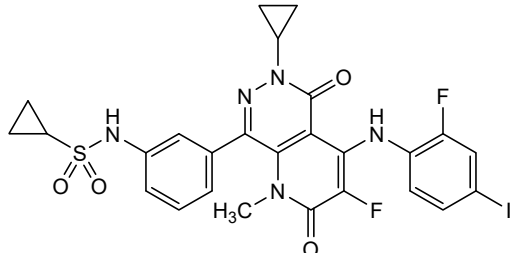
*N*-(3-[6-cyclopropyl-3-fluoro-4-(2-fluoro-4-iodoanilino)-1-méthyl-2,5-dioxo-1,2,5,6-tétrahydropyrido[2,3-d]pyridazin-8-yl]phényle)cyclopropanesulfonamide  
*inhibiteur de la protéine kinase activée par un mitogène (MEK), antinéoplasique*

luvometinib

*N*-{3-[6-ciclopropil-3-fluoro-4-(2-fluoro-4-yodoanilino)-1-metil-2,5-dioxo-1,2,5,6-tetrahidropirido[2,3-d]piridazin-8-il]fenil)ciclopropanosulfonamida  
*inhibidor de la proteína-kinasa activada por mitógeno (MEK), antineoplásico*

 $C_{26}H_{22}F_2IN_5O_4S$ 

2739690-43-6

**macitegtagenum autoleucelum #**

macitegtagene autoleucel

autologous CD4/CD8 enriched T lymphocytes derived from peripheral blood mononuclear cells (PBMC) of patients by leukapheresis, transduced with a self-inactivating, non-replicating lentiviral vector encoding a chimeric antigen receptor (CAR) targeting the intercellular adhesion molecule-1 (ICAM-1) fused to human somatostatin receptor type 2 (SSTR2), under control of the human elongation factor-1 alpha (EF-1 $\alpha$ ) promoter. A self-cleaving P2A peptide sequence separates the two transgenes.

The CAR transgene comprises a CD8 $\alpha$  signal peptide, a c-Myc tag, the I domain of the lymphocyte function-associated antigen 1 (LFA-1, also known as integrin alpha-L, a natural ICAM-1 ligand) with an F292A mutation, a CD8 $\alpha$ /CD28 hinge and transmembrane domain, a 4-1BB costimulatory domain and a CD3 $\zeta$  signalling domain. The somatostatin receptor type 2 (SSTR2) is used to bind  $^{68}\text{Ga}$ -DOTA-TATE for visualization of the CAR T lymphocytes via positron emission tomography-computed tomography (PET-CT). The transgene construct is flanked by 5' and 3' long terminal repeats (LTRs) and also contains a  $\psi$  packaging signal, a truncated gag, a Rev response element (RRE), a central polypurine tract (cPPT) sequence, a Woodchuck hepatitis virus post-transcriptional regulatory element (WPRE) and a qPCR synthetic ID tag sequence.

The leukapheresis material is enriched for CD4/CD8 T lymphocytes by positive immunoselection, activated by CD3 and CD28 agonists and transduced with the lentiviral vector. The cells are then expanded in media supplemented with serum replacement and interleukin 2 (IL-2) and 7 (IL-7). The cell suspension consists of T lymphocytes ( $\geq 90\%$ ) with greater than 10% of the T lymphocytes expressing the transgene. The lymphocytes secrete interferon gamma (IFN- $\gamma$ ) and exhibit cytotoxic activity in response to culture with target tumor cells

*cell-based gene therapy (antineoplastic)*

## macitegtagène autoleucel

lymphocytes T autologues enrichis en CD4/CD8, dérivés de cellules mononucléées du sang périphérique (CMSP) du patient par leucaphérèse, transduits par un vecteur lentiviral auto-inactivant et non répliquatif, codant un récepteur antigénique chimérique (CAR) ciblant la molécule d'adhésion intercellulaire de type 1 (ICAM-1), fusionnée au récepteur humain de la somatostatine de type 2 (SSTR2), sous le contrôle du promoteur du facteur d'elongation-1 alpha humain (EF-1 $\alpha$ ). Une séquence du peptide P2A auto-clivante sépare les deux transgènes. Le transgène CAR comprend un peptide signale CD8 $\alpha$ , un marqueur c-Myc, le domaine I de l'antigène 1 associé à la fonction lymphocytaire (LFA-1, aussi appelé intégrine alpha-L, un ligand naturel d'ICAM-1) avec une mutation F292A, un domaine charnière CD8 $\alpha$ /CD28 et un domaine transmembranaire CD8 $\alpha$ /CD28, un domaine de costimulation 4-1BB et un domaine de signalisation CD3 $\zeta$ . Le récepteur de la somatostatine de type 2 (SSTR2) sert à lier le  $^{68}\text{Ga}$ -DOTA-TATE pour la visualisation des lymphocytes T CAR par tomographie par émission de positons (PET-CT). La construction transgénique est flanquée de répétitions terminales longues (LTR) en 5' et en 3' et contient un signal d'encapsulation ψ, un gène gag tronqué, un élément de réponse Rev (ERR), une séquence centrale du tractus polypurine (cPPT)/ centrale de terminaison (CTS), et un élément régulateur posttranscriptionnel du virus de l'hépatite de la marmotte (WPRE), et une étiquette d'identification qPCR.

Le matériel de la leucaphérèse est enrichi en lymphocytes T CD4/CD8 par une immunosélection positive, activé par les agonistes CD3 et CD8, puis transduit avec le vecteur lentiviral. Les cellules sont mises en expansion dans un milieu complété par un sérum de substitution et de l'interleukine-2 (IL-2) et de l'interleukine-7 (IL-7). La suspension cellulaire est constituée de lymphocytes T ( $\geq 90\%$ ), dont plus de 10% expriment le transgène. Les lymphocytes sécrètent de l'interféron gamma (IFN- $\gamma$ ) et présentent une activité毒ique en réponse à la culture avec des cellules tumorales cibles thérapie génique à base de cellules (antinéoplasique)

## macitegtagén autoleucel

linfocitos T CD4/CD8 autólogos derivados de células mononucleares de sangre periférica (PBMC) de pacientes por leucoaféresis, transducidos con un vector lentiviral auto inactivante, no replicativo, que codifica para un receptor de antígenos químérico (CAR) dirigido a la molécula de adhesión intercelular 1 (ICAM-1) fusionado al receptor de somatostatina tipo 2 (SSTR2) humano, bajo el control del promotor del factor de elongación-1 alfa (EF-1 $\alpha$ ). Los dos transgenes están separados por una secuencia del péptido de autoescisión P2A.

El transgén CAR consta de un péptido señal de CD8 $\alpha$ , una etiqueta c-Myc, el dominio I del antígeno asociado a función linfocitaria 1 (LFA-1, también conocido como integrina alfa-1, un ligando natural de ICAM-1) con una mutación F292A, un dominio bisagra y transmembrana de CD8 $\alpha$ /CD28, un dominio coestimulador de 4-1BB y un dominio de señalización de CD3 $\zeta$ . El receptor de somatostatina tipo 2 (SSTR2) se usa para unir  $^{68}\text{Ga}$ -DOTA-TATE para la visualización de los linfocitos CAR T mediante tomografía por emisión de positrones-tomografía computarizada (PET-CT). El constructo transgén está flanqueado por repeticiones terminales largas (LTRs) en 5' y 3' y también contiene una señal de empaquetamiento ψ, un gag troncado, un elemento de respuesta Rev (RRE), una secuencia de tracto de poli-purina central (cPPT), un elemento regulador post-transcripcional del virus de la hepatitis de la marmota (WPRE) y una secuencia etiqueta sintética ID qPCR.

El material de leucoaféresis se enriquece en linfocitos T CD4+/CD8+ mediante inmunoselección positiva, se activa mediante agonistas de CD3 y CD28 y se transduce con el vector lentiviral. Las células después se expanden en medio suplementado con substituto de suero e interleuquinas 2 (IL-2) y 7 (IL-7). La suspensión celular consiste en linfocitos T ( $\geq 90\%$ ) con más del 10% de los linfocitos T que expresan el transgén. Los linfocitos secretan interferón gamma (IFN- $\gamma$ ) y muestran actividad citotóxica en respuesta al cultivo con células tumorales diana terapia génica basada en células (antineoplásico)

**maritupirdinum**

maritupirdine

2,8-dimethyl-5-(2-phenylethyl)-2,3,4,5-tetrahydro-1H-pyrido[4,3-*b*]indole  
serotonin receptor antagonist, antidepressant

maritupirdine

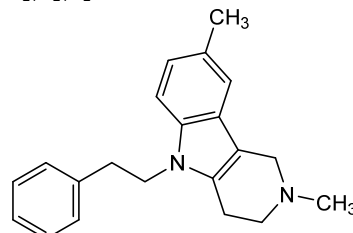
2,8-diméthyl-5-(2-phényléthyl)-2,3,4,5-tétrahydro-1*H*-pyrido[4,3-*b*]indole  
antagoniste des récepteurs de la sérotonine, antidépresseur

maritupirdina

5-(2-feniletil)-2,8-dimetil-2,3,4,5-tetrahidro-1*H*-pirido[4,3-*b*]indol  
antagonista del receptor de serotonina, antidepresivo

 $C_{21}H_{24}N_2$ 

1025725-91-0

**mavrostobartum #**

mavrostobart

immunoglobulin G4-kappa, anti-[*Homo sapiens* NT5E (5'-nucleotidase ecto, 5'-nucleotidase, NT5, eN, eNT, NTE, CALJA, CD73)];  
H-gamma4 heavy chain (1-448) [VH Musmus/Homsap (*Mus musculus* IGHV1-80\*01 (77.6%) -(IGHD)-IGHJ3\*01 (85.7%) A128>S (121)/*Homo sapiens* IGHV3-66\*01 (71.4%) -(IGHD)-IGHJ4\*01 (92.9%), CDR-IMGT [8.8.14] (26-33.51-58.97-110) (1-121) -*Homo sapiens* IGHG4\*01, nG4m(a) CH2 L92, G4v5 h P10 (CH1 (122-219), hinge 1-12 S10>P (229) (220-231), CH2 L92 (310) (232-341), CH3 (342-446), CHS (447-448)) (122-448)], (135-220')-disulfide with L-kappa light chain (1'-220') [V-KAPPA Musmus/Homsap (*Mus musculus* IGKV8-24\*01 (86.1%) -(IGHD)-IGHJ5\*01 (91.7%) L126>I (112')/*Homo sapiens* IGKV4-1\*01 (80.2%) -(IGHD)-IGHJ2\*01 (90.9%) Q120>A (106'), CDR-IMGT [12.3.9] (27'-38'.56'-58'.95'-103')) (1'-113) -*Homo sapiens* IGKC\*01 (100%) Km3 A45.1, V101 (C-KAPPA A45.1 (159'), V101 (197')) (114'-220')]; dimer (227-227":230-230")-bisdisulfide, produced in a cell line from Chinese hamster ovary (CHO) cells, derived from the cell line CHO-K1, glycoform alfa antineoplastic

mavrostobart

immunoglobuline G4-kappa, anti-[*Homo sapiens* NT5E (5'-nucléotidase ecto, 5'-nucléotidase, NT5, eN, eNT, NTE, CALJA, CD73)];

chaîne lourde H-gamma4 (1-448) [VH Musmus/Homsap (*Mus musculus*) IGHV1-80\*01 (77.6%) -(IGHD) -IGHJ3\*01 (85.7%) A128>S (121)/*Homo sapiens*IGHV3-66\*01 (71.4%) -(IGHD) -IGHJ4\*01 (92.9%), CDR-IMGT [8.8.14] (26-33.51-58.97-110)) (1-121)-*Homo sapiens*IGHG4\*01, nG4m(a) CH2 L92, G4v5 h P10 (CH1 (122-219), charnière 1-12 S10>P (229) (220-231), CH2 L92 (310) (232-341), CH3 (342-446), CHS (447-448)) (122-448)], (135-220')-disulfure avec la chaîne légère L-kappa (1'-220') [V-KAPPA Musmus/Homsap (*Mus musculus*) IGKV8-24\*01 (86.1%) -(IGHD) -IGHJ5\*01 (91.7%) L126>I (112')/*Homo sapiens*IGKV4-1\*01 (80.2%) -(IGHD) -IGHJ2\*01 (90.9%) Q120>A (106'), CDR-IMGT [12.3.9] (27'-38'.56'-58'.95'-103')) (1'-113')-*Homo sapiens*IGKC\*01 (100%) Km3 A45.1, V101 (C-KAPPA A45.1 (159'), V101 (197')) (114'-220')]; dimère (227-227":230-230")-bisdisulfure, produit dans une lignée cellulaire des cellules ovariennes de hamster chinois (CHO), dérivant de la lignée cellulaire CHO-K1, glycoforme alfa antinéoplasique

mavrostobart immunoglobulina G4-kappa, anti-[*Homo sapiens* NT5E (5'-nucleotidasa ecto, 5'-nucleotidasa, NT5, eN, eNT, NTE, CALJA, CD73)]; cadena pesada H-gamma4 (1-448) [VH Musmus/Homsap (*Mus musculus*) IGHV1-80\*01 (77.6%) -(IGHD) -IGHJ3\*01 (85.7%) A128>S (121)/*Homo sapiens*IGHV3-66\*01 (71.4%) -(IGHD) -IGHJ4\*01 (92.9%), CDR-IMGT [8.8.14] (26-33.51-58.97-110)) (1-121)-*Homo sapiens*IGHG4\*01, nG4m(a) CH2 L92, G4v5 h P10 (CH1 (122-219), bisagra 1-12 S10>P (229) (220-231), CH2 L92 (310) (232-341), CH3 (342-446), CHS (447-448)) (122-448)], (135-220')-disulfuro con la cadena ligera L-kappa (1'-220') [V-KAPPA Musmus/Homsap (*Mus musculus*) IGKV8-24\*01 (86.1%) -(IGHD) -IGHJ5\*01 (91.7%) L126>I (112')/*Homo sapiens*IGKV4-1\*01 (80.2%) -(IGHD) -IGHJ2\*01 (90.9%) Q120>A (106'), CDR-IMGT [12.3.9] (27'-38'.56'-58'.95'-103')) (1'-113')-*Homo sapiens*IGKC\*01 (100%) Km3 A45.1, V101 (C-KAPPA A45.1 (159'), V101 (197')) (114'-220')]; dímero (227-227":230-230")-bisdisulfuro, producido en una línea celular de las células ováricas de hámster chino (CHO), línea celular derivada de CHO-K1, forma glicosilada alfa antineoplásico

2928515-12-0

Heavy chain / Chaîne lourde / Cadena pesada  
 EVQLVESGG LVQPGQSLKL SKCASGYAFS SYWMNNWVKQR PGKGLEWIGO 50  
 IYPGDGDTYY SGKFGRATL SADSKSNNTAY LQLNNLRAED TAVYVCAREA 100  
 IYYGNVVFY WGQGTLTVVS SASTKGPSVF PLAPCSRSTS ESTAALGCLV 150  
 KDYFPEPVTV SWNSGALTSG VHTFPAVLQS SGLYSLLSSV TVPSSSLGTK 200  
 TYTCNVDHKP SNTKVDKRVE SKYGPCCPC PAPEFLGGPS VFLLPPKPKD 250  
 TLMISRTPEV TCVVVDVSQL DPEVQFNWVY DGVEVHNNAKT KPREQFNST 300  
 YRVSVLTVL HQDWLNGKEY KCKVSNKGPL SSIKETISKKA KGQPREPQVY 350  
 TLPPSQEEMT KNQVSLTCLV KGFYPSDIV EWESNGQOPEN NYKTPVLD 400  
 SDGSFFLYSR LTVDKSRWQE GNFSCSVNM EALHNHYTQK SLSLSLGK 448

Light chain / Chaîne légère / Cadena ligera  
 DIVMTQSPSL LSASLGRDVT ISCKQQSSL NSSNQKNYLA WYQQKPGQSP 50  
 KLLVYFASTR DSGVPDRFSG SGSGTDFTLT ISSLEPEDFA TYFCQQHYST 100  
 PLTFGAGTKL EIKRTVAAPS VFIFFPSDEQ LKSTGTASVVC LLNNFYPRERA 150  
 KVQWKVDNAL QSGNSQESVT EQDSKDRSTYS LSSTLTLSKA DYEKHKVYAC 200  
 EVTHQGLSSP VTKSFRNRGEC 220

#### Post-translational modifications

Disulfide bridges location / Position des ponts disulfure / Posiciones de los puentes disulfuro  
 Intra-H (C23-C104) 22"-96" 148"-204" 262"-322" 368"-426"  
 22"-96" 148"-204" 262"-322" 368"-426"  
 Intra-L (C23-C104) 23"-94" 140"-200"  
 23"-94" 140"-200"  
 Inter-H-L (CH1 10-CL 126) 135-220" 135"-220"  
 Inter-H-H (h 8, h 11) 227-227" 230-230"

N-glycosylation sites / Sites de N-glycosylation / Posiciones de N-glicosilación  
 H CH2 N84.4: 298, 298"  
 Fucosylated complex bi-antennary CHO-type glycans / glycanes de type CHO bi-antennaires complexes fucosylés / glicanos de tipo CHO biantenarios complejos fucosilados

C-terminal lysine clipping / Coupe de la lysine C-terminale / Recorte de lisina C-terminal  
 H CHS K2: 448, 448"

**mevrometostatum**

mevrometostat

5,8-dichloro-7-[(*R*)-methoxy(oxetan-3-yl)methyl]-2-[(4-methoxy-6-methyl-2-oxo-1,2-dihydropyridin-3-yl)methyl]-3,4-dihydroisoquinolin-1(2*H*)-one  
*enhancer of zeste homolog 2 (EZH2) inhibitor, antineoplastic*

mévrométostat

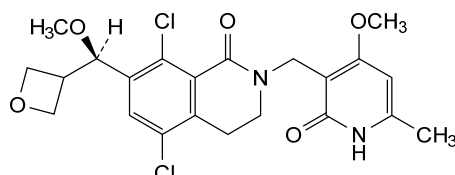
5,8-dichloro-7-[(*R*)-méthoxy(oxétan-3-yl)méthyl]-2-[(4-méthoxy-6-méthyl-2-oxo-1,2-dihydropyridin-3-yl)méthyl]-3,4-dihydroisoquinolén-1(2*H*)-one  
*activateur de l'inhibiteur de l'homologue 2 du zeste (EZH2), antinéoplasique*

mevrometostat

5,8-dicloro-2-[(6-metil-4-metoxi-2-oxo-1,2-dihidropiridin-3-il)metil]-7-[(*R*)-metoxi(oxetan-3-il)metil]-3,4-dihidroisoquinolin-1(2*H*)-ona  
*activador del inhibidor de la histona-lisina metiltransferasa EZH2 (EZH2), antineoplásico*

C<sub>22</sub>H<sub>24</sub>Cl<sub>2</sub>N<sub>2</sub>O<sub>5</sub>

1844849-10-0

**mivalsecovateinum #**

mivalsecovatein

severe acute respiratory syndrome coronavirus 2 (SARS-CoV-2), omicron lineage XBB.1.5 (Gisaid: EPI\_ISL\_16343574) spike (S) glycoprotein (1-1256), stable prefusion conformation variant (R<sup>665</sup>>Q, R<sup>666</sup>>Q, R<sup>668</sup>>Q, K<sup>969</sup>>P, V<sup>970</sup>>P), trimer, produced in *Spodoptera frugiperda* (Sf9) insect cells, glycoform alfa  
*immunological agent for active immunization (anti-SARS-CoV-2)*

mivalsécovatéine

glycoprotéine du spicule (S) du coronavirus 2 du syndrome respiratoire aigu sévère (SRAS-CoV-2), lignée omicron XBB.1.5 (GISAID: EPI\_ISL\_16343574) (1-1256), variante de conformation de préfusion stable (R<sup>665</sup>>Q, R<sup>666</sup>>Q, R<sup>668</sup>>Q, K<sup>969</sup>>P, V<sup>970</sup>>P), trimère, produite dans des cellules d'insectes *Spodoptera frugiperda* (Sf9), glycoforme alfa  
*agent immunologique d'immunisation active (anti-SRAS-CoV-2)*

mivalsecovateína

glicoproteína de espícula (S) del coronavirus 2 del síndrome respiratorio agudo severo (SRAS-CoV-2), linaje ómicron XBB.1.5 (Gisaid: EPI\_ISL\_16343574) (1-1256), variante de conformación de prefusión estable (R<sup>665</sup>>Q, R<sup>666</sup>>Q, R<sup>668</sup>>Q, K<sup>969</sup>>P, V<sup>970</sup>>P), trímero, producido en las células del insecto *Spodoptera frugiperda* (Sf9), glicoforma alfa  
*agente inmunológico para inmunización activa (anti-SRAS-CoV-2)*

2928522-52-3

## Sequences / Séquences / Secuencias

QCVNLITRTQ SYTNSFTRGV YYPDKVFRSS VLHSTQDLFL PFFSNVTWFH 50  
 AIHVSGTNGT KRFDPNPLPF NDGVYFASTE KSNIIRGWF GTTLDSTQTS 100  
 LLIVNNATNVN VIKVCEFQFC NDFPFLDVYQK NNKSWMESEF RVYSSANNT 150  
 FEYVSQPFLM DLEGKEGNFK NLREFEFKNI DGYFKIYSKH TPINLERDLP 200  
 QGFSALEPLV DLPIGINITR FQTLLALHRS YTLPVDSSSG WTAGAAAYV 250  
 GYLQPRFTFL KYNEGTITD AVDCALDPLS ETKCCTLKSFT VEKGIIYQTSN 300  
 FREVQFTESIV RFPNITNLCF FHEVFNATTF ASVYAWRKK ISNCVADYSV 350  
 IYNFAPFFAF KCYGVSPKL NDLCFTNVYA DSFVIRGNEV SQAIPGQTGN 400  
 IADYNYYKLPD DFTGCVIAWN SNKLDLSPKG NYNYLYRFLP KSKLKPFERD 450  
 ISTEIYQAGN KPCNGVAGPN CYSPLQSYYGF RPTYGVGHQP YRVVVLSEL 500  
 LHAPATVCGP KKSTNLVKNK CVNFNFNGLT GTGVLTESNK KFLPFQQFGR 550  
 DIADTTDAVR DPQTEILLDI TPCSFGGVSV ITPGNTNTSQ VAVLYQGVNC 600  
 TEVFPVAIHAD QLPTIWRVYS TGSNVEQTRA GCLIGAEYVN NSYECIDPIG 650  
 AGICASYQTQ TKSH~~Q~~<sup>W</sup>ASQSIAYTM SLGAENSVAY SNNSTIAIPTN 700  
 FTISVTTEIL PVSMITKTSVD CTMYICGDST ECSNLLLQYG SFCTQLKRAL 750  
 TGIAVEQDKN TQEVAQVKQ IYKTPPIKYF GGFNFSQLP DPKPSKRSF 800  
 IEDLLLFNKVLT LADAGFIKQY GDCLGDIAR DLICAQKFNG LTVLPLLTD 850  
 EMIAQYTSAL LAGTITSGWT FGAGAAQIP FAMQMAYRFN GIGVTQNVLY 900  
 ENQKLILANQK NSAIGKIQDS LSSTSASALGK LQDVVNHNNAQ ALNTLVKQLS 950  
 SKFGAIVSSL NDILSRLD~~P~~<sup>E</sup> EAEVQIDRLI TGRLQSLQTY VTQQLIRRAE 1000  
 IRASANLAAT KMSECVLQGS KRVDVFCGKGY HLMSPQSAF HGVPFLHVITY 1050  
 VFAQEKENFTT APACHDGKA HFREGVFS NGTHWVEITQR NEYEPOIITT 1100  
 DNTFVSGNCC VVIGIVNNTV YDPLQPELDS FKEELDKYFK NHTSPDVDLG 1150  
 DISGINASVW NIQKEIDRLN EVAKNLINESL IDLOELGKYE QYIKWPWIW 1200  
 LGFIAGLIAI VMVTIMLLCM TSCCSCLKGC CSCGSCCKFD EDDSEPVLKG 1250  
 VKLHYT 1256

## Mutations / Mutations / Mutaciones

R<sup>665</sup>-~~Q~~<sup>W</sup>, R<sup>666</sup>-~~Q~~<sup>W</sup>, R<sup>668</sup>-~~Q~~<sup>W</sup>, K<sup>669</sup>-P, V<sup>670</sup>-P

## Post-translational modifications

Disulfide bridges location / Position des ponts disulfure / Posiciones de los puentes disulfuro

Intra chain: 2-120, 115-149, 274-284, 319-344, 362-415, 374-508, 463-471, 521-573,  
600-632, 645-654, 721-743, 726-732, 823-834, 1015-1026, 1065-1109

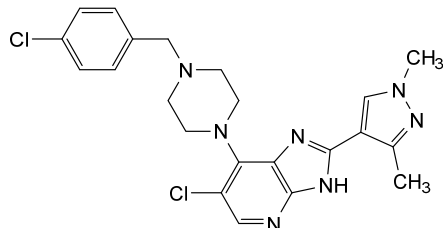
## N-glycosylation sites / Sites de N-glycosylation / Posiciones de N-glicosilación

N45, N58, N106, N132, N148, N217, N265, N314, N326, N586, N599, N640, N692,  
N700, N784, N1057, N1081, N1117, N1141, N1156**mobinitinibum**

- mobinitinib 6-chloro-7-{4-[(4-chlorophenyl)methyl]piperazin-1-yl}-2-(1,3-dimethyl-1*H*-pyrazol-4-yl)-3*H*-imidazo[4,5-*b*]pyridine  
*dual FMS-like tyrosine kinase-3 (FLT3)-Aurora kinase inhibitor, antineoplastic*
- mobinitinib 6-chloro-7-{4-[(4-chlorophénol)méthyl]pipérazin-1-yl}-2-(1,3-diméthyl-1*H*-pyrazol-4-yl)-3*H*-imidazo[4,5-*b*]pyridine  
*double inhibiteur de tyrosine kinase-3 (FLT3)-Aurora kinase de type FMS, antinéoplasique*
- mobinitinib 6-cloro-7-{4-[(4-clorofenil)metil]piperazin-1-il}-2-(1,3-dimetil-1*H*-pirazol-4-il)-3*H*-imidazo[4,5-*b*]piridina  
*inhibidor dual de la tirosína kinasa 3 tipo FMS-Aurora kinasa, antineoplásico*

C<sub>22</sub>H<sub>23</sub>Cl<sub>2</sub>N<sub>7</sub>

1402709-93-6



**mocacilibum**

mocacilib

2-fluoro-N-[( $(8^3R,8^4R)$ -8<sup>3</sup>-hydroxy-5<sup>8</sup>-(propan-2-yl)-4,6-diaza-1(1)-isoquinolina-5(4,2)-pyrazolo[1,5-a][1,3,5]triazina-8(4)-piperidina-2(1,2)-benzenaoctaphan-1<sup>6</sup>-yl]prop-2-enamide  
*cyclin-dependent kinase (CDK) inhibitor, antineoplastic*

mocacilib

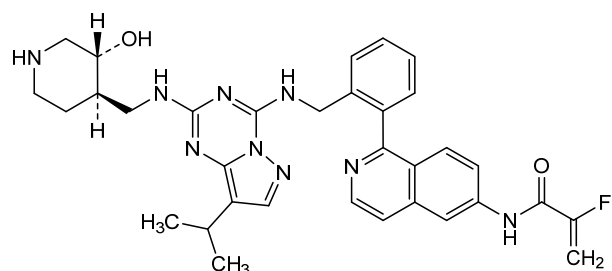
2-fluoro-N-[( $(8^3R,8^4R)$ -8<sup>3</sup>-hydroxy-5<sup>8</sup>-(propan-2-yl)-4,6-diaza-1(1)-isoquinoléina-5(4,2)-pirazolo[1,5-a][1,3,5]triazina-8(4)-pipéridina-2(1,2)-benzénaoctaphan-1<sup>6</sup>-yl]prop-2-énamide  
*inhibiteur de la kinase cycline-dépendante (CDK), antineoplastique*

mocacilib

2-fluoro-N-[( $(8^3R,8^4R)$ -8<sup>3</sup>-hidroxi-5<sup>8</sup>-(propan-2-il)-4,6-diaza-1(1)-isoquinolina-5(4,2)-pirazolo[1,5-a][1,3,5]triazina-8(4)-piperidina-2(1,2)-bencenaoctafan-1<sup>6</sup>-il]prop-2-enamida  
*inhibidor de la kinasa dependiente de ciclinas (CDK), antineoplásico*

C33H36FN9O2

2766124-39-2

**mosperafenibum**

mosperafenib

( $3R$ )-N-{2-cyano-4-fluoro-3-[(3-methyl-4-oxo-3,4-dihydroquinazolin-6-yl)oxy]phenyl}-3-fluoropyrrolidine-1-sulfonamide  
*B-Raf (BRAF) inhibitor, antineoplastic*

mospérafénib

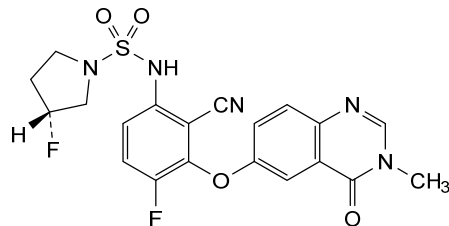
( $3R$ )-N-{2-cyano-4-fluoro-3-[(3-méthyl-4-oxo-3,4-dihydroquinazolin-6-yl)oxy]phényl}-3-fluoropyrrolidine-1-sulfonamide  
*inhibiteur B-Raf (BRAF), antineoplastique*

mosperafenib

( $3R$ )-N-{2-ciano-4-fluoro-3-[(3-metil-4-oxo-3,4-dihidroquinazolin-6-il)oxi]fenil}-3-fluoropirrolidina-1-sulfonamida  
*inhibidor B-Raf (BRAF), antineoplásico*

C20H17F2N5O4S

2649372-20-1



**nacresertibum**

nacresertib

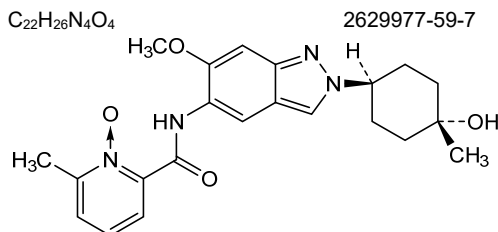
2-({2-[(1*r*,4*r*)-4-hydroxy-4-methylcyclohexyl]-6-methoxy-2*H*-indazol-5-yl}carbamoyl)-6-methylpyridine 1-oxide  
*serine/threonine kinase inhibitor*

nacrésertib

1-oxyde de 2-({2-[(1*r*,4*r*)-4-hydroxy-4-méthylcyclohexyl]-6-méthoxy-2*H*-indazol-5-yl}carbamoyl)-6-méthylpyridine  
*inhibiteur de sérine/thréonine kinases*

nacresertib

1-óxido de 2-({2-[(1*r*,4*r*)-4-hidroxi-4-metilciclohexil]-6-metoxi-2*H*-indazol-5-il}carbooil)-6-metilpiridina  
*inhibidor de la serina/treonina kinasa*

**napazimonum**

napazimone

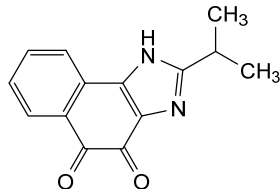
2-(propan-2-yl)-1*H*-naphtho[1,2-*d*]imidazole-4,5-dione  
*NAD(P)H dehydrogenase [quinone] 1 (NQO1) activator*

napazimone

2-(propan-2-yl)-1*H*-naphtho[1,2-*d*]imidazole-4,5-dione  
*activateur de la NAD(P)H déshydrogénase [quinone] 1 (NQO1)*

napazimona

2-(propan-2-il)-1*H*-nafto[1,2-*d*]imidazol-4,5-diona  
*activador de la NAD(P)H deshidrogenasa [quinona] 1 (NQO1)*

**navepdekinraum**

navepdekinra

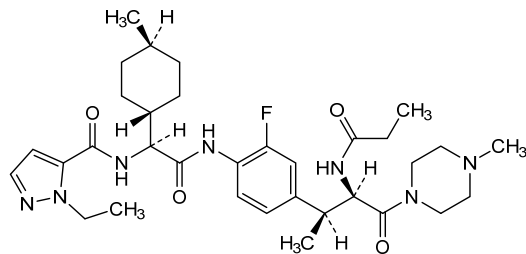
1-ethyl-N-((1*S*)-2-(2-fluoro-4-[(2*S*,3*R*)-4-(4-methylpiperazin-1-yl)-4-oxo-3-propanamidobutan-2-yl]anilino)-1-[(1*r*,4*S*)-4-methylcyclohexyl]-2-oxoethyl}-1*H*-pyrazole-5-carboxamide  
*interleukin-17A (IL-17A) inhibitor, anti-inflammatory*

navepdékinra 1-éthyl-N-((1S)-2-{2-fluoro-4-[(2S,3R)-4-(4-méthylpipérazin-1-yl)-4-oxo-3-propanamidobutan-2-yl]anilino}-1-[(1r,4S)-4-méthylcyclohexyl]-2-oxoéthyl)-1*H*-pyrazole-5-carboxamide *inhibiteur de l'interleukine-17A (IL-17A), anti-inflammatoire*

navepdekinra 1-etyl-N-((1S)-2-{2-fluoro-4-[(2S,3R)-4-(4-metilpiperazin-1-il)-4-oxo-3-propanamidobutan-2-il]anilino}-1-[(1r,4S)-4-metilciclohexil]-2-oxoetil)-1*H*-pirazol-5-carboxamida *inhibidor de la interleuquina-17A (IL-17A), antiinflamatorio*



2467732-66-5



#### **naxtarubicinum**

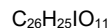
naxtarubicin  $(7S,9S)$ -7-[{(2,6-dideoxy-2-iodo- $\alpha$ -L-mannopyranosyl)oxy]-6,9,11-trihydroxy-9-(2-hydroxyacetyl)-7,8,9,10-tetrahydrotetracene-5,12-dione *DNA topoisomerase II inhibitor, antineoplastic*

#### **naxtarubicine**

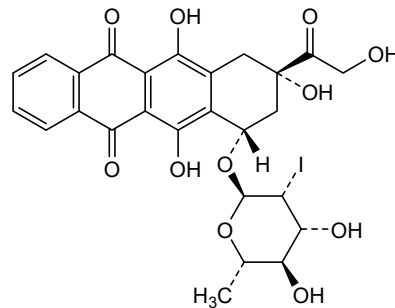
$(7S,9S)$ -7-[{(2,6-didésoxy-2-iodo- $\alpha$ -L-mannopyranosyl)oxy]-6,9,11-trihydroxy-9-(2-hydroxyacétyle)-7,8,9,10-tétrahydrotétracène-5,12-dione *inhibiteur de l'ADN topoisomérase II, antineoplastique*

#### **naxtarubicina**

$(7S,9S)$ -7-[{(2,6-didesoxi-2-yodo- $\alpha$ -L-manopiranosil)oxi]-6,9,11-trihidroxi-9-(2-hidroxiacetil)-7,8,9,10-tetrahidrotetraceno-5,12-diona *inhibidor de la topoisomerasa II del DNA, antineoplásico*



92689-49-1



**nebokitugum #**

nebokitug

immunoglobulin G1-kappa, anti-[*Homo sapiens*] CCL24 (C-C motif chemokine ligand 24, SCYA24, small inducible cytokine subfamily A (Cys-Cys) member 24, MPIF-2, myeloid progenitor inhibitory factor 2, eotaxin-2)];  
 H-gamma1 heavy chain (1-450) [VH Musmus/Homsap (*Mus musculus*) IGHV9-3-1\*01 (90.7%) -(IGHD) -IGHJ4\*01 (93.8%)/*Homo sapiens* IGHV7-4-1\*02 (73.2%) -(IGHD) -IGHJ5\*01 (84.6%) L123>S (115), CDR-IMGT [8.8.13] (26-33.51-58.97-109)) (1-120) -*Homo sapiens* IGHG1\*03 (100%) G1m3, nG1m1 CH1 R120, CH3 E12, M14 (CH1 R120 (217) (121-218), hinge 1-15 (219-233), CH2 (234-343), CH3 E12 (359), M14 (361) (344-448), CHS (449-450)) (121-450)], (223-218')-disulfide with L-kappa light chain (1'-218') [V-KAPPA Musmus/Homsap (*Mus musculus*) IGKV3-4\*01 (86.9%) -IGKJ1\*01 (91.7%) L124>V (108)/*Homo sapiens* IGKV4-1\*01 (76.2%) -IGKJ4\*01 (100%), CDR-IMGT [10.3.9] (27'-36'.54'-56'.93'-101')) (1'-111') -*Homo sapiens* IGKC\*01 (100%) Km3 A45.1, V101 (C-KAPPA A45.1 (157'), V101 (195')) (112'-218')]; dimer (229-229":232-232")-bisdisulfide, produced in Chinese hamster ovary (CHO) cells, cell line CHO-DG44, glycoform alfa  
*anti-inflammatory*

nébokitug

immunoglobuline G1-kappa, anti-[*Homo sapiens*] CCL24 (C-C motif chimiokine ligand 24, SCYA24, membre 24 de la sous-famille A (Cys-Cys) petite cytokine inductrice, MPIF-2, facteur 2 inhibiteur du progéniteur myéloïde, éotaxine-2)];  
 chaîne lourde H-gamma1 (1-450) [VH Musmus/Homsap (*Mus musculus*) IGHV9-3-1\*01 (90.7%) -(IGHD) -IGHJ4\*01 (93.8%)/*Homo sapiens* IGHV7-4-1\*02 (73.2%) -(IGHD) -IGHJ5\*01 (84.6%) L123>S (115), CDR-IMGT [8.8.13] (26-33.51-58.97-109)) (1-120) -*Homo sapiens* IGHG1\*03 (100%) G1m3, nG1m1 CH1 R120, CH3 E12, M14 (CH1 R120 (217) (121-218), charnière 1-15 (219-233), CH2 (234-343), CH3 E12 (359), M14 (361) (344-448), CHS (449-450)) (121-450)], (223-218')-disulfure avec la chaîne légère L-kappa (1'-218') [V-KAPPA Musmus/Homsap (*Mus musculus*) IGKV3-4\*01 (86.9%) -IGKJ1\*01 (91.7%) L124>V (108)/*Homo sapiens* IGKV4-1\*01 (76.2%) -IGKJ4\*01 (100%), CDR-IMGT [10.3.9] (27'-36'.54'-56'.93'-101')) (1'-111') -*Homo sapiens* IGKC\*01 (100%) Km3 A45.1, V101 (C-KAPPA A45.1 (157'), V101 (195')) (112'-218')]; dimère (229-229":232-232")-bisdisulfure, produit dans des cellules ovarianes de hamster chinois (CHO), lignée cellulaire CHO-DG44, glycoforme alfa  
*anti-inflammatoire*

nebokitug

inmunoglobulina G1-kappa, anti-[*Homo sapiens*] CCL24 (C-C motivo de ligando de quimiocina 24, SCYA24, miembro 24 de la subfamilia A (Cys-Cys) pequeño inductor de citoquinas, MPIF-2, factor 2 inhibidor del progenitor mieloide, eotaxina-2)];  
 cadena pesada H-gamma1 (1-450) [VH Musmus/Homsap (*Mus musculus*) IGHV9-3-1\*01 (90.7%) -(IGHD) -IGHJ4\*01 (93.8%)/*Homo sapiens* IGHV7-4-1\*02 (73.2%) -(IGHD) -IGHJ5\*01 (84.6%) L123>S (115), CDR-IMGT [8.8.13] (26-33.51-58.97-109)) (1-120) -*Homo sapiens* IGHG1\*03 (100%) G1m3, nG1m1 CH1 R120, CH3 E12, M14 (CH1 R120 (217) (121-218), bisagra 1-15 (219-233), CH2 (234-343), CH3 E12 (359), M14 (361) (344-448), CHS (449-450)) (121-450)], (223-218')-disulfuro con la cadena ligera L-kappa (1'-218') [V-KAPPA Musmus/Homsap (*Mus musculus*) IGKV3-4\*01 (86.9%) -IGKJ1\*01 (91.7%) L124>V (108)/*Homo sapiens* IGKV4-1\*01 (76.2%) -IGKJ4\*01 (100%), CDR-IMGT [10.3.9] (27'-36'.54'-56'.93'-101')) (1'-111') -*Homo sapiens* IGKC\*01 (100%) Km3 A45.1, V101 (C-KAPPA A45.1 (157'), V101 (195')) (112'-218')]; dímero (229-229":232-232")-bisdisulfuro, producido en las células ováricas de hámster chino (CHO), línea celular CHO-DG44, forma glicosilada alfa  
*antiinflamatorio*

2922315-59-9

## Heavy chain / Chaîne lourde / Cadena pesada

QIQLVOSGPE LKKPGASVKV SCRASGYPFT NSGMNNWVKQA PGKGLKWMGW 50  
 INTYNGEPTY TDDFKGRFAF SLETSASTAY IQINNLRNED TATYFCASHS 100  
 YGSSYAMDNW GGGTSTVSS ASTKGPSVFP LAPSSKSTSG GTAAALGCLVK 150  
 DYFPEPVTVS WNSGALTSGV HTFPAVLQSS GLYSLSSVVT VPSSLGQT 200  
 YICCNVNHKPS NTKVDKRVEP KSCDKTHTCP PCPAPELLGG PSVFLFPKP 250  
 KDTLMISRTP EVTVCVVVDS HEDPEVKFNW YVDGVEVHN A KTKPREEQYN 300  
 STYRVSVLT VLHQDWLNKG EYKCKVSNKA LPAPIEKTIS KAKQGPREFQ 350  
 VYTLPPSREE MTKNQSVLTC LVKGFYPSDI AVEWESNGQP ENNYKTTPPV 400  
 LDSDGSFFLY SKLTVDKSRW QQGNVFSCSV MHEALHNHYT QKSLSLSPKG 450

## Light chain / Chaîne légère / Cadena ligera

DIVLTQSPDS LAVSLGERAT INCKASQSVD YDGDSYMNWY QQKPGQPPLK 50  
 LIIVVASNLKS GTPARFSGSG SGTDFTLTI SLQPEDFATY YCQQSNEEPW 100  
 TFGGGTKEI KRTVAAPSVE IFPPSDEQLK SGTA SVVCLL NNFYPREAKV 150  
 QWKVDNALQS GNSQESVTEQ DSKDSTYSLS STLTLKADY EHKHVKYACEV 200  
 THQGLSSPVT KSFNRGEC 218

## Post-translational modifications

Disulfide bridges location / Position des ponts disulfure / Posiciones de los puentes disulfuro

Intra-H (C23-C104) 22-96 147-203 264-324 370-428

22"-96" 147"-203" 264"-324" 370"-428"

Intra-L (C23-C104) 23"-92" 138"-198"

23"-92" 138"-198"

Inter-H-L (h 5-CL 126) 223-218 223"-218"

Inter-H-H (h 11, h 14) 229-229" 232-232"

N-terminal glutaminyl cyclization / Cyclisation du glutaminyle N-terminal / Ciclación del glutaminiilo N-terminal

Q &gt; pyroglutamyl (pE, 5-oxoprolyl) / pyroglutamyle (pE, 5-oxoprolyle) / piroglutamilo (pE, 5-oxoprolilo)

H VH Q1: 1, 1"

N-glycosylation sites / Sites de N-glycosylation / Posiciones de N-glicosilación

H CH2 N84:4: 300, 300"

Fucosylated complex bi-antennary CHO-type glycans / glycanes de tipo CHO bi-antennarios complejos fucosilados

C-terminal lysine clipping / Coupeure de la lysine C-terminale / Recorte de lisina C-terminal  
H CHS K2: 450, 450"**nedemelteonum**

nedemelteon

*N*-{2-[(8*S*)-2-methyl-7,8-dihydro-6*H*-indeno[5,4-*d*][1,3]oxazol-8-yl]ethyl}acetamide  
*melatonin receptor agonist*

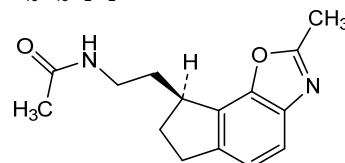
## nédémeltéon

*N*-{2-[(8*S*)-2-méthyl-7,8-dihydro-6*H*-indéno[5,4-*d*][1,3]oxazol-8-yl]éthyl}acétamide  
*agoniste des récepteurs de la mélatonine*

## nedemelteón

*N*-{2-[(8*S*)-2-metil-7,8-dihidro-6*H*-indeno[5,4-*d*][1,3]oxazol-8-yl]etil}acetamida  
*agonista del receptor de melatonina*

1000334-38-2



**nefonadogenum vonzuparvovecum #**

nefonadogene vonzuparvovec

recombinant, non-replicating adeno-associated virus serotype 2 (rAAV2) vector, encoding a mitochondrial targeting sequence from the human heme A farnesyltransferase gene (COX10) fused to codon-optimised human mitochondrial NADH dehydrogenase subunit 1 (MT-ND1, NADH1, ND1; also known as NADH-ubiquinone oxidoreductase chain 1), under control of the cytomegalovirus (CMV) immediate early enhancer/promoter and the simian virus 40 (SV40) polyadenylation signal. The 5' untranslated region (UTR) also contains a Macacine herpesvirus 3 chimeric intron, 3' of the CMV enhancer/promoter and the Kozak sequence, and the 3' untranslated region comprises the COX10 3' UTR. The expression cassette is flanked by AAV2 inverted terminal repeats  
*gene therapy (Leber's hereditary optic neuropathy)*

néfonadogène vonzuparvovec

vecteur recombinant, non-répliquant, du virus adéno-associé de sérotype 2 (rAAV2) codant une séquence de ciblage mitochondriale du gène de la farnésyltransférase de l'hème A humain (COX10), fusionnée à la sous-unité 1 de la NADH déshydrogénase mitochondriale humaine (MT-ND1, NADH1, ND1; également connue sous le nom de chaîne 1 de la NADH-ubiquinone oxydoréductase), optimisées par codon, sous le contrôle de l'activateur/promoteur précoce immédiat du cytomégalovirus (CMV) et du signal de polyadénylation du virus simien 40 (SV40). La région 5' non traduite (UTR) contient également un intron chimérique du virus de Macacine herpesvirus 3, 3' de l'activateur/promoteur du CMV et de la séquence de Kozak, et la région 3' non traduite comprend le UTR en 3' de COX10. La cassette d'expression est flanquée de répétitions terminales inversées AAV2  
*thérapie génique (neuropathie optique héréditaire de Leber)*

nefonadogén vonzuparvovec

vector de virus adenoasociado del serotipo 2, recombinante (rAAV2), no replicativo, que codifica para una secuencia de señalización mitocondrial del gen de hemo A farnesiltransferasa (COX10) humana fusionada, con codones optimizados, a la subunidad 1 de la NADH deshidrogenasa mitocondrial humana (MT-ND1, NADH1, ND1; también conocida como NADH-ubiquinona oxidorreductasa cadena 1), bajo el control del potenciador/promotor inmediato-temprano del citomegalovirus (CMV) y la señal de poliadenilación del virus de simio 40 (SV40). La región no traducida 5' (UTR) también contiene un intrón químérico del herpesvirus Macacine 3 en posición 3' con respecto al potenciador/promotor de CMV y una secuencia Kozak, y la región no traducida 3' contiene la 3' UTR de COX10. El casete de expresión está flanqueado por las repeticiones terminales invertidas del AAV2  
*terapia génica (neuropatía óptica hereditaria de Leber)*

2779554-99-1

**neldaleucelum**

neldaleucel

autologous multiple-tumour-associated antigen specific T lymphocytes prepared from peripheral blood mononuclear cells (PBMCs), collected by apheresis. The T lymphocytes are purified by depleting CD56+ cells from the PBMCs, and then pulsed with peptides that are derived from six tumor-associated antigens: preferentially expressed antigen in melanoma (PRAME), Wilms tumor 1 (WT1), New York esophageal 1 (NY-ESO-1), synovial sarcoma X breakpoint 2 (SSX2), melanoma-associated antigen A4 (MAGE-A4) and survivin. The cells are expanded in medium containing recombinant cytokines interleukin 6 (IL-6), 7 (IL-7), 12 (IL-12), and 15 (IL-15). The final cells consist of a mixture of CD4+ and CD8+ T lymphocytes, that include effector memory (CD45RA-CD197-; on average 45%), central memory (CD45RA-CD197+; on average 29%), naïve (CD45RA+CD197+; on average 21%) and terminally-differentiated effector memory (CD45RA+CD197-; on average 5%) T lymphocytes. The cells demonstrate antigen specificity by interferon gamma (IFN- $\gamma$ ) enzyme-linked immunosorbent spot (ELISpot) analysis for all six tumour-associated antigens  
*cell therapy (antineoplastic)*

neldaleucel

lymphocytes T autologues spécifiques des plusieurs antigènes associés à des tumeurs préparés à partir de cellules mononucléées du sang périphérique (CMSP), prélevées par leucaphérèse. Les lymphocytes T sont purifiés par appauvrissement des cellules CD56+ des CMSP, puis pulsés par des peptides dérivés de six antigènes associés aux tumeurs: antigène exprimé préférentiellement dans le mélanome (PRAME), tumeur de Wilms de type 1 (WT1), cœsophagien de New York (NY-ESO-1), point de rupture X du sarcome synovial 2 (SSX2), antigène A4 associé au mélanome (MAGE-A4) et survivine. Les cellules sont mises en expansion dans un milieu contenant les cytokines recombinées interleukine 6 (IL-6), 7 (IL-7), 12 (IL-12), et 15 (IL-15). Au final, les cellules sont constituées d'un mélange de lymphocytes T CD4+ et CD8+, qui comprennent des lymphocytes T effecteurs à mémoire (CD45RA-CD197-; en moyenne 45%), de mémoire centrale (CD45RA-CD197+; en moyenne 29%), naïfs (CD45+CD197+; en moyenne 21%), et effecteurs à mémoire, de différenciation terminale (CD45RA+CD197-; en moyenne 5%). Les cellules démontrent leur spécificité antigénique par l'analyse immunoenzymatique (ELISpot) de l'interféron- $\gamma$  pour les six antigènes associés à la tumeur  
*thérapie cellulaire (antinéoplasique)*

neldaleucel

linfocitos T autólogos específicos de antígenos asociados a múltiples tumores, preparados a partir de células mononucleares de sangre periférica (PBMCs), obtenidas por aféresis. Los linfocitos T se purifican deplecionando las células CD56+ de las PBMCs, y luego se pulsan con péptidos derivados de seis antígenos asociados a tumores: antígeno preferentemente expresado en melanoma (PRAME), tumor de Wilms 1 (WT1), esofágico Nueva York 1 (NY-ESO-1), punto de rotura X de sarcoma sinovial 2 (SSX2), antígeno asociado a melanoma A4 (MAGE-A4) y survivina. Las células se expanden en medio que contiene las citoquinas recombinantes interleuquina 6 (IL-6), 7 (IL-7), 12 (IL-12) y 15 (IL-15). Las células finales consisten en una mezcla de linfocitos T CD4+ y CD8+, que incluyen linfocitos T de memoria efectora (CD45RA-CD197-; de media 45%), memoria central (CD45RA-CD197+; de media 29%), naïve (CD45RA+CD197+; de media 21%) y memoria efectora terminalmente diferenciadas (CD45RA+CD197-; de media 5%). Las células demuestran especificidad para antígenos mediante análisis de interferón gamma (IFN- $\gamma$ ) por un ensayo de puntos de inmunoabsorción ligado a enzima (ELISpot) para todos los seis antígenos asociados a tumor  
*terapia celular (antineoplásico)*

## **nelitolimodum**

## nelitolimod

### nélitolimod

## nelitolimod



1961321-30-1

(3'-5')d(P-thio)(T-C-G-A-A-C-G-T-T-C-G-A-A-C-G-T-T-C-G-A-A-C-G-T-T-C-G-A-A-T)

**nespecabtagenum autoleucelum #**

nespecabtagene autoleucel

autologous T lymphocytes obtained from peripheral blood mononuclear cells by leukapheresis, transduced with a self-inactivating, non-replicating lentiviral vector encoding a chimeric antigen receptor (CAR) targeting CD19. The expressed transgene comprises a CD8α signal peptide, a humanized anti-CD19 single chain variable fragment (scFv) derived from scFv clone 1218, a CD8α hinge and transmembrane region, and a 4-1BB co-stimulatory domain and CD3ζ signaling domain, under control of the elongation factor 1 alpha (EF1α) promoter. The construct is flanked by 5' and 3' long terminal repeats (LTRs), and also contains a ψ packaging signal, a part of the human immunodeficiency virus (HIV) gag and env genes, a Rev response element (RRE), a central polypurine tract/central termination sequence (cPPT/CTS), a Woodchuck hepatitis virus posttranscriptional regulatory element (WPRE), a qPCR ID tag, and part of the HIV nef gene. The vector is pseudotyped with vesicular stomatitis virus (VSV) glycoprotein G. The leukapheresis material is enriched for CD4+/CD8+ T lymphocytes by positive immunoselection, activated by CD3 and CD28 agonists and transduced with the lentiviral vector. The cells are then expanded in media supplemented with serum replacement and interleukin 2 (IL-2). The cell suspension consists of T lymphocytes ( $\geq 94\%$ ) with greater than 25% of the T lymphocytes expressing the CAR transgene. Cells exhibit anti-tumoral activity in patients with CD19-expressing B cell malignancies

*cell-based gene therapy (antineoplastic)*

nespécabtagène autoleucel

lymphocytes T autologues obtenus par leucaphérèse à partir de cellules mononucléées du sang périphérique (CMSP), transduits avec un vecteur lentiviral auto-inactivant et non réplicatif, codant un récepteur antigénique chimérique (CAR) ciblant le CD19. Le transgène exprimé comprend un peptide signal CD8α, un fragment variable humanisé anti-CD19 à chaîne unique (scFv) dérivé du clone scFv 1218, une région charnière et transmembranaire CD8α, un domaine co-stimulant 4-1BB et un domaine de signalisation CD3ζ, sous contrôle du promoteur du facteur d'elongation-1 alpha (EF-1α). La construction est flanquée, en 5' et 3', de répétitions terminales longues (LTR) et contient également un signal d'encapsidation ψ, une partie des gènes gag et env du virus de l'immunodéficience humaine (VIH), un élément de réponse Rev (RRE), une séquence centrale du tractus polypurine (cPPT)/centrale de terminaison (CTS), et un élément régulateur posttranscriptionnel du virus de l'hépatite de la marmotte (WPRE), une étiquette d'identification qPCR et une partie du gène nef du VIH. Le vecteur est pseudotypé avec la glycoprotéine G du virus de la stomatite vésiculaire (VSV). Le matériel de leucaphérèse est enrichi en lymphocytes T CD4+/CD8+ par immuno-sélection positive, activé par les antagonistes CD3 et CD28, et transduit avec le vecteur lentiviral. Les cellules sont ensuite mises en expansion dans un milieu supplémenté avec un sérum de substitution, et de l'interleukine-2 (IL-2). La suspension cellulaire est constituée de lymphocytes T ( $\geq 94\%$ ), avec plus de 25% de lymphocytes T exprimant le CAR transgène. Les cellules présentent une activité antitumorale chez les patients atteints de tumeurs malignes à lymphocytes B exprimant le CD19

*thérapie génique à base de cellules (antinéoplasique)*

**nespecabgén autoleucel** linfocitos T autólogos obtenidos de células mononucleares de sangre periférica por leucoaféresis, transducidos con un vector lentiviral auto inactivante, no replicativo, que codifica para un receptor de antígenos quimérico (CAR) dirigido a CD19. El transgén expresado consta de un péptido señal de CD8α, un fragmento variable de cadena sencilla (scFv) humanizado anti-CD19 derivado del clón scFv 1218, una región bisagra y transmembrana de CD8α, un dominio coestimulador de 4-1BB y un dominio de señalización de CD3ζ, bajo el control del promotor del factor de elongación 1 alfa (EF-1α). El constructo está flanqueado por repeticiones terminales largas (LTRs) en 5' y 3' y también contiene una señal de empaquetamiento Ψ, una parte de los genes gag y env del virus de la inmunodeficiencia humana (VIH), un elemento de respuesta Rev (RRE), una secuencia de tracto de poli-purina/terminación central (cPPT/CTS), un elemento regulador post-transcripcional del virus de la hepatitis de la marmota (WPRE), una etiqueta qPCR ID y parte del gen nef del VIH. El vector está seudotipado con la glicoproteína G del virus de la estomatitis vesicular (VSV).  
El material de leucoaféresis se enriquece en linfocitos T CD4+/CD8+ mediante inmunoselección positiva, se activa mediante agonistas de CD3 y CD28 y se transduce con el vector lentiviral. Las células se expanden después en medio suplementado con substituto de suero e interleuquina 2 (IL-2). La suspensión celular consiste en linfocitos T ( $\geq 94\%$ ) con más del 25% de los linfocitos T que expresan el transgén del CAR. Las células muestran actividad anti-tumoral en pacientes con neoplasias de linfocitos B que expresan CD19  
*terapia génica basada en células (antineoplásico)*

**nispomebenum**  
nispomeben

*N-((2S)-1-(4-hydroxyphenyl)-3-[(2S)-2-hydroxypropoxy]propan-2-yl)-3-phenylpropanamide*  
*non-opioid analgesic*

nispomében

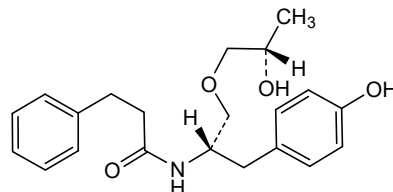
*N-((2S)-1-(4-hydroxyphényl)-3-[(2S)-2-hydroxypropoxy]propan-2-yl)-3-phénylpropanamide*  
*analgésique non opioïde*

nispomebén

*3-fenil-N-((2S)-1-(4-hidroxifenil)-3-[(2S)-2-hidroxipropoxi]propan-2-il)propanamida*  
*analgesico no-opioide*

C<sub>21</sub>H<sub>27</sub>NO<sub>4</sub>

1443133-41-2



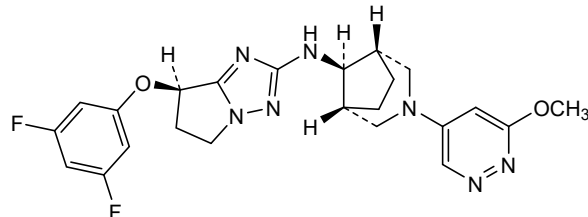
**nivegacetorum**  
nivegacotor

*(7R)-7-(3,5-difluorophenoxy)-N-[(1R,5S,8s)-3-(6-methoxypyridazin-4-yl)-3-azabicyclo[3.2.1]octan-8-yl]-6,7-dihydro-5H-pyrrolo[1,2-b][1,2,4]triazol-2-amine*  
*gamma secretase modulator*

nivégacétor (7*R*)-7-(3,5-difluorophénoxy)-*N*-[(1*R*,5*S*,8*s*)-3-(6-méthoxypyridazin-4-yl)-3-azabicyclo[3.2.1]octan-8-yl]-6,7-dihydro-5*H*-pyrrolo[1,2-*b*][1,2,4]triazol-2-amine  
*modulateur de la sécrétase gamma*

nivegacotor (7*R*)-7-(3,5-difluorofenoxi)-*N*-[(1*R*,5*S*,8*s*)-3-(6-metoxipiridazin-4-il)-3-azabicielo[3.2.1]octan-8-il]-6,7-dihidro-5*H*-pirrolo[1,2-*b*][1,2,4]triazol-2-amina  
*modulador de la secretasa gamma*

C<sub>23</sub>H<sub>25</sub>F<sub>2</sub>N<sub>7</sub>O<sub>2</sub> 2443487-67-8



#### nivisnebartum #

nivisnebart

immunoglobulin G1-kappa, anti-[*Homo sapiens* SORT1 (sortilin 1, Gp95, NT3)], *Homo sapiens* monoclonal antibody; H-gamma1 heavy chain *Homo sapiens* (1-459) [VH (*Homo sapiens*IGHV1-46\*01 (96.9%) -(IGHD) -IGHJ6\*01 (94.1%), CDR-IMGT [8.8.22] (26-33.51-58.97-118)) (1-129) -*Homo sapiens*IGHG1\*01, G1m17,1 CH1 K120, CH3 D12, L14, G1v40 CH2 A1.3, A1.2, S116 (CH1 K120 (226) (130-227), hinge 1-15 (228-242), CH2 L1.3>A (246), L1.2>A (247), P116>S (343) (243-352), CH3 D12 (368), L14 (370) (353-457), CHS (458-459)) (130-459)], (232-214')-disulfide with L-kappa light chain *Homo sapiens* (1'-214') [V-KAPPA (*Homo sapiens*IGKV3-15\*01 (100%) -IGKJ4\*01 (100%), CDR-IMGT [6.3.9] (27'-32'.50'-52'.89'-97')) (1'-107') -*Homo sapiens*IGKC\*01 (100%) Km3 A45.1, V101 (C-KAPPA A45.1 (153'), V101 (191')) (108'-214')]; dimer (238-238":241-241")-bisdisulfide, produced in Chinese hamster ovary (CHO) cells, glycoform alfa anti-sortilin (SORT1), neurodegenerative diseases

nivisnebart

immunoglobuline G1-kappa, anti-[*Homo sapiens* SORT1 (sortilin 1, Gp95, NT3)], anticorps monoclonal *Homo sapiens*; chaîne lourde H-gamma1 *Homo sapiens* (1-459) [VH (*Homo sapiens*IGHV1-46\*01 (96.9%) -(IGHD) -IGHJ6\*01 (94.1%), CDR-IMGT [8.8.22] (26-33.51-58.97-118)) (1-129) -*Homo sapiens*IGHG1\*01, G1m17,1 CH1 K120, CH3 D12, L14, G1v40 CH2 A1.3, A1.2, S116 (CH1 K120 (226) (130-227), charnière 1-15 (228-242), CH2 L1.3>A (246), L1.2>A (247), P116>S (343) (243-352), CH3 D12 (368), L14 (370) (353-457), CHS (458-459)) (130-459)], (232-214')-disulfure avec la chaîne légère L-kappa *Homo sapiens* (1'-214') [V-KAPPA (*Homo sapiens*IGKV3-15\*01 (100%) -IGKJ4\*01 (100%), CDR-IMGT [6.3.9] (27'-32'.50'-52'.89'-97')) (1'-107') -*Homo sapiens*IGKC\*01 (100%) Km3 A45.1, V101 (C-KAPPA A45.1 (153'), V101 (191')) (108'-214')]; dimère (238-238":241-241")-bisdisulfure, produit dans des cellules ovarienches de hamster chinois (CHO), glycoforme alfa anti-sortilin (SORT1), maladies neurodégénératives

nivisnebart

inmunoglobulina G1-kappa, anti-[*Homo sapiens* SORT1 (sortilina 1, Gp95, NT3)], anticuerpo monoclonal *Homo sapiens*; cadena pesada H-gamma1 *Homo sapiens* (1-459) [VH (*Homo sapiens*IGHV1-46\*01 (96.9%) -(IGHD) -IGHJ6\*01 (94.1%), CDR-IMGT [8.8.22] (26-33.51-58.97-118)) (1-129) -*Homo sapiens*IGHG1\*01, G1m17,1 CH1 K120, CH3 D12, L14, G1v40 CH2 A1.3, A1.2, S116 (CH1 K120 (226) (130-227), bisagra 1-15 (228-242), CH2 L1.3>A (246), L1.2>A (247), P116>S (343) (243-352), CH3 D12 (368), L14 (370) (353-457), CHS (458-459) (130-459)], (232-214')-disulfuro con la cadena ligera L-kappa *Homo sapiens* (1'-214') [V-KAPPA (*Homo sapiens*IGKV3-15\*01 (100%) -IGKJ4\*01 (100%), CDR-IMGT [6.3.9] (27'-32'.50'-52'.89'-97')) (1'-107') -*Homo sapiens*IGKC\*01 (100%) Km3 A45.1, V101 (C-KAPPA A45.1 (153'), V101 (191')) (108'-214')]; dímero (238-238":241-241")-bisdisulfuro, producido en las células ováricas de hámster chino (CHO), forma glicosilada alfa antisortilin (*SORT-1*), *enfermedades neurodegenerativas*

2923556-87-8

Heavy chain / Chaîne lourde / Cadena pesada

QVQLVQSGAE VKKPGASVKV SCKASGYTFT KYYMSWVRQD PGQGLEWMGI 50  
 INPIFGGSTSY AQKEFQGRVTM TRDTSTSTVTV MELSSRLSED TAVYYCARDP 100  
 SGIALAGFPAS RGYQGMWDVG QGTTVTVSSA STKGPSVFPL APSSKSTSGG 150  
 TAALGCLVKD YFFEPVTVSW NSGALTSGVH TFPFAVLQSSC LYSLSSVTVT 200  
 PSSSLGLQTOTY ICNVNHHKPSN TKVDKKVEPK SCDKTHTCPP CPAPEAAGGP 250  
 SVFLFPKPK DTLMISRTP E TCVVVDVSH EDPEVKFNWY VGVEVHNAAK 300  
 TPKREEQYNS TYRVVSVLTV LHQDWLNGKE YKCKVSNKAL PASIEKTISK 350  
 AKGQPREFQV YTLPSSRDEL TKNQVSLTCL VKGFYPSDIA VEWESENQPE 400  
 NNYKTTFPVL DSDGSFFFLYS KLTVDKSRWQ QGNVFSCSVM HEALHNHYTQ 450  
 KSLSLSPKG 459

Light chain / Chaîne légère / Cadena ligera

EIVMTQSPAT LSVSPGERAT LSCRASQSVS SNLAWYQQKP GQAPRLLIYG 50  
 ASTRATGIPA RFSGSGSGTE FTLTISSLQS EDFAVYYCQQ ARLGPWTFFG 100  
 GTKVEIKRTV AAPSVFIFPP SDEQLKSGTA SVVCLNNFY PREAKVQWKV 150  
 DNALQSGNSQ ESVTEQDSKD STYSLSSLT LSKADYEKHK VYACEVTHHQ 200  
 LSSPVTKSFN RGEc 214

**Post-translational modifications**

Disulfide bridges location / Position des ponts disulfure / Posiciones de los puentes disulfuro  
 Intra-H (C23-C104) 22-96 156-212 273-333 379-437  
 22"-96" 156"-212" 273"-333" 379"-437"  
 Intra-L (C23-C104) 23"-88" 134"-194"  
 23"-88"" 134""-194""  
 Inter-H-L (h 5-CL 126) 232-214" 232"-214"  
 Inter-H-H (h 11, h 14) 238-238" 241-241"

N-terminal glutaminyl cyclization / Cyclisation du glutaminyle N-terminal / Ciclación del glutaminilo N-terminal  
 Q> pyroglutamyl (pE, 5-oxoprolyl) / pyroglutamyle (pE, 5-oxoprolyle) / piroglutamilo (pE, 5-oxoprolilo)  
 H VHQ1: 1, 1"

N-glycosylation sites / Sites de N-glycosylation / Posiciones de N-glicosilación  
 H CH2 N84.4: 309, 309"

Fucosylated complex bi-antennary CHO-type glycans / glycanes de type CHO bi-antennaires complexes fucosylés / glicanos de tipo CHO biantenarios complejos fucosilados

C-terminal lysine clipping / Coupure de la lysine C-terminale / Recorte de lisina C-terminal  
 H CHS K2: 459, 459"

**nuvustotugum #**

nuvustotug

immunoglobulin G1-kappa, anti-[*Homo sapiens* TNFRSF4 (tumor necrosis factor receptor (TNFR) superfamily member 4, OX40, CD134)], *Homo sapiens* monoclonal antibody; H-gamma1 heavy chain *Homo sapiens* (1-452) [VH (*Homo sapiens*IGHV3-23\*01 (99.0%) -(IGHD) -IGHJ3\*02 (100%), CDR-IMGT [8.8.15] (26-33.51-58.97-111)) (1-122) -*Homo sapiens* IGHG1\*03v (100%) G1m3>G1m17, nG1m1 CH1 K120, CH3 E12, M14 (CH1 R120>K (219) (123-220), hinge 1-15 (221-235), CH2 (236-345), CH3 E12 (361), M14 (363) (346-450), CHS (451-452)) (123-452)], (225-214')-disulfide with L-kappa light chain *Homo sapiens* (1'-214') [V-KAPPA (*Homo sapiens* IGKV1-12\*01 (100%) -IGKJ4\*01 (91.7%) V124>L (104'), CDR-IMGT [6.3.9] (27'-32'.50'-52'.89'-97')) (1'-107') -*Homo sapiens* IGKC\*01 (100%) Km3 A45.1, V101 (C-KAPPA A45.1 (153'), V101 (191')) (108'-214')]; dimer (231-231":234-234")-bisdisulfide, produced in Chinese hamster ovary (CHO) cells, cell line CHO-DG44, glycoform alfa *immunostimulant, antineoplastic*

nuvustotug

immunoglobuline G1-kappa, anti-[*Homo sapiens* TNFRSF4 (membre 4 de la superfamille des récepteurs des facteurs de nécrose tumorale (TNFR), OX40, CD134)], anticorps monoclonal *Homo sapiens*; chaîne lourde H-gamma1 *Homo sapiens* (1-452) [VH (*Homo sapiens*IGHV3-23\*01 (99.0%) -(IGHD) -IGHJ3\*02 (100%), CDR-IMGT [8.8.15] (26-33.51-58.97-111)) (1-122) -*Homo sapiens* IGHG1\*03v (100%) G1m3>G1m17, nG1m1 CH1 K120, CH3 E12, M14 (CH1 R120>K (219) (123-220), charnière 1-15 (221-235), CH2 (236-345), CH3 E12 (361), M14 (363) (346-450), CHS (451-452)) (123-452)], (225-214')-disulfure avec la chaîne légère L-kappa *Homo sapiens* (1'-214') [V-KAPPA (*Homo sapiens* IGKV1-12\*01 (100%) -IGKJ4\*01 (91.7%) V124>L (104'), CDR-IMGT [6.3.9] (27'-32'.50'-52'.89'-97')) (1'-107') -*Homo sapiens* IGKC\*01 (100%) Km3 A45.1, V101 (C-KAPPA A45.1 (153'), V101 (191')) (108'-214')]; dimère (231-231":234-234")-bisdisulfure, produit dans des cellules ovarianes de hamster chinois (CHO), lignée cellulaire CHO-DG44, glycoforme alfa *immunostimulant, antinéoplastique*

nuvustotug

inmunoglobulina G1-kappa, anti-[*Homo sapiens* TNFRSF4 (miembro 4 de la super familia de los receptores de los factores de necrosis tumoral (TNFR), OX40, CD134)], anticuerpo monoclonal *Homo sapiens*; cadena pesada H-gamma1 *Homo sapiens* (1-452) [VH (*Homo sapiens*IGHV3-23\*01 (99.0%) -(IGHD) -IGHJ3\*02 (100%), CDR-IMGT [8.8.15] (26-33.51-58.97-111)) (1-122) -*Homo sapiens* IGHG1\*03v (100%) G1m3>G1m17, nG1m1 CH1 K120, CH3 E12, M14 (CH1 R120>K (219) (123-220), bisagra 1-15 (221-235), CH2 (236-345), CH3 E12 (361), M14 (363) (346-450), CHS (451-452)) (123-452)], (225-214')-disulfuro con la cadena ligera L-kappa *Homo sapiens* (1'-214') [V-KAPPA (*Homo sapiens* IGKV1-12\*01 (100%) -IGKJ4\*01 (91.7%) V124>L (104'), CDR-IMGT [6.3.9] (27'-32'.50'-52'.89'-97')) (1'-107') -*Homo sapiens* IGKC\*01 (100%) Km3 A45.1, V101 (C-KAPPA A45.1 (153'), V101 (191')) (108'-214')]; dímero (231-231":234-234")-bisdisulfuro, producido en las células ováricas de hámster chino (CHO), línea celular CHO-DG44, forma glicosilada alfa *inmunoestimulante, antineoplásico*

2916519-49-6

## Heavy chain / Chaîne lourde / Cadena pesada

EVQLLESGGG LVQPGGSILRL SCAASGFTFS SYAMSWVRQA PGKGLEWVSA 50  
 ISGGSGSTYY ADSVKGRFTI SRDN SKNTLY LQMN SLRAED TAVY CARDL 100  
 SSSWYLDADF IWGQCTMVTV SSASTKGPSV FPLAPSSKST SGGA ALGCL 150  
 VKDYFPEPVTV WSWN SGA L TS GVHTFP AVLQ SSGLYS LSSV VTVPSS LGT 200  
 QTYICNVN HK PSNT KVDK KV EPK C DKT HTT CPC PAPE LL GGPS VFL FPP 250  
 KPKDTLMISR TPEVTCVVVD VSHEDPEVKF NWYV DGVEVH NAKTKPREEQ 300  
 YNSTYRVVSV LTVLHQDWLN GKEY KCKVSN KALPAPIEKT ISKA KGQPRE 350  
 PQVYTLPSSR EEMTKNQVSL TCLVKGFYPS DIAV EWE SNG QPEN NYK TTP 400  
 PVLSDGSFF LY SKL TVD KS RWQQGNVFSC SVMHEAL HN YTQKSLSLSP 450  
 GK 452

## Light chain / Chaîne légère / Cadena ligera

DIQMTQSPSS VSASVGDRVT ITCRASQGIS SWLAWYQQKP GKAPKLLIYA 50  
 ASSLQSGVPS RFGSGSGTD FTTLTISSLQP EDFATYYCQQ ANSFPLTFGG 100  
 GTKLEIKRTV AAPSVFIFPP SDEQLKSGTA SVVCLLNNFY PREAKVQWKV 150  
 DNALQSGNSQ ESVT EQDSKD STY SLSSTLT LSKADYEKHK VYACEVTHQG 200  
 LS SPVTKS FN RGEC 214

## Post-translational modifications

Disulfide bridges location / Position des ponts disulfure / Posiciones de los puentes disulfuro  
 Intra-H (C23-C104) 22-96 149-205 266-326 372-430  
 22"-96" 149"-205" 266"-326" 372"-430"  
 Intra-L (C23-C104) 23"-88" 134"-194"  
 23"-88" 134"-194"  
 Inter-H-L (h 5-CL 126) 225-214" 225"-214"  
 Inter-H-H (h 11, h 14) 231-231" 234-234"

## N-glycosylation sites / Sites de N-glycosylation / Posiciones de N-glicosilación

H CH2 N84.4: 302, 302"

Fucosylated complex bi-antennary CHO-type glycans / glycanes de tipo CHO bi-antennarios complejos fucosilados

C-terminal lysine clipping / Coupure de la lysine C-terminale / Recorte de lisina C-terminal  
 H CHS K2: 452, 452"

**ocadusertibum**

ocadusertib

5-benzyl-N-[(3S)-7-(3-hydroxy-3-methylbut-1-yn-1-yl)-5-methyl-4-oxo-2,3,4,5-tetrahydro-1,5-benzoxazepin-3-yl]-1H-1,2,4-triazole-3-carboxamide  
*serine/threonine kinase inhibitor*

ocadusertib

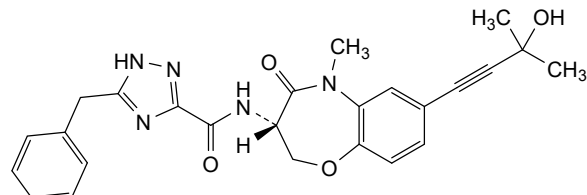
5-benzyl-N-[(3S)-7-(3-hydroxy-3-méthylbut-1-yn-1-yl)-5-méthyl-4-oxo-2,3,4,5-tétrahydro-1,5-benzoxazépin-3-yl]-1H-1,2,4-triazole-3-carboxamide  
*inhibiteur de sérine/thréonine kinases*

ocadusertib

5-bencil-N-[(3S)-7-(3-hidroxi-3-metilbut-1-in-1-il)-5-metil-4-oxo-2,3,4,5-tetrahidro-1,5-benzoxazepin-3-il]-1H-1,2,4-triazol-5-carboxamida  
*inhibidor de la serina/treonina kinasa*

C<sub>25</sub>H<sub>25</sub>N<sub>5</sub>O<sub>4</sub>

2382811-41-6



**olomorasibum**

olomorasib

(4*M*)-2-amino-4-[(4*aS*)-8-chloro-10-fluoro-12-oxo-3-(prop-2-enoyl)-2,3,4,4*a*,5,6-hexahydro-1*H*,12*H*-pyrazino[2,1-*d*][1,5]benzoxazocin-9-yl]-7-fluoro-1-benzothiophene-3-carbonitrile  
*Kirsten rat sarcoma viral oncogene homolog (KRAS) inhibitor, antineoplastic*

## olomorasib

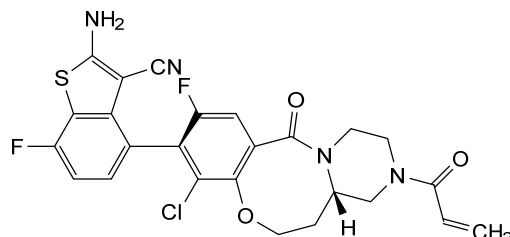
(4*M*)-2-amino-4-[(4*aS*)-8-chloro-10-fluoro-12-oxo-3-(prop-2-enoyl)-2,3,4,4*a*,5,6-hexahydro-1*H*,12*H*-pyrazino[2,1-*d*][1,5]benzoxazocin-9-yl]-7-fluoro-1-benzothiophene-3-carbonitrile  
*inhibiteur de l'homologue de l'oncogène viral du sarcome du rat de Kirsten (KRAS), antineoplásique*

## olomorasib

(4*M*)-2-amino-4-[(4*aS*)-8-cloro-10-fluoro-12-oxo-3-(prop-2-enoil)-2,3,4,4*a*,5,6-hexahidro-1*H*,12*H*-pirazino[2,1-*d*][1,5]benzoxazocin-9-yl]-7-fluoro-1-benzotiofeno-3-carbonitrile  
*inhibidor del homólogo del oncogén vírico del sarcoma de rata Kirsten (KRAS), antineoplásico*



2771246-13-8

**omectatugum #**

omectatug

immunoglobulin G1-kappa, anti-[*Homo sapiens* CLDN18 (claudin 18, claudin-18, surfactant associated protein J, SFTPJ) isoform 2], humanized monoclonal antibody; H-gamma1 heavy chain humanized (1-448) [VH (*Homo sapiens* IGHV1-8\*01 (85.7%) -(IGHD) -IGHJ6\*01 (85.7%) G119>D (109), CDR-IMGT [8.8.11] (26-33.51-58.97-107))(1-118) -*Homo sapiens* IGHG1\*01 (100%) G1m17,1 CH1 K120, CH3 D12, L14 (CH1 K120 (215) (119-216), hinge 1-15 (217-231), CH2 (232-341), CH3 D12 (357), L14 (359) (342-446), CHS (447-448)) (119-448)], (221-220')-disulfide with L-kappa light chain humanized (1'-220') [V-KAPPA (*Homo sapiens* IGKV4-1\*01 (88.1%) -IGKJ2\*01 (91.7%) I126>R (112), CDR-IMGT [12.3.9] (27'-38'.56'-58'.95'-103')) (1'-113') -*Homo sapiens* IGKC\*01 (100%) Km3 A45.1, V101 (C-KAPPA A45.1 (159'), V101 (197')) (114'-220')]; dimer (227-227':230-230")-bisdisulfide, produced in Chinese hamster ovary (CHO) cells, derived from the cell line CHO-K1, lacking the glutamine synthetase (GS-KO) gene and alpha-(1,6)-fucosyltransferase (FUT8-KO) gene, glycoform alfa  
*antineoplastic*

## omectatug

immunoglobuline G1-kappa, anti-[*Homo sapiens* CLDN18 (claudine 18, claudine-18, protéine J associée au surfactant, SFTPJ) isoforme 2], anticorps monoclonal humanisé; chaîne lourde H-gamma1 humanisée (1-448) [VH (*Homo sapiens* IGHV1-8\*01 (85.7%) -(IGHD) -IGHJ6\*01 (85.7%) G119>D (109), CDR-IMGT [8.8.11] (26-33.51-58.97-107)) (1-118) -*Homo sapiens* IGHG1\*01 (100%) G1m17,1 CH1 K120, CH3 D12, L14 (CH1 K120

(215) (119-216), charnière 1-15 (217-231), CH2 (232-341), CH3 D12 (357), L14 (359) (342-446), CHS (447-448)) (119-448)], (221-220')-disulfure avec la chaîne légère L-kappa humanisée (1'-220') [V-KAPPA (*Homo sapiens* IGKV4-1\*01 (88.1%) -IGKJ2\*01 (91.7%) I126>R (112), CDR-IMGT [12.3.9] (27'-38'.56'-58'.95'-103')) (1'-113') -*Homo sapiens* IGKC\*01 (100%) Km3 A45.1, V101 (C-KAPPA A45.1 (159'), V101 (197')) (114'-220')]; dimère (227-227":230-230")-bisdisulfure, produit dans des cellules ovariennes de hamster chinois (CHO), dérivant de la lignée cellulaire CHO-K1, ne présentant pas les gènes de la glutamine synthétase (GS-KO) et de l'alpha-(1,6)-fucosyltransférase (FUT8-KO), glycoforme alfa antinéoplasique

## omectatug

inmunoglobulina G1-kappa, anti-[*Homo sapiens* CLDN18 (claudina 18, claudina-18, proteína J asociada con surfactante, SFTPJ) isoforma 2], anticuerpo monoclonal humanizado; cadena pesada H-gamma1 humanizada (1-448) [VH (*Homo sapiens*IGHV1-8\*01 (85.7%) -(IGHD) -IGHJ6\*01 (85.7%) G119>D (109), CDR-IMGT [8.8.11] (26-33.51-58.97-107)) (1-118) -*Homo sapiens*IGHG1\*01 (100%) G1m17.1 CH1 K120, CH3 D12, L14 (CH1 K120 (215) (119-216), bisagra 1-15 (217-231), CH2 (232-341), CH3 D12 (357), L14 (359) (342-446), CHS (447-448)) (119-448)], (221-220')-disulfuro con la cadena ligera L-kappa humanizada (1'-220') [V-KAPPA (*Homo sapiens* IGKV4-1\*01 (88.1%) -IGKJ2\*01 (91.7%) I126>R (112), CDR-IMGT [12.3.9] (27'-38'.56'-58'.95'-103')) (1'-113') -*Homo sapiens* IGKC\*01 (100%) Km3 A45.1, V101 (C-KAPPA A45.1 (159'), V101 (197')) (114'-220')]; dímero (227-227":230-230")-bisdisulfuro, producido en las células ováricas de hamster chino (CHO), línea celular derivada de CHO-K1, en ausencia de los genes de la glutamina sintetasa (GS-KO) y de la alfa-(1,6)-fucosiltransferasa (FUT8-KO), forma glicosilada alfa antineoplásico

2867393-44-8

## Heavy chain / Chaîne lourde / Cadena pesada

QVQLVQSGAE VKKPGVVK CKASGYTFT SYVINWVRQA TGQGLEWIGE 50  
IHPRGNTIYY SEKFRGRVTL TADTSISTAY MELSSLSRSED TAVYVCARLR 100  
RGNAAMDYWDQ GTTVTVSSA TKGPSVPLA PSSKSTSGGT AALGCLVKDY 150  
FPEPFTVSWN SGALTSGVHT FPAVLTQSSGL YSLSSVTVP SSSLGQTYY 200  
CNVNHHKPSNT KVDKKVEPKS CDKTHTCPPC PAPELLGGPS VFLFPKPKD 250  
TLMISRTPEV TCVVVDVSHE DPEVKFNWVY DGVEVHNAAKT KPREEQYNST 300  
YRVVSVLTVL HQDWLNGKEY KCKVSNKALP APIEKTSKA KGQPREPQVY 350  
TLPFPSRDELT KNQVSLTCLV KGFPYPSDIAV EWESNGQOPEN NYKTTPPVLD 400  
SDGSFFLYSK LTIVKSRWQQ GNFSFSCVMH EALHNHYTQK SLSLSPGK 448

## Light chain / Chaîne légère / Cadena ligera

DIVMTQSPPSS LAVSLGEMAT INCKSSQSLL NSGNQRNYLT WYQQKPGQPP 50  
KLLLYWASTR ESGVPDFRFSG SGSGTDFTLT ISSLQAEDVA YYVCQNSNYN 100  
PYTFGQGTKL ERKRKTVAAVP VFIIFFPSDEQ LKSGTASVWC LLNNFYPREA 150  
KVQWKVDNAL QSGNSQESVT EQDSKDSTYS LSSTLTLSKA DYEKHKVYAC 200  
EVTHQGLSSP VTKSFNRGEC 220

## Post-translational modifications

Disulfide bridges location / Position des ponts disulfure / Posiciones de los puentes disulfuro  
Intra-H (C23-C104) 22-96 145-201 262-322 368-426  
22"-96" 145"-201" 262"-322" 368"-426"  
Intra-L (C23-C104) 23"-94" 140"-200"  
23"-94" 140"-200"  
Inter-H-L (h 5-CL 126) 221-220 221"-220"  
Inter-H-H (h 11, h 14) 227-227" 230-230"

N-terminal glutaminyl cyclization / Cyclisation du glutaminyle N-terminal / Ciclación del glutaminilo N-terminal  
Q> pyroglutamyl (pE, 5-oxoprolyl) / pyroglutamyle (pE, 5-oxoprolyle) / piroglutamilo (pE, 5-oxoprolilo)  
H VH Q1: 1, 1"

N-glycosylation sites / Sites de N-glycosylation / Posiciones de N-glicosilación  
H CH2 N84.4: 298, 298"  
Afucosylated complex bi-antennary CHO-type glycans / glycanes de type CHO bi-antennaires complexes afucosylés / glicanos de tipo CHO biantenarios complejos afucosilados

C-terminal lysine clipping / Coupe de la lysine C-terminale / Recorte de lisina C-terminal  
H CHS K2: 448, 448"

**orenasitecanum**

orenasitecan

(4S)-4,11-diethyl-3,14-dioxo-3,4,12,14-tetrahydro-1*H*-pyrano[3',4':6,7]indolizino[1,2-*b*]quinolin-4-yl *N*-[1-[4-((1*R*)-2-carboxy-1-(3-{3-[(propylcarbamoyl)amino]benzene-1-sulfonamido}phenyl)ethyl]carbamoyl]amino]anilino]-1-oxo-5,8,11-trioxa-2-azatetradecan-14-oyl-L- $\alpha$ -aspartyl-L-prolyl-L-valinate

*antineoplastic*

## orenasitécan

*N*-{1-[4-((1*R*)-2-carboxy-1-(3-{3-[(propylcarbamoyl)amino]benzene-1-sulfonamido}phényl)éthyl]carbamoyl]amino}anilino]-1-oxo-5,8,11-trioxa-2-azatétradécan-14-oyl-L- $\alpha$ -aspartyl-L-prolyl-L-valinate de (4S)-4,11-diethyl-3,14-dioxo-3,4,12,14-tétrahydro-1*H*-pyrano[3',4':6,7]indolizino[1,2-*b*]quinoléin-4-yle

*antineoplastique*

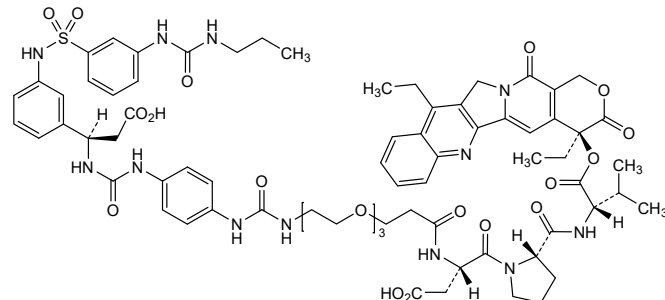
## orenasitecán

*N*-{1-[4-((1*R*)-2-carboxi-1-(3-{3-[(propilcarbamoi)amino]benceno-1-sulfonamido}fenil)etil]carbamoi]amino}anilino]-1-oxo-5,8,11-trioxa-2-azatetradecan-14-oil-L- $\alpha$ -aspartil-L-prolyl-L-valinato de (4S)-4,11-diethyl-3,14-dioxo-3,4,12,14-tetrahidro-1*H*-pirano[3',4':6,7]indolizino[1,2-*b*]quinolino-4-ilo

*antineoplásico*



2418533-89-6

**osiramestrocelum**

osiramestrocel

allogeneic mesenchymal stromal cells (MSC) derived from umbilical cord blood and culture-expanded from a working cell bank (WCB). The initial cells are separated from the cord blood and cultured in complete media with fetal bovine serum to create the master cell bank and then working cell bank from which the cells are further sub-cultured in media containing fibroblast growth factor (FGF), insulin-like growth factor-1 (IGF-1), epidermal growth factor (EGF), vascular endothelial growth factor (VEGF), hydrocortisone and a lengthened analogue of insulin-like growth factor 1 (IGF-1 Long R3). The MSC cells can differentiate into osteoblasts, chondrocytes, and adipocytes, and have the capability to differentiate into various other cell types. The MSCs express multipotent stromal cell markers CD44, CD73 and CD105 ( $\geq 90\%$ ), and low levels ( $\leq 10\%$ ) of CD11b, CD34, CD45, CD19 and HLA-DR and secrete transforming growth factor beta-1 (TGF- $\beta$ 1) ( $\geq 1400$  pg/ml)

*cell therapy*

## osiramestrocel

cellules stromales mésenchymateuses (CSM) allogéniques, dérivées du sang de cordon ombilical, qui sont cultivées à partir d'une banque de cellules de travail (WCB). Les cellules initiales

sont séparées du sang de cordon, puis cultivées en milieu complet avec du sérum bovin fœtal, pour créer la banque de cellules maîtresses, puis la banque de cellules de travail à partir de laquelle les cellules sont ensuite cultivées en milieu contenant le facteur de croissance des fibroblastes (FGF), le facteur de croissance 1 ressemblant à l'insuline (IGF-1), le facteur de croissance épidermique (EGF), le facteur de croissance endothéliale vasculaire (VEGF), de l'hydrocortisone, et un analogue allongé du facteur de croissance ressemblant à l'insuline 1 (IGF-1 Long R3). Les cellules stromales mésenchymateuses allogéniques peuvent se différencier en ostéoclastes, en chondrocytes, en adipocytes, et ont la capacité de se différencier en divers autres types de cellules. Les CSM expriment les marqueurs cellulaires stromaux multipotents CD44, CD73 et CD105 ( $\geq 90\%$ ) et de faibles taux ( $\leq 10\%$ ) de CD11b, CD34, CD45, CD19, et HLA-DR, et sécrètent le facteur de croissance transformant bêta-1 (TGF- $\beta$ 1) ( $\geq 1400$  pg/ml)

*thérapie cellulaire*

**osiramestrocel**

células estromales mesenquimales (CEM) alogénicas derivadas de sangre de cordón umbilical y expandidas en cultivo a partir de un banco de células de trabajo (WCB). Las células iniciales se separan de la sangre de cordón y se cultivan en medio completo con suero de ternera fetal para crear un banco de células maestro y posteriormente un banco de células de trabajo a partir del cual, las células se subcultivan en medio que contiene factor de crecimiento de fibroblastos (FGF), factor de crecimiento similar a la insulina 1 (IGF-1), factor de crecimiento epidérmico (EGF), factor de crecimiento del endotelio vascular (VEGF), hidrocortisona y un análogo alargado del factor de crecimiento similar a la insulina 1 (IGF-1 Long R3). Las MSC pueden diferenciarse a osteoblastos, condrocitos y adipocitos, y tienen la capacidad de diferenciarse a otros varios tipos celulares. Las CEM expresan los marcadores de células estromales multipotentes CD44, CD73 y CD105 ( $\geq 90\%$ ), y niveles bajos ( $\leq 10\%$ ) de CD11b, CD34, CD45, CD19 y HLA-DR y secretan factor de crecimiento transformante beta 1 (TGF- $\beta$ 1) ( $\geq 1400$  pg/ml)

*terapia celular*

**otekinogenum vusaplasmidum #****otekinogene vusaplasmid**

DNA plasmid encoding human interleukin 12 (IL-12), a heterodimeric cytokine encoded by two separate genes, IL-12A (p35) and IL-12B (p40). Each gene is under control of a human cytomegalovirus (CMV) immediate early enhancer/chicken  $\beta$ -actin promoter and terminated by a human growth hormone polyadenylation sequence. The plasmid also contains a kanamycin resistance gene and a pUC origin of replication

*gene therapy (antineoplastic)*

**otékinogène vusaplasmide**

plasmide d'ADN codant l'interleukine 12 humaine (IL-12), une cytokine hétérodimérique codée par deux gènes distincts, IL-12A (p35) et IL-12B (p40). Chaque gène est sous le contrôle d'un amplificateur immédiat et précoce du cytomégalovirus (CMV) humain/promoteur de la  $\beta$ -actine de poulet et terminé par une séquence de polyadénylation de l'hormone de croissance humaine. Le plasmide contient également un gène de résistance à la kanamycine et une origine de réPLICATION pUC

*thérapie génique (antinéoplasique)*

## otekinogén vusaplásmito

plásmido de ADN que codifica para la interleuquina 12 (IL-12) humana, una citoquina heterodimérica codificada por dos genes separados, IL-12A (p35) e IL-12B (p40). Cada gen está bajo el control de un potenciador inmediato temprano del citomegalovirus (CMV) humano/promotor de la β-actina de pollo y terminado por una secuencia de poliadenilación de la hormona de crecimiento humana. El plásmido también contiene un gen de resistencia a *kanamicina* y un origen de replicación pUC

*terapia génica (antineoplásico)*

2864332-12-5

## oveporextonum

oveporexton

*N*-(*2S,3R*)-4,4-difluoro-1-(2-hydroxy-2-methylpropanoyl)-2-[*(2',3',5'-trifluoro-[1,1'-biphenyl]-3-yl)methyl*]pyrrolidin-3-yl}ethane-1-sulfonamide  
*orexin type 2 receptor agonist*

ovéporexton

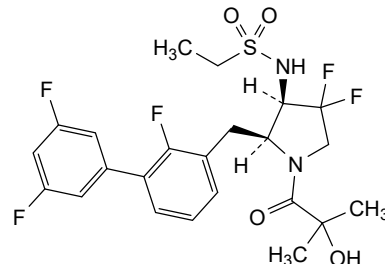
*N*-(*2S,3R*)-4,4-difluoro-1-(2-hydroxy-2-méthylpropanoyl)-2-[*(2',3',5'-trifluoro-[1,1'-biphényle]-3-yl)méthyl*]pyrrolidin-3-yl}éthane-1-sulfonamide  
*agoniste des récepteurs de l'orexine de type 2*

oveporextón

*N*-(*2S,3R*)-4,4-difluoro-1-(2-hidroxi-2-metilpropanoil)-2-[*(2',3',5'-trifluoro[1,1'-bifenil]-3-il)metil*]pirrolidin-3-yl}etano-1-sulfonamida  
*agonista del receptor orexina de tipo 2*

C23H25F5N2O4S

2460722-04-5



## pamlectabartum #

pamlectabart

immunoglobulin G1-kappa, anti-[*Homo sapiens* TNFRSF17 (tumor necrosis factor (TNF) receptor superfamily member 17, B cell maturation antigen, BCMA, TNFRSF13A, CD269)], humanized monoclonal antibody;  
H-gamma1 heavy chain humanized (1-450) [VH (*Homo sapiens*IGHV3-74\*01 (84.5%) -IGHD1-IGHJ4\*01 (92.9%), CDR-IMGT [8.8.13] (26-33.51-58.97-109)) (1-120) -*Homo sapiens*IGHG1\*03v, G1m3>G1m17, nG1m1 CH1 K120, CH3 E12, M14, G1v76 CH2 C27 (CH1 R120>K (217) (121-218), hinge 1-15 (219-233), CH2 D27>C (268) (234-343), CH3 E12 (359), M14 (361) (344-448), CHS (449-450)) (121-450)), (223-214')-disulfide with L-kappa light chain humanized (1'-214') [V-KAPPA (*Homo sapiens*IGKV3-15\*01 (90.5%) -IGKJ2\*01 (81.8%) Q120>A (100'), I126>L (106'), CDR-IMGT [6.3.9] (27'-32'.50'-52'.89'-97')) (1'-107') -*Homo sapiens*IGKC\*01 (100%) Km3 A45.1, V101 (C-KAPPA A45.1 (153'), V101 (191')) (108'-214')]; dimer (229-229".232-232")-bisdisulfide, produced in Chinese hamster ovary (CHO) cells, cell line CHO-K1, glycoform alfa  
*antineoplastic*

pamlectabart

immunoglobuline G1-kappa, anti-[*Homo sapiens* TNFRSF17 (membre 17 de la superfamille des récepteurs du facteur de nécrose tumorale

(TNF), antigène de maturation de cellule B, BCMA, TNFRSF13A, CD269)], anticorps monoclonal humanisé; chaîne lourde H-gamma1 humanisée (1-450) [VH (*Homo sapiens* IGKV3-74\*01 (84.5%) -(IGHD) -IGHJ4\*01 (92.9%), CDR-IMGT [8.8.13] (26-33.51-58.97-109)) (1-120) -*Homo sapiens* IGHG1\*03v, G1m3>G1m17, nG1m1 CH1 K120, CH3 E12, M14, G1v76 CH2 C27 (CH1 R120>K (217) (121-218), charnière 1-15 (219-233), CH2 D27>C (268) (234-343), CH3 E12 (359), M14 (361) (344-448), CHS (449-450)) (121-450)], (223-214')-disulfure avec la chaîne légère L-kappa humanisée (1'-214') [V-KAPPA (*Homo sapiens* IGKV3-15\*01 (90.5%) -IGKJ2\*01 (81.8%) Q120>A (100'), I126>L (106'), CDR-IMGT [6.3.9] (27'-32'.50'-52'.89'-97')) (1'-107') -*Homo sapiens* IGKC\*01 (100%) Km3 A45.1, V101 (C-KAPPA A45.1 (153'), V101 (191')) (108'-214')]; dimère (229-229".232-232")-bisisulfuro, produit dans des cellules ovarianes de hamster chinois (CHO), lignée cellulaire CHO-K1, glycoforme alfa antinéoplasique

pamlectabart inmunoglobulina G1-kappa, anti-[*Homo sapiens* TNFRSF17 (miembro 17 de la super familia de los receptores del factor de necrosis tumoral (TNF), antígeno de maduración de células B, BCMA, TNFRSF13A, CD269)], anticuerpo monoclonal humanizado; cadena pesada H-gamma1 humanizada (1-450) [VH (*Homo sapiens* IGHV3-74\*01 (84.5%) -(IGHD) -IGHJ4\*01 (92.9%), CDR-IMGT [8.8.13] (26-33.51-58.97-109)) (1-120) -*Homo sapiens* IGHG1\*03v, G1m3>G1m17, nG1m1 CH1 K120, CH3 E12, M14, G1v76 CH2 C27 (CH1 R120>K (217) (121-218), bisagra 1-15 (219-233), CH2 D27>C (268) (234-343), CH3 E12 (359), M14 (361) (344-448), CHS (449-450)) (121-450)], (223-214')-disulfuro con la cadena ligera L-kappa humanizada (1'-214') [V-KAPPA (*Homo sapiens* IGKV3-15\*01 (90.5%) -IGKJ2\*01 (81.8%) Q120>A (100'), I126>L (106'), CDR-IMGT [6.3.9] (27'-32'.50'-52'.89'-97')) (1'-107') -*Homo sapiens* IGKC\*01 (100%) Km3 A45.1, V101 (C-KAPPA A45.1 (153'), V101 (191')) (108'-214')]; dímero (229-229".232-232")-bisisulfuro, producido en las células ováricas de hámster chino (CHO), línea celular CHO-K1, forma glicosilada alfa antineoplásico

2925692-65-3

## Heavy chain / Chaîne lourde / Cadena pesada

```

EVQLVESGG LVQPQGSRL SCAASGFTFS RYWISWVRQA PGKGLVWVG 50
INPSSSTINY APSLKDFTI SRDNAKNTLY LQMNSLRAED TAVYYCASLY 100
YDYGDAYDW YGQTLVTVSS ASTKGPSVFP LAPSSKSTSG GTAALGCLVK 150
DYFPEPVTVS WNSGALTSGV HTFPFAVLQSS GLYSLSSVVT VPSSSLGTQT 200
YICVNHNKPS NTKVDKKVEP KSCDKTHTCP PCPAPELLGG PSVFLFPKPK 250
KDTLMISRTP ETVCFVVVCVS HEDEPVKFNW YVDGVEVHNA KTKPRREQYN 300
STYRUVSVLT VLHQDWLNKG EYCKCVSNKA LPAPIEKTIS KAKGQPREPQ 350
VYTLPSSREE MTKNQVSLTC LVKGFYPSDI AVEWESNGQP ENNYKTTPPV 400
LDSGDSFFLY SKLTVDKSRW QQGNVFSCSV MHEALHNHYT QKSLSLSPKG 450

```

## Light chain / Chaîne légère / Cadena ligera

```

EIVMTQSPAT LSVPGERAT LSCKASQSVE SNAWYQQKP GQAPRALIYS 50
ASLRFGSIPAA RFSGSGSGTE FTITISSLQS EDFAVYYCQQ YYNNYPLTFGA 100
GKLEELKRTV AAPSVFIFPP SDEQLKSGTA SVVCLLNNFY PREAKVQWKV 150
DNALEQSGNSQ ESVTEQDSKD STYSLSSTLT LSKADYEKHK VYACEVTHQG 200
LSSPVTKSFN RGEC 214

```

## Post-translational modifications

Disulfide bridges location / Position des ponts disulfure / Posiciones de los puentes disulfuro

Intra-H (C23-C104) 22-96 147-203 264-324 370-428

22"-96" 147"-203" 264"-324" 370"-428"

Intra-L (C23-C104) 23"-88" 134"-194"

23"-88" 134"-194"

Inter-H-L (h 5-CL 126) 223-214" 223"-214"

Inter-H-H (h 11, h 14) 229-229" 232-232"

N-glycosylation sites / Sites de N-glycosylation / Posiciones de N-glicosilación

H-CH2-N84:4: 300,300"

Fucosylated complex bi-antennary CHO-type glycans / glycanes de tipo CHO bi-antennarios complejos fucosilados

C-terminal lysine clipping / Coupe de la lysine C-terminale / Recorte de lisina C-terminal  
H-CHS K2: 450, 450"

**pamlectabartum tismanitinum #**

pamlectabart tismanitin

immunoglobulin G1-kappa, anti-[*Homo sapiens* TNFRSF17 (tumor necrosis factor (TNF) receptor superfamily member 17, B cell maturation antigen, BCMA, TNFRSF13A, CD269)], humanized monoclonal antibody, conjugated at cysteine residues 268 and 268" with *tismanitin*, comprising a cleavable linker and a synthetic α-amanitin derivative;  
 H-gamma1 heavy chain humanized (1-450) [VH (*Homo sapiens*IGHV3-74\*01 (84.5%) -(IGHD) - IGHJ4\*01 (92.9%), CDR-IMGT [8.8.13] (26-33.51-58.97-109)) (1-120) -*Homo sapiens*IGHG1\*03v, G1m3>G1m17, nG1m1 CH1 K120, CH3 E12, M14, G1v76 CH2 C27 (CH1 R120>K (217) (121-218), hinge 1-15 (219-233), CH2 D27>C (268) (234-343), CH3 E12 (359), M14 (361) (344-448), CHS (449-450)) (121-450)], (223-214')-disulfide with L-kappa light chain humanized (1'-214') [V-KAPPA (*Homo sapiens*IGKV3-15\*01 (90.5%) -IGKJ2\*01 (81.8%) Q120>A (100'), I126>L (106') , CDR-IMGT [6.3.9] (27'-32'.50'-52'.89'-97')) (1'-107') -*Homo sapiens*IGKC\*01 (100%) Km3 A45.1, V101 (C-KAPPA A45.1 (153'), V101 (191')) (108'-214')]; dimer (229-229":232-232")-bisdisulfide, produced in Chinese hamster ovary (CHO) cells, cell line CHO-K1, glycoform alfa; substituted at the sulfur atoms of cysteine residues 268 and 268" with group 1-(3-[(2S)-3-methyl-1-oxo-1-{[(2S)-1-oxo-1-{4-[(1,8-anhydro:C<sup>2,4</sup>,S<sup>3,8</sup>-cyclo[L-α-aspartyl-(4R)-4-hydroxy-L-prolyl-(4R)-4,5-dihydroxy-L-isoleucyl-L-tryptophylglycyl-L-isoleucylglycyl-L-cystein]-C<sup>4,1</sup>-yl}amino)methyl]janilino}propan-2-yl]amino}butan-2-yl]amino}-3-oxopropyl)-2,5-dioxopyrrolidin-3-yl (*tismanitin*) antineoplastic

pamlectabart tismanitine

immunoglobuline G1-kappa, anti-[*Homo sapiens* TNFRSF17 (membre 17 de la superfamille des récepteurs du facteur de nécrose tumorale (TNF), antigène de maturation de cellule B, BCMA, TNFRSF13A, CD269)], anticorps monoclonal humanisé, anticorps monoclonal humanisé, conjugué par résidus cystéines 268 et 268" au *tismanitin*, comprenant un linker clivable et un dérivé de l' α-amanitine; chaîne lourde H-gamma1 humanisée (1-450) [VH (*Homo sapiens*IGHV3-74\*01 (84.5%) -(IGHD) - IGHJ4\*01 (92.9%), CDR-IMGT [8.8.13] (26-33.51-58.97-109)) (1-120) -*Homo sapiens*IGHG1\*03v, G1m3>G1m17, nG1m1 CH1 K120, CH3 E12, M14, G1v76 CH2 C27 (CH1 R120>K (217) (121-218), charnière 1-15 (219-233), CH2 D27>C (268) (234-343), CH3 E12 (359), M14 (361) (344-448), CHS (449-450)) (121-450)], (223-214')-disulfure avec la chaîne légère

L-kappa humanisée (1'-214') [V-KAPPA (*Homo sapiens* IGKV3-15\*01 (90.5%) -IGKJ2\*01 (81.8%) Q120>A (100'), I126>L (106') , CDR-IMGT [6.3.9] (27'-32'.50'-52'.89'-97')) (1'-107') -*Homo sapiens* IGKC\*01 (100%) Km3 A45.1, V101 (C-KAPPA A45.1 (153'), V101 (191')) (108'-214')]; dimère (229-229":232-232")-bisdisulfure, produit dans des cellules ovarienes de hamster chinois (CHO), lignée cellulaire CHO-K1, glycoforme alfa; substitué sur un atome de soufre des résidus L-cystéines 268 et 268" avec un groupement 1-(3-[(2S)-3-méthyl-1-oxo-1-[(2S)-1-oxo-1-4-[(1,8-anhydro:C<sup>2,4</sup>,S<sup>3,8</sup>-cyclo[L- $\alpha$ -aspartyl-(4R)-4-hydroxy-L-prolyl-(4R)-4,5-dihydroxy-L-isoleucyl-L-tryptophylglycyl-L-isoleucylglycyl-L-cystein]-C<sup>4,1</sup>-yl]amino)méthyl]anilino)propan-2-yl]amino}butan-2-yl]amino}-3-oxopropyl)-2,5-dioxopirrolidin-3-yle (*tismanitine*)  
antineoplastique

## pamlectabart tismanitina

inmunoglobulina G1-kappa, anti-[*Homo sapiens* TNFRSF17 (miembro 17 de la superfamilia de los receptores del factor de necrosis tumoral (TNF), antígeno de maduración de células B, BCMA, TNFRSF13A, CD269)], anticuerpo monoclonal humanizado, anticuerpo monoclonal humanizado, conjugado en residuos de cisteínas 268 y 268" con *tismanitin*, que comprende un enlace escindible y un derivado de la  $\alpha$ -amanitina; cadena pesada H-gamma1 humanizada (1-450) [VH (*Homo sapiens*IGHV3-74\*01 (84.5%) - (IGHD) -IGHJ4\*01 (92.9%), CDR-IMGT [8.8.13] (26-33.51-58.97-109)) (1-120) -*Homo sapiens*IGHG1\*03v, G1m3>G1m17, nG1m1 CH1 K120, CH3 E12, M14, G1v76 CH2 C27 (CH1 R120>K (217) (121-218), bisagra 1-15 (219-233), CH2 D27>C (268) (234-343), CH3 E12 (359), M14 (361) (344-448), CHS (449-450)) (121-450)], (223-214')-disulfuro con la cadena ligera L-kappa humanizada (1'-214') [V-KAPPA (*Homo sapiens* IGKV3-15\*01 (90.5%) -IGKJ2\*01 (81.8%) Q120>A (100'), I126>L (106') , CDR-IMGT [6.3.9] (27'-32'.50'-52'.89'-97')) (1'-107') -*Homo sapiens* IGKC\*01 (100%) Km3 A45.1, V101 (C-KAPPA A45.1 (153'), V101 (191')) (108'-214')]; dímero (229-229":232-232")-bisdisulfuro, producido en las células ováricas de hámster chino (CHO), línea celular CHO-K1, forma glicosilada alfa; sustituido en un átomo de azufre de los residuos L-cisteínas 268 y 268" con un grupo 1-(3-[(2S)-3-metil-1-oxo-1-[(2S)-1-oxo-1-4-[(1,8-anhidro:C<sup>2,4</sup>,S<sup>3,8</sup>-cyclo[L- $\alpha$ -aspartil-(4R)-4-hidroxi-L-prolil-(4R)-4,5-dihidroxi-L-isoleucil-L-triptofilglicil-L-isoleucilglicil-L-cistein]-C<sup>4,1</sup>-il]amino)méthyl]anilino)propan-2-il]amino}butan-2-il]amino}-3-oxopropil)-2,5-dioxopirrolidin-3-ilo (*tismanitina*)  
antineoplásico

2925692-67-5

## Heavy chain / Chaîne lourde / Cadena pesada

EVQLVESGGG LVPGGSLRL SCAASGFTFS RYWISWVRQA PGKGLVWVG 50  
 INPSSSTINY APLSLDKKFTI SRDNAKNTLY LQMNNSLRAED TAVYYCASYL 100  
 YDYGDAYDYW GQGTLLTVSS ASTKGPSVFP LAPSSKSTSG GTAALCLCVK 150  
 DVFPEPVIVS WNSGALTSGV HTPPAVLQSS GLYSLSVVT VPSSSLGTQ 200  
 YICNVNHHKPS NTKVDKKVEP KSCDKTHCTP PCPAPELLGG PSVFLPPK 250  
 KDTLMISRTP EVTCVVVCVS HEDPEVKFNW YVDGVEVHNA KTKPREEQYN 300  
 STYRUVSVLT VLHQDWLNGK EYKCKVSNKA LPAPIEKTTIS KAKGQPREQ 350  
 VVTLPSSREE MTKNQVSLTC LVKGFFYPSDI AWEWESNGOP ENNYKTTPPV 400  
 LDSDGSFFLY SKLTVDKSRW QQGNVFCSV MHEALHNHYT QKSLSLSPKG 450

## Light chain / Chaîne légère / Cadena ligera

EIVMTQSPAT LSVSPGERAT LSCKAQSV E SNVAWYQQKP GQAPRALIYS 50  
 ASLRFSGIPA RFSGSGSGTE FTLTISLQS EDFAVYYCQQ YNNYPLTFGA 100  
 GTKLELKRTV AAASFVIFIPP SDEQLKSGTA SVVCLLNNFY PREAKVQWKV 150  
 DNALQSGNSQ ESVTEQDSKD STYSLSSLT LSKADYEKHK VYACEVTHQG 200  
 LSSPVTKSFN RGE C 214

## Post-translational modification

Disulfide bridges location / Position des ponts disulfure / Posiciones de los puentes disulfuro  
 Intra-H(C23-C104) 22"-96" 147"-203" 264"-324" 370"-428"  
 22"-96" 147"-203" 264"-324" 370"-428"  
 Intra-L (C23-C104) 23"-88" 134"-194"  
 23"-88" 134"-194"  
 Inter-H-L (h 5-CL 126) 223"-214" 223"-214"  
 Inter-H-H (h 11, h 14) 229"-229" 232"-232"

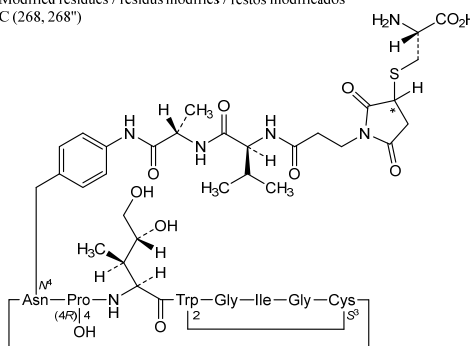
## N-glycosylation sites / Sites de N-glycosylation / Posiciones de N-glicosilación

H CH2 N84.4; 300, 300"

Fucosylated complex bi-antennary CHO-type glycans / glycanes de type CHO bi-antennaires complexes fucosylés / glicanos de tipo CHO biantenarios complejos fucosilados

C-terminal lysine clipping / Coupage de la lysine C-terminale / Recorte de lisina C-terminal  
 H CHS K2: 450, 450"

Modified residues / résidus modifiés / restos modificados  
 C (268, 268")



**pangumestrocelum**  
pangumestrocel

allogeneic mesenchymal stromal cells (MSC) derived from human embryonic stem cells (hESCs). The hESCs are enzymatically dissociated into small clumps with dispase and cultured to form embryoid bodies (EBs) in media supplemented with serum replacement and basic fibroblast growth factor (bFGF). The harvested EBs are subsequently differentiated into mesenchymal stromal cells on flasks coated with vitronectin in medium containing serum replacement, bFGF and transforming growth factor beta-3 (TGF- $\beta$ 3) and then further culture-expanded in the same medium. The final cells express CD73, CD90, and

CD105 (>95%) and are negative for CD34, CD45, CD11b, CD19 and HLA-DR (<2%). The cells secrete high levels of the immunomodulator indoleamine 2,3-dioxygenase 1 (IDO-1) after stimulation with inflammatory factors and can differentiate into osteoblasts, adipocytes and chondroblasts under standard *in vitro* tissue culture-differentiating conditions

*cell therapy (anti-inflammatory)*

pangumestrocel

cellules stromales mésenchymateuses (CSM) dérivées de cellules souches embryonnaires humaines (CSEh). Ces CSEh sont dissociées enzymatiquement par une protéase (dispase) en petits amas, puis cultivées pour former des corps embryoides (CE) dans des milieux supplémentés par du sérum de substitution et du facteur de croissance de type 2 des fibroblastes (FGF2). Les CE récoltés sont ensuite différenciés en cellules stromales mésenchymateuses dans des flacons enduits intérieurement de vitronectine, dans un sérum de substitution, du FGF2 et du facteur de croissance transformant bêta-3 (TGF- $\beta$ 3), puis mis à nouveau en culture dans le même milieu. Au final, les cellules expriment CD73, CD90 et CD 105 (>95%) et sont négatives pour CD34, CD45, CD11b, CD19 et HLA-DR (<2%). Ces cellules sécrètent des taux élevés de l'immunomodulateur, l'indoléamine-2,3-dioxigénase de type 1 (IDO-1) après une stimulation par des facteurs inflammatoires et peuvent se différencier en ostéoblastes, adipocytes et chondroblastes, dans des conditions standard de différenciation, en culture tissulaire *in vitro*

*thérapie cellulaire (anti-inflammatoire)*

pangumestrocel

células estromales mesenquimales (CEM) alogénicas derivadas de células madre embrionarias humanas (CMEh). Las CMEhs se disocian enzimáticamente en pequeños grumos con dispasa y se cultivan hasta formar cuerpos embrioides (EBs) en medio suplementado con sustituto de suero y factor de crecimiento de fibroblastos básico (bFGF). Los EBs cosechados se diferencian a células estromales mesenquimales en frascos forrados con vitronectina en medio que contiene sustituto de suero, bFGF y factor de crecimiento transformante beta 3 (TGF- $\beta$ 3) y luego se expanden en cultivo en el mismo medio. Las células finales expresan CD73, CD90 y CD105 (>95%) y son negativas para CD34, CD45, CD11b, CD19 y HLA-DR (<2%). Las células secretan altos niveles del inmunomodulador indoleamina 2,3-dioxigenasa 1 (IDO-1) después de la estimulación con factores inflamatorios y se pueden diferenciar a osteoblastos, adipocitos y condroblastos bajo condiciones de diferenciación en cultivo *in vitro* estándar

*terapia celular (antiinflamatorio)*

**pasemnogenum gleparvovec #**

pasemnogene gleparvovec

recombinant non-replicating adeno-associated virus serotype 9 (AAV9) vector, encoding a codon-optimised human survival of motor neuron 1 (SMN1) gene, under control of the cytomegalovirus (CMV) enhancer/promoter and terminated by a human growth hormone polyadenylation signal, flanked by AAV2 inverted terminal repeats. A human beta-globin intron has been inserted between the promoter and the SMN1 coding region. The virus vector also contains mutations in the viral capsid protein VP1 (F422W and Y446F)

*gene therapy (spinal muscular atrophy)*

**pasemnogène gléparvovec**

vecteur recombinant non répliquatif du virus adéno-associé de sérotype 9 (AAV9), comprenant le gène codant la protéine de survie du motoneurone 1 humain (SMN1), optimisé par codon, sous contrôle de l'activateur/promoteur du cytomégavirus (CMV) et se terminant par un signal de polyadénylation de l'hormone de croissance humaine, flanqué de répétitions terminales inversées de l'AAV2. Un intron de bêta-globine humaine a été inséré entre le promoteur et la région codante du SMN1. Le vecteur viral comprend également des mutations dans la protéine virale de la capsid VP1 (F422W et Y446F)

*thérapie génique (amyotrophie spinale)*

**pasemnogén gleparvovec**

vector de virus adenoasociado del serotipo 9 (AAV9), recombinante, no replicativo, que codifica, con codones optimizados, el gen de supervivencia de la neurona motora 1 (SMN1) humano, bajo el control del potenciador/promotor del citomegalovirus (CMV) y terminado por una señal de poliadenilación de la hormona de crecimiento humana, flanqueado por las repeticiones terminales invertidas del AAV2. Se ha insertado un intrón de la beta-globina humana entre el promotor y la región codificante de SMN1. El vector viral también contiene una mutación en la proteína de la cápsida VP1 (F422W and Y446F)

*terapia génica (atrofia muscular espinal)*

2913126-89-1

**pasritamigum #  
pasritamig**

immunoglobulin (H-gamma1\_L-kappa)\_scFvkh-G1(h-CH2-CH3), anti-[*Homo sapiens* KLK2 (kallikrein-2, kallikrein related peptidase 2, kallikrein 2 prostatic) and anti-[*Homo sapiens* CD3E (CD3 epsilon, Leu-4)]. *Homo sapiens* and humanized monoclonal antibody, bispecific, bivalent; H-gamma1 heavy chain *Homo sapiens*, anti-KLK2 (1-455) [VH (*Homo sapiens*IGHV4-59\*01 (100%) -(IGHD) -IGHJ6\*01 (94.4%), CDR-IMGT [8.7.19] (26-33.51-57.96-114)) (1-125) -*Homo sapiens*IGHG1\*03v G1m3>G1m17, nG1m1 CH1 K120, CH3 E12, M14, G1v14-67 CH2 A1.3, A1.2, S27, G1v68 CH3 V6, L22, L79, W81 (CH1 R120>K (222) (126-223), hinge 1-15 (224-238), CH2 L1.3>A (242), L1.2>A (243), D27>S (273) (239-348), CH3 T6>V (358), E12 (364), M14 (366), T22>L (374), K79>L (400), T81>W (402) (349-453), CHS (454-455)) (126-455)], (228-214')-disulfide with L-kappa light chain *Homo sapiens*, anti-KLK2 (1'-214') [V-KAPPA (*Homo sapiens*IGKV1-9\*01 (97.9%) -IGKJ4\*01 (100%), CDR-IMGT [6.3.9] (27"-32".50"-52".89"-97")) (1"-107") -*Homo sapiens* IGKC\*01 (100%) Km3 A45.1, V101 (C-KAPPA A45.1 (153'), V101 (191')) (108"-214')]; scFvkh-G1(h-CH2-CH3) heavy chain humanized, anti-CD3E ("1"-475") [V-KAPPA (*Homo sapiens*IGKV1-39\*01 (86.3%) -IGKJ2\*01 (100%), CDR-IMGT [6.3.9] (27"-32".50"-52".89"-97")) (1"-107") -20-mer (GGSEGKSSGSGSESKESTGGGS) linker (108"-127") -VH (*Homo sapiens*IGHV3-21\*01 (89.8%) -(IGHD) -IGHJ4\*01 (100%), CDR-IMGT [8.8.9] (153"-160".178"-185".224"-232")) (128"-243") -*Homo sapiens*IGHG1\*03 h-CH2-CH3, nG1m1 CH3 E12, M14, G1v14-67 CH2 A1.3, A1.2, S27, G1v37 h S5, G1v69 CH3 V6, Y7, A85.1, V86 (hinge 1-15 C5>S (248") (244"-258"), CH2 L1.3>A (262"), L1.2>A (263"), D27>S (293") (259"-368"), CH3 T6>V (378"), L7>Y (379"), E12 (384"), M14 (386"), F85.1>A (433"), Y86>V (435") (369"-473"), CHS (474"-475")) (244"-475")]; dimer (234-254": 237-257")-bisdisulfide, produced in Chinese hamster ovary (CHO) cells, glycoform alfa  
*antineoplastic*

pasritamig	<p>immunoglobuline (H-gamma1_L-kappa)_scFvkh-G1(h-CH2-CH3), anti-[<i>Homo sapiens</i> KLK2 (kallikréine-2, kallikréine peptidase 2, kallikréine prostática) y anti-[<i>Homo sapiens</i> CD3E (CD3 epsilon, Leu-4)], anticuerpo monoclonal <i>Homo sapiens</i> y humanizado, biespecífico, bivalente; cadena pesada H-gamma1 <i>Homo sapiens</i>, anti-KLK2 (1-455) [VH (<i>Homo sapiens</i> IGHV4-59*01 (100%) -(IGHD) -IGHJ6*01 (94.4%), CDR-IMGT [8.7.19] (26-33.51-57.96-114)) (1-125) -<i>Homo sapiens</i> IGHG1*03v G1m3&gt;G1m17, nG1m1 CH1 K120, CH3 E12, M14, G1v14-67 CH2 A1.3, A1.2, S27, GG1v68 CH3 V6, L22, L79, W81 (CH1 R120&gt;K (222) (126-223), bisagra 1-15 (224-238), CH2 L1.3&gt;A (242), L1.2&gt;A (243), D27&gt;S (273) (239-348), CH3 T6&gt;V (358), E12 (364), M14 (366), T22&gt;L (374), K79&gt;L (400), T81&gt;W (402) (349-453), CHS (454-455)) (126-455)], (228-214')-disulfuro con la cadena ligera L-kappa <i>Homo sapiens</i>, anti-KLK2 (1'-214') [V-KAPPA (<i>Homo sapiens</i> IGKV1-9*01 (97.9%) -IGKJ4*01 (100%), CDR-IMGT [6.3.9] (27'-32'.50'-52'.89'-97')) (1'-107') -<i>Homo sapiens</i> IGKC*01 (100%) Km3 A45.1, V101 (C-KAPPA A45.1 (153'), V101 (191')) (108'-214')]; cadena pesada scFvkh-G1(h-CH2-CH3) humanizada, anti-CD3E (1"-475") [V-KAPPA (<i>Homo sapiens</i> IGKV1-39*01 (86.3%) -IGKJ2*01 (100%), CDR-IMGT [6.3.9] (27"-32".50"-52".89"-97")) (1"-107") -20-mer (GGSEGKSSGSGSESKSTGGS) linker (108"-127") -VH (<i>Homo sapiens</i> IGHV3-21*01 (89.8%) -(IGHD) -IGHJ4*01 (100%), CDR-IMGT [8.8.9] (153"-160".178"-185".224"-232")) (128"-243") -<i>Homo sapiens</i> IGHG1*03 h-CH2-CH3, nG1m1 CH3 E12, M14, G1v14-67 CH2 A1.3, A1.2, S27, G1v37 h S5, G1v69 CH3 V6, Y7, A85.1, V86 (bisagra 1-15 C5&gt;S (248") (244"-258"), CH2 L1.3&gt;A (262"), L1.2&gt;A (263"), D27&gt;S (293") (259"-368"), CH3 T6&gt;V (378"), L7&gt;Y (379"), E12 (384"), M14 (386"), F85.1&gt;A (433"), Y86&gt;V (435") (369"-473"), CHS (474"-475")) (244"-475")]; dímero (234-254": 237-257")-bisisulfuro, producido en las células ováricas de hamster chino (CHO), forma glicosilada alfa antineoplásico</p>
pasritamig	

2921676-04-0

**Heavy chain / Chaîne lourde / Cadena pesada:** H-gamma1 anti-KLK2 (H)  
 QVQLQESPGV LVPKSETLSL TCTVSGGSIS SYYWSWIRQP PGKGLEWIGY 50  
 IYYGSTNTYN PSLKSRTVIS VDTSKNQFSL KLLSVTAADT AVYYCAGTTI 100  
 FGVTTPNFFY GMDWVGQGTT VTVSSASTKG PSVFLAPSS KSTSGTAAL 150  
 GCLVKDFFPE PVTWSWNSGA LTSGVHTFPV VLQSSGLYSL SSVVTVPSS 200  
 LGTQTYICNV NHKPSNTKVD KKVEPKSCDK THTCPPCAP EAAGGSPVFL 250  
 FPPPKDFTLM ISRTPEVTCV VVSVSHEDPE VKFNWVVDGV EVHNAKTKPR 300  
 EEQYNSTYRV VSVLTVLHQD WLNGKEYKCK VSNKALPAFI EKTISKAKGQ 350  
 PREPQVYVLP PSREEMTKNQ VSLLCLVKGF YPSDIAVEWE SNGOPENNYL 400  
 TWPPVLDSDG SFFLYSKLTV DKSRWQQGNV FSCSVMHEAL HNHYTQKSL 450  
 LSPGK 455

**Light chain / Chaîne légère / Cadena ligera:** L-kappa anti-KLK2 (L')  
 DIQMTQSPSF LSASVGRDVT ITCRARQSIG SYLAWYQQKP GKAPKFLIYA 50  
 ASTLQSGVPS RFSGSSGSTE FTLTISSSLQF EDFATYQCQ LNSPYLTFGQ 100  
 GTKVEIKRTV AAPSVFIFPP SDEQLKSGTA SVVCLLNFFY PREAKVQWKV 150  
 DNAQSGNSQ ESVTEQDSKD STYSLSTSIT LSKADYEKHK VYACEVTHQG 200  
 LSSPVTKFSN RGE 214

**Heavy chain / Chaîne lourde / Cadena pesada:** scFvkh anti-CD3E (H")  
 DIQMTQSPSS LSASVGRDVT ITCRARQSIG TAIHWYQQKP GKAPKLLIKY 50  
 ASESIISGVPS RFSGSSGSTD FTLTISSSLQF EDFATYQCQ SGSPWYTFGQ 100  
 GTKLEIKGGG EGKSSSGGSE SKSTGGSEVQ LVESGGGLVK PGGSLRLSCA 150  
 ASGETFSRYN MNWVRQAPGE GLEWVSSIST SSNNYYYADS VKGRFTFSRD 200  
 NAKNSLDLQM SGLRAEDTAI YYCTRQWGPF DYWGQGTLLT VSSEPKSSDK 250  
 THTCPPCAP EAAGGSPVFL FPPPKDFTLM ISRTPEVTCV VVSVSHEDPE 300  
 VKFNWYVVDGV EVHNAKTKPR EEQYNSTYRV VSVLTVLHQD WLNGKEYKCK 350  
 VSNKALPAFI EKTISKAKGQ PREPQVYVLP PSREEMTKNQ VSLLCLVKGF 400  
 YPSDIAVEWE SNGOPENNYL TTTPVLDSDG SFALVSKLTV DKSRWQQGNV 450  
 FSCSVMHEAL HNHYTQKSL LSPGK 475

**Post-translational modifications**

Disulfide bridges location / Position des ponts disulfure / Posiciones de los puentes disulfuro  
 Intra-H (C23-C104) 22-95 152-208 269-329 375-433  
 23"-88" 149"-223" 289"-349" 395"-453"  
 Intra-L (C23-C104) 23"-88" 134"-194"  
 Inter-H-L (CH1 10-CL 126) 228-214"  
 Inter-H-H (h 8, h 11) 234-254" 237-257"

N-terminal glutaminyl cyclization / Cyclisation du glutaminyle N-terminal / Ciclación del glutaminil N-terminal  
 Q > pyroglutamyl (pE, 5-oxoprolyl) / pyroglutamyle (pE, 5-oxoprolyle) / piroglutamilo (pE, 5-oxoprolilo)  
 H VH Q1: 1

N-glycosylation sites / Sites de N-glycosylation / Posiciones de N-glicosilación  
 H CH2 N84.4: 305, 325"  
 Fucosylated complex bi-antennary CHO-type glycans / glycanes de type CHO bi-antennaires complexes fucosylés / glicanos de tipo CHO biantenarios complejos fucosilados.

C-terminal lysine clipping / Coupure de la lysine C-terminale / Recorte de lisina C-terminal  
 H CHS K2:455, 475"

**pebezertinibum**  
pebezertinib

N-[4-fluoro-3-(2-[(1-methyl-1*H*-pyrazol-4-yl)amino]-5-[4-(trifluoromethyl)phenyl]pyrimidin-4-yl)amino]phenyl]prop-2-enamide  
*epidermal growth factor receptor (EGFR) tyrosine kinase inhibitor, antineoplastic*

## pébérzertinib

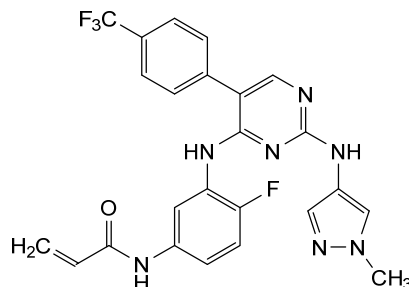
N-[4-fluoro-3-(2-[(1-méthyl-1*H*-pyrazol-4-yl)amino]-5-[4-(trifluorométhyl)phényl]pyrimidin-4-yl)amino]phényl]prop-2-énamide  
*inhibiteur de la tyrosine kinase du récepteur du facteur de croissance épidermique (EGFR), antineoplastique*

## pebezertinib

N-[4-fluoro-3-(2-[(1-metil-1*H*-pirazol-4-yl)amino]-5-[4-(trifluorometil)fenil]pirimidin-4-yl)amino]fenil]prop-2-enamida  
*inhibidor de la tirosína kinasa del receptor del factor de crecimiento epidémico (EGFR), antineoplásico*

C<sub>24</sub>H<sub>19</sub>F<sub>4</sub>N<sub>7</sub>O

2769954-39-2

**peluntamig #**

peluntamig

immunoglobulin H-gamma1\_L-kappa, anti-[*Homo sapiens* CD47 (CD47 molecule, integrin associated protein, IAP, MER6, OA3) and anti-[*Homo sapiens* DLL3 (delta-like ligand 3, delta like canonical Notch ligand 3)], bispecific; H-gamma1 heavy chain anti-CD47 (1-444) [VH (*Homo sapiens*IGHV1-46\*01 (88.7%) -(IGHD) -IGHJ4\*01 (100%), CDR-IMGT [8.8.7] (26-33.51-58.97-103)) (1-114) -*Homo sapiens*IGHG1\*01 G1m17,1 CH1 K120, CH3 D12, L14, G1v74 CH3 C10, G1v32 CH3 W22 (knob) (CH1 K120 (211) (115-212), hinge 1-15 (213-227), CH2 (228-337), CH3 S10>C (351), D12 (353), L14 (355), T22>W (363) (338-442), CHS (443-444)) (115-444)), (217-214')- disulfide with common L-kappa light chain (1'-214') [V-KAPPA (*Homo sapiens*IGKV3-20\*01 (84.4%) -IGKJ1\*01 (91.7%), CDR-IMGT [6.3.9] (27-32'.50'-52'.89'-97')) (1'-107') -*Homo sapiens*IGKC\*01 (100%) Km3 A45.1, V101 (C-KAPPA A45.1 (153'), V101 (191')) (108-214')]; H-gamma1 heavy chain anti-DLL3 (1"-448") [VH Musmus/Homsap (*Mus musculus*IGHV1-14\*02 (71.4%) -(IGHD) -IGHJ2\*01 (69.2%) Q120>R (110"), T122>A (112"), T123>P (113"), L124>V (114")/*Homo sapiens*IGHV1-3\*01 (65.3%) -(IGHD) -IGHJ4\*01 (76.9%), CDR-IMGT [8.8.11] (26-33".51"-58".97"-107")) (1"-118") -*Homo sapiens*IGHG1\*01, G1m17,1 CH1 K120, CH3 D12, L14, G1v75 CH3 C5, G1v33 CH3 S22, A24, V86 (hole) (CH1 K120 (215") (119"-216"), hinge 1-15 (217"-231"), CH2 (232"-341"), CH3 Y5>C (350"), D12 (357"), L14 (359"), T22>S (367"), L24>A (369"), Y86>V (408") (342"-446"), CHS (447"-448")) (119"-448")], (221"-214")-disulfide with common L-kappa light chain (1"-214") [V-KAPPA (*Homo sapiens*IGKV3-20\*01 (84.4%) -IGKJ1\*01 (91.7%), CDR-IMGT [6.3.9] (27"-32".50"-52".89"-97")) (1"-107") -*Homo sapiens*IGKC\*01 (100%) Km3 A45.1, V101 (C-KAPPA A45.1 (153"), V101 (191'")) (108'-214")]; dimer (223-227".226-230":351-350")-trisdisulfide, produced in Chinese hamster ovary (CHO) cells, glycoform alfa antineoplastic

péltuntamig

immunoglobuline H-gamma1\_L-kappa, anti-[*Homo sapiens* CD47 (CD47 molécule, protéine associée à l'intégrine, IAP, MER6, OA3)] et anti-[*Homo sapiens* DLL3 (delta-like ligand 3, delta like canonical Notch ligand 3)], bispécifique;

chaîne lourde H-gamma1 anti-CD47 (1-444) [VH (*Homo sapiens* IGHV1-46\*01 (88.7%) -(IGHD) -IGHJ4\*01 (100%), CDR-IMGT [8.8.7] (26-33.51-58.97-103)) (1-114) -*Homo sapiens* IGHG1\*01 G1m17,1 CH1 K120, CH3 D12, L14, G1v74 CH3 C10, G1v32 CH3 W22 (knob) (CH1 K120 (211) (115-212), charnière 1-15 (213-227), CH2 (228-337), CH3 S10>C (351), D12 (353), L14 (355), T22>W (363) (338-442), CHS (443-444)) (115-444)], (217-214')-disulfure avec la chaîne légère commune L-kappa anti-CD47 (1'-214') [V-KAPPA (*Homo sapiens* IGKV3-20\*01 (84.4%) -IGKJ1\*01 (91.7%), CDR-IMGT [6.3.9] (27'-32'.50'-52'.89'-97')) (1'-107') -*Homo sapiens* IGKC\*01 (100%) Km3 A45.1, V101 (C-KAPPA A45.1 (153'), V101 (191')) (108'-214')]; chaîne lourde H-gamma1 anti-DLL3 (1"-448") [VH Musmus/Homsap (*Mus musculus* IGHV1-14\*02 (71.4%) -(IGHD) -IGHJ2\*01 (69.2%) Q120>R (110"), T122>A (112"), T123>P (113"), L124>V (114")/*Homo sapiens* IGHV1-3\*01 (65.3%) -(IGHD) -IGHJ4\*01 (76.9%), CDR-IMGT [8.8.11] (26"-33".51"-58".97"-107")) (1"-118") -*Homo sapiens* IGHG1\*01, G1m17,1 CH1 K120, CH3 D12, L14, G1v75 CH3 C5, G1v33 CH3, S22, A24, V86 (hole) (CH1 K120 (215") (119"-216"), charnière 1-15 (217"-231"), CH2 (232"-341"), CH3 Y5>C (350"), D12 (357"), L14 (359"), T22>S (367"), L24>A (369"), Y86>V (408") (342"-446"), CHS (447"-448")) (119"-448")], (221"-214")-disulfure avec la chaîne légère commune L-kappa (1"-214") [V-KAPPA (*Homo sapiens* IGKV3-20\*01 (84.4%) -IGKJ1\*01 (91.7%), CDR-IMGT [6.3.9] (27"-32".50"-52".89"-97")) (1"-107") -*Homo sapiens* IGKC\*01 (100%) Km3 A45.1, V101 (C-KAPPA A45.1 (153")), V101 (191")) (108"-214")]; dimère (223-227":226-230":351-350")-trisdisulfure, produit dans des cellules ovaries de hamster chinois (CHO), glycoforme alfa antineoplastique

peluntamig

inmunoglobulina H-gamma1\_L-kappa, anti-[*Homo sapiens* CD47 (CD47 molécula, proteína asociada a la integrina, IAP, MER6, OA3)] y anti-[*Homo sapiens* DLL3 (delta-like ligando 3, delta like canonical Notch ligand 3)], biespecífico; cadena pesada H-gamma1 anti-CD47 (1-444) [VH (*Homo sapiens* IGHV1-46\*01 (88.7%) -(IGHD) -IGHJ4\*01 (100%), CDR-IMGT [8.8.7] (26-33.51-58.97-103)) (1-114) -*Homo sapiens* IGHG1\*01 G1m17,1 CH1 K120, CH3 D12, L14, G1v74 CH3 C10, G1v32 CH3 W22 (knob) (CH1 K120 (211) (115-212), bisagra 1-15 (213-227), CH2 (228-337), CH3 S10>C (351), D12 (353), L14 (355), T22>W (363) (338-442), CHS (443-444)) (115-444)], (217-214')-disulfuro con la cadena ligera común L-kappa anti-CD47 (1"-214') [V-KAPPA (*Homo sapiens* IGKV3-20\*01 (84.4%) -IGKJ1\*01 (91.7%), CDR-IMGT [6.3.9] (27'-32'.50'-52'.89'-97')) (1'-107') -*Homo sapiens* IGKC\*01 (100%) Km3 A45.1, V101 (C-KAPPA A45.1 (153'), V101 (191')) (108'-214')]; cadena pesada H-gamma1 anti-DLL3 (1"-448") [VH Musmus/Homsap (*Mus musculus* IGHV1-14\*02 (71.4%) -(IGHD) -IGHJ2\*01 (69.2%) Q120>R (110"), T122>A (112"), T123>P (113"), L124>V (114")/*Homo sapiens* IGHV1-3\*01 (65.3%) -(IGHD) -IGHJ4\*01 (76.9%), CDR-IMGT [8.8.11] (26"-33".51"-58".97"-107")) (1"-118") -*Homo sapiens* IGHG1\*01, G1m17,1 CH1 K120, CH3 D12, L14, G1v75 CH3 C5, G1v33 CH3, S22, A24, V86 (hole) (CH1 K120 (215") (119"-216"), bisagra 1-15 (217"-231"), CH2 (232"-341"), CH3 Y5>C (350"), D12 (357"), L14 (359"), T22>S (367"), L24>A (369"), Y86>V (408") (342"-446"), CHS (447"-448")) (119"-448")], (221"-214")-disulfuro con la cadena ligera común L-kappa (1"-214") [V-KAPPA (*Homo sapiens* IGKV3-20\*01 (84.4%) -IGKJ1\*01 (91.7%), CDR-IMGT [6.3.9] (27"-32".50"-52".89"-97")) (1"-107") -*Homo sapiens* IGKC\*01 (100%) Km3 A45.1, V101 (C-KAPPA A45.1 (153")), V101 (191")) (108"-214")]; dímero (223-227":226-230":351-350")-trisdisulfuro, producido en las células ováricas de hamster chino (CHO), forma glicosilada alfa antineoplásico

**Heavy chain / Chaîne lourde / Cadena pesada : H-gamma1 anti-CD47 (knob) (H)**  
 QVQLVQSGAE VKKPGASVKV SCKASGYTFT SYWMHWVRQA PGQGLEWIGN 50  
 IDPSDSETHY AQKFQGRVTI TVDKSTSTVY MELSSLRSED TAVYYCAGTD 100  
 LAYWGQGTLV TVSSASTKGP SVFPLAPSSK STSGGTAALG CLVKDVFPEP 150  
 VTVSWNSGAL TSGVHTFPVQ LQSSGLYSLS SVTVPSVSSL GTQTYICCNVN 200  
 HKPSNTKVDK KVEPKSCDKT HTCPCCPAPE LLGGPSVPLF PPKPKDLM 250  
 SRTPEVTCVV VDVSHEDEPEV KFNWYWDGVE VHNAKTTPRE EQYNSTYRVV 300  
 SRTLVLHQDW LNGKEYKCKV SNKALPAPIE KTISKAKGQP REPQVYTLPP 350  
 CRDELTKRNQV SLWLCLVKGFY PSDIAWEWES NGQFENNYKT TPPVLDSDGS 400  
 FFLYSKLTVD KSRWQQGNVF SCSVMHEAL NHYTQKSLSL SPGK 444

**Heavy chain / Chaîne lourde / Cadena pesada : H-gamma1 anti-DLL3 (hole) (H")**  
 EVRLSQQGGQ MKKPGEESMRL SCRASGYTFT SYVMHWVRQA PGRREPEWIGY 50  
 INPYNDATKY ARKFQGRATL TSDKYSDTAF LELRSLTSDD TAVYYCARGG 100  
 YDYDGDYWG R GAPVTVSSAS TKGPSVFPPLA PSSSKTSGGT AALGCLVKDY 150  
 FPEPVTVSWN SGALTSGVHT FFAVQLQSSGL YSSLSSVTFVP SSSLGTQTYI 200  
 CNVNHKPSNT KVDKVKVEPKS CDKTHTCPPE PAPELLGGPS VFLFPKPKD 250  
 TLMISRTEPV TCVVVVDVSH DPEVKFNWYV DGVEVHNAAKT KPREEQYNST 300  
 YRVVSVLTVL HQDWLNQKEY KCKVSNKALP APIEKTTISKA KGQPREPQVC 350  
 TLPPSRDELT KNQVSLSCAV KGFYPSDIAV EWESNGQOPEN NYKTPPPVLD 400  
 SDGSFFLVS K LTVDKSRWQO GNVFSCSVMH EALHNHYTQK SLSLSPGK 448

**Light chain / Chaîne légère / Cadena ligera : L-kappa common (L', L")**  
 EIVLTQSPGT LSLSPGERAT LSCHASQNNI VWLSWYQQKP QQAPRLLIYK 50  
 ASNLHTGIPD RFSGSGSGTD FTLTISRLEP EDFAVYYCQQ QGSYPTFTFGQ 100  
 GTKVEIKRTV AAPSVFIFPP SDEQLKSGTA SVVCLLNNFY PREAKVQWKV 150  
 DNALQSGNSQ ESVTEQDSKD STYSLSSLT LSKADYEKHK VYACEVTHQG 200  
 LSSPVTKSFN RGE C 214

#### Post-translational modifications

**Disulfide bridges location / Position des ponts disulfure / Posiciones de los puentes disulfuro**  
**Intra-H (C23-C104)** 22"-96" 141"-197" 258"-318" 364"-422"

22"-96" 145"-201" 262"-322" 368"-426"

**Intra-L (C23-C104)** 23"-88" 134"-194"  
 23"-88" 134"-199"

**Inter-H-L (h 5-CL 126)** 217"-214" 221"-214"

**Inter-H-H (h 11, h 14)** 223"-227" 226"-230"

**Inter-H-H (CH3 C10-C5)\*** 351"-350"

\*variants G1v74 (H CH3 C10) and G1v75 (H" CH3 C5) creating an additional inter-H-H disulfide bond.

**N-terminal glutaminyl cyclization / Cyclisation du glutaminyle N-terminal / Ciclación del glutamínico N-terminal**

**Q > pyroglutamyl (pE, 5-oxoprolyl) / pyroglutamyle (pE, 5-oxoprolyle) / piroglutamilo (pE, 5-oxoprolilo)**

H VH Q1: 1

**N-glycosylation sites / Sites de N-glycosylation / Posiciones de N-glicosilación**

H CH2 N84.4: 294, 298"

**Fucosylated complex bi-antennary CHO-type glycans / glycanes de type CHO bi-antennaires complexes fucosylés / glicanos de tipo CHO biantenarios complejos fucosilados.**

**C-terminal lysine clipping / Coupure de la lysine C-terminale / Recorte de lisina C-terminal**  
**H CHS K2:**

444, 448"

#### **persicabtagenum lemgedleucelum #**

**persicabtagene lemgedleucel** allogeneic CD4+/CD8+ T lymphocytes obtained from peripheral blood mononuclear cells by leukapheresis of healthy donors, transduced with a lentiviral vector to overexpress CD47 and a CD19-directed chimeric antigen receptor (CAR). The cells have also been gene-edited using CRISPR/Cas12b (clustered regularly interspaced short palindromic repeats/ CRISPR-associated protein 12b) The cells have also been gene-edited using CRISPR/Cas12b (clustered regularly interspaced short

palindromic repeats/CRISPR-associated protein 12b) nuclease introduced as mRNA in combination with single guide RNAs (sgRNAs), to disrupt the T cell receptor alpha constant (*TRAC*), beta-2 microglobulin (*B2M*), and class II major histocompatibility complex transactivator (*CITA*) gene loci. The lentivirus vector genome is flanked by 5' and 3' long terminal repeats (LTRs) and contains a human immunodeficiency virus (HIV) packaging signal, HIV *gag*, HIV envelope, Rev response element (RRE), and central polypyrimidine tract/central termination sequences, and a mutant Woodchuck hepatitis virus posttranscriptional regulatory element (WPRE). The CD47-CD19 transgene comprises a codon optimised CD47 coding region, a furin cleavage sequence, a *Thosea asigna* virus 2A (T2A) ribosomal skip sequence, a CD8 $\alpha$  signal peptide, and an anti-CD19 single chain variable fragment (clone FMC63), fused to a CD8 $\zeta$  hinge, CD8 $\alpha$  transmembrane, 4-1BB co-stimulatory and CD3 $\zeta$  signalling domain and is under control of the human elongation factor-1 alpha promoter (EF-1 $\alpha$ ). The leukapheresis material is enriched for CD4/CD8 T lymphocytes by positive immunoselection, activated by CD3 and CD28 agonists and subject to gene editing. The cells are then expanded in media supplemented with serum replacement and interleukin 2 (IL-2). The cell suspension consists of T lymphocytes ( $\geq 90\%$ ) with greater than 35% of the T lymphocytes expressing the CAR transgene, and with  $\geq 70\%$  *B2M* disrupted, and  $\geq 70\%$  *CITA* disrupted cells. The cells exhibit antigen-specific interferon gamma (IFN- $\gamma$ ) secretion when cultured with target cells  
*cell-based gene therapy (antineoplastic)*

## persicabtagène lemgedleucel

lymphocytes T allogéniques CD4+/CD8+ obtenus, à partir de cellules du sang périphérique, prélevés chez des donneurs sains par leucaphérèse, transduits avec un vecteur lentiviral pour surexprimer le CD47, et un récepteur portant un antigène chimérique dirigé contre CD19. Les cellules ont également fait l'objet d'une modification génétique à l'aide d'une nuclease CRISPR/Cas12b (répétitions palindromiques courtes régulièrement espacées/protéine associée à CRISPR 12b), introduite sous forme d'ARNm en combinaison avec des ARN guides simples (ARNsg), afin de perturber la chaîne constante alpha du récepteur des lymphocytes T (*TRAC*), la bêta-2-microglobuline (*B2M*) et les loci géniques du transactivateur du complexe majeur d'histocompatibilité de classe II (*CITA*). Le génome du vecteur lentiviral est flanqué de répétitions terminales longues (LTR) en 5' et 3' et contient un signal d'encapsulation du virus de l'immunodéficience humaine (VIH), la protéine *gag* du VIH, la glycoprotéine d'enveloppe (*Env*) du VIH, un élément de réponse Rev (RRE), une séquence centrale du tractus polypyrimidine (cPPT)/centrale de terminaison (CTS), et un élément régulateur posttranscriptionnel du virus de l'hépatite de la marmotte (WPRE). Le transgène CD47-CD19 comprend une région codante CD47 optimisée par codon, une séquence de clivage de la furine, une séquence de saut ribosomique 2A (T2A) du virus de *Thosea asigna*, un peptide signal CD8 $\alpha$  et un fragment variable à chaîne unique (scFv) anti-CD19 (clone FMC63), fusionné à une région charnière, un domaine transmembranaire CD8 $\alpha$ , un domaine co-stimulant 4-1BB et un domaine de signalisation CD3 $\zeta$ , sous contrôle du promoteur du facteur d'elongation-1 alpha (EF-1 $\alpha$ ).

Le matériel de leucaphérèse est enrichi en lymphocytes T CD4/CD8 par immunoélection positive, activé par les agonistes CD3 et CD28 et soumis à une modification génétique. Les cellules sont ensuite mises en expansion dans un milieu supplémenté avec un substitut de sérum, et de l'interleukine-2 (IL-2). La suspension cellulaire est constituée de lymphocytes T ( $\geq 90\%$ ), avec plus de 35% de lymphocytes T exprimant le CAR transgène et dont  $\geq 70\%$  sont des cellules avec une disruption génique *B2M* et  $\geq 70\%$  de cellules avec une disruption génique *CITA*. Les cellules sécrètent de l'interféron gamma (IFN- $\gamma$ ) spécifique de l'antigène, lorsqu'elles sont cultivées avec les cellules cibles *thérapie génique à base de cellules (antineoplastique)*

persicabtagén lemedleucel

linfocitos T CD4+/CD8+ alogénicos obtenidos de células mononucleares de sangre periférica a partir de leucoaféresis de donantes sanos, transducidos con un vector lentiviral para sobre expresar CD47 y un receptor de antígenos químérico (CAR) dirigido a CD19. Las células también han sido editadas genéticamente usando la nucleasa CRISPR/Cas12b (repeticiones palindrómicas agrupadas y espaciadas regularmente/proteína asociada a CRISPR 12b) introducida como ARNm en combinación con ARNs de guía únicos (sgARNs), para la ruptura de los loci de los genes de la cadena constante alfa del receptor de linfocitos T (TRAC), la beta-2 microglobulina (B2M) y el transactivador del complejo principal de histocompatibilidad de clase II (CITA). El genoma del vector lentiviral está flanqueado por repeticiones terminales largas (LTRs) en 5' y 3' y contiene una señal de empaquetamiento del virus de la inmunodeficiencia humana (HIV), HIV gag, envuelta del HIV, un elemento de respuesta Rev (RRE), secuencias de trato de poli-purina/terminación central y un elemento regulador post-transcripcional mutado del virus de la hepatitis de la marmota (WPRE). El transgén CD47-CD19 consta de una región, con codones optimizados, que codifica para CD47, una secuencia de escisión de furina, una secuencia de salto ribosómico 2A del virus *Thosea asigna*, un péptido señal de CD8α y un fragmento variable de cadena sencilla (scFv) anti-CD19 (clón FMC63) fusionado a un dominio bisagra de CD8α, un dominio transmembrana de CD8α, un dominio coestimulador de 4-1BB y un dominio de señalización de CD3ζ, y está bajo el control del promotor del factor de elongación-1 alfa (EF-1α). El material de leucoaféresis se enriquece en linfocitos T CD4/CD8 mediante inmunoselección positiva, se activan mediante agonistas de CD3 y CD28 y se someten a edición genética. Las células se expanden después en medio suplementado con substituto de suero e interleuquina 2 (IL-2). La suspensión celular consiste en linfocitos T ( $\geq 90\%$ ) con más del 35% de los linfocitos T que expresan el transgén del CAR y con  $\geq 70\%$  de las células con el *B2M* eliminado y  $\geq 70\%$  el *CITA* eliminado. Las células muestran secreción de interferón gamma (IFN- $\gamma$ ) específica de antígeno cuando se cultivan con células diana *terapia génica basada en células (antineoplásico)*

**pivicasiranum**

pivicasiran

[(2S,4R)-1-(1-[(2-acetamido-2-deoxy- $\beta$ -D-galactopyranosyl)oxy]-16,16-bis({3-[{3-[5-[(2-acetamido-2-deoxy- $\beta$ -D-galactopyranosyl)oxy]pentanamido}propyl]amino}-3-oxopropyl)methyl)-5,11,18-trioxa-6,10,17-triazanonacosan-29-oyl)-4-hydroxypyrrrolidin-2-yl]methyl hydrogen all-P-ambo-2'-O-methyl-P-thiocytidylyl-(3'→5')-2'-O-methyl-P-thioadenylyl-(3'→5')-2'-O-methyluridyl-(3'→5')-2'-O-methylguanylyl-(3'→5')-2'-O-methyladenylyl-(3'→5')-2'-O-deoxy-2'-fluoroguananyl-(3'→5')-2'-O-methyladenylyl-(3'→5')-2'-deoxy-2'-fluorouridyl-(3'→5')-2'-deoxy-2'-fluoroadenyl-(3'→5')-2'-O-methyluridyl-(3'→5')-2'-O-methylguanylyl-(3'→5')-2'-O-methylcytidylyl-(3'→5')-2'-O-methyluridyl-(3'→5')-2'-O-methyluridyl-(3'→5')-2'-O-methylguanylyl-(3'→5')-2'-O-methyladenylyl-(3'→5')-2'-O-methyluridyl-(3'→5')-2'-O-methyladenosine adiponutrin synthesis reducer

pivicasiran

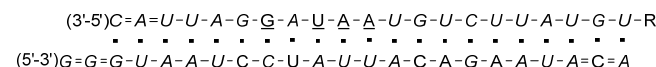
tout-P-ambo-2'-O-méthyl-P-thiocytidylyl-(3'→5')-2'-O-méthyl-P-thioadénylyl-(3'→5')-2'-O-méthyluridyl-(3'→5')-2'-O-méthyluridyl-(3'→5')-2'-O-méthyladenylyl-(3'→5')-2'-O-désoxy-2'-fluoroguananyl-(3'→5')-2'-O-méthyladenylyl-(3'→5')-2'-désoxy-2'-fluorouridyl-(3'→5')-2'-désoxy-2'-fluoroadénlyl-(3'→5')-2'-désoxy-2'-fluoroadénlyl-(3'→5')-2'-O-méthyluridyl-(3'→5')-2'-O-méthylguanylyl-(3'→5')-2'-O-méthyluridyl-(3'→5')-2'-O-méthylcytidylyl-(3'→5')-2'-O-méthyluridyl-(3'→5')-2'-O-méthyluridyl-(3'→5')-2'-O-méthyluridyl-(3'→5')-2'-O-méthylguanylyl-(3'→5')-2'-O-méthyladenylyl-(3'→5')-2'-O-méthyluridyl-(3'→5')-2'-O-méthyladenosine hydrogénation de [(2S,4R)-1-(1-[(2-acétamido-2-désoxy- $\beta$ -D-galactopyranosyl)oxy]-16,16-bis({3-[{3-[5-[(2-acétamido-2-désoxy- $\beta$ -D-galactopyranosyl)oxy]pentanamido}propyl]amino}-3-oxopropyl)méthyl)-5,11,18-trioxa-6,10,17-triazanonacosan-29-oyl)-4-hydroxypyrrrolidin-2-yl]méthyle duplex avec tout-P-ambo-2'-O-méthyl-P-thiouanylyl-(5'→3')-2'-O-méthyl-P-thiouanylyl-(5'→3')-2'-O-méthylguanylyl-(5'→3')-2'-O-méthyluridyl-(5'→3')-2'-O-méthyladenylyl-(5'→3')-2'-O-méthyluridyl-(5'→3')-2'-O-méthylcytidylyl-(5'→3')-2'-O-méthyluridyl-(5'→3')-2'-O-méthyluridyl-(5'→3')-2'-O-méthylguanylyl-(5'→3')-2'-O-méthyladenylyl-(5'→3')-2'-O-méthyluridyl-(5'→3')-2'-O-méthyladenosine réducteur de synthèse d'adiponutrine

## pivicasirán

*todo-P-ambo-2'-O-metil-P-tiocitidilil-(3'→5')-2'-O-metil-P-tioadenilil-(3'→5')-2'-O-metiluridilil-(3'→5')-2'-O-metiluridilil-(3'→5')-2'-O-metiladenilil-(3'→5')-2'-O-metilguanilil-(3'→5')-2'-desoxi-2'-fluoroguanilil-(3'→5')-2'-O-metiladenilil-(3'→5')-2'-desoxi-2'-fluorouridilil-(3'→5')-2'-desoxi-2'-fluoroadenilil-(3'→5')-2'-desoxi-2'-fluoroadenilil-(3'→5')-2'-O-metiluridilil-(3'→5')-2'-O-metilguanilil-(3'→5')-2'-O-metiluridilil-(3'→5')-2'-O-metiladenilil-(3'→5')-2'-O-metiluridilil-(3'→5')-2'-O-metilguanilil-(3'→5')-2'-O-metiladenilil-(3'→5')-2'-O-metiluridilato de [(2S,4R)-1-(1-[(2-acetamido-2-desoxi-β-D-galactopiranosil)oxi]-16,16-bis({3-[3-{5-[(2-acetamido-2-desoxi-β-D-galactopiranosil)oxi]pentanamido}propil]amino}-3-oxopropil)metyl]-5,11,18-trioxo-14-oxa-6,10,17-triazanonacosan-29-oil)-4-hidroxipirrolidin-2-il]methyl dúplex con *todo-P-ambo-2'-O-metil-P-tioguanilil-(5'→3')-2'-O-metil-P-tioguanilil-(5'→3')-2'-O-metilguanilil-(5'→3')-2'-O-metiluridilil-(5'→3')-2'-O-metiladenilil-(5'→3')-2'-O-metiladenilil-(5'→3')-2'-O-metiluridilil-(5'→3')-2'-O-metilguanilil-(5'→3')-2'-O-metiladenilil-(5'→3')-2'-O-metiluridilil-(5'→3')-2'-O-metilguanilil-(5'→3')-2'-O-metiladenilil-(5'→3')-2'-O-metiluridilil-(5'→3')-2'-O-metilguanilil-(5'→3')-2'-O-metiladenilil-(5'→3')-2'-O-metiluridilil-(5'→3')-2'-O-metilguanilil-(5'→3')-2'-O-metiladenilil-(5'→3')-2'-O-metiluridilil-(5'→3')-2'-O-metilguanilil-(5'→3')-2'-O-metiladenilil-(5'→3')-2'-O-metiluridilil-(5'→3')-2'-O-metilguanilil-(5'→3')-2'-O-metiladenilil-(5'→3')-2'-O-metiluridilil-(5'→3')-2'-O-metilguanilil-(5'→3')-2'-O-metiladenilil-(5'→3')-2'-O-metiluridilil-(5'→3')-2'-O-metilguanilil-(5'→3')-2'-O-metiladenosina reductor de la síntesis de adiponutrina**



2654847-29-5

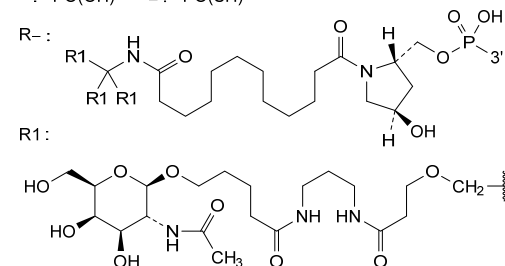


N : A,C,G,U

N : 2'-O-methyl-N / 2'-O-méthyl-N / 2'-O-metil-N

N : 2'-deoxy-2'-fluoro-N / 2'-désoxy-2'-fluoro-N / 2'-desoxi-2'-fluoro-N

- : -PO(OH)- = : -PO(SH)-

**pixavirum marboxillum**

## pixavir marboxil

((1'-[(11S)-7,8-difluoro-6,11-dihydrodibenzo[b,e]thiepin-11-yl]-4',6'-dioxo-1',2',4',6'-tetrahydrospiro[cyclopropane-1,3'-pyrido[1,2-b]pyridazin]-5'-yl)oxy)methyl methyl carbonate antiviral

## pixavir marboxil

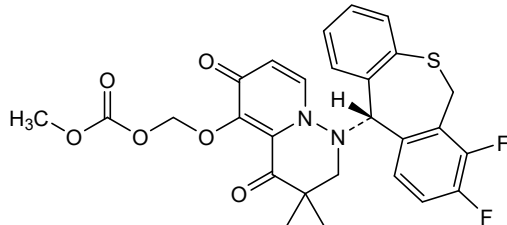
carbonate de ((1'-[(11S)-7,8-difluoro-6,11-dihydrodibenzo[b,e]thiépin-11-yl]-4',6'-dioxo-1',2',4',6'-tétrahydrospiro[cyclopropane-1,3'-pyrido[1,2-b]pyridazin]-5'-yl)oxy)méthyle et de méthyle antiviral

pixavir marboxilo

carbonato de {(1'-[{(1S)-7,8-difluoro-6,11-dihidrobenzo[b,e]tiepin-11-il]-4',6'-dioxo-1',2',4',6'-tetrahidroespiro[ciclopropano-1,3'-pirido[1,2-b]piridazin]-5'-il)oxi)metilo y metilo  
antiviral

C27H22F2N2O6S

2365473-17-0

**produvofuspum #**

produvofusp

human complement factor H (H factor 1, CFH) catalytic domain containing fragment (1-305) fused to a humanized heavy chain variable domain only (VHH) immunoglobulin with the CDRs originating from *Lama glama* (306-434) [*Homo sapiens* IGHV3-23\*04 -(IGHD) -IGHJ4\*01, CDR-Kabat [5.17.20] (336-340.355-371.404-423)] fused via peptide linker <sup>435</sup>GGGGA<sup>439</sup> to the <sup>440</sup>CRGDGRGDRRGDC<sup>453</sup> peptide containing four RGD (human integrin recognition motif repeats (441-452)) arranged as a cyclic polypeptide ( $C^{440}$  disulfide-bridged to  $C^{453}$ ), produced in Chinese hamster ovary (CHO) cells, cell line CHO-K1SV *complement factor H modulator*

produvofusp

fragment du facteur H du complément humain (facteur H 1, CFH) contenant le domaine catalytique (1-305) fusionné à une immunoglobuline humanisée à chaîne lourde qui contient un seul domaine variable (VHH), avec les CDRs provenant de *Lama glama* (306-434) [*Homo sapiens* IGHV3-23\*04 -(IGHD) -IGHJ4\*01, CDR-Kabat [5.17.20] (336-340.355-371.404-423)] fusionné à l'aide du coupleur peptidique <sup>435</sup>GGGGA<sup>439</sup> au peptide <sup>440</sup>CRGDGRGDRRGDC<sup>453</sup> contenant quatre RGD (répétition de motif de reconnaissance d'intégrine humaine (441-452)) construit à l'instar d'un polypeptide cyclique ( $C^{440}$  étant pontée à  $C^{453}$  par une liaison disulfure), produit dans des cellules ovarianes de hamster chinois (CHO), lignée cellulaire CHO-K1SV *modulateur du facteur H du complément*

produvofusp

fragment del factor H del complemento humano (H factor 1, CFH) que contiene el dominio catalítico (1-305) fusionado a una inmunoglobulina humanizada de cadena pesada que contiene un dominio variable único (VHH) con el CDRs originado de *Lama glama* (306-434) [*Homo sapiens* IGHV3-23\*04 -(IGHD) -IGHJ4\*01, CDR-Kabat [5.17.20] (336-340.355-371.404-423)] fusionado a través de enlace peptídico <sup>435</sup>GGGGA<sup>439</sup> al péptido <sup>440</sup>CRGDGRGDRRGDC<sup>453</sup> que contiene cuatro RGD (repeticiones de motivos de reconocimiento de integrinas humanas (441-452)) dispuesto como un polipéptido cíclico ( $C^{440}$  unido a través de puentes disulfuro a  $C^{453}$ ), producido en células ováricas de hámster Chino (CHO), línea celular CHO-K1SV *modulador del factor H del complemento*

2925698-93-5

Sequence / Séquence / Secuencia

```

EDCNELPPRR NTEILTGSWS DQTYPEGTQA IYKCRPGYRS LGNVIMVCRK      50
GEWVALNPRL KCQKRPCGHP GDTPFGTFTL TGGNVFEYGV KAVYTNEGY      100
QLIGEINYRE CDTDGWNTDI PICEVVKCLP VTAPENGKIV SSAMEPDREY      150
HFGQAVRFVC NSGVKIEGDE EMHCSDDGFW SKEKPCKVEI SCKSPDVING      200
SPISQKIIYK ENERFQIKCN MGYEYSERGD AVCTESGRP LPSCEEKSCD      250
NPYIENGDYS PLRIKHTGTD EITYQCRNGF YPATRGNIAK CTSTGWIPAP      300
RCTLKQVQLV ESGGGGLVKPG GSRLSCAAS GRFTSSYAMG WFRQAPGKER      350
EFVSAISGSG GSTYYADSVK GRFTISRDN A KNSLYLQMNS LRAEDTAVYY      400
CAADLQDGSW VDYVNAE PYE YDYWGQGTIV TVSSGGGGAC RGDRGDRGDR      450
GDC

```

Peptide linker / Peptide liant / Péptido de unión  
<sup>435</sup>*G*<sub>436</sub>*GGGA*<sup>439</sup>

#### Post-translational modifications

Disulfide bridges location / Position des ponts disulfure / Posiciones de los puentes disulfuro  
 Intra chain (predicted): 3-48, 34-62, 67-111, 96-123, 128-174, 160-187, 192-233, 219-244,  
 249-291, 276-302, 327-401, 440-453

Oxidation sites / Sites de oxidation / Posiciones de oxidación (predicted)  
 M46, M144, M172, M221, M339, M388,  
 W19, W53, W116, W180, W238, W296, W341, W410, W424

Deamidation sites / Sites de désamidation / Posiciones de desamidación (predicted)  
 N11, N136, N161, N199, N256, N278, N287, N382, N389

Aspartic acid isomerization sites (predicted)  
 D72, D112, D114, D177, D367, D395, D407

### plumbum (<sup>212</sup>Pb) bamzireotidum navoxetanum

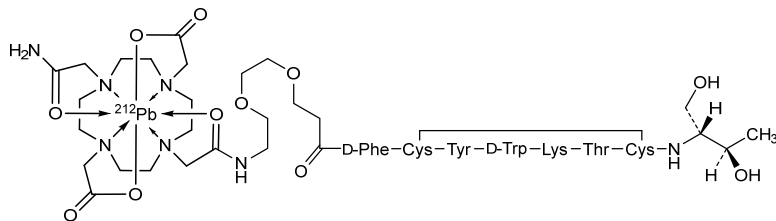
lead (<sup>212</sup>Pb) bamzireotide navoxetan [N<sup>β,1</sup>-{(2-[2-(7-[2-amino-2-(oxo-κO)ethyl]-4,10-bis[(carboxylato-κO)methyl]-1,4,7,10-tetraazacyclododecan-1-yl-κ<sup>4</sup>N<sup>1</sup>,N<sup>4</sup>,N<sup>7</sup>,N<sup>10</sup>)acetamido-κO)ethoxy]ethoxy}propanoyl]-S<sup>3,2</sup>,S<sup>3,7</sup>-cyclo(D-phenylalanyl-L-cysteinyl-L-tyrosyl-D-tryptophyl-L-lysyl-L-threonyl-L-cysteinyl-L-threoninol)](<sup>212</sup>Pb)lead  
*antineoplastic*

plomb (<sup>212</sup>Pb) bamziréotide navoxétan [N<sup>β,1</sup>-{(2-[2-(7-[2-amino-2-(oxo-κO)éthyl]-4,10-bis[(carboxylato-κO)méthyl]-1,4,7,10-tétraazacyclododécan-1-yl-κ<sup>4</sup>N<sup>1</sup>,N<sup>4</sup>,N<sup>7</sup>,N<sup>10</sup>)acétamido-κO)éthoxy]éthoxy}propanoyl]-S<sup>3,2</sup>,S<sup>3,7</sup>-cyclo(D-phénylalanyl-L-cystéinyl-L-tyrosyl-D-tryptophyl-L-lysyl-L-thréonyl-L-cystéinyl-L-thréoninol)](<sup>212</sup>Pb)plomb  
*antinéoplasique*

plomo (<sup>212</sup>Pb) bamzireótida navoxetán [N<sup>β,1</sup>-{(2-[2-(7-[2-amino-2-(oxo-κO)etyl]-4,10-bis[(carboxilato-κO)metil]-1,4,7,10-tetrazaciclododecan-1-il-κ<sup>4</sup>N<sup>1</sup>,N<sup>4</sup>,N<sup>7</sup>,N<sup>10</sup>)acetamido-κO)etoxi]etoxi}propanoil]-S<sup>3,2</sup>,S<sup>3,7</sup>-ciclo(D-fenilalanil-L-cisteinil-L-tirosil-D-triptofil-L-lisil-L-treonil-L-cisteinil-L-treoninol)](<sup>212</sup>Pb)plomo  
*antineoplásico*



2941523-47-1

**plumbum (<sup>212</sup>Pb) lapemelanotidum zapixetanum**lead (<sup>212</sup>Pb) lapemelanotide zapixetan

[C<sup>2,3</sup>,C<sup>7,6</sup>-(1H-1,2,3-triazole-4,1-diyl)-(2S)-2-(acetamido)hexanoyl-L-alanyl-L-histidyl-D-phenylalanyl-L-arginyl-L-tryptophyl-(2S)-2-aminohexanoyl-N<sup>6</sup>-(2-[2-[2-{7-[2-amino-2-(oxo-Pb)-ethyl]-4,10-bis[(carboxy-O)methyl]-1,4,7,10-tetraazacyclododec-1-yl-N¹,N⁴,N⁷,N¹⁰}acetamido-kO)ethoxy]ethoxy}acetyl)-L-lysinamide] (<sup>212</sup>Pb) lead

*antineoplastic***plomb (<sup>212</sup>Pb) lapémélanotide zapixétan**

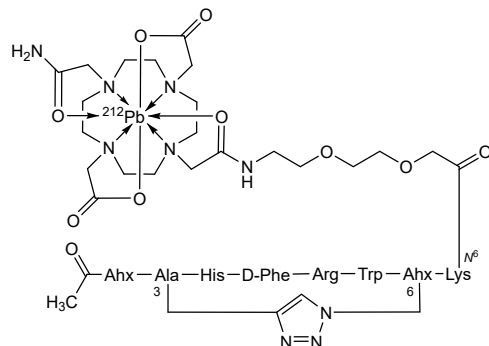
[C<sup>2,3</sup>,C<sup>7,6</sup>-(1H-1,2,3-triazole-4,1-diyl)-(2S)-2-(acétamido)hexanoyl-L-alanyl-L-histidyl-D-phénylalanyl-L-arginyl-L-tryptophyl-(2S)-2-aminohexanoyl-N<sup>6</sup>-(2-[2-[2-{7-[2-amino-2-(oxo-Pb)-éthyl]-4,10-bis[(carboxy-O)méthyl]-1,4,7,10-tétraazacyclododéc-1-yl-N¹,N⁴,N⁷,N¹⁰}acétamido-kO)éthoxy]éthoxy}acétyl)-L-lysinamide] (<sup>212</sup>Pb) plomb

*antinéoplasique***plomo (<sup>212</sup>Pb) lapemelanotida zapixetán**

[C<sup>2,3</sup>,C<sup>7,6</sup>-(1H-1,2,3-triazolo-4,1-diil)-(2S)-2-(acetamido)hexanoil-L-alanil-L-histidil-D-fenilalanil-L-arginil-L-triptofil-(2S)-2-aminohexanoil-N<sup>6</sup>-(2-[2-[2-{7-[2-amino-2-(oxo-Pb)-etil]-4,10-bis[(carboxi-O)metyl]-1,4,7,10-tetraazaciclododec-1-il-N¹,N⁴,N⁷,N¹⁰}acetamido-kO)etoxi]etoxi]acetil)-L-lysinamida] (<sup>212</sup>Pb) plomo

*antineoplásico*

2941523-46-0



Ahx = (2S)-2-aminohexanoic acid

**posnafuspum alfa #**

posnafusp alfa

humanized immunoglobulin G1-kappa antigen-binding fragment (Fab), anti-[human transferrin receptor 1 (hTfR, p90, CD71)] fused at the C-terminus of the heavy chain via a peptide linker to human N-sulphoglucosamine sulphohydrolase (SGSH, sulfoglucosamine sulfamidase, sulphamidase, EC:3.10.1.1); gamma 1 heavy Fab chain (1-226) [VH (*Homo sapiens* IGHV5-51\*01 -(IGHD) -IGHJ4\*01, CDR-Kabat [5.17.9] (31-35.50-66.99-107)) (1-118) -*Homo sapiens* IGHG1\*01 (CH1 (119-226)] fused via peptide linker <sup>227</sup>GGGGSGGGGSGGGS<sup>241</sup> to N-sulphoglucosamine sulphohydrolase (1-482, 242-723 in the current sequence), residue 291 posttranslationally modified to formylglycine (fGly), (221-219')-disulfide with kappa light chain (1'-219') [V-KAPPA (*Homo sapiens* IGKV2D-29\*02 -IGKJ1\*01, CDR-Kabat [16.7.9] (24'-39'.55'-61'.94'-102')) (1'-112') -*Homo sapiens* IGKC\*01 (113'-219')]; non-covalent dimer, produced in Chinese hamster ovary (CHO) cells, cell line CHO-K1, glycoform alfa *enzyme replacement therapy (mucopolysaccharidosis type III)*

posnafusp alfa

fragment de liaison à l'antigène (Fab) de l'immunoglobuline G1-kappa humanisée, anti-[récepteur de type 1 de la transferrine humaine (hTfR, p90, CD71)] fusionné sur la partie C-terminale de la chaîne lourde à l'aide d'un coupleur peptidique à la N-sulfoglucosamine sulfohydrolase humaine (SGSH, sulfoglucosamine sulfamidase, sulfamidase, EC:3.10.1.1); Fab de la chaîne lourde gamma 1 (1-226) [VH *Homo sapiens* IGHV5-51\*01 -(IGHD) -IGHJ4\*01, CDR-Kabat [5.17.9] (31-35.50-66.107) (1-118) -*Homo sapiens* IGHG1\*01 (119-226) fusionné à l'aide du coupleur peptidique <sup>227</sup>GGGGSGGGGSGGGS<sup>241</sup> à la N-sulfoglucosamine sulfohydrolase (1-482, 242-723 de la séquence en cours), l'acide aminé 291 est modifié post-traductionnellement en formylglycine (fGly), (221-219')-disulfure avec la chaîne légère kappa (1'-112') [VH-KAPPA (*Homo sapiens* IGKV2D-29\*02, CDR-Kabat [16.7.9] (24'-39'.55'-61'.94'-102')) - *Homo sapiens* IGKC\*01 (113'-219')]; dimère noncovalent, produit dans des cellules ovariennes de hamster chinois (CHO), lignée cellulaire CHO-K1, glicoforme alfa *traitement enzymatique substitutif (mucopolysaccharidose de type III)*

posnafusp alfa

fragmento de unión a antígeno (Fab) de inmunoglobulina G1-kappa humanizado anti-[receptor 1 humano de transferrina (hTfR, p90, CD71)] fusionado al terminal C de la cadena pesada a través de un enlace peptídico a la N-sulfoglucosamina sulfhidrolasa humana (SGSH, sulfoglucosamina sulfamidasa, sulfamidasa, EC:3.10.1.1); cadena gamma 1 pesada Fab (1-226) [VH (*Homo sapiens* IGHV5-51\*01 -(IGHD) -IGHJ4\*01, CDR-Kabat [5.17.9] (31-35.50-66.99-107)) (1-118) -*Homo sapiens* IGHG1\*01 (CH1 (119-226)] fusionada a través de enlace peptídico <sup>227</sup>GGGGSGGGGSGGGS<sup>241</sup> a la N-sulfoglucosamina sulfhidrolasa (1-482, 242-723 en la secuencia actual, residuo 291 posttraduccionalmente modificado a la formoglicina (fGly)), (221-219')-disulfuro con la cadena ligera kappa (1'-219') [V-KAPPA (*Homo sapiens* IGKV2D-29\*02 -IGKJ1\*01, CDR-Kabat [16.7.9] (24'-39'.55'-61'.94'-102')) (1'-112') -*Homo sapiens* IGKC\*01 (113'-219')]; dímero no covalente, producido en células ováricas de hámster Chino (CHO), línea celular CHO-K1, glicoforma alfa *terapia de reemplazo enzimático (mucopolisacardiosis de tipo III)*

Sequence / Séquence / Secuencia  
 Fab heavy chain-hSGSH  
 EVQLVQSGAE VKKPGESLKI SCKGSGYSFM NYWLGVWRQM PGKGLEWMGD 50  
 IYPPGDYPTV SEKFKVQVTI SADKSISSTAY LQLSSLKASD TAMYYCARSG 100  
 NYDEVAYWQQ GTLTVTSSAS TKGPSVFPFA PSSKSTSGGT AALGCLVKDY 150  
 FPEPVTVSWN SGALTSGVHET FPAAVLQSSGL YSLSLSSVTVB SSSLGTQTYI 200  
 CNVNHKPSNT KVDKVKVEPKS CDKTHHTGGGG SGGGGSGGGG SRPRNALLL 250  
 ADDGGFESGA YNNSAIATPH LLDAALARSLR FNRAFTSVSS CSPSRASLL 300  
 GLPQHQNGMY GLHQDVHHFN SFDKVRSLPL LLSQAGVRTG IIGKKHVGP 350  
 TVYPFDFAYT EENGSVLQVG RNITRIKLLV RKFLQTQDDR PFFLYVAFHD 400  
 PHRCGHGSQHQ YGTFCERFGN GESGMGRIPD WTPQAYDPLD VLVPYFVPNT 450  
 PAARADLAQ YTTVGRMDQG VGLVLQELRD AGVLNDTLVI FTSDNGIFPV 500  
 SGRTNLYWEG TAEFLLVSSP EHPKRWGQVS EAVYSLDDLT PTILDWFSIP 550  
 YPSYAIFGSK TIHLTGRSLL PALEAEPILWA TVFGSQSHHE VTMSYPMRSV 600  
 QHRRHFRVLVHN LNFKMPPFID QDFYVSPTFQ DLLNRTTAGQ PTGWYKDLRH 650  
 YYYRARWEYL DRSRDPHETQ NLATDPRFAQ LLEMLRDQLA KWQWEETHDPW 700  
 VCAPDGVLLEE KLSPQCQPLH NEL 723

Light chain  
 DIVMTQTPLS LSVPQGPAS ISCRSSQSLV HSNGNTYLNW YLQKPGQSPQ 50  
 LLIYKVSNRF SGVPDRFSGS GSGTDFTLKI SRVEAEDVGV YYCSQSTHVP 100  
 WTFGQGTTKVE IKRTVVAESPV FIFPPSDEQL KSGTASVVCL LNNFYPREAK 150  
 VQMKVNDALQ SGNSQESVTE QDSKDDSTYSL SSTLTLSKAD YEKHKVYACE 200  
 VTHQGLSSPV TKSFRNRGEC 219

Peptide linker / Peptide liant / Péptido de unión

<sup>227</sup>GGGGSGGGSGGGG<sup>241</sup>

#### Post-translational modifications

Disulfide bridges location / Position des ponts disulfure / Posiciones de los puentes disulfuro

Intra Fab heavy-chain: 22-96, 145-201, 404-415, 702-716,  
 22"-96", 145"-201", 404"-415", 702"-716"

Inter light chain: 23"-93", 139"-199", 23""-93", 139""-199""

Inter Fab heavy chain-light chain: 221- 219, 221"- 219"

N-glycosylation sites / Sites de N-glycosylation / Posiciones de N-glicosilación  
 N262, N372, N485, N634, N262\*, N372\*, N485\*, N634\*

Oxidation sites / Sites de oxidation / Posiciones de oxidación

Posttranslationally generated catalytical oxidation site

IgG1 Fab heavy chain-hSGSH: C291 > formylglycine (fGly)

#### pritebegenum zepadenovecum #

pritebegene zepadenovec replication-deficient chimpanzee adenovirus vector (ChAdOx1-ΔE1 ΔE3 E4-modified), encoding a codon-optimized fusion protein containing multiple hepatitis B virus (HBV) antigens, comprising the HBV pre-core antigen, core antigen, a non-functional polymerase, a C-terminal fragment of the HBV Pre-S1 protein and the Pre-S2 protein, all preceded by a shark Invariant (SlI) chain sequence and separated by a self-cleaving foot-and-mouth virus F2A peptide sequence from the leader sequence of human tissue plasminogen activator, followed by an N-terminal fragment of the HBV Pre-S1 protein and the HBV surface antigen (HbSAg), under control of a human cytomegalovirus (CMV) promoter and a bovine growth hormone polyadenylation signal. The transgene is inserted in the deleted E1 region of the viral vector genome  
*gene therapy (immune response inducer, hepatitis B)*

#### pritébégène zépadénovec

vecteur d'adénovirus de chimpanzé déficient pour la réplication (modifié ChAdOx1-ΔE1 ΔE3 E4), qui code une protéine de fusion optimisée par codon contenant de multiples antigènes du virus de l'hépatite B (VHB), comprenant l'antigène du pré-core du VHB, l'antigène du core, une polymérase non fonctionnelle, un

fragment C-terminal de la protéine Pré-S1 du VHB, la protéine Pré-S2, tous précédés d'une séquence de la chaîne Invariante de requin (Sli) et séparés par la séquence peptidique auto-clivante F2A du virus de la fièvre aphteuse de la séquence de tête de l'activateur tissulaire humain du plasminogène, suivie d'un fragment N-terminal de la protéine Pré-S1 du VHB et de l'antigène de surface du VHB (HbSAg), sous contrôle du promoteur du cytomégavirus (CMV) humain et du signal de polyadenylation de l'hormone de croissance bovine. Le transgène est inséré dans la région E1 du génome du vecteur viral  
*thérapie génique (inducteur de réponse immunitaire, hépatite B)*

pritebegén zepadenovec

vector de adenovirus de chimpancé deficiente en replicación (ChAdOx1-ΔE1 ΔE3 E4 modificado) que codifica, con codones optimizados, para una proteína de fusión que contiene múltiples antígenos del virus de la hepatitis B (VHB), consta de el antígeno pre núcleo de VHB, antígeno del núcleo, una polimerasa no funcional, un fragmento C-terminal de la proteína Pre-S1 y la proteína Pre-S2, todos precedidos por una secuencia de la cadena Invariable de tiburón (Sli) y separados, mediante una secuencia peptídica F2A de auto-escisión del virus de la fiebre aftosa, de la secuencia líder del activador del plasminógeno tisular humano, un fragmento N-terminal de la proteína pre-S1 del VHB y el antígeno de superficie del VHB (HbSAg), bajo el control de un promotor del citomegalovirus (CMV) humano y una señal de poliadenilación de la hormona de crecimiento bovina. El transgén está insertado en la región delecionada E1 del genoma del vector viral  
*terapia génica (inductor de respuesta inmunitaria, hepatitis B)*

2857059-64-2

**progerininum**

progerinin

(7S)-8,8-dimethyl-7-{[(2E)-3-phenylprop-2-en-1-yl]oxy}-7,8-dihydro-2H,6H-benzo[1,2-b:5,4-b']dipyran-2-one  
*progerin-lamin A binding inhibitor*

progérinine

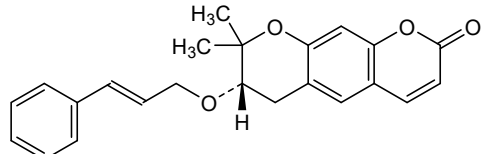
(7S)-8,8-diméthyl-7-{[(2E)-3-phénylprop-2-én-1-yl]oxy}-7,8-dihydro-2H,6H-benzo[1,2-b:5,4-b']dipyran-2-one  
*inhibiteur de liaison à la progérine-lamine A*

progerinina

(7S)-7-{[(2E)-3-fenilprop-2-en-1-il]oxi}-8,8-dimetil-7,8-dihidro-2H,6H-benzo[1,2-b:5,4-b']dipiran-2-ona  
*inhibidor de la fijación de la progerín-lamín A*

C<sub>23</sub>H<sub>22</sub>O<sub>4</sub>

2249696-72-6



**ranosidenibum**

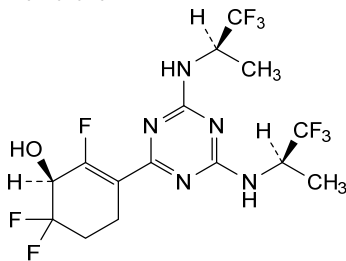
ranosidenib (1S)-3-(4,6-bis{[(2R)-1,1,1-trifluoropropan-2-yl]amino}-1,3,5-triazin-2-yl)-2,6,6-trifluorocyclohex-2-en-1-ol  
*isocitrate dehydrogenase (IDH) inhibitor, antineoplastic*

ranosidénib (1S)-3-(4,6-bis{[(2R)-1,1,1-trifluoropropan-2-yl]amino}-1,3,5-triazin-2-yl)-2,6,6-trifluorocyclohex-2-én-1-ol  
*inhibiteur de l'isocitrate déshydrogénase (IDH), antinéoplasique*

ranosidenib (1S)-3-(4,6-bis{[(2R)-1,1,1-trifluoropropan-2-yl]amino}-1,3,5-triazin-2-il)-2,6,6-trifluorociclohex-2-en-1-ol  
*inhibidor de la isocitrato deshidrogenasa (IDH), antineoplásico*



2301974-60-5

**recibokibartum #**

recibokibart immunoglobulin G1-kappa, anti-[*Homo sapiens* IL1RL2 (interleukin 1 receptor like 2, IL1 receptor-related protein 2, IL1Rrp2, IL1RRP2, IL-36 receptor, IL-36R)], humanized monoclonal antibody; H-gamma1 heavy chain humanized (1-448) [VH (*Homo sapiens*IGHV1-2\*06 (88.8%) -(IGHD) -IGHJ6\*01 (90.9%) T123>L (114), CDR-IMGT [8.8.12] (26-33.51-58.97-108)) (1-119) -*Homo sapiens*IGHG1\*03, G1m3, nG1m1 CH1 R120, CH3 E12, M14, G1v14 CH2 A1.3, A1.2 (CH1 R120 (216) (120-217), hinge 1-15 (218-232), CH2 L1.3>A (236), L1.2>A (237) (233-342), CH3 E12 (358), M14 (360) (343-447), CHS K2>del (448)) (120-448)], (222-215')-disulfide with L-kappa light chain humanized (1'-215') [V-KAPPA (*Homo sapiens*IGKV3-20\*01 (90.6%) -IGKJ2\*01 (100%), CDR-IMGT [7.3.9] (27'-33'.51'-53'.90'-98')) (1'-108') -*Homo sapiens*IGKC\*01 (100%) Km3 A45.1, V101 (C-KAPPA A45.1 (154'), V101 (192')) (109'-215')]; dimer (228-228".231-231")-bisdisulfide, produced in Chinese hamster ovary (CHO) cells, glycoform alfa *interleukin-36 receptor (IL-36R) blocker, anti-inflammatory*

## récibokibart

immunoglobuline G1-kappa, anti-[*Homo sapiens* IL1RL2 (interleukine 1 récepteur like 2, protéine 2 apparentée au récepteur de l'IL1, IL1Rrp2, IL1RRP2, récepteur de l'IL-36, IL-36R)]; anticorps monoclonal humanisé; chaîne lourde H-gamma1 humanisée (1-448) [VH (*Homo sapiens*IGHV1-2\*06 (88.8%) -(IGHD) -IGHJ6\*01 (90.9%) T123>L (114), CDR-IMGT [8.8.12] (26-33.51-58.97-108)) (1-119) -*Homo sapiens*IGHG1\*03, G1m3, nG1m1 CH1 R120, CH3 E12, M14, G1v14 CH2 A1.3, A1.2 (CH1 R120 (216) (120-217), charnière 1-15 (218-232), CH2 L1.3>A (236), L1.2>A (237) (233-342), CH3 E12 (358), M14 (360) (343-447), CHS K2>del (448)) (120-448)], (222-215')-disulfure avec la chaîne légère L-kappa humanisée (1'-215') [V-KAPPA (*Homo sapiens*IGKV3-20\*01 (90.6%) -IGKJ2\*02 (100%), CDR-IMGT [7.3.9] (27'-33'.51'-53'.90'-98')) (1'-108') -*Homo sapiens*IGKC\*01 (100%) Km3 A45.1, V101 (C-KAPPA A45.1 (154'), V101 (192')) (109'-215')]; dimère (228-228".231-231")-bisdisulfure, produit dans des cellules ovariennes de hamster chinois (CHO), glycoforme alfa bloqueur du récepteur de l'interleukine-36 (IL-36R), anti-inflammatoire

recibokibart inmunoglobulina G1-kappa, anti-[*Homo sapiens* IL1RL2 (interleukina 1 receptor like 2, proteína 2 parecida al receptor del IL1, IL1R<sub>P</sub>2, IL1RRP2, receptor de la IL-36, IL-36R)]; anticuerpo monoclonal humanizado; cadena pesada H-gamma1 humanizada (1-448) [VH (*Homo sapiens*IGHV1-2\*06 (88.8%) -(IGHD) -IGHJ6\*01 (90.9%) T123>L (114), CDR-IMGT [8.8.12] (26-33.51-58.97-108)) (1-119) -*Homo sapiens*IGHG1\*03, G1m3, nG1m1 CH1 R120, CH3 E12, M14, G1v14 CH2 A1.3, A1.2 (CH1 R120 (216) (120-217), bisagra 1-15 (218-232), CH2 L1.3>A (236), L1.2>A (237) (233-342), CH3 E12 (358), M14 (360) (343-447), CHS K2>del (448) (120-448)], (222-215')-disulfuro con la cadena ligera L-kappa humanizada (1'-215') [V-KAPPA (*Homo sapiens*IGKV3-20\*01 (90.6%) -IGKJ2\*02 (100%), CDR-IMGT [7.3.9] (27'-33'.51'-53'.90'-98')) (1'-108') -*Homo sapiens*IGKC\*01 (100%) Km3 A45.1, V101 (C-KAPPA A45.1 (154'), V101 (192')) (109'-215')]; dímero (228-228":231-231")-bisdisulfuro, producido en las células ováricas de hámster chino (CHO), forma glicosilada alfa  
*bloqueador del receptor de la interleuquina-36 (IL-36R), antiinflamatorio*

2744274-17-5

**Heavy chain / Chaîne lourde / Cadena pesada**

QVQLVQSGAE VKPPGASVKV SCKASGYTFT SSWMHWAKQA PGQGLEWIGE 50  
 IHPNSAKTNY NQKFQGRVTM TRDTSISTAY MELSRLRSDD TAVYYCARVD 100  
 YGKPWFAYWG QGTLTVTVSSA STKGPSVFPL APSSKSTSGG TAALGCLVKD 150  
 YFPEPVTVSW NSGALTSGVH TFTPAVLQSSG LYSLSSVVIV PSSSLGTQTY 200  
 ICNVNHKPSN TKVDKRVEPK SCDKHTCPP CPAFEAAGGP SVFLFPKPK 250  
 DTLMISRTPE VTCVVVDVSH EDPEVKFNWY VDGVEVHNAK TKPREEQYNS 300  
 TYRVSVSLTV LHQDWLNGKE YKCKVSNKAL PAPIEKTIK AKGQPREPQV 350  
 YTLPPSREEM TKNQVSLTCL VKGFYPSDIA VEWESNGQPE NNYKTPPPVL 400  
 DSDGSFFLYS KLTVDKSRWQ QGNVFSCCSVN HEALHNHYTQ KSLSLSPG 448

**Light chain / Chaîne légère / Cadena ligera**

QIVLTQSPGT LSLSPGERAT LSCRASSSVS SSYHLWYQQK PGQAPRLWIY 50  
 STSSRATGIP DRFGSGSGT DFLLTISRLE PEDFATYYCQ QFQSSPLTFG 100  
 QGKTLEIKRT VAAPSVFTFP PSDEQLKSGT ASVVCLNNF YPREAKVQWK 150  
 VDNALQSGNS QESVTEQDSK DSTYSLSSL TLSKADYEKH KVYACEVTHQ 200  
 GLSSPVTKSF NRGE 215

**Post-translational modifications**

Disulfide bridges location / Position des ponts disulfure / Posiciones de los puentes disulfuro  
 Intra-H (C23-C104) 22-96 146-202 263-323 369-427  
 22"-96" 146"-202" 263"-323" 369"-427"  
 Intra-L (C23-C104) 23"-89" 135"-195"  
 23""-89"" 135""-195""  
 Inter-H-L (h 5-CL 126) 222-215' 222"-215"  
 Inter-H-H (h 11, h 14) 228-228" 231-231"

**N-terminal glutaminyl cyclization / Cyclisation du glutaminyle N-terminal / Ciclación del glutaminilo N-terminal**

Q > pyroglutamyl (pE, 5-oxoprolyl) / pyroglutamyle (pE, 5-oxoprolyle) / piroglutamilo (pE, 5-oxoprolilo)  
 H VH Q1: 1, 1"  
 L VL V-LAMBDA Q1: 1', 1"

**N-glycosylation sites / Sites de N-glycosylation / Posiciones de N-glicosilación**  
 H CH2 N84.4: 299, 299"

Fucosylated complex bi-antennary CHO-type glycans / glycanes de type CHO bi-antennaires complexes fucosylés / glicanos de tipo CHO biantenarios complejos fucosilados

**relicpixant**

relicpixant

methyl (2S)-2-{{[7-chloro-2-(2,6-difluoro-4-sulfamoylphenyl)imidazo[1,2-a]pyridin-3-yl]methyl}morpholine-4-carboxylate  
purinoreceptor (*P2X*) antagonist

rélicpixant

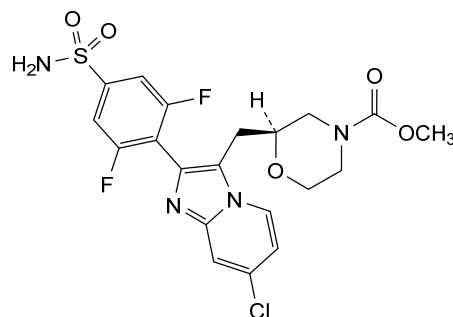
(2S)-2-{{[7-chloro-2-(2,6-difluoro-4-sulfamoylphényle)imidazo[1,2-a]pyridin-3-yl)méthyl]morpholine-4-carboxylate de méthyle  
antagoniste des purinorécepteurs (*P2X*)

relicpixant

(2S)-2-{{[7-cloro-2-(2,6-difluoro-4-sulfamoilfenil)imidazo[1,2-a]piridin-3-il]metil}morfolina-4-carboxilato de metilo  
antagonista del purinoreceptor (*P2X*)



2445366-94-7

**rememulgenum arelactibacum #**

rememulgène arelactibac

non-pathogenic, food-grade lactic acid bacterium *Lactococcus cremoris* (*L. cremoris*) strain AUC1000, *alr* deletion derivative of *L. cremoris* MG1363, transformed with a plasmid encoding the transgenes for (i) human colony stimulating factor 1 (CSF-1 isoform 3), (ii) human fibroblast growth factor 2 (FGF-2 isoform 3), and (iii) human interleukin 4 (IL-4 isoform-1) whose expression is controlled by a *gad* operon cassette comprising the *gadR* regulator gene and a *gadCB* regulatory region. Each of the three transgenes is optimised for expression in *L. cremoris* and is coupled to the *L. cremoris* Usp45 signal sequence preceded by a ribosome binding site derived from the *gadC* (CSF-1), *atpG* (FGF-2) and *lacA* (IL-4) genes of *L. cremoris*, respectively. The plasmid also contains an alanine racemase (*alr*) gene for plasmid selection  
*genetically modified bacteria (anti-inflammatory)*

réémulgène arélaactibac

bactérie lactique non pathogène de qualité alimentaire *Lactococcus cremoris* (*L. cremoris*), souche AUC1000, dérivée de *L. cremoris* MG1363 par délétion de *alr*, transformée avec un plasmide codant les transgènes pour (i) le facteur de stimulation des colonies de type 1 (CSF-1 isoforme 3) humain, (ii) le facteur de croissance des fibroblastes de type 2 (FGF-2 isoforme 3) humain, (iii) l'interleukine 4 humaine (IL-4 isoforme 1), dont l'expression est contrôlée par une cassette contenant le gène régulateur *gadR* et une région régulatrice *gadCB*. Chacun des trois transgènes est optimisé pour l'expression dans *L. cremoris*, et est couplé à la séquence signal

de *L. cremoris* Usp45, précédée d'un site de liaison ribosomique dérivé des gènes *gadC* (CSF-1), *atpG* (FGF-2) et *lacA* (IL-4) de *L. cremoris*, respectivement. Le plasmide contient également un gène de l'alanine racémase (*alr*) pour la sélection du plasmide *bactérie génétiquement modifiée (anti-inflammatoire)*

rememulgén arelactibac

bacteria del ácido láctico *Lactococcus cremoris* (*L. cremoris*) cepa AUC1000, de calidad alimentaria, no patogénica, derivada de *L. cremoris* MG1363 con la delección *alr*, transformada con un plásmido que codifica los transgenes para (i) factor estimulador de colonias 1 (CSF-1 isoforma 3) humano, (ii) factor de crecimiento de fibroblastos 2 (FGF-2 isoforma 3) humano, (iii) interleuquina 4 (IL-4 isoforma 1) humana, cuya expresión está controlada por un casete operón *gad* que consta del gen regulador *gadR* y una región reguladora *gadCB*. Cada uno de los tres transgenes está optimizado para su expresión por *L. cremoris* y está acoplado a la secuencia señal Usp45 de *L. cremoris* precedido por un sitio de unión a ribosoma derivado de los genes *gadC* (CSF-1), *atpG* (FGF-2) y *lacA* (IL-4) de *L. cremoris*, respectivamente. El plásmido también contiene un gen de alanina racemasa (*alr*) para la selección del plásmido *bacteria genéticamente modificada (antiinflamatorio)*

**remlifanserinum**

remlifanserin

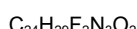
*N'*-{[4-(cyclopropoxy)phenyl]methyl}-*N*-[(2,4-difluorophenyl)methyl]-*N*-(1-methylpiperidin-4-yl)urea  
*serotonin receptor (5-HT2A) inverse agonist*

remlifansérine

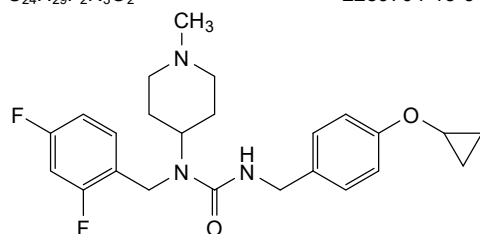
*N'*-{[4-(cyclopropoxy)phényl]méthyl}-*N*-[(2,4-difluorophényl)méthyl]-*N*-(1-méthylpipéridin-4-yl)urée  
*agoniste inverse du récepteur de la sérotonine (5-HT2A)*

remlifanserina

*N'*-{[4-(ciclopropoxi)fenil]metil}-*N*-[(2,4-difluorofenil)metil]-*N*-(1-metilpiperidin-4-il)urea  
*agonista inverso del receptor de serotonina (5-HT2A)*



2289704-13-6



**remzistotugum #**

remzistotug

immunoglobulin G1-kappa, anti-[*Homo sapiens* PVRIG (poliovirus receptor (PVR) related immunoglobulin domain containing, NECTIN2 receptor, CD112 receptor, CD112R)], *Homo sapiens* monoclonal antibody; H-gamma1 heavy chain *Homo sapiens* (1-453) [VH (*Homo sapiens*IGHV1-69\*10 (95.9%) -(IGHD)-IGHJ5\*02 (100%), CDR-IMGT [8.8.16] (26-33.51-58.97-112)) (1-123) -*Homo sapiens*IGHG1\*01 (100%) G1m17,1 CH1 K120, CH3 D12, L14 (CH1 K120 (220) (124-221), hinge 1-15 (222-236), CH2 (237-346), CH3 D12 (362), L14 (364) (347-451), CHS (452-453)) (124-453)], (226-213')-disulfide with L-kappa light chain *Homo sapiens* (1'-213') [V-KAPPA (*Homo sapiens*IGKV1-39\*01 (100%) -IGKJ4\*01 (100%), CDR-IMGT [6.3.8] (27-32'.50'.52'.89'.96')) (1'-106') -*Homo sapiens*IGKC\*01 (100%) Km3 A45.1, V101 (C-KAPPA A45.1 (152'), V101 (190')) (107'-213')]; dimer (232-232":235-235")-bisdisulfide, produced in Chinese hamster ovary (CHO) cells, cell line CHO-K1, glycoform alfa *immunostimulant, antineoplastic*

remzistotug

immunoglobuline G1-kappa, anti-[*Homo sapiens* PVRIG (apparenté au récepteur du poliovirus (PVR) contenant un domaine immunoglobuline, récepteur de NECTIN2, CD112 récepteur, CD112R)], anticorps monoclonal *Homo sapiens*; chaîne lourde H-gamma1 *Homo sapiens* (1-453) [VH (*Homo sapiens*IGHV1-69\*10 (95.9%) -(IGHD)-IGHJ5\*02 (100%), CDR-IMGT [8.8.16] (26-33.51-58.97-112)) (1-123) -*Homo sapiens*IGHG1\*01 (100%) G1m17,1 CH1 K120, CH3 D12, L14 (CH1 K120 (220) (124-221), charnière 1-15 (222-236), CH2 (237-346), CH3 D12 (362), L14 (364) (347-451), CHS (452-453)) (124-453)], (226-213')- disulfure avec la chaîne légère L-kappa *Homo sapiens* (1'-213') [V-KAPPA (*Homo sapiens*IGKV1-39\*01 (100%) -IGKJ4\*01 (100%), CDR-IMGT [6.3.8] (27'-32'.50'.52'.89'.96')) (1'-106') -*Homo sapiens*IGKC\*01 (100%) Km3 A45.1, V101 (C-KAPPA A45.1 (152'), V101 (190')) (107'-213')]; dimère (232-232":235-235")-bisdisulfure, produit dans des cellules ovarianes de hamster chinois (CHO), lignée cellulaire CHO-K1, glycoforme alfa *immunostimulant, antinéoplastique*

remzistotug

inmunoglobulina G1-kappa, anti-[*Homo sapiens* PVRIG (relacionado con el receptor del poliovirus (PVR) que contiene un dominio inmunoglobulina, receptor de NECTIN2, CD112 receptor, CD112R)], anticuerpo monoclonal *Homo sapiens*; cadena pesada H-gamma1 *Homo sapiens* (1-453) [VH (*Homo sapiens*IGHV1-69\*10 (95.9%) -(IGHD)-IGHJ5\*02 (100%), CDR-IMGT [8.8.16] (26-33.51-58.97-112)) (1-123) -*Homo sapiens*IGHG1\*01 (100%) G1m17,1 CH1 K120, CH3 D12, L14 (CH1 K120 (220) (124-221), bisagra 1-15 (222-236), CH2 (237-346), CH3 D12 (362), L14 (364) (347-451), CHS (452-453)) (124-453)], (226-213')- disulfuro con la cadena ligera L-kappa *Homo sapiens* (1'-213') [V-KAPPA (*Homo sapiens*IGKV1-39\*01 (100%) -IGKJ4\*01 (100%), CDR-IMGT [6.3.8] (27'-32'.50'.52'.89'.96')) (1'-106') -*Homo sapiens*IGKC\*01 (100%) Km3 A45.1, V101 (C-KAPPA A45.1 (152'), V101 (190')) (107'-213')]; dímero (232-232":235-235")-bisdisulfuro, producido en las células ováricas de hámster chino (CHO), línea celular CHO-K1, forma glicosilada alfa *inmunoestimulante, antineoplásico*

2920425-39-2

**Heavy chain / Chaîne lourde / Cadena pesada**  
 QVQLVQSGAE VKPKGSSVKV SCKASGGTS SAAISWVRQA PGQQGLEWMGN 50  
 IIPIVQGANY A9KFGQRVTI TADESTSTAY MELSSLRSED TAVYYCARDT 100  
 GRGYTRHFWF DPWGQGTLVT VSSASTKGPS VFPLAPSSKS TSGGTAAALGC 150  
 LVKDYPPEPV TVSWNSGALT SGVHTFFPAVL QSSGLYSLSS VTVTPSSSLG 200  
 TQTYICNVNH KPSNTKVDKK VEPKSCDKTH TCPCCPAPEL LGGPPSVFLFP 250  
 PKPKDTLMIS RTPEVTCVVV DVSHEDPEVK FWNYVVGVEV HNAKTKPREE 300  
 QYNSTYRVS VLTVLHQDWL NGKEYKCKVS NKALPAPIEK TISKAKGQPR 350  
 EPQVYTLPPS RDELTKNQVS LTCLVKGFYP SDIAVEWESN GQPENNYKTT 400  
 PPVLDSDGSF FLYSKLTVDK SRWQQGNVFS CSVMHEALHN HYTQKSLSL 450  
 PGK 453

**Light chain / Chaîne légère / Cadena ligera**  
 DIQMTQSPSS LSASVGRVT ITCRASQSIS SYLNWYQQKP GKAPKLLIYA 50  
 ASSLQSGVFS RFSGSGSTD FTLLTISSLQP EDFATYYCQQ SDILYTFGGG 100  
 TKVEIKRTVA APSVFIFPPS DEQLKSGTAS VVCLLNNFYP REAKVQWKVD 150  
 NALQSGNSQE SVTEQDSKDS TYSLSSLTTL SKADYEKHKV YACEVTHQGL 200  
 SSEVTKSFNR GEC 213

**Post-translational modifications**

Disulfide bridges location / Position des ponts disulfure / Posiciones de los puentes disulfuro

Intra-H (C23-C104) 22-96 150-206 267-327 373-431  
22"-96" 150"-206" 267"-327" 373"-431"Intra-L (C23-C104) 23"-88' 133"-193'  
23"-88" 133"-193"

Inter-H-L (h 5-CL 126) 226-213' 226"-213"

Inter-H-H (h 11, h 14) 232-232" 235-235"

N-terminal glutaminyl cyclization / Cyclisation du glutaminyle N-terminal / Ciclación del glutaminiilo N-terminal  
 Q > pyroglutamyl (pE, 5-oxopropyl) / pyroglutamyle (pE, 5-oxopropyle) / piroglutamilo (pE, 5-oxopropilo)  
 H VH Q1: 1, 1"

N-glycosylation sites / Sites de N-glycosylation / Posiciones de N-glicosilación

H CH2 N84.4: 303, 303"

Fucosylated complex bi-antennary CHO-type glycans / glycanes de type CHO bi-antennaires complexes fucosylés / glicanos de tipo CHO biantenarios complejos fucosilados

C-terminal lysine clipping / Coupe de la lysine C-terminale / Recorte de lisina C-terminal  
 H CHS K2: 453, 453"

**repinatrabitum**

repinatrabit

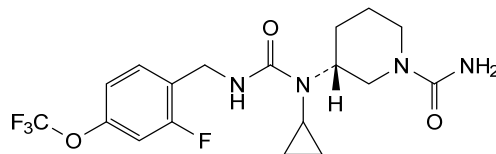
(3*R*)-3-[cyclopropyl({[2-fluoro-4-(trifluoromethoxy)phenyl]methyl}carbamoyl)amino]piperidine-1-carboxamide  
*solute carrier family 6 member 19 (SLC6A19) inhibitor (phenylketonuria)*

**répinatrabit**

(3*R*)-3-[cyclopropyl({[2-fluoro-4-(trifluorométhoxy)phényl]méthyl}carbamoyl)amino]pipéridine-1-carboxamide  
*inhibiteur de la famille 6 des transporteurs de solutés, membre 19 (SLC6A19) (phénylcétoneurie)*

**repinatrabit**

(3*R*)-3-(*N*-ciclopropil({[2-fluoro-4-(trifluorometoxi)fenil]metil}carbamoyl)amino)piperidina-1-carboxamida  
*inhibidor del miembro 19 de la familia 6 de portadores de solutos (SLC6A19) (fnilcetonuria)*

**resecabtagenum autoleucel**

resécabtagène autoleucel

autologous T lymphocytes derived from peripheral blood mononuclear cells obtained by leukapheresis, transduced with a self-inactivating, non-replicating lentiviral vector encoding a chimeric antigen receptor (CAR) targeting CD19. The expressed transgene comprises a CD8α signal peptide, an anti-CD19 humanised single chain variable fragment (scFv) (clone IC78), a CD8α hinge and transmembrane region, and a 4-1BB co-stimulatory domain and CD3ζ signalling domain, under control of the elongation factor-1 alpha (EF-1α) promoter. The construct is flanked by 5' and 3' long terminal repeats (LTRs) and also contains an HIV-1 ψ packaging signal, part of the HIV-1 *gag* and *env* genes, a Rev response element (RRE), a central polypyrimidine tract/central termination sequence (cPPT/CTS), a Woodchuck hepatitis virus posttranscriptional regulatory element (WPRE) and the *nef* gene. The vector is pseudotyped with vesicular stomatitis virus (VSV) glycoprotein G. The leukapheresis material is enriched for CD4+/CD8+ T lymphocytes by positive immunoselection, activated by CD3 and CD28 agonists and transduced with the lentiviral vector. The cells are then expanded in media supplemented with serum replacement and interleukin 2 (IL-2). The cell suspension consists of T lymphocytes ( $\geq 80\%$ ) with greater than 10% of the T lymphocytes expressing the CAR transgene, other cell types (expressing CD16, CD14 and CD19) are present at  $\leq 20\%$ , and memory T lymphocyte subsets are phenotypically determined. The cells exhibit cytotoxicity towards CD19 expressing B lymphocytes upon co-culture  
*cell-based gene therapy (anti-inflammatory)*

résécabtagène autoleucel

lymphocytes autologues dérivés de cellules mononucléées du sang périphérique (CMSP) obtenues par leucaphérèse, transduits avec un vecteur lentiviral auto-inactivant et non répliquatif codant un récepteur antigénique chimérique (CAR), qui cible le CD19. Le transgène exprimé comprend un peptide signal CD8α, un fragment variable à chaîne unique (scFv) humanisée anti-CD19 (clone IC78), une région charnière et transmembranaire CD8α, un domaine co-stimulant 4-1BB et un domaine de signalisation CD3ζ, sous contrôle du promoteur du facteur d'elongation-1 alpha (EF-1α). La construction est flanquée, en 5' et 3', de répétitions terminales longues (LTR) et contient également un signal d'encapsidation ψ, une partie des gènes *gag* et *env* du virus de l'immunodéficience humaine (VIH), un élément de réponse Rev (RRE), une séquence centrale du tractus polypyrimidine (cPPT)/centrale de terminaison (CTS), et un élément régulateur posttranscriptionnel du virus de l'hépatite de la marmotte (WPRE) et le gène *nef*. Le vecteur est pseudotypé avec la glycoprotéine G du virus de la stomatite vésiculaire (VSV).

Le matériel de leucaphérèse est enrichi en lymphocytes T CD4+/CD8+ par immuno-sélection positive, activé par les antagonistes CD3 et CD28, et transduit avec le vecteur lentiviral. Les cellules sont ensuite mises en expansion dans un milieu supplémenté avec un substitut de sérum, et de l'interleukine-2 (IL-2). La suspension cellulaire est constituée de lymphocytes T ( $\geq 80\%$ ), avec plus de 10% de lymphocytes T exprimant le transgène CAR, d'autres types cellulaires (exprimant CD16, CD14 et CD19) sont présents à  $\leq 20\%$ , et des sous-ensembles de lymphocytes T à mémoire sont déterminés phénotypiquement. Les cellules montrent une cytotoxicité vis-à-vis les lymphocytes B exprimant CD19, lors d'une coculture *thérapie génique à base de cellules (anti-inflammatoire)*

#### resecabtagén autoleucel

linfocitos T autólogos derivados de células mononucleares de sangre periférica obtenidas por leucoaféresis, transducidos con un vector lentiviral auto inactivante, no replicativo, que codifica para un receptor de antígenos químérico (CAR) dirigido a CD19.

El transgén expresado consta de un péptido señal de CD8α, un fragmento variable de cadena sencilla (scFv) humanizado anti-CD19 (clón IC78), una región bisagra y transmembrana de CD8α, un dominio coestimulador de 4-1BB y un dominio de señalización de CD3ζ, bajo el control del promotor del factor de elongación-1 alfa (EF-1α). El constructo está flanqueado por repeticiones terminales largas (LTRs) en 5' y 3' y también contiene una señal de empaquetamiento ψ del HIV-1, parte de los genes *gag* y *env* del HIV, un elemento de respuesta Rev (RRE), una secuencia de tracto de poli-purina/terminación central (cPPT/CTS), un elemento regulador post-transcripcional del virus de la hepatitis de la marmota (WPRE) y el gen *nef*. El vector está seudotipado con la glicoproteína G del virus de la estomatitis vesicular (VSV).

El material de leucoaféresis se enriquece en linfocitos T CD4+/CD8+ mediante inmunoselección positiva, se activa mediante agonistas de CD3 y CD28 y se transduce con el vector lentiviral. Las células después se expanden en medio suplementado con substituto de suero e interleuquina 2 (IL-2). La suspensión celular consiste en linfocitos T ( $\geq 80\%$ ), con más del 10% de los linfocitos T que expresan el transgén del CAR, otros tipos celulares (que expresan CD16, CD14 y CD19) están presentes en  $\leq 20\%$  y los subtipos de linfocitos T de memoria se determinan fenotípicamente. Las células muestran citotoxicidad hacia linfocitos B que expresan CD19 cuando se co-cultivan *terapia génica basada en células (antiinflamatorio)*

#### ribitolum

ribitol

*meso*-ribitol

*substrate for glycosylation of alpha-dystroglycan*

#### ribitol

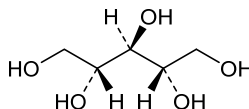
*méso*-ribitol

*substrat pour la glycosylation de l'alpha-dystroglycane*

#### ribitol

*meso*-ribitol

*sustrato para la glucosilación del alfa-distroglucano*

**rilogrotug #**

rilogrotug

immunoglobulin G1-kappa, anti-[*Homo sapiens* GDF15 (growth differentiation factor 15, macrophage inhibitory cytokine-1, MIC-1, MIC1, non-steroidal anti-inflammatory drug (NSAID)-activated gene-1, NAG-1, NSAID-regulated gene 1, NRG-1, prostate differentiation factor, PDF, placental TGF beta, PTGFB)], humanized monoclonal antibody; H-gamma1 heavy chain humanized (1-450) [VH (*Homo sapiens*IGHV1-69\*02 (83.7%) -(IGHD) - IGHJ4\*01 (100%), CDR-IMGT [8.8.13] (26-33.51-58.97-109)) (1-120) -*Homo sapiens*IGHG1\*03 (100%) G1m3, nG1m1 CH1 R120, CH3 E12, M14 (CH1 R120 (217) (121-218), hinge 1-15 (219-233), CH2 (234-343), CH3 E12 (359), M14 (361) (344-448), CHS (449-450)) (121-450)], (223-214')-disulfide with L-kappa light chain humanized (1'-214') [V-KAPPA (*Homo sapiens* IGKV1-NL1\*01 (83.2%) -IGKJ2\*01 (100%), CDR-IMGT [6.3.9] (27'-32'.50'-52'.89'-97')) (1'-107') -*Homo sapiens* IGKC\*01 (100%) Km3 A45.1, V101 (C-KAPPA A45.1 (153'), V101 (191')) (108'-214')]; dimer (229-229":232-232")-bisdisulfide, produced in Chinese hamster ovary (CHO) cells, cell line CHO-K1, glycoform alfa human growth differentiation factor-15 (GDF15) blocker

rilogrotug

immunoglobuline G1-kappa, anti-[*Homo sapiens* GDF15 (facteur de croissance et différenciation 15, cytokine-1 inhibitrice des macrophages, MIC-1, MIC1, gène 1 activé par les anti-inflammatoires non stéroïdiens (AINS), NAG-1, gène 1 régulé par les AINS, NRG-1, facteur de différenciation de la prostate, PDF, TGF bêta placentaire, PTGFB)], anticorps monoclonal humanisé; chaîne lourde H-gamma1 humanisée (1-450) [VH (*Homo sapiens*IGHV1-69\*02 (83.7%) -(IGHD) - IGHJ4\*01 (100%), CDR-IMGT [8.8.13] (26-33.51-58.97-109)) (1-120) -*Homo sapiens*IGHG1\*03 (100%) G1m3, nG1m1 CH1 R120, CH3 E12, M14 (CH1 R120 (217) (121-218), charnière 1-15 (219-233), CH2 (234-343), CH3 E12 (359), M14 (361) (344-448), CHS (449-450)) (121-450)], (223-214')-disulfure avec la chaîne légère L-kappa humanisée (1'-214') [V-KAPPA (*Homo sapiens* IGKV1-NL1\*01 (83.2%) -IGKJ2\*01 (100%), CDR-IMGT [6.3.9] (27'-32'.50'-52'.89'-97')) (1'-107') -*Homo sapiens* IGKC\*01 (100%) Km3 A45.1, V101 (C-KAPPA A45.1 (153'), V101 (191')) (108'-214')]; dimère (229-229":232-232")-bisdisulfure, produit dans des cellules ovarianes de hamster chinois (CHO), lignée cellulaire CHO-K1, glycoforme alfa bloqueur du facteur de différenciation de la croissance humaine 15 (GDF15)

rilogrotug inmunoglobulina G1-kappa, anti-[*Homo sapiens* GDF15 (factor de crecimiento y diferenciación 15, citoquina-1 inhibidora de los macrófagos, MIC-1, MIC1, gen 1 activado por los antiinflamatorios no esteroideos (AINES), NAG-1, gen 1 regulado por los AINES, NRG-1, factor de diferenciación de la próstata, PDF, TGF beta placentaria, PTGFB)], anticuerpo monoclonal humanizado; cadena pesada H-gamma1 humanizada (1-450) [VH (*Homo sapiens* IGHV1-69\*02 (83.7%) -(IGHD) -IGHJ4\*01 (100%), CDR-IMGT [8.8.13] (26-33.51-58.97-109)] (1-120) -*Homo sapiens* IGHG1\*03 (100%) G1m3, nG1m1 CH1 R120, CH3 E12, M14 (CH1 R120 (217) (121-218), bisagra 1-15 (219-233), CH2 (234-343), CH3 E12 (359), M14 (361) (344-448), CHS (449-450)) (121-450)], (223-214')-disulfuro con la cadena ligera L-kappa humanizada (1'-214') [V-KAPPA (*Homo sapiens* IGKV1-NL1\*01 (83.2%) -IGKJ2\*01 (100%), CDR-IMGT [6.3.9] (27'-32'.50'-52'.89'-97')] (1'-107') -*Homo sapiens* IGKC\*01 (100%) Km3 A45.1, V101 (C-KAPPA A45.1 (153'), V101 (191')) (108'-214')]; dímero (229-229":232-232")-bisulfuro, producido en las células ováricas de hámster chino (CHO), línea celular CHO-K1, forma glicosilada alfa bloqueador del factor-15 de diferenciación de crecimiento humano (GDF-15)

2894138-72-6

Heavy chain / Chaîne lourde / Cadena pesada

QVQLVQSGAE VKPGSSVKV SCKASCYTF S DYNMDWVRQA PGQGLEWMQ 50  
 INPNNGLIF NQFKGRVTI TADKSTSTAY MELSSLRSED TAVYYCAREA 100  
 ITTVGAMDYW GQGTLTVSS ASTKGPSVFP LAPSSKSTSG GTAALGCLVK 150  
 DYFPEPVTVS WNSGALTSGV HTFPAVLQSS GLYSLLSVTT VPSSSLGTQT 200  
 YICCNVNHKPS NTKVDKRVEP KSCDKTHTCP PCPAPELLGG PSVFLFPKPK 250  
 KDTLMISRTP EVTCCVVVDVS HEDPEVKFNW YVDGVEVHNA KTKPREEQYN 300  
 STYRVSVSLT VLHQDWLNKG EYCKCVSNKA LPAPIEKTTIS KAKGQPREPQ 350  
 VYTLPSSREE MTKNQVSLTC LVKGFYPSLTC AWEWESNGQP ENNYKTTPPV 400  
 LDSDGSFFLY SKLTVDKSRW QQGNVFSCSV MHEALHNHYT QKSLSLSPKG 450

Light chain / Chaîne légère / Cadena ligera

DIQMTQSESS LSASVGDRVT ITCRTSENHL NYLAWYQQK P GKAKPLLIYD 50  
 AKTIADGVPS RFSGSGSGTD YTLLTISSLQP EDFATYYCQH FWSSPYTFQG 100  
 GTKLEIKRTV AAEPVVFPPP SDEQLKSGTA SVVCLNNFY PREAKVQWKV 150  
 DNALQSGNSQ ESVTEQDSKD STYSLSSTLT LSKADYEKHK VYACEVTHQG 200  
 LSSPVTKSFN RGEC 214

**Post-translational modifications**

Disulfide bridges location / Position des ponts disulfure / Posiciones de los puentes disulfuro  
 Intra-H (C23-C104) 22"-96" 147"-203" 264"-324" 370"-428"  
 22"-96" 147"-203" 264"-324" 370"-428"  
 Intra-L (C23-C104) 23"-88" 134"-194"  
 23"-88" 134"-194"  
 Inter-H-L (h 5-CL 126) 223"-214" 223"-214"  
 Inter-H-H (h 11, h 14) 229-229" 232-232"

N-terminal glutaminyl cyclization / Cyclisation du glutaminyle N-terminal / Ciclación del glutaminilo N-terminal  
 Q > pyroglutamyl (pE, 5-oxoprolyl) / pyroglutamyle (pE, 5-oxoprolyle) / piroglutamilo (pE, 5-oxoprolilo)  
 H VH Q1: 1, 1"

N-glycosylation sites / Sites de N-glycosylation / Posiciones de N-glicosilación  
 H CH2 N84.4: 300, 300"  
 Fucosylated complex bi-antennary CHO-type glycans / glycanes de type CHO bi-antennaires complexes fucosylés / glicanos de tipo CHO biantenarios complejos fucosilados

C-terminal lysine clipping / Coupure de la lysine C-terminale / Recorte de lisina C-terminal  
 H CHS K2: 450, 450"

**rivasteratum**

rivasterat

methyl (20E)-3 $\beta$ -[(4,6-di-O-acetyl-2,3-dideoxy- $\alpha$ -D-*erythro*-hex-2-enopyranosyl)oxy]-27-norcholesta-5,20(22)-dien-26-oate  
*cholesterol-derived steroid, anti-inflammatory*

rivastérat

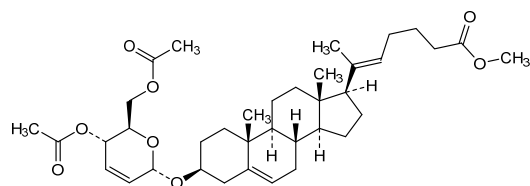
(20E)-3 $\beta$ -[(4,6-di-O-acetyl-2,3-dideoxy- $\alpha$ -D-*erythro*-hex-2-énopyranosyl)oxy]-27-norcholesta-5,20(22)-dien-26-oate de méthyle  
*stéroïde dérivé du cholestérol, anti-inflammatoire*

rivasterat

(20E)-3 $\beta$ -[(4,6-di-O-acetyl-2,3-didesoxi- $\alpha$ -D-*eritro*-hex-2-enopyranosyl)oxy]-27-norcholesta-5,20(22)-dien-26-oato de metilo  
*esteróide derivado del colesterol, antiinflamatorio*



2446590-96-9

**rosolutamidum**

rosolutamide

(1E,6E)-4-(cyclobutylmethyl)-1,7-bis(3,4-dimethoxyphenyl)hepta-1,6-diene-3,5-dione  
*antiandrogen*

rosolutamide

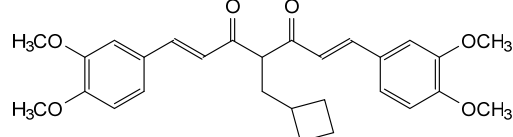
(1E,6E)-4-(cyclobutylmethyl)-1,7-bis(3,4-diméthoxyphényl)hepta-1,6-diène-3,5-dione  
*antiandrogène*

rosolutamida

(1E,6E)-4-(ciclobutilmetil)-1,7-bis(3,4-dimetoxifenil)hepta-1,6-dieno-3,5-diona  
*antiandrógeno*



1039760-91-2

**ruxoprubartum #**

ruxoprbart

immunoglobulin G1-kappa, anti-[*Homo sapiens* CFB (complement factor B, B-factor properdin, properdin factor B, properdin B, BFD, BF) activated (Bb)],

	H-gamma1 heavy chain (1-451) [VH Musmus/Homsap ( <i>Mus musculus</i> ) IGHV1-7*02 (90.8%) -(IGHD) -IGHJ4*01 (93.3%) -S123>L (116)/ <i>Homo sapiens</i> IGHV1-46*01 (74.5%) -(IGHD) -IGHJ4*01 (100%), CDR-IMGT [8.8.14] (26-33.51-58.97-110)) (1-121) - <i>Homo sapiens</i> IGHG1*01, G1m17,1 CH1 K120, CH3 D12, L14, G1v29 CH2 A84.4 (CH1 K120 (218) (122-219), hinge 1-15 (220-234), CH2 N84.4>A (301) (235-344), CH3 D12 (360), L14 (362) (345-449), CHS (450-451)) (122-451)], (224-214')-disulfide with L-kappa light chain (1'-214') [V-KAPPA Musmus/Homsap ( <i>Mus musculus</i> ) IGKV16-104*01 (90.6%) -IGKJ2*03 (90.9%) S120>Q (100')/ <i>Homo sapiens</i> IGKV1-9*01 (78.9%) -IGKJ2*02 (100%), CDR-IMGT [6.3.9] (27'-32'.50'-52'.89'-97') (1'-107') - <i>Homo sapiens</i> IGKC*01 (100%) Km3 A45.1, V101 (C-KAPPA A45.1 (153'), V101 (191')) (108'-214')]; dimer (230-230":233-233")-bisdisulfide, produced in Chinese hamster ovary (CHO) cells, non-glycosylated <i>complement factor Bb blocker, immunosuppressant</i>
ruxoprabart	immunoglobuline G1-kappa, anti-[ <i>Homo sapiens</i> CFB (facteur B du complément, properdine B-facteur, properdine facteur B, properdine B, BFD, BF) activé (Bb)]; chaîne lourde H-gamma1 (1-451) [VH Musmus/Homsap ( <i>Mus musculus</i> ) IGHV1-7*02 (90.8%) -(IGHD) -IGHJ4*01 (93.3%) -S123>L (116)/ <i>Homo sapiens</i> IGHV1-46*01 (74.5%) -(IGHD) -IGHJ4*01 (100%), CDR-IMGT [8.8.14] (26-33.51-58.97-110)) (1-121) - <i>Homo sapiens</i> IGHG1*01, G1m17,1 CH1 K120, CH3 D12, L14, G1v29 CH2 A84.4 (CH1 K120 (218) (122-219), charnière 1-15 (220-234), CH2 N84.4>A (301) (235-344), CH3 D12 (360), L14 (362) (345-449), CHS (450-451)) (122-451)], (224-214')-disulfure avec la chaîne légère L-kappa (1'-214') [V-KAPPA Musmus/Homsap ( <i>Mus musculus</i> ) IGKV16-104*01 (90.6%) -IGKJ2*03 (90.9%) S120>Q (100')/ <i>Homo sapiens</i> IGKV1-9*01 (78.9%) -IGKJ2*02 (100%), CDR-IMGT [6.3.9] (27'-32'.50'-52'.89'-97') (1'-107') - <i>Homo sapiens</i> IGKC*01 (100%) Km3 A45.1, V101 (C-KAPPA A45.1 (153'), V101 (191')) (108'-214')]; dimère (230-230":233-233")-bisdisulfure, produit dans des cellules ovarianes de hamster chinois (CHO), non-glycosylé <i>bloqueur du facteur complémentaire Bb, immunosupresseur</i>
ruxoprabart	inmunoglobulina G1-kappa, anti-[ <i>Homo sapiens</i> CFB (factor B del complemento, properdina B-factor, properdina factor B, properdina B, BFD, BF) activado (Bb)]; cadena pesada H-gamma1 (1-451) [VH Musmus/Homsap ( <i>Mus musculus</i> ) IGHV1-7*02 (90.8%) -(IGHD) -IGHJ4*01 (93.3%) -S123>L (116)/ <i>Homo sapiens</i> IGHV1-46*01 (74.5%) -(IGHD) -IGHJ4*01 (100%), CDR-IMGT [8.8.14] (26-33.51-58.97-110)) (1-121) - <i>Homo sapiens</i> IGHG1*01, G1m17,1 CH1 K120, CH3 D12, L14, G1v29 CH2 A84.4 (CH1 K120 (218) (122-219), bisagra 1-15 (220-234), CH2 N84.4>A (301) (235-344), CH3 D12 (360), L14 (362) (345-449), CHS (450-451)) (122-451)], (224-214')-disulfuro con la cadena ligera L-kappa (1'-214') [V-KAPPA Musmus/Homsap ( <i>Mus musculus</i> ) IGKV16-104*01 (90.6%) -IGKJ2*03 (90.9%) S120>Q (100')/ <i>Homo sapiens</i> IGKV1-9*01 (78.9%) -IGKJ2*02 (100%), CDR-IMGT [6.3.9] (27'-32'.50'-52'.89'-97') (1'-107') - <i>Homo sapiens</i> IGKC*01 (100%) Km3 A45.1, V101 (C-KAPPA A45.1 (153'), V101 (191')) (108'-214')]; dímero (230-230":233-233")-bisdisulfuro, producido en las células ováricas de hámster chino (CHO), no glicosilado <i>bloqueador del factor Bb del complemento (Bb), inmunosupresor</i>

2842046-67-5

**Heavy chain / Chaîne lourde / Cadena pesada**

QVQLVQSGAE VAKPGASVKM SCKASGYTFT NYWIHWVKQR PGQGLEWIGY 50  
 INPNPTYNDY NQKFKDKATL TADKSSSTVY MQLSSLTSED TAVYYCARGG 100  
 QLGLRRAMDY WGQGTLVTVS SASTKGPSVF PLAPSSKSTS GGTAAALGCLV 150  
 KDYFPEPVTV SWNSGALTSG VHTFPAVLQS SGLYSLSSVV TVPSSSLGTQ 200  
 TYICNVNHPK SNTKVDKKVE PKSCDKTHTC PPCPAPELLG GPSPVFLFPPK 250  
 FKDTLMISRT PEVTVVVVDV SHEDPEVKFN WYVGVEVHN AKTKPREEQY 300  
 ASTYRVSVSL TVLHQDWLNG KEYCKVSNNE ALAPAPIEKTII SKAKGQREP 350  
 QVYTLPPSRD ELTKNQVSLT CLVKGFYPSD IAEWESENQ PENNYKTTTP 400  
 VLSDSDGSFFL YSKLTVDKSR WQQGNVFSCS VMHEALHNHY TQKSLSLSPG 450  
 K 451

**Light chain / Chaîne légère / Cadena ligera**

DVQITQSPSY LSASPGDTIT ITCRASKSIS KYLAWYQDKP GKTNKLLIYS 50  
 GSTLQSGIPs RFSGSGSGTE FTLTISSLQP DDFAMYYCQQ HDEYPWTFGQ 100  
 GTKLEIKRTV AAPSVFIFPP SDEQLKSGTA SVVCLLNNFY PREAKVQWKV 150  
 DNALQSGNSQ ESVTEQDSKD STYSLSSTLT LSKADYEKHK VYACEVTHQG 200  
 LSPPVTKSFn RGEC 214

**Post-translational modifications**

Disulfide bridges location / Position des ponts disulfure / Posiciones de los puentes disulfuro  
 Intra-H (C23-C104) 22-96 148-204 265-325 371-429  
 22"-96" 148"-204" 265"-325" 371"-429"  
 Intra-L (C23-C104) 23"-88' 134"-194'  
 23"-88" 134"-194"  
 Inter-H-L (h 5-Cl 126) 224-214' 224"-214"  
 Inter-H-H (h 11, h 14) 230-230" 233-233"

N-terminal glutaminyl cyclization / Cyclisation du glutaminyle N-terminal / Ciclación del glutaminilo N-terminal

Q≥ pyroglutamyl (pE, 5-oxoprolyl) / pyroglutamyle (pE, 5-oxoprolyle) / piroglutamilo (pE, 5-oxoprolilo)  
 HVH Q1: 1, 1"

No N-glycosylation sites / pas de sites de N-glycosylation / ningùm posición de N-glycosilación  
 H CH2 N84.4>A (G1v29): 301, 301"

C-terminal lysine clipping / Coupure de la lysine C-terminale / Recorte de lisina C-terminal  
 H CHS K2: 451, 451"

**safimestomigum #**

safimestomig

immunoglobulin G4-kappa, anti-[*Homo sapiens* CD47 (CD47 molecule, integrin associated protein, IAP, MER6, OA3)] and anti-[*Homo sapiens* CD274 (programmed cell death 1 ligand 1, PDL1, PD-L1, B7 homolog 1, B7H1, B7-H1, PDCD1LG1)], humanized monoclonal antibody, bispecific, bivalent; H-gamma4 heavy chain anti-CD47 humanized (1-451) [VH (*Homo sapiens*IGHV1-3\*01 (85.7%) -(IGHD) -IGHJ4\*01 (92.9%), CDR-IMGT [8.8.17] (26-33.51-58.97-113)) (1-124)-*Homo sapiens*IGHG4\*01 nG4m(a) CH2 L92, G4v5 h P10, G4v6 CH3 K88, G4v11CH1 Q100, CH2 Y84.3, G4v12 CH3 K12, R115 (CH1 K100>Q (203) (125-222), hinge 1-12 S10>P (232) (223-234), CH2 F84.3>Y (300), L92 (313) (235-344), CH3 E12>K (360), R88>K (413), H115>R (439) (345-449), CHS (450-451)) (125-451)], (138-214')-disulfide with common L-kappa light chain humanized (1'-214') [V-KAPPA (*Homo sapiens*IGKV1-NL1\*01 (88.4%) -IGKJ4\*01 (100%), CDR-IMGT [6.3.9] (27'-32'.50'-52'.89'-97')) (1'-107') -*Homo sapiens*IGKC\*01 (100%) Km3 A45.1, V101 (C-KAPPA A45.1 (153'), V101 (191')) (108'-214')]; H-gamma4 heavy chain anti-PD-L1 humanized (1"-446") [VH (*Homo sapiens*IGHV1-69-2\*01 (82.7%) -(IGHD) -IGHJ4\*01 (92.9%) L123>T (114), CDR-IMGT [8.8.12] (26"-33".51"-58".97"-108") (1"-118")]-*Homo sapiens*IGHG4\*01 nG4m(a) CH2 L92, G4v5 h P10, G4v6 CH3 K88, G4v11 CH1 Q100, CH2 Y84.3,

	G4v13 CH3 E119 (CH1 K100>Q (198") (120"-217"), hinge 1-12 S10>P (227") (218"-229"), CH2 F84.3>Y (295"), L92 (308") (230"-339"), CH3 R88>K (408"), K119>E (438") (340"-444"), CHS (445"-446")) (120"-446")], (133"-214")-disulfide with common L-kappa light chain humanized (1"-214") [V-KAPPA ( <i>Homo sapiens</i> IGKV1-NL1*01 (88.4%) -IGKJ4*01 (100%), CDR-IMGT [6.3.9] (27"-32".50"-52".89"-97")) (1"-107") - <i>Homo sapiens</i> IGKC*01 (100%) Km3 A45.1, V101 (C-KAPPA A45.1 (153")), V101 (191")) (108"-214")]; dimer (230-225":233-228")-bisdisulfide, produced in a cell line from Chinese hamster ovary (CHO) cells, derived from the cell line CHO-K1, glycoform alfa <i>immunostimulant, antineoplastic</i>
safimestomig	immunoglobuline G4-kappa, anti-[ <i>Homo sapiens</i> CD47 (CD47 molécule, protéine associée à l'intégrine, IAP, MER6, OA3)] et anti-[ <i>Homo sapiens</i> CD274 (ligand 1 de mort cellulaire programmée 1, PDL1, PD-L1, B7 homologue 1, B7H1, B7-H1, PDCD1LG1)], anticorps monoclonal humanisé, bispécifique, bivalent; chaîne lourde H-gamma4 anti-CD47 humanisée (1-451) [VH ( <i>Homo sapiens</i> IGHV1-3*01 (85.7%) -(IGHD)-IGHJ4*01 (92.9%), CDR-IMGT [8.8.17] (26-33.51-58.97-113)) (1-124)- <i>Homo sapiens</i> IGHG4*01, nG4m(a) CH2 L92, G4v5 h P10, G4v6 CH3 K88, G4v11 CH1 Q100, CH2 Y84.3, G4v12 CH3 K12, R115 (CH1 K100>Q (203) (125-222), charnière 1-12 S10>P (232) (223-234), CH2 F84.3>Y (300), L92 (313) (235-344), CH3 E12>K (360), R88>K (413), H115>R (439) (345-449), CHS (450-451)) (125-451)], (138-214')-disulfure avec la chaîne légère commune L-kappa humanisée (1'-214') [V-KAPPA ( <i>Homo sapiens</i> IGKV1-NL1*01 (88.4%) -IGKJ4*01 (100%), CDR-IMGT [6.3.9] (27"-32'.50'-52'.89'-97')) (1'-107") - <i>Homo sapiens</i> IGKC*01 (100%) Km3 A45.1, V101 (C-KAPPA A45.1 (153'), V101 (191')) (108'-214')]; chaîne lourde H-gamma4 anti-PD-L1 humanisée (1"-446") [VH ( <i>Homo sapiens</i> IGHV1-69-2*01 (82.7%) -(IGHD)-IGHJ4*01 (92.9%) L123>T (114), CDR-IMGT [8.8.12] (26"-33".51"-58".97"-108")) (1"-119")- <i>Homo sapiens</i> IGHG4*01, nG4m(a) CH2 L92, G4v5 h P10, G4v6 CH3 K88, G4v11 CH1 Q100, CH2 Y84.3, G4v13 CH3 E119 (CH1 K100>Q (198") (120"-217"), charnière 1-12 S10>P (227") (218"-229"), CH2 F84.3>Y (295"), L92 (308") (230"-339"), CH3 R88>K (408"), K119>E (438") (340"-444"), CHS (445"-446")) (120"-446")], (133"-214")-disulfure avec la chaîne légère commune L-kappa humanisée (1"-214") [V-KAPPA ( <i>Homo sapiens</i> IGKV1-NL1*01 (88.4%) -IGKJ4*01 (100%), CDR-IMGT [6.3.9] (27"-32".50"-52".89"-97")) (1"-107") - <i>Homo sapiens</i> IGKC*01 (100%) Km3 A45.1, V101 (C-KAPPA A45.1 (153')), V101 (191")) (108"-214")]; dimère (230-225":233-228")-bisdisulfure, produit dans une lignée cellulaire des cellules ovarianes de hamster chinois (CHO), dérivant de la lignée cellulaire CHO-K1, glycoforme alfa <i>immunostimulant, antinéoplastique</i>
safimestomig	inmunoglobulina G4-kappa, anti-[ <i>Homo sapiens</i> CD47 (CD47 molécula, proteína asociada con la integrina, IAP, MER6, OA3)] y anti-[ <i>Homo sapiens</i> CD274 (ligando 1 de muerte celular programada 1, PDL1, PD-L1, B7 homólogo 1, B7H1, B7-H1, PDCD1LG1)], anticuerpo monoclonal humanizado, biespecífico, bivalente; cadena pesada H-gamma4 anti-CD47 humanizada (1-451) [VH ( <i>Homo sapiens</i> IGHV1-3*01 (85.7%) -(IGHD)-IGHJ4*01 (92.9%), CDR-IMGT [8.8.17] (26-33.51-58.97-113)) (1-124)- <i>Homo sapiens</i> IGHG4*01, nG4m(a) CH2 L92, G4v5 h P10, G4v6 CH3 K88, G4v11 CH1 Q100, CH2 Y84.3, G4v12 CH3 K12, R115 (CH1 K100>Q (203) (125-222), bisagra1-12 S10>P (232) (223-234), CH2 F84.3>Y (300), L92 (313) (235-344), CH3 E12>K (360), R88>K (413), H115>R (439) (345-449), CHS (450-451)) (125-451)], (138-214')-disulfuro con la cadena ligera común L-kappa humanizada (1'-214') [V-KAPPA ( <i>Homo sapiens</i> IGKV1-NL1*01 (88.4%) -IGKJ4*01 (100%), CDR-IMGT [6.3.9] (27'-32'.50'-52'.89'-97')) (1'-107") - <i>Homo sapiens</i> IGKC*01 (100%) Km3 A45.1, V101 (C-KAPPA A45.1 (153'), V101 (191')) (108'-214')];

cadena pesada H-gamma4 anti-PD-L1 humanizada (1"-446") [VH (*Homo sapiens* IGHV1-69-2\*01 (82.7%) -(IGHD) -IGHJ4\*01 (92.9%) L123>T (114), CDR-IMGT [8.8.12] (26"-33".51"-58".97"-108")) (1"-119")-*Homo sapiens* IGHG4\*01, nG4m(a) CH2 L92, G4v5 h P10, G4v6 CH3 K88, G4v11 CH1 Q100, CH2 Y84.3, G4v13 CH3 E119 (CH1 K100>Q (198") (120"-217"), bisagra 1-12 S10>P (227") (218"-229"), CH2 F84.3>Y (295"), L92 (308") (230"-339"), CH3 R88>K (408"), K119>E (438") (340"-444"), CHS (445"-446")) (120"-446")], (133"-214")-disulfuro con la cadena ligera común L-kappa humanizada (1"-214") [V-KAPPA (*Homo sapiens* IGKV1-NL1\*01 (88.4%) -IGKJ4\*01 (100%), CDR-IMGT [6.3.9] (27""-32"".50"-52"".89""-97")) (1""-107") -*Homo sapiens* IGKC\*01 (100%) Km3 A45.1, V101 (C-KAPPA A45.1 (153""), V101 (191"")) (108"-214")];dímero (230-225":233-228")-bisdisulfuro, producido en una línea celular de las células ováricas de hámster chino (CHO), línea celular derivada de CHO-K1, forma glicosilada alfa *inmunoestimulante, antineoplásico*

2911590-72-0

Heavy chain / Chaîne lourde / Cadena pesada : H-gamma4 anti-CD47 (H)  
 EVQLVQSGAE VKKPAGASVKV SCKASGYKFT NYVMSWVRQA PGQRLEWMGY 50  
 INPYNDAIKY NEKFTGRVTI TRDTISASTAY MELSSLRSED TAVYYCAREG 100  
 DFYANYGRLG FAYWGQGTLV TVSSASTKGKP SVFPLAPCSE STSESTAAALG 150  
 CLVKDYFPEP VTVSWNSGAL TSGVHTFPV LQSSGLYSLS SVVTPVSSL 200  
 GTQTYTCNVD HKPSNTVKDK RVESKYGPPC PPCPAPEFLG GPSVFLPPK 250  
 PKDTLMISRT PEVTCVVVDV SQEDPEVQFN WYWDGVEVHN AKTKPREEQY 300  
 NSTYRVSVL TVLHDWLNG KEYKKVSNK GLPSSIEKTI SAKKGQREP 350  
 QVYTLPPSQK EMTRNQVSLT CLVRGFYPSD IAVEWESNGQ PENNYKTTTP 400  
 VLDSDGSFFL YSKLTVDKSR WQEGNVFSCS VMHEALHNRY TQKSLSLSLG 450  
 K 451

Heavy chain / Chaîne lourde / Cadena pesada : H-gamma4 anti-CD274 (H")  
 EVQLVQSGAE VRKGATVKI SCKVSGFNK DIYMHWQQA PGKGLEWMGR 50  
 IDPANANTKY DPKFQDRVTI TADTSTNTAY MELSSLRSED TAVYYCASQG 100  
 LGPLGFDYWQ QGTTVTVSSA STKGPSVFPL APCSRSTSES TAALGCLVKD 150  
 YFPEVTVSW NSGALTSGHV TFPAVLQSSP LYSLSSVVTY PSSSLGTQTY 200  
 TCNVDHKPSN TKVDKRVESK YGPPCPCCPA PEFLGGPSVF LFPPKPKDTL 250  
 MISRTPEVTC VVVDVSVSQBDP EVQFNWVYDG VEVHNARTKE REEQYNSTYR 300  
 VVSVLTVLHQ DWLNCKEYKC KVSNKGLPSS IKTISKAKG QPREPQVYTL 350  
 PPSQEEMTKN QVSILTCLVKG FYPNSDIAVEW ESNGQPENNY KTTPVLDSD 400  
 GSFLFLYSKLT VDKSRWQEGN VFSCSVMHEA LHNHYTQESL SLSLGK 446

Light chain / Chaîne légère / Cadena ligera : L-kappa common (L', L")  
 DIQMTQSPSS LSASVGDRTV ITCRASQDIS NYLNWYQOKP GKAPKLLYY 50  
 TSRLHSVGVS RFSGSGSGTD YTTLTISSLQP EDFATYFCQQ GAGFPYTFGG 100  
 GTKVEIKRTV AAPSVFIFPP SDEQLKSSTA SVVCLLNFFY PREAKVQWKV 150  
 DNALQSGNSQ ESVTEQDSKD STYSLSSSTLT LSKADYEKHK VYACEVTHQG 200  
 LSSPVTKSFN RGE 214

#### Post-translational modifications

Disulfide bridges location / Position des ponts disulfure / Posiciones de los puentes disulfuro  
 Intra-H (C23-C104) 22-96 151-207 265-325 371-429  
 22"-96" 146"-202" 260"-320" 366"-424"  
 Intra-L (C23-C104) 23"-88" 134"-194"  
 23"-88" 134"-194"  
 Inter-H-L (CH1 10-CL 126) 138-214' 133"-214"  
 Inter-H-H (h 8, h 11) 230-225" 233-228"

N-glycosylation sites / Sites de N-glycosylation / Posiciones de N-glicosilación  
 H CH2 N84.4: 301, 296"  
 Fucosylated complex bi-antennary CHO-type glycans / glycanes de type CHO bi-antennaires complexes fucosylés / glicanos de tipo CHO biantenarios complejos fucosilados.

C-terminal lysine clipping / Coupe de la lysine C-terminale / Recorte de lisina C-terminal  
 H CHS K2: 451, 446"

salanersenum

salanersen

*all-P-Ambo-5-methyl-2'-O-[2-(methylamino)-2-oxoethyl]-P-thiocytidyl-(3'→5')-2'-O-[2-(methylamino)-2-oxoethyl]adenylyl-(3'→5')-5-methyl-2'-O-[2-(methylamino)-2-oxoethyl]-P-thiocytidyl-(3'→5')-5-methyl-2'-O-[2-(methylamino)-2-oxoethyl]juridyl-(3'→5')-5-methyl-2'-O-[2-(methylamino)-2-oxoethyl]-P-thiouridyl-(3'→5')-5-methyl-2'-O-[2-(methylamino)-2-oxoethyl]-P-thiouridyl-(3'→5')-5-methyl-2'-O-[2-(methylamino)-2-oxoethyl]-P-thiocytidyl-(3'→5')-2'-O-[2-(methylamino)-2-oxoethyl]-P-thioadenylyl-(3'→5')-5-methyl-2'-O-[2-(methylamino)-2-oxoethyl]-P-thioadenylyl-(3'→5')-5-methyl-2'-O-[2-(methylamino)-2-oxoethyl]-P-thioadenylyl-(3'→5')-5-methyl-2'-O-[2-(methylamino)-2-oxoethyl]-P-thiouridyl-(3'→5')-2'-O-[2-(methylamino)-2-oxoethyl]-P-thioguananyl-(3'→5')-5-methyl-2'-O-[2-(methylamino)-2-oxoethyl]-P-thiocytidyl-(3'→5')-5-methyl-2'-O-[2-(methylamino)-2-oxoethyl]-P-thiouridyl-(3'→5')-2'-O-[2-(methylamino)-2-oxoethyl]-P-thioguananyl-(3'→5')-5-methyl-2'-O-[2-(methylamino)-2-oxoethyl]cytidine*

salanersen

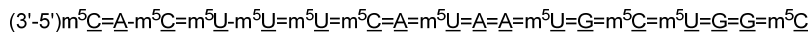
*tout-P-ambo-5-méthyl-2'-O-[2-(méthylamino)-2-oxoéthyl]-P-thiocytidyllyl-(3'→5')-2'-O-[2-(méthylamino)-2-oxoéthyl]adénylyl-(3'→5')-5-méthyl-2'-O-[2-(méthylamino)-2-oxoéthyl]-P-thiocytidyllyl-(3'→5')-5-méthyl-2'-O-[2-(méthylamino)-2-oxoéthyl]uridylyl-(3'→5')-5-méthyl-2'-O-[2-(méthylamino)-2-oxoéthyl]-P-thiouridyllyl-(3'→5')-5-méthyl-2'-O-[2-(méthylamino)-2-oxoéthyl]-P-thiocytidyllyl-(3'→5')-2'-O-[2-(méthylamino)-2-oxoéthyl]-P-thiouridyllyl-(3'→5')-5-méthyl-2'-O-[2-(méthylamino)-2-oxoéthyl]-P-thiocytidyllyl-(3'→5')-2'-O-[2-(méthylamino)-2-oxoéthyl]-P-thioadénylyl-(3'→5')-5-méthyl-2'-O-[2-(méthylamino)-2-oxoéthyl]-P-thiouridyllyl-(3'→5')-2'-O-[2-(méthylamino)-2-oxoéthyl]-P-thioadénylyl-(3'→5')-2'-O-[2-(méthylamino)-2-oxoéthyl]-P-thiocytidyllyl-(3'→5')-5-méthyl-2'-O-[2-(méthylamino)-2-oxoéthyl]-P-thioadénylyl-(3'→5')-2'-O-[2-(méthylamino)-2-oxoéthyl]-P-thiouridyllyl-(3'→5')-2'-O-[2-(méthylamino)-2-oxoéthyl]-P-thiocytidyllyl-(3'→5')-5-méthyl-2'-O-[2-(méthylamino)-2-oxoéthyl]-P-thiouridyllyl-(3'→5')-2'-O-[2-(méthylamino)-2-oxoéthyl]-P-thiocytidyllyl-(3'→5')-5-méthyl-2'-O-[2-(méthylamino)-2-oxoéthyl]-P-thioguananyllyl-(3'→5')-5-méthyl-2'-O-[2-(méthylamino)-2-oxoéthyl]-P-thiocytidyllyl-(3'→5')-5-méthyl-2'-O-[2-(méthylamino)-2-oxoéthyl]-P-thiouridyllyl-(3'→5')-2'-O-[2-(méthylamino)-2-oxoéthyl]-P-thiocytidyllyl-(3'→5')-5-méthyl-2'-O-[2-(méthylamino)-2-oxoéthyl]-P-thioguananyllyl-(3'→5')-2'-O-[2-(méthylamino)-2-oxoéthyl]-P-thioguananyllyl-(3'→5')-5-méthyl-2'-O-[2-(méthylamino)-2-oxoéthyl]cytidine*

salanersén

*todo-P-ambo-5-metil-2'-O-[2-(metilamino)-2-oxoetil]-P-tiocitidilil-(3'→5')-2'-O-[2-(metilamino)-2-oxoetil]adenilil-(3'→5')-5-metil-2'-O-[2-(metilamino)-2-oxoetil]-P-tiocitidilil-(3'→5')-5-metil-2'-O-[2-(metilamino)-2-oxoetil]juridilil-(3'→5')-5-metil-2'-O-[2-(metilamino)-2-oxoetil]-P-tiouridilil-(3'→5')-5-metil-2'-O-[2-(metilamino)-2-oxoetil]-P-tiouridilil-(3'→5')-5-metil-2'-O-[2-(metilamino)-2-oxoetil]-P-tiocitidilil-(3'→5')-2'-O-[2-(metilamino)-2-oxoetil]-P-tioadenilil-(3'→5')-5-metil-2'-O-[2-(metilamino)-2-oxoetil]-P-tiouridilil-(3'→5')-2'-O-[2-(metilamino)-2-oxoetil]-P-tioadenilil-(3'→5')-5-metil-2'-O-[2-(metilamino)-2-oxoetil]-P-tiouridilil-(3'→5')-2'-O-[2-(metilamino)-2-oxoetil]-P-tioguanilil-(3'→5')-5-metil-2'-O-[2-(metilamino)-2-oxoetil]-P-tiocitidilil-(3'→5')-5-metil-2'-O-[2-(metilamino)-2-oxoetil]-P-tiouridilil-(3'→5')-2'-O-[2-(metilamino)-2-oxoetil]-P-tioguanilil-(3'→5')-2'-O-[2-(metilamino)-2-oxoetil]-P-tioguanilil-(3'→5')-5-metil-2'-O-[2-(metilamino)-2-oxoetil]citidina  
inductor de la síntesis de la proteína de supervivencia de la motoneurona 2 (SMN2)*

$C_{234}H_{323}O_{129}N_{80}P_{17}S_{15}$ 

2701584-16-7



N : nucleoside / nucléoside / nucleósido

 $m^5N$  : 5-methyl-N / 5-méthyl-N / 5-metil-N

N : 2'-O-[2-(methylamino)-2-oxoethyl]-N / 2'-O-[2-(méthylamino)-2-oxoéthyl]-N / 2'-O-[2-(metilamino)-2-oxoetil]-N

- :  $-PO(OH)-$  = :  $-PO(SH)-$ **sapecmeranum autogenous**

sapecmeran autogene

self-amplifying messenger RNA (samRNA), 5' capped, based on Venezuelan equine encephalitis virus (VEEV) (wildtype Trinidad donkey strain) genomic RNA in which the coding sequences for the VEEV structural proteins have been deleted and replaced by a patient-specific cassette expressing 20 tumour-specific neoantigens (TSNAs). The expression cassette comprises coding sequences for methionine, alanine and glycine (MAG), the 20 patient-specific TSNAs, and an MHC class II helper domain consisting of two universal CD4+ T helper lymphocyte epitopes, PADRE (pan HLA DR-binding epitope) and tetanus toxoid P2 (amino acids 830-844 of tetanus toxin Tc), linked by glycine-proline linkers (GPGPG). The expression cassette is under the control of the VEEV subgenomic 26S promoter located 5' of the inserted TSNAs cassette. The samRNA also encodes codon-optimized VEEV non-structural proteins 1-4 (nsP1-4) plus the 5' and 3' RNA sequences required for RNA replication  
*immune response inducer, antineoplastic*

## sapecmérán autogène

ARN messager auto-amplifiant (ARNaa), avec une coiffe en 5', basé sur l'ARN génomique du virus de l'encéphalite équine vénézuélienne (VEEV) (souche sauvage asinienne de Trinidad), dans lequel les séquences codant les protéines structurales ont été éliminées et remplacées par une cassette, propre au patient, exprimant 20 néoantigènes spécifiques de tumeur (NAST). La cassette d'expression contient les séquences pour la méthionine, l'alanine et la glycine (MAG), les 20 NAST spécifiques du patient, un domaine auxiliaire du CMH de classe II composé de deux épitopes universels des lymphocytes T CD4+ helper, PADRE (épitope de liaison pan HLA-DR), et l'anatoxine tétanique P2 (acides aminés 830-844 de la tétanospasmine), reliés par des couples glycine-proline (GPGPG). La cassette d'expression est sous le contrôle du promoteur sous-génomique 26S de VEEV situé en 5' de la cassette NAST insérée. L'ARNaa code également les protéines non structurales du VEEV optimisées par le codon 1-4 (nsP1-4), ainsi que les séquences d'ARN 5' et 3' requises pour la réplication de l'ARN  
*inducteur de réponse immunitaire, antinéoplasique*

## sapecmerán autogén

ARN mensajero auto amplificante (samARN), protegido en 5', basado en el ARN genómico del virus de la encefalitis equina venezolana (VEEV) (cepa silvestre de burro de Trinidad) en el que se han delecionado las secuencias que codifican para las proteínas estructurales del VEEV y se reemplazan por un casete específico de paciente que expresa 20 neoantígenos específicos de tumor (TSNAs). El casete de expresión consta

de secuencias que codifican para metionina, alanina y glicina (MAG), los 20 TSNA específicos de paciente, y un dominio ayudante de clase II que consiste en dos epitopos universales de linfocitos T CD4+ helper, PADRE (epitopo de unión a pan HLA DR) y el epitopo P2 del toxoide tetánico (aminoácidos 830-844 de la toxina tetánica Tc), ligados mediante enlazadores de glicina-prolina (GPGPG). El casete de expresión está bajo el control del promotor subgenómico 26S de VEEV localizado 5' del casete TSNA insertado. El samARN también codifica, con codones optimizados, para las proteínas no estructurales 1-4 (nsP1-P4) del VEEV más las secuencias de ARN en 5' y 3' requeridas para la replicación del ARN  
*inductor de la respuesta inmunitaria, antineoplásico*

2805319-17-7

**selonabantum**

selonabant

*N-tert-butyl-3-[(R)-(4-chlorophenyl)[2-(trifluoromethyl)phenyl]methoxy]azetidine-1-carboxamide*  
*cannabinoid receptor 1 (CB1) antagonist*

## sélonabant

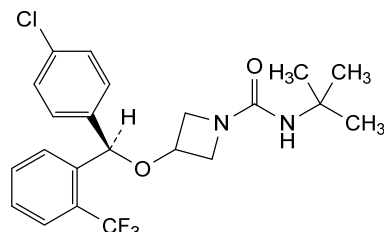
*N-tert-butyl-3-[(R)-(4-chlorophényl)[2-(trifluorométhyl)phényl]méthoxy]azétidine-1-carboxamide*  
*antagoniste du récepteur cannabinoïde 1 (CB1)*

## selonabant

*N-terc-butil-3-[(R)-(4-clorofenil)[2-(trifluorometil)fenil]metoxi]azetidina-1-carboxamida*  
*antagonista del receptor cannabinoide 1 (CB1)*



791848-71-0

**senacnagenum enfaleucelum #**

senacnagene enfaleucel

allogeenic natural killer (NK) cells derived from peripheral blood mononuclear cells (PBMC) obtained by leukapheresis from healthy donors, transduced with a replication deficient murine stem cell virus (MSCV) derived  $\gamma$ -retroviral vector encoding (i) an activating chimeric receptor (ACR) composed of a CD8 $\alpha$  signal peptide, the extracellular domain of the natural killer group 2, member D (NKG2D) receptor (also known as killer cell lectin-like receptor K1 (KLRK1)), fused to a CD8 $\alpha$  transmembrane domain, an OX40 costimulatory domain and a CD3 $\zeta$  signalling domain, and (ii) interleukin-15 (IL-15) preceded by a CD8 $\alpha$  signal peptide and fused to a CD8 $\alpha$  hinge and transmembrane domain, which creates a membrane bound form of IL-15 (mbIL-15), separated by a self-cleaving T2A peptide. The vector is pseudotyped with RD-114 virus envelope glycoprotein.

The CD56+ CD3- NK cells are isolated by leukapheresis and co-cultured with a modified and irradiated K562 cell line.

Specifically, the NK cells are isolated through a series of steps, first to reduce platelets and red blood cells, followed by a CD3+ depletion step, and lastly a positive selection using CD56+ enrichment. The cells are cultured in serum replacement media containing interleukin-2 (IL-2) and co-cultured with a modified and irradiated K562 cell line. The cells are then transduced with the retroviral vector, and the transduced NK cells are further expanded in media containing IL-2. The final substance consists of ≥90% CD56+CD3-NK cells with ≥20% CD56+ cells expressing the transgene. Cells secrete granulocyte-macrophage colony-stimulating factor (GM-CSF), interferon gamma (IFN-γ), and tumor necrosis factor alpha (TNF-α) when co-cultured with anti-NKG2D-beads

*cell-based gene therapy (antineoplastic)*

sénacnagène enfaleucel

cellules tueuses naturelles (NK) allogéniques dérivées de cellules mononucléées du sang périphérique (CMSP) obtenues par leucaphérèse de donneurs sains, transduites avec le virus de cellules souches murines (MSCV), déficient pour la réplication, dérivé d'un vecteur γ-rétroviral codant: i) un récepteur antigénique chimérique (CAR), composé d'un peptide signal CD8α, le domaine extracellulaire du récepteur de cellules tueuses naturelles du groupe 2, membre D (NKG2D), (également connu sous le nom de récepteur K1 de cellules tueuses, de type lectine (KLRK1)), fusionné à un domaine transmembranaire de CD8α, un domaine de costimulation OX40, et un domaine de signalisation de CD3ζ; et ii) l'interleukine-15 (IL-15) précédée d'un peptide signal CD8α, fusionnée avec un domaine charnière CD8α, un domaine transmembranaire, qui crée une forme d'IL-15 liée à la membrane (mbIL-15), séparée par un peptide T2A, autoclivable. Le vecteur est pseudotypé avec la glycoprotéine d'enveloppe du virus RD-114.

Les cellules NK CD56+CD3- sont isolées par leucaphérèse et cocultivées avec une lignée cellulaire K562 modifiée et irradiée. Plus précisément, les cellules NK sont isolées à travers une série d'étapes, d'abord la réduction des plaquettes et des globules rouges, puis une étape de déplétion des CD53+ et, enfin, une sélection positive par enrichissement en CD56+. Les cellules sont cultivées dans un milieu de substitution contenant de l'interleukine-2 (IL-2) et cocultivées avec une lignée cellulaire K562 modifiée et irradiée. Les cellules sont transduites avec le vecteur rétroviral, et les cellules NK transduites sont ensuite mises en expansion dans un milieu contenant de l'IL-2.

La substance final est constitué de ≥90% de cellules NK CD56+CD3- avec ≥20% de cellules NK CD56+ exprimant le transgène. Ces cellules sécrètent le facteur de stimulation des colonies de granulocytes et de macrophages (GM-CSF), l'interféron gamma (IFN-γ), et le facteur de nécrose tumorale alpha (TNF-α), lorsqu'elles sont cocultivées avec des billes anti-NKG2D

*thérapie génique à base de cellules (antinéoplasique)*

senacnagén enfaleucel

células natural killer (NK) alogénicas derivadas de células mononucleares de sangre periférica (PBMC) obtenidas por leucoaféresis de donantes sanos, transducidas con un vector γ-retroviral derivado del virus de células troncales murino (MSCV) deficiente en replicación, que codifica para (i) un receptor químérico activador (ACR) compuesto por un péptido señal de CD8α, el dominio extracelular del receptor de natural killer grupo 2, miembro D (NKG2D) (también conocido como receptor K1 de

célula killer similar a lectina (KLRK-1)), fusionado a un dominio transmembrana de CD8q, un dominio coestimulador de OX40 y un dominio de señalización de CD3ζ, y (ii) interleuquina- 15 (IL-15) precedido por un péptido señal de CD8q y fusionado a un dominio bisagra y transmembrana de CD8a, lo cual genera una forma unida a membrana de IL-15 (mbIL-15), separados por un péptido de autoexcisión T2A. El vector está seudotipado con una glicoproteína de la envuelta del virus RD-114.

Las células NK CD56+ CD3- se aíslan por leucoaféresis y se co-cultivan con una línea celular K562 modificada e irradiada. Específicamente, las células NK se aíslan a través de una serie de pasos, primero para reducir plaquetas y eritrocitos, seguido de un paso de depleción de CD3+ y finalmente una selección positiva usando enriquecimiento de CD56+. Las células se cultivan en medio con substituto de suero que contiene interleuquina-2 (IL-2) y se co-cultivan con una línea K562 modificada e irradiada. Las células se transducen después con el vector retroviral y las células NK transducidas se expanden en medio que contiene IL-2.

La substancia final consiste en ≥90% de células NK CD56+CD3- con ≥20% de las células CD56+ que expresan el transgén. Las células secretan factor estimulador de colonias de granulocitos-macrófagos (GM-CSF), interferón gamma (IFN-γ) y factor de necrosis tumoral alfa (TNF-α) cuando se co-cultivan con bolas anti-NKG2D

*terapia génica basada en células (antineoplásico)*

## **servesiranum**

## **senviesiran**

[(2S,4R)-1-(1-[(2-acetamido-2-deoxy- $\beta$ -D-galactopyranosyl)oxy]-16,16-bis{3-[3-{5-[(2-acetamido-2-deoxy- $\beta$ -D-galactopyranosyl)oxy]pentanamido}propyl]amino]-3-oxopropyl}methyl]-5,11,18-trioxa-14-oxa-6,10,17-triazanonacosan-29-oyl)-4-hydroxypyrrrolidin-2-yl)methyl hydrogen  
*all-P-ambo*-2'-O-methyl-*P*-thioguanyl-(3'→5')-2'-O-methyl-*P*-thiocytidyl-(3'→5')-2'-O-methyladenyl-(3'→5')-2'-O-methylguanylyl-(3'→5')-2'-O-methylguanylyl-(3'→5')-2'-O-methyladenyl-(3'→5')-2'-O-methyladenyl-(3'→5')-2'-O-methylguanylyl-(3'→5')-2'-deoxy-2'-fluorocytidyl-(3'→5')-2'-deoxy-2'-fluoroadenyl-(3'→5')-2'-deoxy-2'-fluorocytidyl-(3'→5')-2'-O-methyluridyl-(3'→5')-2'-O-methylguanylyl-(3'→5')-2'-O-methyladenyl-(3'→5')-2'-O-methyluridyl-(3'→5')-2'-O-methylguanylyl-(3'→5')-2'-O-methyluridyl-(3'→5')-2'-O-methylcytidyl-(3'→5')-2'-O-methylguanylyl-(3'→5')-2'-O-methyluridylate duplex with *all-P-ambo*-2'-O-methyl-*P*-thiocytidyl-(5'→3')-2'-O-methyl-*P*-thioadenyl-(5'→3')-2'-O-methylcytidyl-(5'→3')-2'-O-methylguanylyl-(5'→3')-2'-O-methyluridyl-(5'→3')-2'-O-methylcytidyl-(5'→3')-2'-O-methyluridyl-(5'→3')-2'-O-methyluridyl-(5'→3')-2'-deoxy-2'-fluorocytidyl-(5'→3')-2'-O-methylguanylyl-(5'→3')-thymidyl-(5'→3')-2'-O-methylguanylyl-(5'→3')-2'-O-methyladenyl-(5'→3')-2'-O-methylcytidyl-(5'→3')-2'-O-methyluridyl-(5'→3')-2'-deoxycytidyl-(5'→3')-2'-O-methyluridyl-(5'→3')-2'-O-methyluridyl-(5'→3')-2'-deoxyadenyl-(5'→3')-2'-O-methyladenyl-(5'→3')-2'-O-methyl-*P*-thioguanyl-(5'→3')-2'-deoxy-*P*-thiocytidyl-(5'→3')-2'-O-methyladenosine  
*ketohexokinase synthesis reducer*

## senvésiran

*tout-P-ambo-2'-O-méthyl-P-thioguananylyl-(3'→5')-2'-O-méthyl-P-thiocytidyl-(3'→5')-2'-O-méthyladénylyl-(3'→5')-2'-O-méthylguanylyl-(3'→5')-2'-O-méthylguanylyl-(3'→5')-2'-O-méthyladénylyl-(3'→5')-2'-O-méthyladénylyl-(3'→5')-2'-O-méthylguanylyl-(3'→5')-2'-désoxy-2'-fluorocytidyl-(3'→5')-2'-désoxy-2'-fluoroadénlyl-(3'→5')-2'-désoxy-2'-fluorocytidyl-(3'→5')-2'-O-méthyluridyl-(3'→5')-2'-O-méthylguanylyl-(3'→5')-2'-O-méthyladénylyl-(3'→5')-2'-O-méthylguanylyl-(3'→5')-2'-O-méthyluridyl-(3'→5')-2'-O-méthyluridyl-(3'→5')-2'-O-méthyluridyl-(3'→5')-2'-O-méthylcytidyl-(3'→5')-2'-O-méthylcytidyl-(3'→5')-2'-O-méthylquanyllyl-(3'→5')-hydrogénéo-2'-O-méthyluridylate de*

[(2S,4R)-1-1-[(2-acétamido-2-désoxy-β-D-galactopyranosyl)oxy]-16,16-bis({3-[{3-[5-[{2-acétamido-2-désoxy-β-D-galactopyranosyl}oxy]pentanamido}propyl]amino]-3-oxopropyl)méthyl]-5,11,18-trioxo-14-oxa-6,10,17-triazanonacosan-29-oyl)-4-hydroxypyrrrolidin-2-yl)méthyle duplex avec tout-P-ambo-2'-O-méthyl-P-thiocytidylyl-(5'→3')-2'-O-méthyl-P-thiadénilyl-(5'→3')-2'-O-méthylcytidylyl-(5'→3')-2'-O-méthylguanylyl-(5'→3')-2'-O-méthyluridylyl-(5'→3')-2'-O-méthylcytidylyl-(5'→3')-2'-O-méthyluridylyl-(5'→3')-2'-O-méthyluridylyl-(5'→3')-2'-désoxy-2'-fluorocytidyl-(5'→3')-2'-O-méthylguanylyl-(5'→3')-thymidyl-(5'→3')-2'-O-méthylguanylyl-(5'→3')-2'-O-méthyladénilyl-(5'→3')-2'-O-méthylcytidyl-(5'→3')-2'-O-méthyluridylyl-(5'→3')-2'-désoxycytidyl-(5'→3')-2'-O-méthyluridylyl-(5'→3')-2'-désoxyadénilyl-(5'→3')-2'-O-méthyladénilyl-(5'→3')-2'-O-méthyl-P-thioguanillyl-(5'→3')-2'-désoxy-P-thiacytidyl-(5'→3')-2'-O-méthyladénosine réducteur de synthèse de cétohexokinase

$$\text{C}_{533}\text{H}_{728}\text{F}_4\text{N}_{177}\text{O}_{322}\text{P}_{43}\text{S}_6$$

2894810-55-8

(3'-5')G=C=A-G-G-A-A-G-C-A-C-U-G-A-G-A-U-U-C-G-U-R

(5'-3')C=A=C-G-U-C-C-U-U-C-G-T-G-A-C-U-C-U-A-A-G=C=A

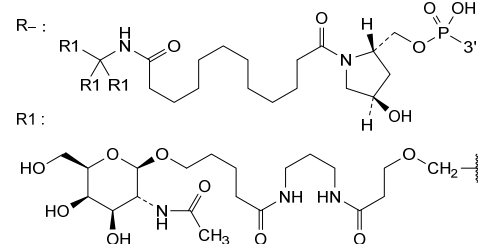
N: A,C,G,T,U

*N*: 2'-O-méthyl-N / 2'-O-méthyl-N / 2'-O-metil-N

**N**: 2'-deoxy-N / 2'-désoxy-N / 2'-desoxi-N

N : 2'-deoxy-2'-fluoro-N / 2'-désoxy-2'-fluoro-N / 2'-desoxi-2'-fluoro-N

$$-\text{:}-\text{PO}(\text{OH})-\quad =\text{:}-\text{PO}(\text{SH})-$$



**sevabertinibum**

sevabertinib

( $7^2S$ )-1<sup>3</sup>-chloro-1<sup>2</sup>-methoxy-3<sup>1</sup>,3<sup>5</sup>,3<sup>6</sup>,3<sup>7</sup>-tetrahydro-3<sup>4</sup>H-5-oxa-2-aza-3(3,2)-pyrrolo[3,2-c]pyridina-4(4,3)-pyridina-7(2)-[1,4]dioxana-1(1)-benzenaheptaphan-3<sup>4</sup>-one  
*epidermal growth factor receptor (EGFR) tyrosine kinase inhibitor, antineoplastic*

sévabertinib

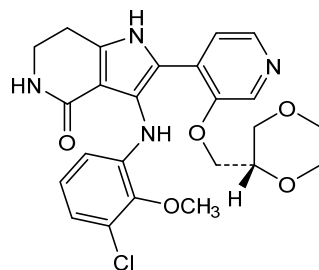
( $7^2S$ )-1<sup>3</sup>-chloro-1<sup>2</sup>-méthoxy-3<sup>1</sup>,3<sup>5</sup>,3<sup>6</sup>,3<sup>7</sup>-tétrahydro-3<sup>4</sup>H-5-oxa-2-aza-3(3,2)-pyrrolo[3,2-c]pyridina-4(4,3)-pyridina-7(2)-[1,4]dioxana-1(1)-benzenaheptaphan-3<sup>4</sup>-one  
*inhibiteur de la tyrosine kinase du récepteur du facteur de croissance épidermique (EGFR), antinéoplasique*

sevabertinib

( $7^2S$ )-1<sup>3</sup>-cloro-1<sup>2</sup>-metoxi-3<sup>1</sup>,3<sup>5</sup>,3<sup>6</sup>,3<sup>7</sup>-tetrahidro-3<sup>4</sup>H-5-oxa-2-aza-3(3,2)-pirrolo[3,2-c]piridina-4(4,3)-piridina-7(2)-[1,4]dioxana-1(1)-bencenaheptafan-3<sup>4</sup>-ona  
*inhibidor de la tirosina kinasa del receptor del factor de crecimiento epidémico (EGFR), antineoplásico*



2521285-05-0

**solabafuspum alfa #**

solabafusp alfa

humanized immunoglobulin G4-kappa, anti-[*Homo sapiens* CD274 (programmed cell death 1 ligand 1, PDL1, PD-L1, B7 homolog 1, B7H1, B7-H1, PDCD1LG1)] fused at the C-terminus of each heavy chain via a (G4S)<sub>3</sub> linker to human lipocalin-2 (neutrophil gelatinase-associated lipocalin, NGAL, oncogene 24p3, siderocalin) engineered (23 exchanged residues) to bind CD137 (tumor necrosis factor receptor superfamily member 9, TNFRSF9, 4-1BB); gamma 4 heavy chain (1-446) [VH (*Homo sapiens* IGHV4-4\*01 -(IGHD)-IGHJ4\*01, CDR-Kabat [5.16.12] (31-35.50-65.98-109)) (1-120) -*Homo sapiens* IGHG4\*01 (CH1 (121-218), hinge S<sup>228</sup>>P (219-230), CH2 F<sup>234</sup>>A, L<sup>235</sup>>A (231-340), CH3 (341-445), CHS K<sup>447</sup>>del (446)) (122-447)] fused via peptide linker <sup>447</sup>GGGGSGGGGGGGGGGS<sup>461</sup> to human lipocalin-2 [mutant Q<sup>28</sup>>H<sup>489</sup>, L<sup>36</sup>>Q<sup>497</sup>, <sup>40</sup>A<sup>41</sup>><sup>501</sup>R<sup>502</sup>, <sup>49</sup>Q><sup>510</sup>, Y<sup>52</sup>>M<sup>513</sup>, N<sup>65</sup>>D<sup>526</sup>, S<sup>68</sup>>M<sup>529</sup>, L<sup>70</sup>>K<sup>531</sup>, T<sup>72</sup>R<sup>K73</sup>><sup>533</sup>DD<sup>534</sup>, D<sup>77</sup>>M<sup>538</sup>, W<sup>79</sup>>D<sup>540</sup>, R<sup>81</sup>>W<sup>542</sup>, C<sup>87</sup>>S<sup>548</sup>, N<sup>96</sup>>K<sup>557</sup>, Y<sup>100</sup>>F<sup>561</sup>, L<sup>103</sup>>H<sup>564</sup>, Y<sup>106</sup>>S<sup>567</sup>, K<sup>125</sup>>F<sup>586</sup>, S<sup>127</sup>>F<sup>588</sup>, Y<sup>132</sup>>E<sup>593</sup>, K<sup>134</sup>>Y<sup>595</sup> (1-178)] (462-639 in the current sequence), (134-214') disulfide with kappa light chain (1-214') [V-KAPPA (*Homo sapiens* IGKV6-21\*02 -IGKJ2\*01, CDR-Kabat [11.7.9] (24'-34'.50'-56'.89'-97')) (1'-107') -*Homo sapiens* IGKC\*01 (108'-214')]; dimer (226-226":229-229")-bisdisulfide, produced in Chinese hamster ovary (CHO) cells, glycoform alfa antineoplastic

solabafusp alfa

immunoglobuline G4-kappa humanisée, anti-[*Homo sapiens* CD274 (ligand 1 de la protéine 1 de mort cellulaire programmée, PDL1, PD-L1, homologue B7.1, PDCD1LG1)], fusionnée à la partie C-terminale de chaque chaîne lourde, à l'aide d'un coupleur peptidique (GGGGS)<sub>3</sub>, à la lipocaline-2 humaine (lipocaline associée à la gélatinase des neutrophiles, NGAL, oncogène 24p3, sidérocaline) modifiée (par échange de 23 résidus) pour se lier au CD137 (membre 9 de la superfamille des récepteurs du facteur de nécrose tumorale, TNFRSF9, 4-1BB); chaîne lourde de gamma 4 (1-446) [VH (*Homo sapiens* IGHV4-4\*01 -(IGHD) -IGHJ4\*01, CDR-Kabat [5.16.12] (31-35.50-65.98-109)) (1-120) -*Homo sapiens*IGHG4\*01 (CH1 (121-218), charnière S<sup>228</sup>>P (219-230), CH2 F<sup>234</sup>>A, L<sup>235</sup>>A (231-340), CH3 (341-445), CHS K<sup>447</sup>>dél (446)) (122-447)], fusionnée à l'aide d'un coupleur peptidique <sup>447</sup>GGGGSGGGGGSGGGGS<sup>461</sup> à la lipocaline-2 humaine [mutant Q<sup>28</sup>>H<sup>489</sup>, L<sup>36</sup>>Q<sup>497</sup>, <sup>40</sup>A<sup>41</sup>><sup>501</sup>R<sup>502</sup>, <sup>49</sup>Q>I<sup>510</sup>, Y<sup>52</sup>>M<sup>513</sup>, N<sup>65</sup>>D<sup>526</sup>, S<sup>68</sup>>M<sup>529</sup>, L<sup>70</sup>>K<sup>531</sup>, <sup>72</sup>R<sup>73</sup>>S<sup>533</sup>D<sup>534</sup>, D<sup>77</sup>>M<sup>538</sup>, W<sup>79</sup>>D<sup>540</sup>, R<sup>81</sup>>W<sup>542</sup>, C<sup>87</sup>>S<sup>548</sup>, N<sup>96</sup>>K<sup>557</sup>, Y<sup>100</sup>>F<sup>561</sup>, L<sup>103</sup>>H<sup>564</sup>, Y<sup>106</sup>>S<sup>567</sup>, K<sup>125</sup>>F<sup>586</sup>, S<sup>127</sup>>F<sup>588</sup>, Y<sup>132</sup>>E<sup>593</sup>, K<sup>134</sup>>Y<sup>595</sup> (1-178)] (462-639 (dans la séquence en cours), (134-214')-disulfure avec la chaîne légère kappa (1'-214') [V-KAPPA (*Homo sapiens* IGKV6-21\*02 -IGKJ2\*01, CDR Kabat [11.7.9] (24'-24'.50'-56'.89'-97')) (1'-107') -*Homo sapiens* IGKC\*01 (108'-214')]; dimère (226-226":229-229")-bisdisulfure, produite dans des cellules ovaries de hamster chinois (CHO), glycoforme alfa antinéoplasique

solabafusp alfa

inmunoglobulina G4-kappa humanizada, anti-[*Homo sapiens* CD274 (ligando 1 de la proteína de muerte celular programada 1, PDL1, PD-L1, B7 homólogo 1, B7H1, B7-H1, PDCD1LG1)] fusionado en la parte C-terminal de cada cadena pesada a través de un enlace (G4S)<sub>3</sub> a la lipocalina-2 humana (lipocalina asociada a la gélatinasa de neutrófilos, NGAL, oncogén 24p3, siderocalina) diseñada (23 residuos intercambiados) para unirse a CD137 (miembro 9 de la superfamilia de receptores del factor de necrosis tumoral, TNFRSF9, 4-1BB); cadena pesada gamma 4 (1-446) [VH (*Homo sapiens* IGHV4-4\*01 -(IGHD) -IGHJ4\*01, CDR-Kabat [5.16.12] (31-35.50-65.98-109)) (1-120) -*Homo sapiens*IGHG4\*01 (CH1 (121-218), bisagra S<sup>228</sup>>P (219-230), CH2 F<sup>234</sup>>A, L<sup>235</sup>>A (231-340), CH3 (341-445), CHS K<sup>447</sup>>del (446)) (122-447)] fusionada a través de enlace peptídico <sup>447</sup>GGGGSGGGGGSGGGGS<sup>461</sup> a la lipocalina-2 humana [mutante Q<sup>28</sup>>H<sup>489</sup>, L<sup>36</sup>>Q<sup>497</sup>, <sup>40</sup>A<sup>41</sup>><sup>501</sup>R<sup>502</sup>, <sup>49</sup>Q>I<sup>510</sup>, Y<sup>52</sup>>M<sup>513</sup>, N<sup>65</sup>>D<sup>526</sup>, S<sup>68</sup>>M<sup>529</sup>, L<sup>70</sup>>K<sup>531</sup>, <sup>72</sup>R<sup>73</sup>>S<sup>533</sup>D<sup>534</sup>, D<sup>77</sup>>M<sup>538</sup>, W<sup>79</sup>>D<sup>540</sup>, R<sup>81</sup>>W<sup>542</sup>, C<sup>87</sup>>S<sup>548</sup>, N<sup>96</sup>>K<sup>557</sup>, Y<sup>100</sup>>F<sup>561</sup>, L<sup>103</sup>>H<sup>564</sup>, Y<sup>106</sup>>S<sup>567</sup>, K<sup>125</sup>>F<sup>586</sup>, S<sup>127</sup>>F<sup>588</sup>, Y<sup>132</sup>>E<sup>593</sup>, K<sup>134</sup>>Y<sup>595</sup> (1-178)] (462-639 en la secuencia actual), (134-214')-disulfuro con la cadena ligera kappa (1'-214') [V-KAPPA (*Homo sapiens* IGKV6-21\*02 -IGKJ2\*01, CDR-Kabat [11.7.9] (24'-34'.50'-56'.89'-97')) (1'-107') -*Homo sapiens* IGKC\*01 (108'-214')]; dímero (226-226":229-229")-bisdisulfuro, producido en células ováricas de hámster Chino (CHO), glicoforma alfa antineoplásico

Sequence / Séquence / Secuencia  
 Heavy chain-lipocalin-2  
 QVQLQESGPG LVKPSETLSI TCTVSGFSLS NYDISWIRQP PGKGLELGV 50  
 IWTGGATYN PALKSRLTIS RDNSKNQVSL KMSSVTAADT AVYYCVRDSN 100  
 YRYDEPFTYW GQQTGLTVSS ASTKGPSVFP LAPCGRSTSE STAALGCLVK 150  
 DYFFEPVTVS WNSGALTSGV HTFPAVLQSS GLYSLSSSVT VPSSSLGKT 200  
 YTCAVNDHKPS NTKVDRKVES KYGPPCP~~C~~PCP APE~~A~~GGPSV FLFPKPKD 250  
 LMISRTFVTT CUVVDDVSQED PEVQFNWYVD GVEVHNAKTK PREEQFNSTY 300  
 RVSVLTVLH QDWLNKEYK CKVSNKGLPS SIEKTISKAK GQFREPQVIT 350  
 LPSPSQEEMTQ NQVSILTCLVK GFYPSDIAVE WESNGQPENN YKTTPPVLD 400  
 DGSSFFLYSRL TVDKSRWQEG NVFSCSVMHE ALHNHYTQKS LSLSLGGGG 450  
~~SGGGGGGGGG~~ ~~SQDSTSDFLIP APPLSKVPLQ QNFQDNQFH KWYVVQAGN~~ 500  
~~IRLREDKDPI KMATIYEKLK EDKSYDVTMV KFD~~D~~KCMYD~~ ~~IWT~~F~~VPGSOP~~ 550  
GEFTLGKIKS FPGBTSSLVR VVSTNYNQHA MVFKEV~~FEQN~~ REEFYITLYG 600  
RTKELTSELK ENFIRFSKSL GLPENHIVFP VPIDQCIDG 639

Light chain  
 EIVLTQSPDT LSVPTEKEVLT LTCRASQSIG TNIHWFQQKP GQSPKLLIKY 50  
 ASEISIGVPS RFSGSGSGTD FTLTINSVVA EDAATYYCQQ SNSWPYTFQG 100  
 GTKLEIKRTV AAESPFTIFPP SDEQLKSGTA SVVCLNNFY PREAKVQWKV 150  
 DNALQSGNSQ ESVTEQDSKD STYSLSSTLT LSKADYEKHK VYACEVTHQG 200  
 LSSPVTKSFN RGEC 214

Mutations / Mutations / Mutaciones  
 Heavy chain: S<sup>228</sup>-~~P~~, I<sup>234</sup>-~~A~~, I<sup>235</sup>-~~A~~, K447>del  
 lipocalin-2: Q<sup>28</sup>-~~H~~<sup>189</sup>, L<sup>36</sup>-~~Q~~<sup>407</sup>, A<sup>41</sup>><sup>50</sup>~~I~~<sup>502</sup>, Q<sup>49</sup>><sup>510</sup>~~Y~~, Y<sup>52</sup>>~~M~~<sup>513</sup>, N<sup>65</sup>>~~D~~<sup>526</sup>, S<sup>68</sup>-~~M~~<sup>529</sup>,  
<sup>L</sup><sup>70</sup>-~~K~~<sup>531</sup>, <sup>72</sup>R<sup>73</sup>><sup>533</sup>~~D~~<sup>534</sup>, D<sup>77</sup>-~~M~~<sup>538</sup>, W<sup>79</sup>>~~D~~<sup>540</sup>, R<sup>81</sup>>~~W~~<sup>542</sup>, C<sup>87</sup>>~~S~~<sup>548</sup>, N<sup>96</sup>-~~K~~<sup>557</sup>,  
<sup>Y</sup><sup>100</sup>>~~P~~<sup>561</sup>, L<sup>103</sup>->~~H~~<sup>564</sup>, Y<sup>106</sup>->~~S~~<sup>567</sup>, K<sup>125</sup>->~~F~~<sup>586</sup>, S<sup>127</sup>->~~E~~<sup>588</sup>, Y<sup>132</sup>->~~E~~<sup>593</sup>, K<sup>134</sup>->~~Y~~<sup>595</sup>

Peptide linker / Peptide liant / Peptido de unión  
 447~~GGGGGGGGGGGGGG~~<sup>61</sup>

#### Post-translational modifications

Disulfide bridges location / Position des ponts disulfure / Posiciones de los puentes disulfuro  
 Intra heavy chain-lipocalin-2: 22-95, 147-203, 261-321, 367-425, 537-636,  
 22"-95", 147"-203", 261"-321", 367"-425", 537"-636"

Intra light chain: 23"-88", 134"-194", 23"-88", 134"-194"

Inter heavy chain-heavy chain: 226-226", 229-229"

Inter heavy chain-light chain: 134-214", 134"-214"

N-glycosylation sites / Sites de N-glycosylation / Posiciones de N-glicosilación  
 N297, N297"

N-terminal glutaminyl cyclization / Cyclisation du glutaminyle N-terminal / Ciclación del glutaminilo N-terminal

Heavy chain: Q1,Q1"> pyroglutamyl (pE, 5-oxo-L-prolyl)

#### solnerstotugum #

solnerstotug

immunoglobulin G1-kappa, anti-[*Homo sapiens* VSIR (V-set immunoregulatory receptor, B7H5, B7-H5, PDCD1 homolog, PD-1H, stress induced secreted protein 1, SISP1, V-domain Ig suppressor of T cell activation, VISTA)], *Homo sapiens* monoclonal antibody;  
 H-gamma1 heavy chain *Homo sapiens* (1-452) [VH (*Homo sapiens* IGHV3-48\*01 (94.9%) -(IGHD) -IGHJ1\*01 (100%), CDR-IMGT [8.8.15] (26-33.51-58.97-111)) (1-122) -*Homo sapiens*IGHG1\*03v (100%) G1m3>G1m17, nG1m1 CH1 K120, CH3 E12, M14 (CH1 R120>K (219) (123-220), hinge 1-15 (221-235), CH2 (236-345), CH3 E12 (361), M14 (363) (346-450), CHS (451-452)) (123-452)], (225-215')-disulfide with L-kappa light chain *Homo sapiens* (1'-215') [V-KAPPA (*Homo sapiens* IGKV1-33\*01 (94.7%) -IGKJ4\*01 (100%), CDR-IMGT [6.3.10] (27'-32'.50'-52'.89'-98')) (1'-108') -*Homo sapiens* IGKC\*01 (100%) Km3 A45.1, V101 (C-KAPPA A45.1 (154'), V101 (192')) (109'-215')]; dimer (231-231":234-234")-bisdisulfide, produced in Chinese hamster ovary (CHO) cells, glycoform alfa  
*immunostimulant, antineoplastic*

solnerstotug

immunoglobuline G1-kappa, anti-[*Homo sapiens* VSIR (récepteur immunorégulateur du V-set, B7H5, B7-H5, homologue du PDCD1, PD-1H, protéine 1 secrétée induite par le stress, SISP1, suppresseur d'activation de cellule T du V-set Ig, VISTA)], anticorps monoclonal *Homo sapiens*; chaîne lourde H-gamma1 *Homo sapiens* (1-452) [VH (*Homo sapiens* IGHV3-48\*01 (94.9%) - (IGHD) - IGHJ1\*01 (100%), CDR-IMGT [8.8.15] (26-33.51-58.97-111)) (1-122) -*Homo sapiens*IGHG1\*03v (100%) G1m3>G1m17, nG1m1 CH1 K120, CH3 E12, M14 (CH1 R120>K (219) (123-220), charnière 1-15 (221-235), CH2 (236-345), CH3 E12 (361), M14 (363) (346-450), CHS (451-452)) (123-452)], (225-215')-disulfure avec la chaîne légère L-kappa *Homo sapiens* (1'-215') [V-KAPPA (*Homo sapiens* IGKV1-33\*01 (94.7%) -IGKJ4\*01 (100%), CDR-IMGT [6.3.10] (27'-32'.50'-52'.89'-98')) (1'-108') -*Homo sapiens* IGKC\*01 (100%) Km3 A45.1, V101 (C-KAPPA A45.1 (154'), V101 (192')) (109'-215')]; dimère (231-231":234-234")-bisdisulfure, produit dans des cellules ovarianes de hamster chinois (CHO), glycoforme alfa *immunostimulant, antinéoplasique*

solnerstotug

inmunoglobulina G1-kappa, anti-[*Homo sapiens* VSIR (receptor inmunoregulador del V-set, B7H5, B7-H5, homólogo del PDCD1, PD-1H, proteína secretada 1 inducida por el estrés, SISP1, supresor de la activación de células T del V-set Ig, VISTA)], anticuerpo monoclonal *Homo sapiens*; cadena pesada H-gamma1 *Homo sapiens* (1-452) [VH (*Homo sapiens* IGHV3-48\*01 (94.9%) - (IGHD) - IGHJ1\*01 (100%), CDR-IMGT [8.8.15] (26-33.51-58.97-111)) (1-122) -*Homo sapiens*IGHG1\*03v (100%) G1m3>G1m17, nG1m1 CH1 K120, CH3 E12, M14 (CH1 R120>K (219) (123-220), bisagra 1-15 (221-235), CH2 (236-345), CH3 E12 (361), M14 (363) (346-450), CHS (451-452)) (123-452)], (225-215')-disulfuro con la cadena ligera L-kappa *Homo sapiens* (1'-215') [V-KAPPA (*Homo sapiens* IGKV1-33\*01 (94.7%) -IGKJ4\*01 (100%), CDR-IMGT [6.3.10] (27'-32'.50'-52'.89'-98')) (1'-108') -*Homo sapiens* IGKC\*01 (100%) Km3 A45.1, V101 (C-KAPPA A45.1 (154'), V101 (192')) (109'-215')]; dímero (231-231":234-234")-bisdisulfuro, producido en las células ováricas de hámster chino (CHO), forma glicosilada alfa *inmuoestimulante, antineoplásico*

2927399-38-8

Heavy chain / Chaîne lourde / Cadena pesada  
 EVQLVESGGG LVQPGVSLRL SCASGFTFD DYSMNNWVRQA PGKGLEWVSY 50  
 ISSDADTIYV ADSVKGRFTI SRDNAKNSLY LQMNNSLAED TAVYYCAREA 100  
 GGVILGRVDFQ HWGQGTLVTV SSASTKGPSK FPLAPSSKST SGGTAAALGLC 150  
 VKDYFEEPV VSWNSGALT GVHTFFPAVLQ SSSLYSLSST VTPVSSLGT 200  
 QTYICVNHNK PSNTKVDKVY EPKSCDKTHT CPCCPAPELL GGPSVFLFP 250  
 KPKDTLMISR TPEVTCVVVD VSHEDPEVKF NWYVDGVEVH NAKTKPREQ 300  
 YNSTYRVVSV LTVLHQDWLN GKEYKCVSN KALPAPIEK I SKAKGQPQE 350  
 PQVYTLPPSR EEMTKNQVSL TCLVKGFYPS DIAVEWESNG QPENNYKTTP 400  
 PVLDSDGSFF LYSKLTVDKS RWQQGNVFSC SVMHEALHNH YTQKSLSLSP 450  
 GK 452

Light chain / Chaîne légère / Cadena ligera  
 DIQLTQSPSS LSASVGRVT ITAQASQDIS NYLNWYQQKP GKAPKLLIYD 50  
 ASNLTGVP S RFSGSGSGTD FTFTISSLQP EDIATYYCQQ ADFVPPWTFC 100  
 GGTKVEIKRT VAAPSVFIFP PSEDEQLKSGT ASVVCLLNNF YPREAKVQWK 150  
 VDNALQSGNS QESVTEQDSK DSTYSLSSL TLSKADYEKH KVYACEVTHQ 200  
 GLSSPVTKSF NRGECK 215

#### Post-translational modifications

Disulfide bridges location / Position des ponts disulfure / Posiciones de los puentes disulfuro  
 Intra-H (C23-C104) 22"-96" 149"-205" 266"-326" 372"-430"  
 22"-96" 149"-205" 266"-326" 372"-430"  
 Intra-L (C23-C104) 23"-88" 135"-195"  
 23"-88" 135"-195"  
 Inter-H-L (h 5-CL 126) 225"-215" 225"-215"  
 Inter-H-H (h 11, h 14) 231"-231" 234"-234"

N-glycosylation sites / Sites de N-glycosylation / Posiciones de N-glicosilación  
 H CH2 N84.4; 302, 302"  
 Fucosylated complex bi-antennary CHO-type glycans / glycanes de type CHO bi-antennaires complexes fucosylés / glicanos de tipo CHO biantenarios complejos fucosilados

C-terminal lysine clipping / Coupe de la lysine C-terminale / Recorte de lisina C-terminal  
 H CHS K2: 452, 452"

### **sonesitatugum #**

sonesitatug

immunoglobulin G1-kappa, anti-[*Homo sapiens* CLDN18 (claudin 18, claudin-18, surfactant associated protein J, SFTPJ) isoform 2], humanized monoclonal antibody; H-gamma1 heavy chain humanized (1-448) [VH (*Homo sapiens* IGHV4-59\*11 (94.8%) -(IGHD) -IGHJ4\*01 (92.9%), CDR-IMGT [9.7.11] (26-34.52-58.97-107)) (1-118) -*Homo sapiens* IGHG1\*03 (100%) G1m3, nG1m1 CH1 R120, CH3 E12, M14 (CH1 R120 (215) (119-216), hinge 1-15 (217-231), CH2 (232-341), CH3 E12 (357), M14 (359) (342-446), CHS (447-448) (119-448)], (221-220')-disulfide with L-kappa light chain humanized (1'-220') [V-KAPPA (*Homo sapiens* IGKV4-1\*01 (92.1%) -IGKJ1\*01 (100%), CDR-IMGT [12.3.9] (27'-38'-56'-58'.95'-103')) (1'-113') -*Homo sapiens* IGKC\*01 (100%) Km3 A45.1, V101 (C-KAPPA A45.1 (159'), V101 (197')) (114'-220')]; dimer (227-227":230-230")-bisdisulfide, produced in Chinese hamster ovary (CHO) cells, derived from CHO-K1 cell line, lacking the glutamine synthetase (GS-KO) gene, glycoform alfa anti-claudin, antineoplastic

sonésitatug

immunoglobuline G1-kappa, anti-[*Homo sapiens* CLDN18 (claudine 18, claudine-18, protéine J associée au surfactant, SFTPJ) isoforme 2], anticorps monoclonal humanisé; chaîne lourde H-gamma1 humanisée (1-448) [VH (*Homo sapiens* IGHV4-59\*11 (94.8%) -(IGHD) -IGHJ4\*01 (92.9%), CDR-IMGT [9.7.11] (26-34.52-58.97-107)) (1-118) -*Homo sapiens* IGHG1\*03 (100%) G1m3, nG1m1 CH1 R120, CH3 E12, M14 (CH1 R120 (215) (119-216), charnière

1-15 (217-231), CH2 (232-341), CH3 E12 (357), M14 (359) (342-446), CHS (447-448)) (119-448)], (221-220')-disulfure avec la chaîne légère L-kappa humanisée (1'-220') [V-KAPPA (*Homo sapiens* IGKV4-1\*01 (92.1%) -IGKJ1\*01 (100%), CDR-IMGT [12.3.9] (27'-38'.56'-58'.95'-103')) (1'-113') -*Homo sapiens* IGKC\*01 (100%) Km3 A45.1, V101 (C-KAPPA A45.1 (159'), V101 (197')) (114'-220')]; dimère (227-227":230-230")-bisdisulfure, produit dans des cellules ovarianes de hamster chinois (CHO), dérivant de la lignée cellulaire CHO-K1, ne présentant pas le gène de la glutamine synthétase (GS-KO), glycoforme alfa anti-claudine, antinéoplasique

sonesitatuq

inmunoglobulina G1-kappa, anti-[*Homo sapiens* CLDN18 (claudina 18, claudina-18, proteína J asociada con surfactante, SFTPJ) isoforma 2], anticuerpo monoclonal humanizado; cadena pesada H-gamma1 humanizada (1-448) [VH (*Homo sapiens* IGHV4-59\*11 (94.8%) -(IGHD) -IGHJ4\*01 (92.9%), CDR-IMGT [9.7.11] (26-34.52-58.97-107)) (1-118) -*Homo sapiens* IGHG1\*03 (100%) G1m3, nG1m1 CH1 R120, CH3 E12, M14 (CH1 R120 (215) (119-216), bisagra 1-15 (217-231), CH2 (232-341), CH3 E12 (357), M14 (359) (342-446), CHS (447-448)) (119-448)], (221-220')-disulfuro con la cadena ligera L-kappa humanizada (1'-220') [V-KAPPA (*Homo sapiens* IGKV4-1\*01 (92.1%) -IGKJ1\*01 (100%), CDR-IMGT [12.3.9] (27'-38'.56'-58'.95'-103')) (1'-113') -*Homo sapiens* IGKC\*01 (100%) Km3 A45.1, V101 (C-KAPPA A45.1 (159'), V101 (197')) (114'-220')]; dímero (227-227":230-230")-bisdisulfuro, producido en las células ováricas de hámster chino (CHO), línea celular derivada de CHO-K1, en ausencia del gen glutamina sintetasa (GS-KO), forma glicosilada alfa anti-claudina, antineoplásico

2883771-43-3

Heavy chain / Chaîne lourde / Cadena pesada

QVQLQESQPG LVLPSETLSQL TCTVSGGSIS SNYAWNWIRO PPGKGLEWIG 50  
YIYYSGNTNY NPSLKSRLVTI SRDTSKRNQFS LKLSVTAAD TAVYVCATSY 100  
YGNSTFIYWQG GTLTVTSSAS TKGPSVFPPLA PSSKSTSGGT AALGCLVKDY 150  
FPEPVITVSWN SGALTSGVHT FPAAVLFQSSL YSLSVSVTVP SSSLGQTQTY 200  
CNVNHKPSNT KVDKRVEPKS CDKTHTCPPC PAPEFLGGPS VFLFPKPKD 250  
TLMIISRTEPV TCVVVDVSH DPEVKFNWVY DGVEVHNNAKT KPREEQYNST 300  
YRVSVSLTVL HQDWLNGKEY KCKVSNKALP APIEKTISKA KGQPREPQVY 350  
TLPSPREEMT KNQVSLTCLV KGFPYPSDIV EWESNCQOPEN NYKTTTPVLD 400  
SDGSFFFLYSK LTVDKSRSRWWQ GNFVSCSVMH EALHNHYTQK SLSLSPGK 448

Light chain / Chaîne légère / Cadena ligera

DIVMTQSPDS LAVSLGERAT INCKKSQNSL NSGNQKNYLT WYQQKPGQPP 50  
KLLIIWASTR ESGVPDRFG SGSGTDFTLT ISSLQAEDVA VYVQCNAYSF 100  
PWTFGQGTKV EIKRTVAAPS VFIFPPSDEQ LKSGTASVVC LLNNFYPREA 150  
KVQWVKVNDAL QSGNSQESVTT EQDSKDDSTYS LSSTLTLASKA DYEKHKVYAC 200  
EVTHQGLLSPP VTKSFNRGEC 220

**Post-translational modifications**

Disulfide bridges location / Position des ponts disulfure / Posiciones de los puentes disulfuro

Intra-II (C23-C104) 22-96 145-201 262-322 368-426

22"-96" 145"-201" 262"-322" 368"-426"

Intra-L (C23-C104) 23"-94" 140"-200"

23"-94" 140"-200"

Inter-II-L (h 5-CL 126) 221-220' 221"-220"

Inter-H-H (h 11, h 14) 227-227" 230-230"

N-terminal glutaminyl cyclization / Cyclisation du glutaminyle N-terminal / Ciclación del glutamínilo N-terminal

Q&gt;pyroglutamyl (pE, 5-oxoprolyl) / pyroglutamyl (pE, 5-oxoprolile) / piroglutamilo (pE, 5-oxoprolilo)

HVH Q1: 1, 1"

N-glycosylation sites / Sites de N-glycosylation / Posiciones de N-glicosilación

H CH2 N84.4: 298, 298"

Fucosylated complex bi-antennary CHO-type glycans / glycanes de type CHO bi-antennaires complexes fucosylés / glicanos de tipo CHO biantenarios complejos fucosilados

C-terminal lysine clipping / Coupe de la lysine C-terminale / Recorte de lisina C-terminal

H CHS K2: 448, 448"

**sonesitatugum vedotinum #**

sonesitatug vedotin

immunoglobulin G1-kappa, anti-[*Homo sapiens* CLDN18 (claudin 18, claudin-18, surfactant associated protein J, SFTPJ) isoform 2], humanized monoclonal antibody, conjugated on an average of four cysteinyl residues to *vedotin*, comprising a cleavable linker and monomethylauristatin E (MMAE); H-gamma1 heavy chain humanized (1-448) [VH (*Homo sapiens* IGHV4-59\*11 (94.8%) -(IGHD)-IGHJ4\*01 (92.9%), CDR-IMGT [9.7.11] (26-34.52-58.97-107)) (1-118) -*Homo sapiens* IGHG1\*03 (100%) G1m3, nG1m1 CH1 R120, CH3 E12, M14 (CH1 R120 (215) (119-216), hinge 1-15 (217-231), CH2 (232-341), CH3 E12 (357), M14 (359) (342-446), CHS (447-448)) (119-448)], (221-220')-disulfide with L-kappa light chain humanized (1'-220') [V-KAPPA (*Homo sapiens* IGKV4-1\*01 (92.1%) -IGKJ1\*01 (100%), CDR-IMGT [12.3.9] (27-38'.56'-58'.95'-103')) (1'-113') -*Homo sapiens* IGKC\*01 (100%) Km3 A45.1, V101 (C-KAPPA A45.1 (159'), V101 (197')) (114'-220')]; dimer (227-227":230-230")-bisdisulfide, produced in Chinese hamster ovary (CHO) cells, derived from the cell line CHO-K1, lacking the glutamine synthetase (GS-KO) gene, glycoform alfa; substituted at the sulfur atoms of four L-cysteinyl residues on an average among 221, 227, 230, 220', 221", 227", 230" and 220" with a group consisting of (3RS)-1-(6-[(2S)-1-[(2S)-5-(carbamoylamino)-1-[4-[(2S)-1-[(2S)-1-[(3R,4S,5S)-1-[(2S)-2-[(1R,2R)-3-[(1S,2R)-1-hydroxy-1-phenylpropan-2-yl]amino]-1-methoxy-2-methyl-3-oxopropyl]pyrrolidin-1-yl]-3-methoxy-5-methyl-1-oxoheptan-4-yl](methyl)amino]-3-methyl-1-oxobutan-2-yl]amino)-3-methyl-1-oxobutan-2-yl](methyl)carbamoyl}oxy)methyl]anilino}-1-oxopentan-2-yl]amino)-3-methyl-1-oxobutan-2-yl]amino}-6-oxohexyl)-2,5-dioxopyrrolidin-3-yl (*vedotin*) *anti-claudin, antineoplastic*

sonésitatug védotine

immunoglobuline G1-kappa, anti-[*Homo sapiens* CLDN18 (claudine 18, claudine-18, protéine J associée au surfactant, SFTPJ) isoforme 2], anticorpus monoclonal humanisé, conjugué, par quatre résidus cystéinylique en moyenne à la *védotine*, comprenant un linker clivable et monométhylauristatine E (MMAE); chaîne lourde H-gamma1 humanisée (1-448) [VH (*Homo sapiens* IGHV4-59\*11 (94.8%) -(IGHD)-IGHJ4\*01 (92.9%), CDR-IMGT [9.7.11] (26-34.52-58.97-107)) (1-118) -*Homo sapiens* IGHG1\*03 (100%) G1m3, nG1m1 CH1 R120, CH3 E12, M14 (CH1 R120 (215) (119-216), charnière 1-15 (217-231), CH2 (232-341), CH3 E12 (357), M14 (359) (342-446), CHS (447-448)) (119-448)], (221-220')-disulfure avec la chaîne légère L-kappa humanisée (1'-220') [V-KAPPA (*Homo sapiens* IGKV4-1\*01 (92.1%) -IGKJ1\*01 (100%), CDR-IMGT [12.3.9] (27-38'.56'-58'.95'-103')) (1'-113') -*Homo sapiens* IGKC\*01 (100%) Km3 A45.1, V101 (C-KAPPA A45.1 (159'), V101 (197')) (114'-220')]; dimère (227-227":230-230")-bisdisulfure, produit dans des cellules

ovariennes de hamster chinois (CHO), dérivant de la lignée cellulaire CHO-K1, ne présentant pas le gène de la glutamine synthétase (GS-KO), glycoforme alfa; substitué sur l'atome de soufre de quatre résidus L-cystéinyle en moyenne parmi 221, 227, 230, 220', 221', 227', 230" et 220" avec un groupe (3RS)-1-(6-{{(2S)-1-{{(2S)-5-(carbamoylamino)-1-4-{{(2S)-1-{{(2S)-1-{{(3R,4S,5S)-1-{{(2S)-2-{{(1R,2R)-3-{{(1S,2R)-1-hydroxy-1-phénylpropan-2-yl]amino}-1-méthoxy-2-méthyl-3-oxopropyl]pirrolidin-1-yl}-3-méthoxy-5-méthyl-1-oxoheptan-4-yl]méthyl]amino}-3-méthyl-1-oxobutan-2-yl]amino}-3-méthyl-1-oxobutan-2-yl]méthyl]carbamoyl]oxy)méthyl]anilino}-1-oxopentan-2-yl]amino}-3-méthyl-1-oxobutan-2-yl]amino}-6-oxohexyl)-2,5-dioxopyrrolidin-3-yle (*vedotina*)  
*anti-claudine, antineoplasique*

sonesitatug vedotina

inmunoglobulina G1-kappa, anti-[*Homo sapiens* CLDN18 (claudina 18, claudina-18, proteína J asociada con surfactante, SFTPJ) isoforma 2], anticuerpo monoclonal humanizado, conjugado, en una media de cuatro residuos cisteinilo a la vedotina, que comprende un enlace escindible y monometilauristatina E (MMAE); cadena pesada H-gamma1 humanizada (1-448) [VH (*Homo sapiens*IGHV4-59\*11 (94.8%) -(IGHD) -IGHJ4\*01 (92.9%), CDR-IMGT [9.7.11] (26-34.52-58.97-107)) (1-118) -*Homo sapiens*IGHG1\*03 (100%) G1m3, nG1m1 CH1 R120, CH3 E12, M14 (CH1 R120 (215) (119-216), bisagra 1-15 (217-231), CH2 (232-341), CH3 E12 (357), M14 (359) (342-446), CHS (447-448)) (119-448)], (221-220')-disulfuro con la cadena ligera L-kappa humanizada (1'-220') [V-KAPPA (*Homo sapiens*IGKV4-1\*01 (92.1%)-IGKJ1\*01 (100%), CDR-IMGT [12.3.9] (27'-38'.56'-58'.95'-103')) (1'-113') -*Homo sapiens*IGKC\*01 (100%) Km3 A45.1, V101 (C-KAPPA A45.1 (159'), V101 (197')) (114'-220')]; dímero (227-227":230-230")-bisdisulfuro, producido en las células ováricas de hámster chino (CHO), línea celular derivada de CHO-K1, en ausencia del gen glutamina sintetasa (GS-KO), forma glicosilada alfa; sustituido en el átomo de azufre de cuatro residuos L-cisteinilo en una media entre 221, 227, 230, 220', 221', 227", 230" y 220" con un grupo (3RS)-1-(6-{{(2S)-1-{{(2S)-5-(carbamoylamino)-1-4-{{(2S)-1-{{(2S)-1-{{(3R,4S,5S)-1-{{(2S)-2-{{(1R,2R)-3-{{(1S,2R)-1-hidroxi-1-fenilpropan-2-yl]amino}-1-metoxi-2-metil-3-oxopropyl]pirrolidin-1-yl}-3-metoxi-5-metil-1-oxoheptan-4-yl]metil]amino}-3-metil-1-oxobutan-2-yl]metil]carbamoyl]oxy)metil]anilino}-1-oxopentan-2-yl]amino}-3-metil-1-oxobutan-2-yl]amino}-6-oxohexil)-2,5-dioxopyrrolidin-3-ilo (*vedotina*)  
*anticlaudina, antineoplásico*

## Heavy chain / Chaîne lourde / Cadena pesada

QVQLOQESPGG LVKFSETLSL TCTVSGGSIS SNYAWNWIRO PPGKGLEWIG 50  
 YIYYSGNTNY NPSLKSRTVI SRDTSKNQFS LKLSSTVIAAD TAVYYCATSY 100  
 YGNSFIYWQQ GTLVTVSSAS TKGPSPVPLA PSSKSTSGGT AALGCLVRDY 150  
 FPEPVTVSWN SGALTSGVHT FPAPVLQSSGL YSLSSVTVP SSSLCTQTYI 200  
 CNVNHKPSNT KVDKRVEPKS CDKTHTCPPC PAPELLGGPS VFLFPPKFD 250  
 TLMISRTPEV TCVVVDVSHE DPEVKFNWYV DGVEVHNART KPREEQYNST 300  
 YRVVSVLTVL HQDWLNGKEY KCKVSNKALP APIEKTIASKA KGQPREPVQY 350  
 TLPPSREEMT KNQVSLTCLV KGFYPSDIAV EWESNGQPEN NYKTPPVLD 400  
 SDGSFFLYSK LTVDKSRWQQ GNVFSCSVMH EALHNHYTQK SLSLSPGK 448

## Light chain / Chaîne légère / Cadena ligera

DIVMTQSPDLS LAVSLGERAT INCKSSQSLL NSGNQKNYLW WYQQKPGQPP 50  
 KLLIYWASTR ESGVPDRFSG SGSGTDFTLT ISSLQAEDVA VYYCQNAYSF 100  
 PWTFCQGTKV EIKRTVAAPS VFIFPPSDEQ LKSGTASVVC LLNNFYPREA 150  
 KVQWKVDNL QSGNQSQESVT EQDSKDSTYS LSSTLTLKA DYEKHKVYAC 200  
 EVTHQQLSSP VTKSFNRGEC 220

## Post-translational modifications

Disulfide bridges location / Position des ponts disulfure / Posiciones de los puentes disulfuro  
 Intra-H (C23-C104) 22-96 145-201 262-322 368-426

22"-96" 145"-201" 262"-322" 368"-426"

Intra-L (C23-C104) 23"-94" 140"-200"  
 23""-94"" 140""-200""

Inter-H-L (h 5-CL 126) \* 221-220" 221"-220"

Inter-H-H (h 11, h 14) \* 227-227" 230-230"

\*At least two of the four inter-chain disulfide bridges are not present, an average of four cysteinyl being conjugated each via a thioether bond to a drug linker.

\*Au moins deux des quatre ponts disulfures inter-chaines ne sont pas présents, quatre cystéinyl en moyenne étant chacun conjugué via une liaison thioéther à un linker-principe actif.

\*Al menos dos de los cuatro puentes disulfuro inter-catenarios no estan presentes, una media de cuatro cisteinil está conjugada a conectores de principio activo.

## N-terminal glutaminyl cyclization / Cyclisation du glutaminyle N-terminal / Ciclación del glutamino N-terminal

Q > pyroglutamyl (pE, 5-oxoprolyl) / pyroglutamyle (pE, 5-oxoprolile) / piroglutamilo (pE, 5-oxoprolilo)  
 H VH QI: 1, 1"

## N-glycosylation sites / Sites de N-glycosylation / Posiciones de N-glicosilación

H CH2 N84.4: 298, 298"

Fucosylated complex bi-antennary CHO-type glycans / glycanes de type CHO bi-antennaires complexes fucosylés / glicanos de tipo CHO biantenarios complejos fucosilados

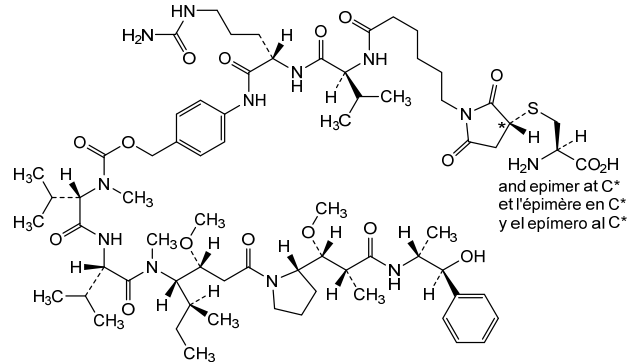
## C-terminal lysine clipping / Coupure de la lysine C-terminale / Recorte de lisina C-terminal

H CHS K2: 448, 448"

## Potential modified residues / résidus modifiés potentiels / restos modificados potenciales\*

C (221, 227, 230, 220", 221", 227", 230", 220")

\*(vedotin:mAb ~4:1)



**sonruvetcelum**

- sonruvetcel** feline allogeneic mesenchymal stem cells (MSCs) isolated from the abdominal cavity of donor cats. The allogeneic mesenchymal stem cells are isolated from excised minced uterine tissue by enzymatic digestion, washed and then cryopreserved as a master cell bank. The MSCs are expanded in media containing heparin, fetal bovine serum (FBS), human insulin, hydrocortisone, human transferrin, fibroblast growth factor 2 (FGF-2), tumour necrosis factor alpha (TNF- $\alpha$ ) and platelet-derived growth factor containing two B subunits (PDGF-BB).  
 The cells are negative (<10%) for CD34, CD45, and major histocompatibility complex class II (MHC II) molecules (HLA-DR/HLA-DP/HLA-DQ) and are comprised of both stromal ( $\geq 60\%$ ) and epithelial ( $\leq 40\%$ ) precursor cells. The stromal progenitor cell population is CD105 (60-100%) and CD44 positive (90-100%), while the epithelial progenitor cell population is CD105 negative and a mixture of CD44 positive and negative. The cells secrete anti-inflammatory and immune modulating cytokines (prostaglandin E2 (PGE2) and demonstrate expression of indoleamine 2,3-dioxygenase 1 (IDO-1) and CXC-motif chemokine ligand-9 (CXCL-9))  
*cell therapy (veterinary use)*
- sonruvetcel** cellules souches mésenchymateuses allogéniques (CSM) de félin isolées de la cavité abdominale de chats donneurs. Les cellules souches mésenchymateuses allogéniques sont isolées à partir du tissu utérin émincé par digestion enzymatique, lavées, puis cryoconservées en tant que banque maîtresse de cellules. Les CSM sont mises en expansion dans un milieu contenant de l'héparine, du sérum bovin foetal (SBF), de l'insuline humaine, de l'hydrocortisone, de la transferrine humaine, du facteur de croissance des fibroblastes de type 2 (FGF-2), du facteur de nécrose tumorale alpha (TNF- $\alpha$ ) et du facteur de croissance dérivé des plaquettes contenant deux sous-unités B (PDGF-BB).  
 Les cellules sont négatives (<10%) pour CD34, CD45, et les molécules du complexe majeur d'histocompatibilité de classe II (MHC II) (HLA-DR/HLA-DP/HLA-DQ) et sont des cellules précurseurs stromales ( $\geq 60\%$ ) et épithéliales ( $\leq 40\%$ ). La population de cellules progénitrices stromales est CD105+ (60-100%) et CD44+ (90-100%), tandis que la population de cellules progénitrices épithéliales est CD105- et un mélange de CD44+ et CD44-. Les cellules sécrètent des cytokines anti-inflammatoires et immunomodulatrices (prostaglandine E2 (PGE2)) et démontrent l'expression de l'indoléamine-2,3-dioxogénase 1 (IDO-1) et du ligand 9 de la chimiokine à motif CXC (CXCL-9))  
*thérapie cellulaire (usage vétérinaire)*
- sonruvetcel** células madre mesenquimales (CMM) alogénicas felinas aisladas de la cavidad abdominal de gatos donantes. Las células madre mesenquimales alogénicas se aíslan de tejido uterino extirpado y picado mediante digestión enzimática, se lavan y después se criopreservan en un banco de células maestro. Las CMM se expanden en medio que contiene heparina, suero bovino fetal (FBS), insulina humana, hidrocortisona, transferrina humana, factor de crecimiento de fibroblastos 2 (FGF-2), factor de necrosis tumoral alfa (TNF- $\alpha$ ) y factor de crecimiento derivado de plaquetas que contiene dos subunidades B (PDGF-BB).  
 Las células son negativas (<10%) para CD34, CD45 y moléculas del complejo principal de histocompatibilidad de clase II (MHC II) (HLA-DR/HLA-DP/HLA-DQ) y constan de células precursoras estromales ( $\geq 60\%$ ) y epiteliales ( $\leq 40\%$ ). La población de células progenitoras estromales es positiva para CD105 (60-100%) y CD44 (90-100%), mientras que la población de células progenitoras epiteliales es negativa para CD105 y una mezcla de positivas y negativas para CD44. Las células secretan citoquinas anti-inflamatorias e inmunomoduladoras (prostaglandina E2 (PGE2)) y demuestran expresión de indoleamina 2,3-dioxigenasa 1 (IDO-1) y ligando de quimoquina con motivo CXC 9 (CXCL-9))  
*terapia celular (uso veterinario)*

**sovipostobartum beta #**

- sovipostobart beta immunoglobulin G1-kappa, anti-[*Homo sapiens* CTLA4 (cytotoxic T-lymphocyte associated protein 4, CTLA-4, CD152)], *Homo sapiens* monoclonal antibody with a cleavable prodomain of 44 amino acids fused at the N-terminal end of the L-kappa light chains; H-gamma1 heavy chain *Homo sapiens* (1-447) [VH (*Homo sapiens* IGHV3-30\*01 (94.9%) -(IGHD) -IGHJ4\*01 (100%), CDR-IMGT [8.8.11] (26-33.51-58.97-107)) (1-118) -*Homo sapiens* IGHG1\*01v, G1m17,1>G1m3,1 CH1 R120, CH3 D12, L14 (CH1 R120 (215) (119-216), hinge 1-15 (217-231), CH2 (232-341), CH3 D12 (357), L14 (359) (342-446), CHS K2>del (447)) (119-447)], (221-259')-disulfide with L-kappa light chain *Homo sapiens* fused at its N-terminal end to a cleavable prodomain (1'-259') [prodomain (1'-44') -*Homo sapiens* V-KAPPA (*Homo sapiens* IGKV3-20\*01 (97.9%) -IGKJ1\*01 (100%), CDR-IMGT [7.3.9] (71'-77'.95'-97'.134'-142')) (45'-152') -*Homo sapiens* IGKC\*01 (100%) Km3 A45.1, V101 (C-KAPPA A45.1 (198'), V101 (236')) (153'-259')]; dimer (227-227":230-230")-bisdisulfide, produced in a Chinese hamster ovary (CHO) cell line lacking the enzyme alpha-(1,6)-fucosyltransferase (FUT8), glycoform beta *immunostimulant, antineoplastic*
- sovipostobart bêta immunoglobuline G1-kappa, anti-[*Homo sapiens* CTLA4 (protéine 4 associée aux lymphocytes T cytotoxiques, CTLA-4, CD152)], anticorps monoclonal *Homo sapiens* avec un prodomaine clivable de 44 acides aminés fusionné à l'extrémité N-terminale des chaînes légères L-kappa; chaîne lourde H-gamma1 *Homo sapiens* (1-447) [VH (*Homo sapiens* IGHV3-30\*01 (94.9%) -(IGHD) -IGHJ4\*01 (100%), CDR-IMGT [8.8.11] (26-33.51-58.97-107)) (1-118) -*Homo sapiens* IGHG1\*01v, G1m17,1>G1m3,1 CH1 R120, CH3 D12, L14 (CH1 R120 (215) (119-216), charnière 1-15 (217-231), CH2 (232-341), CH3 D12 (357), L14 (359) (342-446), CHS K2>del (447)) (119-447)], (221-259')-disulfure avec la chaîne légère L-kappa *Homo sapiens* fusionnée à son extrémité N-terminale à un prodomaine clivable (1'-259') [prodomaine (1'-44') -*Homo sapiens* V-KAPPA (*Homo sapiens* IGKV3-20\*01 (97.9%) -IGKJ1\*01 (100%), CDR-IMGT [7.3.9] (71'-77'.95'-97'.134'-142')) (45'-152') -*Homo sapiens* IGKC\*01 (100%) Km3 A45.1, V101 (C-KAPPA A45.1 (198'), V101 (236')) (153'-259')]; dimère (227-227":230-230")-bisdisulfure, produit dans une lignée cellulaire des cellules ovarienches de hamster chinois (CHO) ne présentant pas l'enzyme alpha-(1,6)-fucosyltransférase (FUT8), glycoforme bêta *immunostimulant, antinéoplastique*
- sovipostobart beta inmunoglobulina G1-kappa, anti-[*Homo sapiens* CTLA4 (proteína 4 asociada con los linfocitos T citotóxicos, CTLA-4, CD152)], anticuerpo monoclonal *Homo sapiens* con un prodominio escindible de 44 ácidos aminos fusionado a la extremidad N-terminal de las cadenas ligeras L-kappa; cadena pesada H-gamma1 *Homo sapiens* (1-447) [VH (*Homo sapiens* IGHV3-30\*01 (94.9%) -(IGHD) -IGHJ4\*01 (100%), CDR-IMGT [8.8.11] (26-33.51-58.97-107)) (1-118) -*Homo sapiens* IGHG1\*01v, G1m17,1>G1m3,1 CH1 R120, CH3 D12, L14 (CH1 R120 (215) (119-216), bisagra 1-15 (217-231), CH2 (232-341), CH3 D12 (357), L14 (359) (342-446), CHS K2>del (447)) (119-447)], (221-259')-disulfuro con la cadena ligera L-kappa *Homo sapiens* fusionada a su extremidad N-terminal con un prodominio escindible (1'-259') [prodominio (1'-44') -*Homo sapiens* V-KAPPA (*Homo sapiens* IGKV3-20\*01 (97.9%) -IGKJ1\*01 (100%), CDR-IMGT [7.3.9] (71'-77'.95'-97'.134'-142')) (45'-152')]

*-Homo sapiens IGKC\*01 (100%) Km3 A45.1, V101 (C-KAPPA A45.1 (198'), V101 (236')) (153'-259']); dímero (227-227":230-230")-bisdisulfuro, producido en una línea celular de las células ováricas de hámster chino (CHO) en ausencia de la enzima alfa-(1,6-fucosiltransferasa (FUT8), forma glicosilada beta  
inmunoestimulante, antineoplásico*

2649371-20-8

**Heavy chain / Chaîne lourde / Cadena pesada**

QVQLVESGGG VVQPGRSLRL SCAASGFTFS SYTMHWVRQA PGKGLEWVTF 50  
ISYDGNNKKYY ADSVKGRTFI SRDN SKNTLY LQMN SLRAED TAI YYCARTG 100  
WLGPFDYWGQ GTLTVTSSAS TKGPSVFLA PSSKSTSGGT AALGCLVKDY 150  
FPEPVTVSWI SGALTGVH FPAPVLQSSGL YSSL SVVTVP SSSL GTQTYI 200  
CNVNHKPNT KVDKRVEPKS CDKTHTCPPC PAPELLGGPS VFLFP PKFD 250  
TLMISRTPEV TCVVVDVSH DPEVKFNWYV DGVEVHNAAKT KPREEQYNST 300  
YRVVSVLTVL HQDWLNKEY KCKVSNKALP APIEKTISKA KGQPREPQVY 350  
TLPPSRDELT KNQVSLTCLV KGFP PSDIAV EWESNGQPN NYKTTPPVLD 400  
SDGSFFLYSK LTVDKSRWQQ GNVFSCSVMH EALHNHYTQK SLSLSPG 447

**Light chain / Chaîne légère / Cadena ligera**

QGQSGS CRTQ LYGYNLCPYG GGSSGGSISS GLLSGRS DNP GGGSEIVLTQ 50  
SPGTL SLSPG ERATL SCRAS QSVGSSYLA W YQQKPGQAPR LLYGAFSRA 100  
TGIPDRFSGS GSGTDFLTI SRLE PEDFAV YYCQQYGS SP W TFCQGT KVE 150  
IKRTVAAPSV FIFPPSDEQL KSGTASVCL LNNFY PREAK VQWKV DNALQ 200  
SGNSQESVTE QDSKD STYSL SSTL TL SKAD YEKKHVY ACE VTHQGLSSPV 250  
TKSFNRGE C 259

**Post-translational modifications**

Disulfide bridges location / Position des ponts disulfure / Posiciones de los puentes disulfuro

Intra-H (C23-C104) 22-96 145-201 262-322 368-426  
22"-96" 145"-201" 262"-322" 368"-426"

Intra-prodomain 7"-17" 7"-17"

Intra-L (C23-C104) 67"-133" 179"-239"  
67"-133" 179"-239"

Inter-H-L (h 5-CL 126) 221-259" 221"-259"

Inter-H-H (h 11, h 14) 227-227" 230-230"

N-terminal glutaminyl cyclization / Cyclisation du glutaminyle N-terminal / Ciclación del glutaminilo N-terminal

Q> pyroglutamyl (pE, 5-oxoprolyl) / pyroglutamyle (pE, 5-oxoprolyle) / piroglutamilo (pE, 5-oxoprolilo)

H VH Q1: 1, 1"

L prodomain Q1: 1', 1"

N-glycosylation sites / Sites de N-glycosylation / Posiciones de N-glicosilación

H CH2 N84.4: 298, 298"

Afucosylated complex bi-antennary CHO-type glycans / glycane s de type CHO bi-antennaires complexes afucosylés / glicanos de tipo CHO biantenarios complejos afucosilados

**soxataltinibum**

soxataltinib

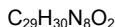
6-(3-hydroxy-3-methylazetidin-1-yl)-4-(6-{[(6-methoxypyridin-3-yl)methyl]-3,6-diazabicyclo[3.1.1]heptan-3-yl}pyridin-3-yl)pyrazolo[1,5-a]pyridine-3-carbonitrile  
*RET-kinase inhibitor, antineoplastic*

soxataltinib

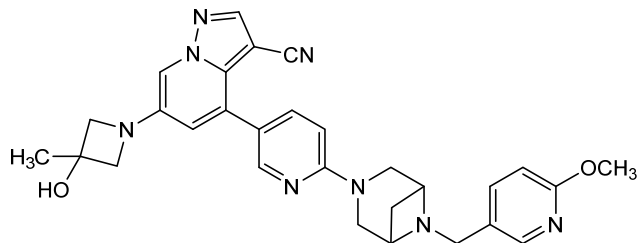
6-(3-hydroxy-3-méthylazétidin-1-yl)-4-(6-{[(6-méthoxyppyridin-3-yl)méthyl]-3,6-diazabicyclo[3.1.1]heptan-3-yl}pyridin-3-yl)pyrazolo[1,5-a]pyridine-3-carbonitrile  
*inhibiteur de la kinase RET, antineoplastique*

soxataltinib

6-(3-hidroxi-3-metilazetidin-1-il)-4-(6-{[(6-metoxipiridin-3-il)metil]-3,6-diazabiciclo[3.1.1]heptan-3-il}piridin-3-il)pirazolo[1,5-a]piridina-3-carbonitrilo  
*inhibidor de la kinasa RET, antineoplásico*



2546116-88-3

**spevatamig #**

spevatamig

immunoglobulin (H-gamma1\_L-kappa)\_ (H-gamma1\_L-kappa), anti-[*Homo sapiens* CD47 (CD47 molecule, integrin associated protein, IAP, MER6, OA3) and anti-[*Homo sapiens* CLDN18 (claudin 18, claudin-18, SFTPJ, surfactant associated protein J isoform 2], bispecific; H-gamma1 heavy chain anti-CD47 (1-444), G1v92-1 VH E44, CH1 E77 [VH E44 (*Homo sapiens*IGHV1-46\*01 (87.6%) Q44>E (39') - (IGHD) -IGHJ4\*01 (100%), CDR-IMGT [8.8.7] (26-33.51-58.97-103)) (1-114) -*Homo sapiens*IGHG1\*01, G1m17,1 CH1 K120, CH3 D12, L14, CH1 E77, G1v93 CH1 C12, G1v37 h S5, G1v74 CH3 C10, G1v32 CH3 W22 (knob) (CH1 K12>C (130), G77>E (163), K120 (211) (115-212), hinge 1-15 C5>S (217) (213-227), CH2 (228-337), CH3 S10>C (351), D12 (353), L14 (355), T22>W (363) (338-442), CHS (443-444)) (115-444)], (130-209)-disulfide with L-kappa light chain anti-CD47 (1'-214') Kv92-1 V-KAPPA K44, C-KAPPA K3 [V-KAPPA K44 (*Homo sapiens*IGKV3-20\*01 (83.3%) Q44>K (38') -IGKJ1\*01 (91.7%), CDR-IMGT [6.3.9] (27-32'.50'-52'.89'-97')) (1'-107') -*Homo sapiens*IGKC\*01 (98.1%) Km3 A45.1, V101, K3, KCv37 C121, S126 (C-KAPPA S3>K (114'), A45.1 (153'), V101 (191'), F121>C (209'), C126>S (214')) (108'-214')]; H-gamma1 heavy chain anti-CLDN18 (1-449), G1v92-2 VH K44, CH1 K77 [VH K44 (*Homo sapiens*IGHV3-48\*01 (87.8%) Q44>K (39') - (IGHD) -IGHJ4\*01 (92.9%), CDR-IMGT [8.8.12] (26"-33".51"-58".97"-108")) (1"-119") -*Homo sapiens*IGHG1\*01, G1m17,1 CH1 K120, CH3 D12, L14, CH1 K77, G1v75 CH3 C5, G1v33 CH3 S22, A24, V86 (hole) (CH1 G77>K (168"), K120 (216") (120"-217"), hinge 1-15 (218"-232"), CH2 (233"-342"), CH3 Y5>C (351"), D12 (358"), L14 (360"), T22>S (368"), L24>A (370"), Y86>V (409") (343"-447"), CHS (448"-449")) (120"-449")], (222"-220")-disulfide with L-kappa light chain anti-CLDN18 (1"-220") Kv92-2 V-KAPPA E44, C-KAPPA E3 [V-KAPPA E44 (*Mus musculus/Hom sapiens* Mus musculus IGKV8-19\*01 (79.2%) Q44>E (44") -IGKJ2\*03 (81.8%) S120>Q (106"), L124>V (110"/)*Homo sapiens* IGKV1-39\*01 (78.2%) Q44>E (44") -IGKJ1\*01 (100%), CDR-IMGT [12.3.9] (27"-38".56"-58".95"-103")) (1"-113") -*Homo sapiens*IGKC\*01 (99.1%) Km3 A45.1, V101, E3 (C-KAPPA S3>E (120"), A45.1 (159"), V101 (197")) (114"-220")]; dimer (223-228":226-231":351"-trisdisulfide, produced in Chinese hamster ovary (CHO) cells, glycoform alfa antineoplastic

spévatamig

immunoglobuline (H-gamma1\_L-kappa)\_(H-gamma1\_L-kappa), anti-[*Homo sapiens* CD47 (CD47 molécule, protéine associée à l'intégrine, IAP, MER6, OA3)] et anti-[*Homo sapiens* CLDN18 (claudine 18, claudine-18, SFTPJ, protéine J associée au surfactant) isoforme 2], bispécifique; chaîne lourde H-gamma1 anti-CD47 (1-444) G1v92-1 VH E44, CH1 E77 [VH E44 (*Homo sapiens*IGHV1-46\*01 (87.6%) Q44>E (39') - (IGHD) -IGHJ4\*01 (100%), CDR-IMGT [8.8.7] (26-33.51-58.97-103)) (1-114) -*Homo sapiens*IGHG1\*01, G1m17,1 CH1 K120, CH3 D12, L14, CH1 E77, G1v93 CH1 C12, G1v37 h S5, G1v74 CH3 C10, G1v32 CH3 W22 (knob) (CH1 K12>C (130), G77>E (163), K120 (211) (115-212), charnière 1-15 C5>S (217) (213-227), CH2 (228-337), CH3 S10>C (351), D12 (353), L14 (355), T22>W (363) (338-442), CHS (443-444)) (115-444)], (130-209')-disulfure avec la chaîne légère L-kappa anti-CD47 (1'-214') Kv92-1 V-KAPPA K44, C-KAPPA K3 [V-KAPPA K44 (*Homo sapiens*IGKV3-20\*01 (83.3%) Q44>K (38') - IGKJ1\*01 (91.7%), CDR-IMGT [6.3.9] (27'-32'.50'-52'.89'-97')) (1'-107') -*Homo sapiens*IGKC\*01 (98.1%) Km3 A45.1, V101, K3, KCv37 C121, S126 (C-KAPPA S3>K (114'), A45.1 (153'), V101 (191'), F121>C (209'), C126>S (214')) (108'-214')]; chaîne lourde H-gamma1 anti-CLDN18 (1-449) G1v92-2 VH K44, CH1 K77 [VH K44 (*Homo sapiens*IGHV3-48\*01 (87.8%) Q44>K (39') -(IGHD) -IGHJ4\*01 (92.9%), CDR-IMGT [8.8.12] (26"-33".51"-58".97"-108")) (1"-119") -*Homo sapiens*IGHG1\*01, G1m17,1 CH1 K120, CH3 D12, L14, CH1 K77, G1v75 CH3 C5, G1v33 CH3 S22, A24, V86 (hole) (CH1 G77>K (168"), K120 (216") (120"-217"), charnière 1-15 (218"-232"), CH2 (233"-342"), CH3 Y5>C (351"), D12 (358"), L14 (360"), T22>S (368"), L24>A (370"), Y86>V (409") (343"-447"), CHS (448"-449") (120"-449")], (222"-220")-disulfure avec la chaîne légère L-kappa anti-CLDN18 (1"-220") Kv92-2 V-KAPPA E44, C-KAPPA E3 [V-KAPPA E44 (*Mus musculus*IGKV8-19\*01 (79.2%) Q44>E (44") -IGKJ2\*03 (81.8%) S120>Q (106"), L124>V (110")/*Homo sapiens*IGKV1-39\*01 (78.2%) Q44>E (44") -IGKJ1\*01 (100%), CDR-IMGT [12.3.9] (27"-38"".56""-58"".95"-103")) (1"-113") -*Homo sapiens*IGKC\*01 (99.1%) Km3 A45.1, V101, E3 (C-KAPPA S3>E (120"), A45.1 (159"), V101 (197")) (114"-220")]; dimère (223-228":226-231":351-351")-trisdisulfure, produit dans des cellules ovarianas de hamster chino (CHO), glicofórmico alfa antineoplásico

espevatamig

inmunoglobulina (H-gamma1\_L-kappa)\_(H-gamma1\_L-kappa), anti-[*Homo sapiens* CD47 (CD47 molécula, proteína asociada a la integrina, IAP, MER6, OA3)] y anti-[*Homo sapiens* CLDN18 (claudina 18, claudina-18, SFTPJ, proteína J asociada al surfactante) isoforma 2], anticuerpo monoclonal humanizado y químérico, biespecífico; cadena pesada H-gamma1 anti-CD47 (1-444) G1v92-1 VH E44, CH1 E77 [VH E44 (*Homo sapiens*IGHV1-46\*01 (87.6%) Q44>E (39') - (IGHD) -IGHJ4\*01 (100%), CDR-IMGT [8.8.7] (26-33.51-58.97-103)) (1-114) -*Homo sapiens*IGHG1\*01, G1m17,1 CH1 K120, CH3 D12, L14, CH1 E77, G1v93 CH1 C12, G1v37 h S5, G1v74 CH3 C10, G1v32 CH3 W22 (knob) (CH1 K12>C (130), G77>E (163), K120 (211) (115-212), bisagra 1-15 C5>S (217) (213-227), CH2 (228-337), CH3 S10>C (351), D12 (353), L14 (355), T22>W (363) (338-442), CHS (443-444)) (115-444)], (130-209')-disulfuro con la cadena ligera L-kappa anti-CD47 (1'-214') Kv92-1 V-KAPPA K44, C-KAPPA K3 [V-KAPPA K44 (*Homo sapiens*IGKV3-20\*01 (83.3%) Q44>K (38') - IGKJ1\*01 (91.7%), CDR-IMGT [6.3.9] (27'-32'.50'-52'.89'-97')) (1'-107') -*Homo sapiens*IGKC\*01 (98.1%) Km3 A45.1, V101, K3, KCv37 C121, S126 (C-KAPPA S3>K (114'), A45.1 (153'), V101 (191'), F121>C (209'), C126>S (214')) (108'-214')];

cadena pesada H-gamma1 anti-CLDN18 (1-449) G1v92-2 VH K44, CH1 K77 [VH K44 (*Homo sapiens* IGHV3-48\*01 (87.8%) Q44>K (39") -(IGHD) -IGHJ4\*01 (92.9%), CDR-IMGT [8.8.12] (26"-33".51"-58".97"-108")) (1"-119") -*Homo sapiens* IGHG1\*01, G1m17,1 CH1 K120, CH3 D12, L14, CH1 K77, G1v75 CH3 C5, G1v33 CH3 S22, A24, V86 (hole) (CH1 G77>K (168"), K120 (216") (120"-217"), bisagra 1-15 (218"-232"), CH2 (233"-342"), CH3 Y5>C (351"), D12 (358"), L14 (360"), T22>S (368"), L24>A (370"), Y86>V (409") (343"-447"), CHS (448"-449")) (120"-449")], (222"-220")-disulfuro con la cadena ligera L-kappa anti-CLDN18 (1"-220") Kv92-2 V-KAPPA E44, C-KAPPA E3 [V-KAPPA E44 (Musmus/Homsap (*Mus musculus* IGKV8-19\*01 (79.2%) Q44>E (44") -IGKJ2\*03 (81.8%) S120>Q (106"), L124>V (110")/*Homo sapiens* IGKV1-39\*01 (78.2%) Q44>E (44") -IGKJ1\*01 (100%), CDR -IMGT [12.3.9] (27"-38".56"-58".95"-103")) (1"-113") -*Homo sapiens* IGKC\*01 (99.1%) Km3 A45.1, V101, E3 (C-KAPPA S3>E (120"), A45.1 (159"), V101 (197")) (114"-220")]; dímero (223-228":226-231":351-351")-tridisulfuro, producido en las células ováricas de hámster chino (CHO), forma glicosilada alfa

**antineoplásico**

2928515-36-8

**Heavy chain / Chaîne lourde / Cadena pesada : H-gamma1 anti-CD47 (knob) (H)**  
 QVQLVQSGAE VKKPGAVKV SKCASGYTFT SYWMHWREAA PGQGLEWIGN 50  
 IDPSMSETHY AQQFKQGRVIL TVDKSTSTVY MEPLLRSED TAVYYCAGTD 100  
 LAYWGQQTLL TVVSASTKGP SVFPLAPSSC STSGGTAALG CLVKDYFPEP 150  
 VTVWSNSGAL TSEVHTFPBV LQSSGGLYSLSS SVTVTPVSSL GTQTYICCVNN 200  
 HKPSNTKVDK KVEPKSSDKT HTCPCPGPAE LLGGPSVFLF PPKPKDTLMI 250  
 SRTPEVTCVV VDVSHDEDEV KFNWYVGDVGE VHNAKTKPKE EQINSTYRVV 300  
 SVTLVHQDW LNGKEYKKCV SNKALFAPIE KTISKAKGQP REPVVTFLLP 350  
 CRDELTKNQV SLWCLVKGVFV PSDIAVEWES NCQEPNNYKT TPVPLSDGS 400  
 FFLYSKLTVD KSRWQGQNVFV SCSVMEHALH NHYTQKSLSL SPGK 444

**Light chain / Chaîne légère / Cadena ligera : L-kappa anti-CD47 (L')**  
 EIVITQSPGT LSLSPGERAT LSCHASQNIN VVLSHYQKRF GQAPRLLIYK 50  
 ASNLLHTIDP RFSGSGSGSTD FFLTISRLEP EDFAVYYCQQ GQSYPPFTFGQ 100  
 GTKVEIKRTV AAPKVFIFPP SDEQPLKSGTAA SVVCLLNFFY PREAKVQNKV 150  
 DNALQSGNSQ ESVTQEDSKD STYSLSSLT LSKADYEKHK VYACEVTHQG 200  
 LSSPVTKSCN RGES 214

**Heavy chain / Chaîne lourde / Cadena pesada : H-gamma1 anti-CLDN18 (hole) (H")**  
 EVQLVLESGGG LVQPGGSRLR SCAASGFIFS SFQGMHWVRKA PGKLEWVAY 50  
 ISSGRSTMYY ADSSVKGRTT SRDNISKNTLY LQMNLSLTAED TAVYYCARGG 100  
 FYVGNSLDYNG QTGLTVTSSA STKPGVSPFLF APFSKPKTSGG TAALGCLVKA 150  
 YFPEPFTVSW NSGALTSKVH TFTPAVLQSSG LYLSLSSVTV PSSSLQTQ 200  
 ICNVNHHKPSN TKVDKKVEPRP SCDKTHTCPP CPAPELLGGF SVFLLPPKPKA 250  
 DTLMSRSTPE VTCVVVDVSH EDPEVKENWY VDGVEVHNNAK TKPREEQYNS 300  
 TYRVVSVLTV LHQDHMLNGKE YKCKVSNKAL PAPIEKTIK AKQCPREPOV 350  
 CTLPPSRDEL TKNQVSLSLCA VRKGFYPSDIA VEWESENQGP E NYKTTTPVFL 400  
 DSDGSFFLVS KLTVDKDSRWQ QGNVFSCSVM HEALHNHYTQ KSLSLSPGK 449

**Light chain / Chaîne légère / Cadena ligera : L-kappa anti-CLDN18 (L")**  
 DIQMTQSPSSLL LSASVGDDEVTL ITCKSLSLSSL NSGNQKKNYL WYQEKPQKAP 50  
 KLLIYWASTR ESGVPSPRFSG SGSGTDFLTLS ISSLQPEDFA TYSQCNAAYSY 100  
 PLTFQGCTKV EIKRTVAAPE VFIFPPSDEQ LKSGTASVVC LLNNFYPREA 150  
 KVQWKVNDNAL QSGNSQESVT EQDQSKDSTYS LSSTLTLSKA DYKEKHKVAC 200  
 EVTHQGLLSPP VTKSFNRGEC 220

**Post-translational modifications**

Disulfide bridges location / Position des ponts disulfure / Posiciones de los puentes disulfuro  
 Intra-H (C23-C104) 22-96 141-197 258-318 364-422

22"-96" 146"-202" 263"-323" 369"-427"

Intra-L (C23-C104) 23"-88" 134"-194"  
 23"-94" 140"-200"

Inter-H-L (h 5-CL 126) no H-L 222"-220"

Inter-H-L (CH1 C12-CL 121)\* 130-209

Inter-H-H (h 11, b 14) 223-228" 226-231"

Inter-H-H (CH3 C10-C5)\*\* 351-351"

\*variants G1v93 (H CH1 C12) and KCv37 (L' C-KAPPA C121, S126) creating a novel inter-H-L disulfide bond to promote H-L' heteropairing.

\*\*variants G1v74 (H CH3 C10) and G1v75 (H" CH3 C5) creating an additional inter-H-H disulfide bond.

N-terminal glutaminyl cyclization / Cyclisation du glutaminyle N-terminal / Ciclación del glutamínico N-terminal

Q > pyroglutamyl (pE, 5-oxoprolyl) / pyroglutamyl (pE, 5-oxoprolyl) / piroglutamilo (pE, 5-oxoprolico)

H VH Q1: 1

N-glycosylation sites / Sites de N-glycosylation / Posiciones de N-glicosilación

H CH2 N84.4: 294, 299"

Fucosylated complex bi-antennary CHO-type glycans / glycanes de type CHO bi-antennaires complexes fucosylés / glicanos de tipo CHO biantenarios complejos fucosilados.

C-terminal lysine clipping / Coupe de la lysine C-terminale / Recorte de lisina C-terminal  
 H CHS K2:  
 444, 449"

**suricapavirum**

suricapavir

*N-[(1S)-1-((3P)-3-[4-chloro-3-(methanesulfonamido)-1-methyl-1*H*-indazol-7-yl]-4-oxo-7-[6-(trifluoromethyl)pyridin-2-yl]-3,4-dihydroquinazolin-2-yl]-2-(3,5-difluorophenyl)ethyl]-2-[(3b*S*,4*aR*)-3-(difluoromethyl)-5,5-difluoro-3*b*,4,4*a*,5-tetrahydro-1*H*-cyclopropa[3,4]cyclopenta[1,2-*c*]pyrazol-1-yl]acetamide*

*inhibitor of viral replication, antiviral*

suricapavir

*N-[(1*S*)-1-((3*P*)-3-[4-chloro-3-(méthanesulfonamido)-1-méthyl-1*H*-indazol-7-yl]-4-oxo-7-[6-(trifluorométhyl)pyridin-2-yl]-3,4-dihydroquinazolin-2-yl]-2-(3,5-difluorophényl)éthyl]-2-[(3*bS*,4*aR*)-3-(difluorométhyl)-5,5-difluoro-3*b*,4,4*a*,5-tétrahydro-1*H*-cyclopropa[3,4]cyclopenta[1,2-*c*]pyrazol-1-yl]acétamide*

*inhibiteur de la réplication virale, antiviral*

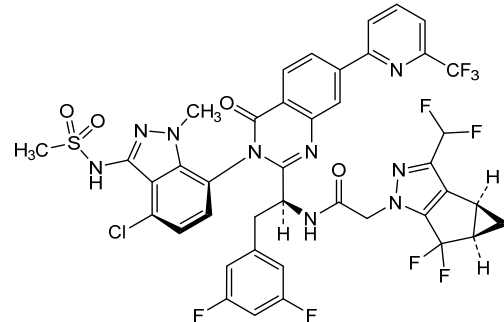
suricapavir

*N-[(1*S*)-1-((3*P*)-3-[4-cloro-3-(metanosulfonamido)-1-metil-1*H*-indazol-7-yl]-4-oxo-7-[6-(trifluorometil)piridin-2-il]-3,4-dihdroquinazolin-2-il]-2-(3,5-difluorofenil)etil]-2-[(3*bS*,4*aR*)-3-(difluorometil)-5,5-difluoro-3*b*,4,4*a*,5-tetrahydro-1*H*-ciclopropa[3,4]ciclopenta[1,2-*c*]pirazol-1-il]acetamida*

*inhibidor de la replicación vírica, antiviral*

C<sub>41</sub>H<sub>29</sub>ClF<sub>9</sub>N<sub>9</sub>O<sub>4</sub>S

2417270-21-2

**surovatamigum #**

surovatamig

immunoglobulin (H-gamma4\_L-kappa)\_VH-G4(h-CH2-CH3), anti-[*Homo sapiens* CD3D (CD3 delta) and CD3E (CD3 epsilon, Leu-4) dimer] and anti-[*Homo sapiens* CD19 (B lymphocyte surface antigen B4, Leu-12)], *Homo sapiens* and humanized monoclonal antibody asymmetric, bispecific, bivalent; H-gamma4 heavy chain anti-CD3D/CD3E dimer, *Homo sapiens* (1-450) [VH (*Homo sapiens*IGHV3-9\*01 (100%) -(IGHD) -IGHJ4\*01 (100%), CDR-IMGT [8.8.16] (26-33.51-58.97-112)) (1-123)-*Homo sapiens*IGHG4\*01 nG4m(a) CH2 L92, G4v5 h P10, G4v4 CH2 A1.3, A1.2, G4v32 CH3 W22 (knob) (CH1 (124-221), hinge 1-12 S10>P (231) (222-233), CH2 F1.3>A (237), L1.2>A (238), L92 (312) (234-343), CH3 T22>W (369) (344-448), CHS (449-450)) (124-450)], (137-214')-disulfide with L-kappa light chain anti-CD3D-CD3E *Homo sapiens* (1'-214') [V-KAPPA (*Homo sapiens*IGKV3-15\*01 (100%) -IGKJ1\*01 (100%), CDR-IMGT [6.3.9] (27'-32'.50'-52'.89'-97')) (1'-107') -*Homo sapiens*IGKC\*01 (100%) Km3 A45.1, V101 (C-KAPPA A45.1 (153'), V101 (191')) (108'-214')];

	VH-G4(h-CH2-CH3) heavy chain anti-CD19, humanized and <i>Homo sapiens</i> (1"-345") [humanized VH ( <i>Homo sapiens</i> IGHV3-7*01 (91.8%) -(IGHD)-IGHJ4*01 (92.9%) W118>R (106"), CDR-IMGT [8.8.9] (26"-33".51"-58".97"-105")) (1"-116")- <i>Homo sapiens</i> IGHG4*01 h-CH2-CH3, G4v5 h P10,nG4m(a) CH2 L92, G4v4 CH2 A1.3, A1.2, G1v33 CH3 S22, A24, V86 (hole) (hinge 1-12 S10>P (126") (117"-128"), CH2 F1.3>A (132"), L1.2>A (133"), L92 (207") (129"-238"), CH3 T22>S (264"), L24>A (266"), Y86>V (305") (239"-343"), CHS (344"-345")) (117"-345")]; dimer (229-124":232-127")-bisdisulfide, produced in a cell line from Chinese hamster ovary (CHO) cells, derived from the cell line CHO-K1, glycoform alfa <i>immunostimulant, antineoplastic</i>
surovatamig	immunoglobuline (H-gamma4_L-kappa)_VH-G4(h-CH2-CH3), anti-[ <i>Homo sapiens</i> CD3D (CD3 delta) et CD3E (CD3 epsilon, Leu-4) dimère] et anti-[ <i>Homo sapiens</i> CD19 (antigène de surface B4 des lymphocytes B, Leu-12)], anticorps monoclonal <i>Homo sapiens</i> et humanisé asymétrique, bispécifique, bivalent; chaîne lourde H-gamma4 anti-CD3D/CD3E dimer, <i>Homo sapiens</i> (1-450) [VH ( <i>Homo sapiens</i> IGHV3-9*01 (100%)-(IGHD)-IGHJ4*01 (100%), CDR-IMGT [8.8.16] (26-33.51-58.97-112)) (1-123)- <i>Homo sapiens</i> IGHG4*01 nG4m(a) CH2 L92, G4v5 h P10, G4v4 CH2 A1.3, A1.2, G4v32 CH3 W22 (knob) (CH1 (124-221), charnière 1-12 S10>P (231) (222-233), CH2 F1.3>A (237), L1.2>A (238), L92 (312) (234-343), CH3 T22>W (369) (344-448), CHS (449-450)) (124-450)], (137-214')-disulfure avec la chaîne légère L-kappa anti-CD3D-CD3E <i>Homo sapiens</i> (1'-214') [V-KAPPA ( <i>Homo sapiens</i> IGKV3-15*01 (100%)-IGKJ1*01 (100%), CDR-IMGT [6.3.9] (27'-32'.50'-52'.89'-97')) (1'-107')- <i>Homo sapiens</i> IGKC*01 (100%) Km3 A45.1, V101 (C-KAPPA A45.1 (153'), V101 (191')) (108'-214')]; chaîne lourde VH-G4(h-CH2-CH3) anti-CD19, humanisée et <i>Homo sapiens</i> (1"-345") [VH humanisé ( <i>Homo sapiens</i> IGHV3-7*01 (91.8%) -(IGHD)-IGHJ4*01 (92.9%) W118>R (106"), CDR-IMGT [8.8.9] (26"-33".51"-58".97"-105")) (1"-116")- <i>Homo sapiens</i> IGHG4*01 h-CH2-CH3, nG4m(a) CH2 L92, G4v5 h P10, G4v4 CH2 A1.3, A1.2, G1v33 CH3 S22, A24, V86 (hole) (charnière 1-12 S10>P (126") (117"-128"), CH2 F1.3>A (132"), L1.2>A (133"), L92 (207") (129"-238"), CH3 T22>S (264"), L24>A (266"), Y86>V (305") (239"-343"), CHS (344"-345")) (117"-345")]; dimère (229-124":232-127")-bisdisulfure, produit dans une lignée cellulaire des cellules ovariennes de hamster chinois (CHO), dérivant de la lignée cellulaire CHO-K1, glycoforme alfa <i>immunostimulant, antinéoplastique</i>
surovatamig	inmunoglobulina (H-gamma4_L-kappa)_VH-G4(h-CH2-CH3), anti-[ <i>Homo sapiens</i> CD3D (CD3 delta) y CD3E (CD3 epsilon, Leu-4) dímero] y anti-[ <i>Homo sapiens</i> CD19 (antígeno de superficie B4 de los linfocitos B, Leu-12)], anticuerpo monoclonal <i>Homo sapiens</i> y humanizado asimétrico, biespecífico, bivalente; cadena pesada H-gamma4 anti-CD3D/CD3E dímero, <i>Homo sapiens</i> (1-450) [VH ( <i>Homo sapiens</i> IGHV3-9*01 (100%)-(IGHD)-IGHJ4*01 (100%), CDR-IMGT [8.8.16] (26-33.51-58.97-112)) (1-123)- <i>Homo sapiens</i> IGHG4*01 nG4m(a) CH2 L92, G4v5 h P10, G4v4 CH2 A1.3, A1.2, G4v32 CH3 W22 (knob) (CH1 (124-221), bisagra 1-12 S10>P (231) (222-233), CH2 F1.3>A (237), L1.2>A (238), L92 (312) (234-343), CH3 T22>W (369) (344-448), CHS (449-450)) (124-450)], (137-214')-disulfuro con la cadena ligera L-kappa anti-CD3D-CD3E <i>Homo sapiens</i> (1'-214') [V-KAPPA ( <i>Homo sapiens</i> IGKV3-15*01 (100%)-IGKJ1*01 (100%), CDR-IMGT [6.3.9] (27'-32'.50'-52'.89'-97')) (1'-107')- <i>Homo sapiens</i> IGKC*01 (100%) Km3 A45.1, V101 (C-KAPPA A45.1 (153'), V101 (191')) (108'-214')];

cadena pesada VH-G4(h-CH2-CH3) anti-CD19, humanizada y *Homo sapiens* (1"-345") [VH humanizado (*Homo sapiens*IGHV3-7\*01 (91.8%) -(IGHD) -IGHJ4\*01 (92.9%) W118>R (106"), CDR-IMGT [8.8.9] (26"-33".51"-58".97"-105")) (1"-116")-*Homo sapiens* IGHG4\*01 h-CH2-CH3, nG4m(a) CH2 L92, G4v5 h P10, G4v4 CH2 A1.3, A1.2, G1v33 CH3 S22, A24, V86 (hole) (bisagra 1-12 S10>P (126") (117"-128"), CH2 F1.3>A (132"), L1.2>A (133"), L92 (207") (129"-238"), CH3 T22>S (264"), L24>A (266"), Y86>V (305") (239"-343"), CHS (344"-345")) (117"-345")];dímero (229-124":232-127")-bisisulfuro, producido en una línea celular de las células ováricas de hámster chino (CHO), línea celular derivada de CHO-K1, forma glicosilada alfa  
*inmunoestimulante, antineoplásico*

2892667-02-4

Heavy chain / Chaîne lourde / Cadena pesada : H-gamma4 anti-CD3D/CD3E (knob) (H)  
EVQLVESGGG LVQPGRLRL SCAASGFTFD DYAMHWRQA PGKGLEWVSG 50  
ISWNNSGSIYG ADSVKGRFTI SRDNAKNSLY LQMNLSRAED TALYCAKDS 100  
RGYGDYRLGG AYWQGQTLVT VSSASTKGPS VFPLAPCRS TSESTAALGC 150  
LVKDYFFPEV TVSWNSGALT SGVHTFPAVL QSSGLYSLSS VVTVPSSSLG 200  
TKTYTCNVDH KPSNTKVDKR VESKYGPPCP PCPAPEAAAGG PSVFLFPKP 250  
KDTLMISRTP EVTCAVVVDVS QEDEVQFNW YVDGVEVHNKA KTKPREEQFN 300  
STYRVVSVLT VLHQDWLNGK EYCKVVSNKG LPSSIEKTIS KAKGQPREPQ 350  
VYTLPPSQQE MTKNQVSLWC LVKGFYPSDI AVEWESENQGP ENNYKTTTPV 400  
LSDGSEFLY SRLTVDKSRW QEGNVFSCSV MHEALHNHYT QKSLSLSLGK 450

Light chain / Chaîne légère / Cadena ligera : L-kappa anti-CD3D/CD3E (L')  
EIVMTQSPAT LSVSPGERAT LSCRASQSVS SNLAWYQQKP GQAPRLLIYG 50  
ASTRATEGIPA RFSGSGSGTE FTЛИTISLQS EDFAVYYCQQ YYNNWPWTFGQ 100  
GTVKEIKRTV AAPSVFIFPP SDEQLKSGTA SVVCLNNFY PREAKVQWKV 150  
DNAQLQSGNSQ ESVTQEYQSKD STYSLSSSLT LSKADYEKHK VYACEVTHQG 200  
LSSPVTKFSN RGE 214

Heavy chain / Chaîne lourde / Cadena pesada : H-gamma4 anti-CD19 (hole) (H")  
EVQLVESGGG LVQPGSSLRL SCAASGFSE DFWMWSVRQA PGKGLEWVAT 50  
ISQAGSEKDY VDSVKGRFTI SRDNAKKSLY LQMNLSRAED TAVVYCASGV 100  
YSFDYRGQGT LTVSSSESKEY GPPCPCCPAP EAAGGPSVFL FPPPKPKDTLM 150  
ISRTPEVTCV VVDVSQEDPE VQFNWYVDGV EVHNAKTKPR EEEQFNSTYRV 200  
VSVLTVLHQD WLNGKEYKCK VSNKGLPSSI EKTISKAKGQ PREPQVYTL 250  
PSQEMTKNQ VSLSCAVKGF YPSDIAVEWE SNGQPENNYK TTPPVLDSDG 300  
SFFLVLRLTV DKSRWQEGNV FSCSVMHEAL HNHYTQKSL S LSLGK 345

#### Post-translational modifications

Disulfide bridges location / Position des ponts disulfure / Posiciones de los puentes disulfuro  
Intra-H (C23-C104) 22-96 150-206 264-324 370-428  
22"-96" no CH1 159"-219" 265"-323"  
Intra-L (C23-C104) 23"-88" 134"-194"  
Inter-H-L (CH1 10-CL 126) 137-214'  
Inter-H-H (h 8, h 11) 229-124" 232-127"

N-glycosylation sites / Sites de N-glycosylation / Posiciones de N-glicosilación  
H CH2 N84.4: 300, 195"

Fucosylated complex bi-antennary CHO-type glycans / glycanes de type CHO bi-antennaires complexes fucosylés / glicanos de tipo CHO biantenarios complejos fucosilados.

C-terminal lysine clipping / Coupe de la lysine C-terminale / Recorte de lisina C-terminal  
H CHS K2: 450, 345"

**sutacimigum #**

sutacimig

immunoglobulin (H-gamma4\_L-kappa)\_(H-gamma4\_L-kappa), anti-[*Homo sapiens* F7 (coagulation factor 7, blood coagulation factor VII, coagulation serum prothrombin conversion accelerator activated (F7a, F7A, FVIIa, FVIIa)] and anti-[*Homo sapiens* TREML1 (triggering receptor expressed on myeloid cells like 1, TREM-like transcript 1, TLT1, TLT-1)], humanized monoclonal antibody, bivalent; H-gamma4 heavy chain anti-F7a humanized (1-448) [VH (*Homo sapiens*IGHV4-30-2\*07 (92.9%) -(IGHD) -IGHJ4\*01 (100%), CDR-IMGT [9.7.15] (26-34.52-58.97-111)) (1-122)-*Homo sapiens* IGHG4\*01 nG4m(a) CH2 L92, G4v5 h P10, G4v10 CH3 L85.1, K88 (CH1 (123-220), hinge 1-12 S10>P (230) (221-232), CH2 L92 (311) (233-342), CH3 F85.1>L (407), R88>K (411) (343-447), CHS K2>del (448)) (123-448)], (136-214')-disulfide with L-kappa light chain humanized anti-F7a (1'-214') [V-KAPPA (*Homo sapiens* IGKV3D-11\*01 (88.8%) -IGKJ2\*01 (100%), CDR-IMGT [6.3.9] (27'-32'.50'-52'.89'-97')) (1'-107') -*Homo sapiens* IGKC\*01 (100%) Km3 A45.1, V101 (C-KAPPA A45.1 (153'), V101 (191')) (108'-214')]; H-gamma4 heavy chain anti-TREML1 humanized (1"-440") [VH (*Homo sapiens*IGHV3-74\*01 (89.7%) -(IGHD) -IGHJ5\*01 (92.9%), CDR-IMGT [8.8.7] (26"-33".51"-58".97"-103")) (1"-114")-*Homo sapiens* IGHG4\*01 nG4m(a) CH2 L92, G4v5 h P10 (CH1 (115"-212"), hinge 1-12 S10>P (222") (213"-224"), CH2 L92 (303") (225"-334"), CH3 (335"-439"), CHS K2>del (440")) (115"-440")], (128"-219")-disulfide with L-kappa light chain, anti-TREML1 humanized (1"-219") [V-KAPPA (*Homo sapiens* IGKV2-24\*02 (91.0%) -IGKJ2\*01 (100%), CDR-IMGT [11.3.9] (27"-37".55"-57".94"-102")) (1"-112") -*Homo sapiens* IGKC\*01 (100%) Km3 A45.1, V101 (C-KAPPA A45.1 (158""), V101 (196"")) (113"-219")]; dimer (228-220":231-223")-bisdisulfide, produced in Chinese hamster ovary (CHO) cells, glycoform alfa *blood coagulation factor VIIa inhibitor*

sutacimig

immunoglobuline (H-gamma4\_L-kappa)\_(H-gamma4\_L-kappa), anti-[*Homo sapiens* F7 (facteur de coagulation 7, facteur de coagulation VII du sang, accélérateur de la conversion de la prothrombine sérique de coagulation) activé (F7a, F7A, FVIIa), FVIIa]) et anti-[*Homo sapiens* TREML1 (apparenté 1 du récepteur déclencheur exprimé sur les cellules myéloïdes, transcrit 1 TREM-like, TLT1, TLT-1)], anticorps monoclonal humanisé, bispécifique, bivalent; chaîne lourde H-gamma4 anti-F7a humanisée (1-448) [VH (*Homo sapiens*IGHV4-30-2\*07 (92.9%) -(IGHD) -IGHJ4\*01 (100%), CDR-IMGT [9.7.15] (26-34.52-58.97-111)) (1-122)-*Homo sapiens* IGHG4\*01 nG4m(a) CH2 L92, G4v5 h P10, G4v10 CH3 L85.1, K88 (CH1 (123-220), hinge 1-12 S10>P (230) (221-232), CH2 L92 (311) (233-342), CH3 F85.1>L (407), R88>K (411) (343-447), CHS K2>del (448)) (123-448)], (136-214')-disulfure avec la chaîne légère L-kappa humanisée anti-F7a (1'-214') [V-KAPPA (*Homo sapiens* IGKV3D-11\*01 (88.8%) -IGKJ2\*01 (100%), CDR-IMGT [6.3.9] (27'-32'.50'-52'.89'-97')) (1'-107') -*Homo sapiens* IGKC\*01 (100%) Km3 A45.1, V101 (C-KAPPA A45.1 (153'), V101 (191')) (108'-214')];

chaîne lourde H-gamma4 anti-TREML1 humanisée (1"-440") [VH (*Homo sapiens* IGHV3-74\*01 (89.7%) -(IGHD) -IGHJ5\*01 (92.9%), CDR-IMGT [8.8.7] (26"-33".51"-58".97"-103")) (1"-114")-*Homo sapiens* IGHG4\*01 nG4m(a) CH2 L92, G4v5 h P10 (CH1 (115"-212"), charnière 1-12 S10>P (222") (213"-224"), CH2 L92 (303") (225"-334"), CH3 (335"-439"), CHS K2>del (440")) (115"-440")], (128"-219")-disulfure avec la chaîne légère L-kappa, anti-TREML1 humanisée (1"-219") [V-KAPPA (*Homo sapiens* IGKV2-24\*02 (91.0%) -IGKJ2\*01 (100%), CDR-IMGT [11.3.9] (27"-37".55"-57".94"-102")) (1"-112")-*Homo sapiens* IGKC\*01 (100%) Km3 A45.1, V101 (C-KAPPA A45.1 (158")), V101 (196")) (113"-219")]; dimère (228-220":231-223")-bisdisulfure, produit dans des cellules ovaries de hamster chinois (CHO), glycoforme alfa  
*inhibiteur du facteur VIIa de coagulation sanguine*

sutacimig

inmunoglobulina (H-gamma4\_L-kappa)\_ (H-gamma4\_L-kappa), anti-[*Homo sapiens* F7 (factor de coagulación 7, factor VII de coagulación sanguínea, acelerador de la conversión de la protombina sérica de coagulación) activado (F7a, F7A, FVIIa, FVIIa)] y anti-[*Homo sapiens* TREML1 (expresado en el receptor desencadenante expresado en células mieloides de tipo 1, transcripto 1 TREM-like, TLT1, TLT-1)], anticuerpo monoclonal humanizado, biespecífico, bivalente; cadena pesada H-gamma4 anti-F7a humanizada (1-448) [VH (*Homo sapiens* IGHV4-30-2\*07 (92.9%) -(IGHD) -IGHJ4\*01 (100%), CDR-IMGT [9.7.15] (26-34.52-58.97-111)) (1-122)-*Homo sapiens* IGHG4\*01 nG4m(a) CH2 L92, G4v5 h P10, G4v10 CH3 L85.1, K88 (CH1 (123-220), hinge 1-12 S10>P (230) (221-232), CH2 L92 (311) (233-342), CH3 F85.1>L (407), R88>K (411) (343-447), CHS K2>del (448)) (123-448)], (136-214")-disulfuro con la cadena ligera L-kappa humanizada anti-F7a (1"-214") [V-KAPPA (*Homo sapiens* IGKV3D-11\*01 (88.8%) -IGKJ2\*01 (100%), CDR-IMGT [6.3.9] (27"-32'.50"-52'.89"-97')) (1"-107")-*Homo sapiens* IGKC\*01 (100%) Km3 A45.1, V101 (C-KAPPA A45.1 (153'), V101 (191')) (108"-214")]; cadena pesada H-gamma4 anti-TREML1 humanizada (1"-440") [VH (*Homo sapiens* IGHV3-74\*01 (89.7%) -(IGHD) -IGHJ5\*01 (92.9%), CDR-IMGT [8.8.7] (26"-33".51"-58".97"-103")) (1"-114")-*Homo sapiens* IGHG4\*01 nG4m(a) CH2 L92, G4v5 h P10 (CH1 (115"-212"), bisagra 1-12 S10>P (222") (213"-224"), CH2 L92 (303") (225"-334"), CH3 (335"-439"), CHS K2>del (440")) (115"-440")], (128"-219")-disulfuro con la cadena ligera L-kappa, anti-TREML1 humanizada (1"-219") [V-KAPPA (*Homo sapiens* IGKV2-24\*02 (91.0%) -IGKJ2\*01 (100%), CDR-IMGT [11.3.9] (27"-37".55"-57".94"-102")) (1"-112")-*Homo sapiens* IGKC\*01 (100%) Km3 A45.1, V101 (C-KAPPA A45.1 (158")), V101 (196")) (113"-219")]; dímero (228-220":231-223")-bisdisulfuro, producido en las células ováricas de hamster chino (CHO), forma glicosilada alfa  
*inhibidor del factor de coagulación sanguínea VIIa*

2933972-64-4

**Heavy chain / Chaîne lourde / Cadena pesada: H-gamma4 anti-F7a (H)**  
 QVQLQESGPG LVKPSQTLSL TCTVSGYSIS SDSAWSWIRQ PPGKGLEWIG 50  
 YIQYSGSTNY NPSLKSRTVI SRDTSKNQFS LKLLSVTAAD TAVYYCARSV 100  
 NYYGNNSFAVG YWGCGTLLTV SSASTKGPSV FPLAPCSRST SESTAALGCL 150  
 VKDYFPEPV T VSWNSGALTS GVHTFFPAVLQ SSGLYSLSVV VTFPSSSLGT 200  
 KTYTCNVDHH PSNTKVDKRV ESKYGPCCP CPAPEFLGGG SVFLFPKPK 250  
 DTLMSRTP E VTCVVVDVSQ EDPEVQFNWY VDGVEVHNK TKPREEQFNS 300  
 TYRVSVLTV LHQDWLNCKE YKCKVSNKGL PSSIETISK AKGQPQREPQV 350  
 YTLPPSQEEM TKNQVSLTCL VKGFYPSDIA VEWESENQPE NNYKTTTPV 400  
 DSDGSFLYS KLTVDKSRWQ EGNNVFSCSVM HEALHNHYTQ KSLSLSSLG 448

**Light chain / Chaîne légère / Cadena ligera: L-kappa anti-F7a (L')**  
 EIVLTQSPAT LSLSPGERAT LSCRASQGIS DYLYHWYQQKP GEAPRLLIKY 50  
 TSQATGIPA RFSGSGSCTD FTLTSSLEP EDFAVYYCQN GHSPFLTFQG 100  
 GTKLEIKRTV AAPSVFIFPP SDEQLKSGTA SVVCLNNFY PREAKVQWKV 150  
 DNALQSGNSQ ESVIEQDSKD STYSLSSTLT LSKADYEKHK VYACEVTHQG 200  
 LSSPVTKSFN RGE 214

**Heavy chain / Chaîne lourde / Cadena pesada: H-gamma4 anti-TREML1 (H")**  
 EVOLVESGGG LVQPGGSRLR SCAASGFTFS RYWMWTWRQA PGKGLVWVGE 50  
 INPDSTINY APSVKGRFTI SRDNAKNTLY LQMNNSLAED TAVYYCAGV 100  
 FTSGWQGTLV TVSSASTKGP SVFPLAPCSR STSESTAALG CLVKDYFPEP 150  
 VTVSWNSGAL TSGVHTFFPAV LQSSGLYLS SVVTVPSSL GTKTYTCNVD 200  
 HKPSNTKVDK RVEVKYGPCCP PPCPAPEFLG GPSVFLFPPK PKDTLMISRT 250  
 PEVTCVVVDV SQEDPEVQFN WYVDGVEVHN AKTKPREEQF NSTYRVVSVL 300  
 TVLHQDWLNG KEYKKVSNK GLPSSIEKTI SAKGQPREP QVYTLPPSQE 350  
 EMTKNQVSLT CLVKGFYPSD IAVEWESENQ PENNYKTTPP VLDSDGSFFL 400  
 YSRLTVDKSR WQEGNVFSCS VMHEALHNHY TQKSLSLSSLG 440

**Light chain / Chaîne légère / Cadena ligera: L-kappa anti-TREML1 (L")**  
 DIVMTQTPLS SPVTLGQPAS ISCRSSQSLV HRQGNTYFH W LQQRPGQPPR 50  
 LLIYKVSNRF SGVDRFRSGS GAGTDFTLKI SRVAEDVGV YYCSQSTHVP 100  
 YTFGQGTKE IKRTVAAPSV FIFPPSDEQL KSGTASVVCL LNNFYPREAK 150  
 VQWKVDNALQ SGNSQESVTE QDSKDSTYSL SSTTLTSKAD YEKKVYACE 200  
 VTHQGLSSPV TKSFNRGEC 219

#### Post-translational modifications

Disulfide bridges location / Position des ponts disulfure / Posiciones de los puentes disulfuro

Intra-H (C23-C104)	22-96	149-205	263-323	369-427
	22"-96"	141"-197"	255"-315"	361"-419"
Intra-L (C23-C104)	23"-98'	134"-194'		
	23"-93"	139"-199"		
Inter-H-L (CH1 10-CL 126)	136-214'	128"-219"		
Inter-H-H (h 8, h 11)	228-220"	231-223"		

N-terminal glutaminyl cyclization / Cyclisation du glutaminyle N-terminal / Ciclación del glutaminilo N-terminal  
 Q > pyroglutamyl (pE, 5-oxoprolyl) / pyroglutamyle (pE, 5-oxoprolyle) / piroglutamilo (pE, 5-oxoprolilo)  
 H VH Q1: 1

N-glycosylation sites / Sites de N-glycosylation / Posiciones de N-glicosilación  
 H CH2 N84.4: 299, 291"  
 Fucosylated complex bi-antennary CHO-type glycans / glycanes de tipo CHO bi-antennaires complexes fucosylés / glicanos de tipo CHO biantenarios complejos fucosilados

**tabirafuspum alfa #**  
 tabirafusp alfa

human vascular endothelial growth factor receptor 1 (VEGFR-1) fragment containing immunoglobulin-like extracellular domain 2 (103-206, 1-104 in the current sequence) fused to a human vascular endothelial growth factor receptor 2 (VEGFR-2) fragment containing immunoglobulin-like extracellular domain 3 (208-308, 105-205 in the current sequence) fused via peptide linker <sup>206</sup>GGGGSGGGGS<sup>215</sup> to

the gamma 1 heavy chain of anti-[human interleukin 6 (IL-6)] (216-664) [VH (*Homo sapiens* IGHV3-23\*03 -(IGHD) - IGHJ3\*02, CDR-Kabat [5.17.10] (246-250.265-281.314-323)) (216-334) -*Homo sapiens* IGHG1\*03 R<sup>431</sup>>K (CH1 (335-432), hinge (433-447), CH2 L<sup>451</sup>>A, L<sup>452</sup>>A, G<sup>454</sup>>A (448-557), CH3 L<sup>660</sup>>C (558-662), CHS (663-664)) (433-664)], (437-213')-disulfide with kappa light chain anti-[human interleukin 6 (IL-6)] (1'-213') [V-KAPPA (*Homo sapiens* IGKV1-13\*02 - IGKJ1\*01, CDR-Kabat [10.7.9] (24'-33'.49'-55'.88'-96')) (1'-106') -*Homo sapiens* IGKC\*01 (107'-213')]; dimer (443-443":446-446")-bisdisulfide, produced in Chinese hamster ovary (CHO) cells, cell line CHO-K1SV, glycoform alfa; angiogenesis inhibitor

tabirafusp alfa

fragment du récepteur 1 du facteur de croissance endothéliale vasculaire (VEGFR-1) humain contenant le domaine extracellulaire 2 de type immunoglobuline (103-206, 1-104 dans la séquence en cours) fusionné au fragment du récepteur 2 du facteur de croissance endothéliale vasculaire humain (VEGFR-2) contenant le domaine extracellulaire 3 de type immunoglobuline (208-308, 105-205 dans la séquence en cours) fusionné avec l'aide du coupleur peptidique <sup>206</sup>GGGGSGGGGS<sup>215</sup> à la chaîne lourde gamma 1 de l'anti-[interleukine-6 humaine (IL-6)] (216-334) [VH (*Homo sapiens* IGHV3-23\*03 -(IGHD) -IGHJ3\*02, CDR-Kabat [5.17.10] (246-250.265-281.314-323)) (216-334) -*Homo sapiens* IGHG1\*03 R<sup>431</sup>>K (CH1 (335-432), charnière (433-447), CH2 L<sup>451</sup>>A, L<sup>452</sup>>A, G<sup>454</sup>>A (448-557), CH3 L<sup>660</sup>>C (558-662), CHS (663-664)) (433-664)], (437-213')-disulfure avec la chaîne légère kappa anti-[interleukine-6 humaine (IL-6)] (1'-213') [V-KAPPA (*Homo sapiens* IGKV1-13\*02 -IGKJ1\*01, CDR-Kabat [10.7.9] (24'-33'.49'-55'.88'-96')) (1'-106') -*Homo sapiens* IGKC\*01 (107'-213')]; dimère (443-443":446-446")-bis-disulfure, produit dans des cellules ovarianes de hamster chinois (CHO), lignée cellulaire CHO-K1SV, glicoforme alfa inhibiteur de l'angiogénèse

tabirafusp alfa

fragmento del receptor 1 del factor de crecimiento endotelial vascular humano (VEGFR-1) que contiene el dominio extracelular 2 similar a la inmunoglobulina (103-206, 1-104 en la secuencia actual) fusionado a un fragmento del receptor 2 del factor de crecimiento endotelial vascular humano (VEGFR-2) que contiene el dominio extracelular 3 similar a la inmunoglobulina (208-308, 105-205 en la secuencia actual) fusionado a través de enlace peptídico <sup>206</sup>GGGGSGGGGS<sup>215</sup> a la cadena pesada gamma 1 de anti-[interleukina 6 (IL-6) humana] (216-664) [VH (*Homo sapiens* IGHV3-23\*03 -(IGHD) -IGHJ3\*02, CDR-Kabat [5.17.10] (246-250.265-281.314-323)) (216-334) -*Homo sapiens* IGHG1\*03 R<sup>431</sup>>K (CH1 (335-432), bisagra (433-447), CH2 L<sup>451</sup>>A, L<sup>452</sup>>A, G<sup>454</sup>>A (448-557), CH3 L<sup>660</sup>>C (558-662), CHS (663-664)) (433-664)], (437-213')-disulfuro con la cadena ligera kappa anti-[interleukina 6 humana (IL-6)] (1'-213') [V-KAPPA (*Homo sapiens* IGKV1-13\*02 -IGKJ1\*01, CDR-Kabat [10.7.9] (24'-33'.49'-55'.88'-96')) (1'-106') -*Homo sapiens* IGKC\*01 (107'-213')]; dímero (443-443":446-446")-bisdisulfuro, producido en células ováricas de hámster Chino (CHO) K1SV, glicoforma alfa inhibidor de la angiogénesis

2839527-15-8

Sequence / Séquence / Secuencia  
 VEGFRI/2-IgG1 heavy chain  
 SDTGRPFVEM YSEIPELIHM TEGRELVIPC RVTSPNITVT LKKFPLDTLI 50  
 PDGKRIIWDS RKGFIISNAT YKEIGLLTCE ATVNGHLYKT NYLTHRQNTNT 100  
 IIDVVLSPSH GIELSVGEKL VLNCARTTEL NVGIDFNNEY PSKHKHQHKKL 150  
 VNRDLKTTQSG SEMKKFLSTL TIDGVTRSDQ GLYTYCAASSG LMTKKNSTFV 200  
 RVHEKG<sub>206</sub>GGGGSEVQLV ESGGGGLVQPG GSRLSQAAS GFTFSPFMH 250  
 WVRQAFGKGL EWAKISPQGG SWTYYSQDVT DRFFSLDTS KSTAYLQMS 300  
 LRAEDTAVYY CARQAWGYYA LDIWGQGTLV TVSSASTKGP SVFPLAPSSK 350  
 STSGGTAALG CLVKDXYPPEP VTWSWNSGAL TSGVHTFPV LQSSGLYLSL 400  
 SVVTVPSSSL GTQTYICCNVN HKPSNTKVDK VPEKSCDKT HTCPPCPAPE 450  
AAG<sub>451</sub>APSVFLF PPKPKDTLMI SRTPEVTCVV VDVSHEDPEV KFNWYVDGVE 500  
 VHNAAKTKPRE EQYNSTYRVV SVLTVLHQDW LNGKEYKCKV SNKALPAPIE 550  
 KTISKAKGQF REPQVYTLPP SREEMTKNQV SLTCLVKGFY PSDIAVEWES 600  
 NGQPENNYKT TFPVLDSDGS FFLYSKLTVD KSRWQQGNVF SCSVMHEALH 650  
 NHYTQKSLSC SPGK 664

**Light chain**

DIQLTQSPSS LSASVGDRVT ITCSASISVS YLYWYQQKPG KAPKLLIYDD 50  
 SSLASGVPSR FSGSGSGTDF TLTISSLQPE DFATYYCQW SGYPYTFGQG 100  
 TKVEIKRTVA APSVIFPPS DEQLKSGTAS VVCLLNNFYP REAKVQWKVD 150  
 NALQSGNSQE SVTEQDSKDS TYSLSSLTTL SKADYEKHKV YACEVTHQGL 200  
 SSPVTKSFNR GEC 213

**Mutations / Mutations / Mutaciones**

L<sup>451</sup>>A, L<sup>452</sup>>A, G<sup>454</sup>>A, L<sup>660</sup>>C

Peptide linker / Peptide liant / Péptido de unión  
 206GGGGSGGGG<sup>215</sup>

**Post-translational modifications**

Disulfide bridges location / Position des ponts disulfure / Posiciones de los puentes disulfuro  
 Intra VEGFRI/2-heavy chain: 30-79, 124-185, 237-311, 361-417, 478-538, 584-642  
 30"-79", 124"-185", 237"-311", 361"-417", 478"-538", 584"-642"  
 Intra kappa light chain: 23'-87', 133'-193', 23"-87", 133"-193"  
 Inter VEGFRI/2-heavy chain: 443-443", 446-446"  
 Inter heavy chain-light chain: 437-213', 437"-437"

N-glycosylation sites / Sites de N-glycosylation / Posiciones de N-glicosilación  
 N36, N68, N123, N196, N514, N36", N68", N123", N196", N514"

C-terminal lysine clipping / Coupure de la lysine C-terminale / Recorte de lisina C-terminal  
 664, 664"

**tabirafuspum alfa tedromerum #**

tabirafusp alfa tedromer human vascular endothelial growth factor receptor 1 (VEGFR-1) fragment containing immunoglobulin-like extracellular domain 2 (103-206, 1-104 in the current sequence) fused to a human vascular endothelial growth factor receptor 2 (VEGFR-2) fragment containing immunoglobulin-like extracellular domain 3 (208-308, 105-205 in the current sequence) fused via peptide linker 206GGGGSGGGG<sup>215</sup> to the gamma 1 heavy chain of anti-[human interleukin 6 (IL-6)] (216-664) [VH (*Homo sapiens* IGHV3-23\*03 - (IGHD) -IGHJ3\*02, CDR-Kabat [5.17.10] (246-250.265-281.314-323)) (216-334) -*Homo sapiens*IGHG1\*03 R<sup>431</sup>>K (CH1 (335-432), hinge (433-447), CH2 L<sup>451</sup>>A, L<sup>452</sup>>A, G<sup>454</sup>>A (448-557), CH3 L<sup>660</sup>>C (558-662), CHS (663-664)) (433-664)], (437-213')-disulfide with kappa light chain anti-[human interleukin 6 (IL-6)] (1'-213') [V-KAPPA (*Homo sapiens* IGKV1-13\*02 -IGKJ1\*01, CDR-Kabat [10.7.9] (24'-33'.49'-55'.88'-96')) (1'-106') -*Homo sapiens* IGKC\*01 (107'-213')]; dimer (443-443":446-446")-bisdisulfide, produced in Chinese hamster ovary (CHO) cells, cell line CHO-K1SV, glycoform alfa;

substituted at an average of one sulfur atom of cysteine residues 660 and 660" with (3*RS*)-1-[1,1,1-tris({3-[2-(2,2,2-tris{[(2-{α-(bromo/ethoxy/hydro/hydroxy)poly[1-(10,10-dimethyl-6-oxido-6-oxo-2,5,7-trioxa-10-aza-6λ<sup>5</sup>-phosphoheptadecan-10-iun-1-oyl)-1-methylethane-1,2-diyl]-ω-yl}-2-methylpropanoyl)oxy]methyl}ethoxy)acetamido]propanamido)méthyl]-16,32-dioxo-3,6,9,12,19,22,25,28-octaoxa-15,31-diazatetracontan-34-yl]-2,5-dioxopyrrolidin-3-yl (*tedromer angiogenesis inhibitor*)

## tabirafusp alfa tédromère

fragment du récepteur 1 du facteur de croissance endothéliale vasculaire (VEGFR-1) humain contenant le domaine extracellulaire 2 de type immunoglobuline (103-206, 1-104 dans la séquence en cours) fusionné au fragment du récepteur 2 du facteur de croissance endothéliale vasculaire humain (VEGFR-2) contenant le domaine extracellulaire 3 de type immunoglobuline (208-308, 105-205 dans la séquence en cours) fusionné avec l'aide du coupleur peptidique <sup>206</sup>GGGGSGGGGS<sup>215</sup> à la chaîne lourde gamma 1 de l'anti-[interleukine-6 humaine (IL-6)] (216-334) [VH (*Homo sapiens* IGHV3-23\*03 -(IGHD) -IGHJ3\*02, CDR-Kabat [5.17.10] (246-250.265-281.314-323)) (216-334) -*Homo sapiens* IGHG1\*03 R<sup>431</sup>>K (CH1 (335-432), charnière (433-447), CH2 L<sup>451</sup>>A, L<sup>452</sup>>A, G<sup>454</sup>>A (448-557), CH3 L<sup>660</sup>>C (558-662), CHS (663-664)) (433-664)), (437-213')-disulfure avec la chaîne légère kappa anti-[interleukine-6 humaine (IL-6)] (1'-213') [V-KAPPA (*Homo sapiens* IGKV1-13\*02 -IGKJ1\*01, CDR-Kabat [10.7.9] (24'-33'.49'-55'.88'-96')) (1'-106') -*Homo sapiens* IGKC\*01 (107'-213')]; dimère (443-443":446-446")-bis-disulfure, produit dans des cellules ovariennes de hamster chinois (CHO), lignée cellulaire CHO-K1SV, glicoforme alfa;

substitué à une moyenne d'un atome de souffre des résidus cystéine 660 et 660" par (3*RS*)-1-[1,1,1-tris({3-[2-(2,2,2-tris{[(2-{α-(bromo/éthoxy/hydro/hydroxy)poly[1-(10,10-diméthyl-6-oxido-6-oxo-2,5,7-trioxa-10-aza-6λ<sup>5</sup>-phosphoheptadecan-10-iun-1-oyl)-1-méthylethane-1,2-diyl]-ω-yl}-2-méthylpropanoyl)oxy]methyl}ethoxy)acétamido]propanamido)méthyl]-16,32-dioxo-3,6,9,12,19,22,25,28-octaoxa-15,31-diazatétracontan-34-yl]-2,5-dioxopyrrolidin-3-yle (*tédromère inhibiteur de l'angiogenèse*)

## tabirafusp alfa tedrómero

fragment del receptor 1 del factor de crecimiento endotelial vascular humano (VEGFR-1) que contiene el dominio extracelular 2 similar a la inmunoglobulina (103-206, 1-104 en la secuencia actual) fusionado a un fragmento del receptor 2 del factor de crecimiento endotelial vascular humano (VEGFR-2) que contiene el dominio extracelular 3 similar a la inmunoglobulina (208-308, 105-205 en la secuencia actual) fusionado a través de enlace peptídico <sup>206</sup>GGGGSGGGGS<sup>215</sup> a la cadena pesada gamma 1 de anti-[interleukina 6 (IL-6) humana] (216-664) [VH (*Homo sapiens* IGHV3-23\*03 -(IGHD) -IGHJ3\*02, CDR-Kabat [5.17.10] (246-250.265-281.314-323)) (216-334) -*Homo sapiens* IGHG1\*03 R<sup>431</sup>>K (CH1 (335-432), bisagra (433-447), CH2 L<sup>451</sup>>A, L<sup>452</sup>>A, G<sup>454</sup>>A (448-557), CH3 L<sup>660</sup>>C (558-662), CHS (663-664)) (433-664)), (437-213')-disulfuro con la cadena ligera kappa anti-[interleukina 6 humana (IL-6)] (1'-213') [V-KAPPA (*Homo sapiens* IGKV1-13\*02 -IGKJ1\*01, CDR-Kabat [10.7.9] (24'-33'.49'-55'.88'-96')) (1'-106') -*Homo sapiens* IGKC\*01 (107'-213')]; dímero (443-443":446-446")-bisdisulfuro, producido en células ováricas de hámster Chino (CHO) K1SV, glicoforma alfa;

sustituido en una media de un átomo de azufre de residuos de cisteína 660 y 660" con (3RS)-1-[1,1,1-tris{3-[2-(2,2,2-tris{[(2- $\alpha$ -bromo / etoxi / hidro / hidroxi)poli[1-(10,10-dimetil-6-oxido-6-oxo-2,5,7-trioxa-10-aza-6λ<sup>5</sup>-fosfaundecan-10-iun-1-oil)-1-metiletano-1,2-diil]-ω-il]-2-metilpropanoil}oxi]metil}etoxi]acetamido]propanamido}metil)-16,32-dioxo-3,6,9,12,19,22,25,28-octaoxa-15,31-diazatetracontan-34-il]-2,5-dioxopirrolidin-3-il (*tedrómero*)  
*inhibidor de la angiogénesis*

2839527-16-9

Sequence / Séquence / Secuencia  
VEGFR1/2-IgG1 heavy chain

SDTGRPFVEM YSEIPEIIHM TEGRELVIPC RVTSPNITVT LKKFPLDTLI 50  
PDGKRIIWDS RKGEIISNAT YKEIGLILCE ATVNGLHYKU NYLTHRQNTNT 100  
IIDVVLSPSH GIELSVGEKL VLNCARTARTEL NVGIDFNWEY PSSKHQHKKL 150  
VNRLDKTQSG SEMKKFLSTL IIDGVTRSDQ GLYTCAASSG LMVKKNSTEV 200  
RVHEKGGGGS GGGGSEVQLV ESGGGLVQPG GSIRLSCAAS GTTFSPFMH 250  
WVRQAPGKGK EEWAKLSPCG SWTYYSIDVT DRFTFSLDTS KSTAYLQMNS 300  
LRAEDTAVYY CARQAWGYYA LDIWQGTLV TVSSASTKGR SVFPLAPSSK 350  
STSGGTAALG CLVKDYFPEP VTVSWNSGAL TSGVHTFPBV IQSSGLYLS 400  
SVVTPVSSL GTQTYICNVN HKPSNTVKDK KVEPKSCDKT HTCPCCPAFE 450  
**AAC**APSVFLF PPKPKDLMI SRTPEVTCVV VDVSHEDPEV KFNWYVDGVE 500  
VHNAKTKPRE EQYNSTYRVV SVLTVLHQDW LNGKEYCKV SNKALPAPIE 550  
KTISKAKGQP REPQVYTLPP SREEMTKNVQ SLTCLVKGFY PSDIAVEWES 600  
NGQEENNYYKT TPPVLDSDGS FFLYSKLTVD KSRWQQGNVF SCSVMHEALH 650  
NHYTQKSLS**C** SPGK 664

#### Light chain

DIQLTQSPSS LSASVGDRVT ITCSASISVS YLYWYQQKPG KAPKLLIYDD 50  
SSILASGVPSR FSGSGSGTDF TLTISSLQPE DFATYYCQOW SGYPYTFQGG 100  
TKVEIKRTVA APSVFIFPPS DEQLKSGTAS VVCLLNNFYP REAKVQWKVD 150  
NALQSGNSQE SVTEQDSKDS TYSLSSLTTL SKADYEKHKV YACEVTHQGL 200  
SSPVTKSFNR GEC 213

Mutations / Mutations / Mutaciones  
**L**<sup>451</sup>**>A**, **L**<sup>452</sup>**>A**, **G**<sup>454</sup>**>A**, **L**<sup>660</sup>**>C**

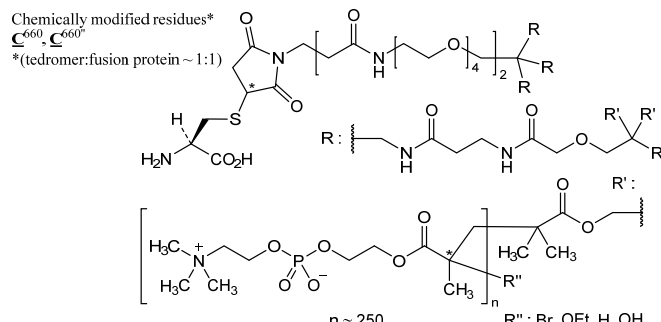
Peptide linker / Peptide liant / Péptido de unión  
<sup>206</sup>GGGGSGGGG<sup>215</sup>

#### Post-translational modifications

Disulfide bridges location / Position des ponts disulfure / Posiciones de los puentes disulfuro  
Intra VEGFR1/2-heavy chain: 301-79, 124-185, 237-311, 361-417, 478-538, 584-642  
Intra kappa light chain: 23"-87, 133"-193, 23"-87", 133"-193"  
Inter VEGFR1/2-heavy chain: 443-443", 446-446"  
Inter heavy chain-light chain: 437-213", 437"-437""

N-glycosylation sites / Sites de N-glycosylation / Posiciones de N-glicosilación  
N36, N68, N123, N196, N514, N36", N68", N123", N196", N514"

C-terminal lysine clipping / Coupe de la lysine C-terminale / Recorte de lisina C-terminal  
664, 664"



**telikibartum #**

telikibart

immunoglobulin G1-kappa, anti-[*Homo sapiens* IL4R (interleukin 4 receptor, IL4RA, IL-4RA, interleukin 13 receptor, CD124)], *Homo sapiens* monoclonal antibody;  
 H-gamma1 heavy chain *Homo sapiens* (1-455) [VH (*Homo sapiens*IGHV3-23\*04 (92.9%) -(IGHD) -IGHJ6\*01 (82.4%), CDR-IMGT [8.8.18] (26-33.51-58.97-114)) (1-125) -*Homo sapiens* IGHG1\*03, G1m3, nG1m1 CH1 R120, CH3 E12, M14, G1v39 CH2 F1.3, E1.2, S116 (CH1 R120 (222) (126-223), hinge 1-15 (224-238), CH2 L1.3>F (242), L1.2>E (243), P116>S (339) (239-348), CH3 E12 (364), M14 (366) (349-453), CHS (454-455)) (126-455)], (228-219')-disulfide with L-kappa light chain *Homo sapiens* (1'-219') [V-KAPPA (*Homo sapiens*IGKV2-28\*01 (92.0%) -IGKJ2\*01 (100%), CDR-IMGT [11.3.9] (27'-37'.55'-57'.94'-102')) (1'-112') -*Homo sapiens* IGKC\*01 (100%) Km3 A45.1, V101 (C-KAPPA A45.1 (158'), V101 (196')) (113'-219')]; dimer (234-234":237-237")-bisdisulfide, produced in Chinese hamster ovary (CHO) cells, glycoform alfa  
*interleukin-4-receptor alpha (IL-4Ra) blocker, anti-inflammatory*

télikibart

immunoglobuline G1-kappa, anti-[*Homo sapiens* IL4R (récepteur de l'interleukine 4, IL4RA, IL-4RA, récepteur de l'interleukine 13, CD124)], anticorps monoclonal *Homo sapiens*;  
 chaîne lourde H-gamma1 *Homo sapiens* (1-455) [VH (*Homo sapiens*IGHV3-23\*04 (92.9%) -(IGHD) -IGHJ6\*01 (82.4%), CDR-IMGT [8.8.18] (26-33.51-58.97-114)) (1-125) -*Homo sapiens* IGHG1\*03, G1m3, nG1m1 CH1 R120, CH3 E12, M14, G1v39 CH2 F1.3, E1.2, S116 (CH1 R120 (222) (126-223), charnière 1-15 (224-238), CH2 L1.3>F (242), L1.2>E (243), P116>S (339) (239-348), CH3 E12 (364), M14 (366) (349-453), CHS (454-455)) (126-455)], (228-219')-disulfure avec la chaîne légère L-kappa *Homo sapiens* (1'-219') [V-KAPPA (*Homo sapiens*IGKV2-28\*01 (92.0%) -IGKJ2\*01 (100%), CDR-IMGT [11.3.9] (27'-37'.55'-57'.94'-102')) (1'-112') -*Homo sapiens* IGKC\*01 (100%) Km3 A45.1, V101 (C-KAPPA A45.1 (158'), V101 (196')) (113'-219')]; dimère (234-234":237-237")-bisdisulfure, produit dans des cellules ovarianes de hamster chinois (CHO), glycoforme alfa  
 *bloqueur du récepteur alpha de l'interleukine-4 (IL-4Ra), anti-inflammatoire*

telikibart

imunoglobulina G1-kappa, anti-[*Homo sapiens* IL4R (receptor de la interleukina 4, IL4RA, IL-4RA, receptor de la interleukina 13, CD124)], anticuerpo monoclonal *Homo sapiens*;  
 cadena pesada H-gamma1 *Homo sapiens* (1-455) [VH (*Homo sapiens*IGHV3-23\*04 (92.9%) -(IGHD) -IGHJ6\*01 (82.4%), CDR-IMGT [8.8.18] (26-33.51-58.97-114)) (1-125) -*Homo sapiens* IGHG1\*03, G1m3, nG1m1 CH1 R120, CH3 E12, M14, G1v39 CH2 F1.3, E1.2, S116 (CH1 R120 (222) (126-223), bisagra 1-15 (224-238), CH2 L1.3>F (242), L1.2>E (243), P116>S (339) (239-348), CH3 E12 (364), M14 (366) (349-453), CHS (454-455)) (126-455)], (228-219')-disulfuro con la cadena ligera L-kappa *Homo sapiens* (1'-219') [V-KAPPA (*Homo sapiens*IGKV2-28\*01 (92.0%) -IGKJ2\*01 (100%), CDR-IMGT [11.3.9] (27'-37'.55'-57'.94'-102')) (1'-112') -*Homo sapiens* IGKC\*01 (100%) Km3 A45.1, V101 (C-KAPPA A45.1 (158'), V101 (196')) (113'-219')]; dímero (234-234":237-237")-bisdisulfuro, producido en las células ováricas de hámster chino (CHO), forma glicosilada alfa  
 *bloqueador del receptor alfa de la interleuquina-4 (IL-4Ra), antiinflamatorio*

2618667-96-0

**Heavy chain / Chaîne lourde / Cadena pesada**  
 EVQLIVESGGG LVQPGGSRLR SCAVSGFTFS SYAMSSWVRQA PGKGLEWVSS 50  
 ITGGGGGIYY ADSVKGRFTI SRDNNSKNTVY LQMNSLRAED TAVYYCAKDR 100  
 ISITIRPRYY GLDFWQCGTT VTVSSAASKG PSVFLAPSS KSTSGGTAAL 150  
 GCLVKDYPPE PVTVSNSGA LTSGVHTFPA VLQSSGLYSL SSVVTVPSS 200  
 LGTQTYICNV NHPKSNTKVD KRVEPKSCDK THTCPPCPAP EFEFGGPSFL 250  
 FPPKPKDTLM ISRTPEVTCV VVDVSHEDPE VKFNWYVDGV EVHNAKTKPR 300  
 EEQYNSTYRV VSVLTVLHQD WLNGKEYKCK VSNKALPASI EKTISKAKGQ 350  
 PREPQVYTLPLP PSREEMTKNQ VSLTCLVKGF YPSDIAVEWE SNGQEENNYK 400  
 TPPPVLDSDG SFFLYSKLTV DKSRWQQGNV FSCSVMHEAL HNHYTQKSL 450  
 LSPGK 455

**Light chain / Chaîne légère / Cadena ligera**  
 DIVMTQSPLS LPVTPGEVAS ISCRSSQSSL YSIGYNYLDW YLQKSGQSPQ 50  
 LLIVLGSNRA SGVPDRFSGS GS GTDFTLKI SRV EAEDVGF YYCMQSFKAP 100  
 YTFGQGTKLE IKRTVAAPSV FIFPPSDEQL KSGTASVCL LNNFYPREAK 150  
 VQWKVDNALQ SGNSQESVTE QDSKDSTYSL SSTLTLKAD YEKKHVYACE 200  
 VTHQGLLSPV TKSFNRGEC 219

**Post-translational modifications**

Disulfide bridges location / Position des ponts disulfure / Posiciones de los puentes disulfuro

Intra-H (C23-C104) 22-96 152-208 269-329 375-433  
22"-96" 152"-208" 269"-329" 375"-433"Intra-L (C23-C104) 23"-93" 139"-199"  
23"-93" 139"-199"

Inter-H-L (h 5-CL 126) 228-219" 228"-219"

Inter-H-H (h 11, h 14) 234-234" 237-237"

N-glycosylation sites / Sites de N-glycosylation / Posiciones de N-glicosilación

H CH2 N84.4: 305, 305"

Fucosylated complex bi-antennary CHO-type glycans / glycanes de type CHO bi-antennaires complexes fucosylés / glicanos de tipo CHO biantenarios complejos fucosilados

C-terminal lysine clipping / Coupe de la lysine C-terminale / Recorte de lisina C-terminal  
H CHS K2: 455, 455"**teprosulvolum**  
teprosulvose3-(octadecanoxyloxy)propyl 6-deoxy-6-sulfo- $\alpha$ -D-glucopyranoside  
*radiosensitizer (veterinary use)*

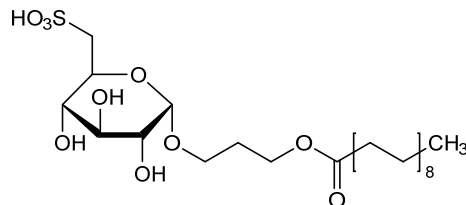
## téprosulvose

6-désoxy-6-sulfo- $\alpha$ -D-glucopyranoside de 3-(octadécanoxyloxy)propyle  
*radiosensibilisateur (usage vétérinaire)*

## teprosulvosa

6-desoxi-6-sulfo- $\alpha$ -D-glucopiranósido de 3-(octadecanoiloxy)propilo  
*radiosensibilizante (uso veterinario)*C<sub>27</sub>H<sub>52</sub>O<sub>10</sub>S

1983131-47-0

**tigemocoxibum**  
tigemocoxib(2S)-7-*tert*-butyl-6-chloro-2-(trifluoromethyl)-2*H*-1-benzopyran-3-carboxylic acid  
*cyclo-oxygenase 2 (COX-2) inhibitor, anti-inflammatory*

tigémocoxib	acide (2S)-7- <i>tert</i> -butyl-6-chloro-2-(trifluorométhyl)-2 <i>H</i> -1-benzopyrane-3-carboxylique <i>inhibiteur de la cyclo-oxygénase 2 (COX-2), anti-inflammatoire</i>
tigemocoxib	ácido (2S)-7- <i>terc</i> -butil-6-cloro-2-(trifluorometil)-2 <i>H</i> -1-benzopirano-3-carboxílico <i>inhibidor de la ciclooxygenasa 2 (COX-2), antiinflamatorio</i>
	C <sub>15</sub> H <sub>14</sub> ClF <sub>3</sub> O <sub>3</sub> 215122-74-0

**tizetatugum #**

tizetatug

immunoglobulin G1-kappa, anti-[*Homo sapiens* TACSTD2 (tumor-associated calcium signal transducer 2, membrane component chromosome 1 surface marker 1, M1S1, gastrointestinal tumor-associated antigen GA7331, pancreatic carcinoma marker protein GA733-1, epithelial glycoprotein-1, EGP-1, trophoblast antigen-2, cell surface glycoprotein Trop-2, TROP2)], humanized monoclonal antibody; H-gamma1 heavy chain humanized (1-451) [VH (*Homo sapiens* IGHV1-69\*02 (88.8%) - (IGHD) - IGHJ4\*01 (93.3%), CDR-IMGT [8.8.14] (26-35.51-58.97-110)) (1-121) - *Homo sapiens* IGHG1\*01 (100%) G1m17,1 CH1 K120, CH3 D12, L14 (CH1 K120 (218) (122-219), hinge 1-15 (220-234), CH2 (235-344), CH3 D12 (360), L14 (362) (345-449), CHS (450-451)) (122-451)], (224-214')-disulfide with L-kappa light chain humanized (1-214') [V-KAPPA (*Homo sapiens* IGKV1-9\*03 (84.3%) -IGKJ4\*01 (91.7%) G120>A (100'), CDR-IMGT [6.3.9] (27'-32'.50'-52'.89'-97')) (1'-107') -*Homo sapiens* IGKC\*01 (100%) Km3 A45.1, V101 (C-KAPPA A45.1 (153'), V101 (191')) (108'-214')]; dimer (230"-233":233"-bisdisulfide, produced in Chinese hamster ovary (CHO) cells, cell line CHO-K1SV lacking the glutamine synthetase (GS-KO) gene, glycoform alfa antineoplastic

tizétatug

immunoglobuline G1-kappa, anti-[*Homo sapiens* TACSTD2 (transducteur 2 de signaux calciques associé aux tumeurs, composant membranaire du chromosome 1 marqueur de surface 1, M1S1, antigène GA7331 associé aux tumeurs gastrointestinales, protéine GA733-1 marqueur de carcinomes pancréatiques, glycoprotéine épithéliale 1, EGP-1, antigène 2 du trophoblaste, glycoprotéine Trop-2 à la surface des cellules, TROP2)], anticorps monoclonal humanisé;

chaîne lourde H-gamma1 humanisée (1-451) [VH (*Homo sapiens* IGHV1-69\*02 (88.8%) -(IGHD) -IGHJ4\*01 (93.3%), CDR-IMGT [8.8.14] (26-35.51-58.97-110)) (1-121) -*Homo sapiens* IGHG1\*01 (100%) G1m17,1 CH1 K120, CH3 D12, L14 (CH1 K120 (218) (122-219), charnière 1-15 (220-234), CH2 (235-344), CH3 D12 (360), L14 (362) (345-449), CHS (450-451)) (122-451)], (224-214')-disulfure avec la chaîne légère L-kappa humanisée (1'-214') [V-KAPPA (*Homo sapiens* IGKV1-9\*03 (84.3%) -IGKJ4\*01 (91.7%) G120>A (100'), CDR-IMGT [6.3.9] (27'-32'.50'-52'.89'-97')) (1'-107') -*Homo sapiens* IGKC\*01 (100%) Km3 A45.1, V101 (C-KAPPA A45.1 (153'), V101 (191')) (108'-214')]; dimère (230-230":233-233")-bisdisulfure, produit dans des cellules ovarianes de hamster chinois (CHO), lignée cellulaire CHO-K1SV ne présentant pas le gène de la glutamine synthétase (GS-KO), glycoforme alfa antinéoplasique

tizetatug immunoglobulina G1-kappa, anti-[*Homo sapiens* TACSTD2 (transductor 2 de señales cárnicas asociado a los tumores, componente de membrana del cromosoma 1 marcador de superficie 1, M1S1, antígeno GA7331 asociado con los tumores gastrointestinales, proteína GA733-1 marcador de carcinomas pancreáticos, glicoproteína epitelial 1, EGP-1, antígeno 2 del trofoblasto, glicoproteína Trop-2 en la superficie de las células, TROP2)], anticuerpo monoclonal humanizado; cadena pesada H-gamma1 humanizada (1-451) [VH (*Homo sapiens* IGHV1-69\*02 (88.8%) -(IGHD) -IGHJ4\*01 (93.3%), CDR-IMGT [8.8.14] (26-35.51-58.97-110)) (1-121) -*Homo sapiens* IGHG1\*01 (100%) G1m17,1 CH1 K120, CH3 D12, L14 (CH1 K120 (218) (122-219), bisagra 1-15 (220-234), CH2 (235-344), CH3 D12 (360), L14 (362) (345-449), CHS (450-451)) (122-451)], (224-214')-disulfuro con la cadena ligera L-kappa humanizada (1'-214') [V-KAPPA (*Homo sapiens* IGKV1-9\*03 (84.3%) -IGKJ4\*01 (91.7%) G120>A (100'), CDR-IMGT [6.3.9] (27'-32'.50'-52'.89'-97')) (1'-107') -*Homo sapiens* IGKC\*01 (100%) Km3 A45.1, V101 (C-KAPPA A45.1 (153'), V101 (191')) (108'-214')]; dímero (230-230":233-233")-bisdisulfuro, producido en las células ováricas de hamster chino (CHO), línea celular CHO-K1SV en ausencia del gen de la glutamina sintetasa (GS-KO), forma glicosilada alfa antineoplásico

2938864-87-8

Heavy chain / Chaîne lourde / Cadena pesada  
 EVQLVQSGSE LKKPGASVKV SCKASGYTFT NYGMNWVKQA PGQGLKWMGW 50  
 INTYTGEEPTY TDQFKGRFAF SLDTSTVAY LQISSLKAED TAVYYCARGG 100  
 FGSSYYWYFDV WGGQLTVTVS SASTKGPSVF PLAPSSKTS GGTAALGCLV 150  
 KDYFPEPVTV SWNSGALTSG VHFTPAVLQS SGGLYSLSVV TVPSSLGLTQ 200  
 TYICNVNHPK SNTKVDDPKV PKSKCDRTHTC PPCPAPELLG GPSVFLFPK 250  
 PKDTLMLISRT PEVTCVVVVDV SHEDPEVKFN WYVDGVEVHN AKTKPREEQY 300  
 NSTYRVVSVL TVLHQDWLNG KEYKCKVSNK ALPAPIEKTI SKAKGQPREG 350  
 QVYTLPPSRD ELTKNQVSLSL CLVKGFYPSD IAVEWESENQ PENNYKTPPP 400  
 VLDSDGSFFL YSKLTVDKSR WQQGNVFSCS VMHEALHNHY TQKSLSLSPG 450  
 K 451

Light chain / Chaîne légère / Cadena ligera  
 DIQLTQSPSS LSASVGDRVS ITCKASQDV S IAVAWYQQKP GKAPKLLIYS 50  
 ASYYRTGVPD RFSGSGSGTD FTLITLISSLQF EDFAVYVYCQQ HYITPLTFGA 100  
 GTKVEIKRTV AAPSVFIFPP SDEQLKSGTA SVKLCLNNFY PREAKVQWKV 150  
 DNALQSGNSQ ESVTEQDSKD STYSLSSLT LSKADYEKHK VYACEVTHQG 200  
 LSSPVTKSFV RGE C 214

#### Post-translational modifications

Disulfide bridges location / Position des ponts disulfure / Posiciones de los puentes disulfuro

Intra-H (C23-C104) 22-96 148-204 265-325 371-429

22"-96" 148"-204" 265"-325" 371"-429"

Intra-L (C23-C104) 23"-88" 134"-194"

23"-88" 134"-194"

Inter-H-L (h 5-CL 126) 224-214' 224"-214"

Inter-H-H (h 11, h 14) 230-230" 233-233"

N-glycosylation sites / Sites de N-glycosylation / Posiciones de N-glicosilación

H CH2 N84.4; 301, 301"

Fucosylated complex bi-antennary CHO-type glycans / glycanes de type CHO bi-antennaires

complexes fucosylés / glicanos de tipo CHO biantenarios complejos fucosilados

C-terminal lysine clipping / Coupure de la lysine C-terminale / Recorte de lisina C-terminal

H CHS K2:451, 451"

**tizetatumum rezetecanum #**  
tizetatug rezetecan

immunoglobulin G1-kappa, anti-[*Homo sapiens* TACSTD2 (tumor-associated calcium signal transducer 2, membrane component chromosome 1 surface marker 1, M1S1, gastrointestinal tumor-associated antigen GA7331, pancreatic carcinoma marker protein GA733-1, epithelial glycoprotein-1, EGP-1, trophoblast antigen-2, cell surface glycoprotein Trop-2, TROP2)], humanized monoclonal antibody; conjugated on an average of four cysteinyl residues to *rezetecan*; H-gamma1 heavy chain humanized (1-451) [VH (*Homo sapiens* IGHV1-69\*02 (88.8%) -(IGHD) - IGHJ4\*01 (93.3%), CDR-IMGT [8.8.14] (26-35.51-58.97-110)) (1-121) -*Homo sapiens* IGHG1\*01 (100%) G1m17,1 CH1 K120, CH3 D12, L14 (CH1 K120 (218) (122-219), hinge 1-15 (220-234), CH2 (235-344), CH3 D12 (360), L14 (362) (345-449), CHS (450-451) (122-451)], (224-214')-disulfide with L-kappa light chain humanized (1-214') [V-KAPPA (*Homo sapiens* IGKV1-9\*03 (84.3%) -IGKJ4\*01 (91.7%) G120>A (100), CDR-IMGT [6.3.9] (27'-32'.50'-52'.89'-97') (1'-107') -*Homo sapiens* IGKC\*01 (100%) Km3 A45.1, V101 (C-KAPPA A45.1 (153'), V101 (191')) (108'-214')]; dimer (230-230":233-233")-bisdisulfide, produced in Chinese hamster ovary (CHO) cells, cell line CHO-K1SV lacking the glutamine synthetase (GS-KO) gene, glycoform alfa; substituted at the sulfur atoms of four L-cysteinyl residues on an average among 224, 230, 233, 214', 224", 230", 233" and 214" with (3RS)-1-[(2R,10S)-10-benzyl-2-cyclopropyl-1-[(1S,9S)-9-ethyl-5-fluoro-9-hydroxy-4-methyl-10,13-dioxo-2,3,9,10,13,15-hexahydro-1*H*,12*H*-benzo[de]pyrano[3',4':6,7]indolizino[1,2-*b*]quinolin-1-yl]amino]-1,6,9,12,15,18-hexaoxo-3-oxa-5,8,11,14,17-pentaazaticosan-23-yl]-2,5-dioxopyrrolidin-3-yl (*rezetecan*) groups  
*antineoplastic*

## tizétatug rézétécan

immunoglobuline G1-kappa, anti-[*Homo sapiens* TACSTD2 (transducteur 2 de signaux calciques associé aux tumeurs, composant membranaire du chromosome 1 marqueur de surface 1, M1S1, antigène GA7331 associé aux tumeurs gastrointestinales, protéine GA733-1 marqueur de carcinomes pancréatiques, glycoprotéine épithéliale 1, EGP-1, antigène 2 du trophoblaste, glycoprotéine Trop-2 à la surface des cellules, TROP2)], anticorps monoclonal humanisé; conjuguée par quatre résidus cystéinylos en moyenne au *rézétécan*; chaîne lourde H-gamma1 humanisée (1-451) [VH (*Homo sapiens* IGHV1-69\*02 (88.8%) -(IGHD) - IGHJ4\*01 (93.3%), CDR-IMGT [8.8.14] (26-35.51-58.97-110)) (1-121) -*Homo sapiens* IGHG1\*01 (100%) G1m17,1 CH1 K120, CH3 D12, L14 (CH1 K120 (218) (122-219), charnière 1-15 (220-234), CH2 (235-344), CH3 D12 (360), L14 (362) (345-449), CHS (450-451) (122-451)], (224-214')-disulfure avec la chaîne légère

légère L-kappa humanisée (1'-214') [V-KAPPA (*Homo sapiens* IGKV1-9\*03 (84.3%) -IGKJ4\*01 (91.7%) G120>A (100), CDR-IMGT [6.3.9] (27'-32'.50'-52'.89'-97')) (1'-107') -*Homo sapiens* IGKC\*01 (100%) Km3 A45.1, V101 (C-KAPPA A45.1 (153'), V101 (191')) (108'-214')]; dimère (230-230":233-233")-bisdisulfure, produit dans des cellules ovariennes de hamster chinois (CHO), lignée cellulaire CHO-K1SV ne présentant pas le gène de la glutamine synthétase (GS-KO), glycoforme alfa; substitué, sur les atomes de soufre de quatre résidus L-cystéinyle en moyenne parmi 224, 230, 233, 214', 224", 230", 233" and 214", avec des groupes (3RS)-1-[(2R,10S)-10-benzyl-2-cyclopropyl-1-[(1S,9S)-9-éthyl-5-fluoro-9-hydroxy-4-méthyl-10,13-dioxo-2,3,9,10,13,15-hexahydro-1H,12H-benzo[de]pirano[3',4':6,.7]indolizino[1,2-b]quinoléin-1-il]amino}-1,6,9,12,15,18-hexaoxo-3-oxa-5,8,11,14,17-pentaazaticosan-23-yl]-2,5-dioxopyrrolidin-3-yle (rézétécan) antineoplasique

tizetatug rezetecán

imunoglobulina G1-kappa, anti-[*Homo sapiens* TACSTD2 (transductor 2 de señales cárnicas asociado con tumores, componente de membrana del cromosoma 1 marcador de superficie 1, M1S1, antígeno GA7331 asociado con los tumores gastrointestinales, proteína GA733-1 marcador de carcinomas pancreáticos, glicoproteína epitelial 1, EGP-1, antígeno 2 del trofoblasto, glicoproteína Trop-2 en la superficie de las células, TROP2)], anticuerpo monoclonal humanizado, conjugado, por cuatro residuos de cisteínilo, por término medio a *rezetecán*; cadena pesada H-gamma1 humanizada (1-451) [VH (*Homo sapiens*IGHV1-69\*02 (88.8%) -(IGHD) -IGHJ4\*01 (93.3%), CDR-IMGT [8.8.14] (26-35.51-58.97-110)) (1-121) -*Homo sapiens*IGHG1\*01 (100%) G1m17.1 CH1 K120, CH3 D12, L14 (CH1 K120 (218) (122-219), bisagra 1-15 (220-234), CH2 (235-344), CH3 D12 (360), L14 (362) (345-449), CHS (450-451)) (122-451)], (224-214')-disulfuro con la cadena ligera L-kappa humanizada (1'-214') [V-KAPPA (*Homo sapiens* IGKV1-9\*03 (84.3%) -IGKJ4\*01 (91.7%) G120>A (100), CDR-IMGT [6.3.9] (27'-32'.50'-52'.89'-97')) (1'-107') -*Homo sapiens* IGKC\*01 (100%) Km3 A45.1, V101 (C-KAPPA A45.1 (153'), V101 (191')) (108'-214')]; dímero (230-230":233-233")-bisulfuro, producido en las células ováricas de hámster chino (CHO), línea celular CHO-K1SV en ausencia del gen de la glutamina sintetasa (GS-KO), forma glicosilada alfa; sustituido, en los átomos de azufre de cuatro residuos de L-cisteínilo en promedio de 224, 230, 233, 214', 224", 230", 233" y 214", con grupos (3RS)-1-[(2R,10S)-10-bencil-2-ciclopropil-1-[(1S,9S)-9-étil-5-fluoro-9-hidroxi-4-metil-10,13-dioxo-2,3,9,10,13,15-hexahidro-1H,12H-benzo[de]pirano[3',4':6,.7]indolizino[1,2-b]quinoléin-1-il]amino}-1,6,9,12,15,18-hexaoxo-3-oxa-5,8,11,14,17-pentaazaticosan-23-il]-2,5-dioxopyrrolidin-3-ilo (*rezetecán*) antineoplásico

**Heavy chain / Chaîne lourde / Cadena pesada**

EVQLVQSGSE	LKKPGASVKV	SCKASGYIFT	NYGMNWVKQA	PGQGLKWMGW	50
INTYTGEPTY	TQDFKGRFAF	SLDTSVSTAY	LQISSLKAED	TAVYYCARGG	100
FGSSYWWFDV	WGQGTLVTVS	SASTKGPSVF	PLAPSSKSTS	GTTAALGCLV	150
KDYFPEPVTV	WNSSGALTSG	VHTFPAVLQS	SGLYSLSSVV	TVFSSSLGTQ	200
TYICNVNHK	SNTKVDKKV	PKSCDKTHTC	PPCPAPELLG	GPSVFLFPK	250
PKDTLMISRT	PEVTCVVVDV	SHEDPEVKFN	WYVDGVVEVN	AKTKPREEQY	300
NSTYRVVSVL	TVLHQDWLNG	KEYKCKVSNK	ALPAPIEKTI	SKAKGQPREG	350
QVYTLPPSRD	ELTKNQVSLT	CLVKGFYPSD	IAVEWESNGQ	PENNYKTTREP	400
VLDSDGSFFL	YSKLTVDKSR	WQQGNVFS	VMHEALHNHY	TQKSLSLSPG	450
					K

**Light chain / Chaîne légère / Cadena ligera**

DIQLTQSPSS	LSASVGDRVS	ITCKASQDVS	IAVAWYQQKP	GKAPKLLIYS	50
ASYRYTGVPD	RFGSGSGSTD	FTLTISSILQP	EDFAVYYCQQ	HYITPLTFGA	100
GTKVEIKRTV	AAFSVFIIFPP	SDEQLKSGTA	SVVCLNNFY	PREAKVQWKV	150
DNALQSGNSQ	ESVTEQDSDKD	STYSLSSLT	LSKADYEKKH	VIYACEVTHQG	200
					214
					RGEC

#### Post-translational modifications

Disulfide bridges location / Position des ponts disulfure / Posiciones de los puentes disulfuro  
Intra-H (C23-C104) 22-96 148-204 265-325 371-429

22"-96" 148"-204" 265"-325" 371"-429"

Intra-L (C23-C104) 23"-88" 134"-194'  
23"-88" 134"-194"

Inter-H-L (h 5-CL 126)\* 224-214' 224"-214"

Inter-H-H (h 11, h 14)\* 230-230" 233-233"

\*Three or four inter-chain disulfide bridges are not present, an average of four cysteinyl being conjugated each via a thioether bond to a drug linker.

\*Trois ou quatre ponts disulfures inter-chaînes ne sont pas présents, quatre cysteinyl en moyenne étant chacun conjugué via une liaison thioéther à un linker-principe actif.

\*Tres o cuatro puentes disulfuro inter-catenarios no estan presentes, una media de cuatro cisteinil está conjugada a conectores de principio activo.

N-glycosylation sites / Sites de N-glycosylation / Posiciones de N-glicosilación

H CH2 N84.4: 301, 301"

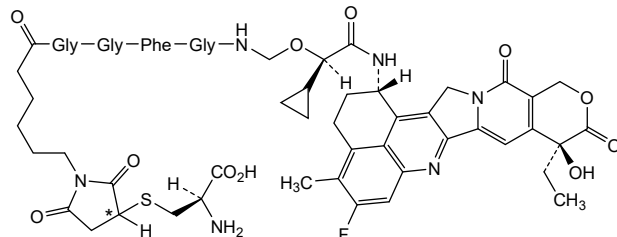
Fucosylated complex bi-antennary CHO-type glycans / glycanes de type CHO bi-antennaires complexes fucosylés / glicanos de tipo CHO biantenarios complejos fucosilados

C-terminal lysine clipping / Coupure de la lysine C-terminale / Recorte de lisina C-terminal  
H CHS K2: 451, 451"

Modified residues / Résidus modifiés / Restos modificados

C (224, 230, 233, 214', 224", 230", 233", 214")

rezeotecan:mAb ~ 4:1



**tovécimigum #**  
tovécimig

immunoglobulin G1-scFvL\_L-kappa, anti-[*Homo sapiens* VEGFA (vascular endothelial growth factor A, VEGF-A, VEGF)] and anti-[*Homo sapiens* DLL4 (delta-like 4)], humanized and *Homo sapiens* monoclonal antibody; bispecific;

	H-gamma1 heavy chain anti-VEGFA fused to a scFvIh anti-DLL4 (1-714) [H-gamma1 heavy chain anti-VEGFA humanized (1-453) [VH ( <i>Homo sapiens</i> IGHV3-30*02 (76.8%) -(IGHD) -IGHJ4*01 (93.3%), CDR-IMGT [8.9.16] (26-33.51-59.97-112)) (1-123)- <i>Homo sapiens</i> IGHG1*03v, G1m3>G1m17, nG1m1, CH1 K120, CH3 E12, M14 (CH1 R120>K (220) (124-221), hinge 1-15 (222-236), CH2 (237-346), CH3 E12 (362), M14 (364) (347-451), CHS (452-453)) (124-453)] -15-mer tris(tetraglycyl-seryl) linker (454-468) -scFvIh anti-DLL4 <i>Homo sapiens</i> (469-714) [V-LAMBDA ( <i>Homo sapiens</i> IGLV1-47*02 (89.7%) -IGLJ2*01 (90.9%) G120>C (571), CDR-IMGT [8.3.11] (494-501.519-521.558-568)) (469-578) -20-mer tetrakis(tetraglycyl-seryl) linker (579-598) -VH ( <i>Homo sapiens</i> IGHV3-23*03 (91.8%) -IGHD -IGHJ4*01 (100%), CDR-IMGT [8.8.9] (624-631.649-656.695-703)) (599-714)]; (226-214')-disulfide with L-kappa light chain anti-VEGFA humanized (1'-214') [V-KAPPA ( <i>Homo sapiens</i> IGKV1-16*01 (88.4%) -IGKJ1*01 (100%), CDR-IMGT [6.3.9] (27'-32'.50'-52'.89'-97')) (1'-107') - <i>Homo sapiens</i> IGKC*01 (100%), Km3 A45.1 (153'), V101 (191') (108'-214')]; dimer (232-232":235-235")-bisdisulfide, produced in Chinese hamster ovary (CHO) cells, cell line CHO-DG44, glycoform alfa <i>angiogenesis inhibitor, antineoplastic</i>
tovécimig	immunoglobuline G1_scFvIh_L-kappa, anti-[ <i>Homo sapiens</i> VEGFA (facteur de croissance A de l'endothélium vasculaire, VEGF-A, VEGF)] et anti-[ <i>Homo sapiens</i> DLL4 (delta-like 4)], anticorps monoclonal humanisé et <i>Homo sapiens</i> ; bispécifique; chaîne lourde H-gamma1 anti-VEGFA fusionnée à un scFvIh anti-DLL4 (1-714) [chaîne lourde H-gamma1 anti-VEGFA humanisée (1-453) [VH ( <i>Homo sapiens</i> IGHV3-30*02 (76.8%) -(IGHD) -IGHJ4*01 (93.3%), CDR-IMGT [8.9.16] (26-33.51-59.97-112)) (1-123)- <i>Homo sapiens</i> IGHG1*03v, G1m3>G1m17, nG1m1, CH1 K120, CH3 E12, M14 (CH1 R120>K (220) (124-221), charnière 1-15 (222-236), CH2 (237-346), CH3 E12 (362), M14 (364) (347-451), CHS (452-453)) (124-453)] -15-mer tris(tétraglycyl-séryl) linker (454-468) -scFvIh anti-DLL4 <i>Homo sapiens</i> (469-714) [V-LAMBDA ( <i>Homo sapiens</i> IGLV1-47*02 (89.7%) -IGLJ2*01 (90.9%) G120>C (571), CDR-IMGT [8.3.11] (494-501.519-521.558-568)) (469-578) -20-mer tétrakis(tétraglycyl-séryl) linker (579-598) -VH ( <i>Homo sapiens</i> IGHV3-23*03 (91.8%) -IGHD -IGHJ4*01 (100%), CDR-IMGT [8.8.9] (624-631.649-656.695-703)) (599-714)]; (226-214')-disulfure avec la chaîne légère L-kappa anti-VEGFA humanisée (1'-214') [V-KAPPA ( <i>Homo sapiens</i> IGKV1-16*01 (88.4%) -IGKJ1*01 (100%), CDR-IMGT [6.3.9] (27'-32'.50'-52'.89'-97')) (1'-107') - <i>Homo sapiens</i> IGKC*01 (100%), Km3 A45.1 (153'), V101 (191') (108'-214')]; dimère (232-232":235-235")-bisdisulfure, produit dans des cellules ovariennes de hamster chinois (CHO), lignée cellulaire CHO-DG44, glycoforme alfa <i>inhibiteur de l'angiogenèse, antinéoplasique</i>
tovecimig	inmunoglobulina G1_scFvIh_L-kappa, anti-[ <i>Homo sapiens</i> VEGFA (factor de crecimiento A del endotelio vascular, VEGF-A, VEGF)] y anti-[ <i>Homo sapiens</i> DLL4 (delta-like 4)], anticuerpo monoclonal humanizado y <i>Homo sapiens</i> ; biespecífico; cadena pesada H-gamma1 anti-VEGFA fusionada con un scFvIh anti-DLL4 (1-714) [cadena pesada H-gamma1 anti-VEGFA humanizada (1-453) [VH ( <i>Homo sapiens</i> IGHV3-30*02 (76.8%) -(IGHD) -IGHJ4*01 (93.3%), CDR-IMGT [8.9.16] (26-33.51-59.97-112)) (1-123)- <i>Homo sapiens</i> IGHG1*03v, G1m3>G1m17, nG1m1, CH1 K120, CH3 E12, M14 (CH1 R120>K (220) (124-221), bisagra 1-15 (222-236), CH2 (237-346), CH3 E12 (362), M14 (364) (347-451), CHS (452-453)) (124-453)] -15-mer tris(tetraglicil-séral) enlace (454-468) -scFvIh anti-DLL4 <i>Homo sapiens</i> (469-714) [V-LAMBDA ( <i>Homo sapiens</i> IGLV1-47*02 (89.7%) -IGLJ2*01 (90.9%) G120>C (571), CDR-IMGT [8.3.11] (494-501.519-521.558-568)) (469-578) -20-mer tetrakis(tetraglicil-séral) enlace (579-598) -VH ( <i>Homo sapiens</i> IGHV3-23*03 (91.8%) -IGHD -IGHJ4*01 (100%), CDR-IMGT [8.8.9] (624-631.649-656.695-703)) (599-714)]; (226-214')-disulfuro con la cadena ligera L-kappa anti-VEGFA humanizada (1'-214') [V-KAPPA ( <i>Homo sapiens</i>

IGKV1-16\*01 (88.4%) -IGKJ1\*01 (100%), CDR-IMGT [6.3.9] (27'-32'.50'-52'.89'-97')) (1'-107') -*Homo sapiens* IGKC\*01 (100%), Km3 A45.1 (153'), V101 (191') (108'-214'); dímero (232-232".235-235")-bisdisulfuro, producido en las células ováricas de hámster chino (CHO), línea celular CHO-DG44, forma glicosilada alfa  
*inhibidor de la angiogénesis, antineoplásico*

2923284-73-3

Heavy chain / Chaîne lourde / Cadena pesada: fused H-gamma1 anti-VEGFA -scFvH anti-DLL4 (H, H")

EVQLVESGGG LVQPGGSLRL SCAASGYTFT NYGMNWRVQA PGKGLEWVGW 50  
 INTYTGEPTY AADFKRRFTF SLDTSKSTAY LQMNLSRAED TAVYYCAKYP 100  
 HYGGSHHYF DWGQGTLVT VSSASTKGPV FVFLAPSSKS TSGGTAALGC 150  
 LVKDYFPEPV TVSNNSGALT SGVHFTPAVL QSSGLYSLSS VVTVPSSLG 200  
 TQTYICNVNH KPSNTKVDKK VEPKSCDKTH TCPCCPAPEL LGGPSVFLFP 250  
 PKPKDTILMIS RTPEVTCVVV DVSHEDPVEVK FNWYVGDGEV HNAKTKPREE 300  
 QYNSTYRVVS VLTVLHQDWL NGKEYKCKVS NKALPAPIEK TISKAKGQPR 350  
 EPQVYTLPLS REEMTKNQVS LTCLVKGFPV SDIAVEWESN QOPENNYKTT 400  
 PPVLDSDGSF FLYSKLTVDK SRWQQGNVFS CSVMHEALHN HYTQKSLSL 450  
 PGKGGGGSGG GGSGGGGSQS VLTPQPSASG TPGQRVTISC TGSSSSIGN 500  
 DVTWYQQLPG TAPKLILYAD SKRPSGVPDF FSGSKSGTSA SLAISGLRSE 550  
 DEADYYCGCTW DYSLISAYVFG CGTKLTVLG GGGGGGGSGG GGGGGGGSEV 600  
 QLLESGGGLV QPGGSLRLSC AASGFTTSYD AMSWVRQAPG KCLEWWSIY 650  
 SGSGNKYYAD SVKGRFTISR DNSKNTLYLQ MNSLRAEDTA VYYCARADWP 700  
 FDYWQGQTLV 714

Light chain / Chaîne légère / Cadena ligera: L-kappa anti-VEGFA (L', L")

DIQMTQSPSS LSASVGRVT ITCSAQDIS NYLNWYQQKPV GKAPKYLIVF 50  
 TSSLHSGVPS RFSGSGSGTD FTLTISSLQP EDFATYYCQQ YSTVFWTFQ 100  
 GTKVEIKRTV AAPSVFIFPP SDEQLKSGTA SVVCLNNFY PREAKVQWKV 150  
 DNALQSGNSQ ESVTBQDSKD STYSLSSTLT LSKADYEKHK VYACEVTHQG 200  
 LSSPVTKSFN R GEC 214

#### Post-translational modifications

Disulfide bridges location / Position des ponts disulfure / Posiciones de los puentes disulfuro

Intra-H (C23-C104) 22-96 150-206 267-327 373-431  
 22"-96" 150"-206" 267"-327" 373"-431"  
 490-557 620-694  
 490"-557" 620"-694"

Intra-H scFv C120 (VL)-C49 (VH)\* 571-642  
 571"-642"

Intra-L (C23-C104) 23"-88' 134"-194'  
 23"-88"" 134"-194""

Inter-H-L (CH1 10-CL 126) 226-214' 226"-214"

Inter-H-H (h 8, h 11) 232-232" 235-235"

\*engineered additional disulfide bond C120 (VL)-C49 (VH) to stabilize the scFv (variant scFv-v2).

N-glycosylation sites / Sites de N-glycosylation / Posiciones de N-glicosilación

H CH2 N84.4: 303, 303"

Fucosylated complex bi-antennary CHO-type glycans / glycanes de type CHO bi-antennaires complexes fucosylés / glicanos de tipo CHO biantenarios complejos fucosilados.

#### trastuzumab pamirtecanum #

trastuzumab pamirtecan

immunoglobulin G1-kappa, anti-[*Homo sapiens* ERBB2 (receptor tyrosine-protein kinase erbB-2, epidermal growth factor receptor 2, EGFR2, HER2, HER-2, p185c-erbB2, NEU, CD340)], humanized monoclonal antibody, conjugated on an average of eight cysteiny1 residues to *pamirtecan*, comprising a linker and a camptothecin derivative (*exatecan*);

H-gamma1 heavy chain humanized (1-449) [VH (*Homo sapiens* IGHV3-66\*01 (81.6%) -(IGHD) -IGHJ4\*01 (100%), CDR-IMGT [8.8.13] (26-33.51-58.97-109)) (1-120) -*Homo sapiens*

IGHG1\*03v, G1m3>G1m17, nG1m1 CH1 K120, CH3 E12, M14 (CH1 R120>K (217) (121-218), hinge 1-15 (219-233), CH2 (234-343), CH3 E12 (359), M14 (361) (344-448), CHS K2>del (449)) (121-449)], (223-214')-disulfide with L-kappa light chain humanized (1'-214') [V-KAPPA (*Homo sapiens* IGKV1-39\*01 (86.3%) -IGKJ1\*01 (100%), CDR-IMGT [6.3.9] (27'-32'.50'-52'.89'-97')) (1'-107') -*Homo sapiens* IGKC\*01 (100%) Km3 A45.1, V101 (C-KAPPA A45.1 (153'), V101 (191')) (108'-214')]; dimer (229-229":232-232")-bisdisulfide, produced in a cell line from Chinese hamster ovary (CHO) cells, derived from the cell line CHO-K1, glycoform alfa; substituted at the sulfur atoms of L-cysteinyl residues 223, 229, 232, 214', 223", 229", 232" and 214" with (3RS)-1-[(7S)-7-benzyl-1-[(1R,3R)-3-{{(1S,9S)-9-ethyl-5-fluoro-9-hydroxy-4-methyl-10,13-dioxo-2,3,9,10,13,15-hexahydro-1H,12H-benzo[de]pyrano[3',4':6,7]indolizino[1,2-b]quinolin-1-yl]carbamoyl}cyclobutyl]oxy}-3,6,9,12,15-pentaoxo-2,5,8,11,14-pentaaazaicosan-20-yl]-2,5-dioxopyrrolidin-3-yl (*pamirtecan*) groups *antineoplastic*

## trastuzumab pamirtécan

immunoglobuline G1-kappa, anti-[*Homo sapiens* ERBB2 (récepteur tyrosine-protéine kinase erbB-2, récepteur 2 du facteur de croissance épidermique, EGFR2, HER2, HER-2, p185c-erbB2, NEU, CD340)], anticorps monoclonal humanisé, anticorps monoclonal humanisé, conjugué par huit résidus cystéinyle en moyenne au *pamirtecan*, comprenant un linker et un dérivé de la camptothécine (*exatécan*); chaîne lourde H-gamma1 humanisé(1-449) [VH (*Homo sapiens*IGHV3-66\*01 (81.6%) -(IGHD) -IGHJ4\*01 (100%), CDR-IMGT [8.8.13] (26-33.51-58.97-109)) (1-120) -*Homo sapiens* IGHG1\*03v, G1m3>G1m17, nG1m1 CH1 K120, CH3 E12, M14 (CH1 R120>K (217) (121-218), charnière 1-15 (219-233), CH2 (234-343), CH3 E12 (359), M14 (361) (344-448), CHS K2>del (449)) (121-449)], (223-214')-disulfure avec la chaîne légère L-kappa humanisée (1'-214') [V-KAPPA (*Homo sapiens* IGKV1-39\*01 (86.3%) -IGKJ1\*01 (100%), CDR-IMGT [6.3.9] (27'-32'.50'-52'.89'-97')) (1'-107') -*Homo sapiens* IGKC\*01 (100%) Km3 A45.1, V101 (C-KAPPA A45.1 (153'), V101 (191')) (108'-214')]; dimère (229-229":232-232")-bisdisulfure, produit dans une lignée cellulaire des cellules ovariennes de hamster chinois (CHO), dérivant de la lignée cellulaire CHO-K1, glycoforme alfa;

substitué sur l'atome de soufre de résidus L-cystéinyle 223, 229, 232, 214', 223", 229", 232" et 214"" avec un groupement (3RS)-1-[(7S)-7-benzyl-1-{{(1R,3R)-3-[(1S,9S)-9-éthyl-5-fluoro-9-hydroxy-4-méthyl-10,13-dioxo-2,3,9,10,13,15-hexahydro-1H,12H-benzo[de]pyrano[3',4':6,7]indolizino[1,2-b]quinoléin-1-yl]carbamoyl}cyclobutyl]oxy}-3,6,9,12,15-pentaoxo-2,5,8,11,14-pentaazaicosan-20-yl]-2,5-dioxopyrrolidin-3-yle (*pamirtecán*)  
*antineoplastique*

trastuzumab pamirtecán

inmunoglobulina G1-kappa, anti-[*Homo sapiens* ERBB2 (receptor tirosina-proteína kinasa erbB-2, receptor 2 del factor de crecimiento epidérmico, EGFR2, HER2, HER-2, p185c-erbB2, NEU, CD340)], anticuerpo monoclonal humanizado, conjugado por ocho residuos cisteinilo por término medio con *pamirtecán*, que comprende un enlace y un derivado de la camptotecina (*exatecán*); cadena pesada H-gamma1 humanizada (1-449) [VH (*Homo sapiens*IGHV3-66\*01 (81.6%) - (IGHD) -IGHJ4\*01 (100%), CDR-IMGT [8.8.13] (26-33.51-58.97-109)) (1-120) -*Homo sapiens*IGHG1\*03v, G1m3>G1m17, nG1m1 CH1 K120, CH3 E12, M14 (CH1 R120>K (217) (121-218), bisagra 1-15 (219-233), CH2 (234-343), CH3 E12 (359), M14 (361) (344-448), CHS K2>del (449)) (121-449)], (223-214')-disulfuro con la cadena ligera L-kappa humanizada (1'-214') [V-KAPPA (*Homo sapiens*IGKV1-39\*01 (86.3%) -IGKJ1\*01 (100%), CDR-IMGT [6.3.9] (27'-32'.50'-52'.89'-97')) (1'-107') -*Homo sapiens*IGKC\*01 (100%) Km3 A45.1, V101 (C-KAPPA A45.1 (153'), V101 (191')) (108'-214')]; dímero (229-229":232-232")-bisdisulfuro, producido en una línea celular de las células ováricas de hámster chino (CHO), línea celular derivada de CHO-K1, forma glicosilada alfa; sustituido en el átomo de azufre de residuos L-cisteinilo 223, 229, 232, 214', 223", 229", 232" y 214"" con un grupo (3RS)-1-[(7S)-7-bencil-1-{{(1R,3R)-3-[(1S,9S)-9-étil-5-fluoro-9-hidroxi-4-metil-10,13-dioxo-2,3,9,10,13,15-hexahidro-1H,12H-benzo[de]pirano[3',4':6,7]indolizino[1,2-b]quinoléin-1-yl]carbamoyl}ciclobutyl]oxy}-3,6,9,12,15-pentaoxo-2,5,8,11,14-pentaazaicosan-20-yl]-2,5-dioxopirrolidin-3-ilo (*pamirtecán*)  
*antineoplásico*

**Heavy chain / Chaîne lourde / Cadena pesada**  
 EVQLVESGGG LVQPGGLRL SCAASGFNIK DTYIHWVRQA PGKGLEWVAR 50  
 IYPTNGYTRY ADSVKGRFTI SADTSKNTAY LQMNSLRAED TAVYYCSRWG 100  
 GDGFYAMDYW GQGTLVTVSS ASTKGPVFP LAPSSKSTSG GTAALGCLV 150  
 DYFFEPVTVS WNSGALTSGV HTFPAVLQSS GLYSLSSVVT VPSSLLGTQT 200  
 YICNVNHNKP NTKVDKKKVEP KSCDKTHTCP PCPAPELLGG PSVFLFPKPK 250  
 KDTLMISRTP EVTCCVVVDVS HEDPEVKFNW YVDGVEVHNA KTKEPREQQYN 300  
 STYRVSVSLT VLHQDWLNKG EYRKCVSNKA LPAPIEKTIS KAKGQPREPQ 350  
 VYTLPPSREE MTRNQVSLTC LVKGYPSPDI AVEWESENQOP ENNYKTTTPV 400  
 LDSDGSFFLY SKLTVDKSRW QQGNVFSCSV MHEALHNHYT QKSLSLSPG 449

**Light chain / Chaîne légère / Cadena ligera**  
 DIQMTQSPSS LSASVGRVRT ITCRASQDVN TAVAWYQOKP GKAPKLLIYS 50  
 ASFLYSGVPS RFSGSRSGTD FTTLTISSLQP EDFTATYYCQQ HYTTPTFGQ 100  
 GTKVEIKRTV AAPSVFIFPP SDEQLKSGTA SVVCLNNFY PREAKVQWKV 150  
 DNALQSGNSQ ESVTEQDSKD STYSLSSTLT LSKADYEKHK VYACEVTHQG 200  
 LSSPVTKSFN RGEC 214

#### Post-translational modifications

Disulfide bridges location / Position des ponts disulfure / Posiciones de los puentes disulfuro  
 Intra-H (C23-C104) 22-96 147-203 264-324 370-428  
 22"-96" 147"-203" 264"-324" 370"-428"

Intra-L (C23-C104) 23"-88" 134"-194"  
 23"-88" 134"-194"

Inter-H-L (h 5-CL 126)\* 223-214" 223"-214"

Inter-H-H (h 11, h 14)\* 229-229" 232-232"

\*The four inter-chain disulfide bridges are not present, an average of eight cysteinyl being conjugated each via a thioether bond to a drug linker.

\*Les quatre ponts disulfures inter-chaines ne sont pas présents, huit cystéinyl en moyenne étant chacun conjugué via une liaison thioéther à un linker-principe actif.

\*Los cuatro puentes disulfuro inter-catenarios no están presentes, una media de ocho cisteinil está conjugada a conectores de principio activo.

#### N-glycosylation sites / Sites de N-glycosylation / Posiciones de N-glicosilación

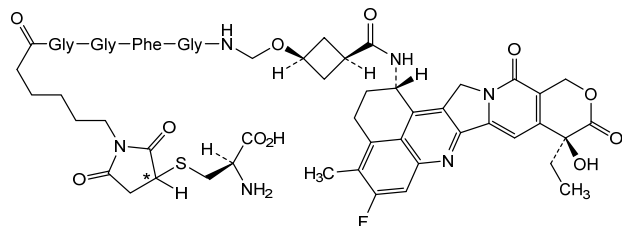
H CH2 N84.4: 300, 300"

Fucosylated complex bi-antennary CHO-type glycans / glycanes de tipo CHO bi-antennarios complejos fucosilados

#### Modified residues / Résidus modifiés / Restos modificados

C (223, 229, 232, 214", 223", 229", 232", 214")

(*pamirtecan:mAb* ~ 8.1)



#### trevotamig # trevotamig

immunoglobulin H-gamma1\_L-kappa-scFvhl dimer bisdisulfide, anti-[*Homo sapiens*] EPCAM (epithelial cell adhesion molecule, tumor-associated calcium signal transducer 1, TACSTD1, gastrointestinal tumor-associated protein 2, GA733-2, epithelial glycoprotein 2, EGP-2, KSA, KS1/4 antigen, M4S1, tumor antigen 17-1A, Ep-CAM, EpCAM, CD326]) and scFv anti-[*Homo sapiens*] CD3E (CD3 epsilon, Leu-4), humanized and chimeric monoclonal antibody, bispecific, tetravalent; H-gamma1 heavy chain anti-EPCAM humanized (1-447) [*VH (Homo sapiens)IGHV3-15\*07 (74.5%) -(IGHD) -IGHJ1\*01 (85.7%), CDR-IMGT [8.8.11] (26-33.51-58.97-107) (1-118)-Homo*

*sapiens* IGHG1\*01 G1m17,1 CH1 K120, CH3 D12, L14, G1v36 CH2 Q84.4 (CH1 K120 (215) (119-216), hinge 1-15 (217-231), CH2 N84.4>Q (298)(232-341), CH3 D12 (357), L14 (359) (342-446), CHS K2>del (447)) (119-447)]; (221-212')-disulfide with L-kappa light chain anti-EPCAM humanized fused to a scFv anti-CD3E chimeric (1'-419') [*L-KAPPA* anti-EPCAM humanized (1'-212') [*V-KAPPA* (*Homo sapiens* IGKV1-39\*01 (82.2%) -IGKJ1\*01 (100%), CDR-IMGT [5.3.8] (27'-31'.49'-51'.88'-95')) (1'-105') -*Homo sapiens* IGKC\*01 (100%) Km3 A45.1, V101 (C-KAPPA A45.1 (151'), V101 (189')) (106'-212')] -7-mer (seryl-arginyl-seryl-tetraglycyl) linker (213'-219') -scFvhl anti-CD3E chimeric (220'-419') [*VH* Musmus/Homsap (*Mus musculus*) IGHV10-1\*04 (92.0%) -IGHD -IGHJ3\*01 (92.3%) A128>S (344')/*Homo sapiens* IGHV3-72\*01 (85.0%) -IGKJ6\*01 (90.9%) T123>L (339'), CDR-IMGT [8.10.16] (245'-252'.270'-279'.318'-333')) (220'-344') -14-mer tetrakis(diglycyl-seryl)-diglycyl linker (345'-358') -*V-LAMBDA* Musmus/Homsap (*Mus musculus*) IGLV1\*01 (79.2%) -IGLJ1\*01 (100%)/*Homo sapiens* IGLV7-46\*01 (76.8%) -IGLJ3\*02 (100%), CDR-IMGT [9.3.9] (384'-392'.410'-412'.449'-457')) (359'-469')]]; dimer (227-227":230-230")-bisdisulfide, produced in Chinese hamster ovary (CHO) cells, derived from the cell line CHO-K1, lacking the glutamine synthetase (GS-KO) gene, non-glycosylated  
antineoplastic

trévoltamig

immunoglobuline H-gamma1\_L-kappa-scFvhl dimère bisdisulfure, anti-[*Homo sapiens* EPCAM (molécule d'adhésion des cellules épithéliales, transducteur 1 du signal calcium associé aux tumeurs, TACSTD1, protéine 2 associée aux tumeurs gastrointestinales, GA733-2, glycoprotéine épithéliale 2, EGP-2, KSA, antigène KS1/4, M4S1, antigène tumoral 17-1A, Ep-CAM, EpCAM, CD326) et scFv anti-[*Homo sapiens* CD3E (CD3 epsilon, Leu-4)], anticorps monoclonal humanisé et chimérique, bispécifique, tétravalent; chaîne lourde H-gamma1 anti-EPCAM humanisée (1-447) [*VH* (*Homo sapiens* IGHV3-15\*07 (74.5%) - (IGHD) -IGHJ1\*01 (85.7%), CDR-IMGT [8.8.11] (26-33.51-58.97-107)) (1-118')-*Homo sapiens* IGHG1\*01 G1m17,1 CH1 K120, CH3 D12, L14, G1v36 CH2 Q84.4 (CH1 K120 (215) (119-216), charnière 1-15 (217-231), CH2 N84.4>Q (298) (232-341), CH3 D12 (357), L14 (359) (342-446), CHS K2>del (447)) (119-447)]; (221-212')-disulfure avec la chaîne légère L-kappa anti-EPCAM humanisée fusionnée à un scFv anti-CD3E chimérique (1'-419') [*L-KAPPA* anti-EPCAM humanisé (1'-212') [*V-KAPPA* (*Homo sapiens* IGKV1-39\*01 (82.2%) -IGKJ1\*01 (100%), CDR-IMGT [5.3.8] (27'-31'.49'-51'.88'-95')) (1'-105') -*Homo sapiens*

IGKC\*01 (100%) Km3 A45.1, V101 (C-KAPPA A45.1 (151'), V101 (189')) (106'-212')] -7-mer (séryl-arginyl-séryl-tétraglycyl linker (213'-219') -scFvhl anti-CD3E chimérique (220'-419') [VH Musmus/Homsap (*Mus musculus*) IGHV10-1\*04 (92.0%) -IGHD -IGHJ3\*01 (92.3%) A128>S (344')/*Homo sapiens* IGHV3-72\*01 (85.0%) -IGKJ6\*01 (90.9%) T123>L (339'), CDR-IMGT [8.10.16] (245'-252'.270'-279'.318'-333')] (220'-344') -14-mer tétrakis(diglycyl-séryl)-diglycyl linker (345'-358') -V-LAMBDA Musmus/Homsap (*Mus musculus*)  
IGLV1\*01 (79.2%) -IGLJ1\*01 (100%)/*Homo sapiens*  
IGLV7-46\*01 (76.8%) -IGLJ3\*02 (100%), CDR-IMGT [9.3.9] (384'-392'.410'-412'.449'-457')] (359'-469']); dimère (227-227":230-230")-bisdisulfuro, produit dans des cellules ovariennes de hamster chinois (CHO), dérivant de la lignée cellulaire CHO-K1, ne présentant pas le gène de la glutamine synthétase (GS-KO), non-glycosylé  
**antineoplasique**

trevotamig

inmunoglobulina H-gamma1\_L-kappa-scFvhl dímero bisdisulfuro, anti-[*Homo sapiens* EPCAM (molécula de adhesión de las células epiteliales, transductor 1 de señal calcio asociada a los tumores, TACSTD1, proteína 2 asociada a los tumores gastrointestinales, GA733-2, glicoproteína epitelial 2, EGP-2, KSA, antígeno KS1/4, M4S1, antígeno tumoral 17-1A, Ep-CAM, EpCAM, CD326) y scFv anti-[*Homo sapiens* CD3E (CD3 épsilon, Leu-4)], anticuerpo monoclonal humanizado y quimérico, biespecífico, tetravalente; cadena pesada H-gamma1 anti-EPCAM humanizada (1-447) [VH (*Homo sapiens* IGHV3-15\*07 (74.5%) - (IGHD) -IGHJ1\*01 (85.7%), CDR-IMGT [8.8.11] (26-33.51-58.97-107)) (1-118)/*Homo sapiens* IGHG1\*01 G1m17.1 CH1 K120, CH3 D12, L14, G1v36 CH2 Q84.4 (CH1 K120 (215) (119-216), bisagra 1-15 (217-231), CH2 N84.4>Q (298) (232-341), CH3 D12 (357), L14 (359) (342-446), CHS K2>del (447)) (119-447)]; (221-212")-disulfuro con la cadena ligera L-kappa anti-EPCAM humanizada fusionada a un scFv anti-CD3E quimérico (1'-419') [L-KAPPA anti-EPCAM humanizada (1'-212')] [V-KAPPA (*Homo sapiens* IGKV1-39\*01 (82.2%)-IGKJ1\*01 (100%), CDR-IMGT [5.3.8] (27'-31'.49'-51'.88'-95')) (1'-105') -*Homo sapiens* IGKC\*01 (100%) Km3 A45.1, V101 (C-KAPPA A45.1 (151'), V101 (189')) (106'-212')] -7-mer (seril-arginil-seril-tetraglicil linker (213'-219') -scFvhl anti-CD3E quimérico (220'-419') [VH Musmus/Homsap (*Mus musculus*) IGHV10-1\*04 (92.0%) -IGHD -IGHJ3\*01 (92.3%) A128>S (344')/*Homo sapiens* IGHV3-72\*01 (85.0%) -IGKJ6\*01 (90.9%) T123>L (339'), CDR-IMGT [8.10.16] (245'-252'.270'-279'.318'-333')] (220'-344') -14-mer tétrakis(diglicil-seril)-diglicil linker (345'-358') -V-LAMBDA Musmus/Homsap (*Mus musculus*)  
IGLV1\*01 (79.2%) -IGLJ1\*01 (100%)/*Homo sapiens*  
IGLV7-46\*01 (76.8%) -IGLJ3\*02 (100%), CDR-IMGT [9.3.9] (384'-392'.410'-412'.449'-457')] (359'-469']); dímero (227-227":230-230")-bisdisulfuro, producido en las células ováricas de hámster chino (CHO), línea celular derivada de CHO-K1, en ausencia del gen glutamina sintetasa (GS-KO), no glicosilado  
**antineoplásico**

2920215-79-6

Heavy chain / Chaîne lourde / Cadena pesada : H-gamma1 anti-EPCAM (H, H")  
 EVQLVESGGG LVQPFGSLRL SCAASGYTFT SYWMHWIRQS PSRGLEWLGY 50  
 IRPSTGYTEY NQKFKDRFTI SRDDSKNTAY LQMNLSKTED TAVYYCGRGD 100  
 NWVGFKNWQQ GTLVTVSSAS TKGPSVFPLA PSSKSTSTSGGT AALGCLVKDY 150  
 FPEPVTWSWN SGALTSGVHT FFAVLQSSGL YSSLSSVTVP SSSLGTQTYI 200  
 CNVNHKPSNT KVDKKVEPKS CDKTHTCPPC PAPELGGPS VFLLPPKPKD 250  
 TLMISRTPEV TCVVVDSVSH DEPEVKENWVY DGVEVHNNAKT KPREEQYQST 300  
 YRVVSVLTVL HQDWLNGKEY KCKVNSKALP APIEKTISKA KGQFREPQVY 350  
 TLPFSRDELT KNQVSLTCLV KGFYPSDIAV EWESNGOPEN NYKTTTPVSLR 400  
 SDGSFFLYSK LTVDKSRWQQ GNVFSCSMVMH EALHNHYTQK SLSLSPG 447

Light chain / Chaîne légère / Cadena ligera: L-kappa anti-EPCAM -scFvH anti-CD3E (L', L")  
 DIQMTQSPSS LSASVGDRVT ITCSASSIS YMHWYQQKPG QAPRLLIYST 50  
 SNLASFVGPSR FSGSGSGTDF TPTTISLEAE DAATYCHQW STYHTFCQGT 100  
 KVEIKRTVAA PSVPIFPBSD EQLKSGTAVS VCLLNNFYPR EAKVQWKVDN 150  
 ALQSGNSQES VTEQDSKDST YSLSSTLTLS KADYEKHKVY ACEVTHQGLS 200  
 SPVTKSFNRG ECSSRSGGGE VQLVESGGGL VQPGGSLRLS CAASGFTFFNT 250  
 YAMNWVRQAP KGKLEWVARI RSKYNNYATY YADSVKDRFT ISRDDSKNSL 300  
 YLQMNSLKTET DTAVYYCVRH SNFGNSKVSW FAYWGQTLV TVSSGGSGGS 350  
 GGSGGGSGGQA VVTQEPESLTV SPEGTVTLTC RSSAGAVITS NYDNWVQQKP 400  
 GQAFRGLIGG TNKRAPWTFA RFSGSLLGGK AALTITGAQA EDEADYCAL 450  
 WYSNLWVFGG GTKLTVLRS 469

#### Post-translational modifications

Disulfide bridges location / Position des ponts disulfure / Posiciones de los puentes disulfuro

Intra-H (C23-C104) 22-96 145-201 262-322 368-426

22"-96" 145"-201" 262"-322" 368"-426"

Intra-L (C23-C104) 23-87' 132"-192' 241"-317" 380"-448'

23"-87" 132"-192" 241"-317" 380"-448"

Inter-H-L (h 5-CL 126) 221-212' 221"-212"

Inter-H-H (h 11, h 14) 227-227" 230-230"

No N-glycosylation sites / pas de sites de N-glycosylation / ningún posición de N-glicosilación  
 H CH2 N84.4>Q (G1v36): 298, 298"

### turenkibartum #

turenkibart

immunoglobulin G1-kappa, anti-[*Homo sapiens*] IL17A  
 (Interleukin 17A, IL-17), humanized monoclonal antibody;  
 H-gamma1 heavy chain humanized (1-448) [VH (*Homo sapiens*  
 IGHV1-69-2\*01 (86.5%) -(IGHD) -IGHJ4\*01 (100%), CDR-IMGT  
 [8.8.11] (26-33.51-58.97-107)) (1-118) -*Homo sapiens*  
 IGHG1\*01, G1m17.1 CH1 K120, CH3 D12, L14, G1v78 CH3  
 L107, A114 (CH1 K120 (215) (119-216), hinge 1-15 (217-231),  
 CH2 (232-341), CH3 D12 (357), L14 (359), M107>L (429),  
 N114>A (435) (342-446), CHS (447-448)) (119-448)], (221-220')-  
 disulfide with L-kappa light chain humanized (1'-220') [V-KAPPA  
 (*Homo sapiens* IGKV4-1\*01 (90.1%) -IGKJ3\*01 (100%), CDR-  
 IMGT [12.3.9] (27-38'.56'-58'.95'-103')) (1'-113') -*Homo sapiens*  
 IGKC\*01 (100%) Km3 A45.1, V101 (C-KAPPA A45.1 (159'),  
 V101 (197')) (114'-220')]; dimer (227-227":230-230")-bisdisulfide,  
 produced in Chinese hamster ovary (CHO) cells, glycoform alfa  
*interleukin-17A* (IL-17A) inhibitor, anti-inflammatory

turenkibart

immunoglobuline G1-kappa, anti-[*Homo sapiens*] IL17A  
 (interleukine 17A, IL-17)]; anticorps monoclonal humanisé;  
 chaîne lourde H-gamma1 humanisée (1-448) [VH (*Homo  
 sapiens* IGHV1-69-2\*01 (86.5%) -(IGHD) -IGHJ4\*01 (100%),  
 CDR-IMGT [8.8.11] (26-33.51-58.97-107)) (1-118) -*Homo  
 sapiens* IGHG1\*01, G1m17.1 CH1 K120, CH3 D12, L14, G1v78  
 CH3 L107, A114 (CH1 K120 (215) (119-216), charnière 1-15  
 (217-231), CH2 (232-341), CH3 D12 (357), L14 (359), M107>L  
 (429), N114>A (435) (342-446), CHS (447-448)) (119-448)],  
 (221-220')-disulfure avec la chaîne légère L-kappa humanisée

(1'-220') [V-KAPPA (*Homo sapiens* IGKV4-1\*01 (90.1%) -IGKJ3\*01 (100%), CDR-IMGT [12.3.9] (27'-38'.56'-58'.95'-103')) (1'-113') -*Homo sapiens* IGKC\*01 (100%) Km3 A45.1, V101 (C-KAPPA A45.1 (159'), V101 (197')) (114'-220')]; dimère (227-227":230-230")-bisdisulfure, produit dans des cellules ovariennes de hamster chinois (CHO), glycoforme alfa  
*inhibiteur de l'interleukine-17A (IL-17A), anti-inflammatoire*

turenkibart immunoglobulina G1-kappa, anti-[*Homo sapiens* IL17A (interleukina 17A, IL-17)]; anticuerpo monoclonal humanizado; cadena pesada H-gamma1 humanizada (1-448) [VH (*Homo sapiens*IGHV1-69-2\*01 (86.5%) -(IGHD)-IGHJ4\*01 (100%), CDR-IMGT [8.8.11] (26-33.51-58.97-107')) (1-118) -*Homo sapiens*IGHG1\*01, G1m17.1 CH1 K120, CH3 D12, L14, G1v78 CH3 L107, A114 (CH1 K120 (215) (119-216), bisagra 1-15 (217-231), CH2 (232-341), CH3 D12 (357), L14 (359), M107>L (429), N114>A (435) (342-446), CHS (447-448)) (119-448)], (221-220')-disulfuro con la cadena ligera L-kappa humanizada (1'-220') [V-KAPPA (*Homo sapiens* IGKV4-1\*01 (90.1%) -IGKJ3\*01 (100%), CDR-IMGT [12.3.9] (27'-38'.56'-58'.95'-103')) (1'-113') -*Homo sapiens* IGKC\*01 (100%) Km3 A45.1, V101 (C-KAPPA A45.1 (159'), V101 (197')) (114'-220')]; dímero (227-227":230-230")-bisdisulfuro, producido en las células ováricas de hámster chino (CHO), forma glicosilada alfa  
*inhibidor de la interleuquina-17A (IL-17A), antiinflamatorio*

2761187-73-7

## Heavy chain / Chaîne lourde / Cadena pesada

```

EVQLVQSGAE VKPKGATVKI SCKASGYTFT DYEMHWVQQA PGHGLEWMGV 50
IHPGGGTAY NQKFKGRVTI TADTSTDATY MELSSLRSED TAVYYCTRGD 100
HDGRTDYWGQ GTLVTVSSAS TKGPSVFPLA PSSKSTSGGT AALGCLVKDY 150
FPEPVTVSWN SGALTSGVHT FPAVLQSSGL YSLSSVVTVP SSSLGTQTYI 200
CNVNHKPSNT KVDKKVEPKS CDKTHTCPG PAPELLGGPS VFLFPKPKD 250
TLMISRTEPV TCVVVVDVSHE DPEVKFNWYV DGVEVHNAKT KPREEQYNST 300
YRVVSVLTVAL HQDWLNGKEY KCKVSNKALP APIEKTISKA KGQPREPQVY 350
TLPPSRDELT KNQVSLTCLV KGFYPSDIAV EWESNGQOPEN NYKTPPVLD 400
SDGSFFLYSK LTVDKSRWQQ GNVFSCSVLH EALHAHYTQK SLSLSPGK 448

```

## Light chain / Chaîne légère / Cadena ligera

```

DIVMTQSPDS LAVSLGERAT INCKSSQSL NRSNQKNYLA WYQQKPGQPP 50
KLIVDFASTR ESGVPDRFSG SSGGTDFTLT ISSLQAEDVA VYFCQOHYTT 100
PFTFGPGTKV DIKRTVAAPS VFIFPPSDEQ LKSGTASVVC LLNNFYPREA 150
KVQWKVDNAL QSGNSQESVT EQDSKDVDTS LSSTLTLSKA DYEKHKVYAC 200
EVTHQGLSSP VTKSFRNRGEC 220

```

## Post-translational modifications

Disulfide bridges location / Position des ponts disulfure / Posiciones de los puentes disulfuro

Intra-H (C23-C104) 22-96 145-201 262-322 368-426

22"-96" 145"-201" 262"-322" 368"-426"

Intra-L (C23-C104) 23"-94" 140"-200"  
23""-94"" 140""-200""

Inter-H-L (h 5-CL 126) 221-220' 221"-220"

Inter-H-H (h 11, h 14) 227-227" 230-230"

N-glycosylation sites / Sites de N-glycosylation / Posiciones de N-glicosilación  
H CH2 N84.4: 298, 298"

Fucosylated complex bi-antennary CHO-type glycans / glycanes de type CHO bi-antennaires complexes fucosylés / glicanos de tipo CHO biantenarios complejos fucosilados

C-terminal lysine clipping / Coupure de la lysine C-terminale / Recorte de lisina C-terminal  
H CHS K2: 448, 448"

**ulacamtenum**  
ulacamen

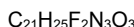
5-[(3,4-difluorophenyl)methyl]-8-[(1*r*,4*r*)-4-methylcyclohexyl]-6,9-dioxo-2,5,8-triazaspiro[3.5]nonane-2-carbaldehyde  
*cardiac myosin inhibitor*

## ulacamtène

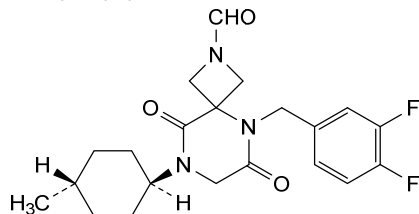
5-[(3,4-difluorophényl)méthyl]-8-[(1*r*,4*r*)-4-méthylcyclohexyl]-6,9-dioxo-2,5,8-triazaspiro[3.5]nonane-2-carbaldéhyde  
*inhibiteur de myosine cardiaque*

## ulacamténe

5-[(3,4-difluorofenil)metil]-8-[(1*r*,4*r*)-4-metilciclohexil]-6,9-dioxo-2,5,8-triazaespiro[3.5]nonano-2-carbaldehido  
*inhibidor de la miosina cardíaca*



2830607-59-3

**utigamglogenum autogedtemcelum #**

utigamglogene autogedtemcel

autologous CD34+ hematopoietic stem and progenitor cells (HSPCs) derived from apheresis peripheral blood collection of transfusion dependent β-thalassemia patients, genetically modified at the +58 erythroid specific enhancer region of the *BCL11A* gene by CRISPR/Cas9 (Clustered Regularly Interspaced Short Palindromic Repeats/CRISPR-associated protein 9) gene editing. The *Streptococcus pyogenes* Cas9 protein (spCas9) and gRNA are electroporated into the cells as a ribonucleoprotein (RNP) complex. The spCas9 sequence is appended on the N-terminus to include a Myc-like nuclear localisation signal (NLS) and appended on the C terminus to include NLS sequences derived from simian virus 40 (SV40) and nucleoplasmid.

The cell suspension was enriched in CD34+ cells using immunomagnetic microbeads, gene-edited and then cultured in the presence of media containing FMS-like tyrosine kinase 3 ligand (Flt-3L), thrombopoietin (TPO) and stem cell factor (SCF). The final substance contains ≥70% CD34+ cells *cell-based gene therapy (hemoglobinopathy)*

utigamglogène autogedtemcel

cellules souches et progénitrices hématopoïétiques CD34+ autologues (HSPC) dérivées d'un prélèvement de sang périphérique, par aphérèse, chez des patients atteints de β-thalassémie dépendants de transfusions, modifiées génétiquement au niveau du site +58 de l'amplificateur spécifique aux érythroïdes du gène *BCL11* par édition génique à l'aide de CRISPR/Cas9 (répétitions palindromiques courtes régulièrement

espacées/protéine associée à CRISPR 9). La protéine Cas9 et l'ARN guide (ARNg) de *Streptococcus pyogenes* (spCas9) sont introduits dans les cellules par électroporation sous forme d'un complexe ribonucléoprotéique (RNP). La séquence spCas9 comporte un signal de localisation nucléaire (NLS) de type Myc en position N-terminale et des séquences NLS dérivées du virus simien 40 (SV40) et de la nucléoplasmine en position C-terminale. La suspension cellulaire a été enrichie en cellules CD34+ à l'aide de microbilles immunomagnétiques, modifiées génétiquement, puis cultivées en présence d'un milieu contenant un ligand de tyrosine kinase 3 de type FMS (Flt-3L), la thrombopoïétine, et le facteur de croissance des cellules souches (FCS). Le produit final contient ≥70% de cellules CD34+ *thérapie génique à base de cellules (hémoglobinopathie)*

utigamglogén autogedtemcel

células madre y progenitoras hematopoyéticas (HSPC) CD34+ autólogas, derivadas de aféresis de sangre periférica obtenidas de pacientes con β-talasemia dependiente de transfusión, modificadas genéticamente en el sitio +58 de la región potenciadora específica de eritrocitos del gen *BCL11A* mediante edición génica con CRISPR/Cas9 (repeticiones palindrómicas agrupadas y espaciadas regularmente/proteína asociada a CRISPR 9). La proteína Cas9 de *Streptococcus pyogenes* (spCas9) y el ARN guía (ARNg) se electroporan en las células como complejos ribonucleoproteicos (RNP). La secuencia de spCas9 lleva anexada en la posición N-terminal una señal de localización nuclear (NLS) similar a Myc y en la posición C-terminal secuencias NLS derivadas del virus de simio 40 (SV40) y nucleoplasmina. La suspensión celular se enriqueció en células CD34+ usando microbolas inmunomagnéticas, se editaron genéticamente y después se cultivaron en presencia de medio que contiene ligando de tirosina quinasa 3 similar a FMS (Flt-3L), trombopoietina (TPO) y factor de células madre (SCF). La substancia contiene ≥70% de células CD34+ *terapia génica basada en células (hemoglobinopatía)*

**velinotamigum #**  
velinotamig

immunoglobulin H-gamma1\_L-kappa/H-gamma1\_L-kappa, anti-[*Homo sapiens* CD3E (CD3 epsilon, Leu-4)] and anti-[*Homo sapiens* TNFRSF17 (tumor necrosis factor (TNF) receptor superfamily member 17, B cell maturation antigen, BCMA, TNFRSF13A, CD269)], *Homo sapiens* monoclonal antibody, bispecific; H-gamma1 heavy chain anti-CD3E *Homo sapiens* (1-445) [VH (*Homo sapiens*IGHV3-33\*01 (94.9%) -(IGHD) - IGHJ2\*01 (88.2%), CDR-IMGT [8.8.11] (26-33.51-58.97-107)) (1-118) -*Homo sapiens*IGHG1\*03 G1m3, nG1m1 CH1 R120, CH3 E12, M14, G1v39 CH2 F1.3, E1.2, S116, G1v74 CH3 C10, G1v32 CH3 W22 (knob) (CH1 R120 (215) (119-

-216), hinge 1-12 P2>R (218), DKTHT 6-10 > VE (222, 223) (217-228), CH2 L1.3>F (232), L1.2>E (233), P116>S (329) (229-338), CH3 S10>C (352), E12 (354), M14 (356), T22>W (364) (339-443), CHS (444-445)) (119-445)], (221-214')-disulfide with common L-kappa light chain *Homo sapiens* (1'-214') [V-KAPPA (*Homo sapiens* IGKV1-39\*01 (90.5%) -IGKJ1\*01 (100%), CDR-IMGT [6.3.9] (27'-32'.50'-52'.89'-97')) (1'-107') -*Homo sapiens* IGKC\*01 (100%) Km3 A45.1, V101 (C-KAPPA A45.1 (153'), V101 (191')) (108'-214')]; H-gamma1 heavy chain anti-TNFRSF17 *Homo sapiens* (1"-448") [VH (*Homo sapiens* IGHV1-3\*01 (81.6%) - (IGHD) -IGHJ4\*01 (85.7%) L123>T (116"), CDR-IMGT [8.8.14] (26"-33".51"-58".97"-110")) (1"-121") -*Homo sapiens* IGHG1\*03 noG1m3, nG1m1 CH1 T120, CH3 E12, M14, G1v39 CH2 F1.3, E1.2, S116, G1v75 CH3 C5, G1v33 CH3 S22, A24, V86 (hole) (CH1 G16>E (141"), N107>D (207"), R120>T (218") (122"-219"), hinge 1-12 P2>R (221"), DKTHT 6-10 > VE (225", 226") (220"-231"), CH2 L1.3>F (235"), L1.2>E (236"), H30>Q (269"), K38>Q (275"), P116>S (332") (232"-341"), CH3 Y5>C (350"), R11>Q (356"), E12 (357"), M14 (359"), T22>S (367"), L24>A (369"), Y86>V (408"), Q98>E (420") (342"-446"), CHS (447"-448")) (122"-448")], (224"-214")-disulfide with common L-kappa light chain *Homo sapiens* (1"-214") [V-KAPPA (*Homo sapiens* IGKV1-39\*01 (90.5%) -IGKJ1\*01 (100%), CDR-IMGT [6.3.9] (27"-32".50"-52".89"-97")) (1"-107") -*Homo sapiens* IGKC\*01 (100%) Km3 A45.1, V101 (C-KAPPA A45.1 (153"), V101 (191")) (108"-214")]; dimer (224-227":227-230":352-350")-trisdisulfide, produced in Chinese hamster ovary (CHO) cells, glycoform alfa immunostimulant, antineoplastic

vélinotamig

immunoglobuline H-gamma1\_L-kappa/H-gamma1\_L-kappa, anti-[*Homo sapiens* CD3E (CD3 epsilon, Leu-4)] et anti-[*Homo sapiens* TNFRSF17 (membre 17 de la superfamille des récepteurs du facteur de nécrose tumorale (TNF), antigène de maturation de cellule B, BCMA, TNFRSF13A, CD269)], anticorps monoclonal *Homo sapiens*, bispécifique; chaîne lourde H-gamma1 anti-CD3E *Homo sapiens* (1-445) [VH (*Homo sapiens* IGHV3-33\*01 (94.9%) -(IGHD) -IGHJ\*01 (88.2%), CDR-IMGT [8.8.11] (26-33.51-58.97-107)) (1-118) -*Homo sapiens* IGHG1\*03 G1m3, nG1m1 CH1 R120, CH3 E12, M14, G1v39 CH2 F1.3, E1.2, S116, G1v74 CH3 C10, G1v32 CH3 W22 (knob) (CH1 R120 (215) (119-216), charnière 1-12 P2>R (218), DKTHT 6-10 > VE (222, 223) (217-228), CH2 L1.3>F (232), L1.2>E (233), P116>S (329) (229-338), CH3 S10>C (352), E12 (354), M14 (356), T22>W (364) (339-443), CHS (444-445)) (119-445)], (221-214')-disulfure avec la chaîne légère L-kappa *Homo sapiens* commune (1'-214') [V-KAPPA (*Homo sapiens* IGKV1-39\*01 (90.5%) -IGKJ1\*01 (100%), CDR-IMGT [6.3.9] (27'-32'.50'-52'.89'-97')) (1'-107') -*Homo sapiens* IGKC\*01 (100%) Km3 A45.1, V101 (C-KAPPA A45.1 (153'), V101 (191')) (108'-214')];

	<p>chaîne lourde H-gamma1 anti-TNFRSF17 <i>Homo sapiens</i> (1"-448") [VH (<i>Homo sapiens</i> IGHV1-3*01 (81.6%) -(IGHD) -IGHJ4*01 (85.7%) L123&gt;T (116"), CDR-IMGT [8.8.14] (26"-33".51"-58".97"-110")) (1"-121") -<i>Homo sapiens</i> IGHG1*03 noG1m3, nG1m1 CH1 T120, CH3 E12, M14, G1v39 CH2 F1.3, E1.2, S116, G1v75 CH3 C5, G1v33 CH3 S22, A24, V86 (hole) (CH1 G16&gt;E (141"), N107&gt;D (207"), R120&gt;T (218") (122"-219"), charnière 1-12 P2&gt;R (221"), DKTHT 6-10 &gt; VE (225", 226") (220"-231"), CH2 L1.3&gt;F (235"), L1.2&gt;E (236"), H30&gt;Q (269"), K38&gt;Q (275"), P116&gt;S (332") (232"-341"), CH3 Y5&gt;C (350"), R11&gt;Q (356"), E12 (357"), M14 (359"), T22&gt;S (367"), L24&gt;A (369"), Y86&gt;V (408"), Q98&gt;E (420") (342"-446"), CHS (447"-448")) (122"-448")], (224"-214")-disulfure avec la chaîne légère L-kappa <i>Homo sapiens</i> commune (1"-214") [V-KAPPA (<i>Homo sapiens</i> IGKV1-39*01 (90.5%) -IGKJ1*01 (100%), CDR-IMGT [6.3.9] (27"-32".50"-52".89"-97")) (1"-107") -<i>Homo sapiens</i> IGKC*01 (100%) Km3 A45.1, V101 (C-KAPPA A45.1 (153"), V101 (191")) (108"-214")]; dimère (224-227":227-230":352-350")-trisdisulfure, produit dans des cellules ovariennes de hamster chinois (CHO), glycoforme alfa immunostimulant, antinéoplasique</p>
velinotamig	<p>inmunoglobulina H-gamma1_L-kappa/H-gamma1_L-kappa, anti-[<i>Homo sapiens</i> CD3E (CD3 épsilon, Leu-4)] y anti-[<i>Homo sapiens</i> TNFRSF17 (miembro 17 de la super familia de los receptores del fator de necrosis tumoral (TNF), antígeno de maduración de células B, BCMA, TNFRSF13A, CD269)], anticuerpo monoclonal <i>Homo sapiens</i>, biespecífico; cadena pesada H-gamma1 anti-CD3E <i>Homo sapiens</i> (1-445) [VH (<i>Homo sapiens</i> IGHV3-33*01 (94.9%) -(IGHD) -IGHJ2*01 (88.2%), CDR-IMGT [8.8.11] (26-33.51-58.97-107)) (1-118) -<i>Homo sapiens</i> IGHG1*03 G1m3, nG1m1 CH1 R120, CH3 E12, M14, G1v39 CH2 F1.3, E1.2, S116, G1v74 CH3 C10, G1v32 CH3 W22 (knob) (CH1 R120 (215) (119-216), bisagra 1-12 P2&gt;R (218), DKTHT 6-10 &gt; VE (222, 223) (217-228), CH2 L1.3&gt;F (232), L1.2&gt;E (233), P116&gt;S (329) (229-338), CH3 S10&gt;C (352), E12 (354), M14 (356), T22&gt;W (364) (339-443), CHS (444-445)) (119-445)], (221-214")-disulfuro con la cadena ligera L-kappa <i>Homo sapiens</i> común (1'-214') [V-KAPPA (<i>Homo sapiens</i> IGKV1-39*01 (90.5%) -IGKJ1*01 (100%), CDR-IMGT [6.3.9] (27"-32'.50"-52'.89"-97')) (1'-107') -<i>Homo sapiens</i> IGKC*01 (100%) Km3 A45.1, V101 (C-KAPPA A45.1 (153'), V101 (191')) (108'-214')]; cadena pesada H-gamma1 anti-TNFRSF17 <i>Homo sapiens</i> (1"-448") [VH (<i>Homo sapiens</i> IGHV1-3*01 (81.6%) -(IGHD) -IGHJ4*01 (85.7%) L123&gt;T (116"), CDR-IMGT [8.8.14] (26"-33".51"-58".97"-110")) (1"-121") -<i>Homo sapiens</i> IGHG1 *03 noG1m3, nG1m1 CH1 T120, CH3 E12, M14, G1v39 CH2 F1.3, E1.2, S116, G1v75 CH3 C5, G1v33 CH3 S22, A24, V86 (hole) (CH1 G16&gt;E (141"), N107&gt;D (207"), R120&gt;T (218") (122"-219"), bisagra 1-12 P2&gt;R (221"), DKTHT 6-10 &gt; VE (225", 226") (220"-231"), CH2 L1.3&gt;F (235"), L1.2&gt;E (236"), H30&gt;Q (269"), K38&gt;Q (275"), P116&gt;S (332") (232"-341"), CH3 Y5&gt;C (350"), R11&gt;Q (356"), E12 (357"), M14 (359"), T22&gt;S (367"), L24&gt;A (369"), Y86&gt;V (408"), Q98&gt;E (420") (342"-446"), CHS (447"-448")) (122"-448")], (224"-214")-disulfuro con la cadena ligera L-kappa <i>Homo sapiens</i> común (1"-214") [V-KAPPA (<i>Homo sapiens</i> IGKV1-39*01 (90.5%) -IGKJ1*01 (100%), CDR-IMGT [6.3.9] (27"-32".50"-52".89"-97")) (1"-107") -<i>Homo sapiens</i> IGKC*01 (100%) Km3 A45.1, V101 (C-KAPPA A45.1 (153"), V101 (191")) (108"-214")]; dímero (224-227":227-230":352-350")-trisdisulfuro, producido en las células ováricas de hámster chino (CHO), forma glicosilada alfa inmunoestimulante, antineoplásico</p>

2848586-49-0

Heavy chain / Chaîne lourde / Cadena pesada: H-gamma1 anti-CD3E (knob) (H)  
 QVQLVESGGG VVQPGRSLRL SCAASGFKFS GYGMHHWRQPA PGKGLEWVAV 50  
 IWFDGSRKYY VDSVKGRFTI SRDNNSKNTLY LQMNSLRAED TAVYYCARQM 100  
 GYWHTFGLWGR GTLTVTSSAS TKGPSVFPLA PSSKSTSGGT AALCLVVKDY 150  
 FPEPVTVWSN SGALTSGVHT FPAVLQSSGL YSSLSSVVTVP SSSLGTQTYI 200  
 CNVNHKPSNT KVDKVRERKS CVECPCCPAP EFEFGPSVFEL FPPPKDTLM 250  
 ISRTPEVTCV VVDVSHEDPE VKFNWVYDVG EVHNNAKTKPR EEQNQNSTYRV 300  
 VSVLTVLHQD WLNGKEYKCK VSNKALPASI EKTISKAKGQ PREPQVYTL 350  
 PCREEMTRKQ VSLWLCLVKGF YPSDIAVEWE SNQGPENNYK TTPPVLDSDG 400  
 SFFLYSKLTV DKSRRWQQGNV FSCSVMHEAL HNHYTQKSLS LSPK 445

Heavy chain / Chaîne lourde / Cadena pesada: H-gamma1 anti-TNFRSF17 (hole) (H')  
 QVQLVQSGAE VKPPGSSVKV SCKASGYTFT NYWMHHWRQPA PGQCLEWMGA 50  
 TYRGHSDTYY NQKFKGRVTI TADKSTSTAY MELSSLRSED TAVYYCTRGA 100  
 VYAGYDVLDY WQGGTTVTVS SASTKGPSVF PLAPSSKSTS EGTAALGCLV 150  
 KDYFPEPVTV SWNSGALTSG VHHTFPAVLQS SGLYSLSSVW TVPSSSLGTQ 200  
 TYICNVHD SNTKVDKTKTE RKSCVECPCCP PAPEFEGEGPS VFLEPPKPKD 250  
 TLMISRTEPV TCVVVVDVSE DPEVQFNWVY DGVEVHNAAKT KPREEQYNST 300  
 YRVVSVLTVL HQDWLNGKEY KCKVSNKALP ASIEKTISKA KGQPREPVQC 350  
 TLPPSQEEMT KNQVSLSCAV KGFFYPSDIAV EWESNGOPEN NYKTTPPVLD 400  
 SDGSFFLVSK LTVDKSRWQE GNVFSCSVMH EALHNHYTQK SLSLSPGK 448

Light chain / Chaîne légère / Cadena ligera: L-kappa common (L', L'')  
 DIQMTQSPSS LSASVGDRVT ITCRASQSIIS NYLTWYQKQP GKAPKLLIYE 50  
 ASSRPSPGVPS RFSGGSSGTD FTILTISLQP EDFATYYCQQ WSRLPVTFQG 100  
 GTKVEIKRTV AAPSVFIPPP SDEQLKSGTA SVVCLNNFY PREAKVQWKV 150  
 DNALQSGNSQ ESVTEQDSKD STYSLSSLT LSKADYEKHK VYACEVTHHQ 200  
 LSSPVTKSFN RGEC 214

#### Post-translational modifications

Disulfide bridges location / Position des ponts disulfure / Posiciones de los puentes disulfuro  
 Intra-H (C23-C104) 22-96 145-201 259-319 365-423  
 22"-96" 148"-204" 262"-322" 368"-426"

Intra-L (C23-C104) 23"-88" 134"-194"  
 23""-88"" 134""-194""

Inter-H-L (h 5-CL 126) 221-214" 224"-214"

Inter-H-H (h 8, h 11) 224-227" 227-230"

Inter-H-H (CH3 C10-C5)\* 352-350"

\*variants G1v74 (CH3 C10) and G1v75 (CH3 C5) creating an additional inter-H-H disulfide bond.

N-terminal glutaminyl cyclization / Cyclisation du glutaminyle N-terminal / Ciclación del glutaminilo N-terminal  
 Q > pyroglutamyl (pE, 5-oxoprolyl) / pyroglutamyle (pE, 5-oxoprolyle) / piroglutamilo (pE, 5-oxoprolilo)  
 H VH Q1: 1, 1"

N-glycosylation sites / Sites de N-glycosylation / Posiciones de N-glicosilación  
 H CH2 N84:4, 295, 298"  
 Fucosylated complex bi-antennary CHO-type glycans / glycanes de type CHO bi-antennaires complexes fucosylés / glicanos de tipo CHO biantenarios complejos fucosilados.

C-terminal lysine clipping / Coupe de la lysine C-terminale / Recorte de lisina C-terminal  
 H CHS K2: 445, 448"

## vensemaglutidum

vensemaglutide

*N*<sup>2.2</sup>-{2-[{(4S)-4-carboxy-4-(15-carboxypentadecanamido)butanamido]ethyl}-*N*<sup>6.22</sup>-[(22*S*)-22,40-dicarboxy-10,19,24-trioxo-3,6,12,15-tetraoxa-9,18,23-triazatetracontan-1-oyl]-[E<sup>5</sup>>G,R<sup>6</sup>>G,A<sup>8</sup>>Aib,K<sup>34</sup>>R]human glucagon-like peptide 1(5-37)  
 glucagon-like peptide 1 (GLP-1) receptor agonist

## vensémaglutide

*N*<sup>2.2</sup>-{2-[{(4S)-4-carboxy-4-(15-carboxypentadécanamido)butanamido]éthyl}-*N*<sup>6.22</sup>-[(22*S*)-22,40-dicarboxy-10,19,24-trioxo-3,6,12,15-tétraoxa-9,18,23-triazatétracontan-1-oyl]-[E<sup>5</sup>>G,R<sup>6</sup>>G,A<sup>8</sup>>Aib,K<sup>34</sup>>R]peptide 1(5-37) apparenté au glucagon humain (GLP-1(5-37))  
 agoniste du récepteur du peptide 1 de type glucagon (GLP-1)

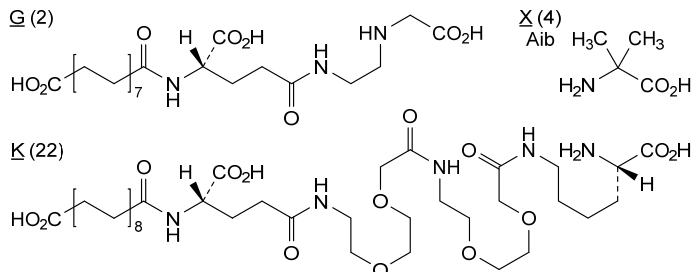
**vensemaglutida**  $N^{2,2\prime}\{2\prime-\{(4S)-4\text{-carboxi-4-(15-}\\text{carboxipentadecanamido)butanamido}\}ethyl\}-N^{6,22\prime}\{[(22S)-22,40\text{-dicarboxi-}\\text{10,19,24-trioxo-3,6,12,15-tetraoxa-9,18,23-triazatetracontan-1-oil]\cdot\\text{[E}^5\text{>}G, R^6\text{>}G, A^8\text{>}Aib, K^{34}\text{>}R]\}$  péptido 1(5-37) similar al glucagón humano (GLP-1(5-37))  
*agonista del receptor del péptido 1 similar al glucagón (GLP-1)*



2919344-88-8

GGH~~X~~EGTFTS DVSSYLEGQA AKEFIAWLVR GRG 33

Modified residues / Résidus modifiés / Restos modificados

**veonetinibum**

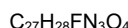
veonetinib

 $(7RS)\text{-5-[2-(\{4-[(4-fluoro-2-methyl-1}H\text{-indol-5-yl)oxy]-6-methoxyquinolin-}\\text{7-yl}]\text{oxy)ethyl]-5-azaspiro[2.4]heptan-7-ol}$   
*tyrosine kinase inhibitor, antineoplastic*

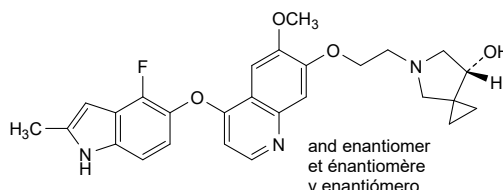
## véonétinib

 $(7RS)\text{-5-[2-(\{4-[(4-fluoro-2-méthyl-1}H\text{-indol-5-yl)oxy]-6-}\\text{méthoxyquinoléin-7-yl}]\text{oxy)éthyl]-5-azaspiro[2.4]heptan-7-ol}$   
*inhibiteur de tyrosine kinases, antinéoplasique*

## veonetinib

 $(7RS)\text{-5-[2-(\{4-[(4-fluoro-2-metyl-1}H\text{-indol-5-yl)oxi]-6-metoxyquinolin-7-}\\text{il}]\text{oxi)ethyl]-5-azaespiro[2.4]heptan-7-ol}$   
*inhibidor de la tirosina kinasa, antineoplásico*

1210828-09-3

**verenafuspum alfa**

verenafusp alfa

chimeric immunoglobulin G1-kappa antigen-binding fragment (Fab) anti-[human insulin receptor (INSR)] fused at the C-terminus of the heavy chain via peptide linker  $^{221}LSS^{223}$  to human iduronate-2-sulfatase fragment, glycoform alfa;  
 gamma 1 heavy chain (1-220) [VH (*Mus musculus* IGHV1S56\*01 - (IGHD) -IGHJ3\*01, CDR-Kabat [5.17.4] (31-35.50-66.99-102)) (1-113 -*Homo sapiens*IGHG1\*01 (CH1 (114-211), hinge truncated removing C-terminal TCPPCP (212-220))] fused via peptide linker  $^{221}LSS^{223}$  to

human iduronate-2-sulfatase (EC:3.1.6.13, alpha-L-iduronate sulfate sulfatase (*idursulfase*)) (224-748 in the current sequence, residue 282 posttranslationally modified to formylglycine (fGly)), (216-214') -disulfide with kappa light chain (1'-214') [V-KAPPA (*Mus musculus* IGKV9-120\*01 -IGKJ1\*01, CDR-Kabat [11.7.9] (24'-34'.50'-56'.89'-97')) (1'-107') -*Homo sapiens* IGKC\*01 (108'-214')]; dimer, produced in Chinese hamster ovary (CHO) cells, glycoform alfa  
*enzyme replacement therapy (mucopolysaccharidosis type II)*

vérénafusp alfa

fragment de liaison à l'antigène (Fab) de l'immunoglobuline chimérique G1-kappa anti-[récepteur humain de l'insuline (INSR)] fusionné à l'extrémité C-terminale de la chaîne lourde, via un coupleur tripeptidique  $^{221}\text{LSS}^{223}$ , à un fragment d'iduronate-2-sulfatase humaine, glicoforme alfa; chaîne lourde gamma 1 (1-220) [VH (*Mus musculus* IGHV1S56\*01 -(IGHD) -IGHJ3\*01, CDR-Kabat [5.17.4] (31-35.50-66.99-102)) (1-113) -*Homo sapiens* IGHG1\*01 (CH1 (114-211), charnière tronquée supprimant le C-terminal TCPPCP (212-220))] fusionné, via un coupleur tripeptidique  $^{221}\text{LSS}^{223}$ , à l'iduronate-2-sulfatase humaine (EC:3.1.6.13, alpha-L-iduronate sulfate sulfatase (*idursulfase*)), (224-748 dans la séquence actuelle, le résidu 282 est modifié post-traductionnellement en formylglycine (fGly)) (216-214') -disulfure avec la chaîne légère kappa (1'-214') [V-KAPPA (*Mus musculus* IGKV9-120\*01 -IGKJ1\*01, CDR-Kabat [11. 7.9] (24'-34'.50'-56'.89'-97')) (1'-107') -*Homo sapiens* IGKC\*01 (108'-214')]; dimère, produit dans des cellules ovariennes de hamster chinois (CHO), glicoforme alfa  
*traitement enzymatique substitutif (mucopolysaccharidose de type II)*

verenafusp alfa

fragmento de unión a antígeno (Fab) de inmunoglobulina químérica G1-kappa anti-[receptor de la insulina humana (INSR)] fusionado en la terminal C de la cadena pesada a través del enlace peptídico  $^{221}\text{LSS}^{223}$  al fragmento humano de la iduronato-2-sulfatasa, glicoforma alfa; cadena pesada gamma 1 (1-220) [VH (*Mus musculus* IGHV1S56\*01 -(IGHD) -IGHJ3\*01, CDR-Kabat [5.17.4] (31-35.50-66.99-102)) (1-113) -*Homo sapiens* IGHG1\*01 (CH1 (114-211), bisagra truncada que elimina el terminal C TCPPCP (212-220))] fusionada a través de enlace peptídico  $^{221}\text{LSS}^{223}$  a la iduronato-2-sulfatasa humana (EC:3.1.6.13, alfa-L-iduronato sulfato sulfatasa (*idursulfasa*)) (224-748 in la secuencia actual, el residuo 282 está modificado postraduccionalmente a formilglicina (fGly)), (216-214') -disulfuro con la cadena ligera kappa (1'-214') [V-KAPPA (*Mus musculus* IGKV9-120\*01 -IGKJ1\*01, CDR-Kabat [11.7.9] (24'-34'.50'-56'.89'-97')) (1'-107') -*Homo sapiens* IGKC\*01 (108'-214')]; dímero, producido en las células ováricas de hámster chino (CHO), glicoforma alfa  
*tratamiento enzimático de sustitución (mucopolisacaridosis tipo II)*

2699034-69-8

Sequence / Séquence / Secuencia  
 Fab heavy chain-IDS  
 QVQLQQSGPE LVKPGALVKI SCKASGYTFT NYDIHWVKQR PGQGLEWIGW 50  
 IYFGDGSTKY NEFKGKATL TADKSSSTAY MHLSLTSEK SAVYFCAREW 100  
 ATWGGQTLLVT VSAASTKGES VFPIAPSSKS TSGGTAALGC LVKDYYFEPV 150  
 TVSWNSWGAUT SGVHTEPAVL QSSGLYSLSS VVTVPSSSLG TQTYICNVNH 200  
 KPSNTKVDKK VEPKSCDKH LSSSETQANS TTDAVLVLL 1VDDLRPSLG 250  
 CYGDKLVRSP NIDQLASHSL LFQNAAFFQAQ VCAFPSRVSFL TGRRPDTTRL 300  
 YDFNSYWRVH AGNFSTIPQY FKENGYVITMS VGKVFHPGIS SNHTDDSPYS 350  
 WSFPFYHPSS EKYENTKTCSR GPDGEHLANL LCPVDVLDP EGTLPDQST 400  
 EQAQIQLLEKM KTSAASPFLA VGYHKPHIF RYPKEFQKLK PLENITIAPD 450  
 PEVPGDLPV AYNPWNMDIRO REDVQALNIS VPYGPIPVDF QRKIRQSYFA 500  
 SVSYLDTQVG RLLSALDDDLQ LANSTIIAFT SDHGWLAGEH GEWAKYSNFD 550  
 VATHVPLIFY VPGRRTASLPE AGEKLFPYLD PFDSASQLMF PGROSMDLVE 600  
 LVSLFFTLAG LAGLQVPPRC PVPSFHVELC REGKNLLKHF RFRDLEEDPY 650  
 LPGNPRELIA YSQYPRPSDI PQNNSDKPSL KDIKIMGYSI RTIDYRTVW 700  
 VGFNPDEFLA NFSDIHAGEL YFVDSDPLQD HNMYNDSQGG DLFQLIMP 748

Fab light chain  
 DIQMTQSPSS LSASLGERVS LTCRASQDGIN GNLWYLQQGP DGTIKRLIYA 50  
 TSSLDSGVPK RFSGSRSGSD YSLTISSLES EDFVDYCLQ YSSSPWTFGG 100  
 GTKMEIKRTV AAPSVFIFPP SDEQLKSGTA SVVCLLNFY PREAKVQWKV 150  
 DNALQSGNSQ ESVTEQDSKD STYSLSSTLT LSKADYEKHK VYACEVTHQG 200  
 LSSPVTKSFN RGE 214

Peptide linker / Peptide liant / Péptido de unión  
 Fab heavy chain-IDS: <sup>221</sup>LSS<sup>223</sup>

#### Post-translational modifications

Disulfide bridges location / Position des ponts disulfure / Posiciones de los puentes disulfuro  
 Intra Fab heavy chain: 22-96, 140-196, 22"-96", 140"-196"  
 Intra IDS: 369-382, 620-630, 369"-382", 620"-630"  
 Intra Fab light chain: 23"-88", 134"-194", 23"-88", 134"-194"  
 Inter Fab heavy-light chain: 216-214", 216"-214"

N-glycosylation sites / Sites de N-glycosylation / Posiciones de N-glicosilación  
 Fab heavy chain-IDS: 229, 313, 342, 444, 478, 523, 711, 735  
 229", 313", 342", 444", 478", 523", 711", 735"

#### Oxidation sites / Sites d'oxydation / Posiciones de oxidación

Fab heavy chain-IDS: M81, M329, H377, M410, W465, M466, M589, M596, M686, M747  
 M81", M329", H377", M410", W465", M466", M589", M596", M686", M747"  
 Fab light chain: M4", M4"  
 Posttranslationally generated catalytical oxidation site:  
 Fab heavy chain-IDS: C282, C282" > formylglycine (fGly)

#### Deamidation sites / Sites de déamidation / Posiciones de desamidación

Fab heavy chain-IDS: N229, N304, N324, N365, N379, N674,  
 N229", N304", N324", N365", N379", N674"  
 Fab light chain: N152", N158", N152", N158"

N-terminal glutaminyl cyclization / Cyclisation du glutaminyle N-terminal / Ciclación del glutamínilo N-terminal

Fab heavy chain Q1, Q1"> pyroglutamyl (pE, 5-oxo-L-prolyl)

#### vispacabtagenum regedleucelum #

vispacabtagene regedleucel

allogeneic T lymphocytes obtained from peripheral blood mononuclear cells by leukapheresis of healthy donors, electroporated with CRISPR/Cas9 (clustered regularly interspaced short palindromic repeats/ CRISPR-associated protein 9) hybrid RNA-DNA nucleoprotein complexes to knock out the T cell receptor alpha chain constant (*TRAC*) and programmed cell death protein 1 (*PDCD1*) genes and transduced with a recombinant adeno-associated virus vector serotype 6 (AAV6) vector to introduce an anti-CD19 chimeric antigen receptor (CAR) expression cassette at the *TRAC* locus by homology-directed repair.

The integrated sequence comprises a 5' TRAC homology arm, a protospacer adjacent motif (PAM), the CAR expression cassette, and a 3' TRAC homology arm. The CAR expression cassette consists of an elongation factor alpha (EF-1 $\alpha$ ) promoter, Kozak sequence, CD8 $\alpha$  signal sequence, anti-CD19 single chain variable fragment (scFv clone FMC63), CD8 hinge region, CD8 transmembrane (TM) domain, 4-1BB signaling co-stimulatory domain, CD3 $\zeta$  signaling domain, and a bovine growth hormone (bGH) polyadenylation sequence.

The leukapheresis material is enriched for CD4/CD8 T lymphocytes by positive immunoselection and subsequently transduced with the vector. Residual TCR $\alpha\beta^+$  lymphocytes are removed by magnetic depletion, and the cells are then activated in media containing CD3 and CD28 agonists and interleukin 2 (IL-2). The suspension consists primarily of T lymphocytes (CD45+ and CD4+, CD8+, or CD3+) which are >32% CAR+, have a high proportion PDCD1 knockout cells (average 97%) and are cytotoxic to CD19-expressing cells  
*cell-based gene therapy (antineoplastic)*

vispacabtagène régedleucel

lymphocytes T allogéniques obtenus, par leucaphérèse, à partir de cellules mononucléées du sang périphérique (CMSP) de donneurs sains, électroporés avec des complexes de nucléoprotéines hybrides ARN-ADN de CRISPR/Cas9 (courtes répétitions en palindrome regroupées et régulièrement espacées /protéine 9 associée à CRISPR), pour invalider la région constante de la chaîne alpha du récepteur des lymphocytes T (TRAC) et le gène codant la protéine de mort cellulaire programmée de type 1 (PDCD1), et transduits avec un vecteur recombinant du virus adénov-associé de sérotype 6 (AAV6), pour introduire au locus TRAC, par la réparation dirigée par l'homologie, une cassette d'expression d'un récepteur d'antigène chimérique (CAR) anti-CD19.

La séquence intégrée comprend un bras d'homologie 5' TRAC, un motif de reconnaissance du proto-espacer (PAM), la cassette d'expression de CAR, et un bras d'homologie 3' TRAC. La cassette d'expression CAR contient un promoteur du facteur d'elongation alpha (EF-1 $\alpha$ ), une séquence de Kozak, une séquence signal CD8 $\alpha$ , un fragment variable à chaîne unique anti-CD19 (clone scFv FMC63), une région charnière CD8, un domaine transmembranaire CD8, un domaine co-stimulant de signalisation 4-1BB, un domaine de signalisation de CD3 $\zeta$ , et une séquence de polyadénylation de l'hormone de croissance bovine (bGH). Le matériel de la leucophorèse est enrichi en lymphocytes T CD4/CD8 par immuno-sélection positive, et ensuite transduits avec le vecteur. Les lymphocytes TCR $\alpha\beta^+$  sont éliminés par déplétion magnétique, puis les cellules sont activées dans un milieux contenant des agonistes CD3 et CD28, et de l'interleukine-2 (IL-2). La suspension se compose principalement de lymphocytes T (CD45+ et CD4+, CD8+ ou CD3+), qui contiennent plus de 32% de CAR+, ayant une forte proportion de cellules PDCD1 invalidant (en moyenne 97%) qui sont cytotoxiques pour les cellules exprimant CD19  
*thérapie génique à base de cellules (antinéoplasique)*

vispacabtagén regedleucel

linfocitos T alogénicos obtenidos de células mononucleares de sangre periférica a partir de leucoaféresis de donantes sanos, electroporados con complejos de nucleoproteína híbridos ARN-ADN de CRISPR/Cas9 (repeticiones palindrómicas agrupadas y espaciadas regularmente/proteína asociada a CRISPR 9) para eliminar los genes de la cadena constante alfa del receptor de

linfocitos T (*TRAC*) y de la proteína de muerte celular programada 1 (*PDCP1*) y transducidos con un vector de virus adenasoociado de serotipo 6 (*AAV6*) recombinante para introducir un casete de expresión de un receptor de antígenos quimérico (*CAR*) anti CD-19 en el locus *TRAC* mediante reparación dirigida por homología.

La secuencia integrada consta de un brazo de homología 5' *TRAC*, un motivo protoespaciador adyacente (PAM), el casete de expresión del *CAR* y un brazo de homología 3' *TRAC*. El casete de expresión *CAR* consiste en un promotor del factor de elongación alfa (EF-1 $\alpha$ ), una secuencia Kozak, una secuencia señal de CD8 $\alpha$ , un fragmento variable de cadena sencilla (scFv clón FMC63) anti-CD19, una región bisagra de CD8, un dominio transmembrana (TM) de CD8, un dominio de señalización coestimulador de 4-1BB, un dominio de señalización de CD3 $\zeta$  y una secuencia de poliadenilación de la hormona de crecimiento bovina (BGH).

El material de leucoaféresis se enriquece en linfocitos T CD4/CD8 mediante inmunoselección positiva y posteriormente se transduce con el vector. Los linfocitos TCR $\alpha\beta^+$  residuales se eliminan por depleción magnética y las células a continuación se activan en medio con agonistas de CD3 y CD28 e interleuquina 2 (IL-2). La suspensión consiste principalmente en linfocitos T (CD45+ y CD4+, CD8+ o CD3+) que son en >32% *CAR*+, tienen una alta proporción de células con PDCD1 eliminado (97% de media) y son citotóxicos frente a células que expresan CD19 *terapia génica basada en células (antineoplásico)*

### vormatrinium

vormatrigine

3-[ethoxydi(fluoro)methyl]-6-[5-fluoro-6-(2,2,2-trifluoroethoxy)pyridin-3-yl][1,2,4]triazolo[4,3-a]pyridine  
sodium channel blocker

vormatrigine

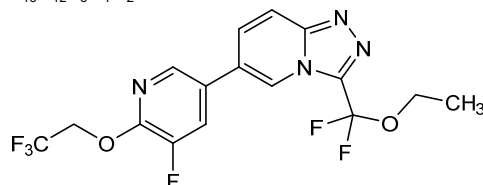
3-[éthoxydi(fluoro)méthyl]-6-[5-fluoro-6-(2,2,2-trifluoroéthoxy)pyridin-3-yl][1,2,4]triazolo[4,3-a]pyridine  
bloqueur des canaux sodiques

vormatrigina

3-[etoxidi(fluoro)metyl]-6-[5-fluoro-6-(2,2,2-trifluoroetoxi)piridin-3-yl][1,2,4]triazolo[4,3-a]piridina  
bloqueador del canal de calcio

C<sub>16</sub>H<sub>12</sub>F<sub>6</sub>N<sub>4</sub>O<sub>2</sub>

2392951-18-5



### xelafaslatidum

xelafaslatide

L-histidyl-L-histidyl-L-isoleucyl-L-tyrosyl-L-leucylglycyl-L-alanyl-L-valyl-L-asparaginyl-L-tyrosyl-L-isoleucyl-L-tyrosinamide  
*tumor necrosis factor (TNF) receptor inhibitor*

xélaufaslatide

L-histidyl-L-histidyl-L-isoleucyl-L-tyrosyl-L-leucylglycyl-L-alanyl-L-valyl-L-asparaginyl-L-tyrosyl-L-isoleucyl-L-tyrosinamide  
*inhibiteur du récepteur du facteur de nécrose tumorale (TNF)*

xelafaslatida

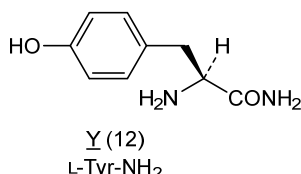
L-histidil-L-histidil-L-isoleucil-L-tirosil-L-leucilglicil-L-alanil-L-valil-L-asparaginil-L-tirosil-L-isoleucil-L-tyrosinamida  
*inhibidor del receptor del factor de necrosis tumoral (TNF)*

 $C_{71}H_{100}N_{18}O_{16}$ 

2040964-58-5

HHIYILGAVNY IY 12

Modified residue / Résidu modifié / Resto modificado

**zabilugenum almadenorepvecum #**

zabilugene almadenorepvec

recombinant, replication-competent oncolytic human adenovirus type 5 (Ad5) vector, encoding human hyaluronidase PH-20 (sperm adhesion molecule 1 [SPAM1] soluble form), under the control of the adenovirus major late promoter via insertion of the pIIa splice acceptor and a Kozak sequence. Genetic modifications of the viral genome also include the insertion of four E2F-responsive sites along with one extra Sp-1 transcription factor binding site to control expression of the viral early region 1A (E1A) gene, a 24 base pair deletion in the E1A gene, and the replacement of the KTK domain of the fiber shaft with an integrin-binding, tumour-selective RGDK motif

*virus-based gene therapy (antineoplastic)*

zabilugène almadénorépvec

vecteur recombinant, oncolytique de l'adénovirus humain de type 5 (Ad5), capable de se répliquer, codant l'hyaluronidase humaine PH-20 (molécule d'adhésion du sperme 1 [SPAM1] forme soluble), sous le contrôle du promoteur majeur tardif de l'adénovirus par insertion de l'accepteur d'épissure pIIa, et d'une séquence de Kozak. Les modifications génétiques du génome viral comprennent également l'insertion de quatre sites sensibles à l'E2F, ainsi qu'un site supplémentaire de liaison au facteur de transcription Sp-1, pour contrôler l'expression du gène de la région virale précoce 1A (E1A), une délétion de 24 paires de bases dans le gène E1A et le remplacement du domaine KTK de la tige de la protéine fibre, par un motif RGDK de liaison à l'intégrine spécifique de la tumeur

*thérapie génique virale (antinéoplasique)*

zabilugén almadenorepvec

vector de adenovirus tipo 5 (Ad5) humano recombinante, competente de replicación, oncolítico, que codifica para la hialuronidasa PH-20 humana (molécula de adhesión a esperma 1 [*SPAM1*]) (forma soluble), bajo el control del promotor principal tardío del adenovirus y mediante la inserción del sitio acceptor del procesamiento pIIla y una secuencia Kozak. Las modificaciones genéticas del genoma viral también incluyen la inserción de cuatro sitios sensibles a E2F junto con un sitio adicional de unión del factor de transcripción Sp-1 para controlar la expresión del gen de la región viral temprana 1A (E1A), una delección de 24 pares de bases en el gen E1A y el reemplazo del dominio KKTK del eje de la fibra con un motivo RGDK de unión a integrina específica de tumor  
*terapia génica basada en virus (antineoplásico)*

2937327-18-7

**zadoprubartum #**

zadoprubart

immunoglobulin G4-kappa, anti-[*Homo sapiens* BTLA (B and T lymphocyte attenuator, BTLA1, CD272)], humanized monoclonal antibody; H-gamma4 heavy chain humanized (1-451) [VH (*Homo sapiens* IGHV1-69\*08 (80.6%) -(IGHD) - IGHJ6\*05 (92.3%) A127>S (123), CDR-IMGT [8.8.17] (26-33.51-58.97-113)) (1-124) -*Homo sapiens* IGHG4\*01, nG4m(a) CH2 L92, G4v5 h P10(CH1 (125-222), hinge 1-12 S10>P (232) (223-234), CH2 L92 (313) (235-344), CH3 (345-449), CHS (450-451)) (125-451)], (138-214')-disulfide with L-kappa light chain humanized (1'-214') [V-KAPPA (*Homo sapiens* IGKV1-12\*01 (86.4%) -IGKJ4\*01 (100%), CDR-IMGT [6.3.9] (27'-32'.50'-52'.89'-97')) (1'-107') -*Homo sapiens* IGKC\*01 (100%) Km3 A45.1, V101 (C-KAPPA A45.1 (153'), V101 (191')) (108'-214')]; dimer (230-230":233-233")-bisdisulfide, produced in Chinese hamster ovary (CHO) cells, cell line CHO-K1, glycoform alfa  
*immunosuppressant*

zadoprubart

immunoglobuline G4-kappa, anti-[*Homo sapiens* BTLA (atténuateur des lymphocytes B et T, BTLA1, CD272)], anticorpus monoclonal humanisé; chaîne lourde H-gamma4 humanisée (1-451) [VH (*Homo sapiens* IGHV1-69\*08 (80.6%) -(IGHD) - IGHJ6\*05 (92.3%) A127>S (123), CDR-IMGT [8.8.17] (26-33.51-58.97-113)) (1-124) -*Homo sapiens* IGHG4\*01, nG4m(a) CH2 L92, G4v5 h P10(CH1 (125-222), charnière 1-12 S10>P (232) (223-234), CH2 L92 (313) (235-344), CH3 (345-449), CHS (450-451)) (125-451)], (138-214')-disulfure avec la chaîne légère L-kappa humanisée (1'-214') [V-KAPPA (*Homo sapiens* IGKV1-12\*01 (86.4%) -IGKJ4\*01 (100%), CDR-IMGT [6.3.9] (27'-32'.50'-52'.89'-97')) (1'-107') -*Homo sapiens* IGKC\*01 (100%) Km3 A45.1, V101 (C-KAPPA A45.1 (153'), V101 (191')) (108'-214')]; dimère (230-230":233-233")-bisdisulfure, produit dans des cellules ovariennes de hamster chinois (CHO), lignée cellulaire CHO-K1, glycoforme alfa  
*immunosuppresseur*

**zadoprubart** inmunoglobulina G4-kappa, anti-[*Homo sapiens* BTLA (atenuador de los linfocitos B y T, BTLA1, CD272)], anticuerpo monoclonal humanizado; cadena pesada H-gamma4 humanizada (1-451) [VH (*Homo sapiens* IGHV1-69\*08 (80.6%) -(IGHD) -IGHJ6\*05 (92.3%) A127>S (123), CDR-IMGT [8.8.17] (26-33.51-58.97-113)) (1-124) -*Homo sapiens* IGHG4\*01, nG4m(a) CH2 L92, G4v5 h P10(CH1 (125-222), bisagra 1-12 S10>P (232) (223-234), CH2 L92 (313) (235-344), CH3 (345-449), CHS (450-451)) (125-451)), (138-214')-disulfuro con la cadena ligera L-kappa humanizada (1'-214') [V-KAPPA (*Homo sapiens* IGKV1-12\*01 (86.4%) -IGKJ4\*01 (100%), CDR-IMGT [6.3.9] (27'-32'.50'-52'.89'-97')) (1'-107') -*Homo sapiens* IGKC\*01 (100%) Km3 A45.1, V101 (C-KAPPA A45.1 (153'), V101 (191')) (108'-214')]; dímero (230-230":233-233")-bisdisulfuro, producido en las células ováricas de hámster chino (CHO), línea celular CHO-K1, forma glicosilada alfa  
*inmunosupresor*

2904575-77-3

**Heavy chain / Chaîne lourde / Cadena pesada**

```

QVQLVQSGAE VKKPGSSVKV SCKASGYVFS TSWMNWVRQA PGQGLEWMGR 50
IYPGDADTNY VGKFKGRTVI TADKSTTTAY MELSSLRSED TAVYFCAKSG 100
TFNFGNYRWY FDVWGKGTTV TVSSASTKGP SVFPLACCSR STSESTAALG 150
CLVKDYYFPEP VTWSWNNGAL TSGVHTFPAV LQSSGLYLSL SVVTVPSSL 200
GTTKTYTCNVD HKPSNTVKDK RVESKYGGPC PPCPAPEFLG GPSVFLFPK 250
PKDTLMISRT PEVTCVVVDV SQEDPEVQFN WYVGVEVHN AKTKPREEQF 300
NSTYRVVSVL TVLHQDWLNG KEYKCKVSNK GLPSSIEKTI SKAKGQPREP 350
QVYTLPSSQE EMTKNQVSLT CLVKGFYPSD IAVEWESNQG PENNYKTTPP 400
VLDSDGSSFFL YSRLTVDKSR WQEGNVFSCS VMHEALHNHY TQKSLSLSG 450
K
451

```

**Light chain / Chaîne légère / Cadena ligera**

```

AIQLTQSPSS LSASVGDRTV ITCRVSENIIY SHLAWYQQKP GKAPKLLIYA 50
ATNLALGVPS RFSGSGSGTD YTLLTISLQP EDFATYYCQL FWGPPLTFFG 100
GTTKVEIKRTV AAPSVEIFPP SDEQLKSGTA SVVCLLNNFY PREAKVQWKV 150
DNALQSGNSQ ESVTEQDSKD STYSLSSLT LSKADYEKHK VYACEVTHQG 200
LSSPVTKFSN RGECA
214

```

**Post-translational modifications**

Disulfide bridges location / Position des ponts disulfure / Posiciones de los puentes disulfuro  
Intra-H (C23-C104) 22-96 151-207 265-325 371-429  
22"-96" 151"-207" 265"-325" 371"-429"  
Intra-L (C23-C104) 23"-88" 134"-194"  
23"-88"" 134"-194""  
Inter-H-L (CH1 10-CL 126) 138-214' 138"-214"  
Inter-H-H (h 8, h 11) 230-230" 233-233"

**N-terminal glutaminyl cyclization / Cyclisation du glutaminy N-terminal / Ciclación del glutaminiilo N-terminal**

Q > pyroglutamyl (pE, 5-oxoprolyl) / pyroglutamyle (pE, 5-oxoprolyle) / piroglutamilo (pE, 5-oxoprolilo)  
H VH Q1: 1, 1"

**N-glycosylation sites / Sites de N-glycosylation / Posiciones de N-glicosilación**

H CH2 N84.4: 301, 301"  
Fucosylated complex bi-antennary CHO-type glycans / glycanes de type CHO bi-antennaires complexes fucosylés / glicanos de tipo CHO biantenarios complejos fucosilados

**C-terminal lysine clipping / Coupure de la lysine C-terminale / Recorte de lisina C-terminal**

H CHS K2: 451, 451"

**zamubafuspum alfa #****zamubafuspum alfa**

humanized immunoglobulin G1-kappa, anti-[human variable immunoglobulin light chain N-terminal cryptic neo-epitope] fused at the C-terminus of each light chain via a peptide linker to the pan-amyloid-reactive peptide p5R;

gamma 1 heavy chain (1-441) [VH (*Homo sapiens* IGHV4-4\*08 -(IGHD) -IGHJ4\*01, CDR-Kabat [5.16.3] (31-35.50-65.98-100)) (1-111) -*Homo sapiens* IGHG1\*01 (CH1 (112-209), hinge (210-224), CH2 (225-334), CH3 (335-439), CHS (440-441)) (112-441)], (214-219')-disulfide with kappa light chain (1'-219') [V-KAPPA (*Homo sapiens* IGKV2-30\*01 -IGKJ2\*01, CDR-Kabat [16.7.9] (24'-39'.55'-61'.94'-102')) (1'-112') -*Homo sapiens* IGKC\*01 (113'-219')], fused via peptide linker <sup>220</sup>VSPSV<sup>224</sup> to the pan-amylolytic peptide p5R (225'-250'), dimer (220-220":223-223")-bisdisulfide, produced in Chinese hamster ovary (CHO) cells, cell line CHO-K1, glycoform alfa amyloid deposit removal

## zamubafusp alfa

immunoglobuline G1-kappa humanisée, anti-[néo-épitope cryptique N-terminal de la chaîne légère variable de l'immunoglobuline humaine] fusionnée, à la partie C-terminale de chaque chaîne légère, à l'aide d'un coupleur peptidique, au peptide panamyloïde réactif p5R; chaîne lourde gamma 1 (1-441) [VH (*Homo sapiens* IGHV4-4\*08 -(IGHD) -IGHJ4\*01, CDR-Kabat [5.16.3] (31-35.50-65.98-100)) (1-111) -*Homo sapiens* IGHG1\*01 (CH1 (112-209), charnière (210-224), CH2 (225-334), CH3 (335-439), CHS (440-441)) (112-441)], (214-219')-disulfure avec la chaîne légère kappa (1'-219') [V-KAPPA (*Homo sapiens* IGKV2-30\*01 -IGKJ2\*01, CDR-Kabat [16.7.9] (24'-39'.55'-61'.94'-102')) (1'-112') -*Homo sapiens* IGKC\*01 (113'-219')], fusionnée, à l'aide du coupleur peptidique <sup>220</sup>VSPSV<sup>224</sup> au peptide panamyloïde réactif p5R (225'-250'), dimère (220-220":223-223")-bisdisulfure, produite dans des cellules ovariennes de hamster chinois (CHO), lignée cellulaire CHO-K1, glicoforme alfa élimination des dépôts amyloïdes

## zamubafusp alfa

inmunoglobulina humanizada G1-kappa, anti-[neoepitópo críptico N-terminal de cadena ligera de immunoglobulina variable humana] fusionada al terminal C de cada cadena ligera a través de enlace peptídico al péptido pan-amiloide reactivo p5R; cadena pesada gamma 1 (1-441) [VH (*Homo sapiens* IGHV4-4\*08 -(IGHD) -IGHJ4\*01, CDR-Kabat [5.16.3] (31-35.50-65.98-100)) (1-111) -*Homo sapiens* IGHG1\*01 (CH1 (112-209), bisagra (210-224), CH2 (225-334), CH3 (335-439), CHS (440-441)) (112-441)], (214-219')-disulfuro con cadena ligera kappa (1'-219') [V-KAPPA (*Homo sapiens* IGKV2-30\*01 -IGKJ2\*01, CDR-Kabat [16.7.9] (24'-39'.55'-61'.94'-102')) (1'-112') -*Homo sapiens* IGKC\*01 (113'-219')], fusionado a través de enlace peptídico <sup>220</sup>VSPSV<sup>224</sup> al péptido pan-amiloide reactivo p5R (225'-250'), dímero (220-220":223-223")-bisdisulfuro, producido en células ováricas de hámster Chino (CHO), línea celular CHO-K1, glicoforma alfa eliminación de depósito de amiloide

2937458-25-6

## Sequence / Séquence / Secuencia

## IgG1 heavy chain

QVQLQESEPGV LVKPSSETLSL TCTVSGFSL S YGVSWIRQP PGKGLEWLGV 50  
 INEGESTNYH PNLMRSVTIS VDTSKSQVLF KLSSVTAADT AVYCATDLY 100  
 WGGTSVTVS SASTKGPSPV PLAPSKSTS GGTAAALGCLV KDYFPEPVTV 150  
 SWNSGALTSG VHTTPAVLQS SGLYSLSSVV TVPFSSSLGTQ TYICNVNHKP 200  
 SNTKVDKKVPS PKSCDKTHTC PPCPAPELLG GPSVFLFPKK PKDTLMISR 250  
 PEVTCVVDV SHEDPEVKFN YFWVGVEVHN AKTKPREEQY NSTYRVVSVL 300  
 TVLHQDWLNG KEYKCKVSNK ALAPPIEKTI SKAKGQPREP QVYTLPSSRD 350  
 ELTKNQVSLT CLVKGFYPSD IAVEWESNQ PENNYKTTP VLSDDGFFL 400  
 YSKLTVDKSR WQQGNVFSCS VMHEALHNH TQKSLSSLSPG K 441

## IgG1 light chain-p5R

DVMMTQSPLS LPVTLGQPAS ISCRSSQSLV HRSGNNTYLHW FQQRPQQSPR 50  
 LLIYKVSNRF SGVPDRFSGS GSGTDFTLKI SRVEAEDVGV YFCFQTTVVP 100  
 NTFFGGGTKE IRKRTVAAPSV FIFPPSDEQL KSGTASVVL LNNFYFREAK 150  
 VQWKVDNALQ SCNSQESVTE QDSKDSTYSL SSTLTLSKAD YEKHKVYACE 200  
 VTHQGLSSPV TKSFNREGEVY SFSIRAQRAQ **ARQARQ**QARQ **QRAQ**ARQARQ 250

## Peptide linker / Peptide liant / Péptido de unión

<sup>220</sup>I<sup>221</sup>S<sup>222</sup>P<sup>223</sup>

## Post-translational modifications

## Disulfide bridges location / Position des ponts disulfure / Posiciones de los puentes disulfuro

Intra IgG1 heavy-chain: 22-95, 138-194, 255-315, 361-419

22"-95", 138"-194", 255"-315", 361"-419"

Intra IgG1 light chain-p5R: 23"-93", 139"-199", 23"-93", 139"-199"

Inter heavy chain-heavy chain: 220-220", 223-223"

Inter heavy chain-light chain: 214-219", 214"-219"

N-glycosylation sites / Sites de N-glycosylation / Posiciones de N-glicosilación  
Heavy chain: N291, N291"

## N-terminal glutaminyl cyclization / Cyclisation du glutaminyle N-terminal / Ciclación del glutamínico N-terminal

Heavy chain: Q1.Q1"&gt; pyroglutamyl (pE, 5-oxo-L-prolyl)

C-terminal lysine clipping / Coupe de la lysine C-terminale / Recorte de lisina C-terminal  
441, 441"**zanvipixantum**

zanvipixant

[(6S)-1-(5-fluoropyrimidin-2-yl)-6-methyl-1,4,6,7-tetrahydro-5*H*-[1,2,3]triazolo[4,5-*c*]pyridin-5-yl][3-fluoro-2-(trifluoromethyl)pyridin-4-yl]methanone  
*purinoreceptor (P2X) antagonist*

## zanvipixant

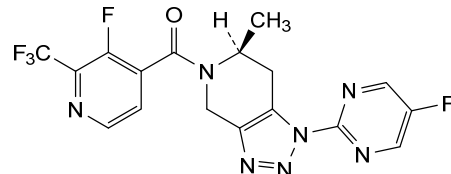
[(6S)-1-(5-fluoropyrimidin-2-yl)-6-méthyl-1,4,6,7-tétrahydro-5*H*-[1,2,3]triazolo[4,5-*c*]pyridin-5-yl][3-fluoro-2-(trifluorométhyl)pyridin-4-yl]méthanone  
*antagoniste des purinorécepteurs (P2X)*

## zanvipixant

[(6S)-1-(5-fluoropirimidin-2-il)-6-metil-1,4,6,7-tetrahdro-5*H*-[1,2,3]triazolo[4,5-*c*]piridin-5-il][3-fluoro-2-(trifluorometil)piridin-4-il]metanona  
*antagonista del purinoreceptor (P2X)*

C<sub>17</sub>H<sub>12</sub>F<sub>5</sub>N<sub>7</sub>O

2166558-11-6



**zelebrudomidum**

zelebrudomide

( $1^3RS,3^3S$ )- $1^2,1^6,2^1,2^3$ -tetraoxo- $2^1,2^3$ -dihydro-7-aza-2(2,5)-isoindola-8(2,6)-pyrazina-1(3),5(1,4),9(1)-tripiperidina-3(1,3)-pyrrolidina-6(1,4)-benzenanonaphane-8 $^3$ -carboxamide  
*protein degrader, antineoplastic*

zélébrudomide

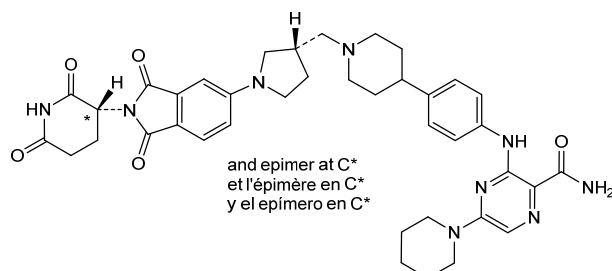
( $1^3RS,3^3S$ )- $1^2,1^6,2^1,2^3$ -tétraoxo- $2^1,2^3$ -dihydro-7-aza-2(2,5)-isoindola-8(2,6)-pyrazina-1(3),5(1,4),9(1)-tripipéridina-3(1,3)-pirolidina-6(1,4)-benzénanonafano-8 $^3$ -carboxamide  
*dégradeur de protéines, antinéoplasique*

zelebrudomida

( $1^3RS,3^3S$ )- $1^2,1^6,2^1,2^3$ -tetraoxo- $2^1,2^3$ -dihidro-7-aza-2(2,5)-isoindola-8(2,6)-pirazina-1(3),5(1,4),9(1)-tripiperidina-3(1,3)-pirolidina-6(1,4)-bencenanonafano-8 $^3$ -carboxamida  
*degradador de proteínas, antineoplásico*



2416131-46-7

**zeprumetostatum**

zeprumetostat

*N*-[(4,6-dimethyl-2-oxo-1,2-dihydropyridin-3-yl)methyl]-5-ethyl-6-[ethyl(oxan-4-yl)amino]-2-[(piperidin-1-yl)methyl]-1-benzofuran-4-carboxamide  
*enhancer of zeste homolog 2 (EZH2) inhibitor, antineoplastic*

zéprumétostat

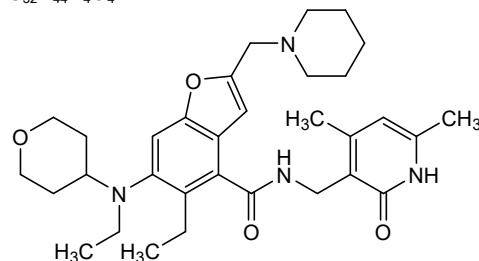
*N*-[(4,6-diméthyl-2-oxo-1,2-dihydropyridin-3-yl)méthyl]-5-éthyl-6-[éthyl(oxan-4-yl)amino]-2-[(pipéridin-1-yl)méthyl]-1-benzofurane-4-carboxamide  
*activateur de l'inhibiteur de l'homologue 2 du zeste (EZH2), antinéoplasique*

zeprumetostat

*N*-[(4,6-dimetil-2-oxo-1,2-dihidropiridin-3-il)metil]-5-etil-6-[etil(oxan-4-il)amino]-2-[(piperidin-1-il)metil]-1-benzofurano-4-carboxamida  
*activador del inhibidor de la histona-lisina metiltransferasa EZH2 (EZH2), antineoplásico*



2098545-98-1



**zertomibgenum cazparvovecum #**

zertomibgene cazparvovec

recombinant, non-replicating adeno-associated virus serotype 9 (rAAV9) vector, encoding myosin-binding protein C (MYBPC3), under control of a synthetic cardiomyocyte-specific cardiac troponin T2 (TNNT2) promoter (pCard1) and a synthetic polyadenylation signal; flanked by adeno-associated virus 2 (AAV2) inverted terminal repeats  
*gene therapy (hypertrophic cardiomyopathy)*

zertomibgène cazparvovec

vecteur recombinant, non répliquant du virus adéno-associé de sérotype 9 (rAAV9), codant la protéine C de liaison à la myosine (MYBPC3), sous le contrôle d'un promoteur synthétique de la troponine cardiaque T2 (TNNT2) spécifique aux cardiomyocytes (pCard1) et d'un signal synthétique de polyadénylation, flanqué de répétitions terminales inversées du virus adéno-associé de type 2 (AAV2)  
*thérapie génique (cardiomyopathie hypertrophique)*

zertomibgén cazparvovec

vector de virus adenoasociado del serotipo 9, recombinante (rAAV9), no replicativo, que codifica para la proteína C de unión a miosina (MYBPC3) bajo el control de un promotor sintético de troponina cardíaca T2 (TNNT2) específico de cardiomocitos (pCard1) y una señal de poliadenilación sintética; está flanqueado por las repeticiones terminales invertidas del virus adenoasociado 2 (AAV2)  
*terapia génica (cardiomiopatía hipertrófica)*

2920655-43-0

**zunibergenum rocparvovecum #**

zunibergene rocparvovec

recombinant non-replicating adeno-associated virus (AAV) vector with a retina-specific capsid variant, encoding a microRNA (miRNA) targeting expression of vascular endothelial growth factor C (VEGF-C) and a codon-optimised fusion protein that consists of VEGF-binding regions derived from the extracellular domains of human VEGF receptors 1 and 2 fused to the Fc portion of human immunoglobulin G1 (the mature expressed protein is equivalent to *afibercept*), under control of a synthetic CAG promoter and the simian virus 40 polyadenylation sequence, flanked by AAV2 inverted terminal repeats. The VEGF-C targeting miRNA sequence is located within the chicken beta-actin intron of the CAG promoter  
*gene therapy (macular degeneration)*

zunibergène rocparvovec

vecteur recombinant, non répliquant du virus adéno-associé (AAV) portant une variante de la capsidé spécifique de la rétine, codant un micro-ARN (miARN) ciblant l'expression du facteur de croissance de l'endothélium vasculaire C (VEGF-C) et une protéine de fusion optimisée par codon, composée des régions de liaison au VEGF dérivées des domaines extracellulaires des récepteurs VEGF-1 et VEGF-2

humains, fusionnées à la partie Fc de l'immunoglobuline G1 humaine (la protéine mature exprimée est équivalente à l'*afibbercept*), sous contrôle d'un promoteur CAG synthétique et de la séquence de polyadénylation du virus simien 40 (SV40), flanquée de répétitions terminales inversées AAV2. La séquence de miARN ciblant le VEGF-C se trouve dans l'intron bêta-actine de poulet du promoteur CAG

*thérapie génique (dégénérescence maculaire)*

zunibergén rocparvovec

vector de virus adenoasociado (AAV), recombinante, no replicativo, con una cápsida variante específica de retina, que codifica para un microARN (miARN) dirigido a la expresión del factor C de crecimiento del endotelio vascular (VEGF-C) y una proteína de fusión, con codones optimizados, que consiste en regiones de unión al factor de crecimiento del endotelio vascular (VEGF) derivadas de los dominios extracelulares de los receptores 1 y 2 del VEGF humano fusionadas a la porción Fc de la IgG1 humana (la proteína madura expresada es equivalente a *afibbercept*), bajo el control de un promotor CAG sintético y la señal de poliadenilación del virus de simio 40, flanqueado por las repeticiones terminales invertidas del AAV2. La secuencia del micro-ARN (miARN) dirigido a VEGF-C está localizada en el intrón de la beta actina de pollo del promotor CAG

*terapia génica (degeneración macular)*

2856381-73-0

# Electronic structure available on MedNet: <https://extranet.who.int/soinn/>

# Structure électronique disponible sur MedNet: <https://extranet.who.int/soinn/>

# Estructura electrónica disponible en MedNet: <https://extranet.who.int/soinn/>

**Proposed International Nonproprietary Names: List 131 –COVID-19 (special edition)**

Comments on, or formal objections to, the proposed names may be forwarded by any person to the INN Programme of the World Health Organization within four months of the date of their publication in *WHO Drug Information*, i.e., for **List 131 of Proposed INN not later than 11 December 2024**.  
**Publication date:** 12.08.2024

**Dénominations communes internationales proposées: Liste 131 - COVID-19 (édition spéciale)**

Des observations ou des objections formelles à l'égard des dénominations proposées peuvent être adressées par toute personne au Programme des Dénominations communes internationales de l'Organisation mondiale de la Santé dans un délai de quatre mois à compter de la date de leur publication dans *WHO Drug Information*, c'est à dire pour la **Liste 131 de DCI Proposées le 11 décembre 2024 au plus tard**. **Date de publication :** 12.08.2024

**Denominaciones Comunes Internacionales Propuestas: Lista 131 - COVID-19 (edición especial)**

Cualquier persona puede dirigir observaciones u objeciones respecto de las denominaciones propuestas, al Programa de Comunes Internacionales de la Organización Mundial de la Salud, en un plazo de cuatro meses, contados desde la fecha de su publicación en *WHO Drug Information*, es decir, para la **Lista 131 de DCI Propuestas el 11 de Diciembre de 2024 a más tardar**.

**Fecha de publicación:** 12.08.2024

<i>Proposed INN (Latin, English, French, Spanish)</i>	<i>Chemical name or description: Action and use: Molecular formula, Chemical Abstracts Service (CAS) registry number: Graphic formula</i>
<i>DCI Proposée</i>	<i>Nom chimique ou description: Propriétés et indications: Formule brute, Numéro dans le registre du CAS: Formule développée</i>
<i>DCI Propuesta</i>	<i>Nombre químico o descripción: Acción y uso: Fórmula molecular, Número de registro del CAS: Fórmula desarrollada</i>

**bretovameranum #**

bretovameran

messenger RNA (mRNA), 5'-capped, encoding a full-length, codon-optimised pre-fusion stabilised conformation variant (K982P and V983P) of the SARS-CoV-2 (severe acute respiratory syndrome coronavirus 2) spike (S) glycoprotein (Omicron JN.1 variant; based upon hCoV-19/Netherlands/NB-RIVM-135749/2023; GISAID: EPI\_ISL\_18701853), flanked by 5' and 3' untranslated regions and a 3' polyadenylation (polyA) tail; contains *N*<sup>1</sup>-methylpseudouridine instead of uridine (*all-U>m<sup>1</sup>Ψ*)  
*immunological agent for active immunization (anti-SARS-CoV-2)*

brétovaméran

ARN messager (ARNm), coiffé en 5', codant une variante de conformation stabilisée de préfusion, de longueur complète, optimisée par codon (K982P et V983P) de la glycoprotéine du spicule (S) du SRAS-CoV-2 (coronavirus 2 du syndrome respiratoire aigu sévère) (variant Omicron JN.1; basé sur hCov-19/Pays-Bas/NB-RIVM-135749/2023; GISAID: EPI\_ISL\_18701853), flanqué en 5' et 3' de régions non traduites et, d'une queue de polyadénylation (polyA) en 3'; contient de la *N*<sup>1</sup>-methylpseudouridine en lieu de l'uridine (*tout-U>m<sup>1</sup>Ψ*)  
*agent immunologique pour immunisation active (anti-SRAS-CoV-2)*

bretovamerán ARN mensajero (ARNm), protegido en 5', que codifica, con codones optimizados, para la secuencia completa de una variante estabilizada en conformación pre-fusión (K982P y V983P) de la glicoproteína de la espícula (S) del SRAS-CoV-2 (coronavirus 2 del síndrome respiratorio agudo severo) (variante Omicron JN.1; basada en hCoV-19/Netherlands/NB-RIVM-135749/2023; GISAID: EPI\_ISL\_18701853), flanqueada por regiones sin traducir 5' y 3' y una cola de poliadenilación (poliA) en 3'; contiene N<sup>1</sup>-metilpseudouridina en lugar de uridina (*todo-U>m<sup>1</sup>Ψ*)  
*agente inmunológico para inmunización activa (anti-SRAS-CoV-2)*

3026600-00-7

**damlecovateinum**

damlecovatein

severe acute respiratory syndrome coronavirus 2 (SARS-CoV-2), omicron lineage XBB.1.16 (Gisaid: EPI\_ISL\_17619088) spike (S) glycoprotein receptor binding domain (RBD) fragment (302-520, 1-219 in the current sequence), variant (K<sup>520</sup>>G<sup>219</sup>), fused to severe acute respiratory syndrome coronavirus 2 (SARS-CoV-2), omicron lineage XBB.1.16 spike (S) glycoprotein receptor binding domain (RBD) fragment (302-520, 220-438 in the current sequence), single chain homodimer, produced in Chinese hamster ovary (CHO) cells, cell line CHO-K1, glycoform alfa  
*immunological agent for active immunization (anti-SARS-CoV-2)*

## damlécovatéine

fragment du domaine de liaison au récepteur (RBD) de la glicoprotéine du spicule (S) du coronavirus 2 du syndrome respiratoire aigu sévère (SRAS-CoV-2), lignée omicron XBB.1.16 (Gisaid: EPI\_ISL\_17619088) (302-520, 1-219 dans la séquence en cours), variant (K<sup>520</sup>>G<sup>219</sup>), fusionné au fragment du domaine de liaison au récepteur de la glicoprotéine du spicule (S) du coronavirus 2 du syndrome respiratoire aigu sévère (SRAS-CoV-2), lignée omicron XBB.1.16 (302-520, 220-438 dans la séquence en cours), homodimère monocaténaire, produit dans des cellules ovarianes de hamster chinois (CHO), lignée cellulaire CHO-K1 glycoforme alfa  
*agent immunologique d'immunisation active (anti-SRAS-CoV-2)*

## damlecovateina

fragmento del dominio de unión al receptor (RBD) de la glicoproteína de espícula (S) del coronavirus 2 del síndrome respiratorio agudo severo (SRAS-CoV-2), linaje ómicron XBB.1.16 (Gisaid: EPI\_ISL\_17619088) (302-520, 1-219 en la secuencia actual), variante (K<sup>520</sup>>G<sup>219</sup>), fusionado al fragmento del dominio de unión al receptor (RBD) de la glicoproteína de espícula (S) del coronavirus 2 del síndrome respiratorio agudo severo (SRAS-CoV-2), linaje ómicron XBB.1.16 (302-520, 220-438 en la secuencia actual), homodímero de cadena única, producido en células ováricas de hámster Chino (CHO), línea celular CHO-K1, glicoforma alfa  
*agente inmunológico para inmunización activa (anti-SRAS-CoV-2)*

3020658-23-2

Sequence / Séquence / Secuencia  
 RQVQPTESIVR FPNITNLCPF HEVFVNATTFA SVYAWNKRRI SNCVADYSVI 50  
 YNFAPFFAfk CYGVSPPTKLM DLCLFTNVYAD SFVIRGNEVS QTAPGOTGNI 100  
 ADNYKLPDD FTGCVIAWNS NKLDSPKPSGN NYLYRLFRK SKLKPFRDI 150  
 STEIYQAGNR PCNGVAGPNC YSPLQSYGFR PTYGVGHQPY RVVVLSEELL 200  
 HAPATVCGPk KSTNLVKNGR VQPTESIVRF PNITNLCPFH EVFNATTFAS 250  
 VYAWNKRIS NCVADYSVI NFAPFFAFKC YGVSPPTKLND LCFTNVYADS 300  
 FVIRGNEVSQ IAPGOTGNIA DYNYKLPDD TGCVIAWNSN KLDSKPGNY 350  
 NYLYRLFRKS KLKPFRDIS TEIYQAGNRP CNGVAGPNCY SPLQSYGFRP 400  
 TYGVGHQPYR VVVLSEELLH APATVCGPKK STNLVKNK 438

Mutation / Mutation / Mutación  
 K<sup>520</sup>>G<sup>219</sup>

#### Post-translational modifications

Disulfide bridges location / Position des ponts disulfure / Posiciones de los puentes disulfuro  
 Intra chain: 18-43, 73-207, 61-114, 162-170, 237-262, 280-333, 292-426, 381-389

N-glycosylation sites / Sites de N-glycosylation / Posiciones de N-glicosilación  
 N13, N25, N232, N244

O-glycosylation sites / Sites de O-glycosylation / Posiciones de O-glicosilación  
 T5, T224

C-terminal lysine clipping / Coupure de la lysine C-terminale / Recorte de lisina C-terminal  
 438

### Ionpovameranum #

Ionpovameran

self-amplifying messenger RNA (mRNA), 5'-capped, encoding codon-optimised Venezuelan equine encephalitis virus (VEEV) RNA-dependent RNA polymerase (VEEV proteins nsP1, nsP2, nsP3 and nsP4) and a full-length codon-optimised pre-fusion stabilised conformation variant (K982P and V983P) of the SARS-CoV-2 (severe acute respiratory syndrome coronavirus 2) spike (S) glycoprotein XBB.1.5 variant (derived from GenBank ID: UZG29433.1) containing furin cleavage-inactivating mutations (R678G, R679S and R681S), flanked by 5' and 3' untranslated regions and a 3' polyadenylation (polyA) tail; generation of capped S glycoprotein mRNA is under control of a VEEV subgenomic promoter  
*immunological agent for active immunization (anti-SARS-CoV-2)*

Ionpovaméran

ARN messager (ARNm) auto-amplifiant, avec une coiffe en 5', codant l'ARN polymérase dépendante de l'ARN du virus de l'encéphalite équine vénézuélienne (VEEV) optimisé par codon (protéines nsP1, nsP2, nsP3 et nsP4 de VEEV) et une variante de conformation stabilisée de préfusion (K982P et V983P), de séquence complète, optimisée par codon, de la glycoprotéine du spicule (S) du SRAS-CoV-2 (coronavirus 2 du syndrome respiratoire aigu sévère) variant XBB.1.5 (dérivé de la base de données GenBank ID: UZG29433.1), contenant des mutations inactivant le clivage par la furine (R678G, R679S et R681S), flanqué en 5' et 3' par des régions non traduites et une queue de polyadénylation (polyA) en 3'; la génération de l'ARNm de la glycoprotéine S coiffée est sous le contrôle du promoteur subgénomique de VEEV  
*agent immunologique d'immunisation active (anti-SRAS-CoV-2)*

lonpovamerán

ARN mensajero (ARNm) auto amplificante, protegido en 5', que codifica, con codones optimizados, para una ARN polimerasa dependiente de ARN del virus de la encefalitis equina venezolana (VEEV) (proteínas nsP1, nsP2, nsP3 y nsP4 de VEEV) y para una secuencia completa, con codones optimizados, de una variante estabilizada en conformación pre-fusión (K982P y V983P) de la glicoproteína de la espícula (S) del SRAS-CoV-2 (coronavirus 2 del síndrome respiratorio agudo severo) variante XBB.1.5 (derivada de GenBank ID: UZG29433.1) que contiene mutaciones inactivantes de la rotura por furina (R678G, R679S y R681S), flanqueado por regiones sin traducir 5' y 3' y una cola de poliadenilación (poliA) en 3'; la generación del ARNm protegido de la glicoproteína S está bajo el control del promotor subgenómico de VEEV  
*agente inmunológico para inmunización activa (anti-SRAS-CoV-2)*

2972476-18-7

**pegevongitidum**

pegevongitide

$N^{2,1}\{-3-[2-\{[\alpha-(3-[\alpha-(2-\{[3-(L-histidyl-L-histidyl-L-histidyl-L-arginyl-L-histidyl-L-seryl-L-phenylalanin-N^{2,1}-yl)-3-$   
 $\text{oxopropyl}sulfanyl\}acetamido]poly(oxyethylene)-\omega-yl]-2,2\text{-bis}[\{\alpha-(2-$   
 $\{[3-(L-histidyl-L-histidyl-L-histidyl-L-arginyl-L-histidyl-L-seryl-L-phenylalanin-N^{2,1}-yl)-3-$   
 $\text{oxopropyl}sulfanyl\}acetamido]poly(oxyethylene)-\omega-$   
 $\text{yil}]\text{methyl}]\text{propyl}]poly(oxyethylene)-\omega-yl]\text{amino}\}-2-$   
 $\text{oxoethyl}sulfanyl\}propanoyl]-L-histidyl-L-histidyl-L-histidyl-L-arginyl-$   
 $L-histidyl-L-seryl-L-phenylalanine$   
*angiopoietin-1 receptor agonist*

pégevongitide

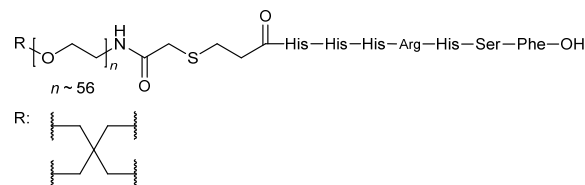
$N^{2,1}\{-3-[2-\{[\alpha-(3-[\alpha-(2-\{[3-(L-histidyl-L-histidyl-L-histidyl-L-arginyl-L-histidyl-L-séryl-L-phénylalanin-N^{2,1}-yl)-3-$   
 $\text{oxopropyl}sulfanyl\}acétamido]poly(oxyéthylène)-\omega-yl]-2,2\text{-bis}[\{\alpha-(2-$   
 $\{[3-(L-histidyl-L-histidyl-L-histidyl-L-arginyl-L-histidyl-L-séryl-L-phénylalanin-N^{2,1}-yl)-3-$   
 $\text{oxopropyl}sulfanyl\}acétamido]poly(oxyéthylène)-\omega-$   
 $\text{yil}]\text{méthyl}]\text{propyl}]poly(oxyéthylène)-\omega-yl]\text{amino}\}-2-$   
 $\text{oxoéthyl}sulfanyl\}propanoyl]-L-histidyl-L-histidyl-L-histidyl-L-arginyl-$   
 $L-histidyl-L-séryl-L-phénylalanine$   
*agoniste du récepteur de l'angiopoïétine-1*

pegevongitida

$N^{2,1}\{-3-[2-\{[\alpha-(3-[\alpha-(2-\{[3-(L-histidil-L-histidil-L-histidil-L-arginil-L-histidil-L-seril-L-fenilalanin-N^{2,1}-il)-3-$   
 $\text{oxopropil}sulfanil\}acetamido]poly(oxietileno)-\omega-il]-2,2\text{-bis}[\{\alpha-(2-\{[3-(L-histidil-L-histidil-L-histidil-L-arginil-L-histidil-L-seril-L-fenilalanin-N^{2,1}-il)-3-$   
 $\text{oxopropil}sulfanil\}acetamido]poly(oxietileno)-\omega-$   
 $\text{il}]\text{methyl}]\text{propil}]poly(oxietileno)-\omega- il]\text{amino}\}-2-$   
 $\text{oxoetil}sulfanil\}propanoil]-L-histidil-L-histidil-L-histidil-L-arginil-L-histidil-L-seril-L-fenilalanina$   
*agonista del receptor de la angiopoyetina-1*

 $C_{201}H_{272}N_{79}O_{48}S_4(C_2H_4O)_{4n}$ 

2988012-71-9



**Names for chemical modifications of INN (substituent groups, counterions, adduct partners, etc.):**

Many pharmaceutical substances for which an International Nonproprietary Name (INN) has been established are used as modified derivatives (salts, esters, protein-drug conjugates, solvates, etc.). The chemical modification (including counterions) involved may be of complex nature and it is then inconvenient to use its systematic chemical name. Consequently, shorter nonproprietary names for such modifications have been devised, and these are recommended for creating modified International Nonproprietary Names (INNM).

Dénominations applicables aux modifications chimiques des DCI (groupes substituants, contre-ions, adduits, etc.) :

Certaines substances pour lesquelles une dénomination commune internationale proposée a été établie sont parfois utilisées comme dérivés modifiés (sels, esters, médicaments conjugués à des protéines, produits de solvatation, etc.). Les modifications chimiques (incluant les contre-ions) sont alors quelques fois si complexes qu'il est malcommode de les désigner conformément à la nomenclature chimique systématique. Des dénominations communes abrégées ont donc été formées ou choisies pour certaines d'entre elles et il est suggéré de les employer pour créer les dénominations communes internationales modifiées (DCIM).

**Denominaciones aplicables a modificaciones químicas de las DCI (grupos sustituyentes, contraiones, aductos, etc.):**

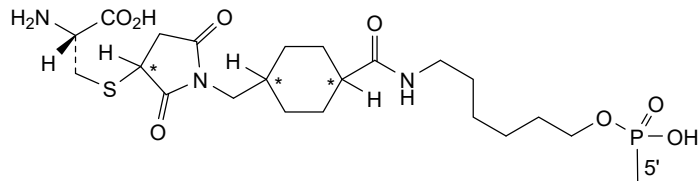
Muchas sustancias farmacéuticas para las cuales hay establecidas una denominación común internacional (DCI) pueden usarse como derivados modificados (sales, ésteres, medicamentos conjugados con proteínas, solvatos, etc.). Las modificaciones químicas (incluidos los contraíones) implicadas pueden ser de naturaleza compleja y por tanto es inapropiado utilizar su nombre químico sistemático. Como consecuencia, se han diseñado denominaciones abreviadas para estas modificaciones y se recomiendan para la creación de Denominaciones Comunes Internacionales modificadas (DCIM).

braxlosiranum

méthyluridylyl-(3'→5')-2'-O-méthylcytidylyl-(3'→5')-2'-O-méthyl-P-thioguanlyl-(3'→5')-2'-O-méthyl-P-thiouridylyl-(3'→5')-2'-O-méthyluridine duplex avec tout-P-ambo-(3RS)-1-((cis- et/ou trans-4-[(6-[2'-O-méthyl-P-thioadénylyl-(5'→3')-2'-O-méthyl-P-thioguanlyl-(5'→3')-2'-O-méthylguanylyl-(5'→3')-2'-O-méthyluridylyl-(5'→3')-2'-O-méthyluridylyl-(5'→3')-2'-O-méthylcytidylyl-(5'→3')-2'-O-méthyluridylyl-(5'→3')-2'-O-méthylguanylyl-(5'→3')-2'-O-méthylguanylyl-(5'→3')-2'-O-méthyluridylyl-(5'→3')-2'-désoxy-2'-fluoroadénlyl-(5'→3')-2'-désoxy-2'-fluoroguanlyl-(5'→3')-2'-désoxy-2'-fluoroguanlyl-(5'→3')-2'-désoxy-2'-fluoroadénlyl-(5'→3')-2'-O-méthylguanylyl-(5'→3')-2'-O-méthylguanylyl-(5'→3')-2'-O-méthyl-P-thioadénlyl-(5'→3')-2'-O-méthyl-P-thioguanlyl-(5'→3')-2'-O-méthyl-5'-cytidylyl]oxy}hexyl)carbamoyl)cyclohexyl)méthyl)-2,5-dioxopyrrolidin-3-yile

braxlosirán

todo-P-ambo-2'-O-metil-P-touridilil-(3'→5')-2'-désoxi-2'-fluoro-P-tiocitidilil-(3'→5')-2'-O-metilcitidilil-(3'→5')-2'-O-metiladenilil-(3'→5')-2'-O-metiladenilil-(3'→5')-2'-desoxi-2'-fluoroadenilil-(3'→5')-2'-O-metilcitidilil-(3'→5')-2'-O-metilguanilil-(3'→5')-2'-O-metiluridilil-(3'→5')-2'-O-metilcitidilil-(3'→5')-2'-O-metiluridilil-(3'→5')-2'-desoxi-2'-fluorocitidilil-(3'→5')-2'-O-metilcitidilil-(3'→5')-2'-desoxi-2'-fluoroguanilil-(3'→5')-2'-O-metiluridilil-(3'→5')-2'-O-metilcitidilil-(3'→5')-2'-O-metil-P-tiouridilil-(3'→5')-2'-O-metiluridilina dúplex con todo-P-ambo-(3RS)-1-((cis- y/o trans-4-[(6-[2'-O-metil-P-tioadenilil-(5'→3')-2'-O-metil-P-tioguanilil-(5'→3')-2'-O-metilguanilil-(5'→3')-2'-O-metiluridilil-(5'→3')-2'-O-metiluridilil-(5'→3')-2'-O-metilguanilil-(5'→3')-2'-O-metilcitidilil-(5'→3')-2'-O-metiluridilil-(5'→3')-2'-O-metilguanilil-(5'→3')-2'-desoxi-2'-fluoroadenilil-(5'→3')-2'-désoxi-2'-fluoroguanilil-(5'→3')-2'-désoxi-2'-fluoroadenilil-(5'→3')-2'-O-metilguanilil-(5'→3')-2'-O-metilguanilil-(5'→3')-2'-O-metilcitidilil-(5'→3')-2'-O-metil-P-tioadenilil-(5'→3')-2'-O-metil-P-tioguanilil-(5'→3')-2'-O-metil-5'-cytidilil]oxy}hexyl)carbamoyl)ciclohexil)méthil)-2,5-dioxopirrolidin-3-ilo



(5'-3') A = G = G - U - U - G - C - U - C - A - G - A - G - G - C - A - G = C  
 . . . . . . . . . . . . . . .  
 (3'-5') U = C = C - A - A - A - C - G - A - G - U - C - U - C - G - U - C - G = U = U

N : A,C,G,U

N' : 2'-O-methyl-N / 2'-O-méthyl-N / 2'-O-metil-N

N̄ : 2'-deoxy-2'-fluoro-N / 2'-désoxy-2'-fluoro-N / 2'-desoxi-2'-fluoro-N

- : -PO(OH)- = : -PO(SH)-

**caprilcerbas**

caprilcerbate

[(5-[[1,3-bis(octanoyloxy)propan-2-yl]oxy]-3-methyl-5-oxopentanoyl)oxy]methyl carbonate (ester)

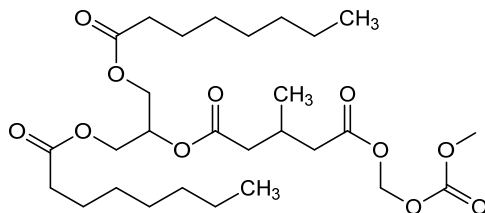
caprilcerbate

carbonate de [(5-[[1,3-bis(octanoyloxy)propan-2-yl]oxy]-3-méthyl-5-oxopentanoyl)oxy]méthyle (ester)

caprilcerbato

carbonato de [(5-[[1,3-bis(octanoiloxy)propan-2-yl]oxy]-3-metil-5-oxopentanoyl)oxy]metilo (ester)

C<sub>27</sub>H<sub>45</sub>O<sub>11</sub>

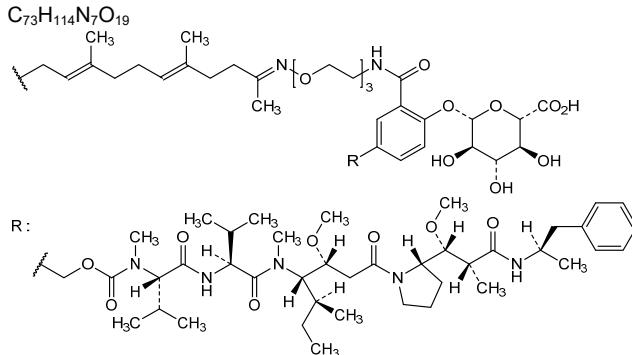


**entudotinum**  
entudotin

(12E,16E,20E)-1-{5-[(5S,8S,11S,12R)-11-[(2S)-butan-2-yl]-12-(2-((2S)-2-[(1R,2R)-1-methoxy-2-methyl-3-oxo-3-[(2R)-1-phenylpropan-2-yl]amino)propyl]pyrrolidin-1-yl]-2-oxoethyl)-4,10-dimethyl-3,6,9-trioxa-5,8-di(propan-2-yl)-2,13-dioxa-4,7,10-triazatetradecan-1-yl]-2-( $\beta$ -D-glucopyranuronosyloxy)phenyl]-13,16,20-trimethyl-1-oxo-5,8,11-trioxa-2,12-diazadocosa-12,16,20-trien-22-yl

entudotine      (12E,16E,20E)-1-{5-[(5S,8S,11S,12R)-11-[(2S)-butan-2-yl]-12-(2-((2S)-2-[(1R,2R)-1-méthoxy-2-méthyl-3-oxo-3-[(2R)-1-phénylpropan-2-yl]amino)propyl]pyrrolidin-1-yl]-2-oxoéthyl)-4,10-diméthyl-3,6,9-trioxa-5,8-di(propan-2-yl)-2,13-dioxa-4,7,10-triazatétradécan-1-yl]-2-( $\beta$ -D-glucopyranuronosyloxy)phényl]-13,16,20-triméthyl-1-oxo-5,8,11-trioxa-2,12-diazadocosa-12,16,20-trién-22-yle

entudotina      (12E,16E,20E)-1-{5-[(5S,8S,11S,12R)-11-[(2S)-butan-2-il]-12-(2-((2S)-2-[(1R,2R)-2-métil-1-metoxi-3-oxo-3-[(2R)-1-fenilpropan-2-il]amino)propil]pirrolidin-1-il]-2-oxoetil)-4,10-dimetil-3,6,9-trioxa-5,8-di(propan-2-il)-2,13-dioxa-4,7,10-triazatetradecan-1-il]-2-( $\beta$ -D-glucopiranuronosiloxi)fenil]-13,16,20-trimétil-1-oxo-5,8,11-trioxa-2,12-diazadocosa-12,16,20-trien-22-ilo}



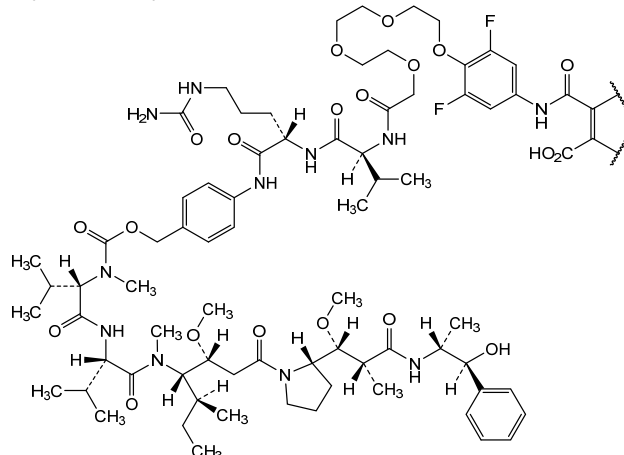
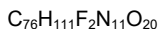
**furvedotinum**  
furvedotin

(1Z)-3-{{(2S,3R,6R,7R,8<sup>2</sup>S,11R,12S,15S,18S,26S,29S)-12-[(2S)-butan-2-yl]-26-[3-(carbamoylamino)propyl]-43<sup>2</sup>,43<sup>6</sup>-difluoro-2-hydroxy-7,11-dimethoxy-3,6,13,19-tetramethyl-5,9,14,17,20,25,28,31-octaoxo-15,18,29-tri(propan-2-yl)-21,33,36,39,42-pentaoxa-4,13,16,19,24,27,30-heptaaza-8(2,1)-pyrrolidina-1,43(1),23(1,4)-tribenzenatritetracontaphan-43<sup>4</sup>-yl]amino}-1-carboxy-3-oxoprop-1-ene-1,2-diyl

fuvédotine      (1Z)-3-{{(2S,3R,6R,7R,8<sup>2</sup>S,11R,12S,15S,18S,26S,29S)-12-[(2S)-butan-2-yl]-26-[3-(carbamoylamino)propyl]-43<sup>2</sup>,43<sup>6</sup>-difluoro-2-hydroxy-7,11-diméthoxy-3,6,13,19-tétraméthyl-5,9,14,17,20,25,28,31-octaoxo-15,18,29-tri(propan-2-yl)-21,33,36,39,42-pentaoxa-4,13,16,19,24,27,30-heptaaza-8(2,1)-pyrrolidina-1,43(1),23(1,4)-tribenzénatritétracontaphan-43<sup>4</sup>-yl]amino}-1-carboxy-3-oxoprop-1-ène-1,2-diyle

## fuvedotina

(1Z)-3-{[(2S,3R,6R,7R,8S,11R,12S,15S,18S,26S,29S)-12-[(2S)-butan-2-il]-26-[3-(carbamoolamino)propil]-43<sup>2</sup>,43<sup>6</sup>-difluoro-2-hidroxi-7,11-dimetoxi-3,6,13,19-tetrametil-5,9,14,17,20,25,28,31-octaoxo-15,18,29-tri(propan-2-il)-21,33,36,39,42-pentaoxa-4,13,16,19,24,27,30-heptaaza-8(2,1)-pirrolidina-1,43(1),23(1,4)-tribenzenatritetracontafan-43<sup>4</sup>-il]amino}-1-carboxi-3-oxoprop-1-eno-1,2-dilio

**marboxilum**

marboxil

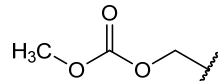
[(methoxycarbonyl)oxy]methyl

marboxil

[(méthoxycarbonyl)oxy]méthyle

marboxilo

[(metoxicarbonil)oxi]metilo

**navoxetanum**

navoxetan

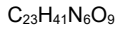
3-[2-(2-{7-(2-amino-2-oxoethyl)-4,10-bis(carboxymethyl)-1,4,7,10-tetraazacyclododecan-1-yl}acetamido)ethoxy]ethoxy]propanoyl

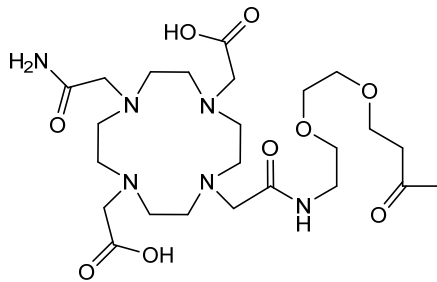
navoxétan

3-[2-(2-{7-(2-amino-2-oxoéthyl)-4,10-bis(carboxyméthyl)-1,4,7,10-tétraazacyclododécan-1-yl}acétamido)éthoxy]éthoxy]propanoyle

navoxetán

3-[2-(2-{7-(2-amino-2-oxoetil)-4,10-bis(carboximetil)-1,4,7,10-tetraazaciclododecan-1-il}acetamido)etoxi]propanoilo





**pamirtecanum**  
pamirtecan

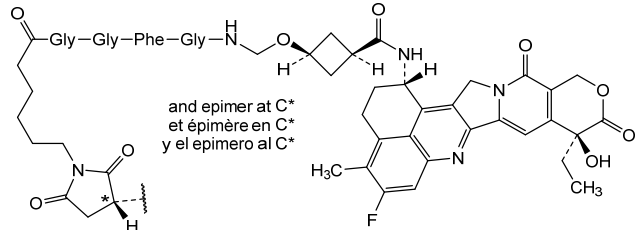
(*3RS*)-1-[(*7S*)-7-benzyl-1-{[(*1R,3R*)-3-{{[(*1S,9S*)-9-ethyl-5-fluoro-9-hydroxy-4-methyl-10,13-dioxo-2,3,9,10,13,15-hexahydro-1*H*,12*H*-benzo[*d*]pyrano[3',4':6,7]indolizino[1,2-*b*]quinolin-1-yl]carbamoyl}cyclobutyl]oxy}-3,6,9,12,15-pentaoxo-2,5,8,11,14-pentaazaicosan-20-yl]-2,5-dioxopyrrolidin-3-yl

## pamirtécan

(*3RS*)-1-[(*7S*)-7-benzyl-1-{[(*1R,3R*)-3-{{[(*1S,9S*)-9-éthyl-5-fluoro-9-hydroxy-4-méthyl-10,13-dioxo-2,3,9,10,13,15-hexahydro-1*H*,12*H*-benzo[*d*]pyrano[3',4':6,7]indolizino[1,2-*b*]quinoléin-1-yl]carbamoyl}cyclobutyl]oxy}-3,6,9,12,15-pentaoxo-2,5,8,11,14-pentaazaicosan-20-yl]-2,5-dioxopyrrolidin-3-yle

## pamirtecán

(*3RS*)-1-[(*7S*)-7-bencil-1-{[(*1R,3R*)-3-{{[(*1S,9S*)-9-etyl-5-fluoro-9-hidroxi-4-metil-10,13-dioxo-2,3,9,10,13,15-hexahidro-1*H*,12*H*-benzo[*d*]pirano[3',4':6,7]indolizino[1,2-*b*]quinolein-1-yl]carbamoi}ciclobutil]oxi}-3,6,9,12,15-pentaoxo-2,5,8,11,14-pentaazaicosan-20-il]-2,5-dioxopirrolidin-3-ilo



**rezetecanum**  
rezetecan

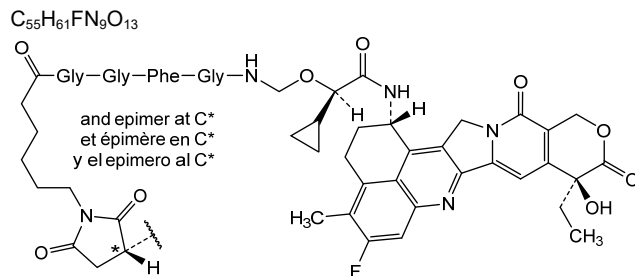
(*3RS*)-1-[(*2R,10S*)-10-benzyl-2-cyclopropyl-1-{{[(*1S,9S*)-9-ethyl-5-fluoro-9-hydroxy-4-methyl-10,13-dioxo-2,3,9,10,13,15-hexahydro-1*H*,12*H*-benzo[*d*]pyrano[3',4':6,7]indolizino[1,2-*b*]quinolin-1-yl]amino}-1,6,9,12,15,18-hexaoxo-3-oxa-5,8,11,14,17-pentaastricosan-23-yl]-2,5-dioxopyrrolidin-3-yl

## rézétécan

(*3RS*)-1-[(*2R,10S*)-10-benzyl-2-cyclopropyl-1-{{[(*1S,9S*)-9-éthyl-5-fluoro-9-hydroxy-4-méthyl-10,13-dioxo-2,3,9,10,13,15-hexahydro-1*H*,12*H*-benzo[*d*]pirano[3',4':6,7]indolizino[1,2-*b*]quinoléin-1-yl]amino}-1,8,11,14,17,18-hexaoxo-3-oxa-5,6,9,12,15-pentaastricosan-23-yl]-2,5-dioxopyrrolidin-3-yle

## rezetecán

(*3RS*)-1-[(*2R,10S*)-10-bencil-2-ciclopropil-1-{{[(*1S,9S*)-9-etyl-5-fluoro-9-hidroxi-4-metil-10,13-dioxo-2,3,9,10,13,15-hexahidro-1*H*,12*H*-benzo[*d*]pirano[3',4':6,7]indolizino[1,2-*b*]quinolein-1-yl]amino}-1,8,11,14,17,18-hexaoxo-3-oxa-5,6,9,12,15-pentaastricosan-23-ilo]-2,5-dioxopirrolidin-3-ilo

**tismanitinum**

tismanitin

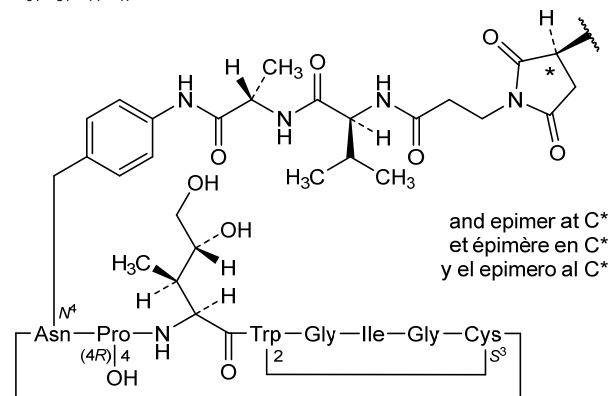
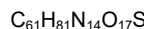
(*3RS*)-1-(3-[(*2S*)-3-methyl-1-oxo-1-[(*2S*)-1-oxo-1-{4-[(1,8-anhydro: $C^{2.4},S^{3.8}$ -cyclo[*1*- $\alpha$ -aspartyl-(4*R*)-4-hydroxy-L-prolyl-(4*R*)-4,5-dihydroxy-L-isoleucyl-L-tryptophylglycyl-L-isoleucylglycyl-L-cystein]-C<sup>4.1</sup>-yl]amino)methyl]anilino}propan-2-yl]amino]butan-2-yl]amino}-3-oxopropyl)-2,5-dioxopyrrolidin-3-yl

## tismanitine

(*3RS*)-1-(3-[(*2S*)-3-méthyl-1-oxo-1-[(*2S*)-1-oxo-1-{4-[(1,8-anhydro: $C^{2.4},S^{3.8}$ -cyclo[*1*- $\alpha$ -aspartyl-(4*R*)-4-hydroxy-L-prolyl-(4*R*)-4,5-dihydroxy-L-isoleucyl-L-tryptophylglycyl-L-isoleucylglycyl-L-cystein]-C<sup>4.1</sup>-yl]amino)méthyl]anilino}propan-2-yl]amino]butan-2-yl]amino}-3-oxopropyl)-2,5-dioxopyrrolidin-3-yle

## tismanitina

(*3RS*)-1-(3-[(*2S*)-3-metil-1-oxo-1-[(*2S*)-1-oxo-1-{4-[(1,8-anhidro: $C^{2.4},S^{3.8}$ -ciclo[*1*- $\alpha$ -aspartil-(4*R*)-4-hidroxil-proli-(4*R*)-4,5-dihidroxi-L-isoleucil-L-triptofilglicil-L-isoleucilglicil-L-cistein]-C<sup>4.1</sup>-il]amino)metil]anilino}propan-2-il]amino]butan-2-il]amino}-3-oxopropil)-2,5-dioxopirrolidin-3-il

**vixocianinum**

vixocianine

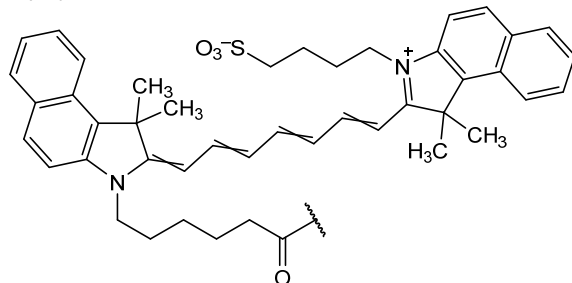
6-[(2Ξ)-2-{(2Ξ,4Ξ,6Ξ)-7-[1,1-dimethyl-3-(4-sulfonatobutyl)-1*H*-benzo[e]indol-3-iun-2-yl]hepta-2,4,6-trien-1-ylidene}-1,1-dimethyl-1,2-dihydro-3*H*-benzo[e]indol-3-yl]hexanoyl

## vixocianine

6-[(2Ξ)-2-{(2Ξ,4Ξ,6Ξ)-7-[1,1-diméthyl-3-(4-sulfonatobutyl)-1*H*-benzo[e]indol-3-iun-2-yl]hepta-2,4,6-trién-1-ylidène}-1,1-diméthyl-1,2-dihydro-3*H*-benzo[e]indol-3-yl]hexanoyle

vixocianina

6-[{(2 $\Xi$ )-2-((2 $\Xi$ ,4 $\Xi$ ,6 $\Xi$ )-7-[1,1-dimetil-3-(4-sulfonatobutil)-1H-benzo[e]indol-3- $\text{io}$ -2-il]hepta-2,4,6-trien-1-ilideno}-1,1-dimetil-1,2-dihidro-3H-benzo[e]indol-3-il]hexanoilo

 $C_{45}H_{49}N_2O_4S$ **zapixetanum**

zapixetan

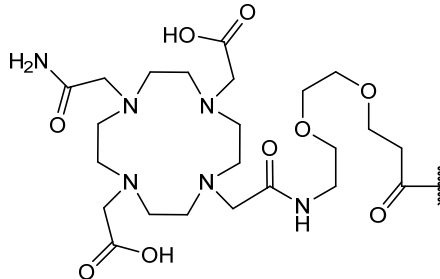
3-[2-(2-{[7-(2-amino-2-oxoethyl)-4,10-bis(carboxymethyl)-1,4,7,10-tetraazacyclododecan-1-yl]acetamido}ethoxy)ethoxy]propanoyl

zapixétan

3-[2-(2-{[7-(2-amino-2-oxoéthyl)-4,10-bis(carboxyméthyl)-1,4,7,10-tétraazacyclododécan-1-yl]acétamido}éthoxy)éthoxy]propanoyle

zapixetán

3-[2-(2-{[7-(2-amino-2-oxoetil)-4,10-bis(carboximetil)-1,4,7,10-tetraazaciclododecan-1-il]acetamido}etoxi)etoxi]propanoilo

 $C_{23}H_{41}N_6O_9$ **zotadirsenum**

zotadirsen

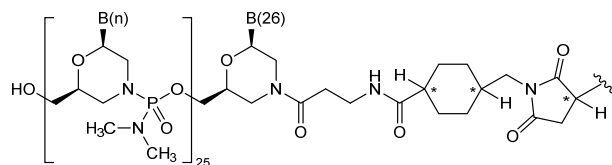
*all-P-ambo-(3RS)-1-({cis- and/or trans-4-[(3-[[2',3'-azanediyil-P,2',3'-trideoxy-P-(dimethylamino)-2',3'-seco](2'-N→5')(C-G-C-C-G-C-C-A-m<sup>5</sup>U-m<sup>5</sup>U-m<sup>5</sup>U-C-m<sup>5</sup>U-C-A-A-C-A-G-A-m<sup>5</sup>U-C-m<sup>5</sup>U-G-m<sup>5</sup>U-C)-N<sup>2',26</sup>-yl]-3-oxopropyl)carbamoyl]cyclohexyl)methyl)-2,5-dioxopyrrolidin-3-yl*

zotadirsen

*tout-P-ambo-(3RS)-1-({cis- et/ou trans-4-[(3-[[2',3'-azanediyil-P,2',3'-tridésoxy-P-(diméthylamino)-2',3'-séco](2'-N→5')(C-G-C-C-G-C-C-A-m<sup>5</sup>U-m<sup>5</sup>U-m<sup>5</sup>U-C-m<sup>5</sup>U-C-A-A-C-A-G-A-m<sup>5</sup>U-C-m<sup>5</sup>U-G-m<sup>5</sup>U-C)-N<sup>2',26</sup>-yl]-3-oxopropyl)carbamoyl]cyclohexyl)méthyl)-2,5-dioxopyrrolidin-3-yle*

zotadirsén

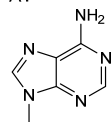
*todo-P-ambo-(3RS)-1-({cis- y/o trans-4-[(3-[[2',3'-azanediyil-P,2',3'-tridesoxi-P-(dimetilamino)-2',3'-seco](2'-N→5')(C-G-C-C-G-C-C-A-m<sup>5</sup>U-m<sup>5</sup>U-m<sup>5</sup>U-C-A-A-C-A-G-A-m<sup>5</sup>U-C-m<sup>5</sup>U-G-m<sup>5</sup>U-C)-N<sup>2',26</sup>-il]-3-oxopropil)carbamoiil]ciclohexil)metyl)-2,5-dioxopirrolidin-3-ilo*



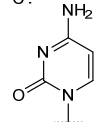
Nucleobase sequence / Séquence nucléobases / Secuencia nucleobases

B(1-26) : C-G-C-C-G-C-C-A-m<sup>5</sup>U-m<sup>5</sup>U-C-m<sup>5</sup>U-C-A-A-C-A-G-A-m<sup>5</sup>U-C-m<sup>5</sup>U-G-m<sup>5</sup>U-C

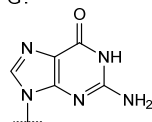
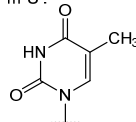
A:



C:



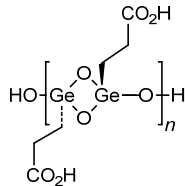
G:

m<sup>5</sup>U:

**AMENDMENTS TO PREVIOUS LISTS**  
**MODIFICATIONS APPORTÉES AUX LISTES ANTÉRIEURES**  
**MODIFICACIONES A LAS LISTAS ANTERIORES**

**Proposed International Nonproprietary Names (Prop. INN): List 65****Dénominations communes internationales proposées (DCI Prop.): Liste 65****Denominaciones Comunes Internacionales Propuestas (DCI Prop.): Lista 65****(WHO Drug Information, Vol. 5, No. 2, 1991)**

p.16	<b>propagermanium</b> propagermanium propagermanium propagermanio	<i>replace the chemical name and structure by the following ones</i> <i>remplacer le nom chimique et la structure par les suivants</i> <i>sustitúyase el nombre químico y la estructura por los siguientes</i>
		$\alpha$ -hydroxy- $\omega$ -hydropoly{[trans-2,4-bis(2-carboxyethyl)-1,3,2,4-dioxadigermetane-2,4-diyl]oxy}
		$\alpha$ -hydroxy- $\omega$ -hydropoly{[trans-2,4-bis(2-carboxyéthyl)-1,3,2,4-dioxadigermétane-2,4-diyl]oxy}
		$\alpha$ -hidroxi- $\omega$ -hidropoli{[trans-2,4-bis(2-carboxietil)-1,3,2,4-dioxadigermetano-2,4-diil]oxi}

**Proposed International Nonproprietary Names (Prop. INN): List 120****Dénominations communes internationales proposées (DCI Prop.): Liste 120****Denominaciones Comunes Internacionales Propuestas (DCI Prop.): Lista 120****(WHO Drug Information, Vol. 32, No. 4, 2018)**

p.648- 650	<b>teclistamab #</b> teclistamab téclistamab teclistamab	<i>replace the chemical name by the following one</i> <i>remplacer la description par la suivante</i> <i>sustitúyase el nombre químico por el siguiente</i>
		immunoglobulin G4-lambda, anti-[ <i>Homo sapiens</i> TNFRSF17 (TNF receptor superfamily member 17, tumor necrosis factor receptor superfamily, member 17, B cell maturation antigen, BCMA, BCM, TNFRSF13A, CD269)] and anti-[ <i>Homo sapiens</i> CD3 epsilon (CD3E, Leu-4)], monoclonal antibody, bispecific; gamma4 heavy chain anti-TNFRSF17 (1-448) [VH ( <i>Homo sapiens</i> IGHV4-39*01 (97.0%) -(IGHD) -IGHJ4*01 (100%)) [10.7.13] (1-121) - <i>Homo sapiens</i> IGHG4*01, nG4m(a) CH2 L92, G4v5 h P10, G4v4 CH2 A1.3, A1.2 (CH1 (122-219), hinge S10>P (229) (220-231), CH2 L92 (310), F1.3>A (235), L1.2>A (236) (232-341), CH3 (342-446), CHS (447-448)) (122-448)], (135-213')-disulfide with lambda light chain anti-TNFRSF17 (1'-214') [V-LAMBDA ( <i>Homo sapiens</i> IGLV3-21*02 (96.9%) -IGLJ2*01 (100.0%)) [6.3.11] (1'-108') - <i>Homo sapiens</i> IGLC2*01 (99.1%) A43>G (152) (109'-214')]; gamma4 heavy chain anti-CD3E (1"-452") [VH ( <i>Mus musculus</i> IGHV10-1*02 (89.8%) -(IGHD) -IGHJ3*01 (93.3%)/ <i>Homo sapiens</i>

IGHV3-72\*01 (88.0%) -(IGHD) -IGHJ6\*01 (90.9%) [8.10.16] (1"-125") -*Homo sapiens* IGHG4\*01, nG4m(a) CH2 L92, G4v5 h P10, G4v4 CH2 A1.3, A1.2, G4v10 CH3 F85.1, K88 (CH1 (126-223), hinge S10>P (233) (224-235), CH2 L92 (314), F1.3>A (239), L1.2>A (240) (236-345), CH3 F85.1>L (410), R88>K (414) (346-450), CHS (451-452)) (126"-452")], (139"-214")-disulfide with lambda light chain anti-CD3 (1""-215") [V-LAMBDA (*Homo sapiens* IGLV7-43\*01 (81.9%) -IGLJ3\*02 (100%)) [9.3.9] (1"-109") -*Homo sapiens* IGLC2\*01 (100%) (110""-215")]; dimer (231-227":234"-230")-bisdisulfide

immunoglobuline G4-lambda, anti-[*Homo sapiens* TNFRSF17 (membre 17 de la superfamille des récepteurs du TNF, membre 17 de la superfamille des récepteurs du facteur de nécrose tumorale, antigène de maturation de cellule B, BCMA, BCM, TNFRSF13A, CD269)] et anti-[*Homo sapiens* CD3 epsilon (CD3E, Leu-4)], anticorps monoclonal, bispécifique; chaîne lourde gamma4 anti-TNFRSF17(1-448) [VH (*Homo sapiens* IGHV4-39\*01 (97.0%) -(IGHD) -IGHJ4\*01 (100%)) [10.7.13] (1-121) -*Homo sapiens* IGHG4\*01, nG4m(a) CH2 L92, G4v5 h P10, G4v4 CH2 A1.3, A1.2 (CH1 (122-219), charnière S10>P (229) (220-231), CH2 L92 (310), F1.3>A (235), L1.2>A (236) (232-341), CH3 (342-446), CHS (447-448)) (122-448)], (135-213')-disulfure avec la chaîne légère lambda anti-TNFRSF17 (1'-214') [V-LAMBDA (*Homo sapiens* IGLV3-21\*02 (96.9%) -IGLJ2\*01 (100.0%)) [6.3.11] (1'-108") -*Homo sapiens* IGLC2\*01 (99.1%) A43>G (152) (109"-214")]; chaîne lourde gamma4 anti-CD3E (1"-452") [VH (*Mus musculus* IGHV10-1\*02 (89.8%) -(IGHD) -IGHJ3\*01 (93.3%)/*Homo sapiens* IGHV3-72\*01 (88.0%) -(IGHD) -IGHJ6\*01 (90.9%)) [8.10.16] (1"-125") -*Homo sapiens* IGHG4\*01, nG4m(a) CH2 L92, G4v5 h P10, G4v4 CH2 A1.3, A1.2, G4v10 CH3 F85.1, K88 (CH1 (126-223), charnière S10>P (233) (224-235), CH2 L92 (314), F1.3>A (239), L1.2>A (240) (236-345), CH3 F85.1>L (410), R88>K (414) (346-450), CHS (451-452)) (126"-452")], (139"-214")-disulfure avec la chaîne légère lambda anti-CD3 (1""-215") [V-LAMBDA (*Homo sapiens* IGLV7-43\*01 (81.9%) -IGLJ3\*02 (100%)) [9.3.9] (1"-109") -*Homo sapiens* IGLC2\*01 (100%) (110""-215")]; dimère (227-231":230-234")-bisdisulfure

inmunoglobulina G4-lambda, anti-[*Homo sapiens* TNFRSF17 (miembro 17 de la superfamilia de los receptores del TNF, miembro 17 de la superfamilia de los receptores del factor de necrosis tumoral, antígeno de maduración de la célula B, BCMA, BCM, TNFRSF13A, CD269)] y anti-[*Homo sapiens* CD3 epsilon (CD3E, Leu-4)], anticuerpo monoclonal, biespecífico; cadena pesada gamma4 anti-TNFRSF17(1-448) [VH (*Homo sapiens* IGHV4-39\*01 (97.0%) -(IGHD) -IGHJ4\*01 (100%)) [10.7.13] (1-121) -*Homo sapiens* IGHG4\*01, nG4m(a) CH2 L92, G4v5 h P10, G4v4 CH2 A1.3, A1.2 (CH1 (122-219), bisagra S10>P (229) (220-231), CH2 L92 (310), F1.3>A (235), L1.2>A (236) (232-341), CH3 (342-446), CHS (447-448)) (122-448)], (135-213')-disulfuro con la cadena ligera lambda anti- TNFRSF17 (1'-214') [V-LAMBDA (*Homo sapiens* IGLV3-21\*02 (96.9%) -IGLJ2\*01 (100.0%)) [6.3.11] (1'-108") -*Homo sapiens* IGLC2\*01 (99.1%) A43>G (152) (109"-214")]; cadena pesada gamma4 anti-CD3E (1"-452") [VH (*Mus musculus* IGHV10-1\*02 (89.8%) -(IGHD) -IGHJ3\*01 (93.3%)/*Homo sapiens* IGHV3-72\*01 (88.0%) -(IGHD) -IGHJ6\*01 (90.9%)) [8.10.16] (1"-125") -*Homo sapiens* IGHG4\*01, nG4m(a) CH2 L92, G4v5 h P10, G4v4 CH2 A1.3, A1.2, G4v10 CH3 F85.1,

K88 (CH1 (126-223), bisagra S10>P (233) (224-235), CH2 L92 (314), **F1.3>A** (239), L1.2>**A** (240) (236-345), CH3 F85.1>L (410), R88>K (414) (346-450), CHS (451-452)) (126"-452")], (139"-214")-disulfuro con la cadena ligera lambda anti-CD3 (1"-215") [V-LAMBDA (*Homo sapiens* IGLV7-43\*01 (81.9%) - IGLJ3\*02 (100%)) [9.3.9] (1"-109") -*Homo sapiens* IGLC2\*01 (100%) (110"-215")]; dímero (227-231":230-234")-bisdisulfuro

**Proposed International Nonproprietary Names (Prop. INN): List 126****Dénominations communes internationales proposées (DCI Prop.): Liste 126****Denominaciones Comunes Internacionales Propuestas (DCI Prop.): Lista 126****(WHO Drug Information, Vol. 35, No. 4, 2021)**p.1101- **visugromabum #**

1102 visugromab  
visugromab  
visugromab

*replace the chemical name by the following one*  
*remplacer la description par la suivante*  
*sustitúyase la descripción por la siguiente*

immunoglobulin G4-kappa, anti-[*Homo sapiens* GDF15 (growth differentiation factor 15, PLAB, MIC-1, PDF, MIC1, NAG-1, PTGFB)], monoclonal antibody; gamma4 heavy chain (1-444) [VH (*Homo sapiens* IGHV2-5\*02 (92.9%) -(IGHD) -IGHJ4\*01 (100%), CDR-IMGT [10.7.10] (26-35.53-59.98-107)) (1-118)-*Homo sapiens* IGHG4\*01, G4v5 h P10 (CH1 (119-216), hinge 1-12 S10>P (226) (217-228), CH2 (229-338), CH3 (339-443), CHS K2>del (444)) (119-444)], (132-214')-disulfide with kappa light chain (1'-214') [V-KAPPA Musmus/Homsap (*Mus musculus* IGKV6-15\*01 (82.1%) - IGKJ2\*01 (100%)/*Homo sapiens* IGKV1-9\*01 (76.8%) -IGKJ2\*01 (91.7%) Q120>G (100), CDR-IMGT [6.3.9] (27-32.50-52.89-97)) (1'-107') -*Homo sapiens* IGKC\*01 (100%), Km3 A45.1 (153), V101 (191) (108'-214')]; dimer (224-224":227-227")-bisdisulfide, produced in Chinese hamster ovary (CHO) cells, cell line CHO-K1SV lacking the glutamine synthetase (GS-KO) gene, glycoform alfa

immunoglobuline G4-kappa, anti-[*Homo sapiens* GDF15 (facteur 15 de croissance et de différenciation, PLAB, MIC-1, PDF, MIC1, NAG-1, PTGFB)], anticorps monoclonal; chaîne lourde gamma4 (1-444) [VH (*Homo sapiens* IGHV2-5\*02 (92.9%) -(IGHD) -IGHJ4\*01 (100%), CDR-IMGT [10.7.10] (26-35.53-59.98-107)) (1-118)-*Homo sapiens* IGHG4\*01, G4v5 h P10 (CH1 (119-216), charnière 1-12 S10>P (226) (217-228), CH2 (229-338), CH3 (339-443), CHS K2>del (444)) (119-444)], (132-214')-disulfure avec la chaîne légère kappa (1'-214') [V-KAPPA Musmus/Homsap (*Mus musculus* IGKV6-15\*01 (82.1%) - IGKJ2\*01 (100%)/*Homo sapiens* IGKV1-9\*01 (76.8%) -IGKJ2\*01 (91.7%) Q120>G (100), CDR-IMGT [6.3.9] (27-32.50-52.89-97)) (1'-107') -*Homo sapiens* IGKC\*01 (100%), Km3 A45.1 (153), V101 (191) (108'-214')]; dimère (224-224":227-227")-bisdisulfure, produit dans des cellules ovarianes de hamster chinois (CHO), lignée cellulaire CHO-K1SV ne présentant pas le gène de la glutamine synthétase (GS-KO), glycoforme alfa

inmunoglobulina G4-kappa, anti-[*Homo sapiens* GDF15 (factor 15 de crecimiento y de diferenciación, PLAB, MIC-1, PDF, MIC1, NAG-1, PTGFB)], anticuerpo monoclonal; cadena pesada gamma4 (1-444) [VH (*Homo sapiens* IGHV2-5\*02 (92.9%) -(IGHD) -IGHJ4\*01 (100%), CDR-IMGT [10.7.10] (26-35.53-59.98-107)) (1-118)-*Homo sapiens* IGHG4\*01, G4v5 h

P10 (CH1 (119-216), bisagra 1-12 S10>P (226) (217-228), CH2 (229-338), CH3 (339-443), CHS K2>del (444)) (119-444)], [**132-**214')-disulfuro con la cadena ligera kappa (1'-214') [V-KAPPA Musmus/Homsap (*Mus musculus*) IGKV6-15\*01 (82.1%) - IGKJ2\*01 (100%)/*Homo sapiens* IGKV1-9\*01 (76.8%) -IGKJ2\*01 (91.7%) Q120>G (100), CDR-IMGT [6.3.9] (27-32.50-52.89-97)) (1'-107') -*Homo sapiens* IGKC\*01 (100%), Km3 A45.1 (153), V101 (191) (108'-214')]; dímero (224-224":227-227")-bisdisulfuro, producido en las células ováricas de hámster chino (CHO), línea celular CHO-K1SV en ausencia del gen glutamina sintetasa (GS-KO), forma glicosilada alfa

**Proposed International Nonproprietary Names (Prop. INN): List 129**

**Dénominations communes internationales proposées (DCI Prop.): Liste 129**

**Denominaciones Comunes Internacionales Propuestas (DCI Prop.): Lista 129**

(WHO Drug Information, Vol. 37, No. 2, 2023)

p.322- 333	<b>alisvetcelum</b> alisvetcel alisvetcel alisvetcel	<i>replace the description by the following one</i> <i>remplacer la description par la suivante</i> <i>sustitúyase la descripción por la siguiente</i>
	EN, lines 10-12	The final cells have a cobblestone morphology, express cellular surface markers CD90 ( $\geq 95\%$ ) and <b>CD44</b> ( $\geq 85\%$ ) and are negative for MHC class II expression ( $\leq 2\%$ ).
	FR, lignes 11-14	Les cellules finales ont une morphologie en forme de pavé, expriment les marqueurs de surface cellulaire CD90 ( $\geq 95\%$ ) et <b>CD44</b> ( $\geq 85\%$ ) et sont négatives pour l'expression du CMH de classe II ( $\leq 2\%$ ).
	ES, líneas 11-13	Las células finales tienen una morfología de empedrado, expresan los marcadores de superficie CD90 ( $\geq 95\%$ ) y <b>CD44</b> ( $\geq 85\%$ ) y son negativas para MHC de clase II ( $\leq 2\%$ ).
p.397	<b>latovetcelum</b> latovetcel latovetcel latovetcel	<i>replace the description by the following one</i> <i>remplacer la description par la suivante</i> <i>sustitúyase la descripción por la siguiente</i>
	EN, lines 1-12	equine <b>xenogeneic</b> mesenchymal stem/stromal cells (MSCs) isolated from peripheral blood mononuclear cells (PBMCs) collected from donor horses. The MSCs are selected for by growing the PBMCs in media containing fetal bovine serum (FBS) and dexamethasone and then further expanded in media containing FBS. The final cells are characterized by their stretched-spindle shaped morphology, and by expression of the cellular surface markers CD90 ( $\geq 95\%$ ) and <b>CD44</b> ( $\geq 85\%$ ) and absence of MHC class II expression ( $\leq 2\%$ ).
	FR, lignes 1-13	cellules souches/stromales mésenchymateuses (CSM) <b>xénogéniques</b> équines isolées à partir de cellules mononucléaires de sang périphérique (PBMC) prélevées sur des chevaux donneurs. Les CSM sont sélectionnées en cultivant les PBMC dans un milieu contenant du sérum bovin fœtal (FBS) et de la dexaméthasone, puis en les développant dans un milieu contenant le FBS. Les cellules finales sont caractérisées par leur morphologie fusiforme étirée et par l'expression des marqueurs de surface cellulaire CD90 ( $\geq 95\%$ ) et <b>CD44</b> ( $\geq 85\%$ ) et l'absence d'expression du CMH de

classe II ( $\leq 2\%$ ).

ES, líneas 1-13

células madre/estromales mesenquimales (MSC) equinas, **xenogénicas**, aisladas de células mononucleares de sangre periférica (PBMCs) recogida de caballos donantes. Las MSCs se seleccionan mediante crecimiento de las PBMCs en medio que contiene suero bovino fetal (FBS) y dexametasona, y después se expanden en medio que contiene FBS. Las células finales se caracterizan por su morfología en forma de huso **estirado** y por la expresión de los marcadores de superficie CD90 ( $\geq 95\%$ ) y **CD44** ( $\geq 85\%$ ) y ausencia de expresión de MHC de clase II ( $\leq 2\%$ ).

p.441  
442

**rapirosiranum**  
rapirosiran  
rapirosiran  
rapirosirán

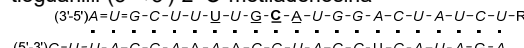
*replace the chemical name and structure by the following ones  
remplacer le nom chimique et la structure par les suivants  
sustitúyase el nombre químico y la estructura por los siguientes*

[*(2S,4R)-1-(1-[(2-acetamido-2-deoxy- $\beta$ -D-galactopyranosyl)oxy]-16,16-bis([3-[3-{5-[2-acetamido-2-deoxy- $\beta$ -D-galactopyranosyl]oxy]pentanamido]propyl)amino]-3-oxopropyl]methyl]-5,11,18-trioxa-14-oxa-6,10,17-triazanonacosan-29-oyl)-4-hydroxypyrrrolidin-2-yl]methyl hydrogen  
*all-P-ambo*-2'-O-methyl-*P*-thiocadenylyl-(3'→5')-2'-O-methyl-*P*-thiouridylyl-(3'→5')-2'-O-methylguanylyl-(3'→5')-2'-O-methylcytidylyl-(3'→5')-2'-O-methyluridyl-(3'→5')-2'-O-methyluridyl-(3'→5')-2'-deoxy-2'-fluorouridyl-(3'→5')-2'-O-methyluridyl-(3'→5')-2'-deoxy-2'-fluoroguananyl-(3'→5')-2'**désoxy**-2'-fluorocytidylyl-(3'→5')-2'-deoxy-2'-fluoroadenyl-(3'→5')-2'-O-methyluridyl-(3'→5')-2'-O-methylguanylyl-(3'→5')-2'-O-methylguanylyl-(3'→5')-2'-O-methyladenyl-(3'→5')-2'-O-methylcytidylyl-(3'→5')-2'-O-methyluridyl-(3'→5')-2'-O-methyladenyl-(3'→5')-2'-O-methyluridyl-(3'→5')-2'-O-methyluridyl-(3'→5')-2'-O-methyluridylate  
 duplex with *all-P-ambo*-2'-O-methyl-*P*-thiocytidylyl-(5'→3')-2'-O-methyl-*P*-thiouridylyl-(5'→3')-2'-O-methyluridyl-(5'→3')-2'-O-methyladenyl-(5'→3')-2'-O-methylcytidylyl-(5'→3')-2'-O-methylguanylyl-(5'→3')-2'-O-methyladenyl-(5'→3')-2'-deoxy-2'-fluoroadenyl-(5'→3')-2'-O-methyladenyl-(5'→3')-2'-deoxy-2'-fluoroadenyl-(5'→3')-2'-O-methylcytidylyl-(5'→3')-2'-O-methylguanylyl-(5'→3')-2'-O-methyluridyl-(5'→3')-2'-O-methyladenyl-(5'→3')-2'-O-methylcytidylyl-(5'→3')-2'-O-methyluridyl-(5'→3')-2'-deoxy-2'-fluoropyrimidine-1-[*(2S,2,3-dihydroxypropyl)-5-methyluridyl*-(3'→3')-2'-O-methylguanylyl-(5'→3')-2'-O-methyladenyl-(5'→3')-2'-O-methyluridyl-(5'→3')-2'-O-methyl-*P*-thiocadedylyl-(5'→3')-2'-deoxy-2'-fluoro-*P*-thioguananyl-(5'→3')-2'-O-methyladenosine*

*tout-P-ambo-2'-O-méthyl-P-thiodénylyl-(3'→5')-2'-O-méthyl-P-thiouridyl-(3'→5')-2'-O-méthylguanylyl-(3'→5')-2'-O-méthylcytidylyl-(3'→5')-2'-O-méthyluridyl-(3'→5')-2'-O-méthyluridyl-(3'→5')-2'-désoxy-2'-fluorouridyl-(3'→5')-2'-O-méthyluridyl-(3'→5')-2'-désoxy-2'-fluoroguanylyl-(3'→5')-2'**désoxy-2'-fluorocytidyl**-(3'→5')-2'-désoxy-2'-fluoroadénlyl-(3'→5')-2'-O-méthyluridyl-(3'→5')-2'-O-méthylguanylyl-(3'→5')-2'-O-méthyladénlyl-(3'→5')-2'-O-méthylcytidylyl-(3'→5')-2'-O-méthyluridyl-(3'→5')-2'-O-méthyladénlyl-(3'→5')-2'-O-méthylcytidyl-(3'→5')-hydrogénô-2'-O-méthyluridylate de [(2S,4R)-1-(1-[(2-acétamido-2-désoxy- $\beta$ -D-galactopyranosyl)oxy]-16,16-bis-{3-[3-{5-[(2-acétamido-2-désoxy-*

D-galactopyranosyl]oxy]pentanamido}propyl)amino]-3-oxopropyl)méthyl)-5,11,18-trioxo-14-oxa-6,10,17-triazanonacosan-29-oyl)-4-hydroxypyrrrolidin-2-yl)méthyle  
duplex avec *tout-P*-ambo-2'-O-méthyl-P-thiocytidyl-(5'→3')-2'-O-méthyl-P-thiouridyl-(5'→3')-2'-O-méthyluridyl-(5'→3')-2'-O-méthyladénylyl-(5'→3')-2'-O-méthylcytidyl-(5'→3')-2'-O-méthylguanylyl-(5'→3')-2'-O-méthyladénlyl-(5'→3')-2'-désoxy-2'-fluoroadénlyl-(5'→3')-2'-O-méthyladénlyl-(5'→3')-2'-désoxy-2'-fluoroadénlyl-(5'→3')-2'-O-méthylcytidyl-(5'→3')-2'-O-méthylguanylyl-(5'→3')-2'-O-méthyluridyl-(5'→3')-2'-O-méthyladénlyl-(5'→3')-2'-O-méthylcytidyl-(5'→3')-2'-O-méthylcytidyl-(5'→2')-1-dé-β-D-ribofuranosyl-1-[*(2S)*-2,3-dihydroxypropyl]-5-méthyluridyl-(3'→3')-2'-O-méthylguanylyl-(5'→3')-2'-O-méthyladénlyl-(5'→3')-2'-O-méthyluridyl-(5'→3')-2'-O-méthyl-P-thioadénlyl-(5'→3')-2'-désoxy-2'-fluoro-P-thioguanlyl-(5'→3')-2'-O-méthyladénosine

todo-*P*-ambo-2'-O-metil-*P*-tioadenilil-(3'→5')-2'-O-metil-*P*-tiouridilil-(3'→5')-2'-O-metilguanilil-(3'→5')-2'-O-metilcitidilil-(3'→5')-2'-O-metiluridilil-(3'→5')-2'-O-metiluridilil-(3'→5')-2'-desoxi-2'-fluorouridilil-(3'→5')-2'-O-metiluridilil-(3'→5')-2'-desoxi-2'-fluoroguanilil-(3'→5')-2'-desoxi-2'-fluorocitidilil-(3'→5')-2'-desoxi-2'-fluoroadenilil-(3'→5')-2'-O-metiluridilil-(3'→5')-2'-O-metilguanilil-(3'→5')-2'-O-metilguanilil-(3'→5')-2'-O-metiladenilil-(3'→5')-2'-O-metilcitidilil-(3'→5')-2'-O-metiluridilil-(3'→5')-2'-O-metiladenilil-(3'→5')-2'-O-metiluridilil-(3'→5')-2'-O-metiluridilil-(3'→5')-2'-O-metiluridilato de [(2*S*,4*R*)-1-(1-[(2-acetamido-2-desoxi-β-D-galactopiranosil)oxi]-16,16-bis{[3-{[3-{5-[(2-acetamido-2-desoxi-β-D-galactopiranosil)oxi]pentanamido}propil]amino}-3-oxopropil]metil}-5,11,18-trioxo-14-oxa-6,10,17-triazanonacosan-29-oil)-4-hidroxipirrolidin-2-il]metilo  
 dúplex con *todo-P*-ambo-2'-O-metil-*P*-tiocitidilil-(5'→3')-2'-O-metil-*P*-tiouridilil-(5'→3')-2'-O-metiluridilil-(5'→3')-2'-O-metiladenilil-(5'→3')-2'-O-metilcitidilil-(5'→3')-2'-O-metilguanilil-(5'→3')-2'-O-metiladenilil-(5'→3')-2'-desoxi-2'-fluoroadenilil-(5'→3')-2'-O-metiladenilil-(5'→3')-2'-desoxi-2'-fluoroadenilil-(5'→3')-2'-O-metilcitidilil-(5'→3')-2'-O-metilguanilil-(5'→3')-2'-O-metiluridilil-(5'→3')-2'-O-metiladenilil-(5'→3')-2'-O-metilcitidilil-(5'→3')-2'-O-metilcitidilil-(5'→2')-1-des-β-D-ribofuranosil-1-[(2*S*,2,3-dihidroxipropil)-5-metiluridilil-(3'→3')-2'-O-metilguanilil-(5'→3')-2'-O-metiladenilil-(5'→3')-2'-O-metiluridilil-(3'→3')-2'-desoxi-2'-fluoro-P-tioguanilil-(5'→3')-2'-O-metiladenosina



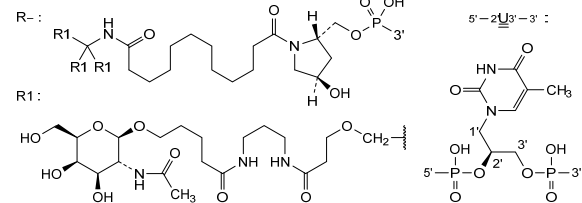
N - A C G U

*N*:2'-*O*-methyl-*N*/2'-*O*-méthyl-*N*/2'-*O*-metil-*N*

N : 2'-deoxy-2'-fluoro-N / 2'-désoxy-2'-fluoro-N / 2'

- : -PO(OH)- = : -PO(SH)-

1. *Chlorophytum comosum* (L.) Willd.



p.399	<i>delete/supprimer/suprimáse</i> <b>limantrafin</b> limantrafin limantrafine limantramina	<i>insert/insérer/insertese</i> <b>limatracintum</b> limatracint limatracint limatracint
p.473	<i>delete/supprimer/suprimáse</i> <b>sutidiazinum</b> sutidiazine sutidiazine sutidiazina	<i>insert/insérer/insertese</i> <b>zintrodiazinum</b> zintrodiazine zintrodiazine zintrodiazina
p.474	<i>delete/supprimer/suprimáse</i> <b>tagtociclibum</b> tagtociclib tagtociclib tagtociclib	<i>insert/insérer/insertese</i> <b>tegtociclibum</b> tegtociclib tegtociclib tegtociclib
p.476- 477	<b>tesivetcelum</b> tesivetcel tesivetcel tesivetcel	<i>replace the description by the following one</i> <i>remplacer la description par la suivante</i> <i>sustitúyase la descripción por la siguiente</i>
	EN, lines 9-12	The final cells are characterized by their stretched spindle shaped morphology, and by expression of the cellular surface markers CD90 ( $\geq 95\%$ ) and <b>CD44</b> ( $\geq 85\%$ ) and absence of MHC class II expression ( $\leq 2\%$ ).
	FR, lignes 11-14	Les cellules finales sont caractérisées par leur morphologie fusiforme étirée, et par l'expression des marqueurs de surface cellulaire CD90 ( $\geq 95\%$ ) et <b>CD44</b> ( $\geq 85\%$ ) et l'absence d'expression du CMH de classe II ( $\leq 2\%$ ).
	ES, líneas 11-14	Las células finales se caracterizan por su morfología en forma de huso estirado y por la expresión de los marcadores de superficie CD90 ( $\geq 95\%$ ) y <b>CD44</b> ( $\geq 85\%$ ) y ausencia de expresión de MHC de clase II ( $\leq 2\%$ ).

**Proposed International Nonproprietary Names (Prop. INN): List 129 - COVID-19 (special edition)**  
**Dénominations communes internationales proposées (DCI Prop.): Liste 129 - COVID-19 (édition spéciale)**  
**Denominaciones Comunes Internacionales Propuestas (DCI Prop.): Lista 129 - COVID-19 (edición especial)**  
*(WHO Drug Information, Vol. 37, No. 2, 2023)*

p.527- 528	<b>pemivibartum #</b> pemivibart pémivibart pemivibart	<i>replace the chemical name and structure by the following ones</i> <i>remplacer la description et la structure par les suivantes</i> <i>sustitúyase el nombre químico y la estructura por los siguientes</i>
		immunoglobulin G1-lambda2, anti-[severe acute respiratory syndrome coronavirus 2 (SARS-CoV-2) spike (S) protein, receptor binding domain (RBD)], <i>Homo sapiens</i> monoclonal antibody;

gamma1 heavy chain *Homo sapiens* (1-454) [VH (*Homo sapiens* IGHV3-21\*07 (88.8%) -(IGHD) -IGHJ4\*01 (92.9%), CDR-IMGT [8.8.17] (26-33.51-58.97-113)) (1-124) -*Homo sapiens* IGHG1\*03, G1m3, nG1m1 CH1 R120, CH3 E12, M14, G1v78 L107, A114 (CH1 R120 (221) (125-222), hinge 1-15 (223-237), CH2 (238-347), CH3 E12 (363), M14 (365), M107>L (435), N114>A (441) (348-452), CHS (453-454)) (125-454)], (227-217')-disulfide with lambda2 light chain *Homo sapiens* (1'-218') [V-LAMBDA (*Homo sapiens* IGLV1-40\*01 (**93.8%**) -IGLJ1\*01 (91.7%), CDR-IMGT [9.3.12] (26'-34'.52'-54'.91'-102')) (1'-112') -*Homo sapiens* IGLC2\*01 (100%) (113'-218')]; dimer (233-233":236-236")-bisdisulfide, produced in Chinese hamster ovary (CHO) cells, cell line CHO-K1, glycoform alfa

immunoglobuline G1-lambda2, anti-[domaine de liaison au récepteur (RBD) de la glycoprotéine spike (S) du coronavirus 2 du syndrome respiratoire aigu sévère (SARS-CoV-2)], anticorps monoclonal *Homo sapiens*; chaîne lourde gamma1 *Homo sapiens* (1-454) [VH (*Homo sapiens* IGHV3-21\*07 (88.8%) -(IGHD) -IGHJ4\*01 (92.9%), CDR-IMGT [8.8.17] (26-33.51-58.97-113)) (1-124) -*Homo sapiens* IGHG1\*03, G1m3, nG1m1 CH1 R120, CH3 E12, M14, G1v78 L107, A114 (CH1 R120 (221) (125-222), charnière 1-15 (223-237), CH2 (238-347), CH3 E12 (363), M14 (365), M107>L (435), N114>A (441) (348-452), CHS (453-454)) (125-454)], (227-217')-disulfure avec la chaîne légère lambda2 *Homo sapiens* (1'-218') [V-LAMBDA (*Homo sapiens* IGLV1-40\*01 (**93.8%**) -IGLJ1\*01 (91.7%), CDR-IMGT [9.3.12] (26'-34'.52'-54'.91'-102')) (1'-112') -*Homo sapiens* IGLC2\*01 (100%) (113'-218')]; dimère (233-233":236-236")-bisdisulfure, produit dans des cellules ovarianes de hamster chinois (CHO), lignée cellulaire CHO-K1, glycoforme alfa

inmunoglobulina G1-lambda2, anti-[dominio de unión al receptor (RBD) de la glicoproteína de espícula (S) del coronavirus 2 del síndrome respiratorio agudo severo (SARS-CoV-2)], anticuerpo monoclonal *Homo sapiens*; cadena pesada gamma1 *Homo sapiens* (1-454) [VH (*Homo sapiens* IGHV3-21\*07 (88.8%) -(IGHD) -IGHJ4\*01 (92.9%), CDR-IMGT [8.8.17] (26-33.51-58.97-113)) (1-124) -*Homo sapiens* IGHG1\*03, G1m3, nG1m1 CH1 R120, CH3 E12, M14, G1v78 L107, A114 (CH1 R120 (221) (125-222), bisagra 1-15 (223-237), CH2 (238-347), CH3 E12 (363), M14 (365), M107>L (435), N114>A (441) (348-452), CHS (453-454)) (125-454)], (227-217')-disulfuro con la cadena ligera lambda2 *Homo sapiens* (1'-218') [V-LAMBDA (*Homo sapiens* IGLV1-40\*01 (**93.8%**) -IGLJ1\*01 (91.7%), CDR-IMGT [9.3.12] (26'-34'.52'-54'.91'-102')) (1'-112') -*Homo sapiens* IGLC2\*01 (100%) (113'-218')]; dímero (233-233":236-236")-bisdisulfuro, producido en las células ováricas de hámster chino (CHO), línea celular CHO-K1, forma glicosilada alfa

## Heavy chain / Chaîne lourde / Cadena pesada

EVQLVESGGG LVKPGGLRL SCAASGFTFG SYEMNNWVRQA PGKGLEWVSS 50  
 ISEDGYSTYY PDSLKGRTI SRDSAKNSLY LQMNLSLRADD TAVYYCARDF 100  
 GGDATWAGTG FTYWQGQFTLV TVSSASTKGP SVFPLAPSSK STSGGTAALG 150  
 CLVKDYFFPEP VTWSWNNSGAL TSGVHTFPBV LQSSGLYSLS SVVTVPSSL 200  
 GTQTYICCNVN HKPSNTKVDK RVEPKSCDKT HTCPCPAPE LLGGPSVLF 250  
 PPKPKDITLMI SRTPEVTCVV VDVSHEDEPV KFNWYVDGVE VHNAKTPRE 300  
 EQYNSTYRVV SVLTVLHQDW LNGKEYKCKV SNKALPAPIE KTISKAKQOP 350  
 REPQVYTLPP SREEMTKNQV SLTCLVKGFFY PSDIAVEWES NGQPENNYKT 400  
 TPPVLDSDGS FFLYSKLTVD KSRWQQGNVF SCSVLHEALTH AHYTQKSLSL 450  
 SPGK 454

## Light chain / Chaîne légère / Cadena ligera

QSVLTQPPSV SGAPGQRITI SCTGSSSNIG AGYDVHWWYQQ LPGTAPKLLI 50  
 YGSSSRN~~Y~~GV PDRFSGSKSG TSASLAITGL QAEDEADYYC QSYD~~S~~L~~G~~V 100  
 YTFGTGKVT VLGGPKAAPS VTLFPPSSEE LQANKATLVC LISDFYPGAV 150  
 TVAWAKADSSP VKAGVETTTP SKQSNNKYAA SSYLSLTPEQ WKSHRSYSCQ 200  
 VTHEGSTVEK TVAPTECS 218

## Post-translational modifications

Disulfide bridges location / Position des ponts disulfure / Posiciones de los puentes disulfuro  
 Intra-H (C23-C104) 22-96 151-207 268-328 374-432  
 22"-96" 151"-207" 268"-328" 374"-432"  
 Intra-L (C23-C104) 22"-90" 140"-199"  
 22"-90"" 140""-199""  
 Inter-H-L (h 5-CL 126) 227-217" 227"-217"  
 Inter-H-H (h 11, h 14) 233-233" 236-236"

## N-terminal glutaminyl cyclization / Cyclisation du glutaminyle N-terminal / Ciclación del glutamínilo N-terminal

Q > pyroglutamyl (pE, 5-oxopropyl) / pyroglutamyle (pE, 5-oxopropyle) / piroglutamilo (pE, 5-oxopropilido)  
 L VL V-LAMBDA Q1: 1', 1"

N-glycosylation sites / Sites de N-glycosylation / Posiciones de N-glicosilación  
 H CH2 N84.4: 304, 304"

Fucosylated complex bi-antennary CHO-type glycans / glycanes de tipo CHO bi-antennaires complexes fucosylés / glicanos de tipo CHO biantenarios complejos fucosilados

C-terminal lysine clipping / Coupe de la lysine C-terminale / Recorte de lisina C-terminal  
 H CHS K2: 454, 454"

## Proposed International Nonproprietary Names (Prop. INN): List 130

## Dénominations communes internationales proposées (DCI Prop.): Liste 130

## Denominaciones Comunes Internacionales Propuestas (DCI Prop.): Lista 130

(WHO Drug Information, Vol. 37, No. 4, 2023)

p.965- alipagragastim alfa #

966 alipagragastim alfa replace the chemical name and structure by the following ones  
 alipagragastim alfa remplacer la description et la structure par les suivantes  
 alipagragastim alfa sustitúyase el nombre químico y la estructura por los siguientes

human serum albumin (1-585 in the current sequence) fused to human granulocyte colony-stimulating factor (**P09919-2**) [ $T^1>A^{586}$ ,  $^3LGP^5>^{588}TYR^{590}$ ,  $C^{17}>S^{602}$ ]-variant (**1-174**, 586-759 in the current sequence), produced in *Pichia pastoris* (*Komagataella phaffii*), glycoform alfa

albumine sérique humaine (1-585 dans la séquence actuelle) fusionnée au facteur de stimulation des colonies de granulocytes humains (**P09919-2**) [ $T^1>A^{586}$ ,  $^3LGP^5>^{588}TYR^{590}$ ,  $C^{17}>S^{602}$ ]-variant (**1-174**, 586-759 dans la séquence actuelle), produit chez *Pichia pastoris* (*Komagataella phaffii*), glicoforme alfa

albúmina sérica humana (1-585 en la secuencia actual) fusionada al factor estimulador de colonias del granulocito humano (**P09919-2**) [ $T^1>A^{586}$ ,  $^3LGP^5>^{588}TYR^{590}$ ,  $C^{17}>S^{602}$ ]-variante (**1-174**, 586-759 en la secuencia actual), producido en *Pichia pastoris* (*Komagataella phaffii*), glicoforma alfa

	Mutations	Mutations / Mutations / Mutaciones T <sup>1</sup> > <u>A</u> <sup>586</sup> , <sup>3</sup> LGP <sup>5&gt;588</sup> <u>TYR</u> <sup>590</sup> , C <sup>17&gt;S</sup> <sup>602</sup>
p.972-973	<b>delete/suprimir/suprimáse amulirafusp alfa</b>	<b>insert/insérer/insertese amulirafuspum alfa</b>
	amulirafusp alfa amulirafusp alfa amulirafusp alfa	<i>amend the structure at disulfide bridges location corriger la structure pour les positions des ponts disulfure sustitúyase la estructura por la posiciones de los puentes disulfuro</i>
		Disulfide bridges location / Position des ponts disulfure / Posiciones de los puentes disulfuro Intra SIRPo <sub>z</sub> heavy chain: 25-91, 165-239, 291-347, 408-468, 514-572, 25"-91", 165"-239", 291"-347", 408"-468", 514"-572" Intra light chain: 23"-87", 133"-193"; 23"-87", 133"-193" Inter light chain-SIRPo <sub>z</sub> heavy chain: 213"-367; 213"-367" Inter SIRPo <sub>z</sub> heavy chain: 373-373", 376-376"
p.988- 990	<b>bexatamigum #</b> bexatamig bexatamig bexatamig	<i>replace the description by the following one remplacer la description par la suivante sustitúyase la descripción por la siguiente</i>
		immunoglobulin (H-gamma1-VH-G1CH1h_L-kappa)_L-kappa-G1hCH2CH3, anti-[ <i>Homo sapiens</i> IL3RA [ <i>interleukin 3 receptor subunit alpha, interleukin 3 receptor alpha (low affinity, CD123)</i> ] and anti-[ <i>Homo sapiens</i> NCR1 [ <i>natural cytotoxicity triggering receptor 1, NKP46, Nkp46, NK cell-activating receptor, LY94, CD335</i> ]], humanized monoclonal antibody, bispecific; [H-gamma1-VH-G1CH1h chain anti-IL3RA and anti-NCR1 humanized (1- <b>681</b> ) [H-gamma1 anti-IL3RA [VH ( <i>Homo sapiens</i> IGHV5-10-1*04 (82.7%) -(IGHD) -IGHJ6*01 (90.9%) T123>M (115), CDR-IMGT [8.8.13] (26-33.51-58.97-109)) (1-120) - <i>Homo sapiens</i> IGHG1*03 (100%), G1m3, nG1m1 CH1 R120, CH3 E12, M14 (CH1 R120 (217) (121-218), hinge 1-15 (219-233), CH2 (234-343), CH3 (344-448), CHS K2>del (449) (121-449))] -4-mer-seryl-threonyl-glycyl-seryl linker (450-453) -VH-G1CH1h anti-NCR1 humanized (454-681) [VH ( <i>Homo sapiens</i> IGHV1-69*08 (83.7%) -(IGHD) -IGHJ4*01 (92.3%) L123>T (568), CDR-IMGT [8.8.13] (479-486.504-511. <b>550</b> -562)) (454-573) -IGHG1*03 CH1-h (100%), G1m3 CH1 R120 (CH1 R120 (670) (574-671), hinge 1-10 (672-681)) (574-681)]; (676-214")-disulfide with L-kappa light chain anti-NCR1 humanized (1'-214') [V-KAPPA ( <i>Homo sapiens</i> IGKV1-33*01 (88.4%) -IGKJ4*01 (100%), CDR-IMGT [6.3.9] (27'-32'.50'-52'.89'-97')) (1'-107') - <i>Homo sapiens</i> IGKC*01 (100%), Km3 A45.1 (153'), V101 (191') (108'-214')]; (223-220":229-226"-232-229")-tridisulfide with the L-kappa-G1hCH2CH3 chain anti-IL3RA humanized (1-447") [L-kappa anti-IL3RA (1"-220") [V-KAPPA ( <i>Homo sapiens</i> IGKV4-1*01 (90.1%) -IGKJ2*01 (100%), CDR-IMGT [12.3.9] (27"-38".56"-58".95"-103")) (1"-113") - <i>Homo sapiens</i> IGKC*01 (100%), Km3 A45.1 A45.1 (159"), V101 (197") (114"-220")] -G1hCH2CH3 (221"-447") [ <i>Homo sapiens</i> IGHG1*03 h-CH2-CH3-CHS (100%), nG1m1 CH3 E12, M14 (hinge 6-15 (221"-230"), CH2 (231"-340"), CH3 E12 (356"), M14 (358") (341"-445"), CHS (446"-447")]]], produced in a cell line from Chinese hamster ovary (CHO) cells, derived from the cell line CHO-DXB11, glycoform alfa

immunoglobuline (H-gamma1-VH-G1CH1h\_L-kappa)\_L-kappa-G1hCH2CH3, anti-[*Homo sapiens* IL3RA (sous-unité alpha du récepteur de l'interleukine 3, récepteur alpha (faible affinité) de l'interleukine 3, CD123)] et anti-[*Homo sapiens* NCR1 (récepteur 1 déclenchant la cytotoxicité naturelle, NKP46, NKp46, récepteur d'activation des cellules NK, LY94, CD335)], anticorps monoclonal humanisé, bispécifique;  
 [chaîne H-gamma1-VH-G1CH1h anti-IL3RA and anti-NCR1 humanisée (1-**681**) [H-gamma1 anti-IL3RA [VH (*Homo sapiens*IGHV5-10-1\*04 (82.7%) -(IGHD) -IGHJ6\*01 (90.9%) T123>M (115), CDR-IMGT [8.8.13] (26-33.51-58.97-109)) (1-120) -*Homo sapiens* IGHG1\*03 (100%), G1m3, nG1m1 CH1 R120, CH3 E12, M14 (CH1 R120 (217) (121-218), charnière 1-15 (219-233), CH2 (234-343), CH3 (344-448), CHS K2>del (449) (121-449))] -4-mercényl-thréonyl-glycyl-séryl linker (450-453) -VH-G1CH1h anti-NCR1 humanisé (454-681) [VH (*Homo sapiens*IGHV1-69\*08 (83.7%) -(IGHD) -IGHJ4\*01 (92.3%) L123>T (568), CDR-IMGT [8.8.13] (479-486.504-511.**550**-562)) (454-573) -IGHG1\*03 CH1-h (100%), G1m3 CH1 R120 (CH1 R120 (670) (574-671), charnière 1-10 (672-681)) (574-681)];  
 (676-214')-disulfure avec la chaîne légère L-kappa anti-NCR1 humanisée (1'-214') [V-KAPPA (*Homo sapiens* IGKV1-33\*01 (88.4%) -IGKJ4\*01 (100%), CDR-IMGT [6.3.9] (27'-32'.50'-52'.89'-97')) (1'-107') -*Homo sapiens* IGKC\*01 (100%), Km3 A45.1 (153'), V101 (191') (108'-214')];  
 (223-220"-229-226"-232-229")-trisdisulfure avec la chaîne L-kappa-G1hCH2CH3 anti-IL3RA humanisée (1-447") [L-kappa anti-IL3RA (1"-220") [V-KAPPA (*Homo sapiens* IGKV4-1\*01 (90.1%) -IGKJ2\*01 (100%), CDR-IMGT [12.3.9] (27"-38".56"-58".95"-103")) (1"-113") -*Homo sapiens* IGKC\*01 (100%), Km3 A45.1 A45.1 (159"), V101 (197") (114"-220")] -G1hCH2CH3 (221"-447") [*Homo sapiens* IGHG1\*03 h-CH2-CH3-CHS (100%), nG1m1 CH3 E12, M14 (charnière 6-15 (221"-230"), CH2 (231"-340"), CH3 E12 (356"), M14 (358") (341"-445"), CHS (446"-447")]], produit dans une lignée cellulaire des cellules ovariennes de hamster chinois (CHO), dérivant de la lignée cellulaire CHO-DXB11, glycoforme alfa

inmunoglobulina (H-gamma1-VH-G1CH1h\_L-kappa)\_L-kappa-G1hCH2CH3, anti-[*Homo sapiens* IL3RA (subunidad alfa del receptor de la interleukina 3, receptor alfa (baja afinidad) de la interleukina 3, CD123)] y anti-[*Homo sapiens* NCR1 (receptor 1 desencadenante de la citotoxicidad natural, NKP46, NKp46, receptor de la activación de las células NK, LY94, CD335)], anticuerpo monoclonal humanizado, biespecífico;  
 [cadena H-gamma1-VH-G1CH1h anti-IL3RA y anti-NCR1 humanizada (1-**681**) [H-gamma1 anti-IL3RA [VH (*Homo sapiens*IGHV5-10-1\*04 (82.7%) -(IGHD) -IGHJ6\*01 (90.9%) T123>M (115), CDR-IMGT [8.8.13] (26-33.51-58.97-109)) (1-120) -*Homo sapiens* IGHG1\*03 (100%), G1m3, nG1m1 CH1 R120, CH3 E12, M14 (CH1 R120 (217) (121-218), bisagra 1-15 (219-233), CH2 (234-343), CH3 (344-448), CHS K2>del (449) (121-449))] -4-merceril-treonil-glicil-seril enlace (450-453) -VH-G1CH1h anti-NCR1 humanizado (454-681) [VH (*Homo sapiens*IGHV1-69\*08 (83.7%) -(IGHD) -IGHJ4\*01 (92.3%) L123>T (568), CDR-IMGT [8.8.13] (479-486.504-511.**550**-562)) (454-573) -IGHG1\*03 CH1-h (100%), G1m3 CH1 R120 (CH1 R120 (670) (574-671), bisagra 1-10 (672-681)) (574-681)];  
 (676-214')-disulfuro con la cadena ligera L-kappa anti-NCR1 humanizada (1'-214') [V-KAPPA (*Homo sapiens* IGKV1-33\*01 (88.4%) -IGKJ4\*01 (100%), CDR-IMGT [6.3.9] (27'-32'.50'-

		52'·89'-97')) (1'-107') - <i>Homo sapiens</i> IGKC*01 (100%), Km3 A45.1 (153'), V101 (191') (108'-214'); (223-220":229-226":232-229")-trisdisulfuro con la cadena L-kappa-G1hCH2CH3 anti-IL3RA humanizada (1-447") [L-kappa anti-IL3RA (1"-220") [V-KAPPA ( <i>Homo sapiens</i> IGKV4-1*01 (90.1%) -IGKJ2*01 (100%), CDR-IMGT [12.3.9] (27"-38".56"-58".95"-103")) (1"-113") - <i>Homo sapiens</i> IGKC*01 (100%), Km3 A45.1 A45.1 (159"), V101 (197") (114"-220")] -G1hCH2CH3 (221"-447") [ <i>Homo sapiens</i> IGHG1*03 h-CH2-CH3-CHS (100%), nG1m1 CH3 E12, M14 (bisagra 6-15 (221"-230"), CH2 (231"-340"), CH3 E12 (356"), M14 (358") (341"-445"), CHS (446"-447")]]], producido en una línea celular de las células ováricas de hámster chino (CHO), línea celular derivada de CHO-DXB11, forma glicosilada alfa
p.1000	<i>delete/supprimer/suprimáse camalprin alfa</i>	<i>insert/insérer/insertese camalprinum alfa</i>
p.1006	<i>delete/supprimer/suprimáse copper (<sup>64</sup>Cu) adarulatidum tetraxetanum</i>	<i>insert/insérer/insertese cuprum (<sup>64</sup>Cu) adarulatidum tetraxetanum</i>
p.1043	<i>suprimer gildeuretinol</i>	<i>insérer gildeurétinol</i>
p.1020-1021	<b>ebribafuspum alfa #</b> ebribafusp alfa ébribafusp alfa ebribafusp alfa	<i>amend the description and structure as follows</i> <i>corriger la description et la structure comme suit</i> <i>modificar las descripción y estructura de la siguiente manera</i>
	EN, lines 9-10	fragment <b>1-305</b> (448-752 in the current sequence, containing the first five consensus repeat Sushi domains, residues <b>1-304</b> , plus the adjacent K <sup>305</sup> ), ...
	FR, lignes 10-12	<b>1-305</b> du facteur H du complément humain (448-752 dans la séquence actuelle), contenant les cinq premiers domaines Sushi à répétition consensuelle, résidus <b>1-304</b> , plus le K <sup>305</sup> adjacent), ...
	ES, líneas 10-12	fragmento del factor H del complemento humano <b>1-305</b> (448-752 en la secuencia actual, que contiene los primeros cinco dominios de repetición consensuada Sushi, residuos <b>1-304</b> , además del adyacente K <sup>305</sup> ), (125-...)
	<b>Disulfide bridges location</b>	Disulfide bridges location / Position des ponts disulfure / Posiciones de los puentes disulfuro Intra IgG4 heavy chain: 22-96, 138-194, 252-312, 358-416, 22"-96", 138"-194", 252"-312", 358"-416" Intra Factor H: 450-495, 481-509, 514-558, 543-570, 575-621, 607-634, 639-680, 666-691, 696-738, 723-749, 450"-495", 481"-509", 514"-558", 543"-570", 575"-621", 607"-634", 639"-680", 666"-691", 696"-738", 723"-749" Intra IgG4 light chain: 23-93, 139"-199", 23"-93", 139"-199" Inter IgG4 heavy-light chain: 125-219, 125"-129" Inter IgG4 heavy-heavy chain: 217-217", 220-220"
p.1023	<b>efparepoetinum alfa #</b> efparepoetin alfa efparépoétine alfa efparepoetina alfa	<i>replace the description by the following one</i> <i>reemplacer la description par la suivante</i> <i>sustitúyase la descripción por la siguiente</i>
		human erythropoietin [ <sup>166</sup> R->del]-variant (1-165 in the current sequence) fused via peptide linker <sup>166</sup> GSGGSGGGSGGGGS <sup>181</sup> to a Fc fragment of

immunoglobulin G2 (182-407) [*Homo sapiens* IGHG1\*01 (hinge N-terminal EPKSC deleted (182-191)), *Homo sapiens* IGHG2\*01 (CH2 P<sup>291</sup>>S (192-300), CH3 (301-405), CHS (406-407))]; dimer (187-187', 190-190')-bisdisulfide, produced in Chinese ovary hamster (CHO) cells, glycoform alfa

**[R<sup>166</sup>>del]-variant** de l'érythropoïétine humaine (1-165 dans la séquence actuelle) fusionné, via un peptide liant <sup>166</sup>GS<sub>n</sub>GGGGSGGGGGGGGS<sup>181</sup>, à un fragment Fc de l'immunoglobuline G2 (182-407) [*Homo sapiens* IGHG1\*01 (charnière N-terminale EPKSC supprimée (182-191)), *Homo sapiens* IGHG2\*01 (CH2 P<sup>291</sup>>S (192-300), CH3 (301-405), CHS (406-407))]; dimère (187-187', 190-190')-bisdisulfure, produit dans des cellules ovariennes de hamster chinois (CHO), glycoforme alfa

**[R<sup>166</sup>>del]-variante** de la eritropoyetina **humana** (1-165 en la secuencia actual) fusionado a través de un enlace peptídico <sup>166</sup>GS<sub>n</sub>GGGGSGGGGGGGGS<sup>181</sup> a un fragmento Fc de la inmunoglobulina G2 (182-407) [*Homo sapiens* IGHG1\*01 (bisagra N-terminal EPKSC eliminada (182-191)), *Homo sapiens* IGHG2\*01 (CH2 P<sup>291</sup>>S (192-300), CH3 (301-405), CHS (406-407))]; dímero (187-187', 190-190')-bisdisulfuro, producido en las células ováricas de hámster chino (CHO), glicoforma alfa

p.1033    **epsametostatum**

epsametostat

epsamétostat

epsametostat

*replace the chemical name, the CAS RN and structure by the following ones*

*remplacer le nom chimique, le numéro de registre du CAS et la structure par les suivants*

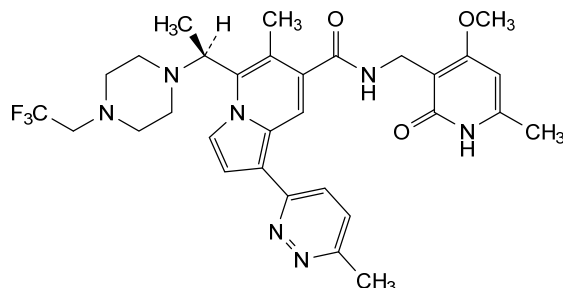
*sustitúyase el nombre químico, el número del registro del CAS y la estructura por los siguientes*

*N*-[(4-methoxy-6-methyl-2-oxo-1,2-dihydropyridin-3-yl)methyl]-6-methyl-1-(6-methylpyridazin-3-yl)-5-((1*S*)-1-[4-(2,2,2-trifluoroethyl)piperazin-1-yl]ethyl}indolizine-7-carboxamide

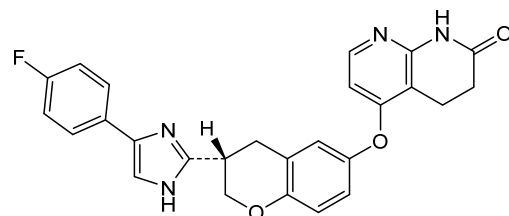
*N*-[(4-méthoxy-6-méthyl-2-oxo-1,2-dihydropyridin-3-yl)méthyl]-6-méthyl-1-(6-méthylpyridazin-3-yl)-5-((1*S*)-1-[4-(2,2,2-trifluoroéthyl)pipérazin-1-yl]éthyl}indolizine-7-carboxamide

6-metil-N-[(6-metil-4-metoxi-2-oxo-1,2-dihidropiridin-3-il)metil]-1-(6-metilpiridazin-3-il)-5-((1*S*)-1-[4-(2,2,2-trifluoroetil)piperazin-1-il]etil}indolizina-7-carboxamida

2202678-05-3

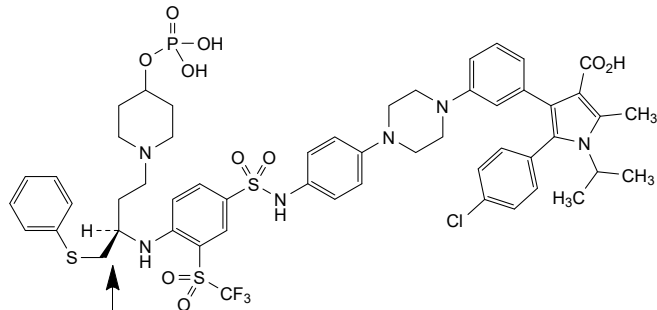


p.1033-1035	<b>delete/supprimer/suprimáse etakafusp alfa #</b>	<b>insert/insérer/insertese etakafuspum alfa</b>
	etakafusp alfa éetakafusp alfa etakafusp alfa	<i>amend the description and structure as follows corriger la description et la structure comme suit modificar las descripción y estructura de la siguiente manera</i>
EN, lines 11-13		... (IL-2, T-cell growth factor (TCGF)), [H <sup>16</sup> >E <sup>480</sup> , R <sup>38</sup> >E <sup>502</sup> , F <sup>42</sup> >A <sup>506</sup> , C <sup>125</sup> >A <sup>589</sup> ]-variant (1-133, 465-597 in the current sequence), ...
FR, lignes 11-14		... (IL-2, facteur de croissance des lymphocytes T (TCGF)), [H <sup>16</sup> >E <sup>480</sup> , R <sup>38</sup> >E <sup>502</sup> , F <sup>42</sup> >A <sup>506</sup> , C <sup>125</sup> >A <sup>589</sup> ]-variant (1-133, 465-597 dans la séquence actuelle), ...
ES, líneas 11-14		... (IL-2, factor de crecimiento de células T (TCGF)), [H <sup>16</sup> >E <sup>480</sup> , R <sup>38</sup> >E <sup>502</sup> , F <sup>42</sup> >A <sup>506</sup> , C <sup>125</sup> >A <sup>589</sup> ]-variante (1-133, 465-597 en la secuencia actual), ...
Mutations		Mutations / Mutations / Mutaciones IgG1 heavy chain-IL-2: L <sup>236</sup> > <b>A</b> , L <sup>237</sup> > <b>A</b> , G <sup>239</sup> > <b>A</b> , S <sup>356</sup> > <b>C</b> , T <sup>368</sup> > <b>S</b> , L <sup>370</sup> > <b>A</b> , Y <sup>409</sup> > <b>V</b> , K <sup>449</sup> >del, H <sup>16</sup> > <b>E</b> <sup>480</sup> , R <sup>38</sup> > <b>E</b> <sup>502</sup> , F <sup>42</sup> > <b>A</b> <sup>506</sup> , C <sup>125</sup> > <b>A</b> <sup>589</sup> IgG1 heavy chain: L <sup>236</sup> > <b>A</b> , L <sup>237</sup> > <b>A</b> , G <sup>239</sup> > <b>A</b> , Y <sup>351</sup> > <b>C</b> , T <sup>368</sup> > <b>W</b>
Disulfide bridges location		Disulfide bridges location / Position des ponts disulfure / Posiciones de los puentes disulfuro Intra IgG1 heavy chain-IL2: 22-96, 146-202, 263-323, 369-427, 522-569 Intra IgG1 heavy chain: 22"-96", 146"-202", 263"-323", 369"-427" Intra IgG1 light chain: 23"-88", 134"-194", 23"-88", 134"-194" Inter IgG1 heavy chain-IL2-heavy chain: 228-228", 231-231", 356-351" Inter IgG1 heavy chain-light chain: 222-214", 222"-214"
p.1038- 1040	<b>ficerafuspum alfa #</b> ficerafusp alfa ficérafusp alfa ficerafusp alfa	<i>amend the description and structure as follows corriger la description et la structure comme suit modificar las descripción y estructura de la siguiente manera</i>
EN, line 20		... II) extracellular domain fragment <b>1-137</b> (230-366 in ...
FR, ligne 22		... <b>1-137</b> du domaine extracellulaire (230-366 dans la ...
ES, línea 22		...fragmento de dominio extracelular <b>1-137</b> (230-366 en ...
Oxidation sites		Oxidation sites / Sites d'oxydation / Posiciones de oxidación IgG1 heavy chain: M254, M254" IgG1 light chain-TGFBRII: M243', M243""
Deamidation sites		Deamidation sites / Sites de désamidation / Posiciones de desamidación IgG1 heavy chain: N386, N386"; IgG1 light chain-TGFBRII: N249', N249""
p.1041	<b>flezurafenibum</b> flezurafenib flézurafénib flezurafenib	<i>replace the structure by the following one remplacer la structure par la suivante sustitúyase la estructura por la siguiente</i>



p.1042    **foselutoclaxum**  
 foselutoclax  
 fosélutoclax  
 foselutoclax

*replace the structure by the following one*  
*remplacer la structure par la suivante*  
*sustitúyase la estructura por la siguiente*



p.1048    *delete/supprimer/suprimáse*  
**icotrokinraum**    *insert/insérer/insertese*  
**icotrokinrum**

p.1056    **invikafuspum alfa #**  
 invikafusp alfa  
 invikafusp alfa  
 invikafusp alfa

*replace the description by the following one*  
*remplacer la description par la suivante*  
*sustitúyase la descripción por la siguiente*

humanized immunoglobulin G1-kappa anti-(human T cell receptor germline-encoded variable chain V $\beta$ 6/β10) monomer disulfide bridged to human interleukin 2 (IL-2, T-cell growth factor) (**C<sup>125</sup>>A**)**-variant** fused via (G<sub>4</sub>S)<sub>2</sub> peptide linker to immunoglobulin G1 Fc fragment, glycoform alfa;  
 gamma 1 heavy chain (1-447) [VH (*Homo sapiens* IGHV1-3\*01 - (IGHD) -IGHJ4\*01, CDR-Kabat [5.17.10] (31-35.50-66.99-108)) (1-119) -*Homo sapiens* IGHG1\*03 (CH1 (120-217), hinge (218-232), CH2 N<sup>299</sup>>A (233-342), CH3 Y<sup>351</sup>>C, T<sup>368</sup>>S, L<sup>370</sup>>A, V<sup>409</sup>>V (343-447), CHS G<sup>448</sup>>del, K<sup>449</sup>>del)) (120-447)], (222-214')-disulfide with kappa light chain (1'-214') [V-KAPPA (*Homo sapiens* IGKV1-9\*01 - IGKJ2\*01, CDR-Kabat [11.7.9] (24'-34'.50'-56'.89'-97')) (1'-107') - *Homo sapiens* IGKC\*01 (108'-214')]; (228-149":231:152":351:277")-trisdisulfide with human interleukin 2 (IL-2, T-cell growth factor) (**C<sup>125</sup>>A**)-**variant** (1-133) fused via (G<sub>4</sub>S)<sub>2</sub> peptide linker (134-143) to a Fc fragment of human immunoglobulin G1 (144-368) [*Homo sapiens* IGHG1\*03, hinge N-terminal EPKSC deleted (144-153), CH2 N<sup>220</sup>>A (154-263), CH3 S<sup>277</sup>>C, T<sup>289</sup>>W (264-368), CHS G<sup>369</sup>>del, K<sup>370</sup>>del]; produced in Chinese hamster ovary (CHO) cells, cell line CHO-K1, glycoform alfa

immunoglobuline G1-kappa humanisée anti-(chaîne variable V $\beta$ 6/β10 codée par la lignée germinale du récepteur de lymphocytes T humain) monomère à pont disulfure avec un (**C<sup>125</sup>>A**)-**variant** d'interleukine 2 humaine (IL-2, facteur de croissance des lymphocytes T) fusionné, via un peptide liant (G<sub>4</sub>S)<sub>2</sub>, avec un fragment Fc de l'immunoglobuline G1, glycoforme alfa;  
 chaîne lourde gamma 1 (1-447) [VH (*Homo sapiens* IGHV1-3\*01 - (IGHD) -IGHJ4\*01, CDR-Kabat [5.17.10] (31-35.50-66.99-108)) (1-119) -*Homo sapiens* IGHG1\*03 (CH1 (120-217), charnière (218-232), CH2 N<sup>299</sup>>A (233-342), CH3 Y<sup>351</sup>>C, T<sup>368</sup>>S, L<sup>370</sup>>A,

$\text{Y}^{409}>\text{V}$  (343-447), CHS G<sup>448>del, K<sup>449>del</sup>) (120-447)], (222-214')-disulfure avec la chaîne légère kappa (1'-214') [V-KAPPA (*Homo sapiens* IGKV1-9\*01 -IGKJ2\*01, CDR-Kabat [11. 7.9] (24'-34'.50'-56'.89'-97')) (1'-107') -*Homo sapiens* IGKC\*01 (108'-214')]; (228-149":231:152":351:277")-trisdisulfure avec un (**C<sup>125>A</sup>**)-variant de l'interleukine 2 humaine (IL-2, facteur de croissance des lymphocytes T) (**1-133**) fusionné, via un peptide liant (G<sub>4</sub>S)<sub>2</sub> (134-143), à un fragment Fc de l'immunoglobuline G1 humaine (144-368) [*Homo sapiens* IGHG1\*03, charnière N-terminale EPKSC supprimée (144-153), CH2 N<sup>220>A</sup> (154-263), CH3 S<sup>277>C, T<sup>289>W</sup> (264-368), CHS G<sup>369>del, K<sup>370>del</sup>)]; produit dans des cellules ovariennes de hamster chinois (CHO), lignée cellulaire CHO-K1, glycoforme alfa</sup></sup></sup>

inmunoglobulina G1-kappa humanizada anti-(cadena variable V $\beta$ 6/ $\beta$ 10 codificada en la línea germinal del receptor humano de células T) monómero con puente disulfuro a (**C<sup>125>A</sup>**-variante de interleukina 2 humana (IL-2, factor de crecimiento de los linfocitos T) fusionado a través de un enlace peptídico (G<sub>4</sub>S)<sub>2</sub> al fragmento Fc de la inmunoglobulina G1, glicoforma alfa; cadena pesada gamma 1 (1-447) [VH (*Homo sapiens* IGHV1-3\*01 -(IGHD) -IGHJ4\*01, CDR-Kabat [5.17.10] (31-35.50-66.99-108)) (1-119) -*Homo sapiens* IGHG1\*03 (CH1 (120-217), bisagra (218-232), CH2 N<sup>299>A</sup> (233-342), CH3 Y<sup>351>C, T<sup>368>S, L<sup>370>A, Y<sup>409>V</sup> (343-447), CHS G<sup>448>del, K<sup>449>del</sup>) (120-447)], (222-214')-disulfuro con cadena ligera kappa (1'-214') [V-KAPPA (*Homo sapiens* IGKV1-9\*01 -IGKJ2\*01, CDR-Kabat [11.7.9] (24'-34'.50'-56'.89'-97')) (1'-107') -*Homo sapiens* IGKC\*01 (108'-214')]; (228-149":231:152":351:277")-trisdisulfuro con interleukina 2 humana (IL-2, factor de crecimiento de los linfocitos T) (**C<sup>125>A</sup>**-variante (**1-133**) fusionado a través del enlace peptídico (G<sub>4</sub>S)<sub>2</sub> (134-143) a un fragmento Fc de la inmunoglobulina humana G1 (144-368) [*Homo sapiens* IGHG1\*03, bisagra terminal N EPKSC eliminada (144-153), CH2 N<sup>220>A</sup> (154-263), CH3 S<sup>277>C, T<sup>289>W</sup> (264-368), CHS G<sup>369>del, K<sup>370>del</sup>)]; producido en las células ováricas de hámster chino (CHO), línea celular CHO-K1, glicoforma alfa</sup></sup></sup></sup></sup></sup>

p.1074- 1075	<b>lucorafuspum alfa #</b>	<i>replace the description by the following one in remplacer la description par la suivante en sustitúyase la descripción por la siguiente en</i>
	EN, line 14	domain fragment 23-159 ( <b>1-137 of the mature protein</b> ), [...]
	FR, lignes 19-20	...) fragment 23-159 du domaine extracellulaire ( <b>1-137 de la protéine mature</b> ), [...]
	ES, líneas 18-19	...) fragmento del dominio extracelular 23-159 ( <b>1-137 de la proteína madura</b> ), [...]

p.1083- 1085	<b>micvotabartumpelidotinum #</b>	<i>replace the chemical name and structure by the following ones remplacer le nom chimique et la structure par les suivants sustitúyase el nombre químico y la estructura por los siguientes</i>
		immunoglobulin G1-kappa, anti-[ <i>Homo sapiens</i> FN1 (fibronectin 1) extra domain B (ED-B) splice variant], <i>Homo sapiens</i> monoclonal antibody, conjugated through four cysteinyl residues

to a derivative of auristatin;  
*H-gamma1 heavy chain Homo sapiens* (1-445) [VH (*Homo sapiens* IGHV3-23\*01 (93.9%) -(IGHD) -IGHJ4\*01 (100%), CDR-IMGT [8.8.9] (26-33.51-58.97-105)) (1-116) -*Homo sapiens* IGHG1\*03v, G1m3>G1m17, nG1m1 CH1 K120, CH3 E12, M14, G1v81 CH2 C81 (CH1 R120>K (213) (117-214), hinge 1-15 (215-229), CH2 K81>C (230-339), CH3 E12 (355), M14 (357) (340-444), CHS K2>del (445)) (117-445)], (219-215')-disulfide with L-kappa light chain *Homo sapiens* (1'-215') [V-KAPPA (*Homo sapiens* IGKV3-20\*01 (94.8%) -IGKJ1\*01 (100%), CDR-IMGT [7.3.9] (27'-33'.51'-53'.90'-98')) (1'-108') -*Homo sapiens* IGKC\*01 (99.1%) Km3 A45.1 (154'), V101 (192'), KCv93 K93>C (184') (109'-215')]; dimer (225-225"-228-228")-bisdisulfide, produced in Chinese hamster ovary (CHO) cells, cell line CHO-K1, glycoform alfa; substituted at the sulfur atom of L-cysteinyl residues 289, 184', 289" and 184'" with four (2S,5R,6R,7'S,10R,11S,14S,25S,28S,36<sup>3</sup>RS)-2-benzyl-11-[(2S)-butan-2-yl]-25-[3-(carbamoylamoно)propyl]-6,10-dimethoxy-5,12,17,17-tetramethyl-4,8,13,16,19,24,27,30,36<sup>2</sup>,36<sup>5</sup>-decaoxo-14,28-di(propan-2-yl)-20-oxa-3,12,15,18,23,26,29-heptaaza-1(2)-[1,3]thiazola-7(2,1),36(1)-dipyrrolidina-22(1,4)-benzenahexatriacontaphan-36<sup>3</sup>-yl (*pelidotin*) groups

immunoglobuline G1-kappa, anti-[*Homo sapiens* FN1 (fibronectine 1) extra domaine B (ED-B) variant d'épissage], anticorps monoclonal *Homo sapiens*, conjugué, par quatre résidus cystéinylique, à un dérivé de l'auristatine; chaîne lourde H-gamma1 *Homo sapiens* (1-445) [VH (*Homo sapiens* IGHV3-23\*01 (93.9%) -(IGHD) -IGHJ4\*01 (100%), CDR-IMGT [8.8.9] (26-33.51-58.97-105)) (1-116) -*Homo sapiens* IGHG1\*03v, G1m3>G1m17, nG1m1 CH1 K120, CH3 E12, M14, G1v81 CH2 C81 (CH1 R120>K (213) (117-214), charnière 1-15 (215-229), CH2 K81>C (230-339), CH3 E12 (355), M14 (357) (340-444), CHS K2>del (445)) (117-445)], (219-215')-disulfure avec la chaîne légère L-kappa *Homo sapiens* (1'-215') [V-KAPPA (*Homo sapiens* IGKV3-20\*01 (94.8%) -IGKJ1\*01 (100%), CDR-IMGT [7.3.9] (27'-33'.51'-53'.90'-98')) (1'-108') -*Homo sapiens* IGKC\*01 (99.1%) Km3 A45.1 (154'), V101 (192'), KCv93 K93>C (184'), (109'-215')]; dimère (225-225"-228-228")-bisdisulfure, produit dans des cellules ovariennes de hamster chinois (CHO), lignée cellulaire CHO-K1, glycoforme alfa; substitué sur l'atome de soufre des résidus L-cystéinylique 289, 184', 289" et 184'" avec quatre groupes (2S,5R,6R,7'S,10R,11S,14S,25S,28S,36<sup>3</sup>RS)-2-benzyl-11-[(2S)-butan-2-yl]-25-[3-(carbamoylamoно)propyl]-6,10-diméthoxy-5,12,17,17-tétraméthyl-4,8,13,16,19,24,27,30,36<sup>2</sup>,36<sup>5</sup>-décaoxo-14,28-di(propan-2-yl)-20-oxa-3,12,15,18,23,26,29-heptaaza-1(2)-[1,3]thiazola-7(2,1),36(1)-dipyrrolidina-22(1,4)-benzénahexatriacontaphan-36<sup>3</sup>-yle (*pélidotine*)

inmunoglobulina G1-kappa, anti-[*Homo sapiens* FN1 (fibronectina 1) extra dominio B (ED-B) variante de empalme], anticuerpo monoclonal *Homo sapiens*, conjugado, por cuatro residuos cisteinilo, a un derivado de la auristatina; cadena pesada H-gamma1 *Homo sapiens* (1-445) [VH (*Homo sapiens* IGHV3-23\*01 (93.9%) -(IGHD) -IGHJ4\*01 (100%), CDR-IMGT [8.8.9] (26-33.51-58.97-105)) (1-116) -*Homo sapiens* IGHG1\*03v, G1m3>G1m17, nG1m1 CH1 K120, CH3 E12, M14, G1v81 CH2 C81 (CH1 R120>K (213) (117-214), bisagra 1-15 (215-229), CH2 K81>C (230-339), CH3 E12 (355), M14 (357) (340-444), CHS K2>del (445)) (117-445)], (219-215')-disulfuro con la cadena ligera L-kappa *Homo sapiens* (1'-215') [V-KAPPA

(*Homo sapiens* IGKV3-20\*01 (94.8%) -IGKJ1\*01 (100%), CDR-IMGT [7.3.9] (27'-33'.51'-53'.90'-98')) (1'-108') -*Homo sapiens* IGKC\*01 (99.1%) Km3 A45.1 (154'), V101 (192'), KCv93 K93>C (184'), (109'-215']); dímero (225-225":228-228")-bisdisulfuro, producido en las células ováricas de hámster chino (CHO), línea celular CHO-K1, forma glicosilada alfa; sustituido en el átomo de azufre de los residuos L-cisteinilo 289, 184', 289" y 184" con cuatro grupos (2S,5R,6R,7S,10R,11S,14S,25S,28S,36<sup>3</sup>RS)-2-bencil-11-[2(S)-butan-2-il]-25-[3-(carbamoolamino)propil]-6,10-dimetoxi-5,12,17,17-tetrametil-4,8,13,16,19,24,27,30,36<sup>2</sup>,36<sup>5</sup>-decaoxo-14,28-di(propan-2-il)-20-oxa-3,12,15,18,23,26,29-heptaaza-1(2)-[1,3]tiazola-7(2,1),36(1)-dipirrolidina-22(1,4)-bencenahexatriacontaftan-36<sup>3</sup>ilo (*pelidotina*)

**Heavy chain / Chaîne lourde / Cadena pesada**  
 EVQLLESGGG LVQPQGSRLR SCAASGFTTS SFSMSWVRAA PGKGLEWVSS 50  
 ISGSSGTTYY ADSVKGRFTI SRDNKNTLY LQMNSLRAED TAVYYCARPF 100  
 PFDYWGQQT LVTVVSASSAK GPSPVFLAPAS SKSTS GTAA LGCGLVKDYFP 150  
 EPVTVSWNSG ALTSGVHNTFF AVIQSSGLYS LSSVVTVPSS SLGTQTYICN 200  
 VNHHKPSNTVK DKKVEPKSD KTHTCPPCPA PELLGGPSVF LFPPKPKDTL 250  
 MISRTPEVTC VVDDVSHEDP EVKFNWYVDG VEVNNAKTCP REEQINSTYR 300  
 VVSVLTVLHQ DWLNKGKEYKC KVSNKALFAP IEKTISKAG QPREPOVYT 350  
 FPSREEMTKN QVSITCLVKG FYPSPDIAVE ESNQOPENNY KTPPVVLDSL 400  
 GSFFLYSLKT VDKSRWQQGN VFSCSYMHEA LHNHYTQKSL SLSPG 445

**Light chain / Chaîne légère / Cadena ligera**  
 EIVLTQSPGT LSLSPGERT LSCRASQSVS SSFLAWYQQK PGQAPRLLIY 50  
 YASSRATGIP DRFGSGSGGT DFTLTISSLR PEDFAVYVQO QTGRIPPTFG 100  
 QGTTKEIKRT VAAAPSVFIFP PSDEQLKSGT ASVCLLNNF YPREAKVQWKE 150  
 VDNALQSNS QESVTEQDSK DSTYLSSTL TLSCADYEKH KVYACEVTHQ 200  
 GLSSPVTKSF NRGE 215

#### Post-translational modifications

Disulfide bridges location / Position des ponts disulfure / Posiciones de los puentes disulfuro

Intra-H (C23-C104) 22-96 143-199 260-320 366-424

22"-96" 143"-199" 260"-320" 366"-424"

Intra-L (C23-C104) 23"-89" 135"-195"

23"-89" 135"-195"

Inter-H-L (h 5-CL 126) 219-215' 219"-215"

Inter-H-H (h 11, h 14) 225-225" 228-228"

N-glycosylation sites / Sites de N-glycosylation / Posiciones de N-glicosilación

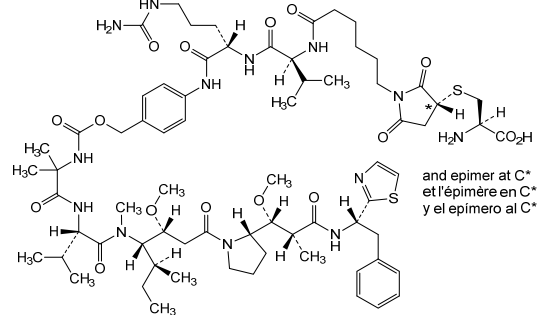
H CH2 N84.4: 296, 296"

Fucosylated complex bi-antennary CHO-type glycans / glycane de type CHO bi-antennaires complexes fucosylés / glicanos de tipo CHO biantenarios complejos fucosilados

Specific conjugation sites / Sites spécifiques de conjugaison / Sitios de conjugación específicos

H CH2 K81>C (G1v81): 289, 289"

L C-KAPPA>K93>C (KCv93): 184', 184"



p.1090-  
1092

**misitatumug blivedotinum#**  
 misitatumug blivedotin  
 misitatumug blivedotine  
 misitatumug blivedotina

replace the structure by the following one  
 remplacer la structure par la suivante  
 sustitúyase la estructura por la siguiente

## Heavy chain / Chaîne lourde / Cadena pesada

EVQLVESGGG LVQPQGSSLRL SCAAAGFDFDS RYWMWSVRQA PGKGLEWIGE 50  
INPDSSTIVY TPSLKDKEFII SRDNAKNTLY LQNNSLRAED TALYCARRG 100  
SHYYGYRTGY FDVGAGTTV TVSSASTKGP SVFPLAPSSK STSGGTAALG 150  
CLVKDVFPEP VTVSWNSGAL TSGWHTFPV LQSSGLYLS SVTVVPSSL 200  
GTQFYICNVN HKPSNTKVDK KVEPKSCDKT HTPCPCPAPE LLGGPSVFLF 250  
PPPKKDITMI SRTPEVTCCV DVDSHEDPEV KFNWVVDGVE VHNAKTKPQE 300  
EQYNSTYRVRV SVLTVLHQDW LNKEYKCKV SNKALPAPIE KTISKAKGP 350  
REPOVYTLPP SREEMTKNQV SLTCVLKGPFY PSDIAVEWES NGQPENNYKT 400  
TPPVLDSDGS FFLYSKLTVD KSRWQQGNVF SCSVMHEALH NYHTQKSLS 450  
SPGK 454

## Light chain / Chaîne légère / Cadena ligera

DVMTQSPAF LSVTGEKVT MTCASSSVS YMYWHQKPD QAPKLILYDT 50  
SNLASGVPR FGSSGSGTDF TFTISRMEE DAATYCCQW SSYPPTFGGG 100  
TKVEIKRTVA APSVFIFFPS DEQLKSGTS VVCLNNFYP REAKVQWKVD 150  
NALQSGNSQE SUTEQDKDS TYSLSSLTLL SKADYEKKHV YACEVTHQGL 200  
SPVTKFSNR GEC 213

## Post-translational modifications

Disulfide bridges location / Position des ponts disulfure / Posiciones de los puentes disulfuro  
Intra-H (C23-C104) 22-96 151-207 268-328 374-432

22"-96" 151"-207" 268"-328" 374"-432"

Intra-L (C23-C104) 23"-87" 133"-193"

23"-87" 133"-193"

Inter-H-L (h 5-CL 126)\* 227-213" 227"-213"

Inter-H-H (h 11, h 14)\* 233-233" 236-236"

\*At least two of the four inter-chain disulfide bridges are not present, an average of 4 cysteinyl being conjugated each via a thioether bond to a drug linker.

\*Au moins deux des quatre ponts disulfures inter-chaines ne sont pas présents, 4 cystéinyl en moyenne étant chacun conjugué via une liaison thioéther à un linker-principe actif.

\*Al menos dos de los cuatro puentes disulfuro inter-catenarios no están presentes, una media de 4 cisteínil está conjugada a conectores de principio activo.

## N-glycosylation sites / Sites de N-glycosylation / Posiciones de N-glicosilación

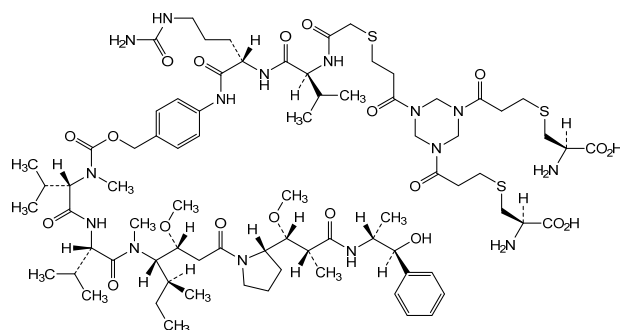
H CH2 N84.4: 304, 304"

Fucosylated complex bi-antennary CHO-type glycans / glycanes de type CHO bi-antennaires complexes fucosylés / glicanos de tipo CHO biantenarios complejos fucosilados

C-terminal lysine clipping / Coupe de la lysine C-terminale / Recorte de lisina C-terminal  
H CHS K2: 454, 454"

Potential modified residues / résidus modifiés potentiels / restos modificados potenciales\*  
C (227,233,236,213,227",233",236",213")

(\*blivedotin:mAb ~ 2:1)



p.1106 **nuvisertibum**  
nuvisertib  
nuvisertib  
nuvisertib

replace the molecular formula by the following one  
remplacer la formule moléculaire brute par la suivante  
sustitúyase la fórmula molecular por la siguiente



p.1117-  
1120 **opugotamig olatansinum#**  
opugotamig olatansine  
opugotamig olatansine  
opugotamig olatansina

replace the structure by the following one  
remplacer la structure par la suivante  
sustitúyase la estructura por la siguiente

Heavy chain / Chaîne lourde / Cadena pesada: anti-FOLR1-hole (H)  
 QVQLVQSGAE VKVKPGASVKI SCKASGYIFT GYFMNNWKQS PGQSLEWIGR 50  
 IHPYDGDTFY NQKQFQGKATL TVKQSSNTAH MELLSLTSED FAVYYCTRVD 100  
 GSRAMDYWQQ GTTVTVSSAS TKGPSPVFLA PSSKSTSGGT AALGCILVQDY 150  
 FPEPVTVSN SGALTSGVHT FPAPVQSSGL YSLSSVVTVP SSSLGTQTYI 200  
 CNVNHKPSNT KVDKVKEPKS CDKTHTCPC PAPELLLGPS VLFPPFKKD 250  
 TLMISRTPEV TCVVVVDVSHF DPEVKFNWYV DGVEVHNKAT KPREEQYNST 300  
 YRVVSVLTWL HQDWLNGKEY KCKVSNKALP APIEKTIASKA KGQPREPQVY 350  
 TLPPSREEMT KNQVSLNSCAV KGKFYPSDIAV EWESNGQPNEN NYKTTFPVLD 400  
 SDGSFELVSK LTVQDKSRWQO GNVFSCSMVH EALHNHYTQK SLSLSPG 447

Light chain / Chaîne légère / Cadena ligera: anti-FOLR1 (L)  
 DIVLVTQSPPLS LAWSLGQPAI ISCKASQSVS FAGTSIMHWY HQKPGQQRPL 50  
 LIYRASNLSEA GVPDRFSGSG SKTDFTLITIS PVEAEDAATY YCQQSREYPY 100  
 TFPGGTKEIP KRTVAAPSVF IFPPSDEQKL SGATASVUCL NNFYFREAKV 150  
 QWKVDNALQG GNQSESVTEQ DSKDSTYSLS STLTLSKADY EKHKVYACEV 200  
 THQQLSSPVT KSFRNRGEC 218

Heavy chain / Chaîne lourde / Cadena pesada: anti-FOLR1-knob (H<sup>n</sup>)  
 EIVLVTQSPAT LSVTPEGDRVS LSCRASQNIN NNLHWYQKQP GQSPRLLIKY 50  
 VSQSVSGQIPD RFGSGSSGTD FTLSISSVVEP EDEEGMYFCQQ SNSWPHYTGF 100  
 COTKLEIKGG CGSGGGGGSGG CGSGGGGGSEV QLVQSGGGLV QPGGSRLSC 150  
 AASGEFTSSSF GMHWVRQAPG KCLEWVAYIS SGSSTISYAD SVKGRTISR 200  
 DNSKKTLILLQ MTSLRAEDTA MYVCAREAYG SSMEYWQGQT LTVTSSGSEP 250  
 KSSDKTHTCP PCPAPELLGG PSVFLPPKPK DTLIMISRTP EVICVVVDVS 300  
 HEDPEVKFNW YVDGVEVHNNA KTKPREEQYN STYRVSVLT VLHQDWLNGK 350  
 EYKCKVSNKA LPAPIEKTSI KAKGQPRPQ VYTLPLPSREE MTRNQVSIWC 400  
 LVKGFYPSDI AVEWESENQGP ENNYKTTTPV LDSDGSFFLY SKLTVQDKSRW 450  
 QQGNVFSCSMVH MHEALHNHYTQK SLSLSPG 479

#### Post-translational modifications

Disulfide bridges location / Position des ponts disulfure / Posiciones de los puentes disulfuro  
 Intra-H (C23-C104) 22-96 145-201 262-322 368-426  
 23"-88" 150"-224" 294"-354" 400"-458"

Intra-H scFv VL120-VH49\* 101"-172"

Intra-L (C23-C104) 23"-92" 138"-198"

Inter-H-L (CH1 10-CL 126) 221-218"

Inter-H-H (h 8, h 11) 227-259" 230-262"

\*Engineered additional disulfide bond to stabilize the scFv.

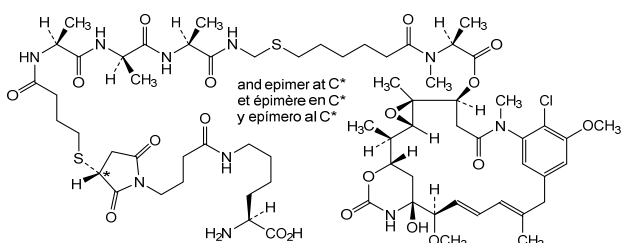
N-terminal glutaminyl cyclization / Cyclisation du glutaminyle N-terminal / Ciclación del glutamino N-terminal  
 Q>pyroglutamyl (pE, 5-oxoprolyl) / pyroglutamyle (pE, 5-oxoprolyle) / piroglutamilo (pE, 5-oxoprolilo)

H VH Q1: 1

N-glycosylation sites / Sites de N-glycosylation / Posiciones de N-glicosilación  
 H CH2 N84:4:  
 298, 330"

Fucosylated complex bi-antennary CHO-type glycans / glycanes de type CHO bi-antennaires complexes fucosylés / glicanos de tipo CHO biantenarios complejos fucosilados.

Potential modified residues / résidus modifiés potentiels / restos modificados potenciales\*  
 K (Lys)  
 \*(olatansine:mAb ~3.5:1)



p.1126

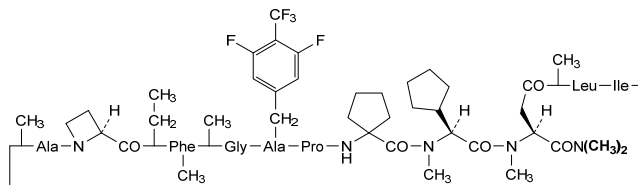
**paluratidum**  
 paluratide  
 paluratide  
 paluratida

replace the chemical name and structure by the following ones  
 remplacer le nom chimique et la structure par les suivants  
 sustitúyase el nombre químico y la estructura por los siguientes

1,11-anhydro[N-methyl-L-alanyl-(2S)-azetidine-2-carbonyl-N-ethyl-4-methyl-L-phenylalanyl-N-methylglycyl-(2S)-2-amino-4-[3,5-difluoro-4-(trifluoromethyl)phenyl]butanoyl-L-prolyl-2-aminocyclopentane-1-carbonyl-(2S)-2-cyclopentyl-N-methylglycyl-N<sup>1</sup>,N<sup>2</sup>-trimethyl-L-isoasparaginyl-N-methyl-L-leucyl-L-isoleucine]

1,11-anhydro[N-méthyl-L-alanyl-(2S)-azétidine-2-carbonyl-N-éthyl-4-méthyl-L-phénylalanyl-N-méthylglycyl-(2S)-2-amino-4-[3,5-difluoro-4-(trifluorométhyl)phényl]butanoïl-L-prolyl-2-aminocyclopentane-1-carbonyl-(2S)-2-cyclopentyl-N-méthylglycyl-*N<sup>1</sup>,N<sup>1</sup>,N<sup>2</sup>-triméthyl-L-isoasparaginyl-N-méthyl-L-leucyl-L-isoleucine]*

1,11-anhydro[N-méthyl-L-alanyl-(2S)-azétidine-2-carbonyl-N-éthyl-4-méthyl-L-fenilalanil-N-méthylglicil-(2S)-2-amino-4-[3,5-difluoro-4-(trifluorometil)fenil]butanoïl-L-prolyl-2-aminocyclopentano-1-carbonyl-(2S)-2-cyclopentyl-N-méthylglicil-*N<sup>1</sup>,N<sup>1</sup>,N<sup>2</sup>-triméthyl-L-isoasparaginyl-N-méthyl-L-leucil-L-isoleucina]*



p.1141 **redalsomatropinum alfa #**

redalsomatropin alfa  
rédalsomatropine alfa  
redalsomatropina alfa

*replace the description by the following one  
remplacer la description par la suivante  
sustitúyase la descripción por la siguiente*

human somatotropin (growth hormone (GH), growth hormone 1, pituitary growth hormone) (1-191) fused to human serum **albumin (1-585, 192-776 in the current sequence) [A<sup>320</sup>>T<sup>511</sup>]-variant, produced in Chinese hamster ovary (CHO) cells, cell line CHO-K1, glycoform alfa**

somatotropine humaine (hormone de croissance (GH), hormone de croissance 1, hormone de croissance hypophysaire) (1-191) fusionnée à l'**albumine sérique humaine (1-585, 192-776 dans la séquence actuelle)**, [A<sup>320</sup>>T<sup>511</sup>]-variant, produite dans des cellules ovariennes de hamster chinois (CHO), lignée cellulaire CHO-K1, glicoforme alfa

somatotropina humana (hormona de crecimiento (GH), hormona de crecimiento 1, hormona de crecimiento pituitaria) (1-191) fusionada a la **albúmina sérica humana (1-585, 192-776 en la secuencia actual)** [A<sup>320</sup>>T<sup>511</sup>]-variante, producido en las células ováricas de hámster chino (CHO), línea celular CHO-K1, glicoforma alfa

Mutation

Mutation / Mutation / Mutación  
**A<sup>320</sup>>T<sup>511</sup>**

p.1148 **rondaptivonum pegolum**

rondaptivon pegol  
rondaptivon pégal  
rondaptívón pegol

*replace the chemical name by the following one  
remplacer le nom chimique par le suivant  
sustitúyase el nombre químico por el siguiente*

*all-P-ambo-5'-O-(1-hydroxy-14-[α-methylpoly(oxyethylene)-ω-oxy]-12-[α-methylpoly(oxyethylene)-ω-oxy]ethyl)-1,10,13-trioxa-2-oxa-9,12-diaza-1<sup>5</sup>-phosphatetradecan-1-yl)-2'-O-methylguanylyl-(3'→5')-2'-O-methylcytidylyl-(3'→5')-2'-O-methylcytidylyl-(3'→5')-2'-O-methyladenylyl-2'-O-methylguanylyl-(3'→5')-2'-O-methylguanylyl-(3'→5')-2'-O-methyladenylyl-(3'→5')-2'-O-*

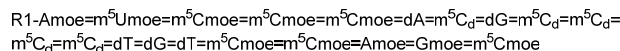
p.1163

**delete/suprimir/suprimirse  
protoporfina stannica  
protoporfina de estaño**

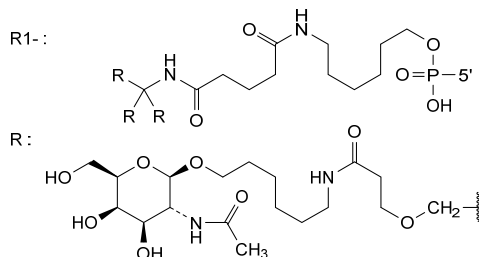
*insert/insérer/insertese  
protoporfinum stannicum  
protoporfina estanica*

p.1155 **sefaxersenum**  
 sefaxersen  
 séfaxersen  
 sefaxersén

*replace the structure by the following one*  
*remplacer la structure par la suivante*  
*sustitúyase la estructura por la siguiente*



N : A,C,G,T,U  
 $\text{m}^5\text{N}$  : 5-methyl-N / 5-méthyl-N / 5-metil-N  
 $\text{dN} \& \text{N}_d$  : 2'-deoxy-N / 2'-désoxy-N / 2'-desoxi-N  
 $\text{Nmoe}$  : 2'-O-(2-methoxyethyl)-N / 2'-O-(2-méthoxyéthyl)-N / 2'-O-(2-metoxietil)-N  
 $- : -\text{PO}(\text{OH})- = : -\text{PO}(\text{SH})-$



p.1191 **velaglucerasum beta#**

velaglucerase beta  
 vélaglucérase bêta  
 velaglucerasa beta

*delete the molecular formula*  
*supprimez la formule moléculaire*  
*suprima la fórmula molecular*

p.1192-  
 1194 **vislarafuspum alfa#**

vislarafusp alfa  
 vislarafusp alfa  
 vislarafusp alfa

*replace the description and structure by the following ones*  
*remplacer la description et la structure par les suivantes*  
*sustitúyase la descripción y la estructura por las siguientes*

EN, lines 11-13

gamma 1 heavy chain (1-450) [VH (*Homo sapiens* IGHV3-66\*01 - (IGHD) -IGHJ4\*01, CDR-Kabat [5.17.11] (31-35.50-66.99-109)) (1-120) -*Homo sapiens*IGHG1\*03 (CH1 (121-218), hinge (219-233), CH2 S<sup>301</sup>>A, E<sup>336</sup>>A, K<sup>337</sup>>A (234-343), CH3 (344-448), CHS (449-450)) (121-450)], (223-354')-disulfide with human signal regulatory protein alpha (SIRP alpha **natural** variant V2 extracellular D1 domain, SIRP alpha V2D1) fragment (**1-125**), comprising the first two extracellular loops of the D1 domain, **engineered variant (N<sup>80</sup>>A)**, anti-(human CD47, integrin associated protein (IAP)) fused via a (G<sub>4</sub>S)<sub>3</sub> peptide linker (126-140) to kappa light chain (141'-354') [V-KAPPA (*Homo sapiens* IGKV1-39\*01 -IGKJ1\*01, CDR-Kabat [11.7.9] (164'-174'.190'-196'.229'-237')) (141'-247') -*Homo sapiens* IGKC\*01 (248'-354')]; dimer (229-229':232-232")-bisdisulfide, produced in Chinese hamster ovary (CHO) cells, cell line CHO-K1, glycoform alfa

FR, lignes 10-14

chaîne lourde gamma 1 (1-450) [VH (*Homo sapiens* IGHV3-66\*01 - (IGHD) -IGHJ4\*01, CDR-Kabat [5.17.11] (31-35.50-66.99-109)) (1-120) -*Homo sapiens*IGHG1\*03 (CH1 (121-218), charnière (219-233), CH2 S<sup>301</sup>>A, E<sup>336</sup>>A, K<sup>337</sup>>A (234-343), CH3 (344-448), CHS (449-450)) (121-450)], (223-354')-disulfure avec un fragment (**1-125**) de la protéine humaine de régulation du signal alpha (SIRP alpha, **variante naturelle** V2 du domaine extracellulaire D1,

SIRP alpha V2D1), comprenant les deux premières boucles extracellulaires du domaine D1, **variante construite (N<sup>80</sup>>A)**, anti-(CD47 humain, protéine associée à l'intégrine (IAP)) fusionné via un peptide liant (G<sub>4</sub>S)<sub>3</sub> (126-140) à la chaîne légère kappa (141'-354') [V-KAPPA (*Homo sapiens* IGKV1-39\*01 -IGKJ1\*01, CDR-Kabat [11. 7.9] (164'-174'.190'-196'.229'-237')) (141'-247') -*Homo sapiens* IGKC\*01 (248'-354')]; dimère (229-229"-232-232")-bisdisulfure, produit dans des cellules ovarianes de hamster chinois (CHO), lignée cellulaire CHO-K1, glycoforme alfa

ES, líneas 12-14

cadena pesada gamma 1 (1-450) [VH (*Homo sapiens* IGHV3-66\*01 -(IGHD) -IGHJ4\*01, CDR-Kabat [5.17.11] (31-35. 50-66. 99-109)) (1-120) -*Homo sapiens* IGHG1\*03 (CH1 (121-218), bisagra (219-233), CH2 S<sup>301</sup>>A, E<sup>336</sup>>A, K<sup>337</sup>>A (234-343), CH3 (344-448), CHS (449-450)) (121-450)], (223-354")-disulfuro con proteína reguladora de señales alfa humana (SIRP alpha, variante **natural** V2 extracelular dominio D1, SIRP alpha V2D1) fragmento (1-125), que comprende los dos primeros loops estracelulares de dominio D1, **variante diseñada (N<sup>80</sup>>A)**, anti-(CD47 humana, integrina asociada a proteína (IAP)) fusionada a través de un enlace peptídico (G<sub>4</sub>S)<sub>3</sub> (126-140) a la cadena ligera kappa (141'-354') [V-KAPPA (*Homo sapiens* IGKV1-39\*01 -IGKJ1\*01, CDR-Kabat [11. 7.9] (164'-174'.190'-196'.229'-237')) (141'-247') -*Homo sapiens* IGKC\*01 (248'-354')]; dímero (229-229"-232-232")-bisdisulfuro, producido en las células ováricas de hámster chino (CHO), línea celular CHO-K1, glicoforma alfa

Natural variant

Natural variant / Variante naturelle / Variante natural  
SIRP $\alpha$ : L<sup>14</sup>>S, T<sup>20</sup>>S, T<sup>22</sup>>I, R<sup>24</sup>>H, A<sup>27</sup>>V, G<sup>45</sup>>A, D<sup>65</sup>>E, L<sup>66</sup>>S, N<sup>70</sup>>G<sup>79</sup>>S, D<sup>100</sup>>del, V<sup>102</sup>>T<sup>101</sup>

Mutations

Mutations / Mutations / Mutaciones  
IgG1 heavy chain: S<sup>301</sup>,S<sup>301</sup>">**A**, E<sup>336</sup>,E<sup>336</sup>">**A**, K<sup>337</sup>,K<sup>337</sup>">**A**  
SIRP $\alpha$  IgG1 light chain: N<sup>80'</sup>,N<sup>80"</sup>>**A**

p.1197

supprimer/suprimáse  
zaltenibart  
zalténibart

insérer/insertese  
zalténibart  
zaltenibart

p.1202

suprimáse  
zifogaptide

insertese  
zifogaptida

- p.1202- **zirconium (<sup>89</sup>Zr) girentuximab svedoxamum #**  
 1204 zirconium (<sup>89</sup>Zr) girentuximab svedoxam *replace the structure by the following one*  
 zirconium (<sup>89</sup>Zr) girentuximab senvéodoxam *remplacer la structure par la suivante*  
 zirconio (<sup>89</sup>Zr) girentuximab svedoxam *sustitúyase la estructura por la siguiente*

Heavy chain / Chaîne lourde / Cadena pesada  
 DVKLVEGGGLKLVKLGGSSLKLNCKASQNVV SAVAWYQQKP GQSPKLLIYS 50  
 INSDGGITYL LDFTVKGRFTI SRDNAKNTY LQMSLKSSED TALFYCARHR 100  
 SGYFSMDYYNG QGTSVTVSSA STKGPSVFPL APSSSKTSGG TAALGCIVKLD 150  
 YFPEPVTVWSW NSGALTSGVH TPPAVLQSSG LYLSLSSVTV PSSSLGTQTY 200  
 ICNVNWKPSN TKVDKKVEPK SCDKTHTCPP CPAPELGGP SVFLFPKPK 250  
 DTLMI-SRTPE VTCVVVDVSI EDPEVKPNWY DVGEVHNNAK TKPREEQINS 300  
 TYRVRVSVLTV LHQDWLNLNGKE YKCKVSNKAL PAPIEKTTISK AKGQPREFQV 350  
 YTLPVSRDEL TKNQVSITCL VKGKFYPSDIA VEWESNGQE NNYKTTPPVL 400  
 DSQDSGFFFLYS KLTVDKSRWQ QGNVFSCSVW HEALHNHYTQ KSLSLSPGK 449

Light chain / Chaîne légère / Cadena ligera  
 DIVMTQSQRF MSTTVGDRVTA ITCKASQNVV SAVAWYQQKP GQSPKLLIYS 50  
 ASNRYTGVPD RFTGSGSGT FTLTISNMQS EDLADEFCCQQ YSNYPWTFFG 100  
 GTKLEIKRTV AAPSVFIFPP SDEQLKSGTA SVVCLLNNFY PREAKVQMKV 150  
 DNAIQGSNSQ ESVTEQDSKD STYSLSSTLT LSKADYEKHK VYACEVTHQG 200  
 LSSPFVTKSFN RGEC 214

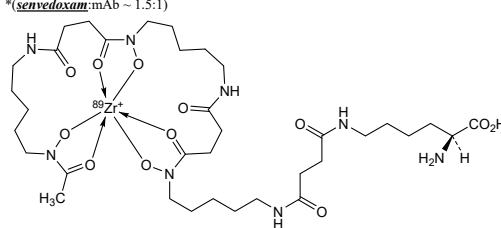
#### Post-translational modifications

Disulfide bridges location / Position des ponts disulfure / Posiciones de los puentes disulfuro  
 Intra-H (C23-C104) 22-96 146-202 263-323 369-427  
 22"-96" 146"-202" 263"-323" 369"-427"  
 Intra-L (C23-C104) 23"-88" 134"-194"  
 23"-88" 134"-194"  
 Inter-H-L (h 5-CL 126) 222-214" 222"-214"  
 Inter-H-H (h 11, h 14) 228-228" 231-231"

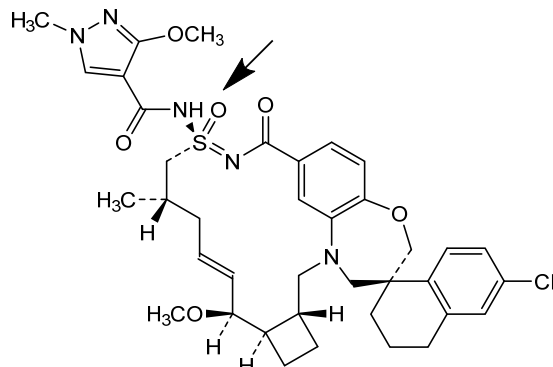
N-glycosylation sites / Sites de N-glycosylation / Posiciones de N-glicosilación  
 H CH2 N84.4: 299, 299"

C-terminal lysine clipping / Coupure de la lysine C-terminale / Recorte de lisina C-terminal  
 H CHS K2: 449, 449"

Potential modified residues / résidus modifiés potentiels / restos modificados potenciales\*  
 K (449, 449")  
 \*(svedoxam:mAb ~ 1.5:1)



- p.1199 **zamzetoclaxum**  
 zamzetoclax  
 zamzétoclax  
 zamzetoclax *replace the structure by the following one*  
*remplacer la structure par la suivante*  
*sustitúyase la estructura por la siguiente*



p.1206

**zomiradomidum**

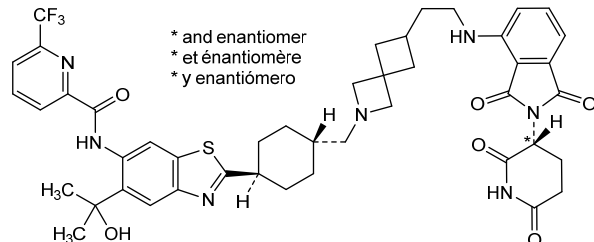
zomiradomite  
zomiradomide  
zomiradomida

*replace the chemical name and structure by the following ones  
remplacer le nom chimique et la structure par les suivants  
sustituyase el nombre químico y la estructura por los siguientes*

*rac-N-[2<sup>1,2<sup>4</sup>-trans-(9<sup>3</sup>R)-1<sup>5</sup>-(2-hydroxypropan-2-yl)-8<sup>1,8<sup>3,9<sup>2,9<sup>6</sup>-tetraoxo-8<sup>1,8<sup>3-dihydro-4<sup>2,7-diaza-1(2)-[1,3]benzothiazola-8(4,2)-isoindola-9(3)-piperidina-4(2,6)-spiro[3.3]heptana-2(1,4)-cyclohexananaphan-1<sup>6-yl]-6-(trifluoromethyl)pyridine-2-carboxamide</sup></sup></sup></sup></sup></sup></sup></sup>*

*rac-N-[2<sup>1,2<sup>4-trans-(9<sup>3</sup>R)-1<sup>5-(2-hydroxypropan-2-yl)-8<sup>1,8<sup>3,9<sup>2,9<sup>6-tétraoxo-8<sup>1,8<sup>3-dihydro-4<sup>2,7-diaza-1(2)-[1,3]benzothiazola-8(4,2)-isoindola-9(3)-piperidina-4(2,6)-spiro[3.3]heptana-2(1,4)-cyclohexananaphan-1<sup>6-yl]-6-(trifluorométhyl)pyridine-2-carboxamide</sup></sup></sup></sup></sup></sup></sup></sup></sup></sup></sup>*

*rac-N-[2<sup>1,2<sup>4-trans-(9<sup>3</sup>R)-1<sup>5-(2-hidroxipropan-2-il)-8<sup>1,8<sup>3,9<sup>2,9<sup>6-tetraoxo-8<sup>1,8<sup>3-dihidro-4<sup>2,7-diaza-1(2)-[1,3]benzotiazola-8(4,2)-isoindola-9(3)-piperidina-4(2,6)-espiro[3.3]heptana-2(1,4)-ciclohexananonafan-1<sup>6-il]-6-(trifluorometil)piridina-2-carboxamida</sup></sup></sup></sup></sup></sup></sup></sup></sup></sup></sup>*



p.1207

**zopapogenum imadenovecum #**

zopapogene imadenovec  
zopapogène imadénovec  
zopapogén imadenovec

*replace the description by the following one  
remplacer la description par la suivante  
sustituyase la descripción por la siguiente*

replication-deficient gorilla adenovirus vector (**strain GC46**) encoding human papillomavirus (HPV) type 6 and type 11 antigens comprising 11 epitopes derived from regions of the E2, E4, E6, and E7 proteins under control of a human cytomegalovirus (CMV) promoter and terminated with a 3' untranslated region and a simian virus 40 (SV40) polyadenylation signal

vecteur d'adénovirus de gorille à réplication déficiente (**souche GC46**) codant les antigènes des papillomavirus humains (HPV) de type 6 et de type 11 comprenant 11 épitopes dérivés des régions des protéines E2, E4, E6 et E7 sous le contrôle d'un promoteur du cytomégalovirus (CMV) humain et se terminant par un signal de polyadénylation du virus simien (SV40)

vector de adenovirus de gorila deficiente en replicación (**cepa GC46**) que codifica los antígenos tipo 6 y tipo 11 del virus del papiloma humano (VPH) que contienen 11 epítopenos derivados de regiones de las proteínas E2, E4, E6 y E7 bajo el control de un promotor del citomegalovirus (CMV) humano y se termina con una señal de poliadenilación del virus simio 40 (SV40)

p.1234	<b>zapomeranum #</b>	<i>Please note that the MedNet file has been updated Veuillez noter que le fichier MedNet a été mis à jour Tenga en cuenta que se ha actualizado el archivo MedNet</i>
p.1237	<b>elritterceptum #</b>	<i>amend the structure as follows corriger la structure comme suit modificar la estructura de la siguiente manera</i>

at O-glycosylation  
sites only

O-glycosylation sites / Sites de O-glycosylation / Posiciones de O-glicosilación  
S97, S97', T108, T108', S109, S109', **T115**, **T115'**, **T117**, **T117'**

## ANNEX 1

## PROCEDURE FOR THE SELECTION OF RECOMMENDED INTERNATIONAL NONPROPRIETARY NAMES FOR PHARMACEUTICAL SUBSTANCES<sup>1</sup>

The following procedure shall be followed by the World Health Organization (hereinafter also referred to as "WHO") in the selection of recommended international nonproprietary names for pharmaceutical substances, in accordance with resolution WHA3.11 of the World Health Assembly, and in the substitution of such names.

**Article 1** - Proposals for recommended international nonproprietary names and proposals for substitution of such names shall be submitted to WHO on the form provided therefore. The consideration of such proposals shall be subject to the payment of an administrative fee designed only to cover the corresponding costs of the Secretariat of WHO ("the Secretariat"). The amount of this fee shall be determined by the Secretariat and may, from time to time, be adjusted.

**Article 2** - Such proposals shall be submitted by the Secretariat to the members of the Expert Advisory Panel on the International Pharmacopoeia and Pharmaceutical Preparations designated for this purpose, such designated members hereinafter referred to as "the INN Expert Group", for consideration in accordance with the "General principles for guidance in devising International Nonproprietary Names for Pharmaceutical Substances", annexed to this procedure<sup>2</sup>. The name used by the person discovering or first developing and marketing a pharmaceutical substance shall be accepted, unless there are compelling reasons to the contrary.

**Article 3** - Subsequent to the examination provided for in article 2, the Secretariat shall give notice that a proposed international nonproprietary name is being considered.

a) Such notice shall be given by publication in *WHO Drug Information*<sup>3</sup> and by letter to Member States and to national and regional pharmacopoeia commissions or other bodies designated by Member States.

i) Notice shall also be sent to the person who submitted the proposal ("the original applicant") and other persons known to be concerned with a name under consideration.

b) Such notice shall:

i) set forth the name under consideration;

ii) identify the person who submitted the proposal for naming the substance, if so requested by such person;

iii) identify the substance for which a name is being considered;

iv) set forth the time within which comments and objections will be received and the person and place to whom they should be directed;

v) state the authority under which WHO is acting and refer to these rules of procedure.

c) In forwarding the notice, the Secretariat shall request that Member States take such steps as are necessary to prevent the acquisition of proprietary rights in the proposed name during the period it is under consideration by WHO.

**Article 4** - Comments on the proposed name may be forwarded by any person to WHO within four months of the date of publication, under article 3, of the name in *WHO Drug Information*.

<sup>1</sup> See Annex 1 in WHO Technical Report Series, No. 581, 1975. The original text was adopted by the Executive Board in resolution EB15.R7 and amended in resolutions EB43.R9 and EB115.R4.

<sup>2</sup> See Annex 2.

<sup>3</sup> Before 1987, lists of international nonproprietary names were published in the *Chronicle of the World Health Organization*.

*Article 5 - A formal objection to a proposed name may be filed by any interested person within four months of the date of publication, under article 3, of the name in WHO Drug Information.*

Such objection shall:

- i) identify the person objecting;
- ii) state his or her interest in the name;
- iii) set forth the reasons for his or her objection to the name proposed.

*Article 6 - Where there is a formal objection under article 5, WHO may either reconsider the proposed name or use its good offices to attempt to obtain withdrawal of the objection. Without prejudice to the consideration by WHO of a substitute name or names, a name shall not be selected by WHO as a recommended international nonproprietary name while there exists a formal objection thereto filed under article 5 which has not been withdrawn.*

*Article 7 - Where no objection has been filed under article 5, or all objections previously filed have been withdrawn, the Secretariat shall give notice in accordance with subsection (a) of article 3 that the name has been selected by WHO as a recommended international nonproprietary name.*

*Article 8 - In forwarding a recommended international nonproprietary name to Member States under article 7, the Secretariat shall:*

- a) request that it be recognized as the nonproprietary name for the substance; and
- b) request that Member States take such steps as are necessary to prevent the acquisition of proprietary rights in the name and to prohibit registration of the name as a trademark or trade name.

*Article 9*

a) In the extraordinary circumstance that a previously recommended international nonproprietary name gives rise to errors in medication, prescription or distribution, or a demonstrable risk thereof, because of similarity with another name in pharmaceutical and/or prescription practices, and it appears that such errors or potential errors cannot readily be resolved through other interventions than a possible substitution of a previously recommended international nonproprietary name, or in the event that a previously recommended international nonproprietary name differs substantially from the nonproprietary name approved in a significant number of Member States, or in other such extraordinary circumstances that justify a substitution of a recommended international nonproprietary name, proposals to that effect may be filed by any interested person. Such proposals shall be submitted on the form provided therefore and shall:

- i) identify the person making the proposal;
- ii) state his or her interest in the proposed substitution; and
- iii) set forth the reasons for the proposal; and
- iv) describe, and provide documentary evidence regarding the other interventions undertaken in an effort to resolve the situation, and the reasons why these other interventions were inadequate.

Such proposals may include a proposal for a new substitute international nonproprietary name, devised in accordance with the General principles, which takes into account the pharmaceutical substance for which the new substitute international nonproprietary name is being proposed.

The Secretariat shall forward a copy of the proposal, for consideration in accordance with the procedure described in subsection (b) below, to the INN Expert Group and the original applicant or its successor (if different from the person bringing the proposal for substitution and provided that the original applicant or its successor is known or can be found through diligent effort, including contacts with industry associations).

In addition, the Secretariat shall request comments on the proposal from:

- i) Member States and national and regional pharmacopoeia commissions or other bodies designated by Member States (by including a notice to that effect in the letter referred to in article 3(a), and
- ii) any other persons known to be concerned by the proposed substitution.

The request for comments shall:

- i) state the recommended international nonproprietary name that is being proposed for substitution (and the proposed substitute name, if provided);
- ii) identify the person who submitted the proposal for substitution (if so requested by such person);
- iii) identify the substance to which the proposed substitution relates and reasons put forward for substitution;
- iv) set forth the time within which comments will be received and the person and place to whom they should be directed; and
- v) state the authority under which WHO is acting and refer to these rules of procedure.

Comments on the proposed substitution may be forwarded by any person to WHO within four months of the date of the request for comments.

b) After the time period for comments referred to above has elapsed, the Secretariat shall forward any comments received to the INN Expert Group, the original applicant or its successor and the person bringing the proposal for substitution. If, after consideration of the proposal for substitution and the comments received, the INN Expert Group, the person bringing the proposal for substitution and the original applicant or its successor all agree that there is a need to substitute the previously recommended international nonproprietary name, the Secretariat shall submit the proposal for substitution to the INN Expert Group for further processing.

Notwithstanding the foregoing, the original applicant or its successor shall not be entitled to withhold agreement to a proposal for substitution in the event the original applicant or its successor has no demonstrable continuing interest in the recommended international nonproprietary name proposed for substitution.

In the event that a proposal for substitution shall be submitted to the INN Expert Group for further processing, the INN Expert Group will select a new international nonproprietary name in accordance with the General principles referred to in article 2 and the procedure set forth in articles 3 to 8 inclusive. The notices to be given by the Secretariat under article 3 and article 7, respectively, including to the original applicant or its successor (if not the same as the person proposing the substitution, and provided that the original applicant or its successor is known or can be found through diligent effort, including contacts with industry associations), shall in such event indicate that the new name is a substitute for a previously recommended international nonproprietary name and that Member States may wish to make transitional arrangements in order to accommodate existing products that use the previously recommended international nonproprietary name on their label in accordance with national legislation.

If, after consideration of the proposal for substitution and the comments received in accordance with the procedure described above, the INN Expert Group, the original applicant or its successor and the person bringing the proposal for substitution do not agree that there are compelling reasons for substitution of a previously recommended international nonproprietary name, this name shall be retained (provided always that the original applicant or its successor shall not be entitled to withhold agreement to a proposal for substitution in the event that the original applicant or its successor has no demonstrable continuing interest in the recommended international nonproprietary name proposed to be substituted). In such an event, the Secretariat shall advise the person having proposed the substitution, as well as the original applicant or its

successor (if not the same as the person proposing the substitution, and provided that the original applicant or its successor is known or can be found through diligent effort, including contacts with industry associations), Member States, national and regional pharmacopoeia commissions, other bodies designated by Member States, and any other persons known to be concerned by the proposed substitution that, despite a proposal for substitution, it has been decided to retain the previously recommended international nonproprietary name (with a description of the reason(s) why the proposal for substitution was not considered sufficiently compelling).

## ANNEX 2

### **GENERAL PRINCIPLES FOR GUIDANCE IN DEVISING INTERNATIONAL NONPROPRIETARY NAMES FOR PHARMACEUTICAL SUBSTANCES<sup>1</sup>**

1. International Nonproprietary Names (INN) should be distinctive in sound and spelling. They should not be inconveniently long and should not be liable to confusion with names in common use.
2. The INN for a substance belonging to a group of pharmacologically related substances should, where appropriate, show this relationship. Names that are likely to convey to a patient an anatomical, physiological, pathological or therapeutic suggestion should be avoided.

*These primary principles are to be implemented by using the following secondary principles:*

3. In devising the INN of the first substance in a new pharmacological group, consideration should be given to the possibility of devising suitable INN for related substances, belonging to the new group.
4. In devising INN for acids, one-word names are preferred; their salts should be named without modifying the acid name, e.g. "oxacillin" and "oxacillin sodium", "ibufenac" and "ibufenac sodium".
5. INN for substances which are used as salts should in general apply to the active base or the active acid. Names for different salts or esters of the same active substance should differ only in respect of the name of the inactive acid or the inactive base.  
For quaternary ammonium substances, the cation and anion should be named appropriately as separate components of a quaternary substance and not in the amine-salt style.
6. The use of an isolated letter or number should be avoided; hyphenated construction is also undesirable.
7. To facilitate the translation and pronunciation of INN, "f" should be used instead of "ph", "t" instead of "th", "e" instead of "ae" or "oe", and "i" instead of "y"; the use of the letters "h" and "k" should be avoided.
8. Provided that the names suggested are in accordance with these principles, names proposed by the person discovering or first developing and marketing a pharmaceutical preparation, or names already officially in use in any country, should receive preferential consideration.
9. Group relationship in INN (see General principle 2) should if possible be shown by using a common stem. The following list contains examples of stems for groups of substances, particularly for new groups. There are many other stems in active use.<sup>2</sup> Where a stem is shown without any hyphens it may be used anywhere in the name.

<sup>1</sup> In its Twentieth report (WHO Technical Report Series, No. 581, 1975), the WHO Expert committee on Nonproprietary Names for Pharmaceutical Substances reviewed the general principles for devising, and the procedures for selecting, INN in the light of developments in pharmaceutical compounds in recent years. The most significant change has been the extension to the naming of synthetic chemical substances of the practice previously used for substances originating in or derived from natural products. This practice involves the use of a characteristic "stem" indicative of a common property of the members of a group. The reason for, and the implications of, the change are fully discussed.

The guiding principles were updated during the 13<sup>th</sup> consultation on nonproprietary names for pharmaceutical substances (Geneva, 27-29 April 1983) (PHARM S/NOM 928 13 May 1983, revised 18 August 1983).

<sup>2</sup> A more extensive listing of stems is contained in the working document WHO/EMP/RHT/TSN/2018.1 which is regularly updated and can be requested from the INN Programme, WHO, Geneva.

<b>Latin</b>	<b>English</b>	
-acum	-ac	anti-inflammatory agents, ibufenac derivatives
-adolum	-adol }	analgesics
-adol-	-adol-}	
-astum	-ast	antiasthmatic, antiallergic substances not acting primarily as antihistaminics
-astinum	-astine	antihistaminics
-azepamum	-azepam	diazepam derivatives
bol	bol	steroids, anabolic
-cain-	-cain-	class I antiarrhythmics, procainamide and lidocaine derivatives
-cainum	-caine	local anaesthetics
cef-	cef-	antibiotics, cefalosporanic acid derivatives
-cillinum	-cillin	antibiotics, 6-aminopenicillanic acid derivatives
-conazolum	-conazole	systemic antifungal agents, miconazole derivatives
cort	cort	corticosteroids, except prednisolone derivatives
-coxibum	-coxib	selective cyclo-oxygenase inhibitors
-entanum	-entan	endothelin receptor antagonists
gab	gab	gabamimetic agents
gado-	gado-	diagnostic agents, gadolinium derivatives
-gatranum	-gatran	thrombin inhibitors, antithrombotic agents
gest	gest	steroids, progestogens
gli	gli	antihyperglycaemics
io-	io-	iodine-containing contrast media
-metacinum	-metacin	anti-inflammatory, indometacin derivatives
-mycinum	-mycin	antibiotics, produced by <i>Streptomyces</i> strains
-nidazolum	-nidazole	antiprotozoal substances, metronidazole derivatives
-ololum	-olol	β-adrenoreceptor antagonists
-oxacinum	-oxacin	antibacterial agents, nalidixic acid derivatives
-platinum	-platin	antineoplastic agents, platinum derivatives
-poetinum	-poetin	erythropoietin type blood factors
-pril(at)um	-pril(at)	angiotensin-converting enzyme inhibitors
-profenum	-profen	anti-inflammatory substances, ibuprofen derivatives
prost	prost	prostaglandins
-relinum	-relin	pituitary hormone release-stimulating peptides
-sartanum	-sartan	angiotensin II receptor antagonists, antihypertensive (non-peptidic)
-vaptanum	-vaptan	vasopressin receptor antagonists
vin-	vin- }	vinca-type alkaloids
-vin-	-vin-}	

## ANNEXE 1

### **PROCEDURE A SUIVRE EN VUE DU CHOIX DE DENOMINATIONS COMMUNES INTERNATIONALES RECOMMANDÉES POUR LES SUBSTANCES PHARMACEUTIQUES<sup>1</sup>**

L'Organisation mondiale de la Santé (également désignée ci-après sous l'appellation « OMS ») observe la procédure exposée ci-dessous pour l'attribution de dénominations communes internationales recommandées pour les substances pharmaceutiques, conformément à la résolution WHA3.11 de l'Assemblée mondiale de la Santé, et pour le remplacement de telles dénominations.

**Article 1 -** Les propositions de dénominations communes internationales recommandées et les propositions de remplacement de telles dénominations sont soumises à l'OMS sur la formule prévue à cet effet. L'examen de telles propositions est soumis au paiement d'une taxe administrative destinée uniquement à couvrir les coûts correspondants assumés par le Secrétariat de l'OMS (« le Secrétariat »). Le montant de cette taxe est déterminé par le Secrétariat et peut être modifié de temps à autre.

<sup>1</sup> Voir annexe 1 dans OMS, Série de Rapports techniques, N° 581, 1975. Le texte original a été adopté par le Conseil exécutif dans sa résolution EB15.R7 et amendé dans ses résolutions EB43.R9 et EB115.R4.

**Article 2** - Ces propositions sont soumises par le Secrétariat aux experts désignés à cette fin parmi les personnalités inscrites au Tableau d'experts de la Pharmacopée internationale et des Préparations pharmaceutiques, ci-après désignés sous l'appellation « le Groupe d'experts des DCI » ; elles sont examinées par les experts conformément aux « Directives générales pour la formation de dénominations communes internationales pour les substances pharmaceutiques » reproduites ci-après<sup>1</sup>. La dénomination acceptée est la dénomination employée par la personne qui découvre ou qui, la première, fabrique et lance sur le marché une substance pharmaceutique, à moins que des raisons majeures n'obligent à s'écartier de cette règle.

**Article 3** - Après l'examen prévu à l'article 2, le Secrétariat notifie qu'un projet de dénomination commune internationale est à l'étude.

a) Cette notification est faite par une insertion dans *WHO Drug Information*<sup>2</sup> et par l'envoi d'une lettre aux Etats Membres et aux commissions nationales et régionales de pharmacopée ou autres organismes désignés par les Etats Membres.

i) Notification est également faite à la personne qui a soumis la proposition (« le demandeur initial ») et à d'autres personnes portant à la dénomination mise à l'étude un intérêt notable.

b) Cette notification contient les indications suivantes :

i) dénomination mise à l'étude;

ii) nom de l'auteur de la proposition tendant à attribuer une dénomination à la substance, si cette personne le demande ;

iii) définition de la substance dont la dénomination est mise à l'étude ;

iv) délai pendant lequel seront reçues les observations et les objections à l'égard de cette dénomination ; nom et adresse de la personne habilitée à recevoir ces observations et objections ;

v) mention des pouvoirs en vertu desquels agit l'OMS et référence au présent règlement.

c) En envoyant cette notification, le Secrétariat demande aux Etats Membres de prendre les mesures nécessaires pour prévenir l'acquisition de droits de propriété sur la dénomination proposée pendant la période au cours de laquelle cette dénomination est mise à l'étude par l'OMS.

**Article 4** - Des observations sur la dénomination proposée peuvent être adressées à l'OMS par toute personne, dans les quatre mois qui suivent la date de publication de la dénomination dans *WHO Drug Information* (voir l'article 3).

**Article 5** - Toute personne intéressée peut formuler une objection formelle contre la dénomination proposée dans les quatre mois qui suivent la date de publication de la dénomination dans *WHO Drug Information* (voir l'article 3).

Cette objection doit s'accompagner des indications suivantes :

i) nom de l'auteur de l'objection ;

ii) intérêt qu'il ou elle porte à la dénomination en cause ;

iii) raisons motivant l'objection contre la dénomination proposée.

**Article 6** - Lorsqu'une objection formelle est formulée en vertu de l'article 5, l'OMS peut soit soumettre la dénomination proposée à un nouvel examen, soit intervenir pour tenter d'obtenir le retrait de l'objection. Sans préjudice de l'examen par l'OMS d'une ou de plusieurs appellations de

<sup>1</sup> Voir annexe 2.

<sup>2</sup> Avant 1987, les listes de dénominations communes internationales étaient publiées dans la *Chronique de l'Organisation mondiale de la Santé*.

remplacement, l'OMS n'adopte pas d'appellation comme dénomination commune internationale recommandée tant qu'une objection formelle présentée conformément à l'article 5 n'est pas levée.

**Article 7 -** Lorsqu'il n'est formulé aucune objection en vertu de l'article 5, ou que toutes les objections présentées ont été levées, le Secrétariat fait une notification conformément aux dispositions du paragraphe a) de l'article 3, en indiquant que la dénomination a été choisie par l'OMS en tant que dénomination commune internationale recommandée.

**Article 8 -** En communiquant aux Etats Membres, conformément à l'article 7, une dénomination commune internationale recommandée, le Secrétariat :

- a) demande que cette dénomination soit reconnue comme dénomination commune de la substance considérée ; et
- b) demande aux Etats Membres de prendre les mesures nécessaires pour prévenir l'acquisition de droits de propriété sur cette dénomination et interdire le dépôt de cette dénomination comme marque ou appellation commerciale.

**Article 9 -**

a) Dans le cas exceptionnel où une dénomination commune internationale déjà recommandée donne lieu à des erreurs de médication, de prescription ou de distribution ou en comporte un risque démontrable, en raison d'une similitude avec une autre appellation dans la pratique pharmaceutique et/ou de prescription, et où il apparaît que ces erreurs ou ces risques d'erreur ne peuvent être facilement évités par d'autres interventions que le remplacement éventuel d'une dénomination commune internationale déjà recommandée, ou dans le cas où une dénomination commune internationale déjà recommandée diffère sensiblement de la dénomination commune approuvée dans un nombre important d'Etats Membres, ou dans d'autres circonstances exceptionnelles qui justifient le remplacement d'une dénomination commune internationale recommandée, toute personne intéressée peut formuler une proposition dans ce sens. Cette proposition est présentée sur la formule prévue à cet effet et doit s'accompagner des indications suivantes :

- i) nom de l'auteur de la proposition ;
- ii) intérêt qu'il ou elle porte au remplacement proposé ;
- iii) raisons motivant la proposition ; et
- iv) description, faits à l'appui, des autres interventions entreprises pour tenter de régler le problème et exposé des raisons pour lesquelles ces interventions ont échoué.

Les propositions peuvent comprendre une proposition de nouvelle dénomination commune internationale de remplacement, établie conformément aux Directives générales, compte tenu de la substance pharmaceutique pour laquelle la nouvelle dénomination commune internationale de remplacement est proposée.

Le Secrétariat transmet une copie de la proposition pour examen, conformément à la procédure exposée plus loin au paragraphe b), au Groupe d'experts des DCI et au demandeur initial ou à son successeur (s'il s'agit d'une personne différente de celle qui a formulé la proposition de remplacement et pour autant que le demandeur initial ou son successeur soit connu ou puisse être retrouvé moyennant des efforts diligents, notamment des contacts avec les associations industrielles).

De plus, le Secrétariat demande aux entités et personnes ci-après de formuler des observations sur la proposition :

- i) les Etats Membres et les commissions nationales et régionales de pharmacopée ou d'autres organismes désignés par les Etats Membres (en insérant une note à cet effet dans la lettre mentionnée à l'article 3.a), et
- ii) toutes autres personnes portant au remplacement proposé un intérêt notoire.

La demande d'observations contient les indications suivantes :

- i) dénomination commune internationale recommandée pour laquelle un remplacement est proposé (et la dénomination de remplacement proposée, si elle est fournie) ;
- ii) nom de l'auteur de la proposition de remplacement (si cette personne le demande) ;
- iii) définition de la substance faisant l'objet du remplacement proposé et raisons avancées pour le remplacement ;
- iv) délai pendant lequel seront reçus les commentaires et nom et adresse de la personne habilitée à recevoir ces commentaires ; et
- v) mention des pouvoirs en vertu desquels agit l'OMS et référence au présent règlement.

Des observations sur la proposition de remplacement peuvent être communiquées par toute personne à l'OMS dans les quatre mois qui suivent la date de la demande d'observations.

b) Une fois échu le délai prévu ci-dessus pour la communication d'observations, le Secrétariat transmet les observations reçues au Groupe d'experts des DCI, au demandeur initial ou à son successeur et à l'auteur de la proposition de remplacement. Si, après avoir examiné la proposition de remplacement et les observations reçues, le Groupe d'experts des DCI, l'auteur de la proposition de remplacement et le demandeur initial ou son successeur reconnaissent tous qu'il est nécessaire de remplacer la dénomination commune internationale déjà recommandée, le Secrétariat soumet la proposition de remplacement au Groupe d'experts des DCI pour qu'il y donne suite.

Nonobstant ce qui précède, le demandeur initial ou son successeur n'est pas habilité à refuser son accord à une proposition de remplacement au cas où il ne peut être démontré qu'il porte un intérêt durable à la dénomination commune internationale recommandée qu'il est proposé de remplacer.

Dans le cas où une proposition de remplacement est soumise au Groupe d'experts des DCI pour qu'il y donne suite, le Groupe choisit une nouvelle dénomination commune internationale conformément aux Directives générales mentionnées à l'article 2 et selon la procédure décrite dans les articles 3 à 8 inclus. La notification faite par le Secrétariat en vertu de l'article 3 et de l'article 7, respectivement, y compris au demandeur initial ou à son successeur (si ce n'est pas la même personne que celle qui a proposé le remplacement et pour autant que le demandeur initial ou son successeur soit connu ou puisse être retrouvé moyennant des efforts diligents, notamment des contacts avec les associations industrielles), doit dans un tel cas indiquer que la nouvelle dénomination remplace une dénomination commune internationale déjà recommandée et que les Etats Membres peuvent souhaiter prendre des mesures transitoires pour les produits existants qui utilisent la dénomination commune internationale déjà recommandée sur leur étiquette conformément à la législation nationale.

Si, après examen de la proposition de remplacement et des observations communiquées conformément à la procédure exposée plus haut, le Groupe d'experts des DCI, le demandeur initial ou son successeur et l'auteur de la proposition de remplacement ne s'accordent pas sur le fait qu'il y a des raisons impératives de remplacer une dénomination commune internationale déjà recommandée, cette dernière est conservée (étant entendu toujours que le demandeur initial ou son successeur n'est pas habilité à refuser son accord à une proposition de remplacement au cas où il ne peut être démontré qu'il porte un intérêt durable à la dénomination commune internationale recommandée qu'il est proposé de remplacer). Dans un tel cas, le Secrétariat informe l'auteur de la proposition de remplacement, ainsi que le demandeur initial ou son successeur (s'il s'agit d'une personne différente de celle qui a formulé la proposition de remplacement et pour autant que le demandeur initial ou son successeur soit connu ou puisse être retrouvé moyennant des efforts diligents, notamment des contacts avec les associations industrielles), les Etats Membres, les commissions nationales et régionales de pharmacopée, les autres organismes désignés par les Etats Membres et toutes autres personnes portant un intérêt notoire au remplacement proposé que, malgré une proposition de remplacement, il a été décidé de conserver la dénomination commune internationale déjà recommandée (avec une brève description de la ou des raisons pour lesquelles la proposition de remplacement n'a pas été jugée suffisamment impérative).

## ANNEXE 2

**DIRECTIVES GENERALES POUR LA FORMATION DE  
DENOMINATIONS COMMUNES INTERNATIONALES APPLICABLES  
AUX SUBSTANCES PHARMACEUTIQUES<sup>1</sup>**

1. Les dénominations communes internationales (DCI) devront se distinguer les unes des autres par leur consonance et leur orthographe. Elles ne devront pas être d'une longueur excessive, ni prêter à confusion avec des appellations déjà couramment employées.

2. La DCI de chaque substance devra, si possible, indiquer sa parenté pharmacologique. Les dénominations susceptibles d'évoquer pour les malades des considérations anatomiques, physiologiques, pathologiques ou thérapeutiques devront être évitées dans la mesure du possible.

*Outre ces deux principes fondamentaux, on respectera les principes secondaires suivants :*

3. Lorsqu'on formera la DCI de la première substance d'un nouveau groupe pharmacologique, on tiendra compte de la possibilité de former ultérieurement d'autres DCI appropriées pour les substances apparentées du même groupe.

4. Pour former des DCI des acides, on utilisera de préférence un seul mot. Leurs sels devront être désignés par un terme qui ne modifie pas le nom de l'acide d'origine : par exemple «oxacilline» et «oxacilline sodique», «ibufénac» et «ibufénac sodique».

5. Les DCI pour les substances utilisées sous forme de sels devront en général s'appliquer à la base active (ou à l'acide actif). Les dénominations pour différents sels ou esters d'une même substance active ne différeront que par le nom de l'acide inactif (ou de la base inactive). En ce qui concerne les substances à base d'ammonium quaternaire, la dénomination s'appliquera de façon appropriée au cation et à l'anion en tant qu'éléments distincts d'une substance quaternaire. On évitera de choisir une désignation évoquant un sel aminé.

6. On évitera d'ajouter une lettre ou un chiffre isolé ; en outre, on renoncera de préférence au trait d'union.

7. Pour simplifier la traduction et la prononciation des DCI, la lettre « f » sera utilisée à la place de « ph », « t » à la place de « th », « e » à la place de « ae » ou « oe », et « i » à la place de « y » ; l'usage des lettres « h » et « k » sera aussi évité.

8. On retiendra de préférence, pour autant qu'elles respectent les principes énoncés ici, les dénominations proposées par les personnes qui ont découvert ou qui, les premières, ont fabriqué et lancé sur le marché les préparations pharmaceutiques considérées, ou les dénominations déjà officiellement adoptées par un pays.

9. La parenté entre substances d'un même groupe (voir Directive générale 2) sera si possible indiquée dans les DCI par l'emploi de segments-clés communs. La liste ci-après contient des exemples de segments-clés pour des groupes de substances, surtout pour des groupes récents. Il y a beaucoup d'autres segments-clés en utilisation active.<sup>2</sup> Les segments-clés indiqués sans trait d'union pourront être insérés n'importe où dans une dénomination.

<sup>1</sup> Dans son vingtième rapport (OMS, Série de Rapports techniques, N° 581, 1975), le Comité OMS d'experts des Dénominations communes pour les Substances pharmaceutiques a examiné les directives générales pour la formation des dénominations communes internationales et la procédure à suivre en vue de leur choix, compte tenu de l'évolution du secteur pharmaceutique au cours des dernières années. La modification la plus importante a été l'extension aux substances de synthèse de la pratique normalement suivie pour désigner les substances tirées ou dérivées de produits naturels. Cette pratique consiste à employer des syllabes communes ou groupes de syllabes communes (segments-clés) qui sont caractéristiques et indiquent une propriété commune aux membres du groupe des substances pour lequel ces segments-clés ont été retenus. Les raisons et les conséquences de cette modification ont fait l'objet de discussions approfondies.

Les directives ont été mises à jour lors de la treizième consultation sur les dénominations communes pour les substances pharmaceutiques (Genève, 27-29 avril 1983) (PHARM S/NOM 928, 13 mai 1983, révision en date du 18 août 1983).

<sup>2</sup> Une liste plus complète de segments-clés est contenue dans le document de travail WHO/EMP/RHT/TSN/2018.1 qui est régulièrement mis à jour et qui peut être demandé auprès du programme des DCI, OMS, Genève

Latin	Français	
-acum	-ac	substances anti-inflammatoires du groupe de l'ibufénac
-adolum	-adol	analgésiques }
-adol-	-adol-	}
-astum	-ast	antiasthmatiques, antiallergiques n'agissant pas principalement en tant qu'antihistaminiques
-astinum	-astine	antihistaminiques
-azepamum	-azépam	substances du groupe du diazépam
bol	bol	stéroïdes anabolisants
-cain-	-caïn-	antiarythmiques de classe I, dérivés du procaïnamide et de la lidocaïne
-cainum	-caïne	anesthésiques locaux
cef-	céf-	antibiotiques, dérivés de l'acide céphalosporanique
-cillinum	-cilline	antibiotiques, dérivés de l'acide 6-aminopénicillanique
-conazolum	-conazole	agents antifongiques systémiques du groupe du miconazole
cort	cort	corticostéroïdes, autres que les dérivés de la prednisolone
-coxibum	-coxib	inhibiteurs sélectifs de la cyclo-oxygénase
-entanum	-entan	antagonistes du récepteur de l'endothéline
gab	gab	gabamimétiques
gado-	gado-	agents diagnostiques, dérivés du gadolinium
-gatranum	-gatran	antithrombines, antithrombotiques
gest	gest	stéroïdes progestogènes
gli	gli	antihyperglycémiants
io-	io-	produits de contraste iodés
-metacinum	-métacine	substances anti-inflammatoires du groupe de l'indométabine
-mycinum	-mycine	antibiotiques produits par des souches de <i>Streptomyces</i>
-nidazolum	-nidazole	substances antiprotozoaires du groupe du métronidazole
-ololum	-olol	antagonistes des récepteurs β-adrénergiques
-oxacinum	-oxacine	substances antibactériennes du groupe de l'acide nalidixique
-platinum	-platine	antineoplasiques, dérivés du platine
-poetinum	-poétique	facteurs sanguins de type érythropoïétine
-pril(at)um	-pril(ate)	inhibiteurs de l'enzyme de conversion de l'angiotensine
-profenum	-profène	substances anti-inflammatoires du groupe de l'ibuprofène
prost	prost	prostaglandines
-relinum	-réline	peptides stimulant la libération d'hormones hypophysaires
-sartanum	-sartan	antagonistes d'un récepteur de l'angiotensine II, antihypertenseurs (non peptidiques)
-vaptanum	-vaptan	antagonistes du récepteur de la vasopressine
vin-	vin-	alcaloïdes du type vinca }
-vin-	-vin-	}

## ANEXO 1

### **PROCEDIMIENTO DE SELECCIÓN DE DENOMINACIONES COMUNES INTERNACIONALES RECOMENDADAS PARA SUSTANCIAS FARMACÉUTICAS<sup>1</sup>**

La Organización Mundial de la Salud (OMS) seguirá el procedimiento que se expone a continuación tanto para seleccionar denominaciones comunes internacionales recomendadas para las sustancias farmacéuticas, de conformidad con lo dispuesto en la resolución WHA3.11, como para sustituir esas denominaciones.

**Artículo 1** - Las propuestas de denominaciones comunes internacionales recomendadas y las propuestas de sustitución de esas denominaciones se presentarán a la OMS en los formularios que se proporcionen a estos efectos. El estudio de estas propuestas estará sujeto al pago de una tasa destinada a sufragar los costos de administración que ello suponga para la Secretaría de la OMS («la Secretaría»). La Secretaría establecerá la cuantía de esa tasa y podrá ajustarla periódicamente.

**Artículo 2** - Estas propuestas serán sometidas por la Secretaría a los miembros del Cuadro de Expertos en Farmacopea Internacional y Preparaciones Farmacéuticas encargados de su estudio, en adelante designados como «el Grupo de Expertos en DCI», para que las examinen de conformidad con los «Principios generales de orientación para formar denominaciones comunes internacionales para sustancias farmacéuticas», anexos a este procedimiento.<sup>2</sup> A menos que haya poderosas razones en contra, la denominación aceptada será la empleada por la persona que haya descubierto o fabricado y comercializado por primera vez esa sustancia farmacéutica.

**Artículo 3** - Tras el examen al que se refiere el artículo 2, la Secretaría notificará que está en estudio un proyecto de denominación internacional.

a) Esa notificación se hará mediante una publicación en *Información Farmacéutica OMS*<sup>3</sup> y el envío de una carta a los Estados Miembros y a las comisiones nacionales y regionales de las farmacopeas u otros organismos designados por los Estados Miembros.

i) La notificación será enviada también a la persona que haya presentado la propuesta («el solicitante inicial») y a otras personas que tengan un interés especial en una denominación objeto de estudio.

b) En esa notificación se incluirán los siguientes datos:

- i) la denominación sometida a estudio;
- ii) la identidad de la persona que ha presentado la propuesta de denominación de la sustancia, si lo pide esa persona;
- iii) la identidad de la sustancia cuya denominación está en estudio;
- iv) el plazo fijado para recibir observaciones y objeciones, así como el nombre y la dirección de la persona a quien deban dirigirse; y
- v) los poderes conferidos para el caso a la OMS y una referencia al presente procedimiento.

<sup>1</sup> Véase el anexo 1 en OMS, Serie de Informes Técnicos, N° 581, 1975. El texto vigente fue adoptado por el Consejo Ejecutivo en su resolución EB15.R7 y modificado en las resoluciones EB43.R9 y EB115.R4..

<sup>2</sup> Véase el anexo 2.

<sup>3</sup> Hasta 1987 las listas de DCI se publicaban en la *Crónica de la Organización Mundial de la Salud*.

c) Al enviar esa notificación, la Secretaría solicitará de los Estados Miembros la adopción de todas las medidas necesarias para impedir la adquisición de derechos de patente sobre la denominación propuesta, durante el periodo en que la OMS la tenga en estudio.

*Artículo 4* - Toda persona puede formular a la OMS observaciones sobre la denominación propuesta dentro de los cuatro meses siguientes a su publicación en *Información Farmacéutica OMS*, conforme a lo dispuesto en el artículo 3.

*Artículo 5* - Toda persona interesada puede presentar una objeción formal a una denominación propuesta dentro de los cuatro meses siguientes a su publicación en *Información Farmacéutica OMS*, conforme a lo dispuesto en el artículo 3.

Esa objeción deberá acompañarse de los siguientes datos:

- i) la identidad de la persona que formula la objeción;
- ii) las causas que motivan su interés por la denominación; y
- iii) las causas que motivan su objeción a la denominación propuesta.

*Artículo 6* - Cuando se haya presentado una objeción formal en la forma prevista en el artículo 5, la OMS podrá reconsiderar el nombre propuesto o utilizar sus buenos oficios para intentar lograr que se retire la objeción. La OMS no seleccionará como denominación común internacional una denominación a la que se haya hecho una objeción formal, presentada según lo previsto en el artículo 5, que no haya sido retirada, todo ello sin perjuicio de que la Organización examine otra denominación o denominaciones sustitutivas.

*Artículo 7* - Cuando no se haya formulado ninguna objeción en la forma prevista en el artículo 5, o cuando todas las objeciones presentadas hayan sido retiradas, la Secretaría notificará, conforme a lo dispuesto en el párrafo a) del artículo 3, que la denominación ha sido seleccionada por la OMS como denominación común internacional recomendada.

*Artículo 8* - Al comunicar a los Estados Miembros una denominación común internacional, conforme a lo previsto en el artículo 7, la Secretaría:

- a) solicitará que esta denominación sea reconocida como denominación común para la sustancia de que se trate; y
- b) solicitará a los Estados Miembros que adopten todas las medidas necesarias para impedir la adquisición de derechos de patente sobre la denominación, y prohíban que sea registrada como marca de fábrica o como nombre comercial.

#### *Artículo 9*

a) En el caso excepcional de que, debido a su semejanza con otra denominación utilizada en las prácticas farmacéuticas y/o de prescripción, una denominación común internacional recomendada anteriormente ocasione errores de medicación, prescripción o distribución, o suponga un riesgo manifiesto de que esto ocurra, y parezca que tales errores o potenciales errores no sean fácilmente subsanables con otras medidas que no sean la posible sustitución de esa denominación común internacional recomendada anteriormente; en el caso de que una denominación común internacional recomendada anteriormente difiera considerablemente de la denominación común aprobada en un número importante de Estados Miembros, o en otras circunstancias excepcionales que justifiquen el cambio de una denominación común internacional recomendada, cualquier persona interesada puede presentar propuestas en este sentido. Esas propuestas se presentarán en los formularios que se proporcionen a estos efectos e incluirán los siguientes datos:

- i) la identidad de la persona que presenta la propuesta;
- ii) las causas que motivan su interés en la sustitución propuesta;
- iii) las causas que motivan la propuesta; y

iv) una descripción, acompañada de pruebas documentales, de las otras medidas que se hayan adoptado con el fin de resolver la situación y de los motivos por los cuales dichas medidas no han sido suficientes.

Entre esas propuestas podrá figurar una relativa a una nueva denominación común internacional sustitutiva, formulada con arreglo a los Principios generales y que tenga en cuenta la sustancia farmacéutica para la que se proponga la nueva denominación común internacional sustitutiva.

La Secretaría enviará al Grupo de Expertos en DCI y al solicitante inicial o a su sucesor (en el caso de que sea una persona diferente de la que ha presentado la propuesta de sustitución y siempre que el solicitante inicial o su sucesor sean conocidos o puedan ser encontrados mediante esfuerzos diligentes, como el contacto con las asociaciones industriales) una copia de la propuesta, para que sea examinada de conformidad con el procedimiento descrito en el párrafo b) *infra*.

Además, la Secretaría solicitará observaciones sobre la propuesta:

i) a los Estados Miembros y a las comisiones nacionales y regionales de las farmacopeas u otros organismos designados por los Estados Miembros (ello se hará incluyendo una notificación a tal efecto en la carta a la que se refiere el párrafo a) del artículo 3), y

ii) a cualquier persona que tenga un interés especial en la sustitución propuesta.

Al solicitar que se formulen estas observaciones se facilitarán los siguientes datos:

i) la denominación común internacional recomendada que se propone sustituir (y la denominación sustitutiva propuesta, si se ha facilitado);

ii) la identidad de la persona que ha presentado la propuesta de sustitución (si lo pide esa persona);

iii) la identidad de la sustancia a la que se refiere la sustitución propuesta y las razones para presentar la propuesta de sustitución;

iv) el plazo fijado para recibir observaciones, así como el nombre y la dirección de la persona a quien deban dirigirse; y

v) los poderes conferidos para el caso a la OMS y una referencia al presente procedimiento.

Toda persona puede formular a la OMS observaciones sobre la sustitución propuesta dentro de los cuatro meses siguientes a la fecha en que se realizó la solicitud de observaciones.

b) Una vez agotado el mencionado plazo para la formulación de observaciones, la Secretaría enviará todos los comentarios recibidos al Grupo de Expertos en DCI, al solicitante inicial o a su sucesor, y a la persona que haya presentado la propuesta de sustitución. Si después de examinar la propuesta de sustitución y las observaciones recibidas, el Grupo de Expertos en DCI, la persona que haya presentado la propuesta de sustitución y el solicitante inicial, o su sucesor, están de acuerdo en la necesidad de sustituir la denominación común internacional recomendada anteriormente, la Secretaría remitirá la propuesta de sustitución al Grupo de Expertos en DCI para que la tramite.

No obstante lo anterior, el solicitante inicial o su sucesor no tendrán derecho a impedir el acuerdo sobre una propuesta de sustitución en el caso de que hayan dejado de tener un interés demostrable en la denominación común internacional cuya sustitución se propone.

En caso de que la propuesta de sustitución sea presentada al Grupo de Expertos en DCI para que la tramite, este grupo seleccionará una nueva denominación común internacional de conformidad con los Principios generales a los que se refiere el artículo 2 y al procedimiento establecido en los artículos 3 a 8 inclusive. En ese caso, en las notificaciones que la Secretaría ha de enviar con arreglo a los artículos 3 y 7, respectivamente, incluida la notificación al solicitante

inicial o a su sucesor (en el caso de que no sea la misma persona que propuso la sustitución y siempre que el solicitante inicial o su sucesor sean conocidos o puedan ser encontrados mediante esfuerzos diligentes, como el contacto con las asociaciones industriales), se indicará que la nueva denominación sustituye a una denominación común internacional recomendada anteriormente y que los Estados Miembros podrán, si lo estiman oportuno, adoptar disposiciones transitorias aplicables a los productos existentes en cuya etiqueta se utilice, con arreglo a la legislación nacional, la denominación común internacional recomendada anteriormente que se haya sustituido.

En caso de que, después de haber estudiado la propuesta de sustitución y los comentarios recibidos de conformidad con el procedimiento descrito anteriormente, el Grupo de Expertos en DCI, el solicitante inicial o su sucesor y la persona que haya presentado la propuesta de sustitución no lleguen a un acuerdo sobre la existencia de razones poderosas para sustituir una denominación común internacional recomendada anteriormente, esta denominación se mantendrá (siempre en el entendimiento de que el solicitante inicial o su sucesor no tendrán derecho a impedir el acuerdo sobre una propuesta de sustitución en el caso de que hayan dejado de tener un interés demostrable en la denominación común internacional cuya sustitución se propone). En ese caso, la Secretaría comunicará a la persona que haya propuesto la sustitución, así como al solicitante inicial o a su sucesor (en el caso de que no sea la misma persona que propuso la sustitución y siempre que el solicitante inicial o su sucesor sean conocidos o puedan ser encontrados mediante esfuerzos diligentes, como el contacto con las asociaciones industriales), a los Estados Miembros, a las comisiones nacionales y regionales de las farmacopeas o a otros organismos designados por los Estados Miembros y a cualquier otra persona que tenga interés en la sustitución propuesta, que, pese a la presentación de una propuesta de sustitución, se ha decidido mantener la denominación común internacional recomendada anteriormente (con una descripción de la o las razones por las que se ha considerado que la propuesta de sustitución no estaba respaldada por razones suficientemente poderosas).

## ANEXO 2

### PRINCIPIOS GENERALES DE ORIENTACIÓN PARA FORMAR DENOMINACIONES COMUNES INTERNACIONALES PARA SUSTANCIAS FARMACÉUTICAS<sup>1</sup>

1. Las denominaciones comunes internacionales (DCI) deberán diferenciarse tanto fonéticamente como ortográficamente. No deberán ser incómodamente largas, ni dar lugar a confusión con denominaciones de uso común.
2. La DCI de una sustancia que pertenezca a un grupo de sustancias farmacológicamente emparentadas deberá mostrar apropiadamente este parentesco. Deberán evitarse las denominaciones que puedan tener connotaciones anatómicas, fisiológicas, patológicas o terapéuticas para el paciente.

*Estos principios primarios se pondrán en práctica utilizando los siguientes principios secundarios:*

3. Al idear la DCI de la primera sustancia de un nuevo grupo farmacológico, deberá tenerse en cuenta la posibilidad de poder formar DCI convenientes para las sustancias emparentadas que se agreguen al nuevo grupo.
4. Al idear DCI para ácidos, se preferirán las de una sola palabra; sus sales deberán denominarse sin modificar el nombre del ácido: p. ej. «oxacilina» y «oxacilina sódica», «ibufenaco» y «ibufenaco sódico».

---

<sup>1</sup> En su 20º informe (OMS, Serie de Informes Técnicos, Nº 581, 1975), el Comité de Expertos de la OMS en Denominaciones Comunes para las Sustancias Farmacéuticas revisó los Principios generales para formar denominaciones comunes internacionales (DCI), y su procedimiento de selección, a la luz de las novedades registradas en los últimos años en materia de compuestos farmacéuticos. El cambio más importante había consistido en hacer extensivo a la denominación de sustancias químicas sintéticas el método utilizado hasta entonces para las sustancias originadas en productos naturales o derivadas de éstos. Dicho método conlleva la utilización de una «partícula» característica que indica una propiedad común a los miembros de un grupo. En el citado informe se examinan en detalle las razones y consecuencias de este cambio.

Los Principios generales de orientación se actualizaron durante la 13ª consulta sobre denominaciones comunes para sustancias farmacéuticas (Ginebra, 27 a 29 de abril de 1983) (PHARM S/NOM 928, 13 de mayo de 1983, revisado el 18 de agosto de 1983).

5. Las DCI para las sustancias que se usan en forma de sal deberán en general aplicarse a la base activa o al ácido activo. Las denominaciones para diferentes sales o esteres de la misma sustancia activa solamente deberán diferir en el nombre del ácido o de la base inactivos.

En los compuestos de amonio cuaternario, el catión y el anión deberán denominarse adecuadamente por separado, como componentes independientes de una sustancia cuaternaria y no como sales de una amina.

6. Deberá evitarse el empleo de letras o números aislados; también es indeseable el empleo de guiones.

7. Para facilitar la traducción y la pronunciación, se emplearán de preferencia las letras «f» en lugar de «ph», «t» en lugar de «th», «e» en lugar de «ae» u «oe», e «í» en lugar de «y»; se deberá evitar el empleo de las letras «h» y «k».

8. Siempre que las denominaciones propuestas estén de acuerdo con estos principios, recibirán una consideración preferente las denominaciones propuestas por la persona que haya descubierto las sustancias, o que fabrique y comercialice por primera vez una sustancia farmacéutica, así como las denominaciones ya adoptadas oficialmente en cualquier país.

9. El parentesco entre sustancias del mismo grupo se pondrá de manifiesto en las DCI (véase el Principio 2) utilizando una partícula común. En la lista que figura a continuación se indican ejemplos de partículas para grupos de sustancias, en particular para grupos nuevos. Existen muchas otras partículas que se usan habitualmente.<sup>1</sup> Cuando una partícula aparece sin guion alguno, puede utilizarse en cualquier lugar de la palabra.

<b>Latin</b>	<b>Español</b>	
-acum	-aco	antiinflamatorios derivados del ibufenaco
-adolum	-adol )	analgésicos
-adol-	-adol- )	
-astum	-ast	antiasmáticos, sustancias antialérgicas cuya acción principal no es la antihistamínica
-astinum	-astina	antihistamínicos
-azepamum	-azepam	derivados del diazepam
bol	bol	esteroides anabolizantes
-cain-	-caína-	antiarrítmicos de clase I, derivados de procainamida y lidocaína
-cainum	-caína-	anestésicos locales
cef-	cef-	antibióticos, derivados del ácido cefalosporánico
-cillinum	-ciliña	antibióticos derivados del ácido 6-aminopenicilánico
-conazolum	-conazol	antifúngicos sistémicos derivados del miconazol
cort	cort	corticosteroides, excepto derivados de prednisolona
-coxibum	-coxib	inhibidores selectivos de ciclooxigenasa
-entanum	-entán	antagonistas del receptor de endotelina
gab	gab	gabamiméticos
gado-	gado-	agentes para diagnóstico derivados de gadolinio
-gartranum	-gatrán	inhibidores de la trombina antitrombóticos
gest	gest	esteroides progestágenos
gli	gli	hipoglucemiantes,antihiper glucémicos
io-	io-	medios de contraste iodados
-metacinum	-metacina	antiinflamatorios derivados de indometacina
-mycinum	-micina	antibióticos producidos por cepas de <i>Streptomyces</i>
-nidazolum	-nidazol	antiprotozoarios derivados de metronidazol
-ololum	-olol	antagonistas de receptores β-adrenérgicos

<sup>1</sup> En el documento de trabajo WHO/EMP/RHT/TSN/2018.1, que se actualiza periódicamente y puede solicitarse al Programa sobre Denominaciones Comunes Internacionales, OMS, Ginebra, figura una lista más amplia de partículas.

-oxacinum	-oxacino	antibacterianos derivados del ácido nalidíxico
-platinum	-platino	antineoplásicos derivados del platino
-poetinum	-poetina	factores sanguíneos similares a la eritropoyetina
-pril(at)um	-pril(at)	inhibidores de la enzima conversora de la angiotensina
-profenum	-profeno	antiinflamatorios derivados del ibuprofeno
prost	prost	prostaglandinas
-relinum	-relina	péptidos estimulantes de la liberación de hormonas hipofisarias
-sartanum	-sartán	antihipertensivos (no peptídicos) antagonistas del
-vaptanum	-vaptán	antagonistas del receptor de vasopresina
vin-	vin- )	alcaloides de la vinca
-vin-	-vin- )	